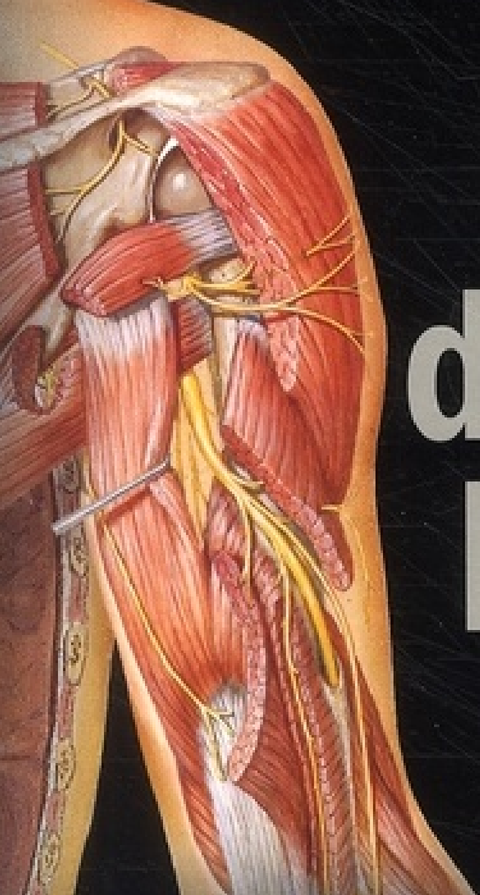
FRANK H. NETTER, MD



Atlas d'anatomie humaine

4e édition

Traduction de Pierre Kamina

Compilé par Omar19

F. Netter M.D.

MASSON

Section I
TÊTE ET COU

OS ET LIGAMENTS
Planches 1 – 16

RÉGION SUPERFICIELLE DE LA FACE
Planches 17 – 21

COU
Planches 22 – 30

RÉGION DU NEZ
Planches 31 – 44

RÉGION DE LA BOUCHE
Planches 45 – 56

PHARYNX
Planches 57 – 67

GLANDE THYROÏDE ET LARYNX
Planches 68 – 75

ORBITE ET SON CONTENU
Planches 76 – 86

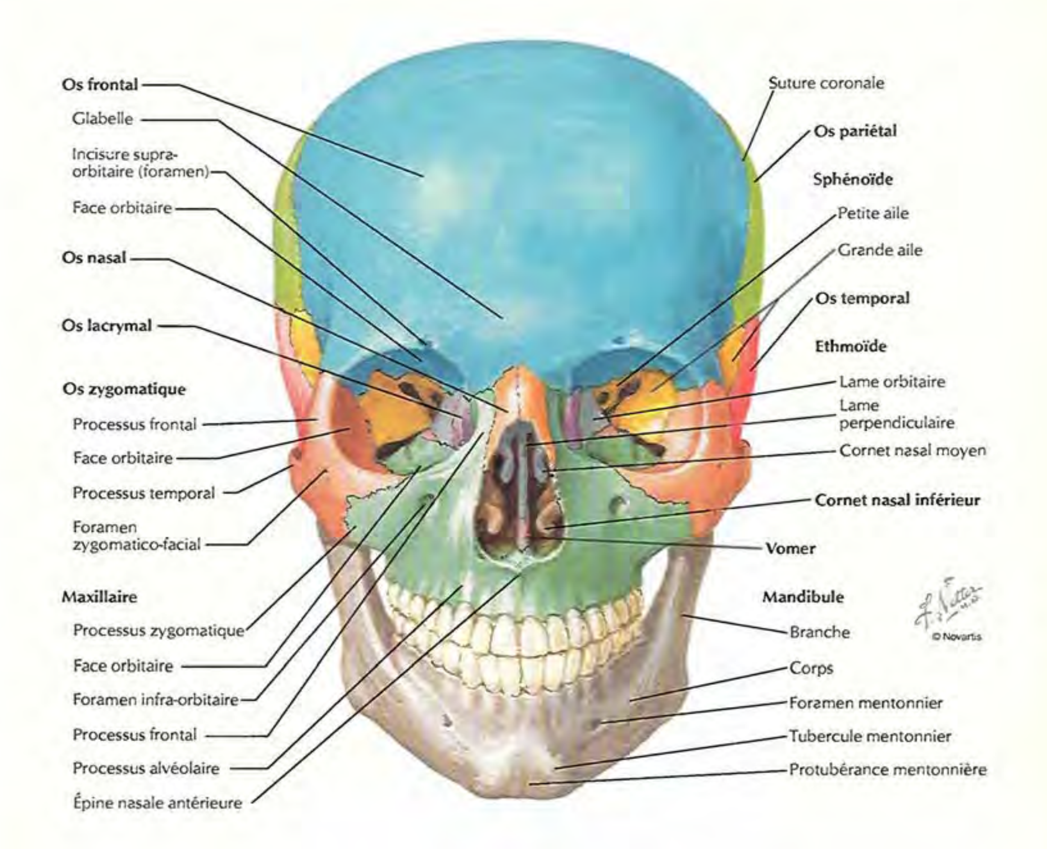
OREILLE
Planches 87 – 93

MÉNINGES ET ENCÉPHALE
Planches 94 – 109

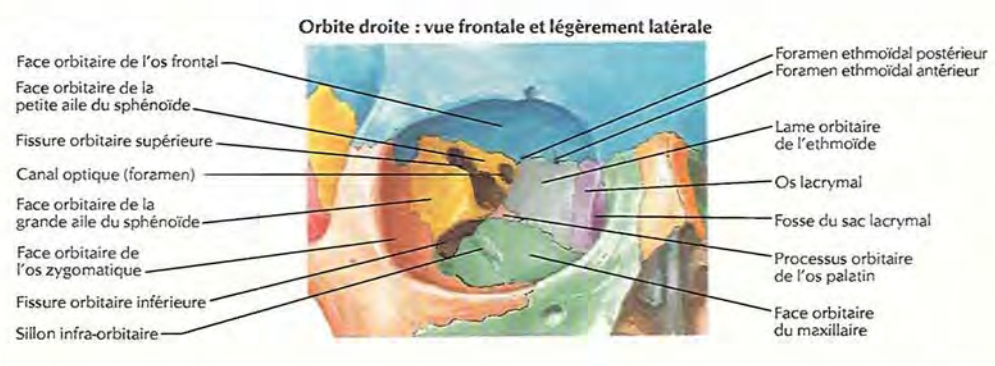
NERFS CRÂNIENS ET CERVICAUX
Planches 110 – 129

VASCULARISATION CÉRÉBRALE
Planches 130 – 141

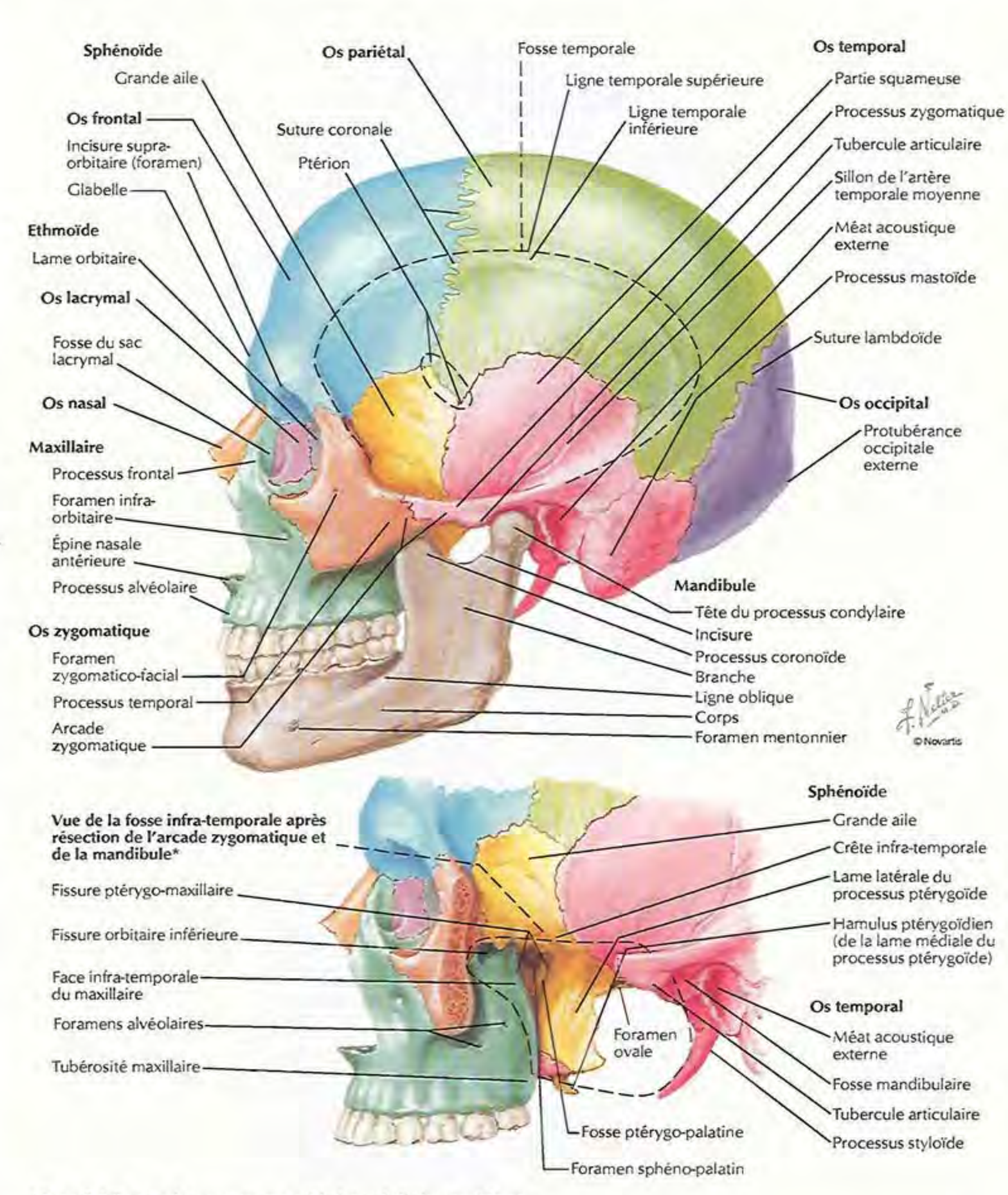
Tête osseuse : vue antérieure



Orbite droite : vue frontale et légèrement latérale



Tête osseuse : vue latérale



* Superficiellement, le processus mastoïde forme la limite postérieure

Crâne : coupe sagittale médiane

Sphénoïde
- Grande aile
- Petite aile
- Processus clinoïde antérieur
- Canal optique
- Selle turcique
- Sinus sphénoïdal
- Corps
- Lames latérale et médiale du processus ptérygoïde

Os frontal
- Sinus frontal

Ethmoïde
- Crista galli
- Lame criblée
- Lame perpendiculaire

Os nasal

Cornet nasal inférieur

Maxillaire
- Épine nasale antérieure
- Face nasale
- Canal incisif
- Processus palatin
- Processus alvéolaire

Vomer

Os palatin

Suture coronale

Sillons des branches des vaisseaux méningés moyens

Os pariétal

Os temporal
- Partie squameuse
- Partie pétreuse
- Méat acoustique interne

Sillon du sinus pétreux supérieur

Ouverture externe de l'aqueduc du vestibule

Sillon du sinus sigmoïde

Suture lambdoïde

Os occipital
- Sillon du sinus transverse
- Protubérance occipitale externe
- Foramen jugulaire
- Sillon du sinus pétreux inférieur
- Canal hypoglosse
- Foramen magnum
- Condyle occipital
- Partie basilaire

F. Netter M.D.
© Novartis

Os frontal

Os nasal

Ethmoïde
- Lame criblée
- Cornet nasal supérieur
- Cornet nasal moyen

Os lacrymal

Cornet nasal inférieur

Maxillaire
- Face nasale
- Processus palatin
- Processus alvéolaire

Ouverture du sinus sphénoïdal

Foramen sphéno-palatin

Sphénoïde
- Corps
- Médiale } Lames du processus
- Latérale } ptérygoïde
- Hamulus ptérygoïdien

Lame perpendiculaire } **Os palatin**
Lame horizontale }

Calvaria

Vue supérieure

- Os frontal
- Suture coronale
- Bregma
- Os pariétal
- Suture sagittale
- Foramen pariétal (pour la veine émissaire)
- Lambda
- Suture lambdoïde
- Os occipital

Vue inférieure

- Os frontal
- Crête frontale
- Sillon du sinus sagittal supérieur
- Suture coronale
- Os pariétal
- Fossettes granulaires (pour les granulations arachnoïdiennes)
- Diploé
- Sillons des branches des vaisseaux méningés moyens
- Sillon du sinus sagittal supérieur
- Suture sagittale
- Suture lambdoïde
- Os occipital

F. Netter M.D.
© Novartis

Maxillaire
- Fosse incisive
- Processus palatin
- Suture palatine médiane
- Processus zygomatique

Os zygomatique

Os frontal

Sphénoïde
- Processus ptérygoïde
  - Hamulus
  - Lame médiale
  - Fosse ptérygoïdienne
  - Lame latérale
  - Fosse scaphoïde
- Grande aile
- Foramen ovale
- Foramen épineux
- Épine

Os temporal
- Processus zygomatique
- Tubercule articulaire
- Fosse mandibulaire
- Processus styloïde
- Fissure pétro-tympanique
- Canal carotidien (ouverture externe)
- Canalicule tympanique
- Méat acoustique externe
- Canalicule mastoïdien
- Processus mastoïde
- Foramen stylo-mastoïdien
- Partie pétreuse
- Incisure mastoïdienne (pour le muscle digastrique)
- Sillon de l'artère occipitale
- Fosse jugulaire (foramen jugulaire au fond)
- Foramen mastoïdien

Os pariétal

Os occipital
- Canal hypoglosse
- Condyle occipital
- Canal et fosse condylaires
- Partie basilaire
- Tubercule pharyngien
- Foramen magnum
- Ligne nuchale inférieure
- Crête occipitale externe
- Ligne nuchale supérieure
- Protubérance occipitale externe

Suture palatine transverse

Os palatin
- Lame horizontale
- Foramen grand palatin
- Processus pyramidal
- Foramens petits palatins
- Épine nasale postérieure

Choanes

Vomer
- Aile

Sillon de la trompe auditive

Foramen déchiré

F. Netter M.D.

Base interne du crâne

Os frontal
- Sillon du sinus sagittal supérieur
- Crête frontale
- Sillon des vaisseaux méningés antérieurs
- Foramen cæcum
- Face supérieure de la partie orbitaire

Ethmoïde
- Crista galli
- Lame criblée

Sphénoïde
- Petite aile
  - Processus clinoïde antérieur
- Grande aile
  - Sillon des vaisseaux méningés moyens (rameaux frontaux)
- Corps
  - Jugum
  - Sillon pré-chiasmatique
  - Selle turcique
    - Tubercule de la selle
    - Fosse hypophysaire
    - Dos de la selle
    - Processus clinoïde postérieur
- Sillon carotidien (pour l'artère carotide interne)
- Clivus

Os temporal
- Partie squameuse
- Partie pétreuse
  - Sillon du nerf petit pétreux
  - Sillon du nerf grand pétreux
  - Éminence arquée
  - Empreinte trigéminale
  - Sillon du sinus pétreux supérieur
  - Sillon du sinus sigmoïde

Os pariétal
- Sillon des vaisseaux méningés moyens (rameaux pariétaux)
- Angle mastoïdien

Os occipital
- Clivus
- Sillon du sinus pétreux inférieur
- Partie basilaire
- Sillon des vaisseaux méningés postérieurs
- Condyle
- Sillon du sinus transverse
- Sillon du sinus occipital
- Crête occipitale interne
- Protubérance occipitale interne
- Sillon du sinus sagittal supérieur

Fosse crânienne antérieure

Fosse crânienne moyenne

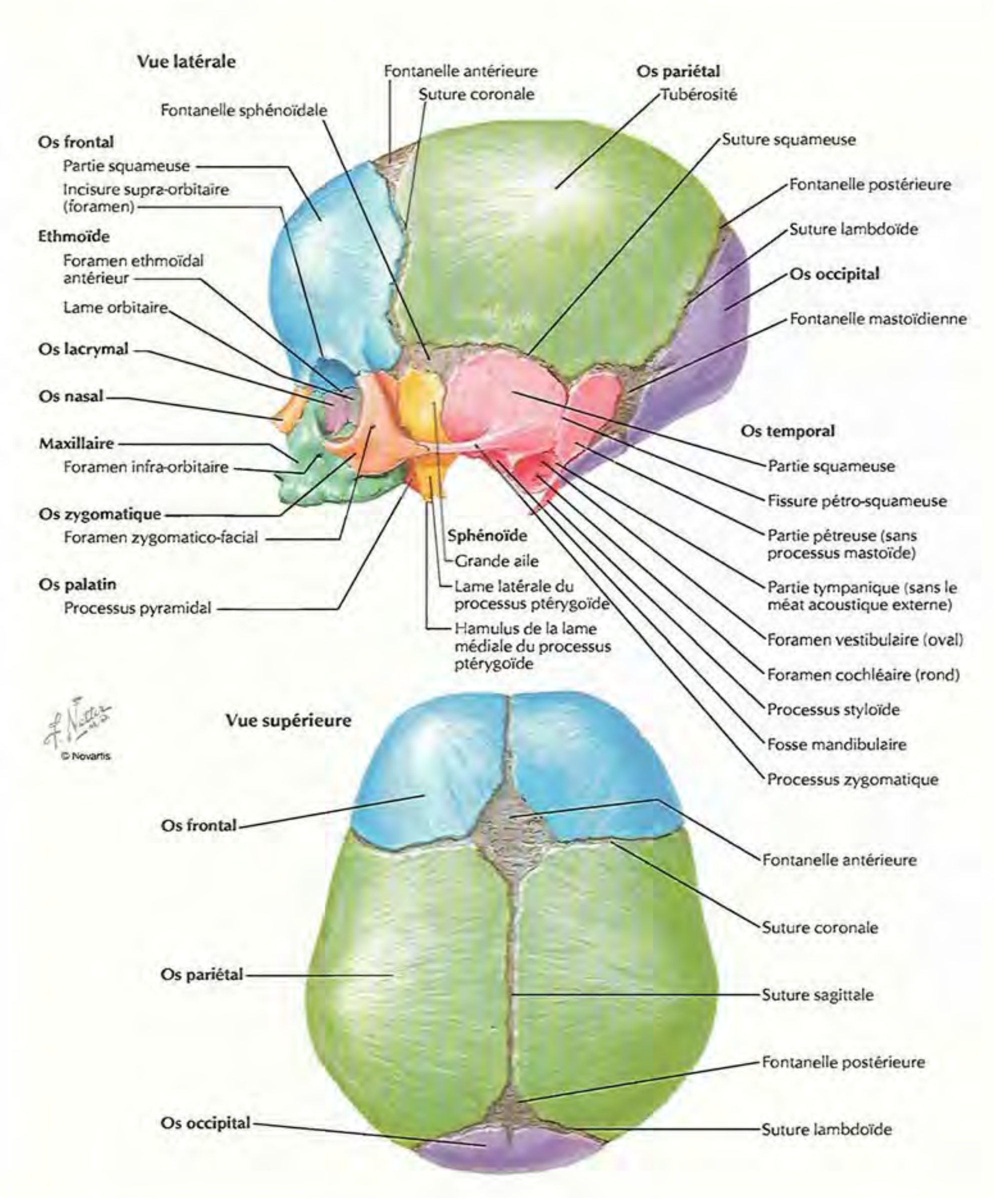
Fosse crânienne postérieure

F. Netter M.D.

Foramens de la base interne du crâne

- Foramen cæcum → Veine émissaire du sinus sagittal supérieur
- Fente nasale / Foramen ethmoïdal antérieur → Artère, veine et nerf ethmoïdaux antérieurs
- Foramens de la lame criblée → Faisceaux du nerf olfactif
- Foramen ethmoïdal postérieur → Artère, veine et nerf ethmoïdaux postérieurs
- Canal optique → Nerf optique (II); Artère ophtalmique
- Fissure orbitaire supérieure → Nerf oculo-moteur (III); Nerf trochléaire (IV); Nerfs lacrymal, frontal et naso-ciliaire du nerf ophtalmique (V_1); Nerf abducens (VI); Veine ophtalmique supérieure
- Foramen rond → Nerf maxillaire (V_2)
- Foramen ovale → Nerf mandibulaire (V_3); Artère méningée accessoire; Nerf petit pétreux (parfois)
- Foramen épineux → Artère et veine méningée moyenne; Rameau méningé du nerf mandibulaire
- Foramen veineux du sphénoïde (de Vésale) (inconstant)
- Foramen déchiré
- Canal carotidien pour → Artère carotide interne; Plexus carotidien interne
- Hiatus du nerf petit pétreux
- Hiatus du nerf grand pétreux
- Méat acoustique interne → Nerf facial (VII); Nerf vestibulo-cochléaire (VIII); Artère labyrinthique
- Ouverture externe de l'aqueduc du vestibule → Conduit endolymphatique
- Foramen mastoïdien (inconstant) → Veine émissaire (et parfois branche de l'artère occipitale)
- Foramen jugulaire → Sinus pétreux inférieur; Nerf glosso-pharyngien (IX); Nerf vague (X); Nerf accessoire (XI); Sinus sigmoïde; Artère méningée postérieure
- Canal condylaire (inconstant) → Veine émissaire et rameau méningé de l'artère pharyngienne ascendante
- Canal hypoglosse → Nerf hypoglosse (XII)
- Foramen magnum → Moelle allongée; Méninges; Artères vertébrales; Rameaux vertébraux des artères vertébrales; Racines spinales des nerfs accessoires

Crâne du nouveau-né



Os temporal
Sphénoïde
Fosse temporale
Arcade zygomatique
Processus condylaire de la mandibule
Incisure mandibulaire
Processus coronoïde de la mandibule
Lame ptérygoïdienne latérale (*en pointillé*)
Hamulus de la lame ptérygoïdienne médiale (*en pointillé*)
Raphé ptérygo-mandibulaire (*en pointillé*)
Mandibule { Branche, Angle, Corps
Ligament stylo-hyoïdien
Os hyoïde { Corps, Petite corne, Grande corne
Épiglotte
Cartilage thyroïde
Cartilage cricoïde
Trachée
Processus mastoïde
Méat acoustique externe
Atlas (C1)
Processus styloïde
Axis (C2)
Ligament stylo-mandibulaire
Vertèbre C3
Vertèbre C7
Vertèbre T1
Première côte

Épine du sphénoïde
Foramen épineux
Foramen ovale
Foramen sphéno-palatin
Fosse ptérygo-palatine
Choanes
Lame latérale, Lame médiale, Hamulus } du processus ptérygoïde
Tubérosité maxillaire
Fosse infra-temporale
Processus alvéolaire du maxillaire
Processus pyramidal de l'os palatin

F. Netter M.D.
© Novartis

Mandibule

Mandibule de l'enfant

Processus condylaire
Processus coronoïde
Tête
Fossette ptérygoïdienne
Col
Incisure mandibulaire
Lingula
Foramen mandibulaire
Sillon mylo-hyoïdien
Ligne oblique
Fosse submandibulaire
Ligne mylo-hyoïdienne
Fosse sublinguale
Septums interalvéolaires
Branche
Partie alvéolaire (crête)
Foramen mentonnier
Protubérance mentonnière
Tubercule mentonnier
Base de la mandibule
Angle
Corps

Mandibule de l'adulte : vue antéro-latérale et supérieure

Processus coronoïde
Tête
Col
Incisure mandibulaire
Fossette ptérygoïdienne
Ligne mylo-hyoïdienne
Processus condylaire
Lingula
Foramen mandibulaire
Sillon mylo-hyoïdien
Branche
Angle
Corps
Fosse submandibulaire
Fosse sublinguale
Fosse digastrique
Épines mentonnières

Mandibule de l'adulte : vue postérieure gauche

F. Netter M.D.
© Novartis

Mandibule de vieillard (édentée)

Vue latérale

Capsule articulaire
Ligament latéral (temporo-mandibulaire)
Ligament sphéno-mandibulaire
Ligament sphéno-mandibulaire (*en transparence*)
Processus styloïde
Ligament sphéno-mandibulaire

Nerf mandibulaire et ganglion otique
Capsule articulaire
Artère méningée moyenne
Nerf auriculo-temporal
Artère maxillaire
Nerf alvéolaire inférieur
Nerf lingual
Ligament sphéno-mandibulaire
Ligament stylo-mandibulaire
Branche mylo-hyoïdienne de l'artère alvéolaire inférieure et nerf mylo-hyoïdien

Vue médiale

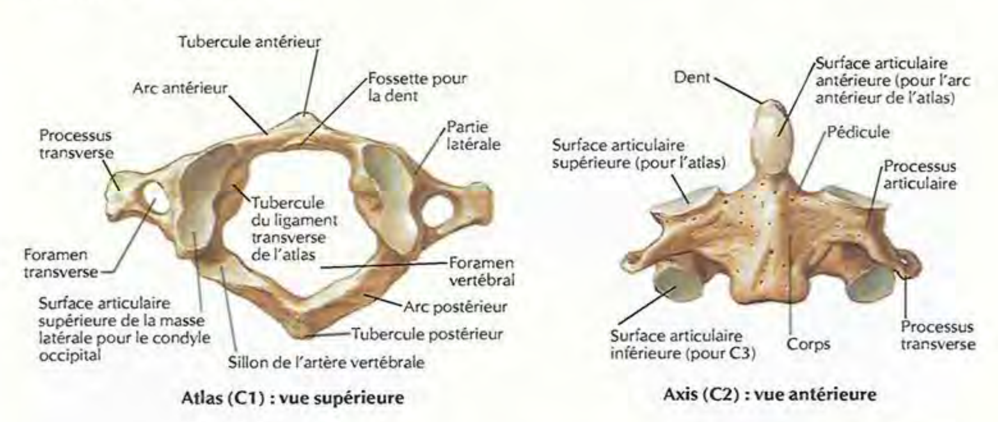
Fosse mandibulaire
Disque articulaire
Tubercule articulaire
Capsule articulaire

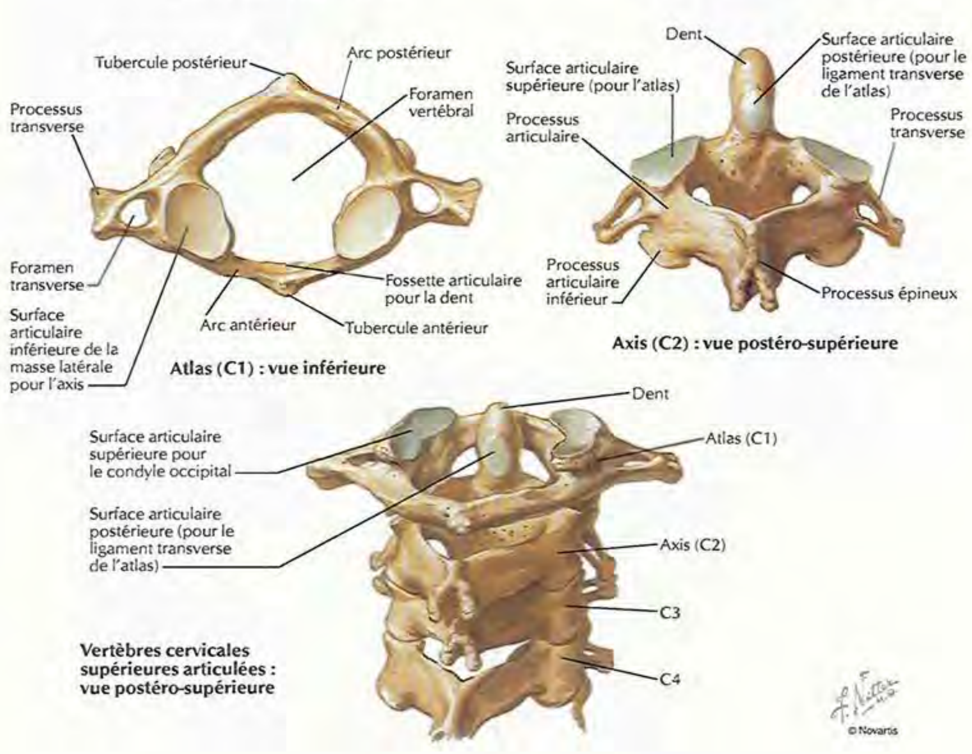
Mâchoires fermées

Mâchoires entrouvertes
(mouvement de rotation prédominant)

Mâchoires largement ouvertes
(mouvements de rotation et de glissement associés)

VOIR AUSSI LES PLANCHES 9, 142





VOIR AUSSI LES PLANCHES 9, 142

Vertèbre C4 : vue supérieure

Vertèbre C7 : vue supérieure

Vertèbres C3, C4 et C5 : vue antérieure

Vertèbres C2 à T1 : vue latérale droite

Ligaments cranio-vertébraux externes

Vue antérieure

Vue postérieure

Vue latérale droite

Ligaments cranio-vertébraux internes

Clivus (surface esquissée) de la partie basilaire de l'os occipital

Partie supérieure du canal vertébral après résection des processus épineux et d'une partie des arcs vertébraux afin de montrer les ligaments postérieurs des corps vertébraux : vue postérieure

Capsule de l'articulation atlanto-occipitale
Atlas (C1)
Capsule de l'articulation atlanto-axoïdienne latérale
Axis (C2)
Capsule de l'articulation zygapophysaire (C2-C3)
Membrane tectoriale
Ligament atlanto-axoïdien accessoire
Ligament longitudinal postérieur

Ligaments alaires
Atlas (C1)
Ligament cruciforme
- Faisceau longitudinal supérieur
- Ligament transverse de l'atlas
- Faisceau longitudinal inférieur

Axis (C2)
Ligament atlanto-axoïdien accessoire

Ligaments profonds exposés après ablation de la membrane tectoriale : vue postérieure

Ligament apical de la dent
Ligament alaire
Surface articulaire postérieure de la dent (pour le ligament transverse de l'atlas)
Atlas (C1)
Axis (C2)

Ligament cruciforme réséqué pour montrer les ligaments profonds : vue postérieure

Tubercule antérieur de l'atlas
Ligament alaire
Cavités synoviales
Dent
Ligament transverse de l'atlas

Articulation atlanto-axoïdienne médiane : vue supérieure

F. Netter M.D.
© Novartis

Articulation atlanto-occipitale

Artère vertébrale
Bord postérieur du foramen magnum
Membrane atlanto-occipitale postérieure
Arc postérieur de l'atlas (C1)
Ligament nuchal
Membrane atlanto-axoïdienne postérieure
Processus épineux de l'axis (C2)
Ligament jaune
Canal hypoglosse
Membrane tectoriale
Ligament apical
Faisceau longitudinal supérieur du ligament cruciforme de l'atlas
Membrane atlanto-occipitale antérieure
Arc antérieur de l'atlas (C1)
Cavité articulaire
Dent de l'axis (C2) (processus odontoïde)
Ligament transverse de l'atlas
Faisceau longitudinal inférieur du ligament cruciforme de l'atlas
Ligament longitudinal antérieur
Ligament longitudinal postérieur

Épine nasale postérieure du palais osseux
Point déclive de l'occipital

Ligne de McGregor, unissant l'épine nasale postérieure du palais osseux au point déclive de l'occipital. Mesuré sur une radiographie de profil, l'apex de la dent dépasse, habituellement, cette ligne de 1,32 mm, avec une déviation standard de ± 2,6 mm. Un dépassement de l'apex > 4,5 mm est un risque de compression basilaire.

F. Netter M.D.
© Novartis

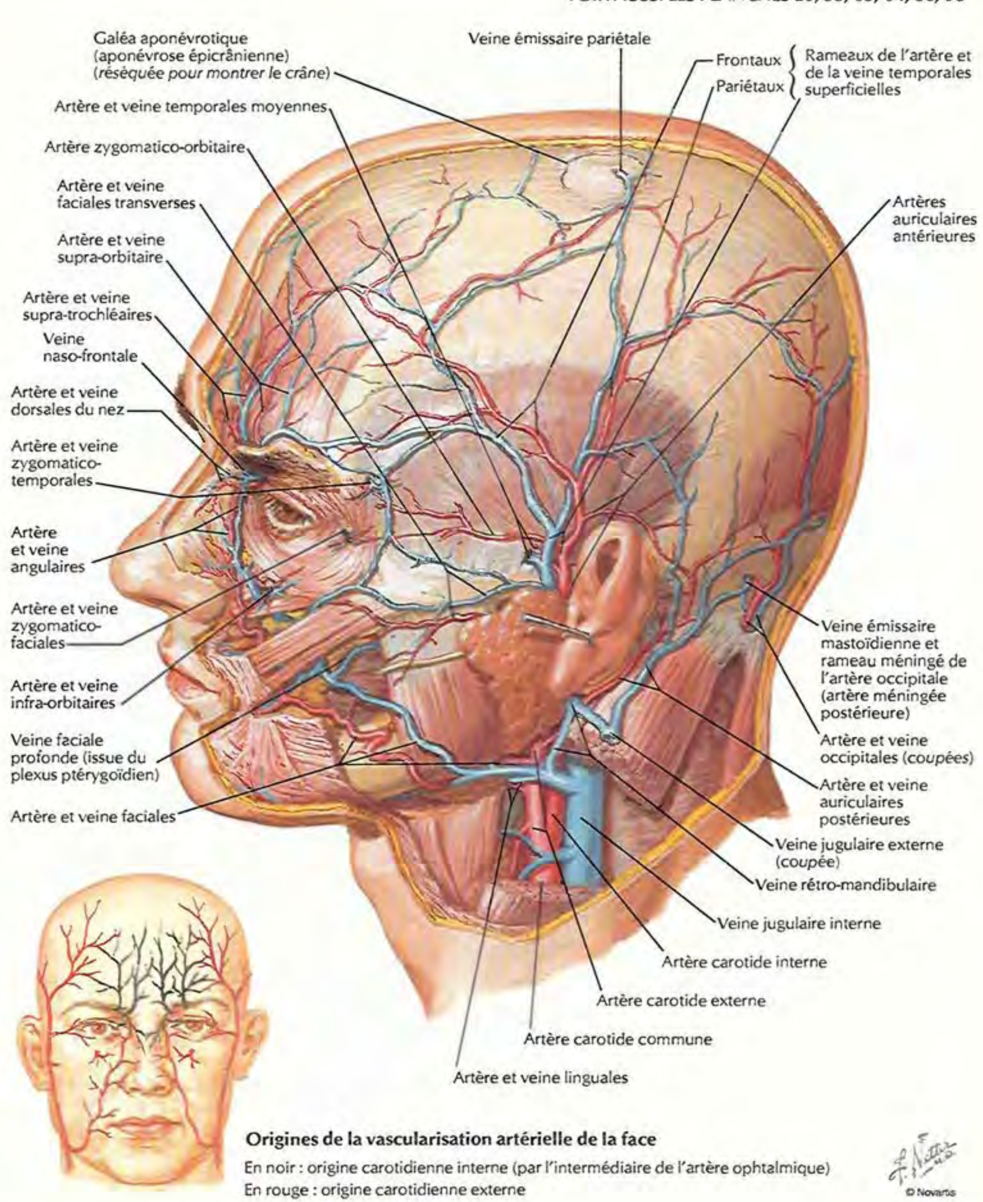
Anomalies de la dent, fréquemment associées à des dysplasies osseuses comme dans les syndromes de Klippel-Feil, de Down ou de Morquio

Hypoplasie de la dent (processus odontoïde)

Os odontoïde avec union fibreuse et canal vertébral étroit au cours de l'extension de la tête

Artères et veines superficielles de la face et du cuir chevelu

VOIR AUSSI LES PLANCHES 29, 35, 63, 64, 80, 98



Origines de la vascularisation artérielle de la face

En noir : origine carotidienne interne (par l'intermédiaire de l'artère ophtalmique)

En rouge : origine carotidienne externe

Nerfs cutanés de la tête et du cou

VOIR AUSSI LES PLANCHES 27, 31, 40, 41, 116

Branches du nerf ophtalmique (V_1)
- Nerf supra-orbitaire
- Nerf supra-trochléaire
- Rameau palpébral du nerf lacrymal
- Nerf infra-trochléaire
- Rameau nasal externe du nerf ethmoïdal antérieur

Branches du nerf maxillaire (V_2)
- Nerf infra-orbitaire
- Nerf zygomatico-facial
- Nerf zygomatico-temporal

Branches du nerf mandibulaire (V_3)
- Nerf mentonnier
- Nerf buccal
- Nerf auriculo-temporal

Rameau auriculaire du nerf vague (X)

Branches médiales des rameaux dorsaux des nerfs spinaux cervicaux
- Grand nerf occipital (C2)
- 3e nerf occipital (C3)
- Rameaux issus des nerfs spinaux C4 à C8

Branches du plexus cervical
- Petit nerf occipital (C2, C3)
- Grand nerf auriculaire (C2, C3)
- Nerf cervical transverse (C2, C3)
- Nerf supraclaviculaire (C3, C4)

Nerf trijumeau (V)
- **Nerf ophtalmique (V_1)**
- **Nerf maxillaire (V_2)**
- **Nerf mandibulaire (V_3)**

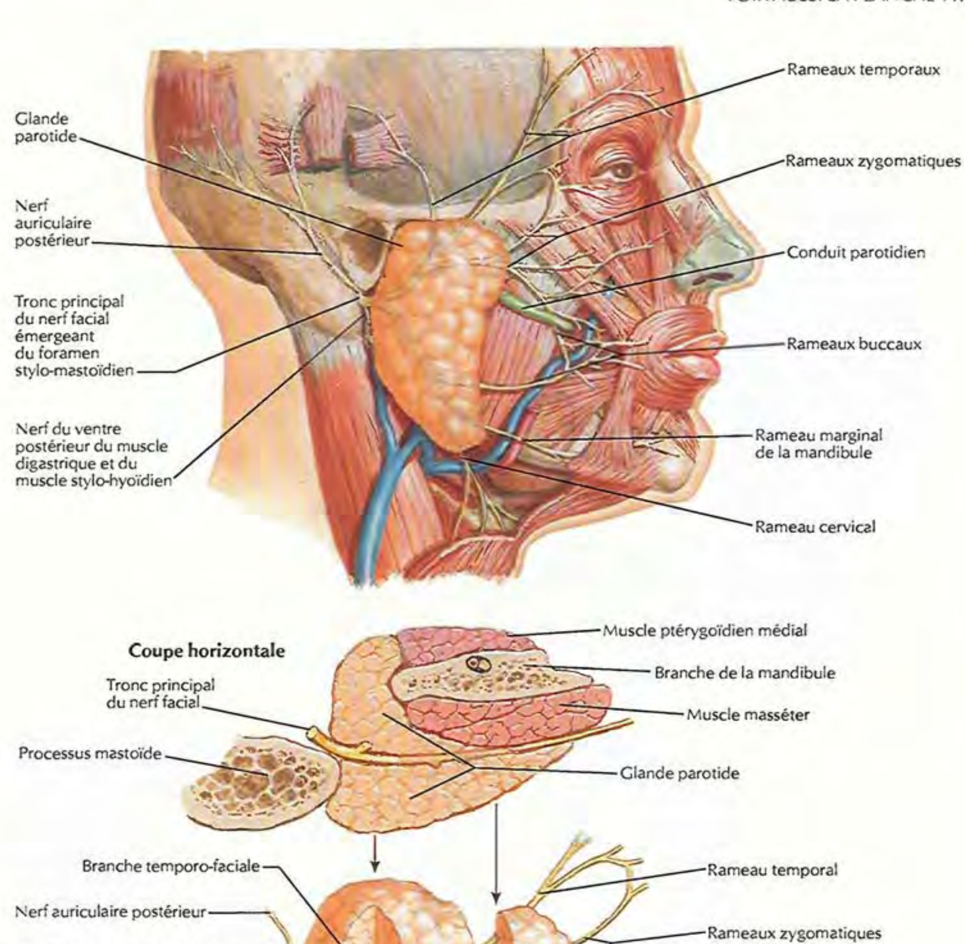
Rameaux dorsaux des nerfs spinaux cervicaux

Note : rameau auriculaire du nerf vague destiné au méat acoustique externe et une petite aire de la face postéro-médiale de l'auricule

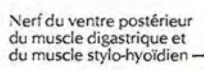
Rameaux du plexus cervical

Branches du nerf facial et glande parotide

VOIR AUSSI LA PLANCHE 117



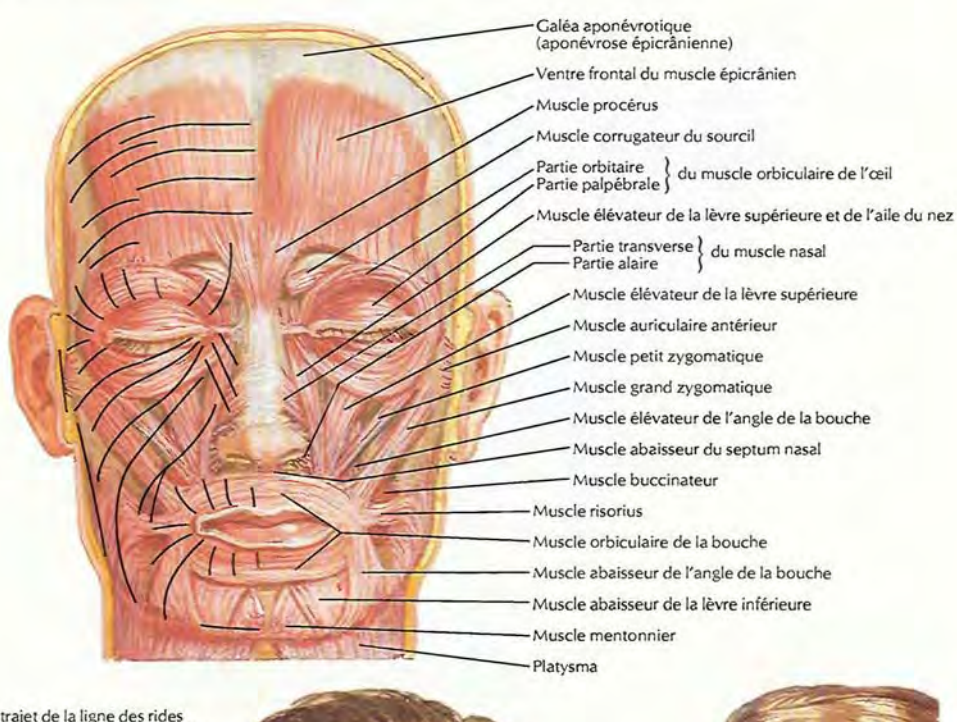






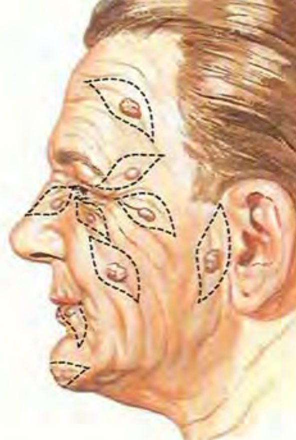
Muscles de la mimique : vue antérieure

VOIR AUSSI LA PLANCHE 48



Le trajet de la ligne des rides est perpendiculaire à la direction des fibres des muscles de la face. Les incisions elliptiques pour les extractions des tumeurs de la peau suivent la direction des lignes des rides.





Muscles de la mimique : vue latérale

Galéa aponévrotique (aponévrose épicrânienne)
Fascia temporal
Muscle auriculaire antérieur
Muscle auriculaire supérieur
Muscle auriculaire postérieur
Muscle orbiculaire de l'œil { Partie orbitaire / Partie palpébrale
Ventre frontal du muscle épicrânien (muscle frontal)
Ventre occipital du muscle épicrânien (occipital)
Muscle corrugateur du sourcil (après résection partielle des muscles frontal et orbiculaire de l'œil)
Muscle procérus
Muscle élévateur de la lèvre supérieure
Muscle élévateur de la lèvre supérieure et de l'aile du nez (*en partie réséqué*)
Muscle nasal { Partie transverse / Partie alaire
Fascia parotidien
Muscle abaisseur du septum nasal
Fascia massétérique
Muscle orbiculaire de la bouche
Muscle petit zygomatique
Lame superficielle du fascia cervical
Muscle grand zygomatique
Muscle orbiculaire de la bouche
Muscle mentonnier
Fascia deltoïde
Muscle abaisseur de la lèvre inférieure
Muscle abaisseur de l'angle de la bouche
Muscle buccinateur
Muscle risorius
Platysma
Sternum
Clavicule
Fascia du grand pectoral

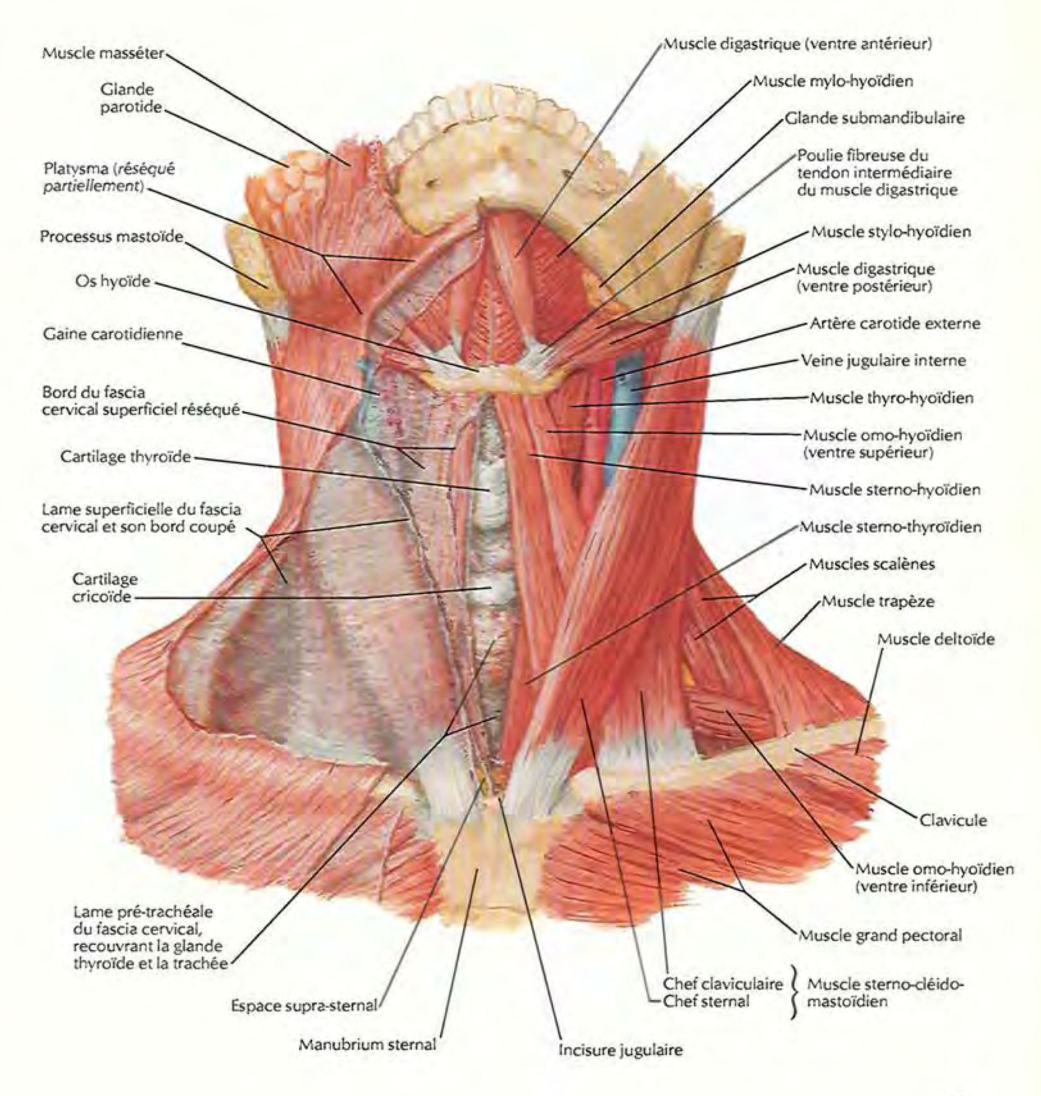
F. Netter M.D.
© Novartis
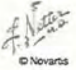
Muscles du cou : vue latérale

Glande parotide (coupée)
Muscle masséter
Branche de la mandibule
Glande submandibulaire
Muscle stylo-glosse
Muscle hyoglosse
Muscle mylo-hyoïdien
Processus mastoïde
Processus styloïde
Muscle stylo-hyoïdien
Muscle digastrique (ventre postérieur)
Corps de la mandibule
Muscle constricteur moyen du pharynx
Muscle digastrique (ventre antérieur)
Muscle long de la tête
Muscle splénius de la tête
Muscle sterno-cléido-mastoïdien
Os hyoïde
Muscle élévateur de la scapula
Muscle thyro-hyoïdien
Muscle omo-hyoïdien (ventre supérieur)
Muscles scalènes { Postérieur / Moyen / Antérieur
Muscle sterno-thyroïdien
Plexus brachial
Muscle constricteur inférieur du pharynx
Muscle trapèze
Acromion
Muscle sterno-hyoïdien
Muscle deltoïde
Muscle omo-hyoïdien (ventre inférieur)
Manubrium sternal
Clavicule
Chef sternal / Chef claviculaire } Muscle sterno-cléido-mastoïdien
Muscle grand pectoral

F. Netter M.D.
© Novartis

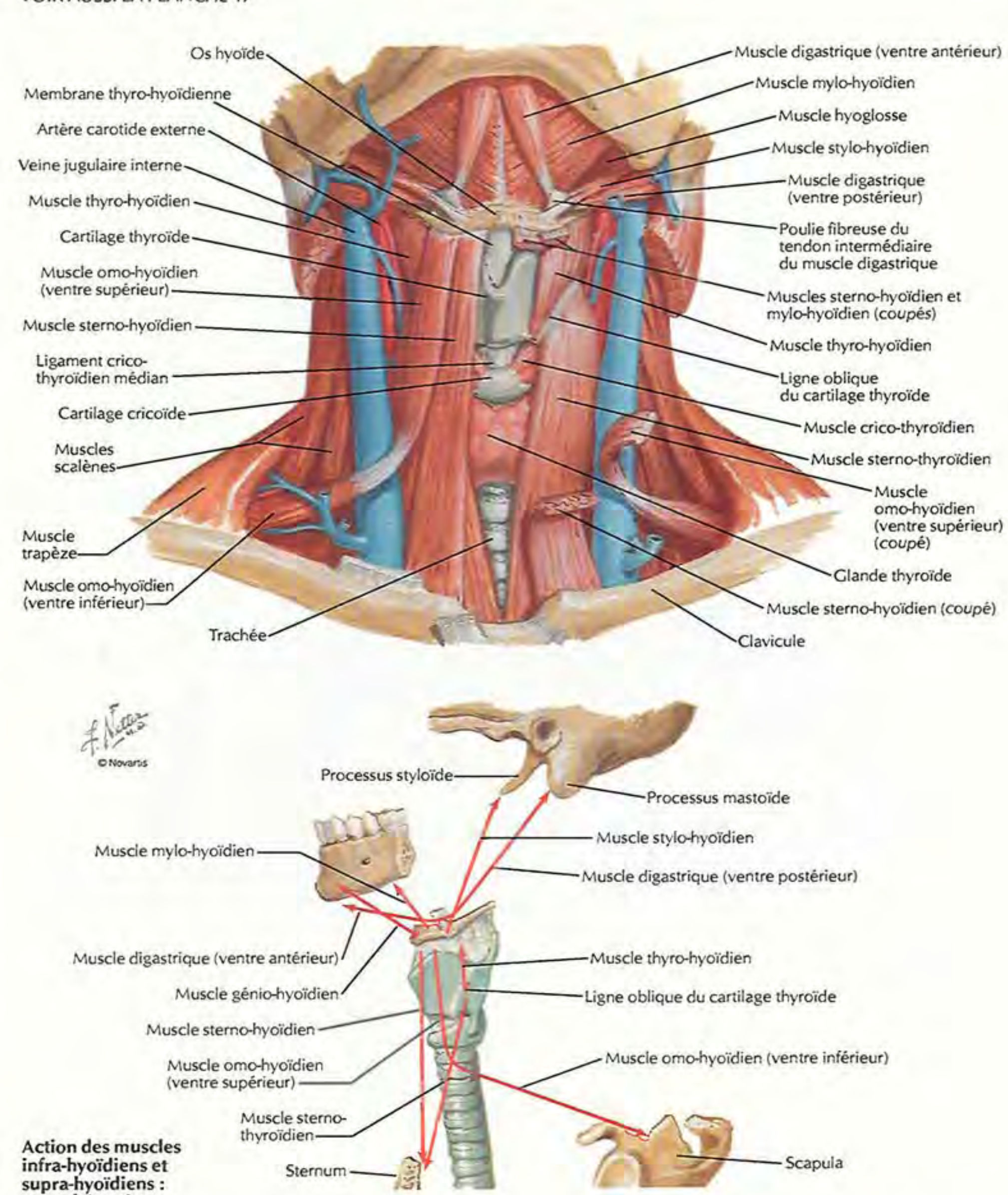
Muscles du cou : vue antérieure





Muscles infra-hyoïdiens et supra-hyoïdiens

VOIR AUSSI LA PLANCHE 47



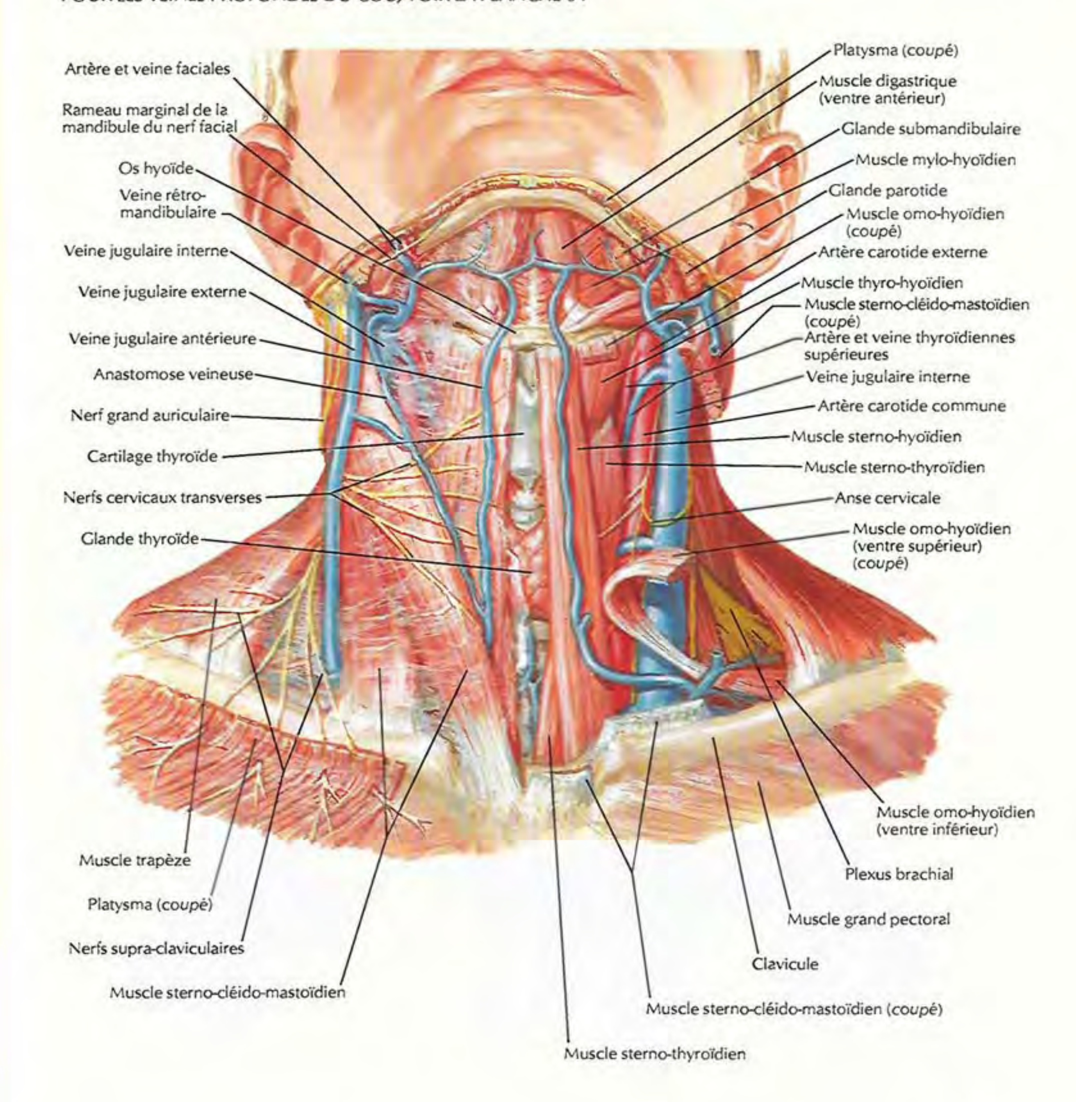
Action des muscles infra-hyoïdiens et supra-hyoïdiens : vue schématique

Muscles scalènes et pré-vertébraux

Partie basilaire de l'os occipital
Muscle long de la tête (*coupé*)
Condyle occipital
Muscle droit antérieur de la tête
Muscle droit latéral de la tête
Processus jugulaire de l'os occipital
Processus mastoïde
Processus styloïde
Processus transverse de l'atlas (C1)
Muscle long de la tête
Antérieur
Postérieur
Tubercule du processus transverse de la vertèbre C3
Tubercule postérieur du processus transverse de l'axis (C2)
Muscle long du cou
Moignon d'origine du muscle scalène antérieur
Moignon d'origine du muscle scalène postérieur
Muscles scalènes: Antérieur, Moyen, Postérieur
Muscle scalène moyen
Muscle scalène postérieur
Muscle scalène antérieur (*coupé*)
Nerf phrénique
Plexus brachial
© Novartis
Première côte
Artère subclavière
Veine subclavière
Veine jugulaire interne
Artère carotide commune
Tubercule postérieur du processus transverse de la vertèbre C7

Veines superficielles et nerfs cutanés du cou

POUR LES VEINES PROFONDES DU COU, VOIR LA PLANCHE 64





Plexus cervical in situ

VOIR AUSSI LES PLANCHES 121, 122, 123, 182

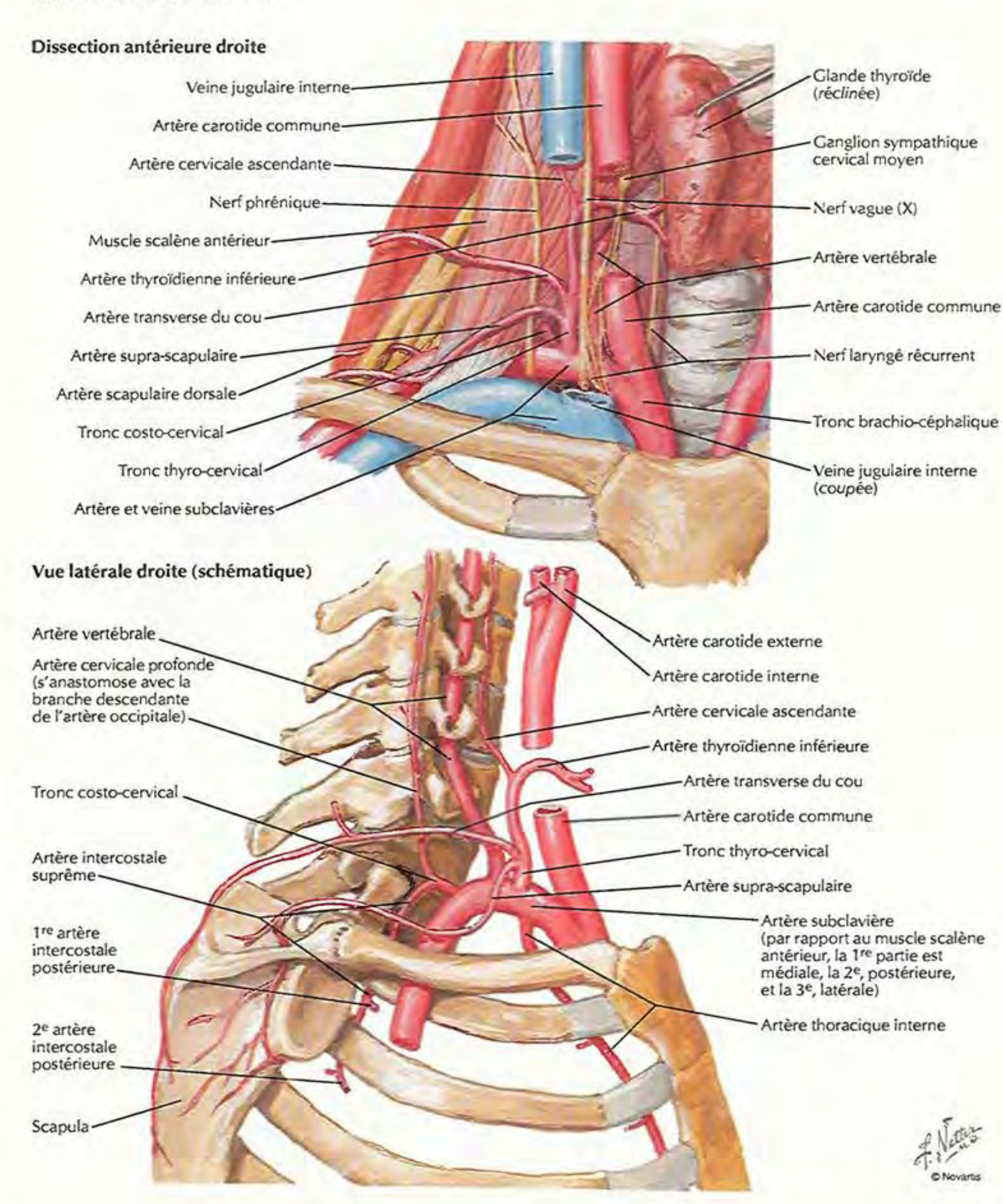
Glande parotide
Artère et veine faciales
Glande submandibulaire
Muscle mylo-hyoïdien
Nerf hypoglosse (XII)
Muscle digastrique (ventre antérieur)
Artère linguale
Artère carotide externe
Artère carotide interne
Muscle thyro-hyoïdien
Artère thyroïdienne supérieure
Muscle omo-hyoïdien (ventre supérieur) (coupé)
Anse cervicale { Racine supérieure / Racine inférieure
Muscle sterno-hyoïdien
Muscle sterno-thyroïdien
Veine jugulaire interne
Artère carotide commune
Artère thyroïdienne inférieure
Nerf vague (X)
Artère vertébrale
Tronc thyro-cervical
Artère et veine subclavières
Nerf grand auriculaire
Nerf petit occipital
Muscle sterno-cléido-mastoïdien (*coupé et récliné*)
Muscle stylo-hyoïdien
Muscle digastrique (ventre postérieur)
Nerf spinal C2 (rameau ventral)
Nerf accessoire (XI)
Nerf spinal C3 (rameau ventral)
Muscle élévateur de la scapula
Muscle scalène moyen
Muscle scalène antérieur
Nerf spinal C5 (rameau ventral)
Artère transverse du cou
Nerf phrénique
Muscle omo-hyoïdien (ventre inférieur) (coupé)
Plexus brachial
Artère scapulaire dorsale
Artère supra-scapulaire

Plexus cervical schématique
(S = rameau communicant gris du ganglion sympathique cervical supérieur)

Nerf hypoglosse (XII)
S
C1
C2
C3
C4
Nerf accessoire (XI)
Nerf grand auriculaire
Nerf petit occipital
Nerf du muscle génio-hyoïdien
Nerf du muscle thyro-hyoïdien
Nerfs des muscles droit latéral de la tête, long de la tête et droit antérieur de la tête
Rameau communicant avec le nerf vague
Nerfs transverses du cou
Nerfs du muscle omo-hyoïdien (ventre supérieur)
Anse cervicale { Racine supérieure / Racine inférieure
Nerfs des muscles long de la tête et long du cou
Nerf du muscle sterno-thyroïdien
Nerf du muscle sterno-hyoïdien
Nerf du muscle omo-hyoïdien (ventre inférieur)
Nerfs supra-claviculaires
Nerf phrénique
Nerf des muscles scalène et élévateur de la scapula

Artère subclavière

VOIR AUSSI LA PLANCHE 398



Artères carotides

VOIR AUSSI LES PLANCHES 130, 131

Espace parotidien (loge) : dissection latérale droite

Artère temporale superficielle
Artère transverse de la face
Artère maxillaire
Artère carotide externe
Artère auriculaire postérieure
Nerf glosso-pharyngien (IX)
Muscle stylo-hyoïdien
Nerf hypoglosse (XII)
Artère faciale
Artère linguale
Muscle mylo-hyoïdien
Muscle hyo-glosse
Muscle digastrique (ventre antérieur)
Os hyoïde
Nerf du muscle thyro-hyoïdien (issu de l'anse cervicale)
Artère laryngée supérieure
Artère thyroïdienne supérieure
Artère carotide externe
Artère carotide commune
Processus mastoïde
Processus styloïde
Nerf facial (VII) (*coupé*)
Muscle sterno-cléido-mastoïdien (*coupé*)
Muscle digastrique (ventre postérieur) (*coupé*)
Artère occipitale et rameau sterno-cléido-mastoïdien
Nerf accessoire (XI)
Anse cervicale { Racine supérieure / Racine inférieure
Nerf vague (X)
Artère pharyngienne ascendante
Rameau carotidien du nerf glosso-pharyngien (IX) et glomus carotidien
Artère carotide interne
Veine jugulaire interne

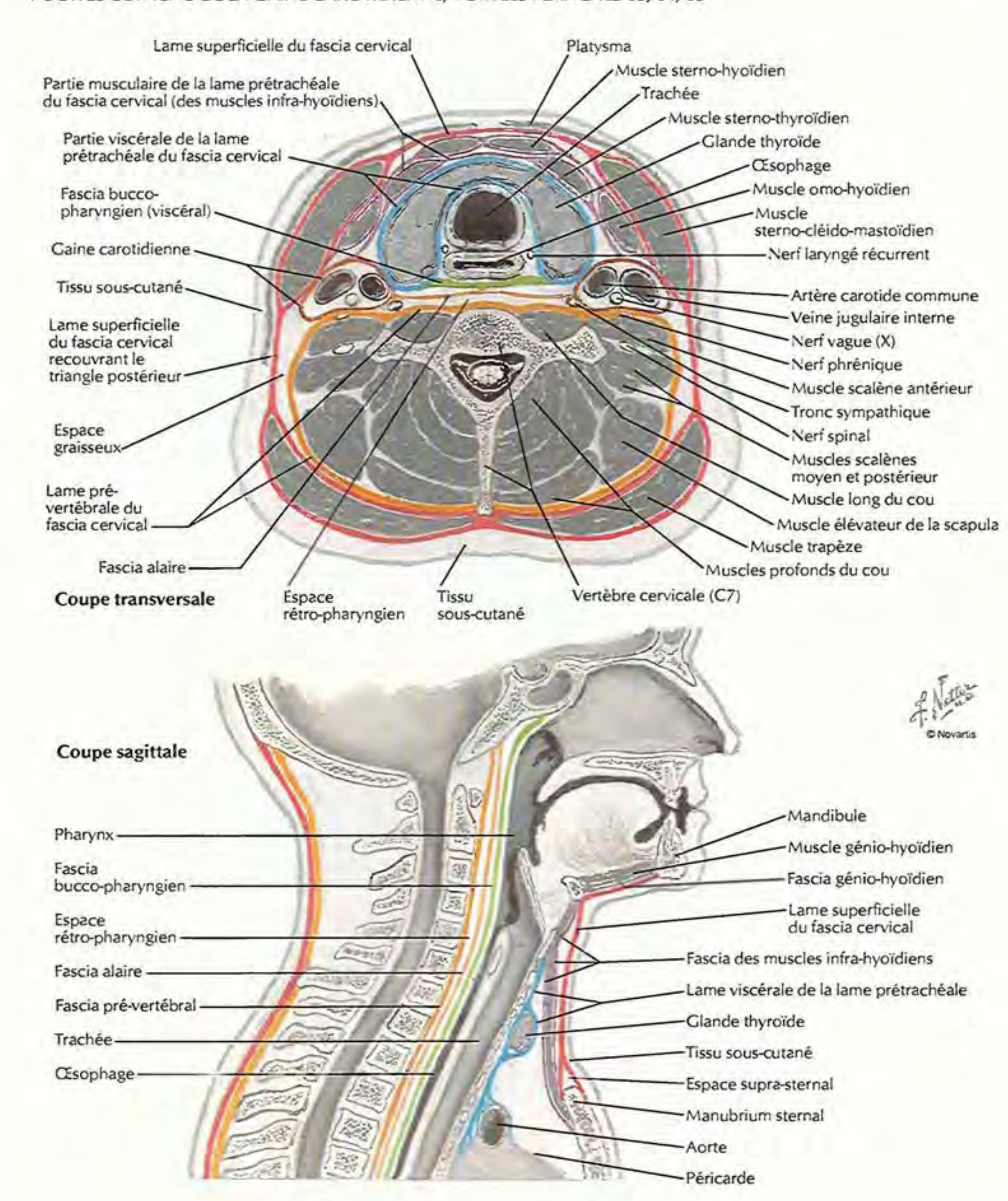
Branche de l'artère carotide externe : schéma

Artère temporale superficielle
Muscle digastrique (*en transparence*)
Artère occipitale
Branche descendante
Branche sterno-cléido-mastoïdienne
Artère carotide interne
Artère carotide externe
Artère carotide commune
Tronc thyro-cervical
Artère transverse de la face
Artère maxillaire
Artère auriculaire postérieure
Artère faciale
Artère linguale
Artère pharyngienne ascendante
Artère thyroïdienne supérieure et sa branche laryngée supérieure
Muscle omo-hyoïdien (*en transparence*)

F. Netter

Fascias du cou

POUR LE CONTENU DE LA GAINE CAROTIDIENNE, VOIR LES PLANCHES 63, 64, 65



Vue antéro-latérale

Vue inférieure

Vue par le spéculum

Paroi latérale de la cavité nasale (suite)

VOIR AUSSI LA PLANCHE 3

Os lacrymal
Cornet nasal moyen
Processus unciné
Lame criblée
Cornet nasal supérieur
Cornet nasal suprême
Ethmoïde
Os frontal
Partie squameuse
Sinus
Épine nasale
Os nasal
Récessus sphéno-ethmoïdal
Foramen sphéno-palatin
Agger nasi
Partie basilaire de l'os occipital
Cartilage nasal latéral
Grand cartilage alaire
Tissu fibro-adipeux alaire
Sinus sphénoïdal
Lames médiale et latérale du processus ptérygoïde
Hamulus ptérygoïdien
Sphénoïde
Maxillaire
Processus frontal
Épine nasale antérieure
Canal incisif
Processus palatin
Processus alvéolaire
Cornet nasal inférieur
Processus sphénoïde
Processus orbitaire
Épine nasale postérieure
Lame perpendiculaire
Lame horizontale
Os palatin

Bulle ethmoïdale
Sinus frontal
Ouverture des cellules ethmoïdales moyennes
Ouverture du canal naso-frontal
Cornet nasal supérieur (*réséqué*)
Cornet nasal moyen (*réséqué*)
Ouvertures des cellules ethmoïdales postérieures
Ouverture du sinus sphénoïdal
Infundibulum prolongeant le canal naso-frontal
Ouvertures du sinus maxillaire
Foramen sphéno-palatin
Hiatus semi-lunaire et ouvertures des cellules ethmoïdales antérieures
Processus unciné
Cornet nasal inférieur (*réséqué*)
Processus ethmoïdal du cornet nasal inférieur
Foramen petit palatin
Ouverture du canal lacrymo-nasal
Foramen grand palatin

Paroi médiale de la cavité nasale (septum nasal)

Faux du cerveau
Sinus frontal
Lame criblée de l'ethmoïde
Sinus sphénoïdal
Dure-mère
Selle turcique
Septum nasal
Choanes
Cartilage nasal latéral
Grand cartilage alaire
Vestibule nasal
Épine nasale antérieure
Canal incisif
Cavité orale
Langue
Voile du palais

Crista galli
Lame criblée
Lame perpendiculaire
Ethmoïde
Os frontal
Partie squameuse
Sinus
Épine nasale
Os nasal
Crête
Corps
Sinus sphénoïdal
Lame médiale
Lame latérale du processus ptérygoïde
Sphénoïde
Vomer
Sillon du vomer (pour les vaisseaux et le nerf naso-palatins)
Cartilage septal
Partie basilaire de l'os occipital
Grand cartilage alaire (branche médiale)
Tubercule pharyngien
Lame perpendiculaire
Crête nasale
Épine nasale postérieure
Lame horizontale
Foramen petit palatin
Os palatin
Maxillaire
Épine nasale antérieure
Crête nasale
Canal incisif
Processus palatin
Foramen grand palatin

Artère maxillaire

VOIR AUSSI LA PLANCHE 29

Artère et muscle ptérygoïdiens latéraux
Artère supra-orbitaire
Artère supra-trochléaire
Artère ophtalmique
Artère dorsale du nez
Artère angulaire
Artère infra-orbitaire
Artères alvéolaires supérieures { Postérieure, Moyenne, Antérieure
Artère et nerf buccaux
Artère et muscle ptérygoïdiens médiaux
Raphé ptérygo-mandibulaire
Nerf lingual
Artère faciale
Artère mentonnière
Artère submentonnière
Antérieurs, Postérieurs } Artères et nerfs temporaux profonds
Artère et nerf massétériques
Ligament latéral de l'articulation temporo-mandibulaire
Artère méningée moyenne
Nerf auriculo-temporal
Artère maxillaire
Artère temporale superficielle
Artère auriculaire postérieure
Nerf facial
Artère et nerf alvéolaires inférieurs
Ligament sphéno-mandibulaire
Nerf mylo-hyoïdien et branche de l'artère alvéolaire inférieure
Muscle digastrique (ventre postérieur)
Muscle stylo-hyoïdien
Artère carotide externe
Artère faciale
Artère linguale

Artère sphéno-palatine
Artère nasale postéro-latérale
Artère infra-orbitaire
Artère alvéolaire postéro-supérieure
Artère sphéno-palatine
Rameaux septaux postérieurs
Artère palatine descendante dans la fosse ptérygo-palatine
Artère buccale
Anastomose dans le canal incisif
Artères grandes palatines droite et gauche
Artères petites palatines droite et gauche
Artère du canal ptérygoïdien
Artère pharyngienne
Foramen sphéno-palatin
Antérieurs, Postérieurs } Artères et nerfs temporaux profonds
Artère méningée accessoire
Artère méningée moyenne
Artère tympanique antérieure
Artère auriculaire profonde
Nerf auriculo-temporal
Artère temporale superficielle
Artère pharyngienne ascendante
Artère palatine ascendante
Rameaux tonsillaires
Artère tonsillaire
Artère carotide externe
Artère faciale
Muscle constricteur supérieur du pharynx
Muscle stylo-glosse
Artères ptérygoïdiennes
Artère massétérique
Artère alvéolaire inférieure

F. Netter M.D.

Artères de la cavité nasale

Branche du septum nasal de l'artère labiale supérieure (de l'artère faciale)
Septum nasal (*relevé*)
Charnière schématique
Anastomose entre le rameau septal de l'artère sphéno-palatine et l'artère grande palatine dans le canal incisif
Rameaux septal et nasal latéral de l'artère ethmoïdale postérieure
Rameau septal antérieur
Rameau nasal antéro-latéral
Rameau nasal externe de l'artère ethmoïdale antérieure
Rameau septal postérieur de l'artère sphéno-palatine
Artère sphéno-palatine
Foramen sphéno-palatin
Rameaux alaires de l'artère nasale latérale (de l'artère faciale)
Rameaux nasaux postéro-latéraux de l'artère sphéno-palatine
Artère maxillaire
Artère carotide externe
Anastomose entre la branche septale postérieure de l'artère sphéno-palatine et l'artère grande palatine dans le canal incisif
Foramen petit palatin et artère petite palatine
Artère grande palatine
Foramen grand palatin et artère grande palatine
Paroi latérale de la cavité nasale

F. Netter M.D.

Nerfs de la cavité nasale

VOIR AUSSI LES PLANCHES 39, 40, 113

Septum nasal (*relevé*)

Charnière schématique

Rameau nasal interne médial
Rameau nasal interne latéral
Rameau nasal externe du nerf ethmoïdal antérieur (V_1)

Rameaux nasaux internes du nerf infra-orbitaire (V_2)

Rameau nasal du nerf alvéolaire supéro-antérieur (V_2)

Anastomose entre les nerfs grand palatin et naso-palatin dans le canal incisif

Paroi latérale de la cavité nasale

Nerfs olfactifs (I)

Canal incisif

Nerf naso-palatin (V_2)

Foramen sphéno-palatin (*réséqué*)

Ganglion ptérygo-palatin

Nerf du canal ptérygoïdien (Vidien)

Rameaux nasaux latéraux supéro-postérieurs du nerf maxillaire (V_2)

Nerfs grand et petit palatins (V_2)

Rameaux nasaux latéraux inféro-postérieurs du nerf grand palatin (V_2)

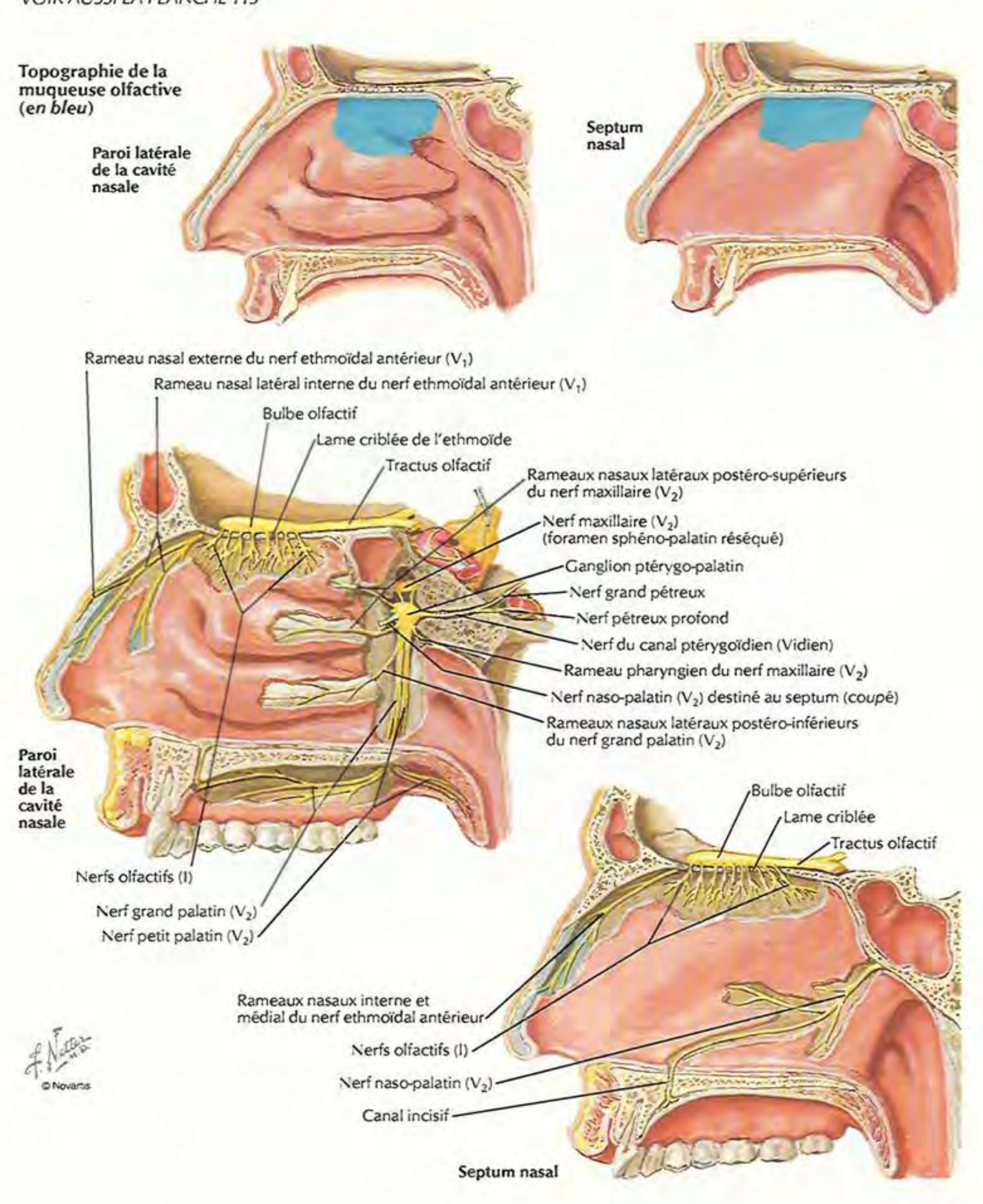
Nerfs petits palatins (V_2)

Nerf grand palatin (V_2)

F. Netter M.D.

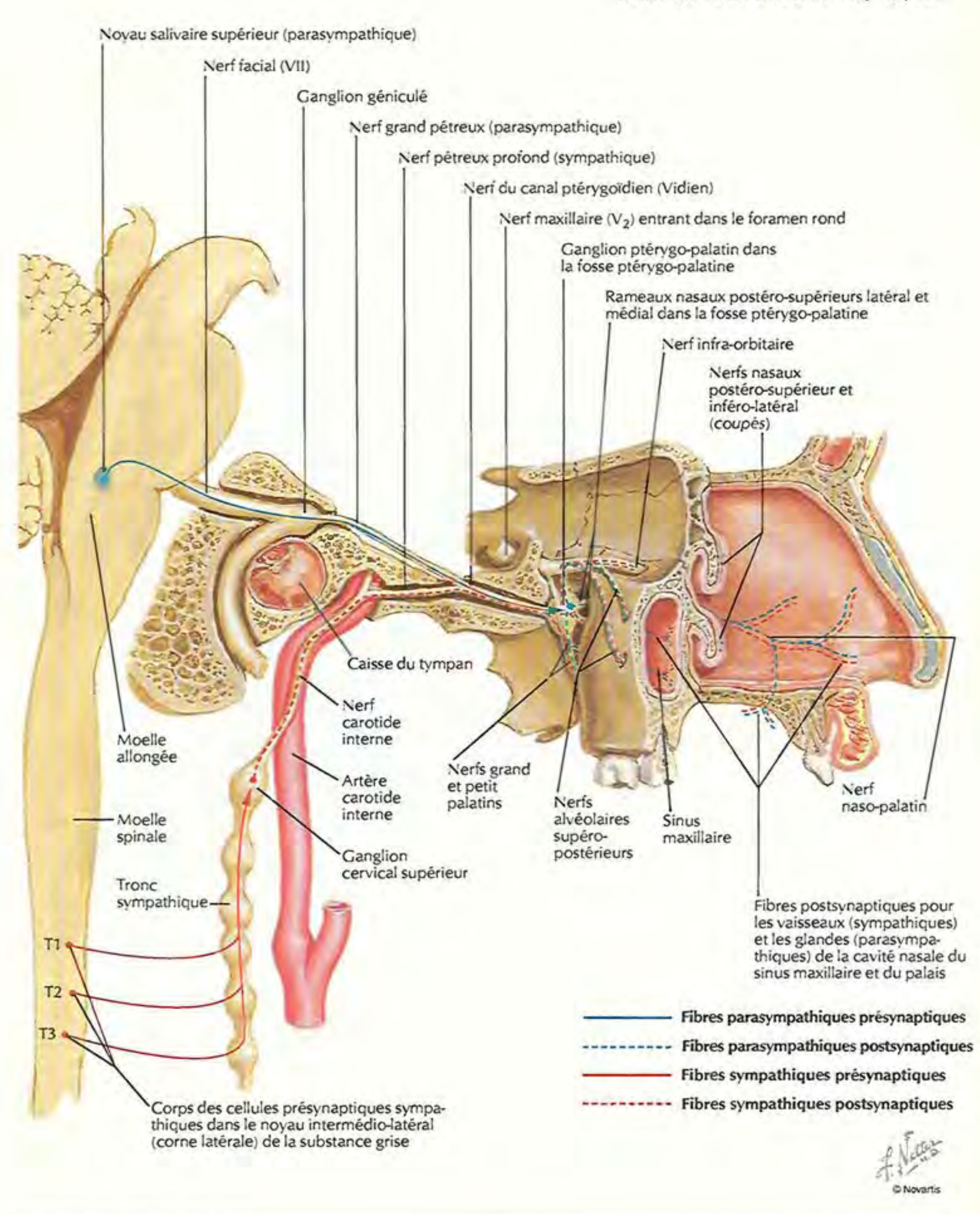
Nerfs de la cavité nasale (suite)

VOIR AUSSI LA PLANCHE 113



Innervation autonome de la cavité nasale

VOIR AUSSI LES PLANCHES 116, 125, 127



Nerfs ophtalmique (V_1) et maxillaire (V_2)

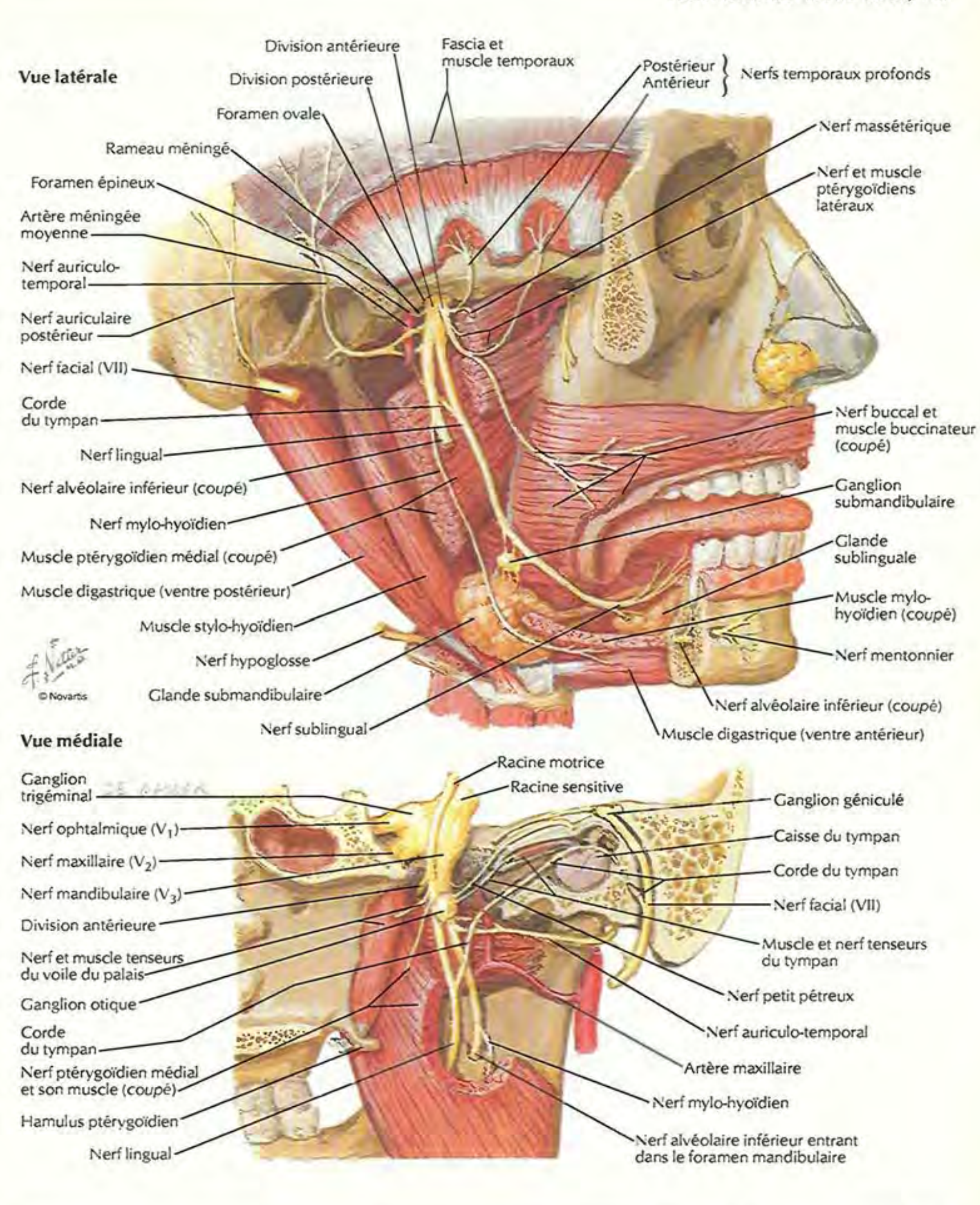
VOIR AUSSI LA PLANCHE 116

Rameau communicant
Nerf ethmoïdal antérieur
Nerf ethmoïdal postérieur
Nerf supra-orbitaire
Nerfs ciliaires longs et courts
Nerf supra-trochléaire
Glande lacrymale
Ganglion ciliaire
Nerf infra-trochléaire (branche du nerf naso-ciliaire)
Nerf lacrymal
Nerf naso-ciliaire
Rameau cutané du nerf lacrymal
Nerf frontal
Nerf zygomatico-temporal
Rameau tentoriel
Nerf zygomatico-facial
Nerf ophtalmique (V_1)
Rameau nasal externe du nerf ethmoïdal antérieur
Ganglion trigéminal
Nerf trijumeau (V)
Rameau méningé
Foramen rond
Nerf infra-orbitaire
Foramen ovale
Nerf alvéolaire supéro-antérieur
Nerf mandibulaire (V_3)
Rameau nasal
Nerf maxillaire (V_2)
Membrane muqueuse du sinus maxillaire
Nerf zygomatique
Nerf du canal ptérygoïdien (Vidien)
Rameaux dentaires et gingivaux
Ganglion ptérygo-palatin
Plexus dentaire supérieur
Nerfs grand et petit palatins
Nerf infra-orbitaire entrant dans le canal infra-orbitaire
Rameaux ganglionnaires du ganglion ptérygo-palatin
Nerf alvéolaire supéro-moyen
Nerf alvéolaire supéro-postérieur

F. Netter M.D.

Nerf mandibulaire (V_3)

VOIR AUSSI LES PLANCHES 65, 116



Sinus paranasaux

Coupe coronale

Bulbes olfactifs
Faux du cerveau
Sinus frontal
Cerveau
Corps adipeux de l'orbite
Cavités nasales
Septum nasal
Cellules ethmoïdales
Cornet nasal moyen
Ouverture du sinus maxillaire
Méat nasal moyen
Infra-orbitaire
Zygomatique
Alvéolaire
Récessus du sinus maxillaire
Sinus maxillaire
Méat nasal inférieur
Muscle buccinateur
Cornet nasal inférieur
Processus alvéolaire du maxillaire
Corps de la langue
Palais dur
Glande sublinguale
Cavité orale
Corps de la mandibule

© Novartis

Cavités nasales
Bulbe oculaire
Septum nasal
Cellules ethmoïdales
Paroi médiale de l'orbite
Corps adipeux et muscles orbitaires
Nerf optique (II)
Sinus sphénoïdaux
Cerveau
Chiasma optique

Coupe horizontale

Sinus paranasaux (suite)

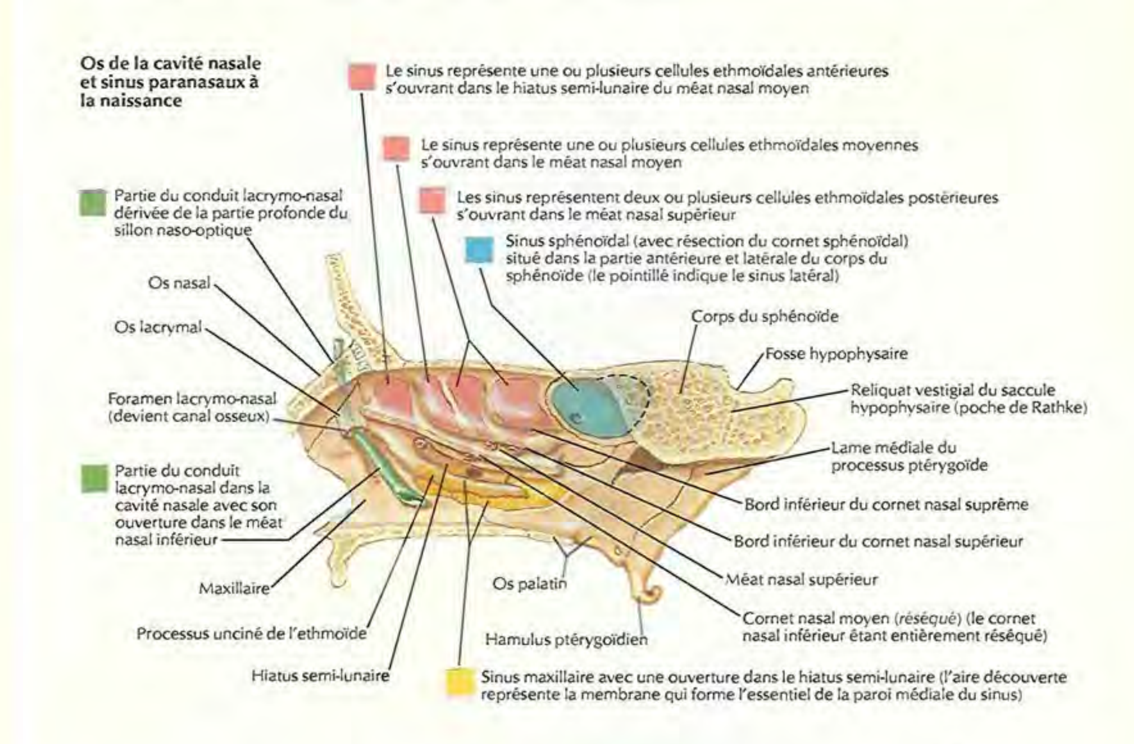
Coupe sagittale

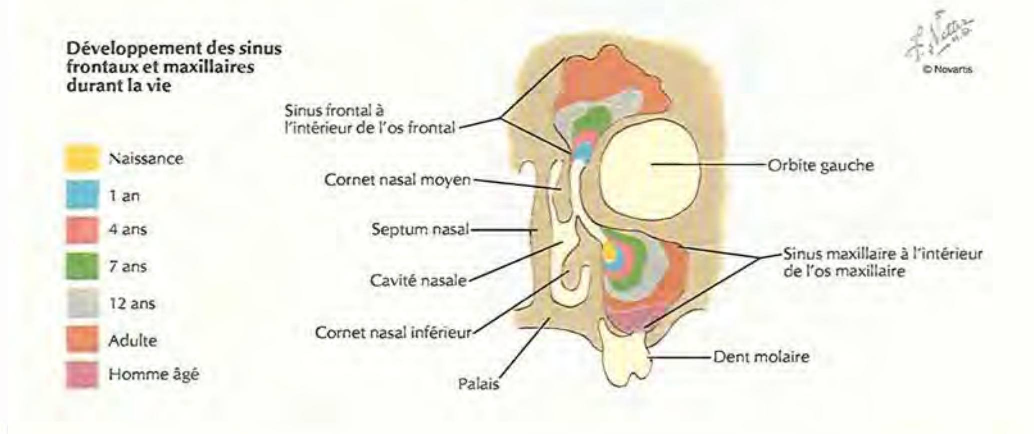
Cellules ethmoïdales
Sinus frontal
Ouverture du sinus sphénoïdal
Ouverture du canal fronto-nasal
Sinus sphénoïdal
Hiatus semi-lunaire
Processus unciné
Cornet nasal moyen (*réséqué*)
Ouverture du sinus maxillaire
Cornet nasal inférieur

Sinus frontal
Ouverture dans le méat nasal moyen
Orbite
Fosse ptérygo-palatine
Sinus maxillaire
Dissection latérale
Racines dentaires

© Novartis

Sinus paranasaux : variations avec l'âge





Examen de la cavité orale

Philtrum
Palais mou
Arc palato-pharyngien
Uvule
Arc palato-glosse
Tonsille palatine
Paroi postérieure du pharynx

© Novartis

Frein de la lèvre supérieure
Glande salivaire linguale
Artère et veines linguales profondes et nerf lingual
Pli frangé
Conduit submandibulaire
Glande sublinguale
Frein de la langue
Pli sublingual avec les ouvertures des conduits sublinguaux
Caroncule sublinguale avec l'ouverture du conduit submandibulaire
Frein de la lèvre inférieure

Papille parotidienne avec l'ouverture du conduit parotidien

Palais

Papille incisive
Plis palatins transverses
Raphé du palais
Processus palatin du maxillaire
Glandes palatines
Lame horizontale du palatin
Aponévrose palatine (prolongeant le muscle tenseur du voile du palais)
Muscle uvulaire
Glandes salivaires molaires
Muscle palato-pharyngien
Tonsille palatine

Fosse incisive
Artère et nerf grands palatins
Foramen grand palatin
Foramen petit palatin
Artère et nerfs petits palatins
Tendon du muscle tenseur du voile du palais
Hamulus ptérygoïdien
Fibres décussées du muscle élévateur du voile du palais
Muscle buccinateur
Raphé ptérygo-mandibulaire
Muscle constricteur supérieur du pharynx
Muscle palato-glosse

Vue antérieure

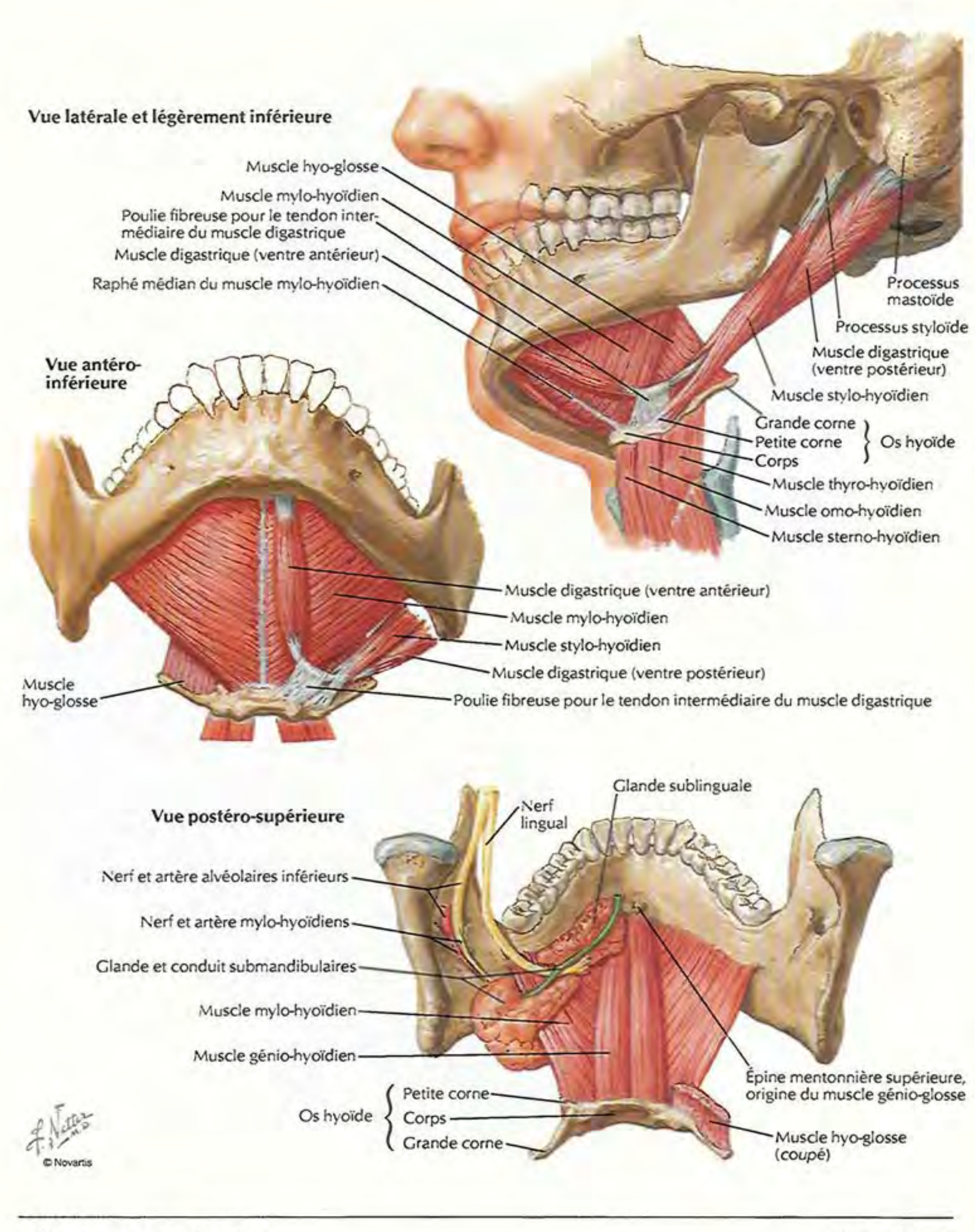
Partie basilaire de l'occipital
Partie cartilagineuse de la trompe auditive (d'Eustache)
Fascia pharyngo-basilaire
Muscle élévateur du voile du palais
Choanes
Hamulus ptérygoïdien
Muscle constricteur supérieur du pharynx
Muscle palato-pharyngien

Muscle élévateur du voile du palais (coupé)
Muscle tenseur du voile du palais
Muscle ptérygoïdien médial (coupé)
Lame médiale du processus ptérygoïde
Hamulus ptérygoïdien
Tendon du muscle tenseur du voile du palais
Muscle élévateur du voile du palais (coupé)
Muscle palato-pharyngien (coupé)
Muscle uvulaire

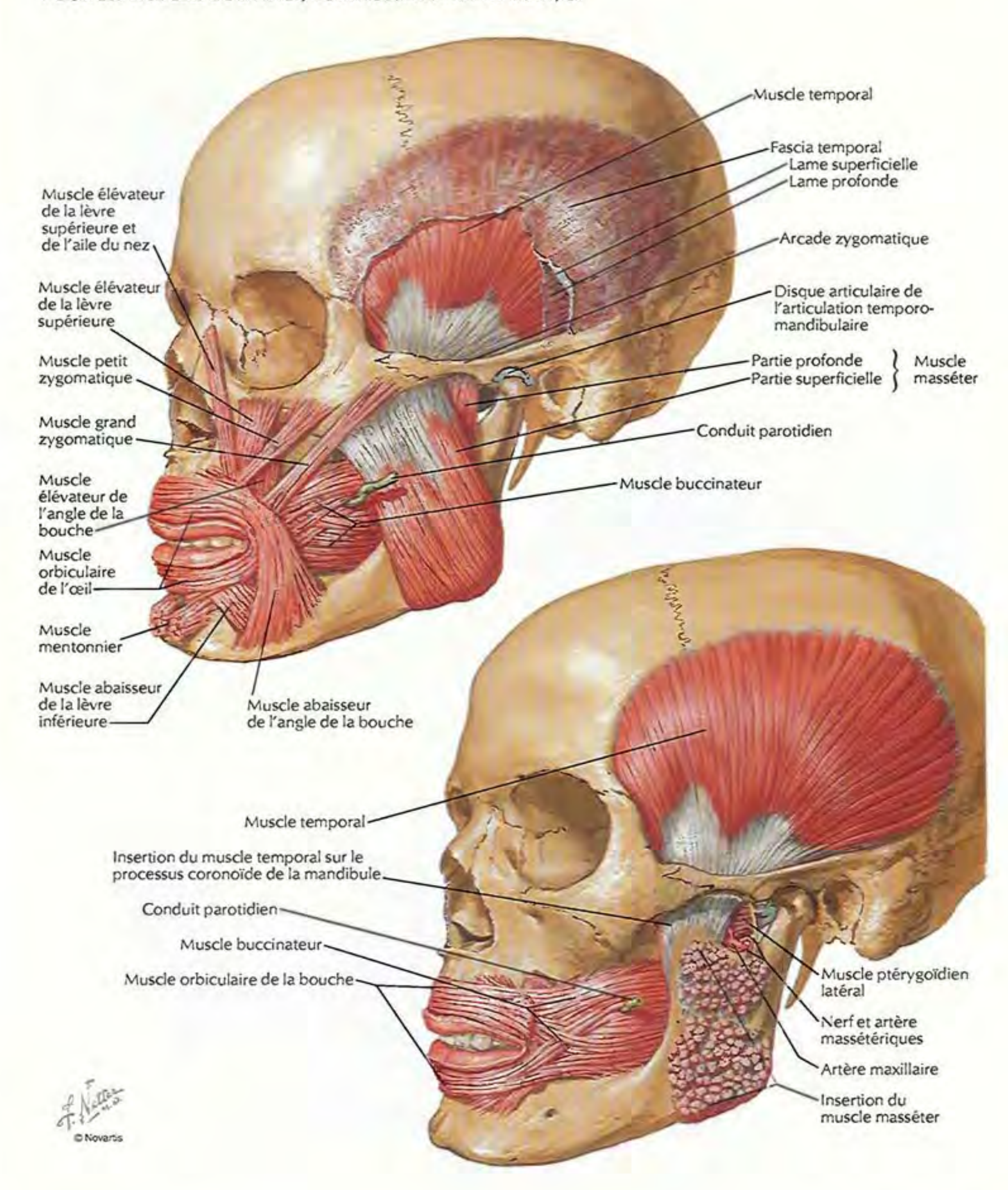
© Novartis

Vue postérieure

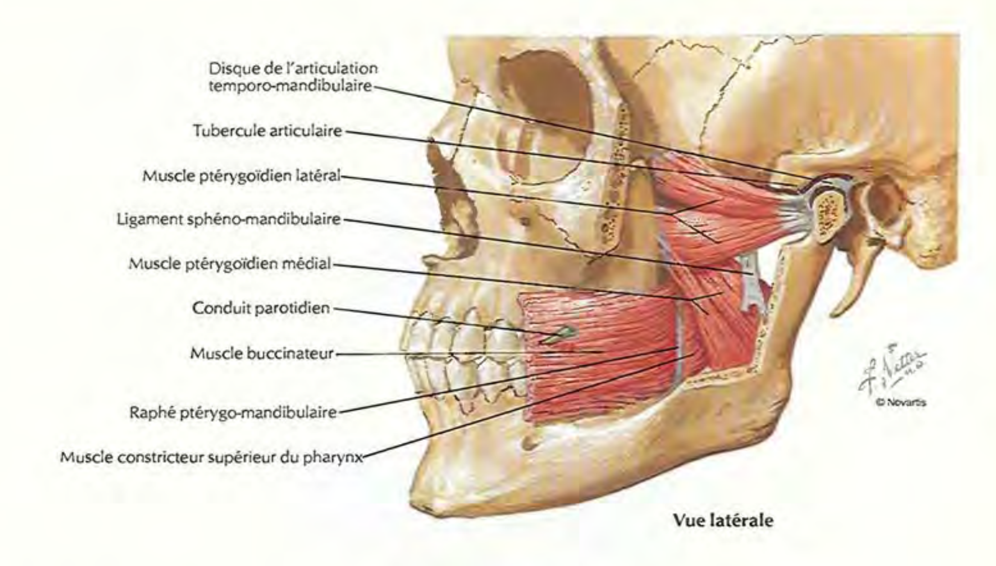
VOIR AUSSI LA PLANCHE 24



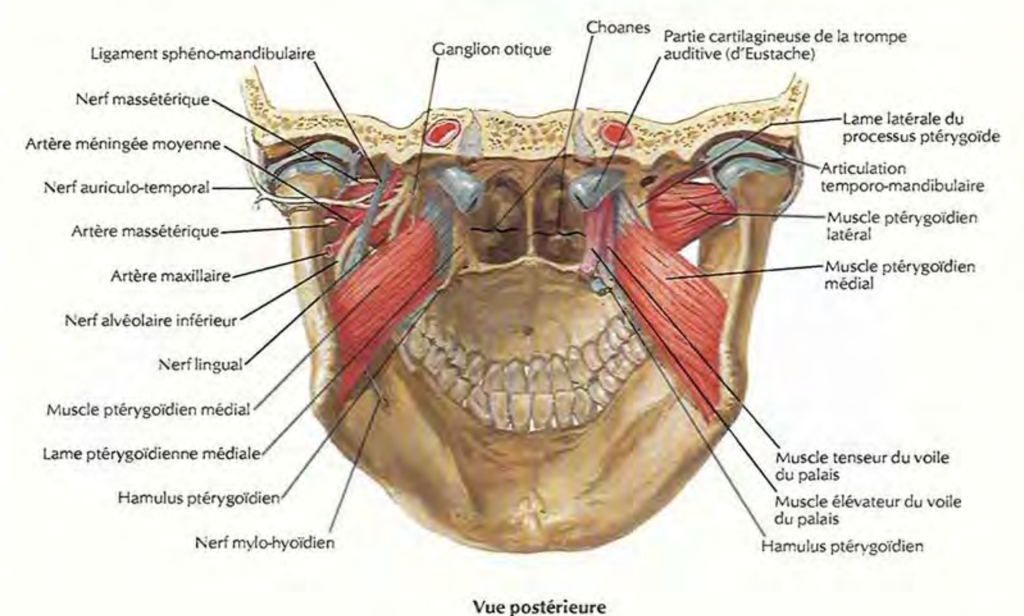
POUR LES MUSCLES DE LA FACE, VOIR AUSSI LES PLANCHES 20, 21



Muscles de la mastication (suite)



Vue latérale



Vue postérieure

Dents

Dents déciduales : âge moyen d'apparition

Dents permanentes (en bleu) : âge moyen d'apparition

Incisive centrale (8-10 mois)
Incisive latérale (8-10 mois)
Canine (cuspide) (16-20 mois)
1re molaire (15-21 mois)
2e molaire (20-24 mois)
2e molaire (20-24 mois)
1re molaire (15-21 mois)
Canine (cuspide) (15-21 mois)
Incisive latérale (15-21 mois)
Incisive centrale (6-9 mois)

Incisive centrale (7 ans)
Incisive latérale (8 ans)
Canine (11-12 ans)
1re prémolaire (9 ans)
2e prémolaire (10 ans)
1re molaire (6 ans)
2e molaire (12-13 ans)
3e molaires (17-25 ans)
2e molaire (12-13 ans)
1re molaire (6 ans)
2e prémolaire (10 ans)
1re prémolaire (9 ans)
Canine (11-12 ans)
Incisive latérale (8 ans)
Incisive centrale (7 ans)

Fosse incisive
Processus palatin du maxillaire
Lame horizontale de l'os palatin
Incisives centrales
Incisives latérales
Canines
1res prémolaires
2es prémolaires
1res molaires
2es molaires
3es molaires
Foramens grand et petit palatins
© Novartis

Dents permanentes supérieures

Dents permanentes inférieures

Dents (suite)

Couronne
Collet
Racine

Émail
(substance adamantine)
Dentine et tubules dentaires
(ivoire, substance éburnée)
Espaces interglobulaires
Couche odontoblastique
Espaces interdentaires
Pulpe dentaire contenant
les vaisseaux et les nerfs
Épithélium (stratifié) gingival (1)
Périodonte d'insertion
Lamina propria de la gencive (2)
(périoste mandibulaire ou maxillaire)
Desmodonte
(périoste alvéolaire)
Papille gingivale
Cément (substance osseuse)
Canaux pulpaires contenant
des vaisseaux et des nerfs
Os alvéolaire
Foramen apical

N.B. : (1) + (2) = gencive
(périodonte protecteur)

F. Netter M.D.
© Novartis

Dents
supérieures
gauches :
face labiale

Dents
inférieures
gauches :
face labiale

Centrale Latérale
Incisives
Canines
1 2
Prémolaires
1 2 3
Molaires

Langue

Épiglotte
Pli glosso-épiglottique médian
Pli glosso-épiglottique latéral
Vallécule
Arc et muscle palato-pharyngiens
Tonsille palatine (amygdale palatine) (*coupée*)
Tonsille linguale (follicule lingual)
Muscle et arc palato-glosses (*coupés*)
Foramen caecum
Sillon terminal
Papilles circumvallées
Papilles foliées
Papilles filiformes
Papilles fungiformes
Sillon médian

Racine
Corps
Apex

Dos de la langue

F. Netter M.D.
© Novartis

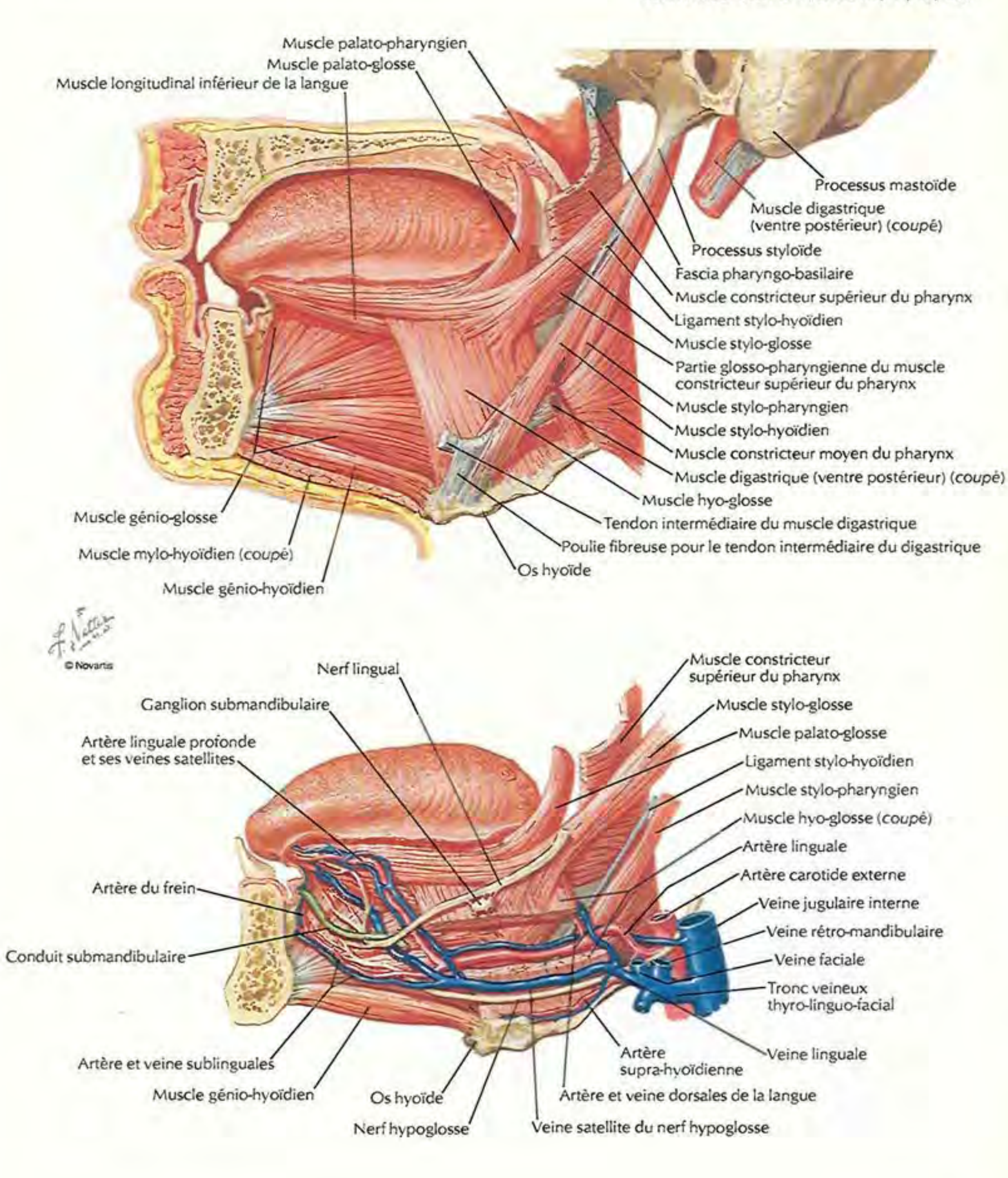
Tonsille linguale
Papilles filiformes
Papille fungiforme
Apex kératinisé
de la papille
Muscle intrinsèque
Conduit glandulaire
Crypte
Follicules lymphatiques
Glandes muqueuses
Papille circumvallée
Calicules gustatifs
Sillon
Glandes linguales (glandes de Von Ebner)

Schéma tridimensionnel :
aire indiquée au-dessus

Épithélium stratifié
squameux
Cellule sustentaculaire
Cellule gustative
Pore gustatif
Lamina propria

Coupe du
calicule gustatif

VOIR AUSSI LES PLANCHES 29, 41, 47, 122



Langue et glandes salivaires : coupes

Coupe horizontale de la mandibule au niveau de la langue montrant la loge de la glande parotide

Muscle orbiculaire de la bouche
Muscle buccinateur
Fascia bucco-pharyngien
Artère et veine faciales
Raphé ptérygo-mandibulaire
Nerf lingual et muscle constricteur supérieur du pharynx
Muscle masséter
Muscle palato-glosse dans l'arc palato-glosse
Tonsille palatine
Muscle palato-pharyngien dans l'arc palato-pharyngien
Branche de la mandibule
Artère, veine et nerf alvéolaires inférieurs
Muscle ptérygoïdien médial
Muscle stylo-glosse
Nerf facial
Veine rétro-mandibulaire
Artère carotide externe
Glande parotide
Muscle stylo-pharyngien
Muscle styloïde
Muscle sterno-cléido mastoïdien
Muscle digastrique (ventre postérieur)
Veine jugulaire interne, artère carotide interne et nerfs IX, X et XII dans la gaine carotidienne
Ganglion sympathique cervical supérieur
Fascia bucco-pharyngien et espace rétro-pharyngien
Fascia pré-vertébral
Muscle long de la tête
Axis (C2)
© Novartis

Muscle longitudinal supérieur, Muscle vertical et transverse, Muscle longitudinal inférieur } de la langue
Muscle stylo-glosse
Muscle buccinateur
Muscles de la mimique
Muscle hyo-glosse
Muscle génio-glosse
Glande salivaire sublinguale
Conduit submandibulaire
Artère, veine et nerf alvéolaires inférieurs dans le canal mandibulaire
Nerf lingual
Nerf mylo-hyoïdien
Veine satellite du nerf hypoglosse (affluent de la veine linguale)
Artère linguale
Artère faciale
Nerf hypoglosse (XII)
Glande salivaire submandibulaire
Nœud lymphatique submandibulaire
Muscle mylo-hyoïdien
Veine faciale
Tendon intermédiaire du muscle digastrique
Muscle platysma
Os hyoïde

Coupe frontale en arrière de la 1re molaire montrant les loges des glandes sublinguale et submandibulaire

Glandes salivaires

VOIR AUSSI LES PLANCHES 19, 47, 127, 128, 153

Artère et veine temporales superficielles et nerf auriculo-temporal
Rameaux du nerf facial
Artère transverse de la face
Glande parotide accessoire
Conduit parotidien
Muscle buccinateur (*coupé*)
Muscle masséter
Nerf lingual
Ganglion submandibulaire
Langue
Frein de la langue
Pli sublingual avec les ostiums des conduits sublinguaux
Caroncule sublinguale et ostium du conduit submandibulaire
Glande sublinguale
Conduit submandibulaire
Artère et veine sublinguales
Muscle mylo-hyoïdien (*coupé*)
Muscle digastrique (ventre antérieur)
Glande submandibulaire
Artère et veine faciales
Os hyoïde
Artère carotide externe
Veine jugulaire interne
Tronc thyro-linguo-facial
Muscle sterno-cléido-mastoïdien
Veine jugulaire externe
Muscle stylo-hyoïdien
Muscle digastrique (ventre postérieur)
Veine rétro-mandibulaire
Glande parotide

Glande parotide (séreuse en totalité)

Glande submandibulaire (en majorité séreuse, partiellement muqueuse)

Glande sublinguale (presque entièrement muqueuse)

Innervation afférente de la bouche et du pharynx

VOIR AUSSI LES PLANCHES 41, 46, 53, 58, 116, 117, 119, 127, 129

Nerf trijumeau (V)
Nerf glosso-pharyngien (IX)
Nerf vague (X)
Nerf facial (VII)

Trijumeau (V) (maxillaire V_2)
Via les nerfs alvéolaires supérieurs
Via le ganglion ptérygo-palatin et les nerfs grand et petit palatins

Facial (VII) (nerf intermédiaire)
Via le nerf grand pétreux, le ganglion ptérygo-palatin et les nerfs grand et petit palatins

Glosso-pharyngien (IX)
Via le plexus pharyngien
Via les rameaux tonsillaires
Sensibilité gustative générale via les rameaux linguaux

Trijumeau (V) (maxillaire V_2)
Via le rameau pharyngien du ganglion ptérygo-palatin

Facial (VII) (nerf intermédiaire V_2)
Via le nerf grand pétreux et le ganglion ptérygo-palatin

Trijumeau (V) (maxillaire V_2)
Via le ganglion ptérygo-palatin et les nerfs grand et petit palatins
Via les nerfs alvéolaires supérieurs

Trijumeau (V) (mandibulaire V_3)
Via le nerf buccal
Via le nerf alvéolaire inférieur

Vague (X)
Via la branche interne du nerf laryngé supérieur

Glosso-pharyngien (IX)
Via le plexus pharyngien
Via les rameaux tonsillaires
Sensibilité gustative générale via les rameaux linguaux

Vague (X) et glosso-pharyngien (IX)
Via le plexus pharyngien

Vague (X)
Via la branche interne du nerf laryngé supérieur

Trijumeau (V) (mandibulaire V_3)
Via le nerf lingual

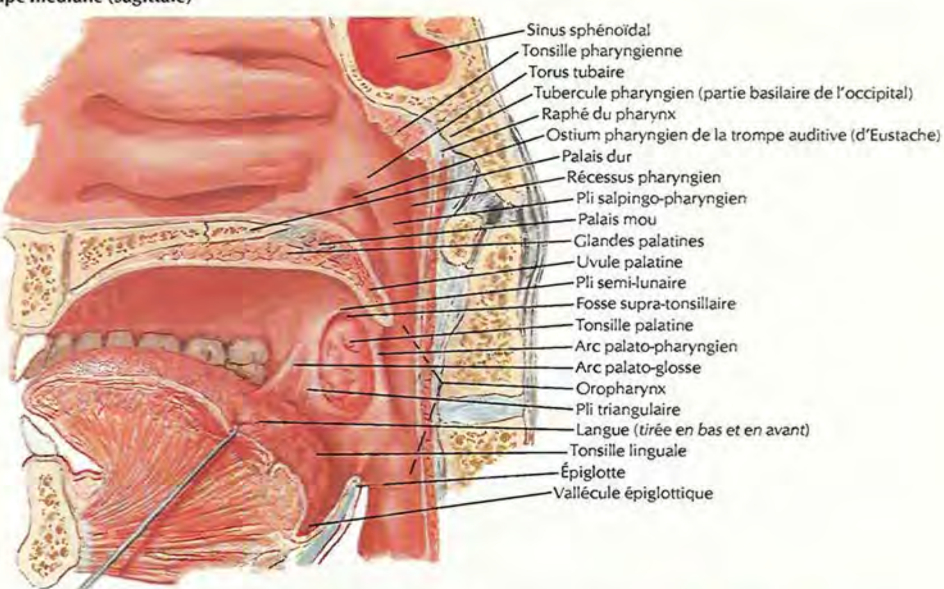
Facial (VII) (nerf intermédiaire V_3)
Le goût via la corde du tympan et le nerf lingual

Pharynx : coupe médiane

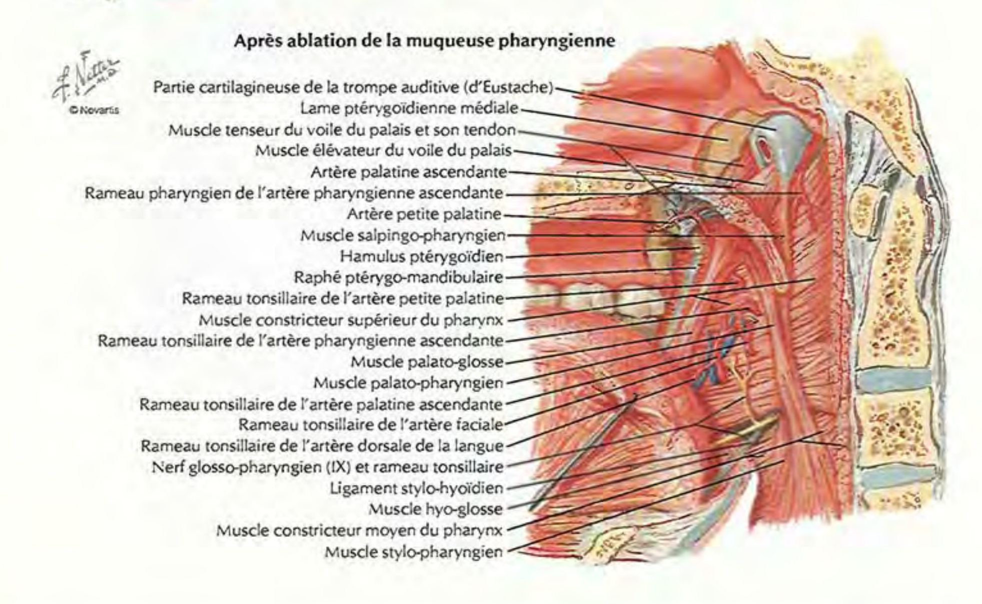
Selle turcique
Ostium pharyngien de la trompe auditive (d'Eustache)
Synchondrose sphéno-occipitale
Tonsille pharyngienne
Tubercule pharyngien de l'occipital
Raphé pharyngien
Ligament longitudinal antérieur
Membrane atlanto-occipitale
Ligament apical de la dent
Arc antérieur de l'atlas (vertèbre C1)
Dent de l'axis (vertèbre C2)
Muscles constricteurs du pharynx
Fascia bucco-pharyngien
Espace rétro-pharyngien
Fascia prévertébral et ligament longitudinal antérieur
Corps vertébraux
Sinus frontal
Sinus sphénoïdal
Septum nasal
Nasopharynx
Palais mou
Glandes palatines
Palais dur
Cavité orale
Canal incisif
Tonsille palatine
Corps de la langue
Oropharynx
Foramen caecum
Tonsille linguale
Muscle génio-glosse
Racine de la langue
Épiglotte
Mandibule
Muscle génio-hyoïdien
Os hyoïde
Ligament hyo-épiglottique
Membrane thyro-hyoïdienne
Laryngopharynx
Aditus du larynx
Cartilage thyroïde
Pli vocal
Muscle aryténoïdien
Cartilage cricoïde
Trachée
Œsophage
Muscles œsophagiens
Glande thyroïde
Lame superficielle du fascia cervical
Lame prétrachéale
Espace supra-sternal
Manubrium sternal
C1
C1
C2
C3
C4
C5
C6
C7
T1
F. Netter M.D.
© Novartis

Gosier

Vue médiale
Coupe médiane (sagittale)



Après ablation de la muqueuse pharyngienne



Muscles du pharynx : coupe médiane (sagittale)

Lame ptérygoïdienne médiale
Partie cartilagineuse de la trompe auditive (d'Eustache)
Muscle tenseur du voile du palais
Fascia pharyngo-basilaire
Muscle élévateur du voile du palais
Aponévrose palatine et tendon du muscle tenseur du voile du palais
Tubercule pharyngien (partie basilaire de l'occipital)
Raphé pharyngien
Ligament longitudinal antérieur
Membrane atlanto-occipitale antérieure
Ligament apical de la dent
Muscle salpingo-pharyngien
Muscles du palais mou
Sphincter palato-pharyngien (crête de Passavant)
Hamulus ptérygoïdien
Muscle constricteur supérieur du pharynx
Raphé ptérygo-mandibulaire
Muscle palato-pharyngien
Muscle buccinateur
Partie glosso-pharyngienne du muscle constricteur supérieur du pharynx
Muscle stylo-pharyngien
Ligament stylo-hyoïdien
Muscle stylo-glosse
Muscle constricteur moyen du pharynx
Expansion musculaire dans le pli pharyngo-épiglottique
Fascia bucco-pharyngien et espace rétro-pharyngien
Fascia prévertébral et ligament longitudinal antérieur
Rameau interne du nerf laryngé supérieur
Muscles longitudinaux du pharynx
Muscle constricteur inférieur du pharynx
Aponévrose pharyngienne
Muscle crico-pharyngien (partie du constricteur inférieur du pharynx)
Insertion cricoïdienne du muscle longitudinal de l'œsophage
Couche circulaire de la musculeuse de l'œsophage
Couche longitudinale de la musculeuse de l'œsophage

C1
C2
C3
C4
C5
C6
C7

Muscle hyo-glosse
Muscle génio-hyoïdien
Muscle mylo-hyoïdien
Os hyoïde
Membrane thyro-hyoïdienne
Cartilage thyroïde
Ligament crico-thyroïdien médian
Cartilages corniculé et aryténoïde
Cartilage cricoïde
Trachée

·················· Limites du muscle constricteur moyen du pharynx
- - - - - - - - - Limites et insertions du muscle constricteur inférieur du pharynx

F. Netter M.D.

Pharynx ouvert : vue postérieure

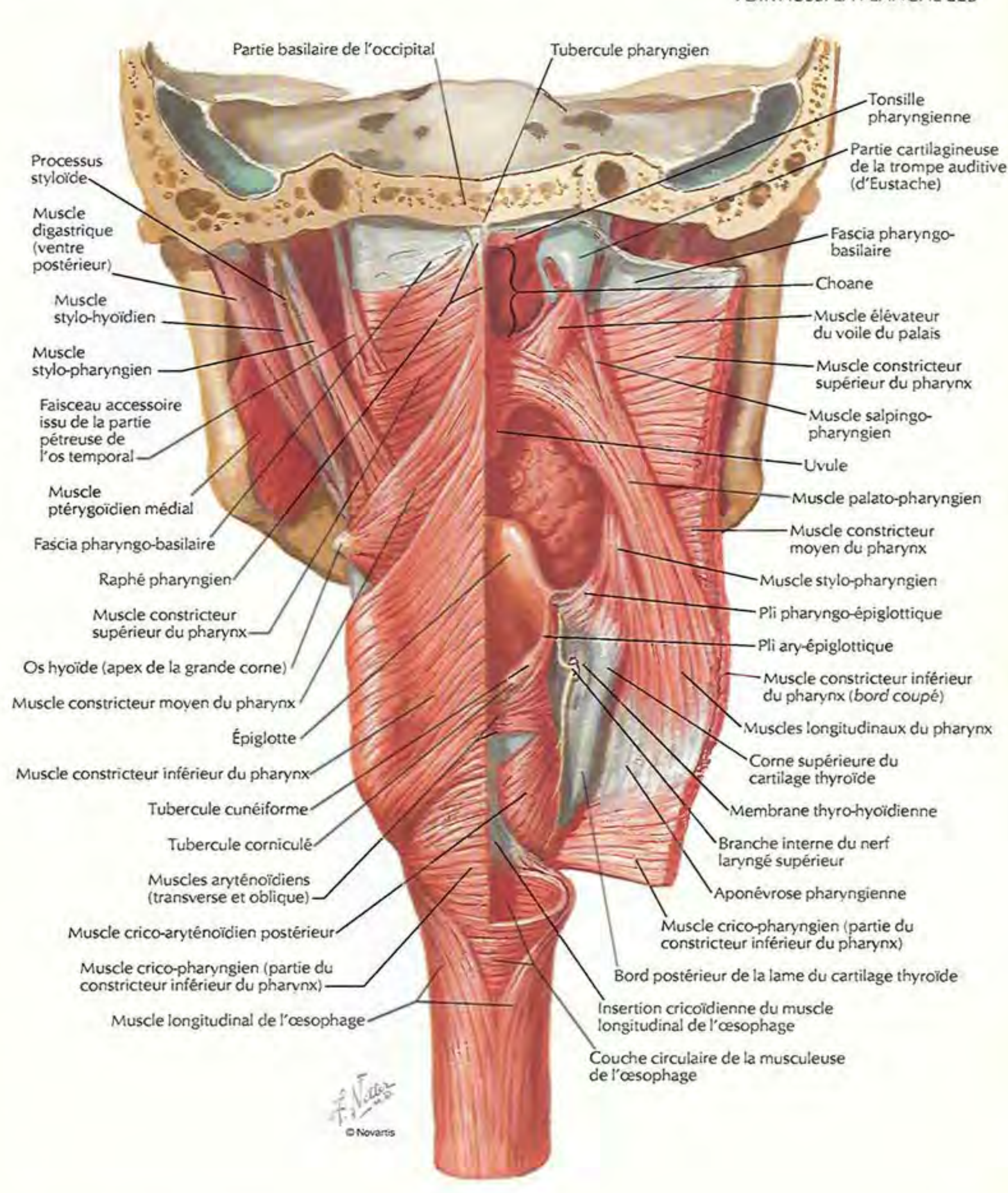
Choanes
Base du crâne (partie basilaire de l'occipital)
Tonsille pharyngienne
Processus styloïde
Septum nasal
Torus tubaire
Ostium pharyngien de la trompe auditive (d'Eustache)
Récessus pharyngien
Glande parotide
Torus de l'élévateur (pli du muscle élévateur du voile du palais)
Pli salpingo-pharyngien
Palais mou
Angle de la mandibule
Glande submandibulaire
Uvule
Tonsille palatine
Racine de la langue
Arc palato-pharyngien
Proéminence de la grande corne de l'os hyoïde
Épiglotte
Aditus du larynx
Proéminence de la corne supérieure du cartilage thyroïde
Pli ary-épiglottique
Récessus piriforme
Tubercule cunéiforme
Pli du nerf laryngé supérieur (recouvrant sa branche interne)
Tubercule corniculé
Incisure inter-aryténoïdienne
Proéminence de la lame du cartilage cricoïde
Trachée

Nasopharynx
Oropharynx
Laryngopharynx
Œsophage

F. Netter M.D.

Muscles du pharynx ouvert partiellement : vue postérieure

VOIR AUSSI LA PLANCHE 223



Muscles du pharynx : vue latérale

Fascia pharyngo-basilaire
Muscle tenseur du voile du palais
Muscle élévateur du voile du palais
Lame ptérygoïdienne latérale
Hamulus ptérygoïdien
Muscle buccinateur (*coupé*)
Raphé ptérygo-mandibulaire
Muscle digastrique (ventre postérieur) (*coupé*)
Processus styloïde
Crête buccinatrice de la mandibule
Muscle constricteur supérieur du pharynx
Muscle stylo-glosse
Ligne oblique de la mandibule
Ligament stylo-hyoïdien
Muscle stylo-pharyngien
Muscle constricteur moyen du pharynx
Muscle hyo-glosse
Grande corne de l'os hyoïde
Muscle digastrique (ventre antérieur)
Corne supérieure du cartilage thyroïde
Muscle mylo-hyoïdien
Membrane thyro-hyoïdienne
Os hyoïde
Muscle constricteur inférieur du pharynx
Muscle stylo-hyoïdien (*coupé*)
Arcade tendineuse
Cartilage thyroïde
Zone clairsemée de fibres musculaires
Ligament crico-thyroïdien médian
Muscle crico-pharyngien (partie du constricteur inférieur du pharynx)
Muscle crico-thyroïdien
Cartilage cricoïde
Œsophage
Trachée
F. Netter M.D.
© Novartis

Artères des régions orale et pharyngienne

VOIR AUSSI LES PLANCHES 29, 35

De l'artère ophtalmique { Artère supra-orbitaire
Artère supra-trochléaire
Artère méningée moyenne
Artères temporales profondes
Artère dorsale du nez
Artère massétérique
Artère angulaire
Artère infra-orbitaire
Artère sphéno-palatine
Artère palatine descendante
Artère alvéolaire supéro-postérieure
Artère labiale supérieure
Artère buccale
Muscle buccinateur et conduit parotidien (coupé)
Artère labiale inférieure
Muscle constricteur supérieur du pharynx
Artère mentonnière (branche terminale de l'artère alvéolaire inférieure)
Artère alvéolaire inférieure et rameau lingual
Artère faciale
Artère submentonnière
Branche mylo-hyoïdienne de l'artère alvéolaire inférieure
Glande submandibulaire
Nerf hypoglosse (XII)
Artère supra-hyoïdienne
Artère carotide externe
Artère laryngée supérieure
Artère thyroïdienne supérieure
Artère crico-thyroïdienne
Artère carotide commune
Artère vertébrale
Artère subclavière
Artère transverse de la face (*coupée*)
Artère temporale superficielle
Artère maxillaire
Artère auriculaire postérieure
Artère pharyngienne ascendante
Artère occipitale et sa branche sterno-cléido-mastoïdienne
Nerf glosso-pharyngien (IX)
Artère palatine ascendante
Artère tonsillaire
Artère faciale
Artère linguale
Artère pharyngienne ascendante
Artère carotide interne
Nerf vague (X)
Nerf cardiaque cervical supérieur
Tronc sympathique
Muscle scalène antérieur
Nerf phrénique
Muscle scalène moyen
Artère cervicale ascendante
Artère thyroïdienne inférieure
Artère transverse du cou
Artère supra-scapulaire
Tronc costo-cervical
Tronc thyro-cervical

F. Netter M.D.

Veines des régions orale et pharyngienne

VOIR AUSSI LES PLANCHES 17, 26, 98

Veine supra-trochléaire
Veine supra-orbitaire
Veine naso-frontale
Veine ophtalmique supérieure
Veine angulaire
Veine nasale externe
Veine émissaire communiquant avec le sinus caverneux (de Vésale)
Veine infra-orbitaire
Veines alvéolaires supéro-postérieures
Veine palatine
Plexus ptérygoïdien
Veine labiale supérieure
Veine faciale profonde
Veines maxillaires
Veine labiale inférieure
Veine mentonnière
Veine et artère faciales
Veine palatine externe
Veine submentonnière
Glande submandibulaire
Veine satellite du nerf hypoglosse
Veine profonde de la langue croisant médialement le muscle hyo-glosse
Veine linguale
Anastomose avec la veine jugulaire antérieure (*coupée*)
Veine laryngée supérieure
Veine thyroïdienne supérieure
Glande thyroïde
Veine thyroïdienne moyenne
Veines thyroïdiennes inférieures
Terminaison de la veine jugulaire antérieure (*coupée*)
Veine brachio-céphalique gauche
Veine et artère occipitales
Veine et artère temporales superficielles
Veine transverse de la face (*coupée*)
Veine auriculaire postérieure
Veine rétro-mandibulaire
Veine jugulaire externe (*coupée*)
Veine et artère alvéolaires inférieures
Veine et artère occipitales
Nerf hypoglosse (XII)
Tronc thyro-linguo-facial
Artère carotide externe
Veine jugulaire interne
Artère carotide commune
Nerf vague (X) et tronc sympathique
Muscle scalène moyen
Muscle scalène antérieur
Veine jugulaire externe (*coupée*)
Veine cervicale transverse (*coupée*)
Veine supra-scapulaire (*coupée*)
Artère subclavière
Veine subclavière

F. Netter M.D.

Nerfs des régions orale et pharyngienne

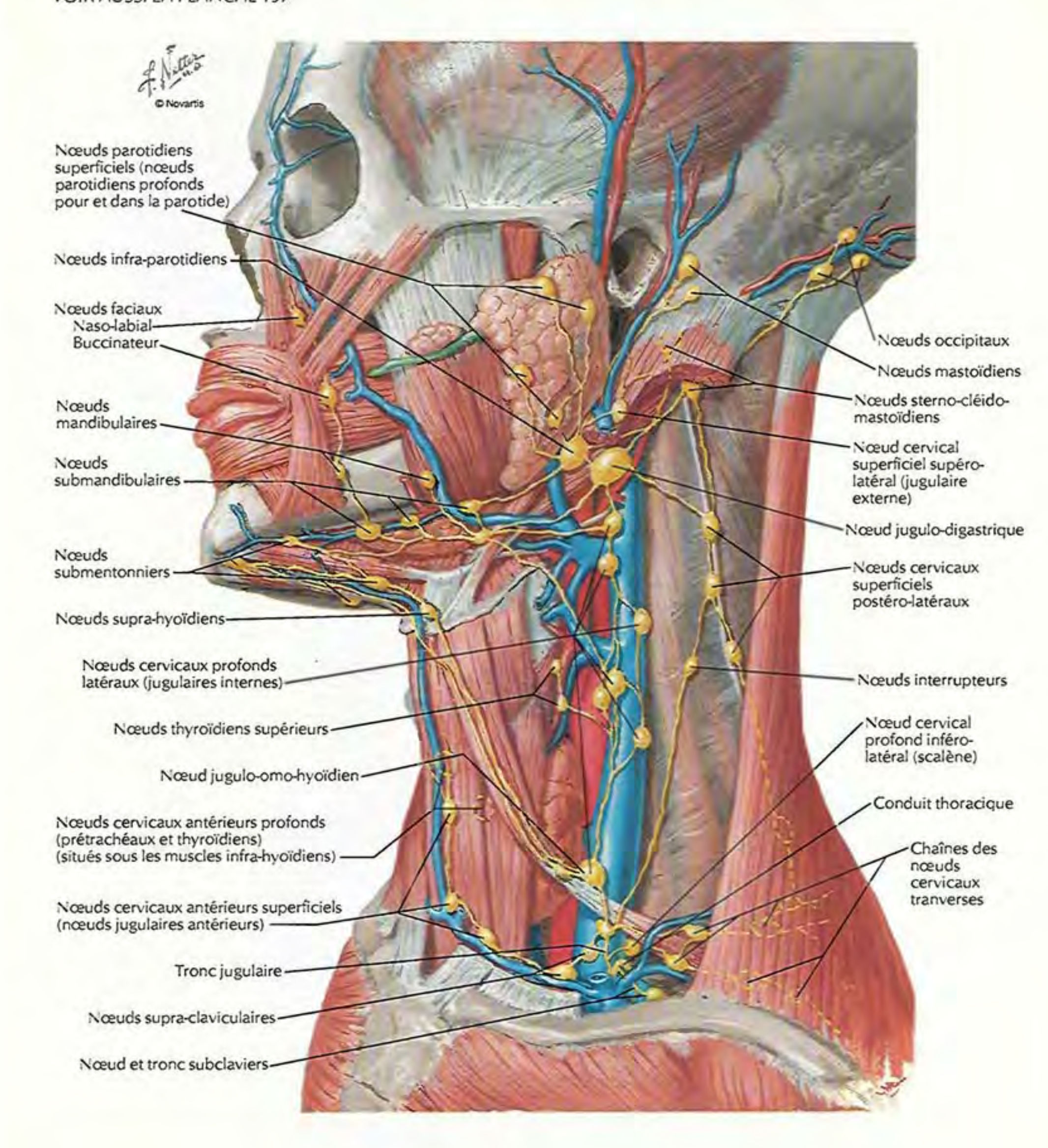
VOIR AUSSI LES PLANCHES 19, 40, 41, 116, 119, 120

Nerf zygomatico-temporal (V_2)
Nerfs temporaux profonds (V_3)
Nerf massétérique (V_3)
Nerf mandibulaire (V_3)
Nerfs des muscles ptérygoïdien médial et tenseur du voile du palais (V_3) (*coupés*)
Nerf zygomatico-facial (V_2)
Nerf maxillaire (V_2)
Nerf infra-orbitaire (V_2)
Ganglion ptérygo-palatin
Nerfs grand et petit palatin (V_2)
erfs alvéolaires supéro-antérieur, ipéro-moyen, supéro-postérieur (V_2)
Nerf du muscle ptérygoïdien latéral (V_3) (*coupé*)
Nerf buccal (V_3)
Corde du tympan (VII)
Nerf lingual (V_3)
Muscle ptérygoïdien médial (*coupé*) ptérygoïdien latéral réséqué)
Nerf alvéolaire inférieur (V_3)
Nerf mentonnier (V_3)
Nerf mylo-hyoïdien (V_3)
Ganglion submandibulaire
Nerf glosso-pharyngien (IX) et ses rameaux tonsillaires
Nerf hypoglosse (XII)
Nerf carotide (IX) et glomus carotidien
Nerf du muscle thyro-hyoïdien (C1, C2 via XII)
Rameaux externe et interne du nerf laryngé supérieur (X)
Anse cervicale (C1, C2, C3) { Racine supérieure / Racine inférieure
Nerfs des ventres supérieur et inférieur du muscle omo-hyoïdien (anse cervicale)
Nerf laryngé récurrent (X)
Tronc sympathique et ganglion cervical moyen
Artère carotide commune
Artère vertébrale
Nerf auriculo-temporal (V_3)
Artère méningée moyenne
Artère temporale superficielle (*coupée*)
Nerf facial (VII) (*coupé*)
Artère maxillaire
Nerf accessoire (XI) (*coupé*)
Nerf spinal C1 (rameau ventral) (*coupé*)
Nerf spinal C2 (rameau ventral) (*coupé*)
Plexus pharyngien formé de rameaux des nerfs glosso-pharyngien (IX), vague (X) et sympathique
Artère carotide interne
Artère carotide externe
Nerf vague (X) et rameau cardiaque cervical supérieur
Nerf spinal C4 (rameau ventral) (*coupé*)
Nerf phrénique (C3, C4, C5)
Artère cervicale ascendante
Muscle scalène moyen
Muscle scalène antérieur
Plexus brachial (*coupé*)
Tronc thyro-cervical
Artère subclavière

F. Netter
© Novartis

Vaisseaux et nœuds lymphatiques de la tête et du cou

VOIR AUSSI LA PLANCHE 197



Vaisseaux et nœuds lymphatiques du pharynx et de la langue

Muscle droit antérieur de la tête (coupé)
Fascia pharyngo-basilaire
Nœuds rétropharyngiens
Veine jugulaire interne
Muscle digastrique (ventre postérieur)
Muscle sterno-cléido-mastoïdien
Nœud interrupteur
Nœud jugulo-digastrique
Nœuds cervicaux profonds latéraux (jugulaires internes)
Nœud jugulo-omo-hyoïdien

Drainage lymphatique du pharynx : vue postérieure

Collecteurs apicaux
Collecteurs centraux
Collecteurs marginaux
Collecteurs de la base
Anastomose controlatérale

Drainage lymphatique de la langue

Nœuds submentonniers
Nœud submandibulaire
Nœud jugulo-digastrique
Nœuds cervicaux profonds latéraux (jugulaires internes)
Nœud jugulo-omo-hyoïdien

F. Netter M.D.

Glande thyroïde : vue antérieure

Artère carotide externe
Artère carotide interne
Artère et veine thyroïdiennes supérieures
Artère laryngée supérieure
Membrane thyro-hyoïdienne
Anse cervicale { Racine supérieure / Racine inférieure
Artère carotide commune
Veine jugulaire interne
Veine thyroïdienne moyenne
Veines thyroïdiennes inférieures
Artère cervicale ascendante
Artère thyroïdienne inférieure
Artère transverse du cou
Artère supra-scapulaire
Tronc thyro-cervical
Artère et veine subclavières
Nerf vague (X)
Nerf laryngé récurrent droit
Tronc brachio-céphalique
Veines brachio-céphaliques
Veine cave supérieure
Arc aortique

Os hyoïde
Nerf laryngé supérieur
Branche interne
Branche externe
Cartilage thyroïde (lame)
Ligament crico-thyroïdien médian
Muscles crico-thyroïdiens
Cartilage cricoïde
Glande thyroïde { Lobe pyramidal (inconstant ou petit) / Lobe droit / Lobe gauche / Isthme
Nœuds prétrachéaux
Nerf phrénique
Muscle scalène antérieur
Nerf vague (X)
Veine jugulaire externe
Veine jugulaire antérieure
1re côte (coupée)
Nerf laryngé récurrent gauche

Cartilage thyroïde
Ligament crico-thyroïdien
Artère carotide commune
Bord médial du muscle sterno-cléido-mastoïdien
Muscle crico-thyroïdien
Cartilage cricoïde
Glande thyroïde
Coupole pleurale
Trachée

F. Netter M.D.

Glande thyroïde et pharynx : vue postérieure

Muscle constricteur supérieur du pharynx
Muscle constricteur moyen du pharynx
Apex de la grande corne de l'os hyoïde
Muscle constricteur inférieur du pharynx
Raphé pharyngien
Zone de myofibres clairsemées
Muscle crico-pharyngien (partie du constricteur inférieur du pharynx)
Aire triangulaire de la couche musculaire circulaire œsophagienne avec des fibres longitudinales éparses (aire de Laimer)
Muscle œsophagien longitudinal
Veine thyroïdienne inférieure
Trachée
Bulbe inférieur de la veine jugulaire
Artère vertébrale
Artère et veine subclavières gauches
Artère et veine thoraciques internes
Veine brachio-céphalique gauche
Nerf laryngé récurrent gauche
Arc aortique
Nerf vague gauche (X)

Artère carotide externe
Artère carotide interne
Artère faciale
Artère linguale
Nerf laryngé supérieur
Branche interne
Branche externe
Artère thyroïdienne supérieure
Artère laryngée supérieure
Artère carotide commune
Nerf vague (X)
Veine jugulaire interne
Glande thyroïde (lobe droit)
Glande parathyroïde supérieure
Artère cervicale ascendante
Glande parathyroïde inférieure
Artère thyroïdienne inférieure
Nerf laryngé récurrent droit
Artère transverse du cou
Artère supra-scapulaire
Tronc thyro-cervical
Artère et veine subclavières droites
Veine brachio-céphalique droite
Tronc brachio-céphalique
Nerf vague droit (X)
Veine cave supérieure

Glandes parathyroïdes

VOIR AUSSI LA PLANCHE 74

Vue postérieure

Membrane thyro-hyoïdienne
Os hyoïde
Nerf laryngé supérieur
Branche interne
Branche externe
Nerf vague (X)
Épiglotte
Artère thyroïdienne supérieure
Artère carotide commune
Capsule fibreuse de la glande thyroïde (*réséquée*)
Glande parathyroïde supérieure
Lobe gauche de la glande thyroïde
Artère cervicale ascendante
Glande parathyroïde inférieure
Nerf laryngé récurrent
Œsophage
Artère subclavière
Trachée

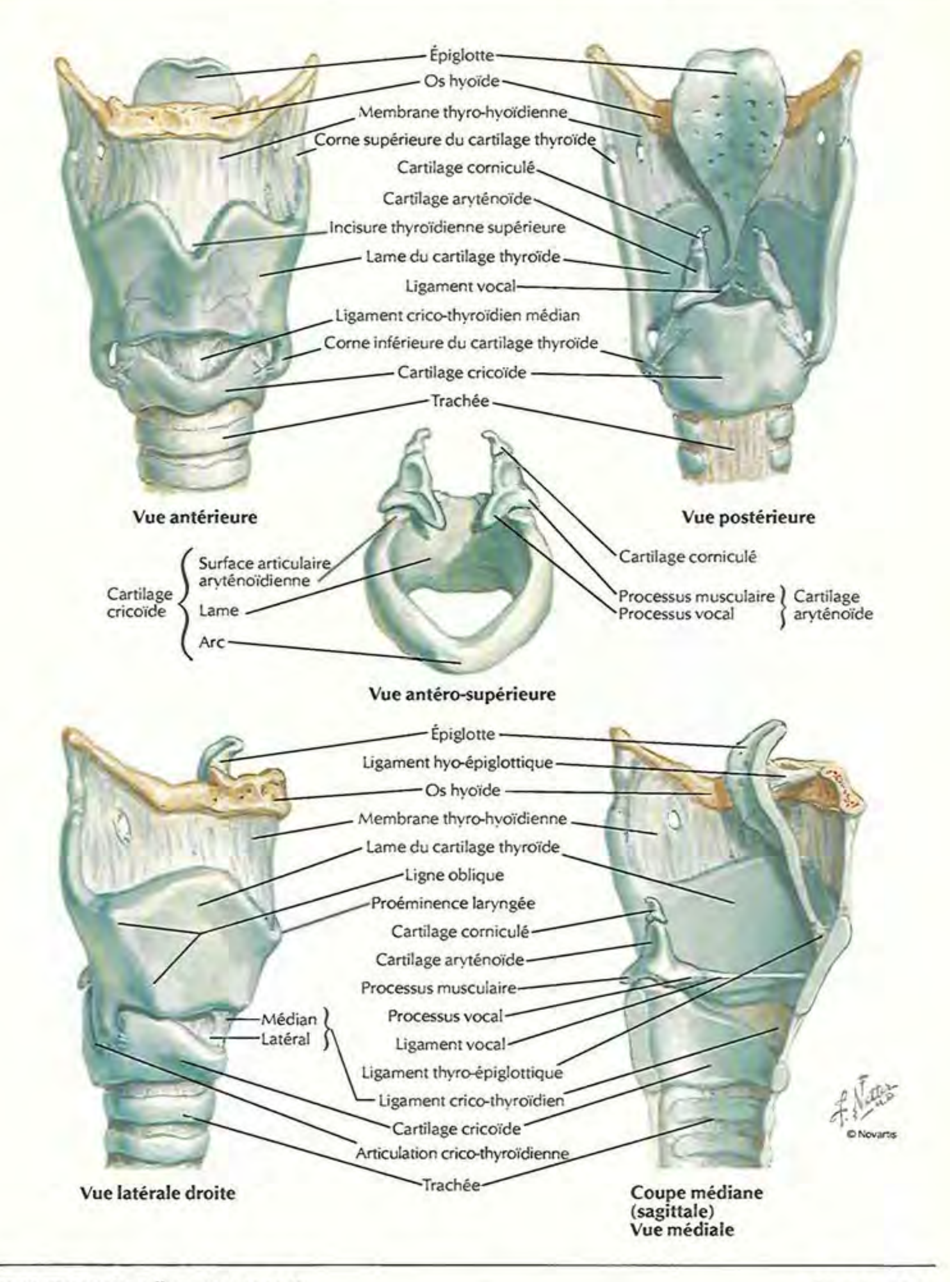
Artère carotide externe
Artère carotide interne
Artère thyroïdienne supérieure
Artère laryngée supérieure
Muscle constricteur inférieur du pharynx (*coupé*)
Artère carotide commune
Capsule fibreuse de la glande thyroïde (*réséquée*)
Muscle crico-pharyngien (partie du constricteur inférieur du pharynx)
Glande parathyroïde supérieure
Lobe droit de la glande thyroïde
Glande parathyroïde inférieure (peut être située plus caudalement, voire dans le médiastin)
Artère thyroïdienne inférieure
Nerf récurrent laryngé
Artère transverse du cou
Artère supra-scapulaire
Tronc thyro-cervical
Artère vertébrale
Artère subclavière
Tronc brachio-céphalique

Vue latérale droite

Artère carotide externe
Artère laryngée supérieure
Artère thyroïdienne supérieure (coupée)
Muscle constricteur inférieur du pharynx
Artère carotide commune
Veine jugulaire interne
Artère thyroïdienne inférieure
Nerf laryngé récurrent
Œsophage

Branche interne du nerf laryngé supérieur
Branche externe du nerf laryngé supérieur
Glande parathyroïde supérieure
Glande thyroïde (lobe droit) (*récliné en avant*)
Glande parathyroïde inférieure

Cartilages du larynx



Muscles intrinsèques du larynx

Épiglotte
Pli ary-épiglottique
Tubercule cunéiforme
Tubercule corniculé
Muscle ary-épiglottique
Muscle aryténoïdien oblique
Muscle aryténoïdien transverse
Muscle crico-aryténoïdien postérieur
Cartilage cricoïde
Vue postérieure

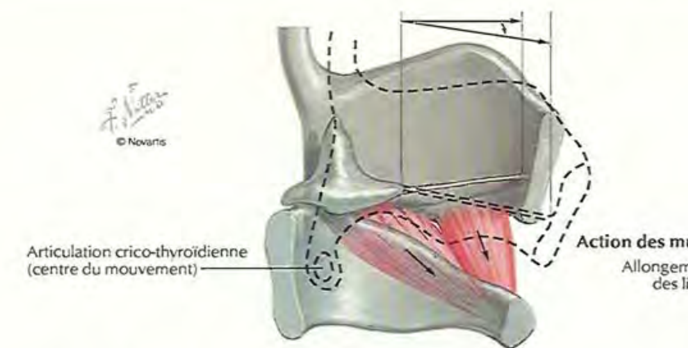
Foramen contenant les vaisseaux laryngés supérieurs et la branche interne du nerf laryngé supérieur
Muscles aryténoïdiens oblique et transverse
Muscle crico-aryténoïdien postérieur
Partie droite
Partie oblique
Muscle crico-thyroïdien
Vue latérale droite

Épiglotte
Muscle ary-épiglottique
Muscle thyro-épiglottique
Muscles aryténoïdiens oblique et transverse
Muscle thyro-aryténoïdien
Muscle crico-aryténoïdien postérieur
Muscle crico-aryténoïdien latéral
Surface articulaire thyroïdienne
Cône élastique
Muscle crico-thyroïdien (coupé)
Dissection latérale

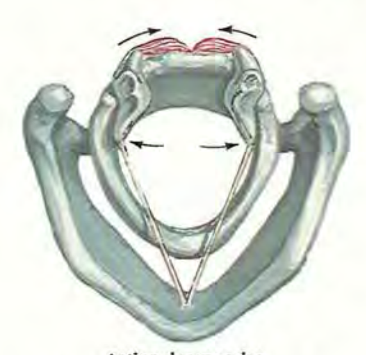
Cartilage aryténoïde
Processus musculaire
Processus vocal
Lame du cartilage cricoïde
Muscle crico-aryténoïdien postérieur
Muscle crico-aryténoïdien latéral
Muscles aryténoïdiens transverse et oblique
Muscles crico-thyroïdiens
Muscle thyro-aryténoïdien
Muscle vocal
Ligament vocal
Cône élastique
Lame du cartilage thyroïde
Vue supérieure

© Novartis

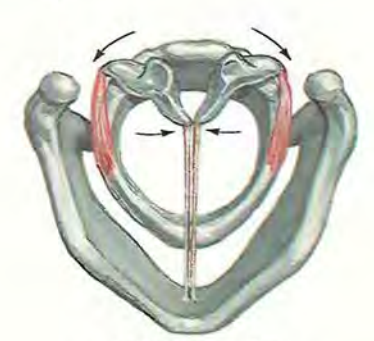
Action des muscles intrinsèques du larynx



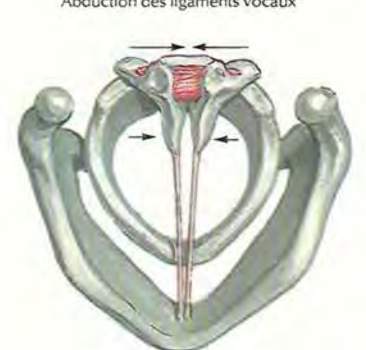
Action des muscles crico-thyroïdiens
Allongement (tension accrue) des ligaments vocaux



Action des muscles crico-aryténoïdiens postérieurs
Abduction des ligaments vocaux



Action des muscles crico-aryténoïdiens latéraux
Adduction des ligaments vocaux



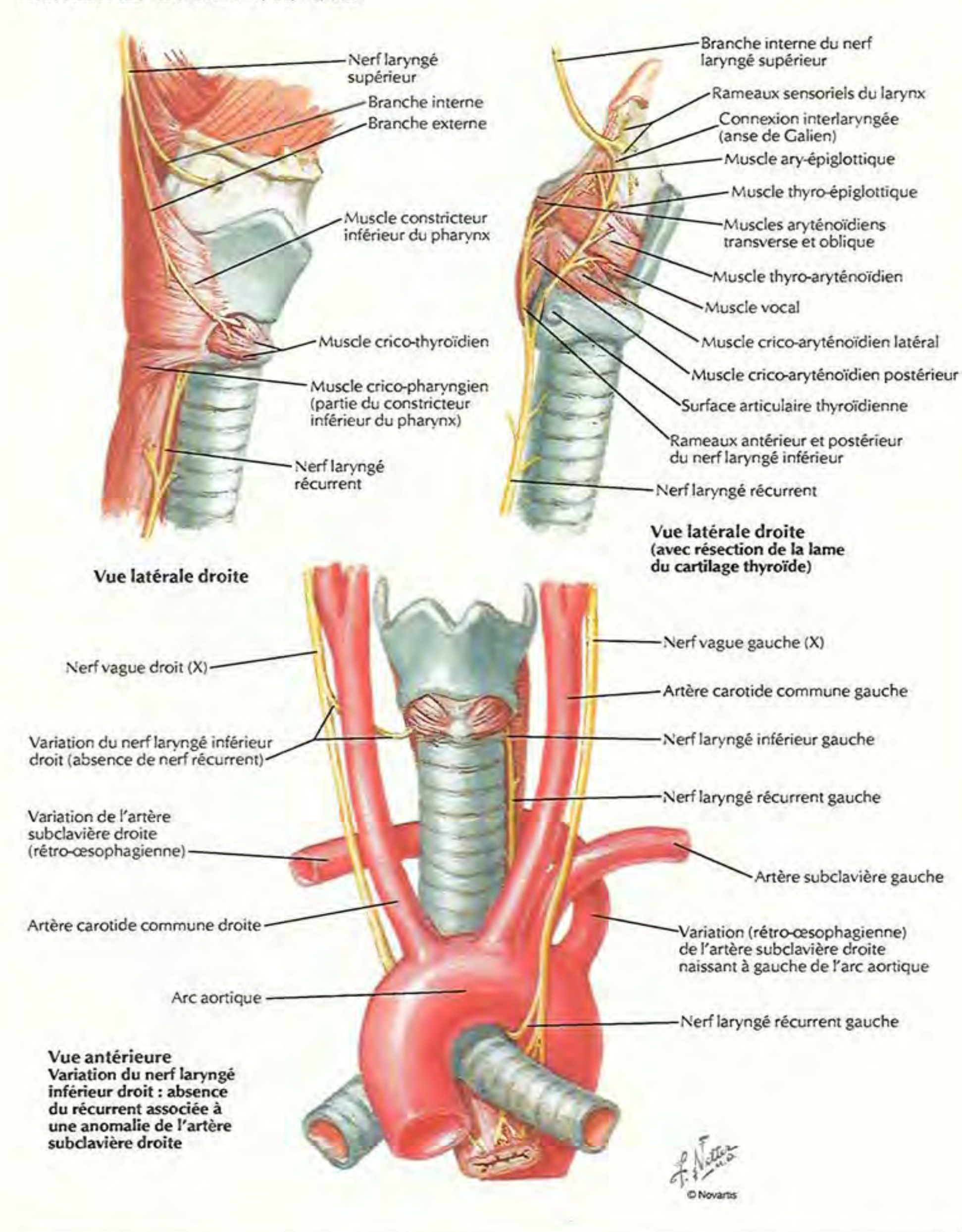
Action du muscle aryténoïdien transverse
Adduction des ligaments vocaux



Action des muscles vocaux et thyro-aryténoïdiens
Raccourcissement (relâchement) des ligaments vocaux

Nerfs du larynx

VOIR AUSSI LES PLANCHES 68, 69, 70, 223



Vue latérale droite

Vue latérale droite (avec résection de la lame du cartilage thyroïde)

Vue antérieure
Variation du nerf laryngé inférieur droit : absence du récurrent associée à une anomalie de l'artère subclavière droite

Laryngoscopie directe

Positions du patient et du médecin

Miroir chauffé au-dessus d'une flamme d'alcool pour éviter la buée ; le miroir est ensuite testé sur le dos de la main du médecin

F. Netter M.D.
© Novartis

Technique

Le miroir relève la luette

Pli glosso-épiglottique médian
Vallécule
Plis vocaux (vraies cordes vocales)
Fente de la glotte
Trachée
Récessus piriforme
Incisure inter-aryténoïdienne
Œsophage
Racine de la langue (tonsille linguale)
Épiglotte
Plis ventriculaires (fausses cordes vocales)
Vestibule
Pli ary-épiglottique
Ventricule
Tubercule cunéiforme
Tubercule corniculé

Larynx normal : inspiration

Larynx normal : phonation

Paupières

Conjonctive palpébrale supérieure : glandes tarsales (de Meibomius) transparaissantes
Vus à travers la cornée { Pupille / Iris
Limbe de la cornée (jonction cornéo-sclérale)
Conjonctive bulbaire sur la sclère
Fornix conjonctival inférieur
Conjonctive palpébrale inférieure : glandes tarsales transparaissantes
Papille et point lacrymaux supérieurs
Pli semi-lunaire
Caroncule lacrymale dans le lac lacrymal
Papille et point lacrymaux inférieurs

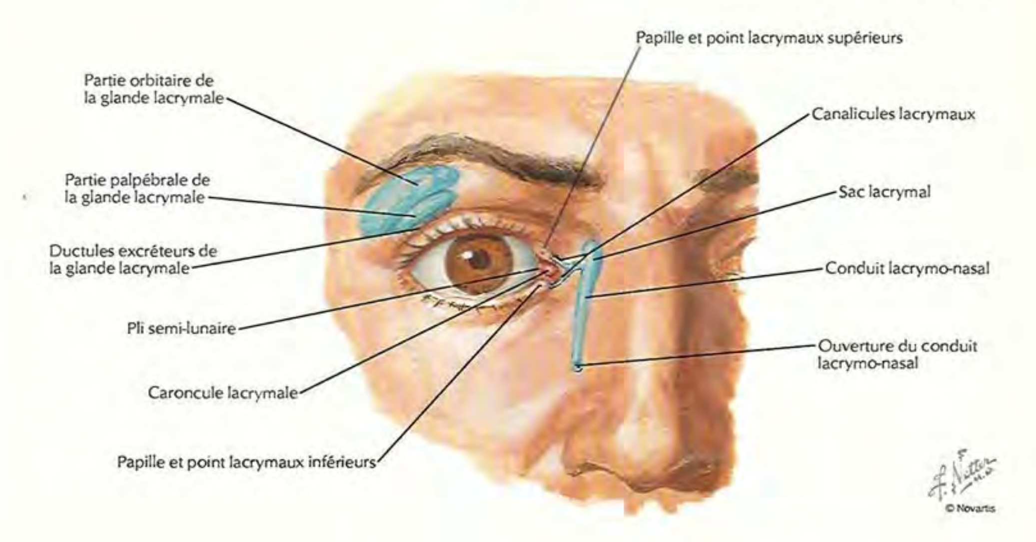
Muscle élévateur de la paupière supérieure
Septum orbitaire
Muscle (lisse) tarsal supérieur (de Müller)
Fornix conjonctival supérieur
Muscle orbiculaire de l'œil (partie palpébrale)
Tarse supérieur
Glandes tarsales (de Meibomius)
Glandes sébacées
Cils
Ostiums des glandes tarsales
Tarse inférieur
Muscle orbiculaire de l'œil (partie palpébrale)
Fornix conjonctival inférieur
Septum orbitaire
Sclère
Conjonctive bulbaire
Conjonctive palpébrale
Cornée
Cristallin
Chambre antérieure du bulbe
Iris
Chambre postérieure

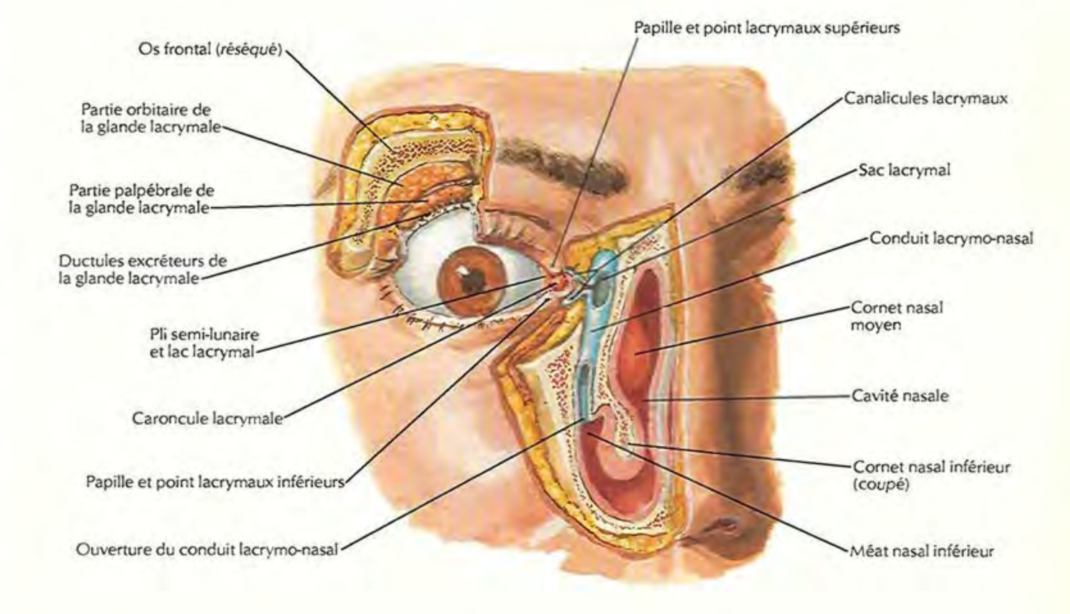
F. Netter M.D.
© Novartis

Os frontal
Insertion du muscle élévateur de la paupière supérieure
Septum orbitaire
Tarse supérieur
Ligament palpébral latéral
Tarse inférieur
Septum orbitaire
Os zygomatique
Artère et nerf supra-orbitaires
Artère et nerf supra-trochléaires
Artère dorsale du nez et nerf infra-trochléaire
Sac lacrymal
Ligament palpébral médial
Maxillaire (processus frontal)
Artère et nerf infra-orbitaires

Appareil lacrymal

VOIR AUSSI LES PLANCHES 40, 127





Fascias orbitaires

Coupe horizontale

Tarse de la paupière
Conjonctive palpébrale
Conjonctive bulbaire
Cornée
Ligament palpébral médial
Cavité nasale
Expansion ligamentaire du muscle droit médial
Cellules ethmoïdales
Périorbite
Muscle droit médial et son fascia
Gaine du bulbe de l'œil (capsule de Tenon)
Sclère
Espace épiscléral
Nerf optique (II) et sa gaine
Sinus sphénoïdal
Ligament palpébral latéral
Expansion ligamentaire du muscle droit latéral
Périorbite
Sclère
Gaine du bulbe de l'œil (capsule de Tenon)
Espace épiscléral
Muscle droit latéral et son fascia
Corps adipeux de l'orbite
Anneau tendineux commun
© Novartis

Coupe frontale

Muscle élévateur de la paupière supérieure et son fascia
Muscle oblique supérieur et son fascia
Muscle droit médial et son fascia
Périorbite
Cellule ethmoïdale
Sclère
Gaine du bulbe de l'œil (capsule de Tenon)
Muscle droit inférieur et son fascia
Muscle oblique inférieur et son fascia
Nerf infra-orbitaire (V_2)
Muscle droit supérieur et son fascia
Glande lacrymale
Muscle droit latéral et son fascia
Périorbite
Sclère
Gaine du bulbe de l'œil (capsule de Tenon)
Espace épiscléral
Corps adipeux de l'orbite

Insertions musculaires et nerfs et vaisseaux pénétrant dans l'orbite

Fissure orbitaire supérieure
Nerf lacrymal (V_1)
Nerf frontal (V_1)
Nerf trochléaire (IV)
Veine ophtalmique supérieure
Muscle droit latéral
Branche supérieure du nerf oculo-moteur (III)
Fissure orbitaire inférieure
Nerf abducens (VI)
Nerf naso-ciliaire (V_1)
Muscle élévateur de la paupière supérieure
Muscle oblique supérieur
Muscle droit supérieur
Muscle droit médial
Nerf optique (II) } dans le canal optique
Artère ophtalmique } dans le canal optique
Muscle droit inférieur
Branche inférieure du nerf oculo-moteur (III)

Muscles extrinsèques de l'œil

Vue latérale droite

Muscle oblique supérieur
Muscle élévateur de la paupière supérieure
Muscle droit supérieur
Muscle droit médial
Anneau tendineux commun
Muscle droit latéral (*coupé*)
Muscle droit inférieur
Trochlée (poulie)
Nerf optique (II)
Muscle latéral droit (*coupé*)
Muscle oblique inférieur

Vue supérieure

Tarse de la paupière supérieure
Muscle élévateur de la paupière supérieure (*coupé*)
Muscle oblique supérieur
Muscle droit supérieur (*coupé*)
Muscle droit médial
Muscle droit latéral
Muscle droit inférieur
Nerf optique (II)
Anneau tendineux commun
Muscle droit supérieur (*coupé*)
Muscle élévateur de la paupière supérieure (*coupé*)

F. Netter M.D.

Innervation et action des muscles extrinsèques de l'œil : vue antérieure

Muscle oblique supérieur } **Nerf trochléaire (IV)**

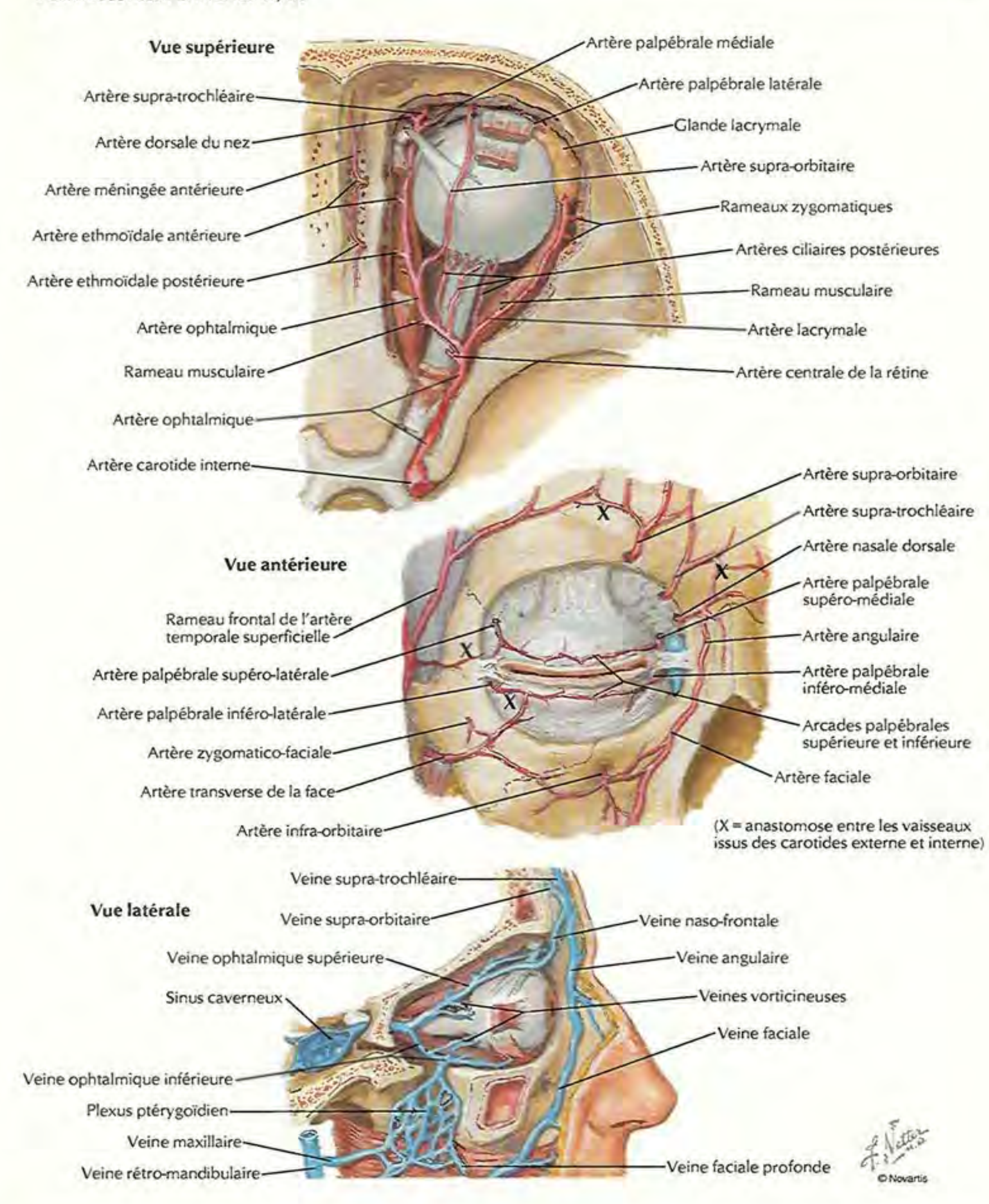
Nerf oculo-moteur (III) {
Muscle élévateur de la paupière supérieure
Muscle droit supérieur
Muscle droit médial
Muscle droit inférieur
Muscle oblique inférieur

Muscle droit latéral de l'œil } **Nerf abducens (VI)**

Note : les flèches indiquent la direction du mouvement de l'œil produit par chaque muscle

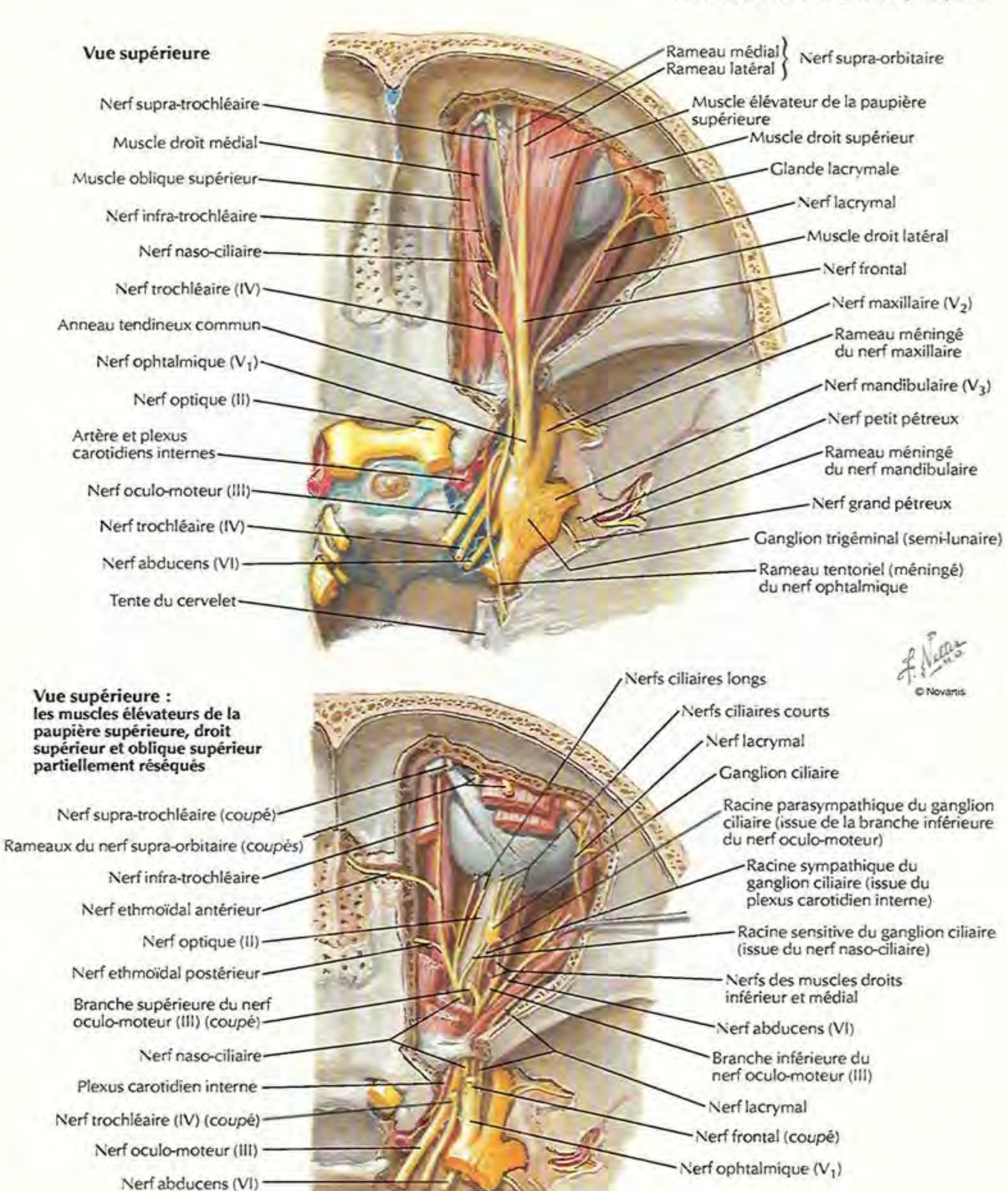
Artères et veines de l'orbite et des paupières

VOIR AUSSI LES PLANCHES 17, 98



Nerfs de l'orbite

VOIR AUSSI LES PLANCHES 40, 115, 126

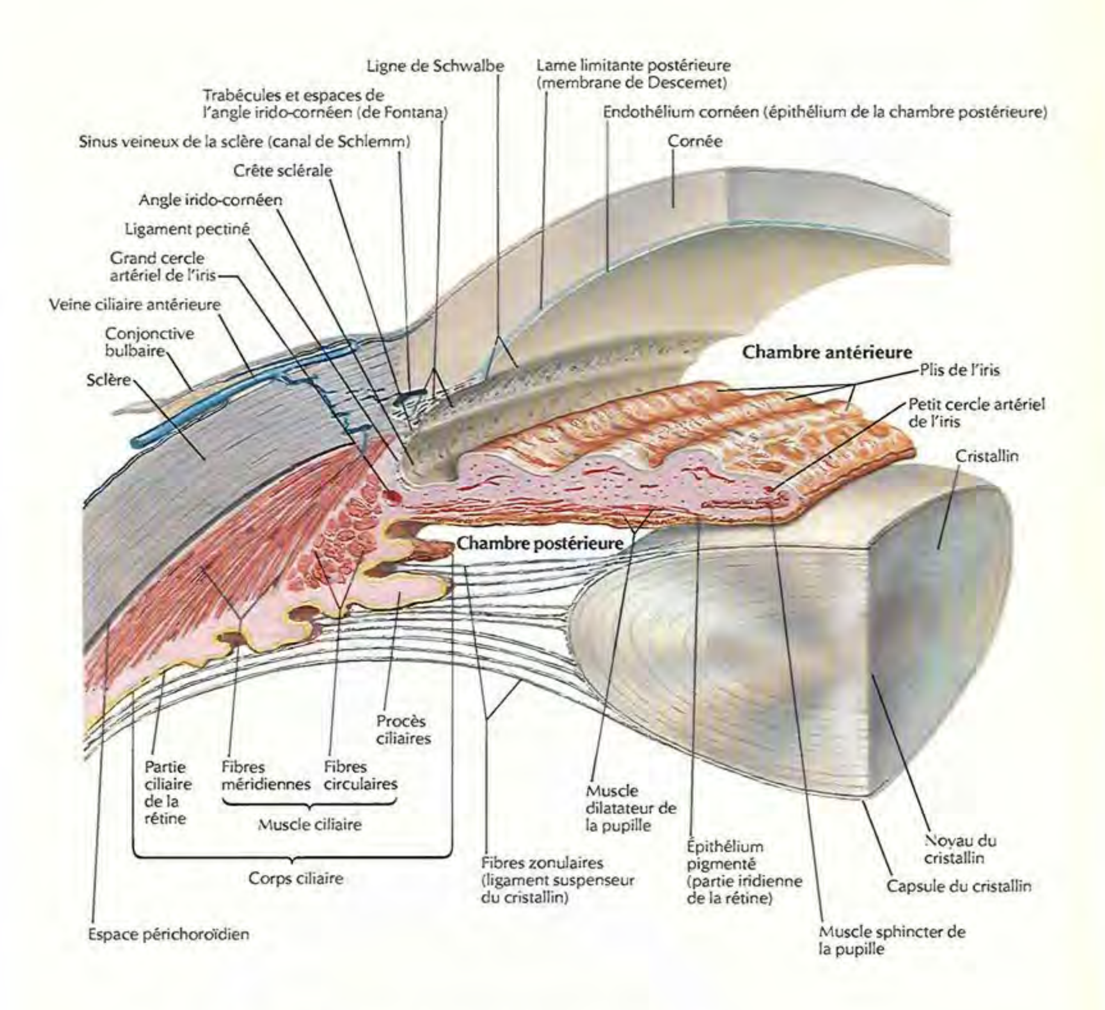


Bulbe oculaire

Coupe horizontale

Cornée
Capsule du cristallin
Fibres zonulaires (ligament suspenseur du cristallin)
Chambre antérieure
Cristallin
Sinus veineux de la sclère (canal de Schlemm)
Chambre postérieure
Iris
Angle irido-cornéen
Crête sclérale
Procès ciliaires
Corps et muscle ciliaires
Conjonctive bulbaire
Partie ciliaire de la rétine
Ora serrata
Tendon du muscle droit latéral
Tendon du muscle droit médial
F. Netter M.D.
© Novartis
Partie optique de la rétine
Choroïde
Espace périchoroïdien
Sclère
Tunique fibreuse du bulbe de l'œil (capsule de Tenon)
Espace épiscléral
Fovéa centralis dans la macula
Gaine externe du nerf optique
Espace subarachnoïdien
Corps vitré
Canal hyaloïdien
Lame criblée de la sclère
Nerf optique (II)
Artère et veine centrales de la rétine

Chambres antérieure et postérieure de l'œil



Note : par souci de clarté, il est représenté un seul plan de fibres zonulaires ; en fait, ces fibres entourent complètement l'équateur du cristallin



Angle irido-cornéen de la chambre antérieure de l'œil

Miroir
Lentille de contact
Miroir gonioscopique de Goldmann

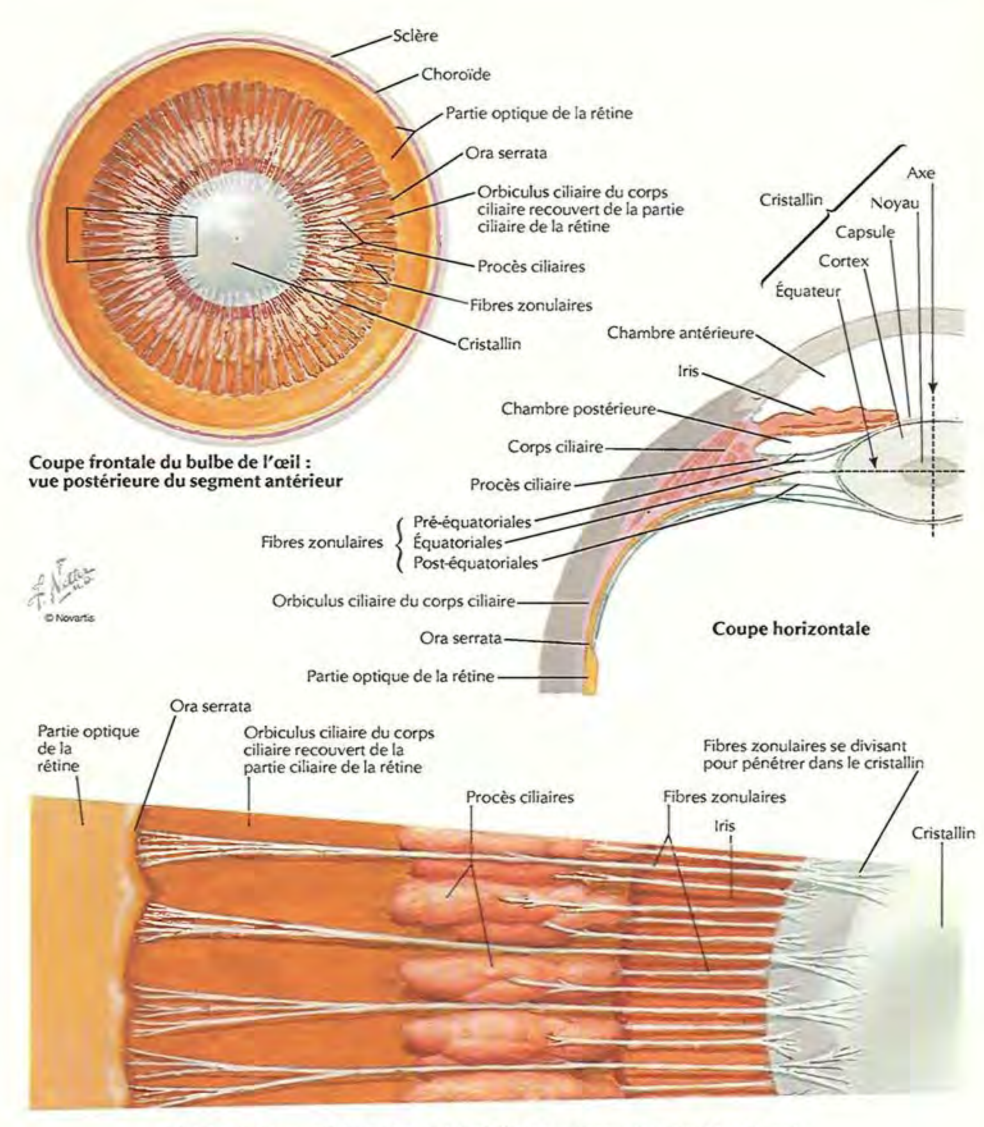
Lentille de contact
Angle irido-cornéen
Chambre antérieure
Vers l'œil de l'examinateur
Miroir

© Novartis

Angle irido-cornéen ouvert : vue gonioscopique

Ligne de Schwalbe
Sinus veineux de la sclère (canal de Schlemm) (*visible s'il contient du sang*)
Crête sclérale
Trabécules
Iris
Pupille

Angle fermé : vue gonioscopique



Coupe frontale du bulbe de l'œil : vue postérieure du segment antérieur

Coupe horizontale

Fort grossissement du cartouche de la figure ci-dessus (semi-schématique)

Artères et veines intrinsèques de l'œil

VOIR AUSSI LA PLANCHE 80

Cornée
Chambre antérieure
Sinus veineux de la sclère (canal de Schlemm)
Petit cercle artériel de l'iris
Grand cercle artériel de l'iris
Vaisseaux sanguins du corps ciliaire
Conjonctive bulbaire et vaisseaux conjonctifs
Artère et veine ciliaires antérieures
Angle irido-cornéen
Chambre postérieure
Fibres zonulaires
Iris
Cristallin
Corps ciliaire
Ora serrata
Artère et veine musculaires
Muscle extrinsèque de l'œil
Chambre vitrée
Rétine
Artère ciliaire postérieure longue
Choroïde
Sclère
Veine vorticineuse
Artère et veine épisclérales
Artère et veine rétiniennes
Artère ciliaire postérieure longue
Artères ciliaires postérieures courtes
Artère et veine centrales de la rétine
Nerf optique (II)
Artériole et veinule supérieures de la macula
Artériole et veinule nasales supérieures de la rétine
Artériole et veinule temporales supérieures de la rétine
Disque optique
Macula et fovéa centralis
Artériole et veinule temporales inférieures de la rétine
Artériole et veinule nasales inférieures de la rétine
Artériole et veinule inférieures de la macula
© Novartis

Vaisseaux rétiniens : vue ophtalmoscopique

Trajet des sons perçus

Coupe frontale

Nerf facial (VII) (*coupé*)
Branches du stapès
Base du stapès dans la fenêtre du vestibule (ovale)
Proéminence du canal semi-circulaire latéral
Vestibule
Incus
Canaux semi-circulaires, ampoules, utricule et saccule
Tegmen tympani
Nerf facial (VII) (*coupé*)
Malléus (tête)
Nerf vestibulaire
Récessus épitympanique
Nerf cochléaire
Auricule
Méat acoustique interne
Nerf vestibulo-cochléaire (VIII)
Méat acoustique externe
Membrane tympanique
Caisse du tympan
Promontoire
Fenêtre cochléaire (ronde)
Trompe auditive (d'Eustache)
Hélicotréma
Rampe vestibulaire
Conduit cochléaire contenant l'organe spiral (de Corti)
Rampe tympanique
Cochlée
Nasopharynx

Note : les flèches indiquent le trajet de l'onde sonore

Oreille externe et caisse du tympan

Hélix
Fosse triangulaire
Branches de l'anthélix
Branche de l'hélix
Tubercule de l'auricule (de Darwin)
Tragus
Gouttière scaphoïde
Anthélix
Incisure inter-tragique
Conque de l'auricule { Cymba, Cavité
Antitragus
Lobule de l'auricule

Auricule droit

Longue branche de l'incus
Pli malléaire postérieur
Partie flaccide (pars flaccida)
Pli malléaire antérieur
Processus latéral du malléus
Partie tendue (pars tensa)
Manche du malléus
Ombilic de la membrane tympanique
Triangle lumineux

Membrane du tympan droit : vue otoscopique

Récessus épitympanique
Malléus
Incus
Stapès
Muscle tenseur du tympan
Cartilagineux
Osseux
Méat acoustique externe
Membrane tympanique
Caisse du tympan
Trompe auditive (d'Eustache)
Muscle élévateur du voile du palais

Coupe coronale oblique du méat acoustique externe et de l'oreille moyenne

Corde du tympan
Longue branche de l'incus
Stapès dans la fenêtre du vestibule
Processus latéral du malléus
Tendon du muscle tenseur du tympan
Manche du malléus
Promontoire
Tendon du muscle stapédien
Fossette de la fenêtre cochléaire (ronde)

Vue de la caisse du tympan après résection de la membrane tympanique

Osselets de l'ouïe

Surface articulaire avec l'incus
Tête
Processus antérieur
Col
Processus latéral
Manche

Malléus : vue latérale

Base
Branche postérieure
Branche antérieure
Tête

Stapès : vue supéro-latérale

Branche courte
Surface articulaire avec le malléus
Corps
Branche longue

Incus : vue latérale

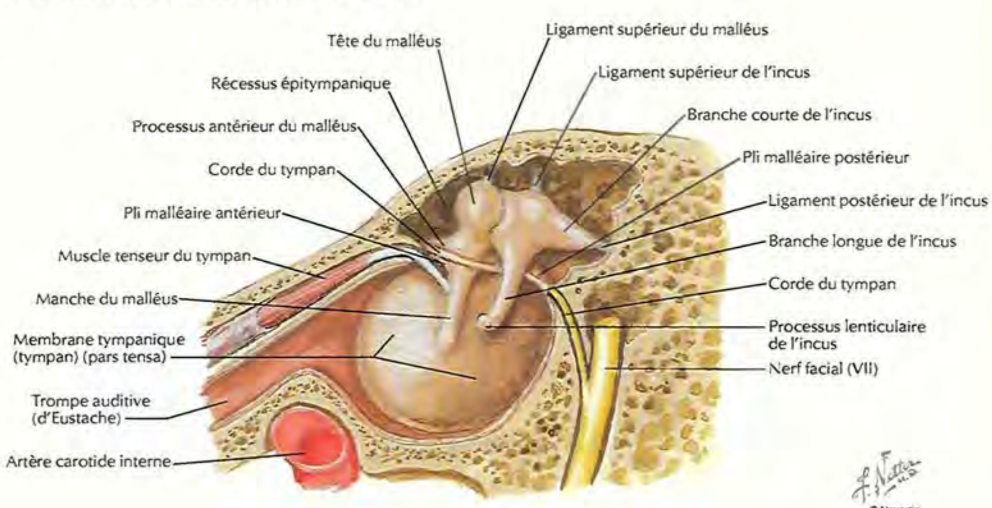
Malléus
Incus
Processus lenticulaire de l'incus
Stapès

Osselets articulés : vue médiale

Caisse du tympan

VOIR AUSSI LES PLANCHES 41, 117, 118, 129

Paroi latérale de la caisse du tympan : vue médiale



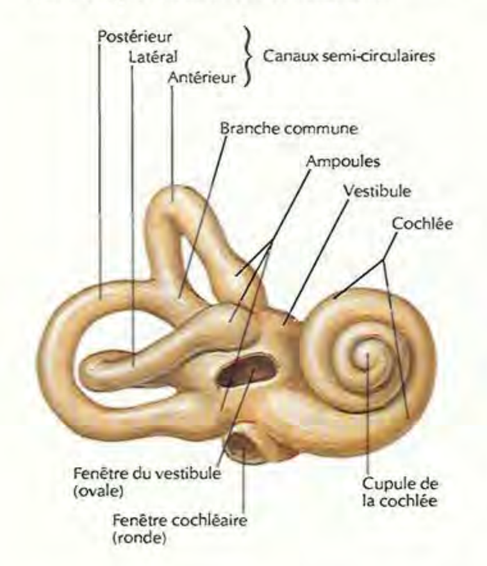
Paroi médiale de la caisse du tympan : vue latérale

Proéminence du canal semi-circulaire latéral
Proéminence du canal facial
Antre mastoïdien
Genou du nerf facial
Base du stapès dans la fenêtre (ovale) du vestibule
Nerf grand pétreux
Muscle tenseur du tympan (*tendon coupé*)
Branches du stapès
Éminence pyramidale
Trompe auditive (d'Eustache)
Corde du tympan (coupée)
Muscle élévateur du voile du palais
Cellules mastoïdiennes
Tendon du muscle stapédien
Promontoire avec sous la muqueuse le nerf et le plexus tympaniques (nerf de Jacobson)
Fossette de la fenêtre cochléaire (ronde)
Fosse jugulaire
Artère carotide interne
Nerf facial (VII) dans le foramen stylo-mastoïdien
Cellules tympaniques

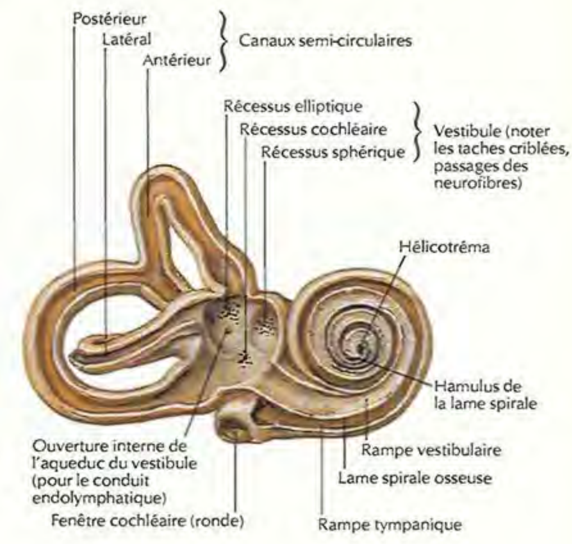
Os et labyrinthe membraneux

VOIR AUSSI LA PLANCHE 118

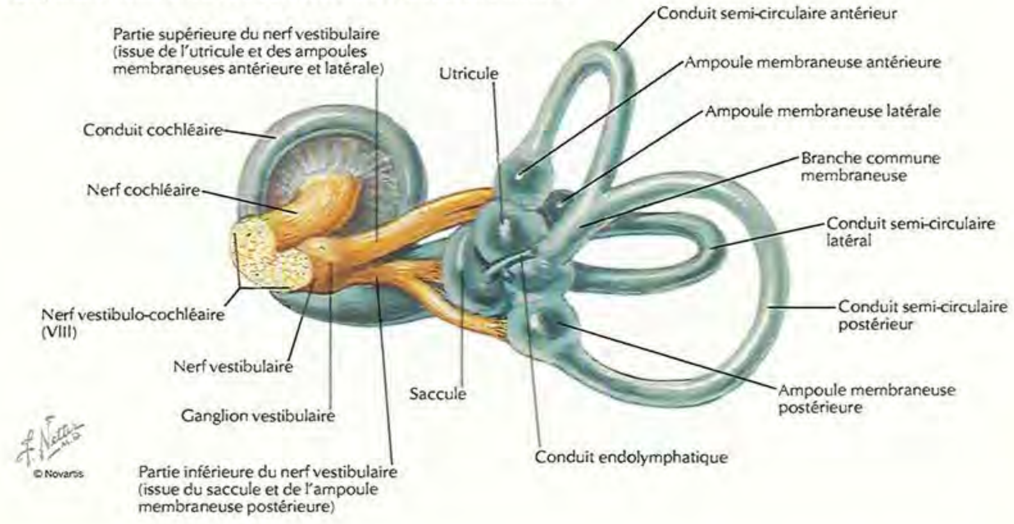
Labyrinthe osseux droit (capsule otique), vue antéro-latérale : après ablation de l'os environnant



Labyrinthe osseux droit (capsule otique) disséqué : labyrinthe membraneux ôté



Labyrinthe membraneux droit avec ses nerfs : vue postéro-médiale



Os et labyrinthe membraneux (suite)

Labyrinthes osseux et membraneux : schéma

Canal et conduit semi-circulaires antérieurs
Canal et conduit semi-circulaires postérieurs
Branches communes osseuse et membraneuse
Canal et conduit semi-circulaires latéraux
Labyrinthe osseux (capsule otique)
Stapès dans la fenêtre du vestibule
Incus
Malléus
Caisse du tympan
Méat acoustique externe
Ombilic de la membrane tympanique
Membrane tympanique
Fenêtre cochléaire (ronde) (fermée par la membrane tympanique secondaire)
Ampoules
Dure-mère
Sac endo-lymphatique
Conduit endo-lymphatique dans l'aqueduc du vestibule
Utricule
Saccule
Hélicotréma
Ductus réuniens
Rampe vestibulaire
Conduit cochléaire
Rampe tympanique
Aqueduc de la cochlée
Labyrinthe osseux (capsule otique)
Vestibule
Trompe auditive (d'Eustache)

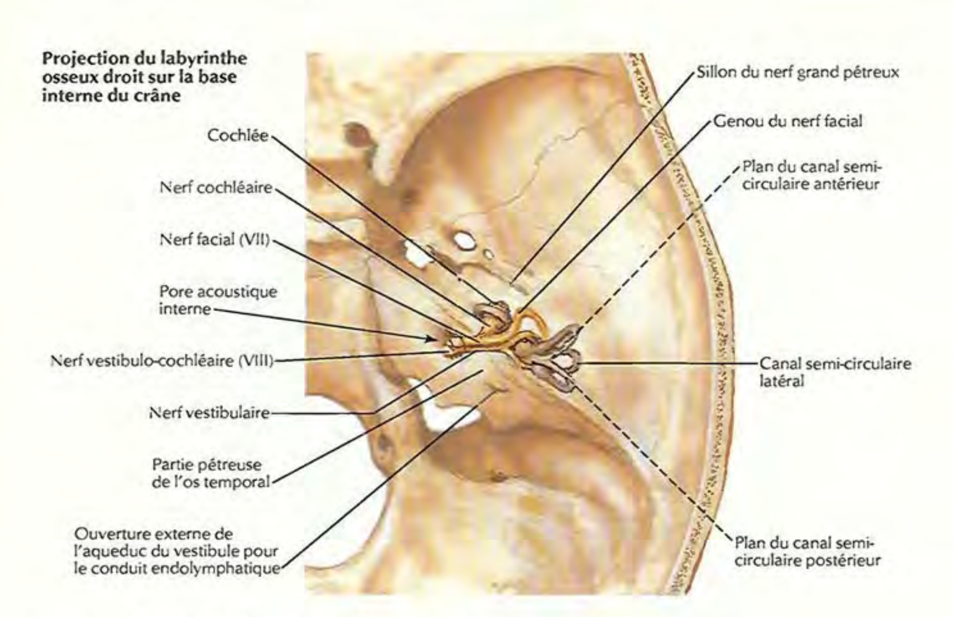
F. Netter
© Novartis

Coupe à travers une spire de la cochlée

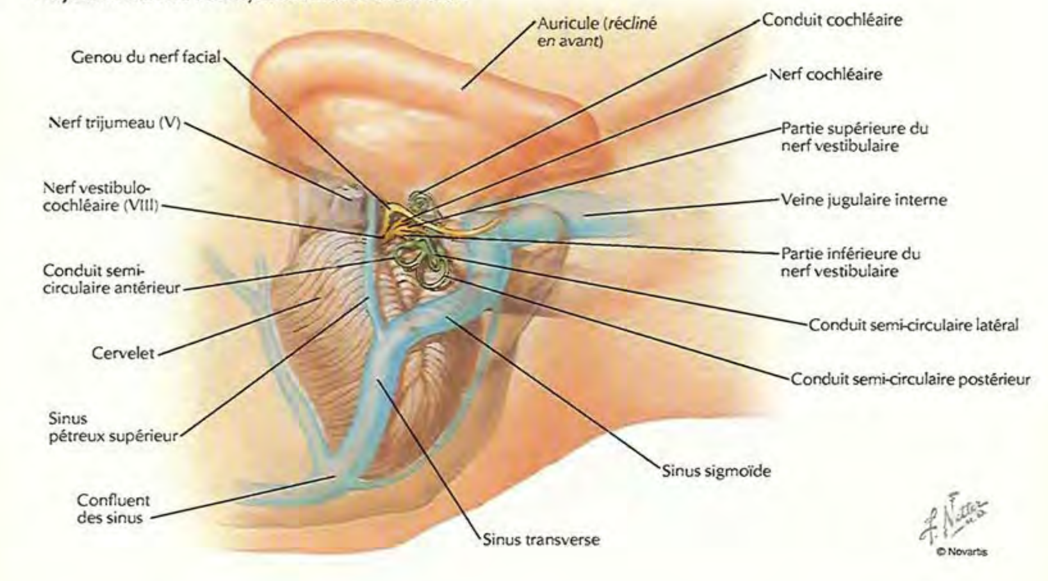
Lame spirale osseuse
Fibres nerveuses
Modiolus de la cochlée
Ganglion spiral
Rampe tympanique
Nerf cochléaire
Rampe vestibulaire
Membrane vestibulaire (de Reissner)
Conduit cochléaire
Ligament spiral
Membrana tectoria
Organe spiral (de Corti)
Membrane basilaire
Cochlée osseuse
Cellules ciliées externes
Cellules des piliers externe et interne
Cellule ciliée interne

Orientation du labyrinthe dans le crâne

Projection du labyrinthe osseux droit sur la base interne du crâne



Projection latérale du labyrinthe membraneux droit

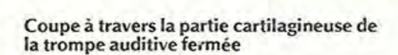


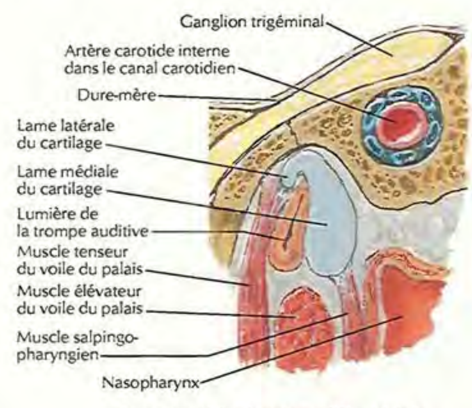
VOIR AUSSI LES PLANCHES 46, 49, 59

Partie cartilagineuse de la trompe auditive à la base externe du crâne : vue inférieure

Processus palatin du maxillaire
Hamulus de la lame ptérygoïdienne médiale
Lame horizontale de l'os palatin
Lame ptérygoïdienne latérale
Choane
Fosse scaphoïde
Lame latérale
Lame médiale
} Partie cartilagineuse de la trompe auditive
Foramen ovale
Foramen déchiré
Foramen épineux
Épine du sphénoïde
Partie pétreuse du temporal
Artère carotide interne entrant dans le canal carotidien
Condyle occipital
Processus mastoïde
Foramen magnum

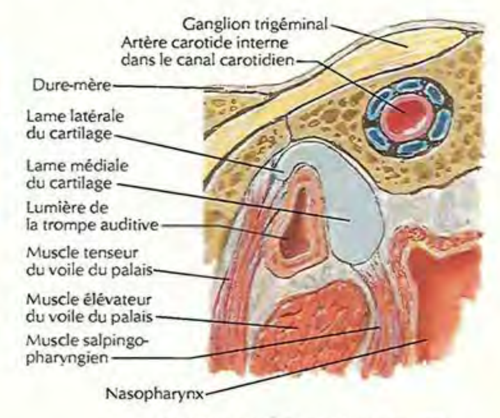
F. Netter
© Novartis


Coupe à travers la partie cartilagineuse de la trompe auditive fermée



Trompe auditive fermée par l'élasticité du cartilage, la turgescence des tissus et la contraction des muscles salpingo-pharyngiens

Coupe à travers la partie cartilagineuse de la trompe auditive ouverte



Lumière ouverte principalement quand l'insertion du muscle tenseur du voile du palais attire la paroi de la trompe latéralement pendant la déglutition

VOIR AUSSI LA PLANCHE 17

Coupe coronale et dissection

Veines diploïques
Granulation arachnoïdienne
Sinus sagittal supérieur
Veine cérébrale parcourant l'espace subdural pour entrer dans le sinus
Dure-mère (couches périostées et méningées)
Veine émissaire
Espace épidural (siège de l'hématome épidural)
Collatérales frontales et pariétales de la veine temporale superficielle
Arachnoïde
Espace subarachnoïdien
Rameaux frontal et pariétal de l'artère temporale superficielle
Pie-mère
Artère et veine méningées moyennes
Fossette granulaire contenant une granulation arachnoïdienne
Artère et veines temporales profondes, moyennes et superficielles
Lacune veineuse
Sinus sagittal inférieur
Veines thalamo-striée supérieure et choroïdienne, veines cérébrales internes, et plexus choroïde du ventricule latéral
Veines cérébrales moyenne profonde et moyenne superficielle

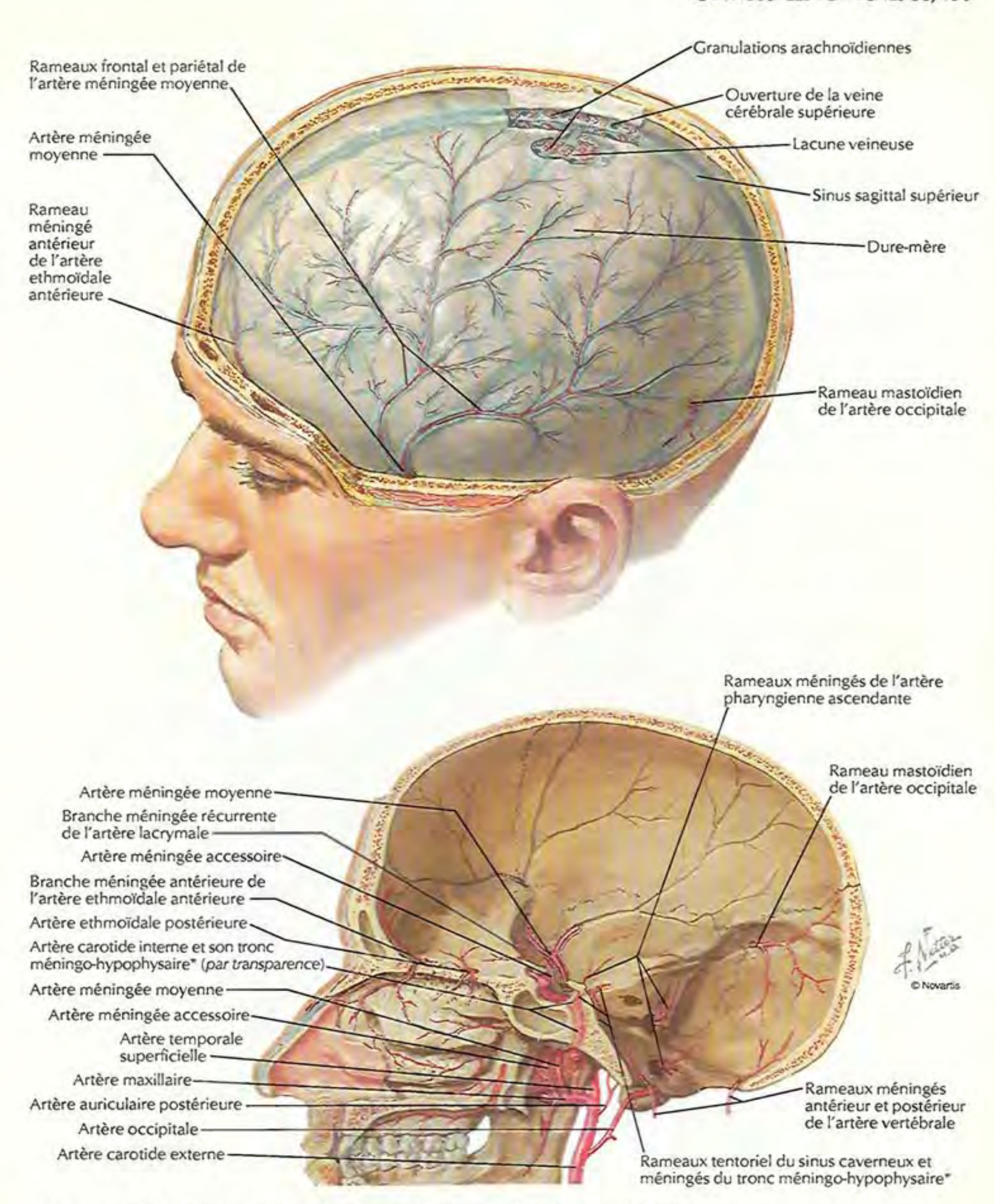
Veines diploïques et émissaires du crâne

Veine émissaire pariétale
Veine diploïque frontale
Veine diploïque temporale postérieure
Veine diploïque temporale antérieure
Veine émissaire occipitale
Veine diploïque occipitale
Veine émissaire mastoïdienne

F. Netter
© Novartis

Artères méningées

VOIR AUSSI LES PLANCHES 35, 130



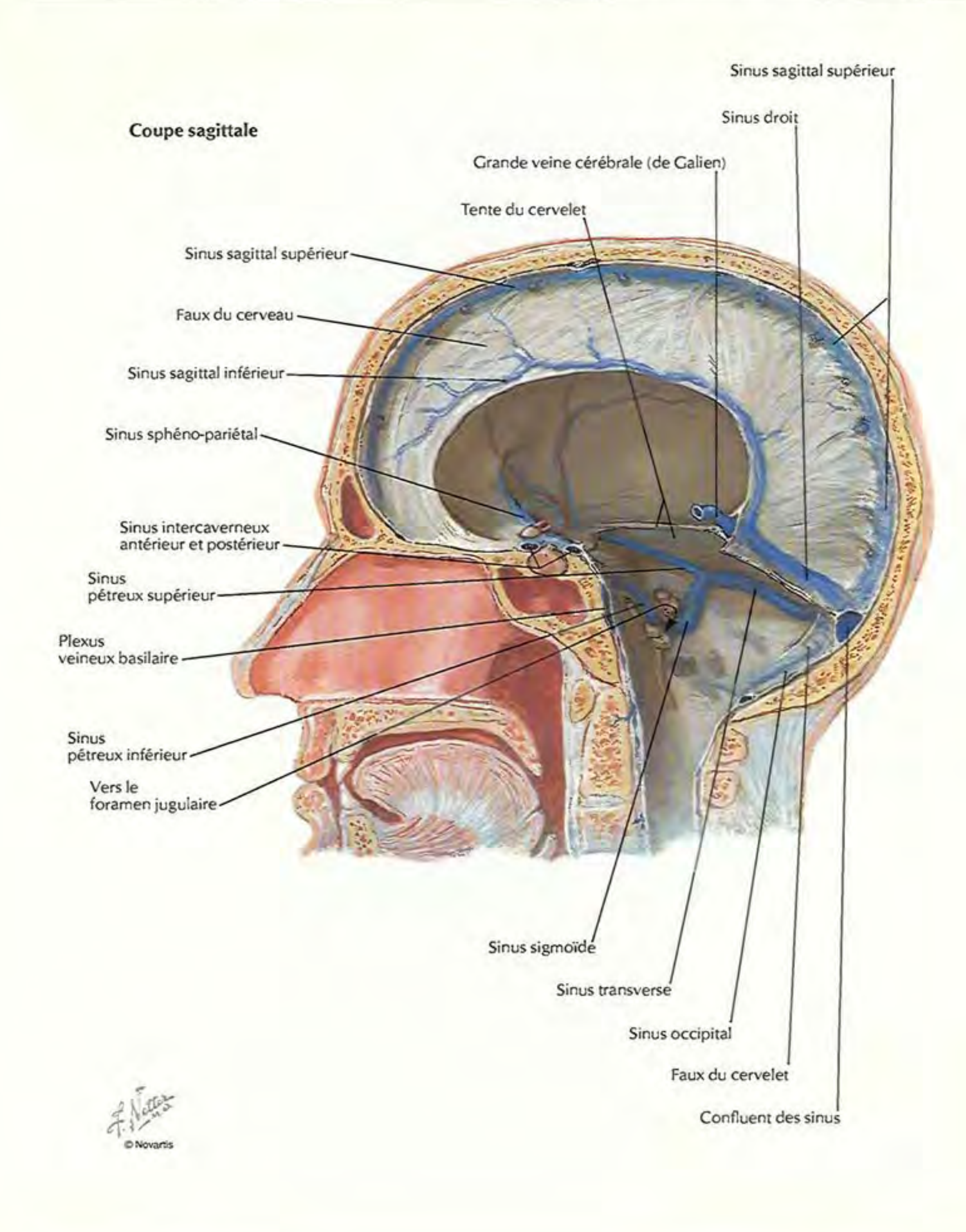
* Variation : plus fréquemment, ces branches naissent directement de l'artère carotide interne

Méninges et veines cérébrales superficielles

POUR LES VEINES PROFONDES DU CERVEAU, VOIR LA PLANCHE 138

Calvaria
Épicrâne
Fossette granulaire
Galéa aponévrotique
Granulation arachnoïdienne
Peau
Sinus sagittal supérieur
Veine émissaire
Collatérale de la veine temporale superficielle
Veine diploïque
Espace épidural (siège de l'hématome épidural)
Dure-mère
Espace subdural (siège de l'hématome subdural)
Arachnoïde
Espace subarachnoïdien
Pie-mère
Artère cérébrale
Veine cérébrale supérieure
Faux du cerveau
Hémisphère cérébral

Rameaux de l'artère méningée moyenne
Sinus sagittal supérieur
Veines cérébrales supérieures (traversant l'arachnoïde et la dure-mère pour s'ouvrir dans le sinus sagittal supérieur)
Dure-mère
Veines cérébrales supérieures (au-dessous de l'arachnoïde)
Veine anastomotique supérieure (de Trolard)
Veine anastomotique inférieure (de Labbé)
Veine cérébrale moyenne superficielle
Artère et veines méningées moyennes
Veines cérébrales inférieures (au-dessous de l'arachnoïde)
F. Netter M.D.
© Novartis



VOIR AUSSI LA PLANCHE 80

Coupe horizontale : vue supérieure

Sinus sagittal supérieur (coupé)
Faux du cerveau (coupée)
Veine ophtalmique supérieure
Sinus intercaverneux antérieur et postérieur
Veine cérébrale moyenne superficielle (coupée)
Sinus caverneux
Plexus veineux basilaire
Sinus pétreux supérieur
Sinus pétreux inférieur
Artère tentorielle
Tente du cervelet
Veine cérébrale inférieure (coupée)
Sinus transverse
Sinus sagittal inférieur (coupé)
Sinus droit
Faux du cerveau (coupée)
Confluent des sinus
Sinus sagittal supérieur (coupé)
Hypophyse (glande pituitaire)
Nerf optique (II)
Artère carotide interne
Nerf oculo-moteur (III)
Sinus sphéno-pariétal
Nerf trochléaire (IV)
Nerf ophtalmique (V_1)
Nerf maxillaire (V_2)
Ganglion trigéminal
Nerf mandibulaire (V_3)
Artère méningée moyenne
Nerf abducens (VI)
Veine pétreuse
Nerf facial (VII), nerf intermédiaire et nerf vestibulo-cochléaire
Nerfs glosso-pharyngien (IX) et vague (X)
Foramen jugulaire
Sinus sigmoïde (prolongement du sinus transverse)
Sinus transverse
Nerf accessoire (XI)
Nerf hypoglosse (XII)
Grande veine cérébrale (de Galien)

© Novartis

Sinus caverneux
Nerf oculo-moteur (III)
Nerf trochléaire (IV)
Nerf abducens (VI)
Nerf ophtalmique (V_1)
Nerf maxillaire (V_2)
Chiasma optique
Artère communicante postérieure
Artère carotide interne
Hypophyse (glande pituitaire)
Sinus sphénoïdal
Nasopharynx

Coupe coronale à travers le sinus caverneux

Sillon central (de Rolando)
Gyrus post-central
Gyrus précentral
Sillon post-central
Sillon précentral
Lobule pariétal supérieur
Gyrus frontal supérieur
Sillon intra-pariétal
Sillon frontal supérieur
Lobule pariétal inférieur
Gyrus supramarginal
Gyrus angulaire
Gyrus frontal moyen
Sillon frontal inférieur
Gyrus frontal inférieur
Partie operculaire
Partie triangulaire
Partie orbitaire
Sillon pariéto-occipital
Pôle frontal
Pôle occipital
Sillon calcarin
Sillon lunaire (inconstant)
Sillon latéral (de Sylvius) { Rameau antérieur, Rameau ascendant, Rameau postérieur }
Sillon occipital transverse
Incisure pré-occipitale
Pôle temporal
Gyrus temporal supérieur
Sillon temporal supérieur
Gyrus temporal inférieur
Sillon temporal moyen
Sillon temporal inférieur

Lobe frontal
Lobe pariétal
Lobe temporal
Lobe occipital

Opercule pariétal
Partie triangulaire
Partie orbitaire
Insula (de Reil) { Gyrus courts, Sillon central, Limen, Gyrus long, Sillon circulaire }
Opercule temporal

POUR L'HYPOPHYSE, VOIR LA PLANCHE 140

Coupe sagittale du cerveau in situ

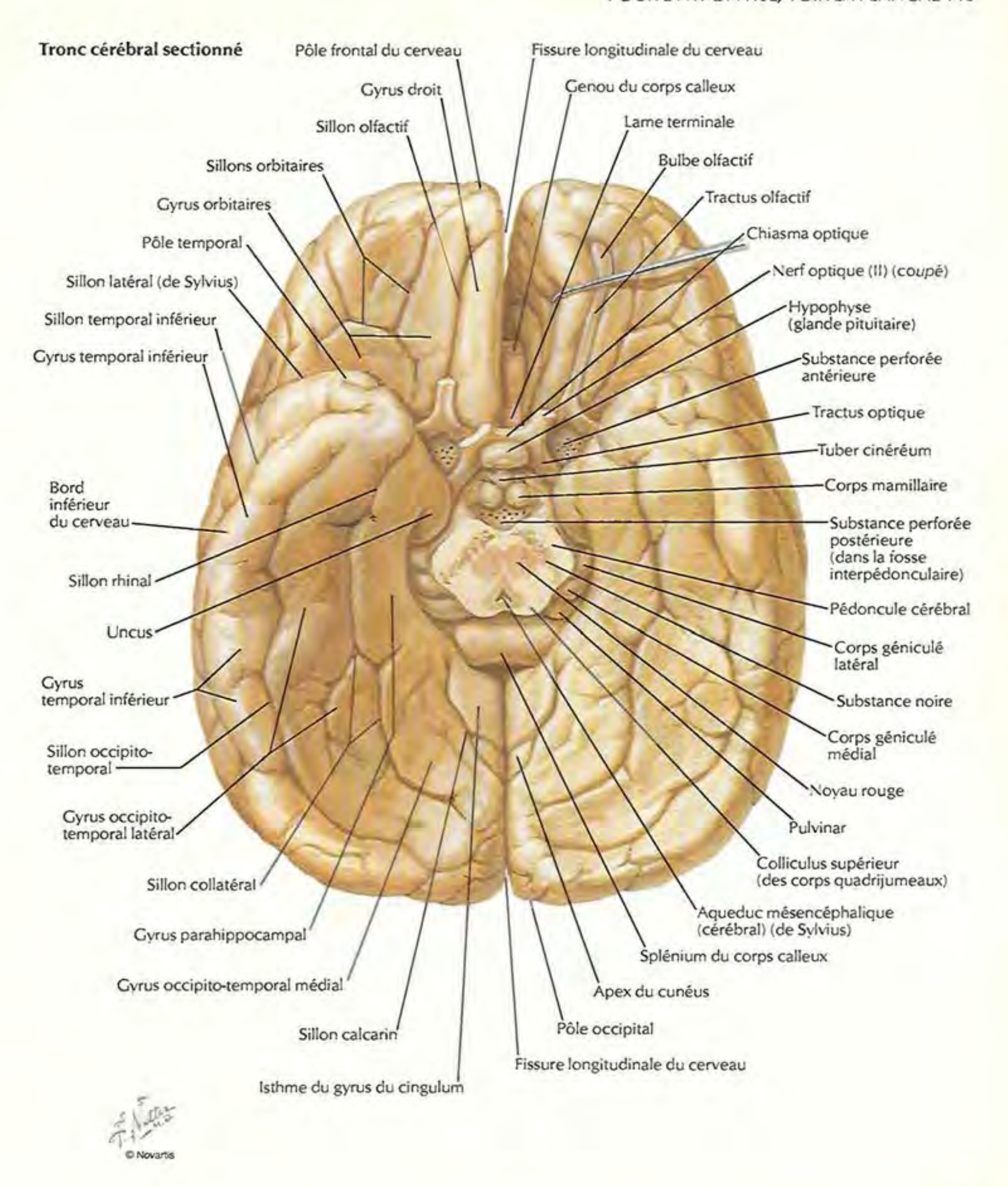
Gyrus du cingulum
Sillon paracentral
Sillon central (de Rolando)
Sillon du cingulum
Lobule para-central
Gyrus frontal médial
Sillon marginal
Sillon du corps calleux
Corps calleux
Fornix
Précunéus
Septum pellucidum
Sinus sagittal supérieur
Foramen interventriculaire (de Monro)
Plexus choroïde du 3ᵉ ventricule
Adhérence interthalamique
Strie médullaire du thalamus
Thalamus et 3ᵉ ventricule
Sillon pariéto-occipital
Cunéus
Aire subcalleuse (parolfactive)
Commissure habénulaire
Commissure antérieure
Corps pinéal
Commissure postérieure
Gyrus paraterminal
Sillon calcarin
Sillon hypothalamique
Sinus droit dans la tente du cervelet
Lame terminale
Grande veine cérébrale (de Galien)
Récessus supra-optique
Colliculus supérieur
Colliculus inférieur
Chiasma optique
Lame tectale (quadrigéminale)
Tuber cinéreum
Cervelet
Hypophyse (glande pituitaire)
Voile médullaire supérieur
Corps mamillaire
4ᵉ ventricule et plexus choroïde
Pédoncule cérébral
Voile médullaire inférieur
Pont
Aqueduc mésencéphalique cérébral (de Sylvius)
Moelle allongée

Face médiale de l'hémisphère cérébral : tronc cérébral réséqué

Genou, Rostrum, Tronc, Splénium } du corps calleux
Gyrus du cingulum
Isthme du gyrus du cingulum
Faisceau mamillo-thalamique
Sillon pariéto-occipital
Corps mamillaire
Cunéus
Uncus
Sillon calcarin
Nerf optique (II)
Gyrus lingual
Tractus olfactif
Sillon collatéral
Pilier, Corps, Colonne } du fornix
Sillon rhinal
Gyrus occipito-temporal médial
Fimbria de l'hippocampe
Sillon occipito-temporal
Gyrus dentatus
Gyrus occipito-temporal latéral
Gyrus parahippocampal

Encéphale : vue inférieure

POUR L'HYPOPHYSE, VOIR LA PLANCHE 140



Ventricules de l'encéphale

Vue latérale gauche, en transparence

Ventricule latéral droit
Corne frontale (antérieure)
Partie frontale
Corne temporale (inférieure)
Corne occipitale (postérieure)
Ventricule latéral gauche
Aqueduc mésencéphalique (cérébral) (de Sylvius)
4e ventricule
Ouverture latérale du 4e ventricule (de Luschka)
Récessus latéral gauche
Ouverture médiane du 4e ventricule (de Magendie)
Canal central de la moelle spinale
Foramen interventriculaire gauche (de Monro)
3e ventricule
Récessus supra-optique
Adhérence interthalamique
Récessus infundibulaire
Récessus pinéal
Récessus supra-pinéal

Corps calleux
Septum pellucidum
Ventricule latéral
Corps du noyau caudé
Plexus choroïde du ventricule latéral
Strie terminale
Veine thalamo-striée supérieure
Corps du fornix
Veine interne du cerveau
Toile choroïdienne du 3e ventricule
Plexus choroïde du 3e ventricule
Thalamus
Putamen
Globus pallidus
Noyau lenticulaire
Capsule interne
Adhérence interthalamique du 3e ventricule
Hypothalamus
Queue du noyau caudé
Tractus optique
Plexus choroïde du ventricule latéral
Corne temporale (inférieure) du ventricule latéral
Fimbria de l'hippocampe
Hippocampe
Gyrus dentatus
Gyrus parahippocampal
Flèche blanche dans le foramen interventriculaire gauche (de Monro)
Épendyme
Pie-mère

Coupe frontale du cerveau : vue postérieure

Circulation du liquide cérébro-spinal

Plexus choroïde du ventricule latéral (*en transparence*)
Sinus sagittal supérieur
Citerne du corps calleux
Espace subarachnoïdien
Dure-mère
Granulations arachnoïdiennes
Arachnoïde
Foramen interventriculaire (de Monro)
Citerne chiasmatique
Plexus choroïde du 3e ventricule
Citerne interpédonculaire
Aqueduc mésencéphalique (cérébral) (de Sylvius)
Citerne pré-pontique
Ouverture latérale du 4e ventricule (de Luschka)
Plexus choroïde du 4e ventricule
Dure-mère
Arachnoïde
Espace subarachnoïdien
Canal central de la moelle spinale
Citerne quadrigéminale (de la grande veine cérébrale)
Citerne cérébello-médullaire postérieure
Ouverture médiane du 4e ventricule (de Magendie)

F. Netter M.D.

Noyaux de la base (ganglions)

Coupe horizontale du cerveau

A
B
Genou du corps calleux
Ventricule latéral
Septum pellucidum
Colonne du fornix
Lobe insulaire (insula de Reil)
Adhérence interthalamique
Thalamus
Pilier du fornix
Plexus choroïde du ventricule latéral
Splénium du corps calleux
Tête du noyau caudé
Capsule interne: Bras antérieur, Genou, Bras postérieur
Noyau lenticulaire: Putamen, Globus pallidus
3e ventricule
Capsule externe
Claustrum
Partie rétro-lenticulaire de la capsule interne
Queue du noyau caudé
Hippocampe et fimbria
Corne occipitale (postérieure) du ventricule latéral
Habénula
Corps pinéal
A
B

Systématisation des noyaux de la base

Noyau caudé — Putamen — Globus pallidus
Putamen + Globus pallidus → Noyau lenticulaire
Noyau caudé + Putamen → Striatum
Striatum + Noyau lenticulaire → Corps strié
Corps strié → Noyaux de la base (ganglions)

F. Netter M.D.

Espace pour la capsule interne
Noyau caudé: Corps, Tête
Thalamus
Niveaux des coupes ci-dessus: A, B
A
B
Pulvinar
Corps géniculé médial
Corps géniculé latéral
Noyau lenticulaire (globus pallidus, médial au putamen)
Corps amygdaloïde
Queue du noyau caudé

Rapports du thalamus, du noyau lenticulaire, du noyau caudé et du corps amygdaloïde (schéma) : vue latérale gauche

Foramen interventriculaire (de Monro)
Toile choroïdienne du 3e ventricule (*réséquée*)
3e ventricule
Plexus choroïde
Veine thalamo-striée supérieure
Pied de l'hippocampe
Corne temporale (inférieure) du ventricule latéral
Veine cérébrale interne
Gyrus dentatus
Éminence collatérale
Hippocampe
Fimbria de l'hippocampe
Commissure postérieure
Commissure habénulaire
Corps pinéal
Trigone collatéral
Calcar avis
Corne occipitale (postérieure) du ventricule latéral
Sillon calcarin
Corps calleux (*coupé*)
Tête du noyau caudé
Septum pellucidum
Colonnes du fornix
Tubercule antérieur
Strie terminale
Adhérence interthalamique
Lamina affixa
Strie médullaire
Trigone habénulaire
Pulvinar (*écarté*)
Corps géniculé latéral
Corps géniculé médial
Bras du colliculus supérieur
Bras du colliculus inférieur
Colliculus supérieur
Colliculus inférieur
Cervelet

Lame médullaire interne
Pulvinar
MD
LP
Noyau intralaminaire
M
VPL
CM
VPM
Noyau réticulaire
Lame médullaire externe
Noyau médian

Coupe schématique à travers le thalamus
(au niveau du pointillé de la figure de droite)

Noyau(x) thalamique(s)

CM	Centro-médian
LD	Latéral dorsal
LP	Latéral postérieur
M	Médial
MD	Médial dorsal
VA	Ventral antérieur
VI	Ventral intermédiaire
VL	Ventral latéral
VP	Ventral postérieur
VPL	Ventral postéro-latéral
VPM	Ventral postéro-médial

Adhérence interthalamique
3e ventricule
Médian
Médial
Lame
Antérieur
Lame médullaire interne
LD
VA
LP
VL
VP
VPL
VPM
VI
3e ventricule
Pulvinar
Corps géniculé latéral
Corps géniculé médial

Représentation schématique du thalamus
(après résection de la lame médullaire externe et des noyaux réticulaires)

Noyaux latéraux
Noyaux médiaux
Noyaux antérieurs

Dissection : vue supérieure

Genou du corps calleux (*coupé*)
Septum pellucidum
Tête du noyau caudé
Colonnes du fornix
Strie terminale
Corps du fornix
Pied de l'hippocampe
Thalamus
Piliers du fornix
Gyrus dentatus
Fimbria de l'hippocampe
Hippocampe
Commissure du fornix
Splénium du corps calleux (*coupé*)
Ventricule latéral
Calcar avis
Corne occipitale (postérieure) du ventricule latéral

Colonnes du fornix
Corps du fornix
Commissure du fornix
Piliers du fornix
Corps mamillaires
Corps amygdaloïdes
Fimbria de l'hippocampe
Hippocampe

Fornix : schéma

Queue du noyau caudé
Plexus choroïde
Fimbria de l'hippocampe
Tractus optique
Sillon de l'hippocampe
Gyrus dentatus
Hippocampe
Alvéus de l'hippocampe
Corne temporale (inférieure) du ventricule latéral

Coupe frontale : vue postérieure

Face supérieure

Incisure cérébelleuse antérieure

Partie supérieure du vermis
- Lobule central (II & III)
- Culmen (IV & V)
- Déclive (VI)
- Folium (VII A)

Incisure cérébelleuse postérieure

Lobe antérieur
- Lobule quadrangulaire (H IV-V)
- Fissure primaire
- Fissure horizontale
- Lobule simplex (H VI)

Lobe postérieur
- Fissure post-lunaire
- Lobule semi-lunaire supérieur (ansiforme) (H VII A)
- Fissure horizontale
- Lobule semi-lunaire inférieur (caudal) (H VII B)

Face inférieure

Partie supérieure du vermis
- Lobule central
- Lingula (I)

Voile médullaire supérieur
Flocculus (H X)
4e ventricule
Voile médullaire inférieur

Partie inférieure du vermis
- Nodule (X)
- Uvule (IX)
- Pyramide (VIII)
- Tuber (VII B)

Incisure cérébelleuse postérieure

Lobe antérieur
- Aile du lobule central

Pédoncules cérébelleux
- Supérieur
- Moyen
- Inférieur

Lobe flocculo-nodulaire
- Fissure postéro-latérale (dorso-latérale)
- Fissure rétro-tonsillaire

Lobe postérieur
- Tonsille cérébelleuse
- Lobule digastrique (H VIII)
- Fissure secondaire (post-pyramidale)
- Fissure horizontale
- Lobule semi-lunaire inférieur (caudal) (H VII B)

Décussation des pédoncules cérébelleux supérieurs
4e ventricule
Voile médullaire supérieur

Noyaux cérébelleux
- Noyau fastigial
- Noyaux globuleux
- Noyau denté
- Noyau emboliforme

Pédoncule cérébral
Faisceau longitudinal médial
Noyaux de la moelle allongée
Pédoncule cérébelleux supérieur
Lingula (I)
Vermis

F. Netter M.D.
© Novartis

Coupe transversale au niveau du pédoncule cérébelleux supérieur

Vue postéro-latérale

Pulvinars des thalamus
Corps pinéal
Colliculus supérieurs
Colliculus inférieurs
Nerf trochléaire (IV)
Voile médullaire supérieur
Pédoncule cérébelleux supérieur
Fosse rhomboïde du 4e ventricule
Nerfs glosso-pharyngien (IX) et vague (X)
Tubercule cunéiforme
Tubercule gracile
Racines dorsales du 1er nerf spinal (C1)
Faisceau cunéiforme
Faisceau gracile

Thalamus (*sectionné*)
Corps géniculé latéral
Tractus optique
Corps géniculé médial
Bras des colliculus supérieur et inférieur
Pédoncule cérébral
Pont
Nerf trijumeau (V)
Pédoncule cérébelleux moyen
Nerf vestibulo-cochléaire (VIII)
Nerf facial (VII)
Pédoncule cérébelleux moyen
Nerf hypoglosse (XII)
Nerf accessoire (XI)

F. Netter
© Novartis

Vue antérieure

Chiasma optique
Tractus optique
Tuber cinéreum
Pédoncule cérébral
Corps géniculé latéral
Substance perforée postérieure
Pont
Pédoncule cérébelleux moyen
Olive
Pyramide
Racines ventrales du 1er nerf spinal (C1)
Décussation des pyramides

Tractus olfactif
Substance perforée antérieure
Infundibulum (tige pituitaire)
Corps mamillaires
Lobe temporal (*sectionné*)
Nerf oculo-moteur (III)
Nerf trochléaire (IV)
Nerf trigéminal (V)
Nerf abducens (VI)
Nerf facial (VII) et nerf intermédiaire
Nerf vestibulo-cochléaire (VIII)
Flocculus
Plexus choroïde du 4e ventricule
Nerf glosso-pharyngien (IX)
Nerf vague (X)
Nerf hypoglosse (XII)
Nerf accessoire (X)

Quatrième ventricule et cervelet

Vue postérieure

3e ventricule
Pulvinar
Corps pinéal
Colliculus supérieur
Colliculus inférieur
Nerf trochléaire (IV)
Voile médullaire supérieur
Pédoncules cérébelleux { Supérieur, Moyen, Inférieur
Récessus latéral
Fossette supérieure
Sulcus limitans
Fossette inférieure
Tubercule trigéminal
Trigone hypoglossal
Trigone vagal
Obex
Trigone habénulaire
Médial, Latéral } Corps géniculés
Sillon dorsal médian
Pédoncule cérébelleux supérieur
Locus céruléus
Éminence médiale
Collicule facial
Aire vestibulaire
Noyau denté du cervelet
Stries médullaires
Ténia du 4e ventricule
Tubercule cunéiforme
Tubercule gracile
Sillon médian dorsal
Cordon latéral
Faisceau cunéiforme
Faisceau gracile

Coupe sagittale médiane

Corps du fornix
Thalamus (dans le 3e ventricule)
Foramen interventriculaire (de Monro)
Commissure antérieure
Lame terminale
Sillon hypothalamique
Tegmentum du mésencéphale
Aqueduc mésencéphalique (cérébral) (de Sylvius)
Colliculus supérieur
Lame quadrigéminale
Colliculus inférieur
Pont
Faisceau longitudinal médial
4e ventricule
Plexus choroïde du 4e ventricule
Moelle allongée
Ouverture médiane du 4e ventricule (de Magendie)
Décussation des pyramides
Canal central de la moelle spinale
Adhérence interthalamique
Commissure postérieure
Commissure habénulaire
Corps pinéal
Splénium du corps calleux
Grande veine cérébrale (de Galien)
Lingula (I)
Lobule central (II & III)
Culmen (IV & V)
Déclive (VI)
Folium (VII A)
} Vermis du cervelet
Voile médullaire supérieur
Voile médullaire inférieur
Tuber (VII B)
Pyramide (VIII)
Uvule (IX)
Nodule (X)
} Vermis du cervelet
Plexus choroïde du 4e ventricule
Tonsille cérébelleuse

Noyaux des nerfs crâniens dans le tronc cérébral : schéma

Vue postérieure (*en transparence*)

Colliculus supérieur
Corps géniculé latéral
Noyau mésencéphalique trigéminal
Noyau sensitif principal du nerf trijumeau
Nerf trijumeau (V) et ganglion trigéminal
Nerf facial (VII) et ganglion géniculé
Nerf vestibulo-cochléaire (VIII)
Noyaux cochléaires { Antérieur, Postérieur
Noyaux vestibulaires
Nerf glosso-pharyngien (IX)
Nerf vague (X)
Tractus spinal et noyau spinal du nerf trijumeau
Noyau solitaire
Noyau dorsal du nerf vague
Nerf oculo-moteur (III)
Noyau rouge
Noyau oculo-moteur
Noyau oculo-moteur accessoire (d'Edinger-Westphal)
Noyau trochléaire
Nerf trochléaire (IV)
Noyau moteur du nerf trijumeau
Nerf trijumeau (V) et ganglion trigéminal
Noyau abducens
Noyau facial
Ganglion géniculé du nerf facial
Noyaux salivaires supérieur et inférieur
Nerf glosso-pharyngien (IX)
Nerf vague (X)
Nerf accessoire (XI)
Noyau ambigu
Noyau dorsal du nerf vague (X) (postérieur)
Noyau du nerf hypoglosse
Noyau spinal du nerf accessoire

Fibres efférentes
Fibres afférentes
Fibres mixtes

Noyaux des nerfs crâniens dans le tronc cérébral : schéma (suite)

Coupe médiale

Noyau oculo-moteur accessoire (d'Edinger-Westphal)
Noyau rouge
Noyau oculo-moteur
Nerf oculo-moteur (III)
Noyau trochléaire
Noyau mésencéphalique du nerf trijumeau
Nerf trochléaire (IV)
Noyau abducens
Nerf trijumeau (V) et ganglion trigéminal
Genou interne du nerf facial
Noyau sensitif principal du nerf trijumeau
Noyau facial
Noyaux vestibulaires
Noyau moteur du nerf trijumeau
Noyaux cochléaires antérieur et postérieur
Nerf facial (VII)
Noyaux salivaires supérieur et inférieur
Nerf vestibulo-cochléaire (VIII)
Noyau du tractus solitaire
Nerf abducens (VI)
Noyau dorsal du nerf vague (X) (postérieur)
Nerf glosso-pharyngien (IX)
Nerf hypoglosse (XII)
Noyau du nerf hypoglosse
Nerf vague (X)
Noyau ambigu
Nerf accessoire (XI)
Noyau spinal du nerf accessoire
Olive
Tractus spinal et noyau spinal du nerf trijumeau

Fibres efférentes
Fibres afférentes
Fibres mixtes

F. Netter M.D.

Nerfs crâniens (distribution motrice et sensitive) : schéma

Fibres du nerf spinal
Fibres efférentes (motrices)
Fibres afférentes (sensitives)

I
Nerf olfactif

II
Nerf optique

III
Nerf oculo-moteur
Muscle ciliaire, sphincter de la pupille et tous les muscles de l'œil exceptés les muscles ci-dessous

IV
Nerf trochléaire
Muscle oblique supérieur

V
Nerf trigéminal
Sensitif : sinus de la face, dents
Ophtalmique
Maxillaire
Mandibulaire
Moteur : muscles de la mastication

VI
Nerf abducens
Muscle droit latéral

VII
Nerf facial
Muscles de la face

Nerf intermédiaire
Moteur : glandes submandibulaire, sublinguale et lacrymale
Goût : deux tiers antérieurs de la langue, voile du palais

VIII
Nerf vestibulo-cochléaire
Cochléaire Vestibulaire

IX
Nerf glosso-pharyngien
Goût : tiers postérieur de la langue, tonsille palatine, pharynx, oreille moyenne
Sensitif : muscle stylo-pharyngien, muscles supérieurs du pharynx, glande parotide
Moteur : muscle stylo-pharyngien, muscles supérieurs du pharynx, glande parotide

X
Nerf vague
Moteur : cœur, poumons, palais, pharynx, larynx, trachée, bronches, glandes du tube digestif
Sensitif : cœur, poumons, trachée, bronches, larynx, pharynx, glandes du tractus digestif, oreille externe

XII
Nerf hypoglosse
Muscles de la langue

XI
Nerf accessoire
Muscles sterno-cléido-mastoïdien et trapèze

Rameaux musculaires (fibres C1, C2)

F. Netter M.D.

Nerfs olfactifs (I) : schéma

Cellules olfactives du bulbe

Neurofibres efférentes du bulbe olfactif
Neurofibres afférentes du bulbe destinées aux connexions centrales et au bulbe controlatéral
Cellule granulaire (excitée et inhibée par les cellules mitrales et étoilées)
Cellule mitrale
Fibres récurrentes
Cellule étoilée
Cellule glomérulaire
Glomérule
Fibres du nerf olfactif

Aire subcalleuse (parolfactive)
Aire septale et noyaux septaux
Fibres efférentes
Fibres afférentes
Bulbe olfactif controlatéral
Commissure antérieure
Strie olfactive médiale

Cellules olfactives
Muqueuse olfactive
Nerfs olfactifs (I)
Bulbe olfactif
Lame criblée de l'ethmoïde
Noyau olfactif antérieur
Tractus olfactif
Trigone et tubercule olfactifs
Strie olfactive latérale
Noyau latéral du tractus olfactif
Substance perforée antérieure
Corps amygdaloïde (*en transparence*)
Lobe piriforme
Uncus
Fimbria de l'hippocampe
Gyrus dentatus
Gyrus parahippocampal

Nerf optique (II) (voie visuelle) : schéma

G
A
B
H
R R C
C
P
Choroïde
Choroïde
Périphérie
Macula

Structure de la rétine : schéma

- **A** Cellules amacrines
- **B** Cellules bi-polaires
- **C** Cônes
- **G** Cellules ganglionnaires
- **H** Cellules horizontales
- **P** Cellules pigmentaires
- **R** Bâtonnets

Superposition des champs visuels

Le cercle central plus noir représente la zone maculaire

Les ombres plus claires représentent les champs mono-oculaires

Une couleur différente pour chaque quadrant

Projection sur la rétine gauche
Projection sur la rétine droite
Nerfs optiques (II)
Chiasma optique
Projection sur le noyau du corps géniculé dorso-latéral gauche
Projection sur le noyau du corps géniculé dorso-latéral droit
Tractus optiques
Corps géniculés latéraux
Radiation optique
Radiation optique
Sillon calcarin
Sillon calcarin
Projection sur le lobe occipital gauche
Projection sur le lobe occipital droit

Nerfs oculo-moteur (III), trochléaire (IV) et abducens (VI) : schéma

VOIR AUSSI LES PLANCHES 81, 126, 153

Nerf ciliaire long
Ganglion ciliaire
Nerfs ciliaires courts
Nerf ethmoïdal postérieur
Nerf ethmoïdal antérieur
Racine sensitive du ganglion ciliaire
Muscle oblique supérieur
Racine sympathique du ganglion ciliaire
Muscle élévateur de la paupière supérieure
Division supérieure du nerf oculo-moteur
Muscle droit supérieur
Nerf frontal (*coupé*)
Nerf lacrymal (*coupé*)
Nerf naso-ciliaire
Noyau abducens
Noyau trochléaire
Noyau oculo-moteur
Noyau oculo-moteur accessoire (d'Edinger-Westphal) (parasympathique)
Nerf trochléaire (IV)
Nerf oculo-moteur (III)
Nerf ophtalmique (V_1)
Nerf infra-orbitaire
Nerf zygomatique (*coupé*)
Muscle oblique inférieur
Muscle ciliaire
Muscle dilatateur de la pupille
Muscle sphincter de la pupille
Ganglion ptérygo-palatin
Division inférieure du nerf oculo-moteur
Muscle droit médial
Muscle droit inférieur
Racine parasympathique du ganglion ciliaire
Nerf abducens (VI)
Nerf mandibulaire (V_3)
Artère carotide interne et plexus nerveux
Nerf maxillaire (V_2)
Muscle droit latéral et nerf abducens (*récliné*)
Plexus caverneux
Anneau tendineux commun

Fibres efférentes
Fibres afférentes
Fibres sympathiques
Fibres parasympathiques

F. Netter

Nerf trijumeau (V) : schéma

VOIR AUSSI LES PLANCHES 18, 37, 38, 40, 41, 153

Fibres efférentes
Fibres afférentes
Fibres proprioceptives
Fibres parasympathiques
Fibres sympathiques

Nerf ophtalmique (V_1)
Rameau tentoriel (méningé)
Nerf naso-ciliaire
Nerf lacrymal
Racine sensitive du ganglion ciliaire
Nerf frontal
Ganglion ciliaire
Nerf ethmoïdal postérieur
Nerf ciliaire long
Nerfs ciliaires courts
Nerf ethmoïdal antérieur
Nerf supra-orbitaire
Nerf supra-trochléaire
Nerf infra-trochléaire
Rameaux nasaux internes et Rameaux nasaux externes du nerf ethmoïdal antérieur

Nerf trijumeau (V), ganglion et noyaux trigéminaux
Noyau moteur
Noyau mésencéphalique
Noyau principal sensitif
Tractus et noyau spinaux

Nerf maxillaire (V_2)
Rameau méningé
Nerf zygomatico-temporal
Nerf zygomatico-facial
Nerf zygomatique
Nerf infra-orbitaire
Ganglion ptérygo-palatin
Rameaux alvéolaires supérieurs du nerf infra-orbitaire
Rameaux nasaux (postéro-supérieur latéral, naso-palatin et postéro-supérieur médial)
Nerf du canal ptérygoïdien (Vidien) (issu du nerf facial [VII] et du plexus carotidien)
Rameau pharyngien
Nerfs grand et petit palatins

Nerf facial (VII)
Corde du tympan

Nerfs temporaux profonds (pour le muscle temporal)
Nerfs ptérygoïdien latéral et massétérique
Nerfs tenseur du voile du palais et ptérygoïdien médial
Nerf buccal
Nerf mentonnier
Plexus dentaire inférieur
Nerf lingual
Ganglion submandibulaire
Nerf mylo-hyoïdien
Nerf mandibulaire (V_3)
Nerf alvéolaire inférieur
Ganglion otique
Nerf tenseur du tympan
Rameaux temporaux superficiels
Rameau articulaire et nerfs articulaires antérieurs
Nerf auriculo-temporal
Rameaux parotidiens
Rameau méningé
Nerf petit pétreux (issu du nerf glosso-pharyngien [IX])

F. Netter

Nerf facial (VII) : schéma

VOIR AUSSI LES PLANCHES 19, 153

Nerf grand pétreux
Nerf pétreux profond (issu du plexus carotidien interne)
Nerf petit pétreux
Nerf du canal ptérygoïdien (Vidien)
Ganglion otique
Ganglion ptérygo-palatin
Nerf facial (VII)
Ganglion géniculé
Plexus carotidien interne (sur l'artère carotide interne)
Méat acoustique interne
Nerf intermédiaire
Noyau moteur du nerf facial
Noyau salivaire supérieur
Noyau solitaire

Muscles faciaux
Ventre frontal du muscle occipito-frontal
Muscle orbiculaire de l'œil
Muscle corrugateur du sourcil
Muscle grand zygomatique
Muscle petit zygomatique
Muscle procérus
Muscle releveur de la lèvre supérieure
Muscle releveur de la lèvre supérieure et de l'aile du nez
Muscle releveur de l'angle de la bouche
Muscle nasal
Muscle abaisseur du septum nasal
Muscle orbiculaire de l'œil
Muscle abaisseur de l'angle de la bouche
Muscle abaisseur de la lèvre inférieure
Muscle mentonnier
Muscle risorius (non représenté)
Muscle buccinateur
Platysma

Rameaux temporaux
Rameaux zygomatiques
Goût : partie antérieure de la langue
Rameaux buccaux
Rameau cervical
Rameau marginal de la mandibule
Ventre occipital du muscle occipito-frontal
Rameau occipital du nerf auriculaire postérieur
Rameaux des muscles auriculaires
Nerf auriculaire postérieur
Nerf du muscle stapédien
Foramen stylo-mastoïdien
Plexus tympanique
Nerf tympanique (de Jacobson) (issu du nerf glosso-pharyngien)
Nerf glosso-pharyngien (IX)
Muscle digastrique (ventre postérieur)
Muscle stylo-hyoïdien
Nerf carotico-tympanique (issu du plexus carotidien interne)
Corde du tympan
Nerf lingual (branche du trijumeau)
Ganglion submandibulaire
Glande submandibulaire
Glande sublinguale

Fibres efférentes
Fibres afférentes
Fibres parasympathiques
Fibres sympathiques

Nerf vestibulo-cochléaire (VIII) : schéma

Fibres afférentes

Canal facial
Caisse du tympan
Site du ganglion géniculé du nerf facial
Corde du tympan
Nerf grand pétreux
Tête du malléus
Incus
Ganglion spinal (cochléaire)
Nerf vestibulaire
Nerf cochléaire
Racine motrice du nerf facial et du nerf intermédiaire
Nerf vestibulo-cochléaire (VIII)
Moelle allongée (coupe transversale)
Noyaux vestibulaires (systématisés): Médial, Supérieur, Inférieur, Latéral
Noyaux cochléaires: Antérieur, Postérieur
Pédoncule cérébelleux inférieur
Méat acoustique interne
Ganglion vestibulaire
Ampoule du conduit semi-circulaire latéral
Ampoule du conduit semi-circulaire antérieur
Utricule
Ampoule du conduit semi-circulaire postérieur
Saccule
Partie supérieure / Partie inférieure du nerf vestibulo-cochléaire

Nerf glosso-pharyngien (IX) : schéma

VOIR AUSSI LA PLANCHE 153

Fibres efférentes
Fibres afférentes
Fibres parasympathiques

Tractus et noyau spinaux du nerf trijumeau
Noyau solitaire
Noyau ambigu
Noyau salivaire inférieur
Ganglion géniculé du nerf facial
Nerf tympanique (de Jacobson)
Cavité et plexus tympaniques
Foramen stylo-mastoïdien
Nerf carotico-tympanique (issu du plexus carotidien interne)
Nerf grand pétreux
Nerf pétreux profond
Nerf du canal ptérygoïdien (Vidien)
Nerf petit pétreux
Ganglion ptérygo-palatin
Nerf mandibulaire (V_3)
Ganglion otique
Nerf auriculo-temporal
Glande parotide
Rameau tubaire du nerf glosso-pharyngien
Trompe auditive (d'Eustache) et son ostium pharyngien
Muscle stylo-pharyngien et la branche du nerf glosso-pharyngien
Nerf glosso-pharyngien (IX)
Foramen jugulaire
Anastomose avec la branche auriculaire du nerf vague
Ganglion supérieur et Ganglion inférieur du Nerf glosso-pharyngien
Anastomose avec le nerf facial (VII)
Nerf vague (X)
Ganglion sympathique cervical supérieur
Sensibilités gustative et somatique : tiers postérieur de la langue
Tronc sympathique
Branche carotidienne du nerf glosso-pharyngien
Artère carotide interne
Sinus carotidien
Glomus carotidien
Artère carotide commune
Plexus pharyngien
Rameaux pharyngien, tonsillaire et lingual du nerf glosso-pharyngien
Rameau pharyngien du nerf vague
Artère carotide externe

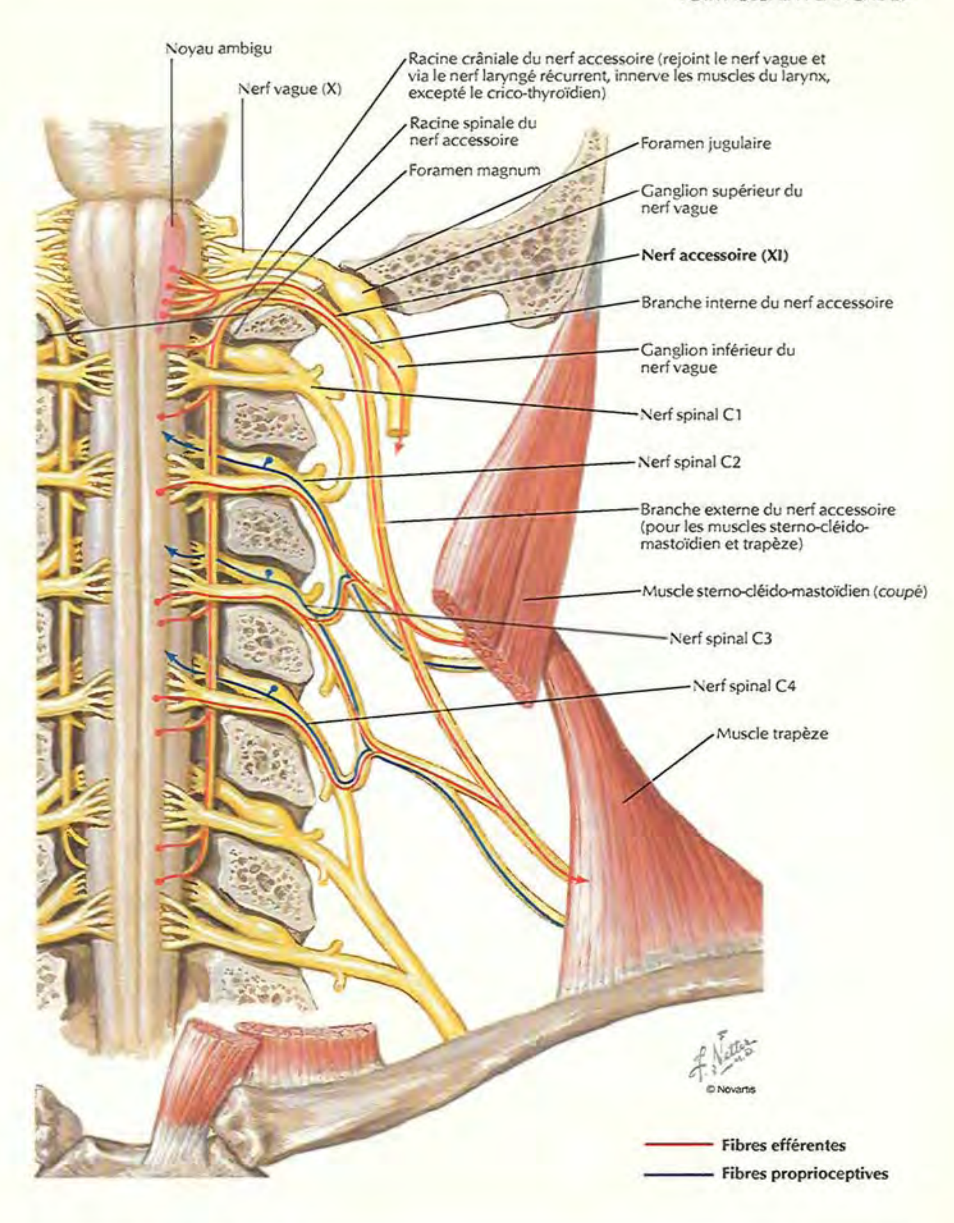
Nerf vague (X) : schéma

VOIR AUSSI LA PLANCHE 153

Nerf glosso-pharyngien (IX)
Rameau méningé du nerf vague
Rameau auriculaire du nerf vague
Trompe auditive (d'Eustache)
Muscle élévateur du voile du palais
Muscle salpingo-pharyngien
Muscle palato-glosse
Muscle palato-pharyngien
Muscle constricteur supérieur du pharynx
Muscle stylo-pharyngien
Muscle constricteur moyen du pharynx
Muscle constricteur inférieur du pharynx
Muscle crico-thyroïdien
Trachée
Œsophage
Artère subclavière droite
Nerf laryngé récurrent droit
Cœur
Branche hépatique antérieure du nerf vague (dans le petit omentum)
Branches cœliaques des troncs vagues antérieur et postérieur pour le plexus cœliaque
Ganglions cœliaques et mésentérique supérieur et plexus cœliaque
Plexus hépatique
Vésicule biliaire et conduits biliaires
Foie
Branche pylorique du plexus hépatique
Pancréas
Duodénum
Côlon ascendant
Caecum
Appendice
Noyau postérieur du nerf vague (parasympathique et afférent viscéral)
Noyau solitaire (afférent viscéral incluant le goût)
Tractus et noyau spinaux du trijumeau (afférent somatique)
Noyau ambigu (moteur pour les muscles du pharynx et du larynx)
Racine crânienne du nerf accessoire
Nerf vague (X)
Foramen jugulaire
Ganglion supérieur du nerf vague
Ganglion inférieur du nerf vague
Rameau pharyngien du nerf vague (moteur pour les muscles du palais et du pharynx inférieur ; sensitif pour le pharynx inférieur)
Rameau communicant du nerf vague avec la branche carotidienne du nerf glosso-pharyngien
Plexus pharyngien
Nerf laryngé supérieur :
Rameau interne (sensitif et parasympathique)
Rameau externe (moteur du muscle crico-thyroïdien)
Rameau cardiaque cervical supérieur
Rameau cardiaque cervical antérieur
Rameau cardiaque thoracique
Nerf récurrent laryngé gauche (moteur des muscles du larynx excepté le crico-thyroïdien ; sensitif et parasympathique pour le larynx inférieur et les cordes vocales ; parasympathique, efférent et afférent pour l'œsophage supérieur et la trachée)
Plexus pulmonaire
Plexus cardiaque
Plexus œsophagien
Tronc vagal antérieur
Rameaux gastriques antérieurs du nerf vague (branches du tronc postérieur situées en arrière de l'estomac)
Rameaux vagaux (parasympathique moteur, moteur-sécrétoire et fibres afférentes) accompagnant l'artère mésentérique supérieure et ses branches, jusqu'à l'angle colique gauche
Intestin grêle
Fibres efférentes
Fibres afférentes
Fibres parasympathiques

Nerf accessoire (XI) : schéma

VOIR AUSSI LA PLANCHE 27



Nerf hypoglosse (XII) : schéma

VOIR AUSSI LA PLANCHE 27

Nerf hypoglosse (XII) (dans son canal)
Rameau méningé
Noyau du nerf hypoglosse
Muscles intrinsèques de la langue: Supérieur longitudinal; Transverse et vertical; Inférieur longitudinal
Muscle stylo-glosse
Condyle occipital
Ganglion inférieur du nerf vague
Rameaux ventraux de C1, C2, C3, formant l'anse cervicale du plexus cervical
Ganglion sympathique cervical supérieur
Racine supérieure de l'anse cervicale
Artère carotide interne
Racine inférieure de l'anse cervicale
Anse cervicale
Veine jugulaire interne
Artère carotide commune
Muscle génio-glosse
Muscle génio-hyoïdien
Muscle hyo-glosse
Muscle thyro-hyoïdien
Muscle omo-hyoïdien (ventre supérieur)
Muscle sterno-hyoïdien
Muscle sterno-cléido-mastoïdien
Muscle omo-hyoïdien (ventre inférieur)
© Novartis
Fibres efférentes
Fibres afférentes

Plexus cervical : schéma

VOIR AUSSI LA PLANCHE 27

Muscle sterno-cléido-mastoïdien (coupé)
Nerf grand auriculaire
Nerf accessoire (XI)
Nerf petit occipital
Nerf hypoglosse (XII)
Nerf grand occipital (issu du rameau dorsal de C2)
Muscle génio-hyoïdien
C1
C2
C3
C4
C5
Nerfs des muscles droit antérieur et droit latéral de la tête, et longs de la tête et du cou
Nerfs des muscles longs de la tête et du cou, et élévateur de la scapula
Muscle thyro-hyoïdien
Muscle trapèze
Racine supérieure de l'anse cervicale
Nerfs des muscles longs de la tête et du cou, des muscles élévateur de la scapula et scalène moyen
Racine inférieure de l'anse cervicale
Anastomose avec le plexus brachial
Nerf transverse du cou
Nerf phrénique
Muscle omo-hyoïdien (ventre supérieur)
Muscle sterno-thyroïdien
Muscle sterno-hyoïdien
Nerfs supra-claviculaires (médial, intermédiaire et latéral)
Anse cervicale
Muscle sterno-cléido-mastoïdien (coupé)
Muscle omo-hyoïdien (ventre inférieur)

Fibres efférentes
Fibres afférentes
Fibres proprioceptives

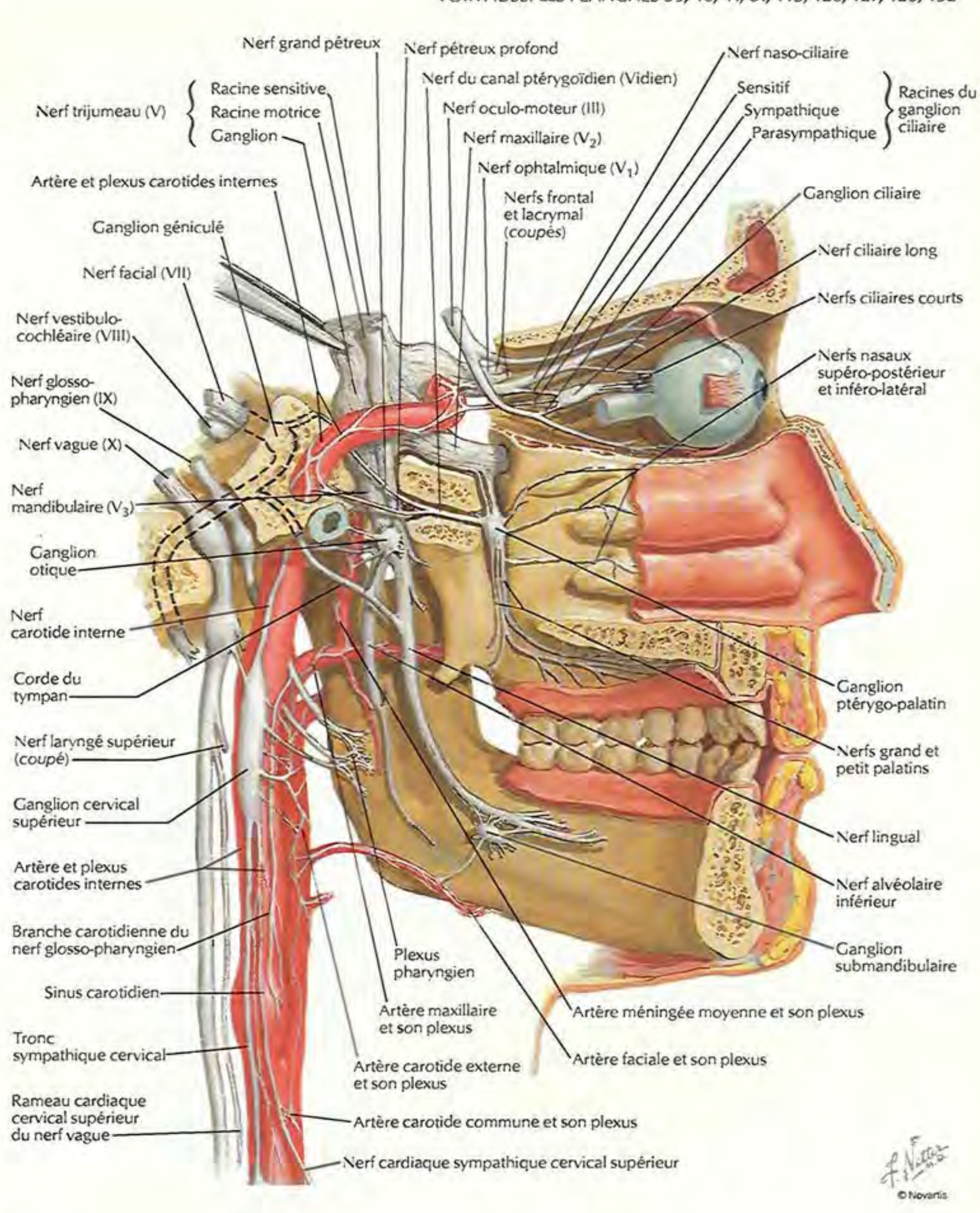
Nerfs autonomes du cou

VOIR AUSSI LES PLANCHES 65, 119, 120, 152, 198, 214, 228, 300

Nerf carotide interne
Nerf glosso-pharyngien (IX)
Rameau sympathique laryngo-pharyngien
C1
Nerf vague (X) (coupé)
Ganglion cervical supérieur
C2
C3
C4
Rameaux communicants gris
C5
C6
C7
C8
Plexus pharyngien
Rameau pharyngien du nerf vague
Artère et plexus carotide externe
Nerf laryngé supérieur
Artère carotide interne et branche carotidienne du nerf glosso-pharyngien
Glomus carotidien
Sinus carotidien
Rameau cardiaque cervical supérieur du nerf vague
Nerf cardiaque sympathique cervical supérieur
Nerf phrénique (coupé)
Ganglion cervical sympathique moyen
Artère et plexus carotides communs
Nerf cardiaque sympathique cervical moyen
Ganglion vertébral
Artère et plexus vertébraux
Nerf laryngé récurrent
Ganglion cervico-thoracique (stellaire)
Anse subclavière
Nerf vague (X) (coupé)
Nerf cardiaque sympathique cervical inférieur
Nerfs cardiaques sympathique thoracique et vagal
Artère subclavière

Nerfs autonomes de la tête

VOIR AUSSI LES PLANCHES 39, 40, 41, 81, 115, 126, 127, 128, 152



Ganglion ciliaire : schéma

VOIR AUSSI LA PLANCHE 153

Muscle sphincter de la pupille
Muscle dilatateur de la pupille
Muscle ciliaire
Nerfs ciliaires courts
Ganglion ciliaire
Racine oculo-motrice du ganglion ciliaire (parasympathique)
Noyau oculo-moteur accessoire (d'Edinger-Westphal) (parasympathique)
Colliculus supérieur
Corps géniculé latéral
Nerf optique (II)
Nerf naso-ciliaire
Nerf ciliaire long
Racine naso-ciliaire (sensitive) du ganglion ciliaire
Racine sympathique du ganglion ciliaire
Artère ophtalmique
Nerf ophtalmique (V_1)
Ganglion trigéminal
Plexus carotide interne
Artère carotide interne
Plexus tympanique
Tractus tecto-spinal
Partie thoracique de la moelle spinale
Ganglion cervical supérieur
1er ganglion du tronc sympathique thoracique
Rameau communicant gris
Rameau communicant blanc
Nerf spinal T1
Corps cellulaires présynaptiques sympathiques dans le noyau intermédio-latéral (corne latérale) de la substance grise

Présynaptiques } **Fibres**
Postsynaptiques } **sympathiques**

Présynaptiques } **Fibres**
Postsynaptiques } **parasympathiques**

Fibres afférentes

Voie visuelle

Voie descendante

© Novartis

Ganglions ptérygo-palatin et submandibulaire : schéma

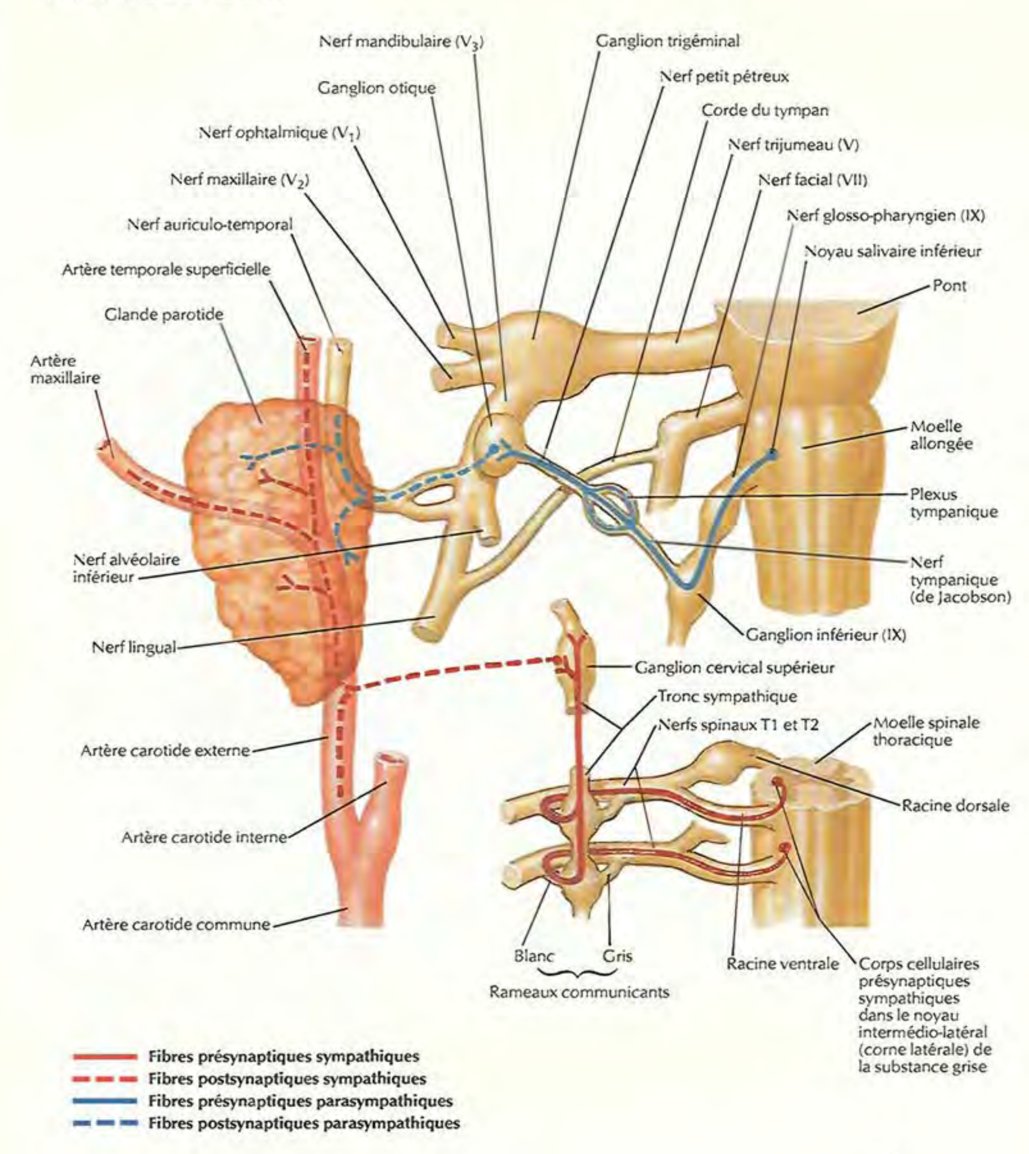
VOIR AUSSI LA PLANCHE 153

Nerf ophtalmique (V_1)
Ganglion trigéminal
Nerf pétreux profond
Nerf grand pétreux
Nerf mandibulaire (V_3)
Ganglion otique
Corde du tympan
Nerf lingual
Nerf trijumeau (V)
Nerf maxillaire (V_2)
Nerf facial (VII) (nerf intermédiaire)
Nerf du canal ptérygoïdien (Vidien)
Noyau salivaire supérieur
Ganglion ptérygo-palatin
Glande lacrymale
Nerfs palatins descendants
Nerf pharyngien
Nerfs nasaux postérieurs
Artère maxillaire
Nerf carotide interne
Nerf glosso-pharyngien (IX)
Ganglion cervical supérieur
Nerf grand palatin
Nerf petit palatin
Tronc sympathique
Nerfs spinaux T1 et T2
Ganglion submandibulaire
Moelle spinale thoracique
Racine dorsale
Glande sublinguale
Glande submandibulaire
Blanc
Gris
Rameaux communicants
Racine ventrale
Corps cellulaires présynaptiques sympathiques dans le noyau intermédio-latéral (corne latérale) de la substance grise
Artère faciale
Artère linguale
Artère carotide interne
Artère et plexus carotides externes
Artère carotide commune

Fibres présynaptiques sympathiques
Fibres postsynaptiques sympathiques
Fibres présynaptiques parasympathiques
Fibres postsynaptiques parasympathiques

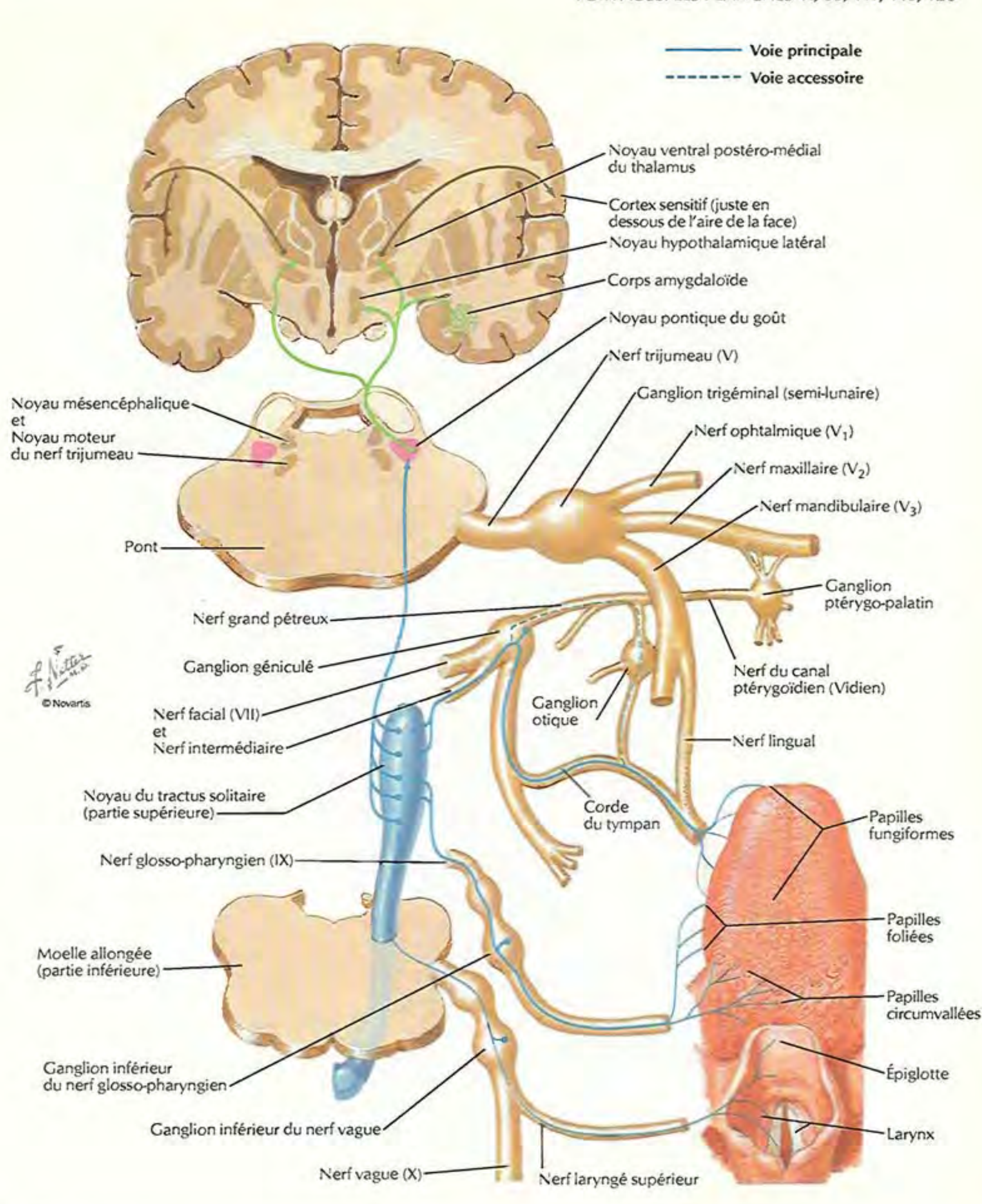
Ganglion otique : schéma

VOIR AUSSI LA PLANCHE 153



Voies gustatives : schéma

VOIR AUSSI LES PLANCHES 41, 89, 117, 119, 120



Artères destinées au cerveau et aux méninges

VOIR AUSSI LES PLANCHES 28, 29

Artère méningée moyenne gauche
Artère cérébrale postérieure
Artère cérébelleuse supérieure
Artère basilaire
Artère labyrinthique (acoustique interne)
Rameau mastoïdien de l'artère occipitale gauche
Artère cérébelleuse inféro-antérieure
Rameau méningé postérieur de l'artère pharyngienne ascendante gauche
Artère cérébelleuse inféro-postérieure
Artères vertébrales droite et gauche (partie intra-crânienne)
Rameau méningé postérieur de l'artère vertébrale
Rameau méningé antérieur de l'artère vertébrale
Artère auriculaire postérieure
Artère occipitale
Artère carotide interne
Sinus carotidien
Glomus carotidien
Artère vertébrale (partie cervicale)
Processus transverse de C6
Artère cervicale profonde
Artère intercostale suprême
Tronc costo-cervical
Artère subclavière
Artère cérébrale moyenne
Artère cérébrale antérieure
Artère communicante antérieure
Artère ophtalmique
Artère communicante postérieure
Sinus caverneux
Artère méningée moyenne
Artère maxillaire
Artère temporale superficielle
Artère carotide externe
Artère faciale
Artère linguale
Artère pharyngienne ascendante
Artère laryngée supérieure
Artère thyroïdienne supérieure
Artère carotide commune
Artère cervicale ascendante (coupée)
Artère thyroïdienne inférieure
Tronc thyro-cervical
Tronc brachio-céphalique
Artère thoracique interne
© Novartis

Artères destinées au cerveau : schéma

Artère cérébrale antérieure
Artère cérébrale moyenne
Artère communicante postérieure
Rameau carotico-tympanique de l'artère carotide interne
Artère cérébrale postérieure
Artère cérébelleuse supérieure
Artère tympanique antérieure
Artère méningée moyenne
Artère maxillaire
Artère basilaire
Artère cérébelleuse inféro-antérieure
Artère cérébelleuse inféro-postérieure
Artère carotide externe
Artère carotide interne
Artère thyroïdienne supérieure
Artère carotide commune
Artère vertébrale
Artère cervicale ascendante
Artère thyroïdienne inférieure
Tronc thyro-cervical
Artère subclavière
Tronc brachio-céphalique
Arc aortique
Aorte thoracique
Aorte ascendante

Artère communicante antérieure
Artère ophtalmique
Artère supra-orbitaire
Artère supra-trochléaire
Artère lacrymale
Artère dorsale du nez
Artère méningée moyenne
Artère du gyrus angulaire
Artère temporale superficielle
Artère auriculaire postérieure
Artère faciale
Artère occipitale
Artère linguale
Artère pharyngienne ascendante
Artère spinale antérieure
Branches segmentaires de la moelle spinale
Artère vertébrale
Artère carotide commune
Artère cervicale profonde
Artère transverse du cou
Artère supra-scapulaire
Artère intercostale suprême
Tronc costo-cervical
Artère subclavière
Artère thoracique interne

Anastomoses

1 Droite - gauche
2 Carotide - vertébrale
3 Carotide interne - carotide externe
4 Subclavière - carotide
5 Subclavière - vertébrale

Artères de l'encéphale : vues inférieures

Artère fronto-basale médiale (orbito-frontale)
Artère communicante antérieure
Artère cérébrale antérieure
Artère striée médiale (récurrente de Heubner)
Artère carotide interne
Artères antéro-latérales centrales (lenticulo-striées)
Artère cérébrale moyenne
Artère fronto-basale latérale (orbito-frontale)
Artère préfrontale
Artère choroïdienne antérieure
Artère communicante postérieure
Artère cérébrale postérieure
Artère cérébelleuse supérieure
Artère basilaire
Artères du pont
Artère labyrinthique (acoustique interne)
Artère cérébelleuse inféro-antérieure
Artère vertébrale
Artère spinale antérieure
Artère cérébelleuse inféro-postérieure (ACIP) (*coupée*)
Artère spinale postérieure

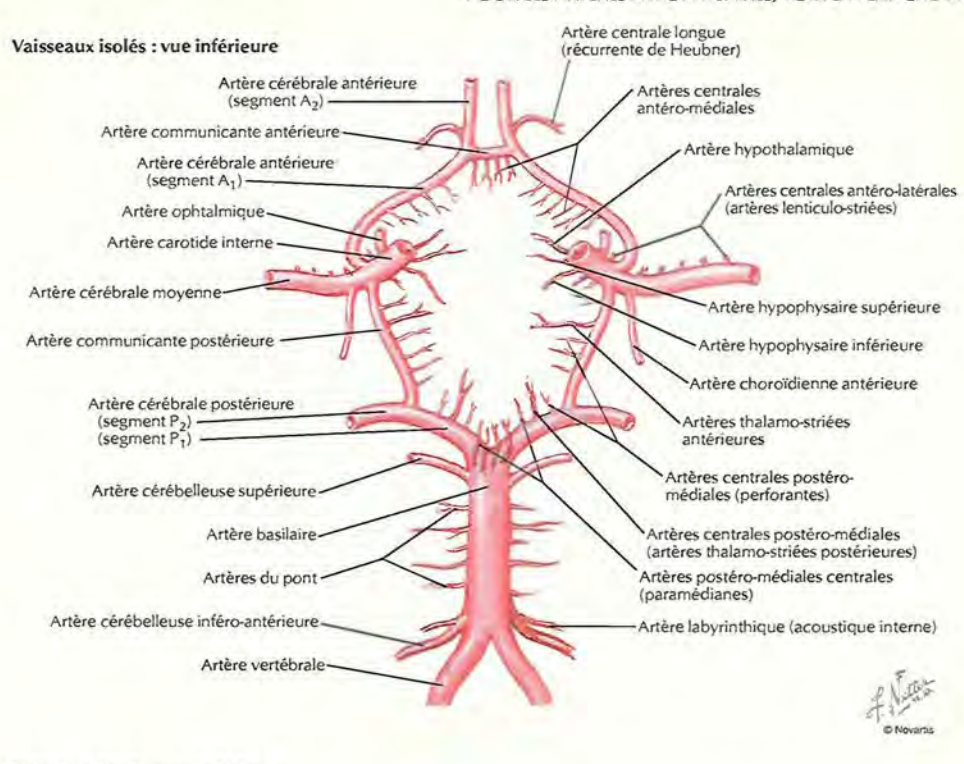
Cercle artériel du cerveau (de Willis) (en *pointillé*)

Artère striée médiale (récurrente de Heubner)
Artère communicante antérieure
Artère cérébrale antérieure
Artère cérébrale moyenne
Artère communicante postérieure
Artère choroïdienne antérieure
Tractus optique
Artère cérébrale postérieure
Pédoncule cérébral
Corps géniculé latéral
Artère choroïdienne postéro-médiale
Artère choroïdienne postéro-latérale
Plexus choroïde du ventricule latéral
Corps géniculé médial
Pulvinar
Ventricule latéral

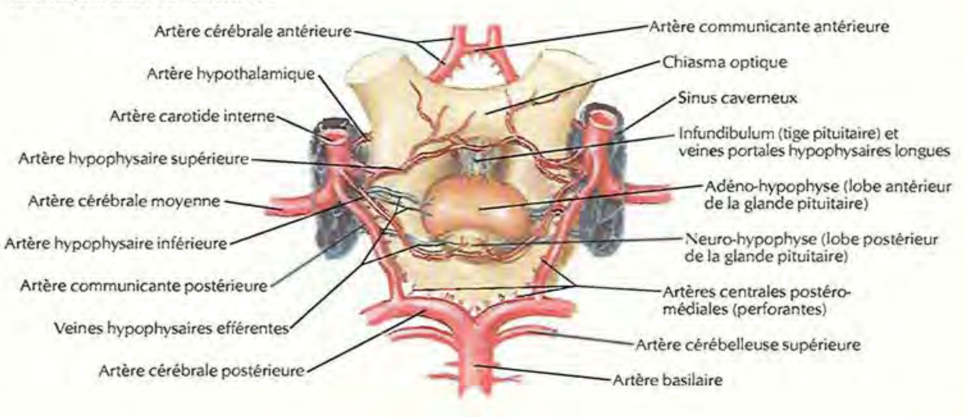
Cercle artériel du cerveau (de Willis)

POUR LES ARTÈRES HYPOPHYSAIRES, VOIR LA PLANCHE 141

Vaisseaux isolés : vue inférieure



Vaisseaux in situ : vue inférieure

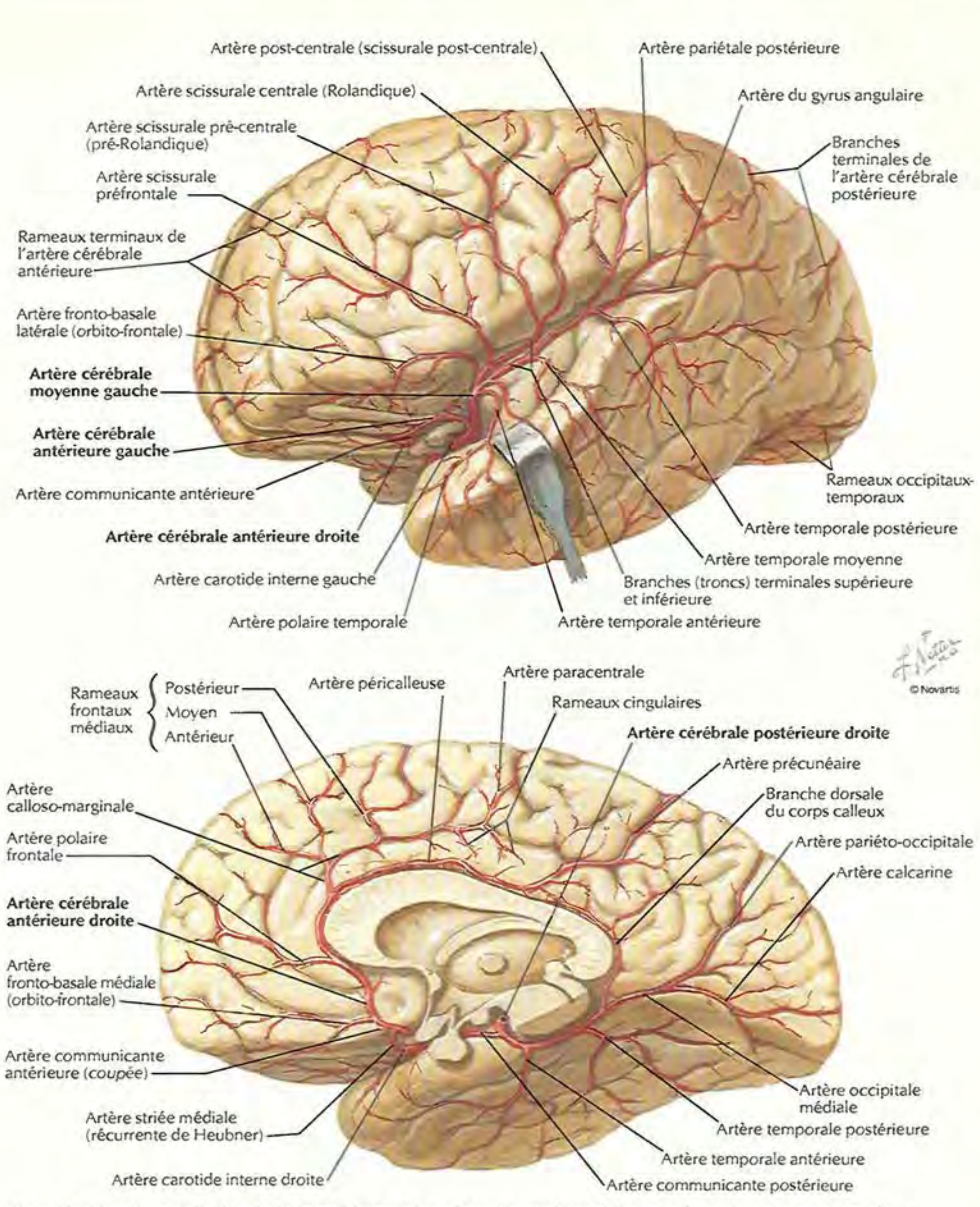


Artères de l'encéphale : vue frontale et coupe

Corps calleux
Artère paracentrale
Rameaux frontaux médiaux
Artères centrales antéro-latérales (lenticulo-striées)
Artère péricalleuse
Artère fronto-basale latérale (orbito-frontale)
Artère calloso-marginale
Artère polaire frontale
Artère préfrontale
Artères cérébrales antérieures
Artères scissurales pré-centrale (pré-Rolandique) et centrale (Rolandique)
Artère fronto-basale médiale (orbito-frontale)
Artère pariétale antérieure (scissurale post-centrale)
Artère striée médiale (récurrente de Heubner)
Artère pariétale postérieure
Artère carotide interne
Artère du gyrus angulaire
Artère choroïdienne antérieure
Artères temporales (antérieure, moyenne et postérieure)
Artère cérébrale postérieure
Artère cérébelleuse supérieure
Artère cérébrale moyenne et ses branches (artères insulaires [Sylviennes] en profondeur)
Artères du pont et basilaire
Artère labyrinthique (acoustique interne)
Artère communicante antérieure
Artère vertébrale
Artère communicante postérieure
Artère cérébelleuse inféro-postérieure
Artère cérébelleuse inféro-antérieure
Artère spinale antérieure
Artère spinale postérieure

Faux du cerveau
Corps strié (noyaux caudé et lenticulaire)
Artères calloso-marginales et Artères péricalleuses (branches des artères cérébrales antérieures)
Artères centrales antéro-latérales (lenticulo-striées)
Lobe insulaire (insula de Reil)
Tronc du corps calleux
Limen
Capsule interne
Artères pariétale, pré-centrale (pré-Rolandique) et scissurale centrale (Rolandique)
Septum pellucidum
Rostrum du corps calleux
Sillon latéral (de Sylvius)
Artères cérébrales antérieures
Artères temporales
Artère striée médiale (récurrente de Heubner)
Lobe temporal
Artère communicante antérieure
Artère cérébrale moyenne
Chiasma optique
Artère carotide interne

Artères du cerveau : vues latérale et médiale



Note : il peut arriver que l'artère pariétale antérieure (scissurale post-centrale) se divise en artères scissurales post-centrale et pariétale antérieure

Artères de la fosse crânienne postérieure

Artères centrales postéro-médiales
Artère choroïdienne antérieure
Piliers du fornix
Artères centrales
(lenticulo-striées)
Têtes des noyaux caudés
Septum pellucidum
Corps calleux
Artères cérébrales
antérieures
Fissure
longitudinale
du cerveau
Corps géniculés latéral et médial du thalamus gauche
Plexus choroïdes des ventricules latéraux
Pulvinars des thalamus droit et gauche
Splénium du corps calleux
Corne postérieure du ventricule latéral droit
Branche dorsale droite du corps calleux
(artère péricalleuse postérieure)
Pariéto-occipital } Rameaux de
Calcarin } l'artère cérébrale
postérieure droite
Colliculus
supérieurs
Artère
supérieure
du vermis
Nerf optique (II)
Artère ophtalmique
Artère
cérébrale antérieure
Artère
cérébrale moyenne
Artère
communicante postérieure
Artères thalamiques perforantes
Artère carotide interne gauche
Artère basilaire
Artères du pont
Artère labyrinthique (acoustique interne)
Artère cérébrale postérieure
Artère cérébelleuse supérieure
Artère cérébelleuse inféro-antérieure
Rameau méningé antérieur de l'artère vertébrale
Rameaux temporaux de l'artère cérébrale postérieure
Artère spinale antérieure
III
IV
V
VIII
VII
VI
IX
X
XI
Artère choroïdienne
postéro-médiale pour
le plexus choroïde du
3e ventricule
Artère choroïdienne
postéro-latérale
Rameau latéral (marginal)
Artère inférieure du
vermis (*en transparence*)
Artère choroïdienne pour le
4e ventricule (*en transparence*) et
Branche de la tonsille cérébelleuse issue
de l'artère cérébelleuse postéro-inférieure
Projection du 4e ventricule (*en pointillé*)
Rameau méningé postérieur de l'artère vertébrale
Artère cérébelleuse inféro-postérieure (ACIP)
Artère spinale postérieure gauche
Artère vertébrale gauche
© Novartis

Veines de la fosse crânienne postérieure

Colliculus supérieur et inférieur gauches
Veine basale (de Rosenthal)
Veine mésencéphalique postérieure
Corps géniculé médial
Veine mésencéphalique latérale
Corps géniculé latéral
Thalamus gauche (*sectionné*)
Tractus optique
Veines thalamo-striées inférieures
Veine cérébrale moyenne profonde (*coupée*)
Veine cérébrale antérieure
Nerf optique (II)
Pulvinar gauche
Pulvinar droit
Veines cérébrales internes
Splénium du corps calleux
Grande veine cérébrale (de Galien)
Veine dorsale du corps calleux
Sinus sagittal inférieur
Sinus droit
Faux du cerveau
Tente du cervelet (*coupée*)
Confluent des sinus
Sinus transverse gauche (*coupé*)
Sinus sagittal supérieur
Veine supérieure du vermis
Veine inférieure du vermis
Faux du cervelet (*coupée*) et sinus occipital
Veines inférieures des hémisphères cérébelleux
Veine du culmen
Veine cérébelleuse supérieure (inconstante)
Veine du culmen
Veine cérébelleuse pré-centrale
Veine rétro-tonsillaire supérieure
Veine de la citerne cérébello-médullaire (rétro-tonsillaire inférieure)
Veine spinale postérieure
4e ventricule
Veine spinale antérieure
Pédoncules cérébelleux supérieur, moyen et inférieur
Veine du récessus latéral du 4e ventricule
Veine médullaire antéro-latérale
Veine pontique latérale
Veine pétreuse (se drainant dans le sinus pétreux supérieur)
Veines du pont
Nerf trijumeau (V)
Veine ponto-mésencéphalique antérieure

C, CL, C, D, F, TU, L, N, P, U, T

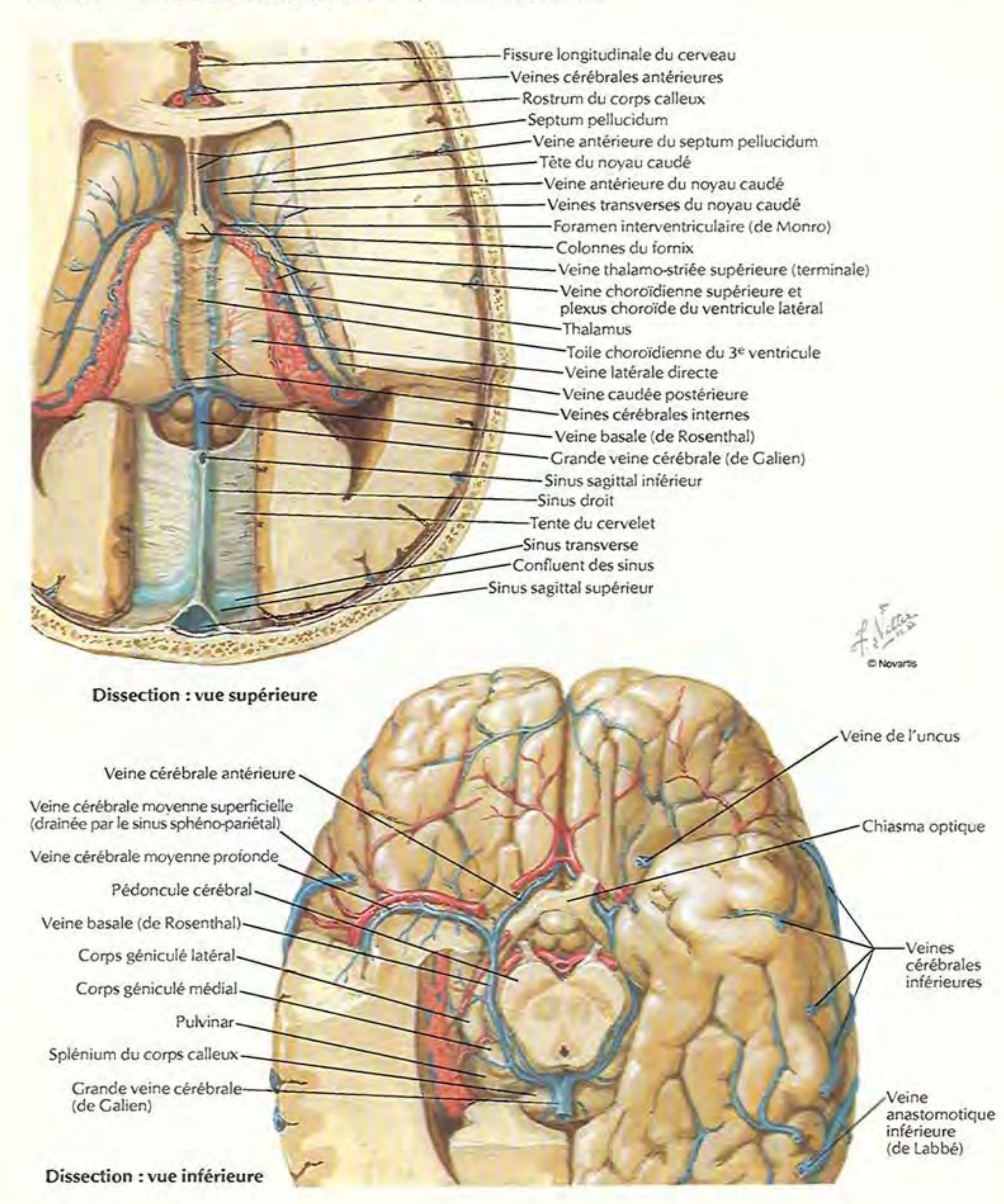
F. Netter © Novartis

Parties du cervelet

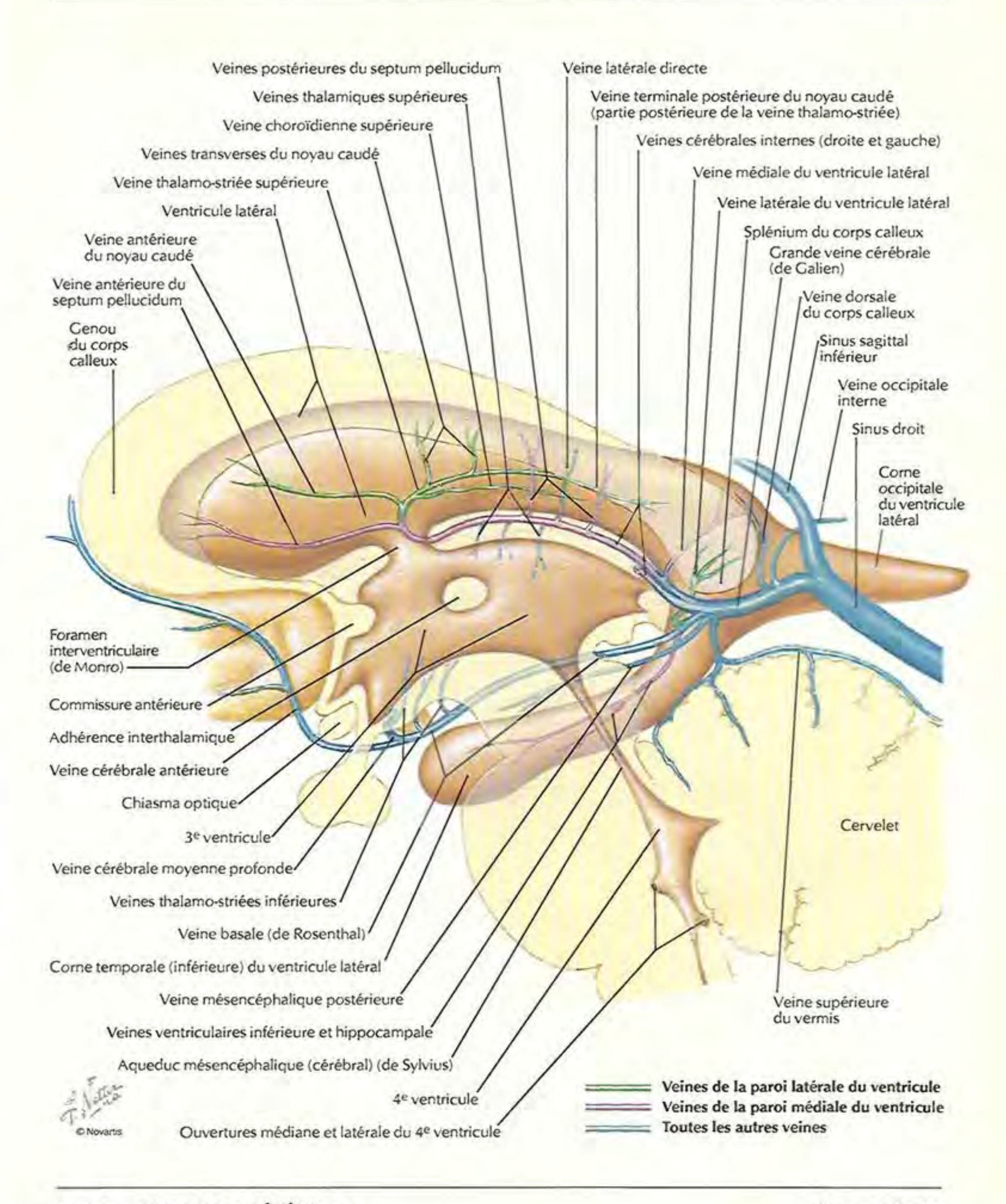
L	Lingula	TU	Tuber
CL	Lobule central	P	Pyramide
C	Culmen	U	Uvule
D	Déclive	N	Nodule
F	Folium	T	Tonsille

Veines profondes du cerveau

POUR LES VEINES SUPERFICIELLES DU CERVEAU, VOIR LA PLANCHE 96



Veines sous-épendymaires de l'encéphale



Hypothalamus et hypophyse

VOIR AUSSI LES PLANCHES 100, 101

Septum pellucidum
Thalamus
Fornix
Sillon hypothalamique
Commissure antérieure

Principaux noyaux de l'hypothalamus
Paraventriculaire
Postérieur
Dorso-médial
Supra-optique
Ventro-médial
Arqué (infundibulaire)
Mamillaire

Chiasma optique
Infundibulum (tige pituitaire)
Hypophyse (glande pituitaire)
Tractus mamillo-thalamique
Faisceau longitudinal dorsal et autres voies descendantes

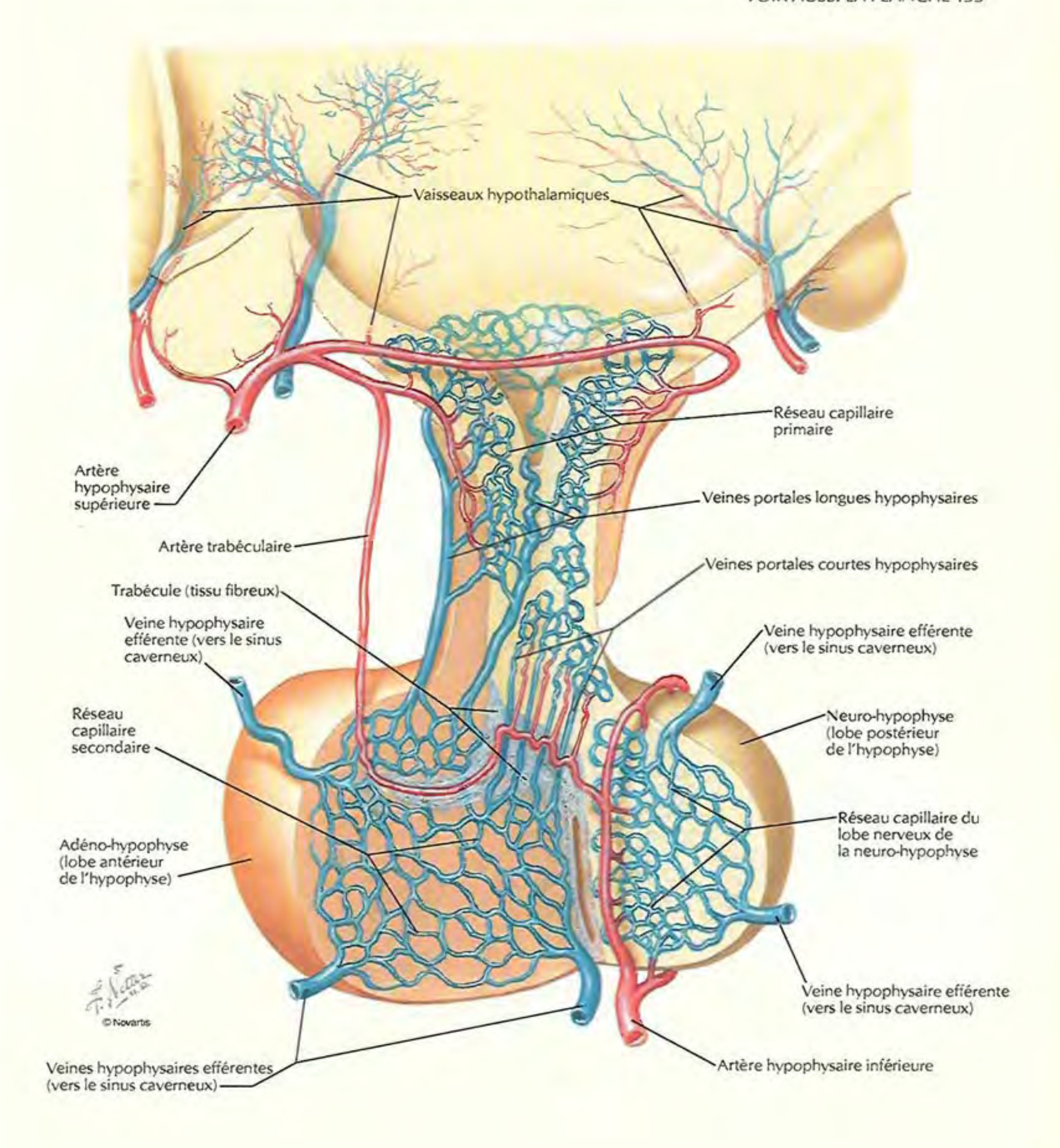
F. Netter
© Novartis

Lame terminale
Noyau paraventriculaire hypothalamique
Noyau supra-optique hypothalamique
Fibres supra-optiques
Tractus tubéro-hypophysaire
Tractus hypothalamo-hypophysaire
Infundibulum (tige pituitaire)
Sillon hypothalamique
Corps mamillaire
Noyau arqué (infundibulaire)

Adéno-hypophyse (lobe antérieur de l'hypophyse)
Partie tubérale
Trabécule fibreuse
Partie intermédiaire
Partie distale
Fente

Neuro-hypophyse (lobe postérieur de l'hypophyse)
Éminence médiane du tuber cinéréum
Queue infundibulaire
Lobe nerveux

VOIR AUSSI LA PLANCHE 133

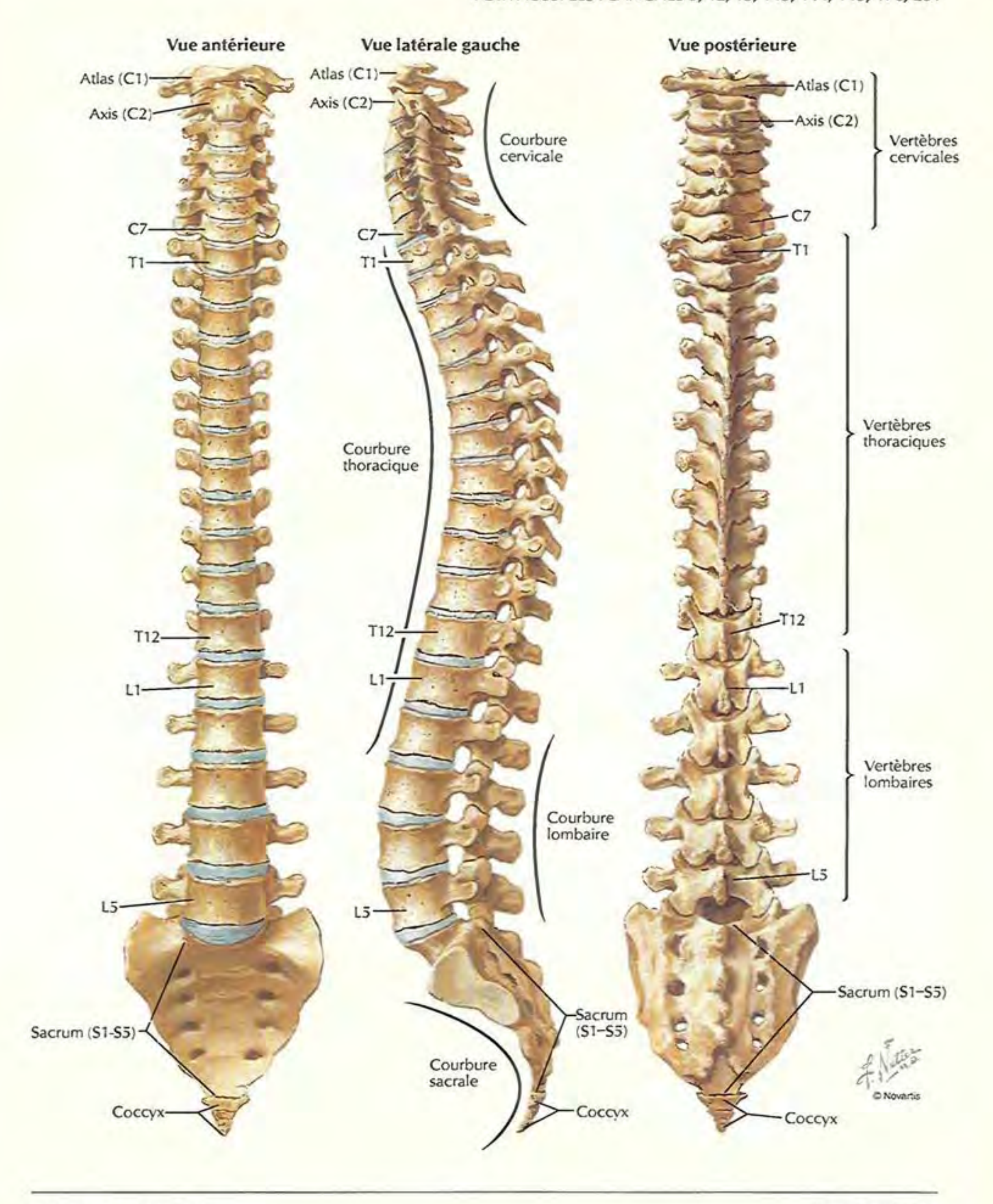


Section II

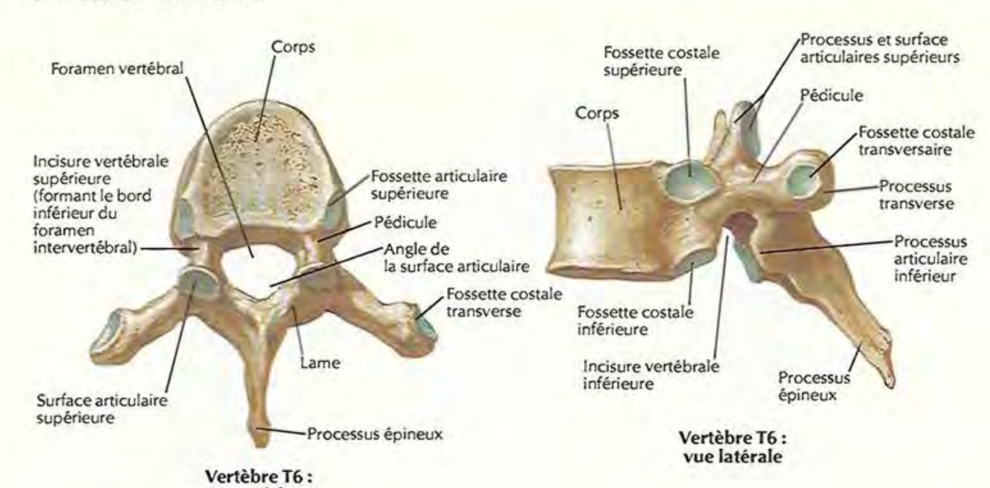
DOS ET MOELLE SPINALE

Colonne vertébrale

VOIR AUSSI LES PLANCHES 9, 12, 13, 143, 144, 145, 170, 231

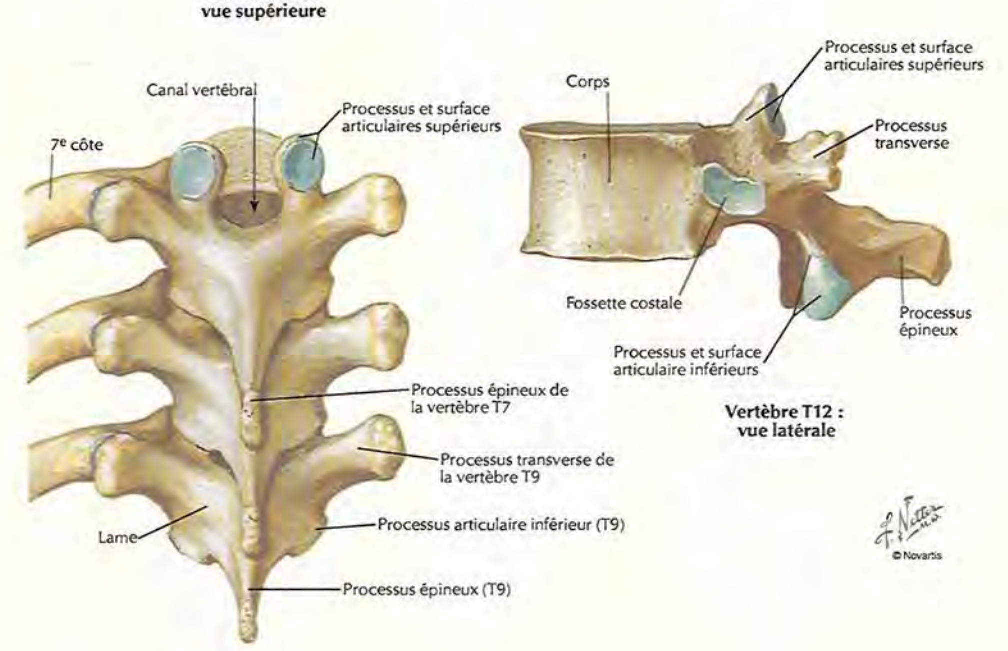


VOIR AUSSI LA PLANCHE 172



Vertèbre T6 : vue supérieure

Vertèbre T6 : vue latérale



Vertèbres T7, T8 et T9 : vue postérieure

Vertèbre T12 : vue latérale

© Novartis

Corps vertébral
Foramen vertébral
Pédicule
Processus transverse
Processus articulaire supérieur
Processus mamillaire
Lame
Processus épineux
Processus accessoire

Vertèbre L2 : vue supérieure

Anneau fibreux
Noyau pulpeux

Disque intervertébral

Canal vertébral
Processus articulaire supérieur
Processus mamillaire
Processus transverse
Corps vertébral
Processus accessoire
Processus épineux
Lame
Processus articulaire inférieur

Vertèbres L3 et L4 : vue postérieure

Processus articulaire supérieur
Pédicule
Processus mamillaire
Processus transverse
Processus épineux
Corps vertébral
Disque intervertébral
Processus articulaire inférieur
Incisure vertébrale inférieure
Foramen intervertébral
Incisure vertébrale supérieure
Surface articulaire avec le sacrum
1 2 3 4 5

Vertèbres lombaires : vue latérale gauche

© Novartis

Sacrum et coccyx

VOIR AUSSI LES PLANCHES 142, 147, 231, 330, 331, 332

Base du sacrum
Aile (partie latérale)
Surface articulaire lombo-sacrale
Processus articulaire supérieur
Aile
Promontoire
Partie sacrale du détroit supérieur (ligne terminale)
Foramens sacraux pelviens
Lignes transverses
Apex du sacrum
Processus transverse du coccyx
Coccyx

Vue antéro-inférieure

Face pelvienne

Processus articulaire supérieur
Canal sacral
Face dorsale
Face pelvienne
Hiatus sacral

Coupe sagittale médiane

Surfaces articulaires des processus articulaires supérieurs
Surface auriculaire
Tubérosité sacrale
Crête sacrale latérale
Crête sacrale médiane
Crête sacrale intermédiaire
Foramens sacraux postérieurs
Corne sacrale
Hiatus sacral
Corne coccygienne
Processus transverse du coccyx

Face dorsale

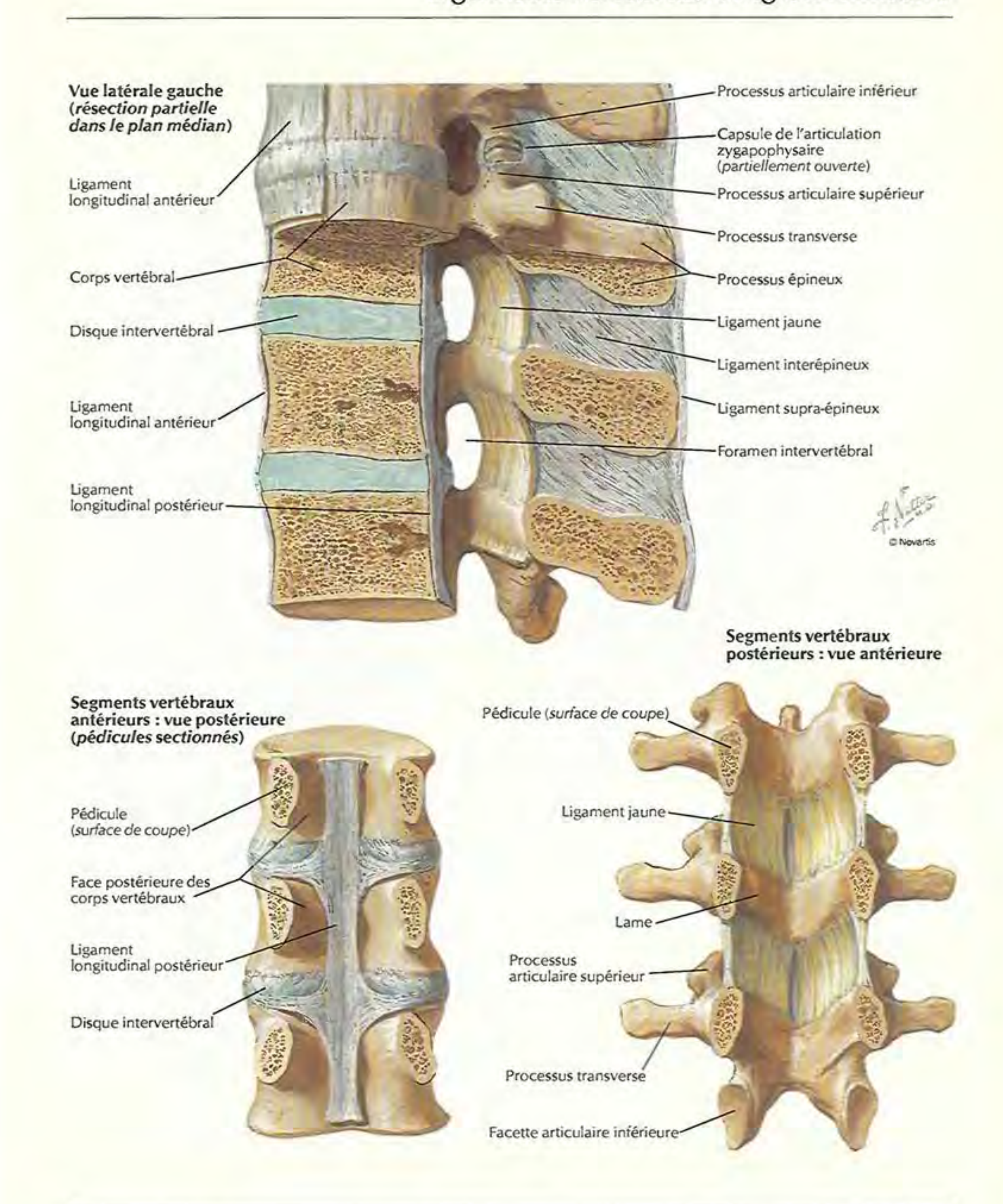
Vue postéro-supérieure

Crête sacrale médiane
Canal sacral
Foramen intervertébral
Foramen sacral postérieur
Foramen sacral-pelvien

Coupe transversale à travers les premiers foramens sacraux

F. Netter M.D.

Ligaments vertébraux : région lombaire



Ligaments vertébraux : région lombo-sacrale

Ligament longitudinal antérieur
Corps de la vertèbre L1
Disques intervertébraux
Nerf spinal L2
Corps de la vertèbre L5
Nerf spinal L5
Surface auriculaire du sacrum (articulaire avec l'ilium)
Sacrum
Coccyx
Processus articulaire supérieur
Processus transverse
Lame
Processus articulaire inférieur
Pédicule
Foramen intervertébral
Processus épineux
Ligament interépineux
Ligament supra-épineux

Vue latérale gauche

Pédicule (coupé)
Ligament longitudinal postérieur
Processus articulaires supérieurs ; surface éversée vers la droite (différente de l'axe de la surface gauche)
Processus épineux
Lame
Processus transverse
Processus articulaire inférieur
Ligament jaune
Ligament ilio-lombaire
Crête iliaque
Épine iliaque postéro-supérieure
Épine iliaque postéro-inférieure
Ligament sacro-iliaque postérieur
Grand foramen ischiatique
Épine ischiatique
Ligament sacro-épineux
Petit foramen ischiatique
Ligament sacro-tubéral
Tubérosité ischiatique
Ligaments sacro-coccygiens latéral et postérieur

Vue postérieure

Moelle spinale in situ

Base du crâne
Nerf spinal C1
Vertèbre C2 (axis)
Nerf spinal C8
Nerf spinal T1
1re côte
Nerfs intercostaux
Nerf spinal T12
12e côte
Nerf subcostal
Cône médullaire
Nerf spinal L1
Queue de cheval
Nerf spinal L5
Nerf spinal S1
Sacrum (réséqué)
Filum terminal interne (partie piale)
Terminaison de la cavité épidurale
Filum terminal externe (partie durale)
Nerf spinal S5
Nerf coccygien
Vertèbre C1 (atlas)
Plexus cervical
Vertèbre C7
Vertèbre T1
Plexus brachial
Dure-mère spinale
Filaments des racines des nerfs spinaux (T7 et T8)
Vertèbre T12
Vertèbre L1
Nerf ilio-hypogastrique
Nerf ilio-inguinal
Plexus lombaire
Vertèbre L5
Nerf fémoral
Plexus sacral
Nerfs glutéaux supérieur et inférieur
Nerf ischiatique
Nerf cutané postérieur de la cuisse
Nerf honteux
Coccyx

Rapports vertébraux des racines des nerfs spinaux

Base du crâne
Renflement cervical (intumescence cervicale)
C1 C2 C3 C4 C5 C6 C7 C8
Nerf spinal C1 émergeant au-dessus de la vertèbre C1
Nerf spinal C8 émergeant au-dessous de la vertèbre C7 (il y a 8 nerfs cervicaux, mais seulement 7 vertèbres cervicales)
T1 T2 T3 T4 T5 T6 T7 T8 T9 T10 T11 T12
Renflement lombaire (intumescence lombaire)
Cône médullaire (terminaison de la moelle spinale)
L1 L2 L3 L4 L5
Queue de cheval
Filum terminal interne (partie piale)
Sacrum
S1 S2 S3 S4 S5
Terminaison du sac dural
Filum terminal externe (partie durale)
Nerf coccygien
Coccyx

- Nerfs cervicaux
- Nerfs thoraciques
- Nerfs lombaires
- Nerfs sacraux et coccygiens

L4 L4 L5 L5 S1 S2

La protrusion du disque lombaire n'affecte pas habituellement le nerf sus-jacent. Une protrusion latérale au niveau du disque de L4-L5 affecte le nerf spinal L5, pas le nerf spinal L4. Une protrusion au niveau du disque de L5-S1 affecte le nerf spinal S1, et non le nerf spinal L5.

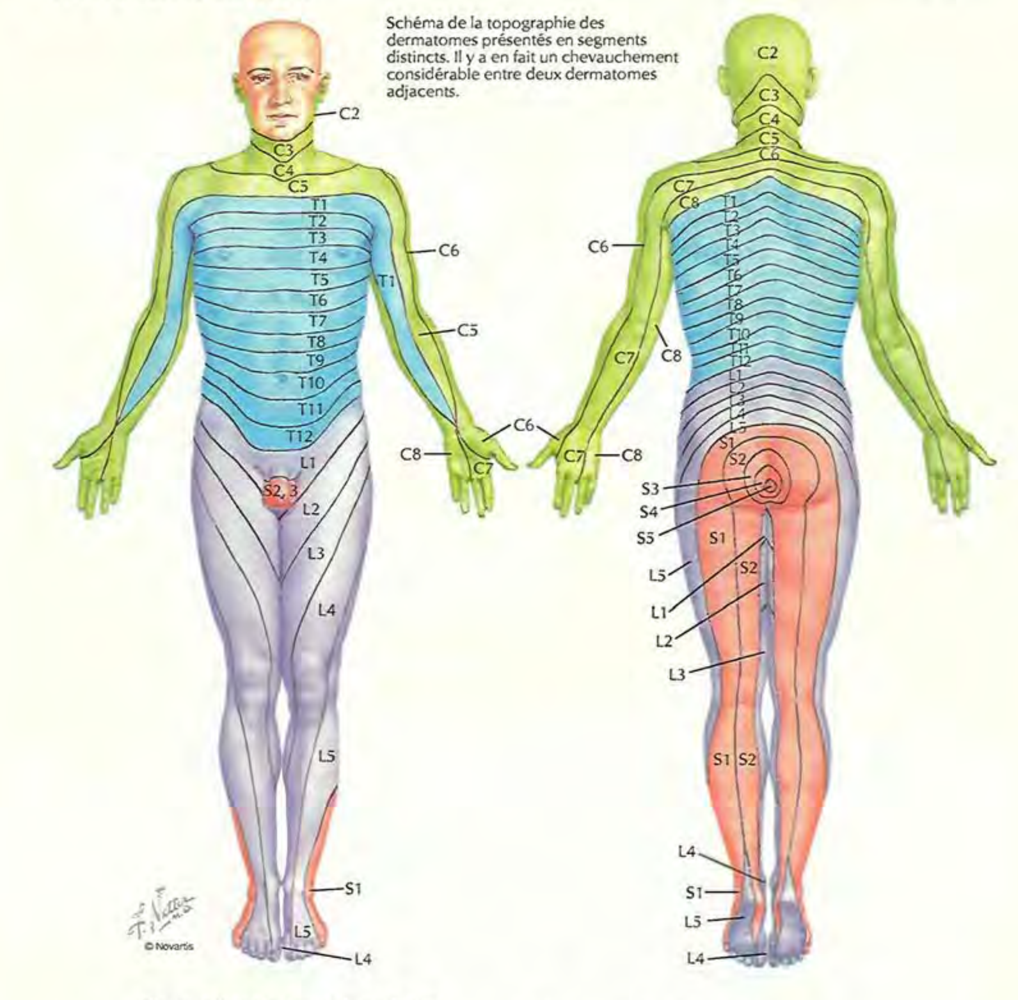
L4 L4 L5 L5 S1 S2 S3 S4 S5
Nerf coccygien

F. Netter M.D.
© Novartis

La protrusion médiale au niveau du disque de L4-L5 affecte rarement le nerf spinal L4, mais peut affecter le nerf spinal L5 et parfois les nerfs spinaux S1-S4.

Dermatomes


VOIR AUSSI LES PLANCHES 451, 507 ; POUR LA TOPOGRAPHIE DES NERFS CUTANÉS, VOIR LES PLANCHES 18, 441, 443, 444, 445, 447, 450, 502-506



Niveaux des principaux dermatomes

C5	Clavicules	**T10**	Niveau de l'ombilic
C5, 6, 7	Parties latérales des membres supérieurs	**T12**	Régions inguinales (aine)
C8, T1	Parties médiales des membres supérieurs	**L1, 2, 3, 4**	Faces antérieure et médiale des membres inférieurs
C6	Pouce	**L4, 5, S1**	Pied
C6, 7, 8	Main	**L4**	Face médiale du gros orteil
C8	Annulaire et auriculaire	**S1, 2, L5**	Faces postéro-externes des membres inférieurs
T4	Niveau du mamelon	**S1**	Bord latéral du pied et du petit orteil
		S2, 3, 4	Périnée

Coupes transversales de la moelle spinale : tractus fibreux

Coupes de la moelle spinale à des niveaux différents

Principaux tractus fibreux de la moelle spinale

Système nerveux autonome : topographie générale

Système nerveux autonome : schéma

Nerf oculo-moteur (III)
Nerf facial (VII)
Nerf glosso-pharyngien (IX)
Moelle allongée
Nerf vague (X)
C1
C2
C3
C4
C5
C6
C7
C8
T1
T2
T3
T4
T5
T6
T7
T8
T9
T10
T11
T12
L1
L2
L3
L4
L5
S1
S2
S3
S4
S5
Coccygien
Rameaux communicants gris
Rameaux communicants gris et blanc
Rameaux communicants gris
Glande sudorifère
Vaisseau sanguin périphérique
Muscle arrecteur (lisse) du follicule pileux
Note : les trois structures ci-dessus sont montrées sur un seul niveau mais sont présentes à tous les niveaux
Note : les surfaces bleu-pâle indiquent les zones des voies parasympathiques du système nerveux central
Vaisseaux intra-crâniens
Ganglion ciliaire
Œil
Ganglion ptérygo-palatin
Glandes lacrymales
Ganglion otique
Glandes parotides
Ganglion submandibulaire
Glandes sublinguale et submandibulaire
Vaisseaux périphériques crânien et facial
Larynx
Trachée
Bronches
Poumons
Plexus pulmonaire
Plexus cardiaque
Cœur
Grand
Petit
Imus
Nerfs splanchniques
Ganglion cœliaque
Estomac
Ganglion aortico-rénal
Foie
Vésicule biliaire
Conduits biliaires
Pancréas
Nerfs splanchniques lombaires
Ganglion mésentérique supérieur
Glandes surrénales
Reins
Ganglion mésentérique inférieur
Plexus inter-mésentérique
Intestins
Plexus hypogastrique supérieur
Côlon descendant
Nerfs hypogastriques
Côlon sigmoïde
Rectum
Plexus hypogastrique inférieur
Vessie
Prostate
Nerfs splanchniques sacraux
Nerfs splanchniques pelviens
Organes génitaux externes

Fibres sympathiques { Présynaptiques / Postsynaptiques
Fibres parasympathiques { Présynaptiques / Postsynaptiques
Conduction antidromique

Synapses cholinergiques et adrénergiques : schéma

Moelle allongée
Nerf glosso-pharyngien (IX)
Nerf carotide interne
Nerf vague (X)
Glande parotide
Larynx
Trachée
Bronches
Poumons
Cœur
Ganglions sympathiques cervicaux
Muscle strié
Glandes sudorifères
Follicules pileux
Artères périphériques
Partie thoracique de la moelle spinale
Rameau communicant gris
Rameaux communicants blancs
Ganglion cœliaque
Ganglion mésentérique supérieur
Artères viscérales
Tractus gastro-intestinal
Partie supérieure de la moelle spinale (L1-L2[3])
Glande surrénale
Ganglion mésentérique inférieur
Partie sacrale de la moelle spinale
Nerfs splanchniques pelviens
Vessie
Urètre
Prostate
C Synapses cholinergiques
A Synapses adrénergiques

Fibres sympathiques { Présynaptiques / Postsynaptiques
Fibres parasympathiques { Présynaptiques / Postsynaptiques
Fibres somatiques
Conduction antidromique

Méninges et racines nerveuses spinales

Vue postérieure

Racine ventrale du nerf spinal
Racine dorsale du nerf spinal
Ganglion spinal sensitif (racine dorsale)
Rameaux communicants blanc et gris (afférents et efférents du tronc sympathique)
Rameau ventral du nerf spinal
Rameau dorsal du nerf spinal
Dure-mère
Arachnoïde
Septum mésothélial dans le sillon dorsal médian
Espace subarachnoïdien
Pie-mère recouvrant la moelle spinale
Filaments d'une racine dorsale
Ligament dentelé

Vue antérieure après résection des membranes ***(fort grossissement)***

Substance grise
Substance blanche
Filaments d'une racine dorsale
Racine dorsale du nerf spinal
Filaments d'une racine ventrale
Ganglion spinal sensitif (racine dorsale)
Rameau dorsal du nerf spinal
Rameau ventral du nerf spinal
Racine ventrale du nerf spinal
Nerf spinal
Rameaux communicants blanc et gris

F. Netter M.D.

Origine du nerf spinal : coupes transversales

VOIR AUSSI LES PLANCHES 154, 155, 158, 159

Coupe à travers une vertèbre thoracique

Aorte
Tissu graisseux de l'espace épidural
Corps vertébral
Ganglion sympathique
Dure-mère
Racine ventrale
Arachnoïde*
Espace subarachnoïdien
Pie-mère*
Rameaux communicants blanc et gris
Rameaux méningés récurrents du nerf spinal
Nerf spinal
Rameau ventral (nerf intercostal)
Rameau dorsal
Plèvre
Poumon
Ganglion spinal sensitif (racine dorsale)
Racine dorsale
Corne latérale de la substance grise de la moelle spinale
Branche latérale / Branche médiale } du rameau dorsal du nerf spinal
Plexus veineux vertébral interne (épidural)

Coupe à travers une vertèbre lombaire

Ganglion sympathique
Dure-mère
Rameau communicant gris
Arachnoïde
Racine ventrale
Graisse dans l'espace épidural
Nerf spinal
Rameau ventral (participant au plexus lombaire)
Rameau dorsal
Racines dorsales et ventrales des nerfs spinaux lombaires et sacraux formant la queue de cheval
Ganglion spinal sensitif (racine dorsale)
Racine dorsale
Cône médullaire

* Leptoméninges

F. Netter M.D.

Artères de la moelle spinale : schéma

VOIR AUSSI LA PLANCHE 131

Vue antérieure

Artère cérébrale postérieure
Artère cérébelleuse supérieure
Artère basilaire
Artère cérébelleuse inféro-antérieure
Artère cérébelleuse inféro-postérieure
Artère spinale antérieure
Artère vertébrale
Artères médullaires segmentaires antérieures
Artère cervicale ascendante
Artère cervicale profonde
Artère subclavière
Artère médullaire segmentaire antérieure
Artère intercostale postérieure
Plexus pial
Grande artère médullaire segmentaire antérieure (artère d'Adamkiewicz)
Artère intercostale postérieure
Artère médullaire segmentaire antérieure
Artère lombaire
Anses anastomotiques avec les artères spinales postérieures
Artères de la queue de cheval
Artères sacrales latérales (ou médiales)

Vertèbres cervicales
Vertèbres thoraciques
Vertèbres lombaires
Sacrum

Vue postérieure

Artère cérébelleuse inféro-postérieure
Artères spinales postérieures
Artère vertébrale
Artères segmentaires médullaires postérieures
Artère cervicale profonde
Artère cervicale ascendante
Artère subclavière
Artères segmentaires médullaires postérieures
Artères intercostales postérieures
Artères segmentaires médullaires postérieures
Anses anastomotiques avec l'artère spinale antérieure
Artères lombaires
Artères sacrales latérales (ou médiales)

© Novartis

Note : toutes les racines des nerfs spinaux sont associées à des **artères radiculaires** ou **médullaires segmentaires.** La plupart des racines ont des artères radiculaires (voir la planche 158). Ces deux types d'artères longent les racines, mais les artères radiculaires se terminent avant d'atteindre les artères spinales antérieures ou postérieures. Les artères médullaires segmentaires les plus longues se prolongent pour vasculariser un segment de ces artères.

Artères de la moelle spinale : distribution intrinsèque

Artères spinales postérieures
Artère spinale antérieure
Artère médullaire segmentaire antérieure
Artère radiculaire antérieure
Artère radiculaire postérieure
Rameau destiné au corps vertébral et à la dure-mère
Branche spinale
Branche dorsale de l'artère intercostale postérieure
Artère intercostale postérieure
Anastomoses paravertébrales
Anastomoses prévertébrales
Aorte thoracique (descendante)

© Novartis

Coupe transversale au niveau du thorax : vue antéro-supérieure

Artère spinale postérieure droite
Rameaux centraux (fissuraux) vascularisant le côté droit de la moelle spinale
Rameaux périphériques provenant du plexus pial
Artère radiculaire postérieure
Rameaux centraux (fissuraux) vascularisant le côté gauche de la moelle spinale
Artère médullaire segmentaire antérieure
Artère spinale postérieure gauche
Plexus artériel de la pie-mère
Zone vascularisée par les rameaux provenant du plexus pial
Zone vascularisée par les rameaux centraux
Artères radiculaires antérieure et postérieure
Zone vascularisée à la fois par les rameaux centraux et les rameaux du plexus pial
Artère spinale antérieure
Artère radiculaire postérieure
Artère médullaire segmentaire antérieure
Plexus artériel de la pie-mère

Distribution artérielle : schéma

Note : toutes les racines des nerfs spinaux sont associées à des **artères radiculaires** ou **médullaires segmentaires**. La plupart des racines ont des artères radiculaires (voir la planche 158). Ces deux types d'artères longent les racines, mais les artères radiculaires se terminent avant d'atteindre les artères spinales antérieures ou postérieures. Les artères médullaires segmentaires les plus longues se prolongent pour vasculariser un segment de ces artères.

Plexus veineux vertébral interne postérieur (épidural)

Plexus veineux vertébral externe antérieur

Veine intervertébrale

Plexus veineux vertébral interne antérieur (épidural)

Plexus veineux vertébral externe postérieur

Veine basi-vertébrale

Plexus veineux vertébral externe antérieur

Veine basi-vertébrale

Plexus veineux vertébral interne antérieur (épidural)

Veines radiculaires médullaires segmentaires antérieure et postérieure

Veine intervertébrale

Plexus veineux vertébral interne postérieur (épidural)

Plexus veineux vertébral externe postérieur

Veine spinale antérieure

Veine basi-vertébrale

Veine centrale antérieure (fissurale)

Plexus veineux vertébral interne antérieur (épidural)

Veine intervertébrale

Veine radiculaire/médullaire segmentaire antérieure

Veine radiculaire/médullaire segmentaire postérieure

Plexus veineux de la pie-mère

Veine du sillon médian dorsal (centrale)

Veine spinale postérieure

Plexus veineux vertébral interne postérieur (épidural)

F. Netter M.D.

Ligne nuchale supérieure

Processus épineux de la vertèbre C2

Muscle sterno-cléido-mastoïdien

Triangle cervical postérieur

Muscle trapèze

Épine de la scapula

Muscle deltoïde

Fascia infra-épineux

Muscle petit rond

Muscle grand rond

Muscle grand dorsal

Processus épineux de la vertèbre T12

Fascia thoraco-lombaire

Muscle oblique externe

Muscle oblique interne dans le triangle lombaire (de Petit)

Crête iliaque

Fascia glutéal (recouvrant le muscle moyen fessier)

Muscle grand fessier

Muscle semi-épineux de la tête

Muscle splénius de la tête

Processus épineux de la vertèbre C7

Muscle splénius du cou

Muscle élévateur de la scapula

Muscle petit rhomboïde (coupé)

Muscle supra-épineux

Muscle dentelé postéro-supérieur

Muscle grand rhomboïde (*coupé*)

Fascia infra-épineux (recouvrant le muscle infra-épineux)

Muscles petit et grand ronds

Muscle grand dorsal (*coupé*)

Muscle dentelé antérieur

Muscle dentelé postéro-inférieur

12e côte

Muscle érecteur du rachis

Muscle oblique externe

Muscle oblique interne

F. Netter M.D.

Muscles du dos : couches intermédiaires

Ligne nuchale supérieure
Tubercule postérieur de l'atlas (C1)
Muscle longissimus de la tête
Muscle semi-épineux de la tête
Muscles splénius de la tête et du cou
Muscle dentelé postéro-supérieur
Muscle érecteur du rachis:
- Muscle ilio-costal
- Muscle longissimus
- Muscle épineux

Muscle dentelé postéro-inférieur
Aponévrose d'origine du muscle transverse de l'abdomen
Muscle oblique interne
Muscle oblique externe (*coupé*)
Crête iliaque
Muscle petit droit postérieur de la tête
Muscle oblique supérieur de la tête
Muscle grand droit postérieur de la tête
Muscle oblique inférieur de la tête
Muscle longissimus de la tête
Muscle semi-épineux de la tête (*coupé*)
Muscle épineux du cou
Processus épineux de la vertèbre C7
Muscle longissimus du cou
Muscle ilio-costal du cou
Muscle ilio-costal du thorax
Érigne
Muscle épineux du thorax
Muscle longissimus du thorax
Muscle ilio-costal des lombes
Processus épineux de la vertèbre T12
Muscle transverse de l'abdomen et son aponévrose d'origine
Fascia thoraco-lombaire (*bord de coupe*)

F. Netter M.D.

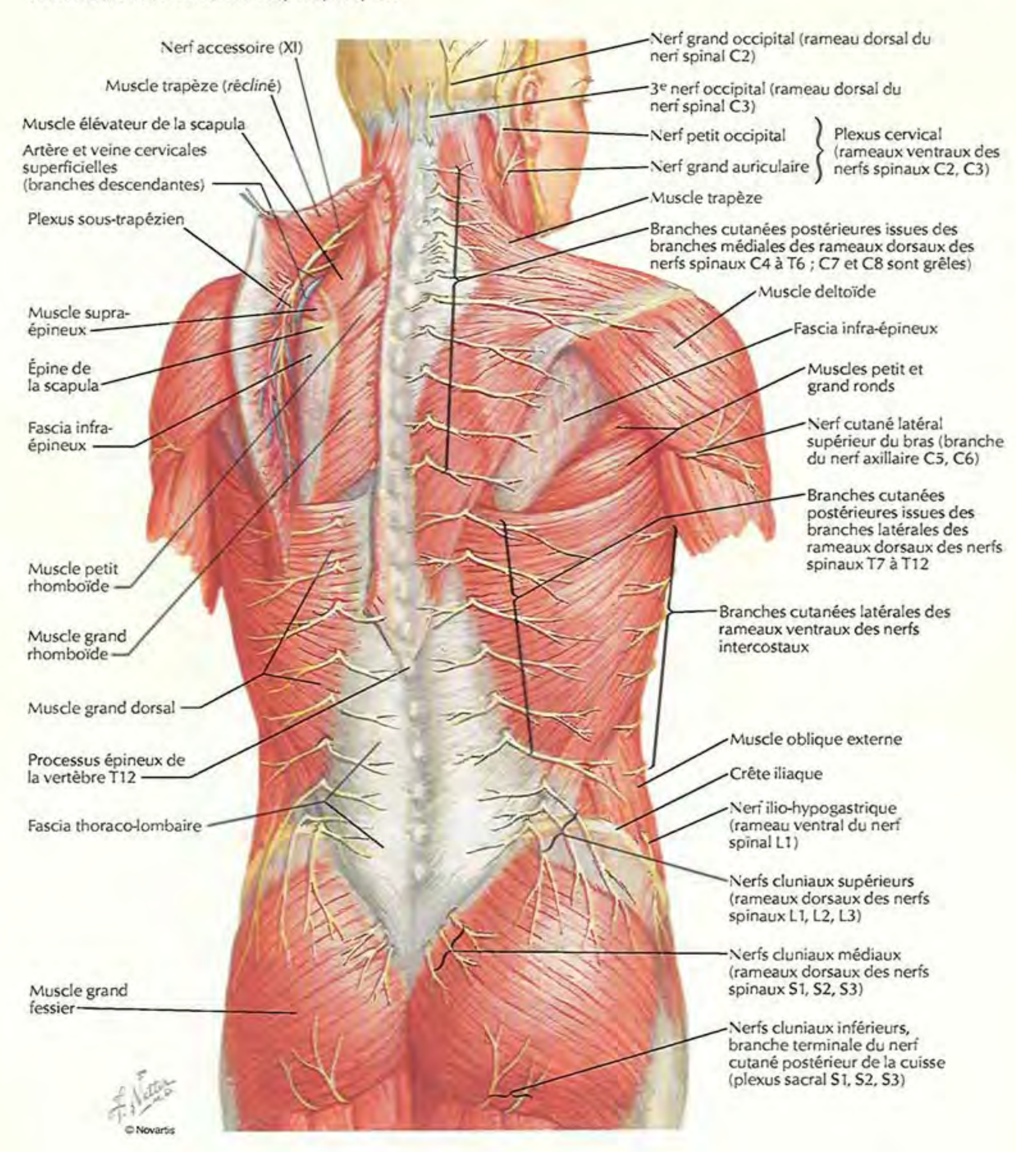
Muscles du dos : couches profondes

Ligne nuchale supérieure
Processus mastoïde
Tubercule postérieur de l'atlas (vertèbre C1)
Processus épineux de l'axis (vertèbre C2)
Muscle semi-épineux de la tête
Processus épineux de la vertèbre C7
Muscles intercostaux externes
Muscle semi-épineux du thorax
Muscles multifides
Fascia thoraco-lombaire (lame antérieure)
Fascia thoraco-lombaire (lame postérieure) (coupée)
Muscle transverse de l'abdomen et son aponévrose d'origine
Muscles multifides
Muscle érecteur du rachis (coupé)
Muscle petit droit postérieur de la tête
Muscle oblique supérieur de la tête
Muscle grand droit postérieur de la tête
Processus transverse de l'atlas (C1)
Muscle oblique inférieur de la tête
Muscles rotateurs du cou: Long, Court
Muscle interépineux du cou
Muscle élévateur de la côte
Muscles rotateurs du thorax: Long, Court
Muscles élévateurs des côtes: Court, Long
Muscle interépineux des lombes
Muscle intertransversaire latéral
Muscle carré des lombes
Crête iliaque
Muscles multifides (coupés)

F. Netter M.D.

Nerfs du dos

VOIR AUSSI LES PLANCHES 166, 179, 237, 241



Triangle suboccipital

Muscle petit droit postérieur de la tête
Muscle grand droit postérieur de la tête
Muscle semi-épineux de la tête (*coupé et récliné*)
Artère vertébrale (partie atlantoïdienne)
Muscle oblique supérieur de la tête
Nerf suboccipital (rameau dorsal du nerf spinal C1)
Arc postérieur de l'atlas (vertèbre C1)
Artère occipitale
Muscle oblique inférieur de la tête
Grand nerf occipital (rameau dorsal du nerf spinal C2)
Muscle splénius de la tête (*coupé et récliné*)
3e (dernier) nerf occipital (rameau dorsal du nerf spinal C3)
Muscle longissimus de la tête
Muscle splénius du cou
Muscle semi-épineux du cou
Muscle semi-épineux de la tête (*coupé*)
Muscle splénius de la tête (*coupé*)
Aponévrose épicrânienne (galéa aponévrotique)
Ventre occipital du muscle occipito-frontal
Nerf grand occipital (rameau dorsal du nerf spinal C2)
Artère occipitale
3e (dernier) nerf occipital (rameau dorsal du nerf spinal C3)
Muscles semi-épineux et splénius de la tête dans le triangle nuchal postérieur
Artère auriculaire postérieure
Nerf grand auriculaire (plexus cervical C2, C3)
Nerf petit occipital (plexus cervical C2, C3)
Muscle sterno-cléido-mastoïdien
Muscle trapèze
Branches cutanées postérieures des rameaux dorsaux des nerfs spinaux C4, C5, C6

© Novartis

Région lombaire postérieure : coupe transversale (vue supérieure)

Nerf spinal thoracique type

VOIR AUSSI LES PLANCHES 179, 241

Note : dans la partie inférieure du thorax la branche latérale du rameau dorsal est plus longue, motrice et cutanée ; la branche médiale est plus courte et uniquement motrice.

Section III
THORAX

GLANDE MAMMAIRE
Planches 167 – 169

PAROI DU CORPS
Planches 170 – 183

POUMONS
Planches 184 – 199

CŒUR
Planches 200 – 217

MÉDIASTIN
Planches 218 – 230

Glande mammaire

Artères de la glande mammaire

Vaisseaux et nœuds lymphatiques de la glande mammaire

Nœuds lymphatiques parasternaux (thoraciques internes)

Nœuds lymphatiques inter-pectoraux (de Rotter)

Nœuds axillaires apicaux (subclaviers)

Nœuds lymphatiques centraux

Nœuds lymphatiques brachiaux

Nœuds lymphatiques subscapulaires

Nœuds lymphatiques para-mammaires

Voie de drainage vers les nœuds médiastinaux

Voie de drainage vers le sein controlatéral

Voies de drainage vers les nœuds phréniques inférieurs (subdiaphragmatiques) et le foie

F. Netter M.D.

© Novartis

Os de la cage thoracique

VOIR AUSSI LA PLANCHE 231

Vue antérieure

Scapula: Acromion, Processus coracoïde, Cavité glénoïdale, Col, Incisure scapulaire, Fosse subscapulaire

Clavicule

Vraies côtes (1-7)

Cartilages costaux

Fausses côtes (8-12)

Sternum: Incisure jugulaire, Manubrium, Angle (de Louis), Corps, Processus xiphoïde

Côtes flottantes (11-12)

1 2 3 4 5 6 7 8 9 10 11 12

Vue postérieure

Côte: Tête, Col, Tubercule, Angle, Corps

Clavicule

Scapula: Acromion, Fosse supra-épineuse, Épine, Fosse infra-épineuse

Vraies côtes (1-7)

Fausses côtes (8-12)

Côtes flottantes (11-12)

1 2 3 4 5 6 7 8 9 10 11 12

F. Netter M.D.

© Novartis

Côtes et articulations sterno-costales

1re côte gauche : vue supérieure

Muscle subclavier
Tête
Col
Sillons de la veine et de l'artère subclavières
Tubercule (sans angle)
Muscle scalène antérieur
Muscle scalène moyen

Insertions musculaires
Origines
Terminaisons

2e côte gauche : vue supérieure

Tête
Col
Tubercule
Angle
Muscle dentelé antérieur (1re digitation)
Muscle scalène postérieur
Muscle dentelé antérieur (2e digitation)

Côte moyenne : vue postérieure

Tête
Tubercule
Col
Angle
Surface articulaire pour le processus transverse de la vertèbre
Supérieur
Inférieur
Surfaces articulaires de la tête costale
Sillon costal

Articulations sterno-costales : vue antérieure

Ligament interclaviculaire
Disque articulaire
Clavicule
Manubrium
Ligament costo-claviculaire
1
Côte
Cavité articulaire
Articulation manubrio-sternale
Ligament sterno-costal intra-articulaire
2
Cartilages costaux
Cavités articulaires
3
Articulations chondro-costales
4
Ligaments radiés intercostaux
Cartilages costaux
5
Articulations interchondrales
6
Processus xiphoïde
Ligament costo-xiphoïdien
7
8

Note : la tête d'une côte type s'articule avec la fossette costale supérieure de la vertèbre thoracique de même numéro (par sa surface articulaire inférieure), la fossette costale inférieure de la vertèbre sus-jacente (par sa surface articulaire supérieure), et le disque intervertébral séparant les deux vertèbres. Le tubercule costal s'articule avec le processus transverse de la vertèbre de même numéro.

F. Netter M.D.

Articulations costo-vertébrales

VOIR AUSSI LA PLANCHE 143

Vue latérale gauche

Ligament longitudinal antérieur
Fossette costale inférieure (pour la tête costale de numéro immédiatement supérieur)
Ligament intra-articulaire de la tête costale
Fossette costale supérieure (pour la tête costale de même numéro)
Ligament radié de la tête costale
Fossette costale du processus transverse (pour le tubercule costal de même numéro que la vertèbre)
Ligament costo-transversaire latéral
Ligament intertransversaire
Ligament costo-transversaire supérieur

Coupe transverse : vue supérieure

Surface articulaire de la tête costale
Ligament interarticulaire
Ligament radié de la tête costale
Cavités synoviales
Ligament costo-transversaire supérieur (coupé)
Ligament costo-transversaire
Ligament costo-transversaire latéral

Vue postéro-latérale droite

Fossette costale supérieure (pour la tête costale de même numéro)
Processus transverse (*réséqué*)
Ligament radié de la tête costale
Ligament costo-transversaire
Ligament costo-transversaire latéral
Ligament costo-transversaire supérieur
Ligament intertransversaire

F. Netter M.D.

VOIR AUSSI LES PLANCHES 28, 400, 401

Muscles scalènes
Antérieur
Moyen

La côte cervicale comprimant l'artère subclavière : dilatation post-sténosique

La côte cervicale adhérant à la 1re côte thoracique par une lame fibreuse dense

Tronc inférieur du plexus brachial soulevé par la côte cervicale

C1 C2 C3 C4 C5 C6 C7 T1

C5 C6 C7 C8 T1

1re côte thoracique rudimentaire avec le plexus brachial fixé en arrière

C4 C5 C6 C7 T1

C5 C6 C7 C8 T1 T2

Morphologie normale

Note : la côte cervicale est aussi souvent asymptomatique

Paroi thoracique antérieure

Muscle sterno-cléido-mastoïdien
Triangle cervical postérieur
Muscle trapèze
Branches perforantes de l'artère thoracique interne et rameaux cutanés antérieurs des nerfs intercostaux
Muscle grand pectoral
Veine céphalique
Acromion
Muscle deltoïde
Nerf thoracique long et artère thoracique latérale
Muscle grand dorsal
Digitations du muscle dentelé antérieur
Rameaux cutanés latéraux des nerfs et des artères intercostaux postérieurs
Muscle oblique externe
Lame antérieure de la gaine du muscle droit de l'abdomen
Muscle sternal (inconstant)
Ligne blanche

Muscle sterno-thyroïdien
Muscle sterno-hyoïdien
Muscle omo-hyoïdien
Recouverts par le fascia cervical
Clavicule
Muscle subclavier recouvert par le fascia clavi-pectoral
Artère thoraco-acromiale (branche pectorale) et nerf pectoral latéral
Ligament costo-coracoïdien
Processus coracoïde
Nerf pectoral médial
Muscle petit pectoral recouvert par le fascia clavi-pectoral
Digitations du muscle dentelé antérieur
Membranes intercostales externes en avant des muscles intercostaux internes
Muscles intercostaux externes
Corps et processus xiphoïde du sternum
Muscle oblique interne
Muscle droit de l'abdomen
Branches cutanées des nerfs thoraco-abdominaux (parties abdominales des intercostaux) et de l'artère épigastrique supérieure

1 2 3 4 5 6 7 8 9 10

Paroi thoracique antérieure (suite)

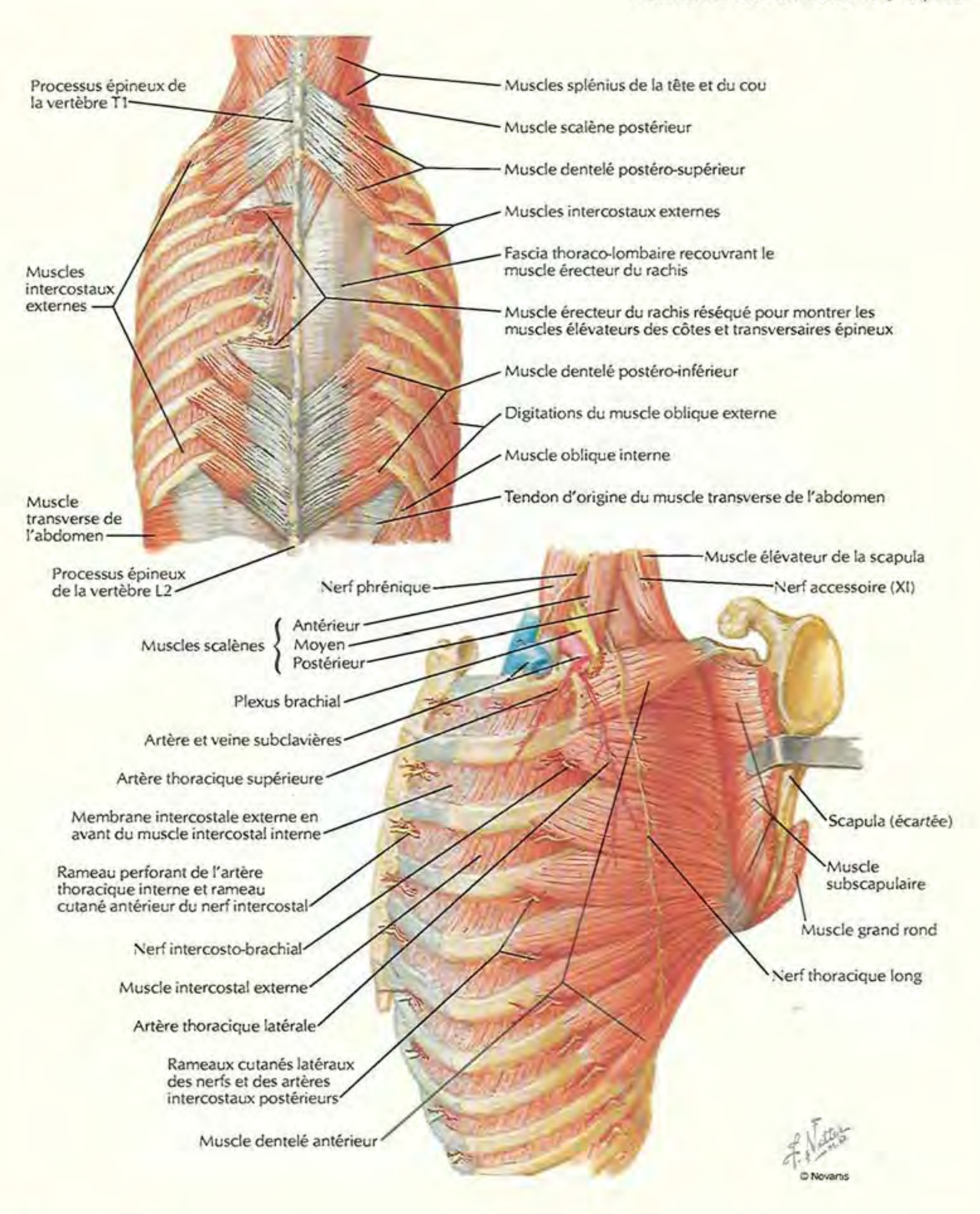
Muscles omo-hyoïdien, sterno-thyroïdien et sterno-hyoïdien
Veine jugulaire interne
Clavicule
Muscle élévateur de la scapula
Muscle subclavier
Antérieur
Moyen
Postérieur
Muscles scalènes
Muscle trapèze
Artère thoraco-acromiale
Nerf phrénique
Processus coracoïde
Plexus brachial
Veine céphalique
Conduit thoracique
Muscle grand pectoral (*coupé*)
Artère et veine subclavières
Muscle deltoïde
Artère et veine axillaires
1
2
3
4
5
6
7
8
9
10
Nerf intercosto-brachial
Artère thoracique supérieure
Nerf thoracique long et artère thoracique latérale
Artère et veines thoraciques internes
Muscle petit pectoral
Muscle intercostal externe
Digitations du muscle dentelé antérieur
Muscle intercostal interne (*coupé*)
Muscle thoracique transverse
Rameaux cutanés latéraux des nerfs intercostaux et des artères intercostales postérieures
Branches intercostales antérieures de l'artère thoracique interne
Muscles intercostaux externes
Nerf intercostal
Membranes intercostales externes en avant des muscles intercostaux internes
Artère et veine musculo-phréniques
Muscle oblique interne
Muscle transverse de l'abdomen
Muscle droit de l'abdomen et sa gaine (*coupés*)
Artères et veines épigastriques supérieures

Paroi thoracique antérieure : vue interne

Muscle sterno-thyroïdien
Manubrium sternal
Muscle sterno-hyoïdien
Artère carotide commune
Veine jugulaire interne
Artère thyroïdienne inférieure
Muscle scalène antérieur
Artère vertébrale
Artère et veine subclavières
Tronc brachio-céphalique
Clavicule (*coupée*)
Artère et veine subclavières
Veine brachio-céphalique
Veine brachio-céphalique
Nerf phrénique et artère et veine péricardiaco-phréniques
Artère et veine thoraciques internes
Artère et veine thoraciques internes
Artères et veines intercostales antérieures et nerf intercostal
Artères et veines intercostales antérieures et nerf intercostal
Muscles intercostaux internes
Rameaux perforants de l'artère et de la veine thoraciques internes et rameau cutané antérieur du nerf intercostal
Muscles intercostaux intimes
Branches collatérales de l'artère et de la veine intercostales
Muscle thoracique transverse
Corps du sternum
Triangle sterno-costal
Diaphragme
Lames d'origine costale du diaphragme
Artère et veine musculo-phréniques
Muscle transverse de l'abdomen
Muscle transverse de l'abdomen
Partie sternale du diaphragme
Artère et veines thoraciques internes
Processus xiphoïde
Artère et veines épigastriques supérieures

Parois thoraciques postérieure et latérale

VOIR AUSSI LES PLANCHES 160, 161, 162



Paroi thoracique postérieure

Ligne nuchale supérieure
Muscle splénius de la tête
Protubérance occipitale externe
Nerf accessoire (XI)
Triangle cervical postérieur
Muscle élévateur de la scapula
Muscle sterno-cléido-mastoïdien
Muscle petit rhomboïde
Muscle trapèze
Muscle grand rhomboïde
Épine de la scapula
Muscle supra-épineux
Fascia infra-épineux
Muscle infra-épineux
Muscle deltoïde
Épine de la scapula et acromion
T1
Muscle petit rond
Muscle petit rond
Muscle grand rond
Muscle grand rond
T6
Processus épineux de la vertèbre thoracique
Muscle grand dorsal (coupé)
Digitations inférieures du muscle dentelé antérieur
Muscle grand dorsal
T12
Digitations du muscle oblique externe
Muscle oblique externe
Trigone lombaire (de Petit) avec le muscle oblique interne dans le fond
Muscle dentelé postéro-inférieur
Crête iliaque
Fascia thoraco-lombaire recouvrant les muscles érecteurs du rachis
Médiale
Latérale
Branches cutanées postérieures (issues des branches latérales et médiales des rameaux dorsaux des nerfs spinaux thoraciques
F. Netter M.D.
© Novartis

Nerfs et artères intercostaux

VOIR AUSSI LES PLANCHES 166, 241

Racine ventrale
Ganglion spinal sensitif (racine dorsale)
Muscle érecteur du rachis
Rameau dorsal du nerf thoracique { Branche médiale
Branche latérale
Ligament costo-transversaire
Nerf intercostal (rameau ventral du nerf spinal thoracique)
Membrane intercostale interne recouvrant le muscle intercostal externe
Muscle dentelé antérieur
Branche spinale (radiculaire ou médullaire segmentaire) de l'artère intercostale postérieure
Branche dorsale de l'artère intercostale postérieure
Muscle trapèze
Muscle grand rhomboïde
Muscle érecteur du rachis
Artère intercostale postérieure
Membrane intercostale interne
Scapula
Muscle infra-épineux
Muscle subscapulaire
Muscle dentelé antérieur
Rameaux communicants gris et blanc
Tronc et ganglions sympathiques
Aorte thoracique
Muscle intercostal intime
Muscle intercostal interne
Muscle intercostal externe
Artères intercostales postérieures droites (*coupées*)
Muscle intercostal intime
Muscle intercostal interne
Muscle intercostal externe
Muscle transverse du thorax
Sternum
Artère thoracique interne
Rameau cutané latéral du nerf intercostal
Branche antérieure du rameau cutané latéral du nerf intercostal
Muscle oblique externe
Muscle grand pectoral
Rameau cutané antérieur du nerf intercostal
Rameau perforant
Artère épigastrique supérieure
Muscle droit de l'abdomen
Muscle oblique externe
Branche cutanée latérale de l'artère intercostale postérieure
Membrane intercostale externe
Artères intercostales antérieures

F. Netter M.D.

Diaphragme : face thoracique

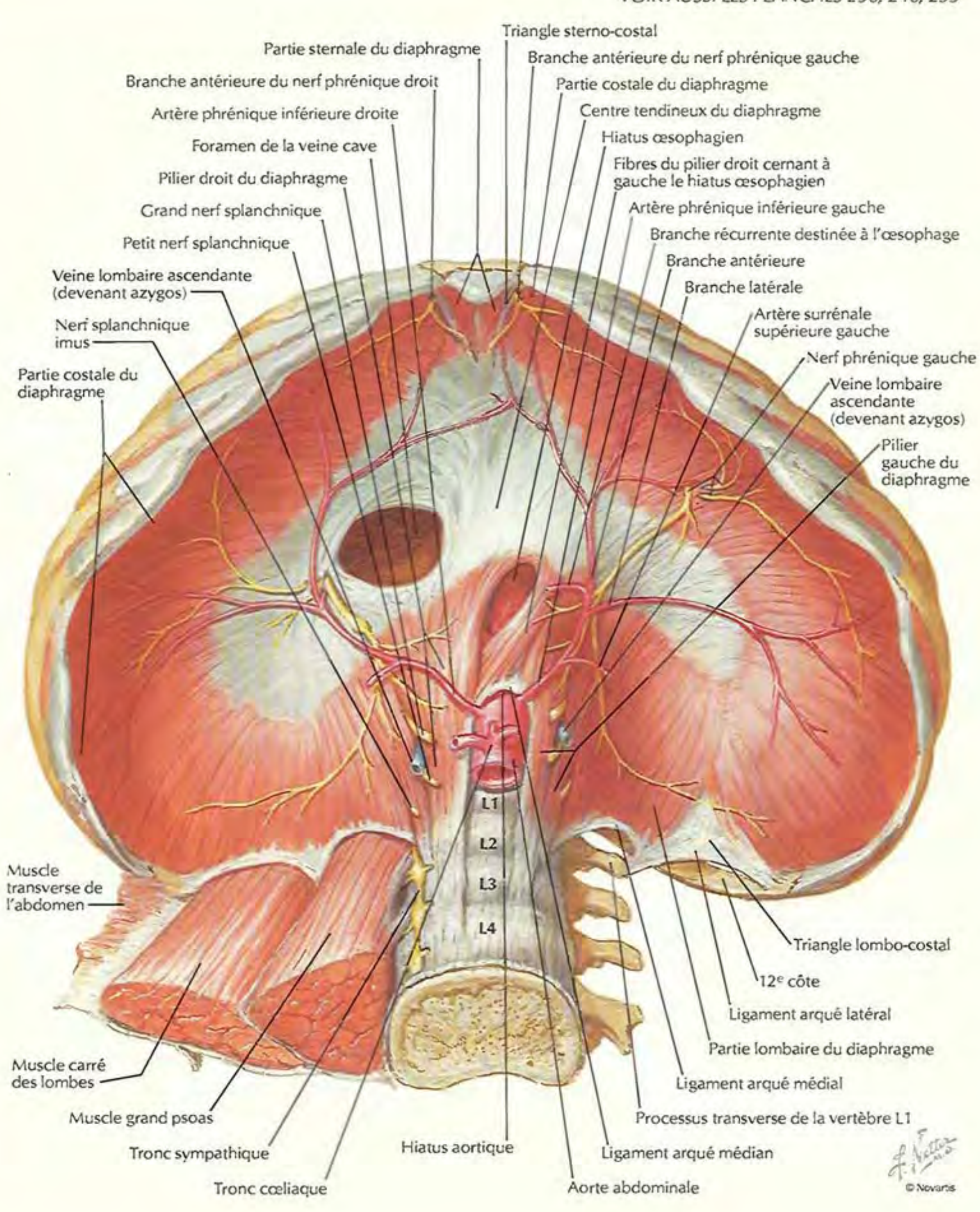
VOIR AUSSI LES PLANCHES 218, 219

Aorte thoracique (descendante)
Disque intervertébral T8-T9
Tronc sympathique droit
Grand nerf splanchnique droit
Partie costale de la plèvre pariétale
Veine azygos
Col de la côte
Tronc sympathique gauche
Grand nerf splanchnique gauche
Veine hémi-azygos
Plèvre médiastinale
Œsophage
Conduit thoracique
Foliole droite du centre tendineux
Partie diaphragmatique de la plèvre pariétale
Nerf phrénique droit et artère et veine péricardiaco-phréniques
Partie médiastinale de la plèvre pariétale et péricarde (coupée)
Récessus costo-diaphragmatique droit de la cavité pleurale
Veine cave inférieure recevant les veines hépatiques
Artère et veines thoraciques internes droites
Récessus costo-médiastinal droit de la cavité pleurale
Médiastin antérieur
Sternum
Partie diaphragmatique de la plèvre pariétale (réséquée)
Foliole gauche du centre tendineux
Partie médiastinale de la plèvre pariétale et péricarde (coupée)
Nerf phrénique gauche et artère et veine péricardiaco-phréniques
Péricarde
Récessus costo-médiastinal gauche de la cavité pleurale
Muscle transverse du thorax
Artère et veines thoraciques internes gauches
5e cartilage costal
Foliole antérieure du centre tendineux recouvert par le péricarde

F. Netter M.D.

Diaphragme : face abdominale

VOIR AUSSI LES PLANCHES 236, 246, 253



Nerf phrénique

VOIR AUSSI LES PLANCHES 27, 123

Rameaux ventraux { C3 C4 C5

C3 C4 C5 } Rameaux ventraux

Muscle scalène antérieur

Muscle scalène antérieur

Artère carotide commune droite

Plexus brachial

Plexus brachial

Nerf phrénique gauche

Nerf phrénique droit

Artère subclavière gauche

Artère subclavière droite

Nerf vague gauche (X)

Nerf vague droit (X)

Artère carotide commune gauche

Artère carotide interne droite (coupée)

Artère thoracique interne gauche (coupée)

Tronc brachio-céphalique

Nerfs cardiaques thoraciques

Artère péricardiaco-phrénique droite (coupée)

Artère péricardiaco-phrénique gauche (coupée)

Veine cave supérieure

Nerf laryngé récurrent gauche

Racine du poumon droit

Racine du poumon gauche

Branche péricardique du nerf phrénique

Partie médiastinale de la plèvre pariétale

Partie médiastinale de la plèvre pariétale

Partie costale de la plèvre pariétale

Partie diaphragmatique de la plèvre pariétale (coupée)

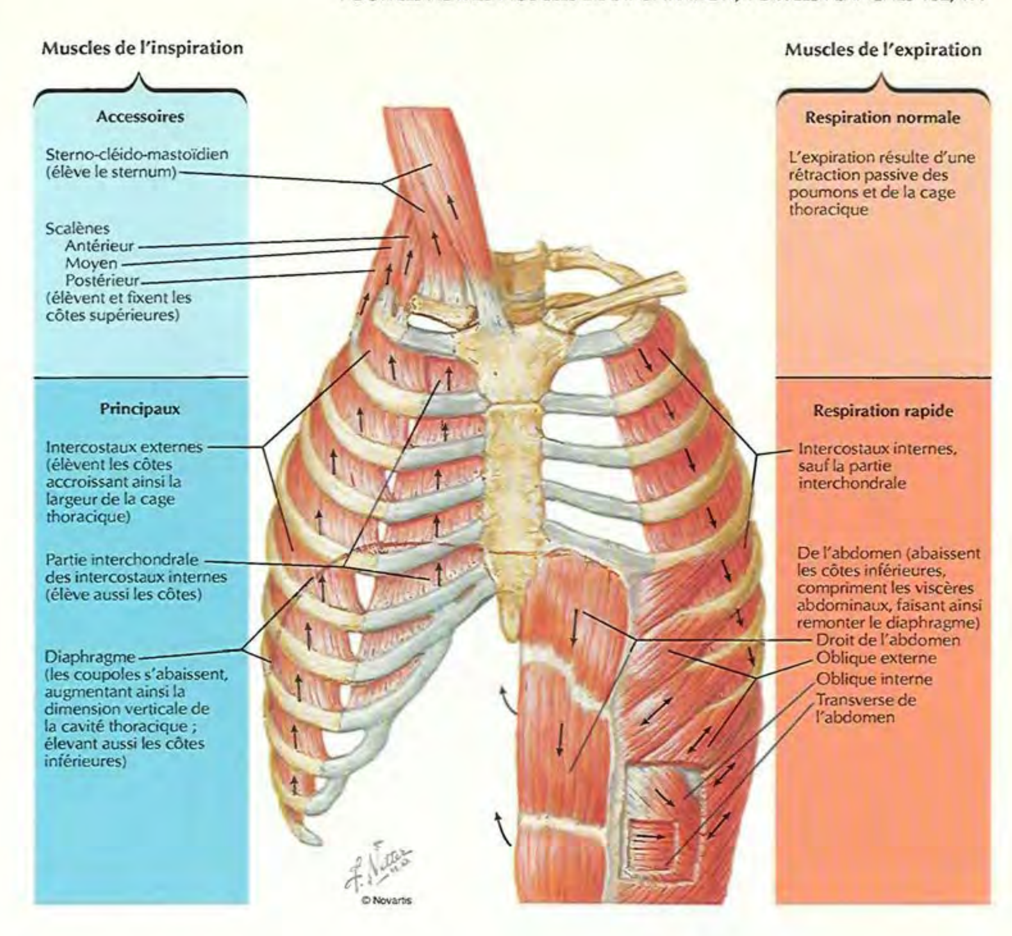
Branches phrénico-abdominales des nerfs phréniques vers la face inférieure du diaphragme

Nerfs phréniques (fibres efférentes et afférentes)

Nerfs intercostaux inférieurs (afférents seulement de la partie périphérique du diaphragme)

Muscles de la respiration

POUR LES AUTRES MUSCLES DE L'INSPIRATION, VOIR LES PLANCHES 162, 177



Topographie des poumons : vue antérieure

Cartilage thyroïde
Cartilage cricoïde
Glande thyroïde
Trachée
Plèvre pariétale cervicale (coupole ou dôme de la)
Incisure jugulaire
Apex du poumon
Articulation sterno-claviculaire
Arc aortique
Clavicule
Incisure cardiaque du poumon gauche
1[re] côte et cartilage costal
Bord gauche du cœur
Bord droit du cœur
Fissure horizontale du poumon droit
Papille mammaire droite (mamelon)
Papille mammaire gauche (mamelon)
Fissure oblique du poumon droit
Fissure oblique du poumon gauche
Récessus costo-diaphragmatique de la cavité pleurale
Récessus costo-diaphragmatique de la cavité pleurale
Rate
Bord inférieur du poumon droit
Bord inférieur du poumon gauche
Coupole gauche du diaphragme
Réflexion pleurale
Réflexion pleurale
Vésicule biliaire
Estomac
Coupole diaphragmatique droite
Surface dénudée du péricarde
Foie
Processus xiphoïde
1 2 3 4 5 6 7 8 9 10
F. Netter
© Novartis

Topographie des poumons : vue postérieure

Processus épineux de la vertèbre T1
Apex du poumon gauche
1re côte
Fissure oblique du poumon gauche
Épine de la scapula
Bord gauche de la plèvre pariétale costale
Plèvre pariétale cervicale (coupole ou dôme de la)
1re côte
Fissure oblique du poumon droit
Clavicule
Fissure horizontale du poumon droit
Bord droit de la plèvre pariétale costale
Récessus costo-diaphragmatique de la cavité pleurale
Récessus costo-diaphragmatique de la cavité pleurale
Rate
Foie
Réflexion pleurale
Réflexion pleurale
Bord inférieur du poumon gauche
Bord inférieur du poumon droit
Rein gauche
Rein droit
Coupole diaphragmatique gauche
Coupole diaphragmatique droite
Glande surrénale gauche
Glande surrénale droite

Poumons in situ : vue antérieure

Glande thyroïde
Trachée et veines thyroïdiennes inférieures
Muscles omo-hyoïdien, sterno-thyroïdien et sterno-hyoïdien
Artère carotide commune
Manubrium sternal
Veine jugulaire interne
Muscle sterno-cléido-mastoïdien
Nerf phrénique
Veine jugulaire externe
Muscle scalène antérieur
Partie costale de la plèvre pariétale (*réséquée*)
Conduit thoracique
Clavicule
Plexus brachial
Muscle grand pectoral
Artère et veine subclavières
Muscle petit pectoral
Artère et veine thoraciques internes
Muscles intercostaux
Artère et veine axillaires
Incisure cardiaque du poumon gauche
Lobe supérieur
Lobe moyen
Lobe inférieur
du poumon droit
Lobe supérieur
Lobe inférieur
du poumon gauche
Fissure oblique
Fissure horizontale du poumon droit
Fissure oblique
Partie diaphragmatique de la plèvre pariétale
Artère musculo-phrénique
Lingula du lobe supérieur du poumon gauche
Diaphragme
Artère thoracique interne
7e cartilage costal
Partie médiastinale de la plèvre pariétale
Processus xiphoïde
Réflexions pleurales
Péricarde fibreux

Poumons : vues médiales

Poumon droit

Apex
Sillon de la veine subclavière
Aire trachéale
Sillon de la veine brachio-céphalique
Surface œsophagienne
Sillon de la 1re côte
Sillon de la veine azygos
Fissure oblique
Sillon de la veine cave supérieure
Plèvre (*bord coupé*)
Lobe supérieur
Bronche lobaire supérieure droite (épartérielle)
Aire du thymus et du tissu graisseux du médiastin antérieur
Artères pulmonaires droites
Artère bronchique droite
Bord antérieur
Bronche intermédiaire droite
Hile
Veines pulmonaires supérieures droites
Fissure horizontale
Nœuds lymphatiques broncho-pulmonaires (hilaires)
Empreinte cardiaque
Veines pulmonaires inférieures droites
Fissure oblique
Lobe inférieur
Lobe moyen
Sillon œsophagien
Sillon de la veine cave inférieure
Ligament pulmonaire
Face diaphragmatique
Bord inférieur

Poumon gauche

Apex
Sillon de la veine subclavière
Surface trachéale et œsophagienne
Sillon de la veine brachio-céphalique gauche
Fissure oblique
Sillon de la 1re côte
Sillon de l'arc aortique
Bord antérieur
Plèvre (*bord coupé*)
Aire du thymus et du tissu graisseux du médiastin antérieur
Artère pulmonaire gauche
Lobe supérieur
Artères bronchiques gauches
Hile
Bronche principale gauche
Empreinte cardiaque
Veines pulmonaires supérieures gauches
Ligament pulmonaire
Nœuds lymphatiques broncho-pulmonaires (hilaires)
Incisure cardiaque
Lobe inférieur
Fissure oblique
Veine pulmonaire inférieure gauche
Sillon œsophagien
Sillon de l'aorte descendante
Face diaphragmatique
Bord inférieur
Lingula

© Novartis

Segments broncho-pulmonaires

Vue antérieure

Poumon droit

Lobe supérieur
Apical (S^{1})
Antérieur (S^{3})
Postérieur (S^{2})

Lobe moyen
Latéral (S^{4})
Médial (S^{5})

Lobe inférieur
Basal antérieur (S^{8})
Basal médial (S^{7})
Basal latéral (S^{9})
Basal postérieur (S^{10})

Poumon gauche

Lobe supérieur
Segments supérieurs (culmen): Apico-postérieur (S^{1+2}); Antérieur (S^{3})
Segments lingulaires: Supérieur (S^{4}); Inférieur (S^{5})

Lobe inférieur
Basal antéro-médial (S^{7+8})
Basal postérieur (S^{10})
Basal latéral (S^{9})

1 2 3 4 5 6 7

Vue postérieure

Poumon gauche

Lobe supérieur
Segments supérieurs (culmen): Apico-postérieur (S^{1+2}); Antérieur (S^{3})
Segment lingulaire: Supérieur (S^{4})

Lobe inférieur
Supérieur (S^{6}) (apical)
Basal latéral (S^{9})
Basal postérieur (S^{10})

Poumon droit

Lobe supérieur
Apical (S^{1})
Postérieur (S^{2})
Antérieur (S^{3})

Lobe moyen
Latéral (S^{4})

Lobe inférieur
Supérieur (S^{6}) (apical)
Basal latéral (S^{9})
Basal postérieur (S^{10})

1 2 3 4 5 6 7 8 9 10
T1 2 3 4 5 6 7 8 9 10

© Novartis

Vues latérales

Poumon droit

Lobe supérieur
Apical (S^1)
Postérieur (S^2)
Antérieur (S^3)

Lobe moyen
Latéral (S^4)
Médial (S^5)

Lobe inférieur
Supérieur (S^6) (apical)
Basal antérieur (S^8)
Basal latéral (S^9)

Poumon gauche

Lobe supérieur
Apico-postérieur (S^{1+2}), Antérieur (S^3) — Segments supérieurs (culmen)
Supérieur (S^4), Inférieur (S^5) — Segments lingulaires

Lobe inférieur
Supérieur (S^6) (apical)
Basal antéro-médial (S^{7+8})
Basal latéral (S^9)

F. Netter M.D.
© Novartis

Vues médiales

Poumon droit

Lobe supérieur
Apical (S^1)
Postérieur (S^2)
Antérieur (S^3)

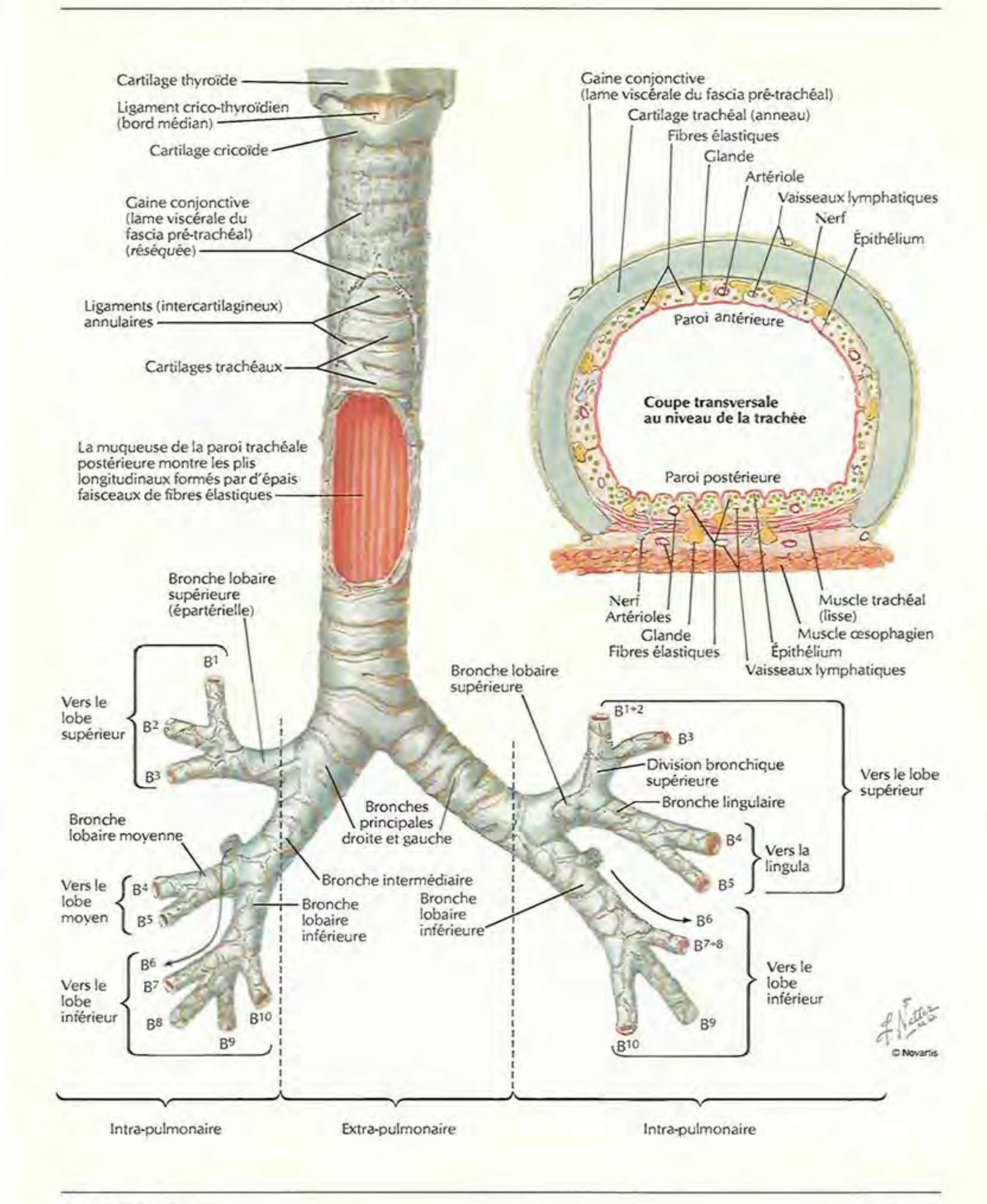
Lobe moyen
Médial (S^5)

Lobe inférieur
Supérieur (S^6) (apical)
Basal médial (S^7) (cardiaque)
Basal antérieur (S^8)
Basal latéral (S^9)
Basal postérieur (S^{10})

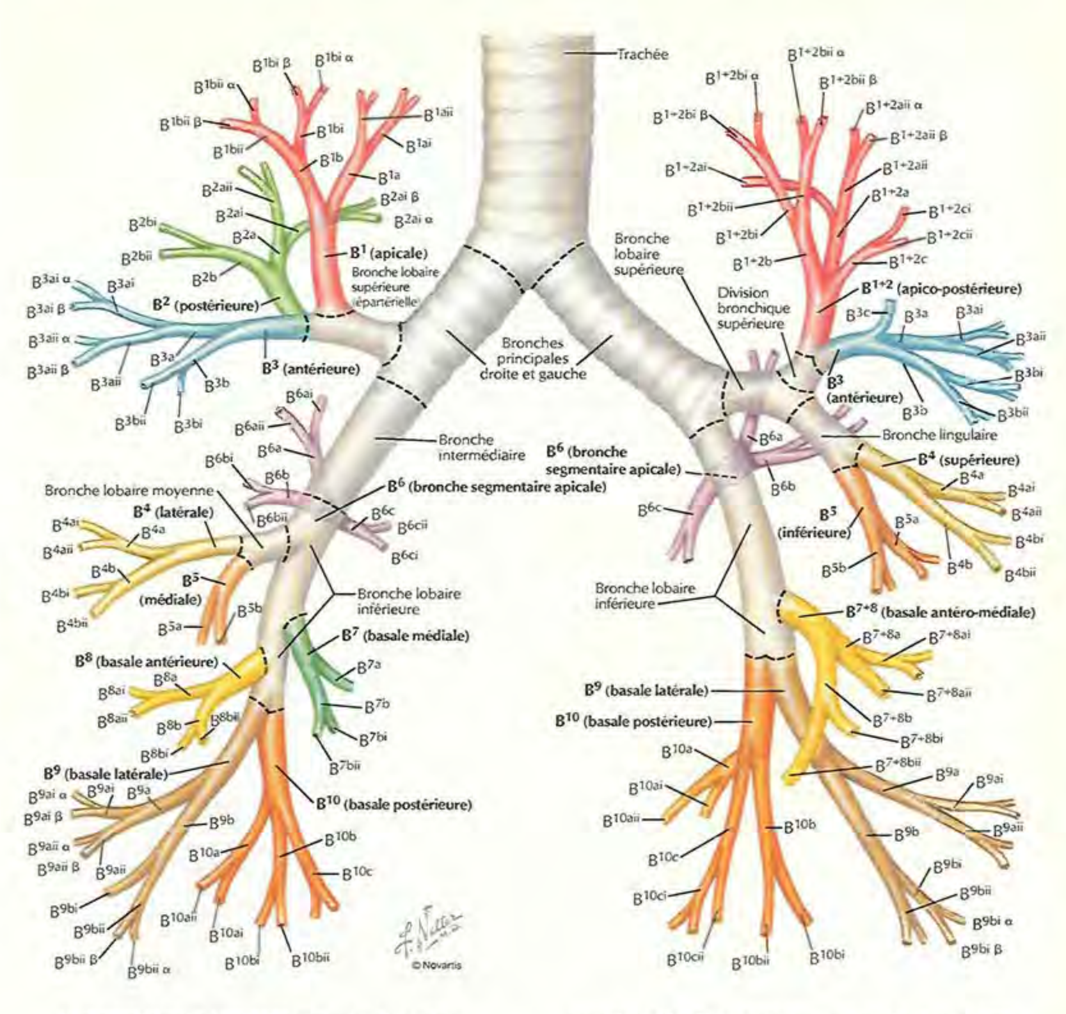
Poumon gauche

Lobe supérieur
Apico-postérieur (S^{1+2}), Antérieur (S^3) — Segments supérieurs (culmen)
Supérieur (S^4), Inférieur (S^5) — Segments lingulaires

Lobe inférieur
Supérieur (S^6) (apical)
Basal antéro-médial (S^{7+8})
Basal latéral (S^9)
Basal postérieur (S^{10})



Nomenclature des bronches : schéma



La nomenclature habituelle des segments pulmonaires (planches 188 et 189) est celle de Jackson et Huber, et les bronches segmentaires suivent cette nomenclature. Ikeda a proposé une nomenclature (voir cette planche) semblable jusqu'à la 6e subdivision bronchique. Pour simplifier, sur ce dessin, ne sont représentées que les bronches de la 5e ou de la 6e génération. Les bronches segmentaires (B) sont numérotées de 1 à 10 sur chaque poumon, correspondant aux segments pulmonaires. Sur le poumon gauche, B1 et B2 sont associées à B7 et B8. Les sous-segments, ou de 4e ordre, sont indiqués par addition des lettres a, b ou c pour chaque branche supplémentaire. Les bronches de 5e ordre sont désignées par les lettres i (antérieur) ou ii (postérieur), et celles de 6e ordre par les lettres grecques α ou β. De nombreux textes utilisent plutôt des chiffres (comme le propose Boyden) pour les bronches segmentaires.
Les variations du modèle bronchique type montré ici sont communes, surtout dans les voies aériennes périphériques.

Voies aérifères intra-pulmonaires

Bronches
Bronche segmentaire
Grosses branches intrasegmentaires
Cartilages
Petites branches intrasegmentaires
Les cartilages deviennent clairsemés (surtout au niveau des embranchements)
Bronchioles
Absence de cartilage
Acinus (partie du poumon ventilée par une bronchiole terminale)
Bronchiole terminale
Lobule
Bronchioles respiratoires (3e-8e ordres)
Saccules alvéolaires et alvéoles
Acinus

Subdivision des conduits aérifères intra-pulmonaires

Bronchiole terminale
Muscle lisse
Fibres élastiques
Alvéole
1er ordre
2e ordre
3e ordre
Bronchioles respiratoires (les alvéoles apparaissent à ce niveau)
Conduits alvéolaires
Sac alvéolaire
Alvéoles
Ouverture du conduit alvéolaire
Pores du septum inter-alvéolaire (de Kohn)
© Novartis

Structure des conduits aérifères intra-pulmonaires

Circulation sanguine intra-pulmonaire : schéma

Bronchiole terminale

Artère bronchique (venant du cœur gauche via l'aorte thoracique)

Veine pulmonaire (destinée au cœur gauche)

Artère pulmonaire (venant du cœur droit)

Bronchioles respiratoires

Plexus capillaires dans la paroi alvéolaire

Veine pulmonaire (destinée au cœur gauche)

Septum

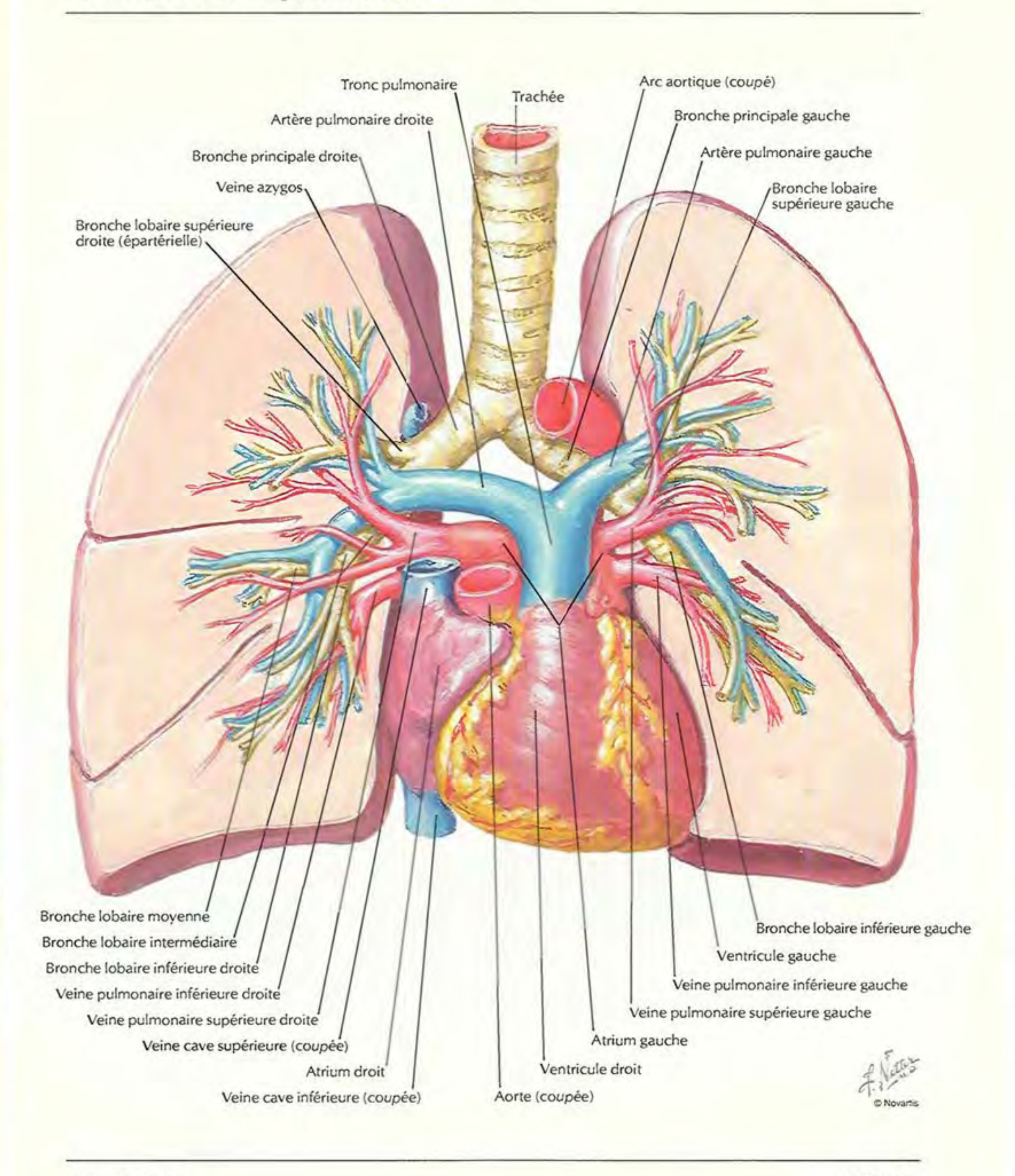
Septum

Plèvre viscérale et capillaires sous-pleuraux

Plexus capillaire dans la paroi alvéolaire (ôté *par endroits*)

© Novartis

Artères et veines pulmonaires



Gros vaisseaux du médiastin supérieur

Cartilage cricoïde
Cartilage thyroïde
Glande thyroïde
Trachée
Artère carotide commune
Artère carotide commune
Nerf vague (X)
Nerf vague (X)
Muscle scalène antérieur
Muscle scalène antérieur
Nerf phrénique
Nerf phrénique (*coupé*)
Veine jugulaire interne
Conduit thoracique
Veine jugulaire externe
Plexus brachial
Plexus brachial
Artère et veine subclavières
Artère et veine subclavières
Veine brachio-céphalique gauche
Tronc brachio-céphalique
Artère thoracique interne
Veine brachio-céphalique droite
Arc aortique
Nerf phrénique et artère et veine péricardiaco-phréniques (*coupés*)
Nerf vague (X)
Veine cave supérieure
Nerf laryngé récurrent
Bronche lobaire supérieure droite (épartérielle)
Ligament artériel
Artère pulmonaire droite
Artère pulmonaire gauche
Tronc pulmonaire
Veines pulmonaires droites
Veines pulmonaires gauches
Partie médiastinale de la plèvre pariétale (*section*)
Partie médiastinale de la plèvre pariétale (*section*)
Partie costale de la plèvre pariétale (*section*)
Partie costale de la plèvre pariétale (*section*)
Partie diaphragmatique de la plèvre pariétale
Nerf phrénique (*coupé*)
Récessus costo-diaphragmatique droit de la cavité pleurale
Partie diaphragmatique de la plèvre pariétale et bord de section
Bronche intermédiaire droite
Bronche principale gauche
Nerf phrénique (*coupé*)
Péricarde (*section*)
Veine azygos
Diaphragme
Conduit thoracique
Veine cave inférieure
Œsophage et plexus œsophagien

F. Netter M.D.
© Novartis

Artères et veines bronchiques

Œsophage
Trachée (*tirée à gauche par une érigne*)
F. Netter M.D.
© Novartis
3e artère intercostale postérieure droite
Artère bronchique supérieure gauche
Artère bronchique droite
Aorte (*réclinée par une érigne*)
Bronche principale droite
Bronche principale gauche (*tirée à droite par une érigne*)
Artère bronchique inférieure gauche
Artère œsophagienne
Branche œsophagienne de l'artère bronchique

Variations des artères bronchiques

Artères bronchiques droite et gauche naissant de l'aorte par un tronc unique

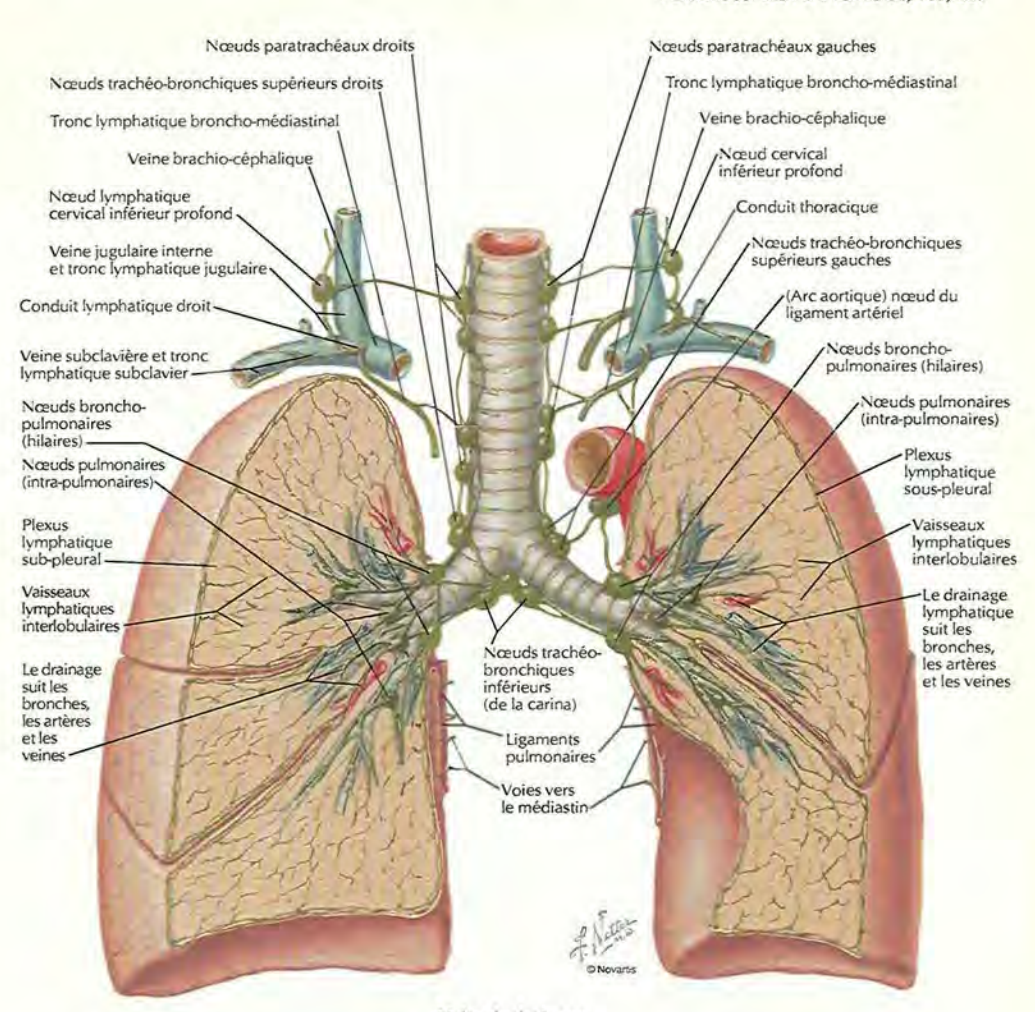
Une seule artère bronchique par bronche (normalement, deux pour la bronche gauche)

Veines bronchiques

Veine azygos
Bronche principale gauche (*soulevée par une érigne*)
Veine bronchique gauche
Veine bronchique droite
Veine hémi-azygos accessoire
Bronche principale droite (*réclinée à gauche avec une torsion à l'aide d'une érigne*)

Vaisseaux et nœuds lymphatiques du poumon

VOIR AUSSI LES PLANCHES 66, 169, 227



Voies de drainage

Poumon droit : tous les lobes se drainent dans les nœuds intra-pulmonaires et broncho-pulmonaires (hilaires), puis dans les nœuds trachéo-bronchiques inférieurs (de la carina), les nœuds trachéo-bronchiques supérieurs droits et les nœuds paratrachéaux droits, sur le trajet de la veine brachio-céphalique via le tronc lymphatique broncho-médiastinal et/ou le nœud cervical profond inférieur (scalène).

Poumon gauche : le lobe supérieur se draine dans les nœuds pulmonaires et broncho-pulmonaires (hilaires), les nœuds trachéo-bronchiques inférieurs (de la carina), les nœuds trachéo-bronchiques supérieurs gauches, les nœuds paratrachéaux gauches et/ou (arc aortique) le nœud du ligament artériel, puis dans la veine brachio-céphalique via le tronc broncho-médiastinal gauche et le conduit thoracique. Le lobe inférieur gauche se draine aussi dans les nœuds pulmonaires et broncho-pulmonaires (hilaires) et vers les nœuds trachéo-bronchiques inférieurs (de la carina), mais ensuite, souvent dans les nœuds trachéo-bronchiques supérieurs droits, où il suit la même voie que la lymphe issue du poumon droit.

Nerfs autonomes dans le thorax

VOIR AUSSI LES PLANCHES 124, 125, 152, 300

Ganglion cervico-thoracique (stellaire)
Anse subclavière
Nerfs cardiaques cervicaux (sympathique et vagal)
Nerfs cardiaques thoraciques (sympathiques)
Tronc sympathique
Nerf vague (X) (coupé) et ses rameaux destinés aux plexus cardiaques et pulmonaires
Nerfs cardiaques thoraciques (sympathiques)
Plexus pulmonaire antérieur
Plexus pulmonaire postérieur (émergeant de la face postérieure de la bronche droite)
6ᵉ nerf intercostal
Rameaux communicants gris et blanc
6ᵉ ganglion sympathique thoracique
Nerf grand splanchnique
Rameau sympathique pour le plexus œsophagien
Conduit thoracique
Nerf petit splanchnique
Nerf splanchnique imus
Veine azygos (coupée)
Veine cave inférieure (coupée)
Nerf laryngé récurrent
Nerfs cardiaques cervicaux (sympathique et vagal)
Nerf vague (X) (coupé)
Nerfs cardiaques thoraciques (sympathiques)
Nerf laryngé récurrent
Rameau cardiaque thoracique du nerf vague
Plexus cardiaque
Plexus pulmonaire antérieur
Plexus pulmonaire postérieur (émergeant de la face postérieure de la bronche gauche)
Tronc sympathique
Plexus aortique thoracique
Plexus œsophagien
8ᵉ nerf intercostal
Rameaux communicants gris et blanc
Nerf grand splanchnique
Nerf petit splanchnique
Tronc vagal antérieur
Diaphragme (abaissé)
© Novartis

Innervation de l'arbre trachéo-bronchique : schéma

VOIR AUSSI LA PLANCHE 153

Afférences hypothalamiques et des centres supérieurs
Nerf glosso-pharyngien (IX)
Les nerfs afférents du nez et des sinus (via les nerfs trijumeau [V] et glosso-pharyngien [IX]) peuvent aussi initier des réflexes dans les voies respiratoires
Nerf vague (X)
(cholinergique ; efférent vers les muscles lisses et les glandes ; afférent de l'aorte, la muqueuse trachéo-bronchique et les alvéoles)
Tractus descendant dans la moelle spinale
Ganglion cervical supérieur
Nerf laryngé supérieur
Larynx
Nerfs sympathiques
(adrénergiques)
Sinus carotidien
Glomus carotidien
Moelle spinale thoracique
T1
T2
T3
T4
T5
Artère carotide commune
Récepteurs de la toux
Nerf laryngé récurrent
Arc aortique
Tronc sympathique
Plexus pulmonaire
Récepteurs de la toux
Récepteurs d'irritation
Récepteurs d'élongation (réflexe de Hering-Breuer)

Fibres parasympathiques
Fibres sympathiques
Fibres afférentes

A Terminaisons adrénergiques (noradrénaline et/ou adrénaline)
C Terminaisons cholinergiques (acétylcholine)

F. Netter M.D.
© Novartis

Cœur in situ

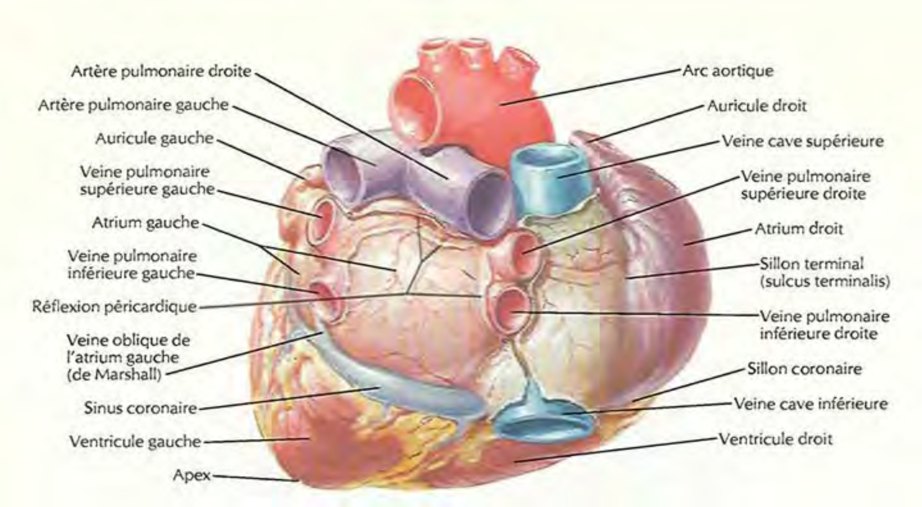
Veines thyroïdiennes inférieures
Trachée
Thymus
Artère carotide commune gauche
Tronc brachio-céphalique
Veine brachio-céphalique gauche
Veine brachio-céphalique droite
Veine jugulaire interne
Nerf phrénique
Nerf vague (X)
Muscle scalène antérieur
Arc aortique
Plexus brachial
Conduit thoracique
Veine jugulaire externe
Nerf laryngé récurrent
Artère et veine subclavières
Artère thoracique interne
Veine cave supérieure
Nerf phrénique interne, artère et veine péricardiaco-phréniques
1re côte
Nerf phrénique, artère et veine péricardiaco-phréniques
Partie médiastinale de la plèvre pariétale
Poumon droit
Poumon gauche
Péricarde
Diaphragme
Ligne d'adhérence du péricarde fibreux et du diaphragme
Artère thoracique interne
Médiastinale
Diaphragmatique
Costale
Parties de la plèvre pariétale
Artère épigastrique supérieure
Artère musculo-phrénique

F. Netter M.D.
© Novartis

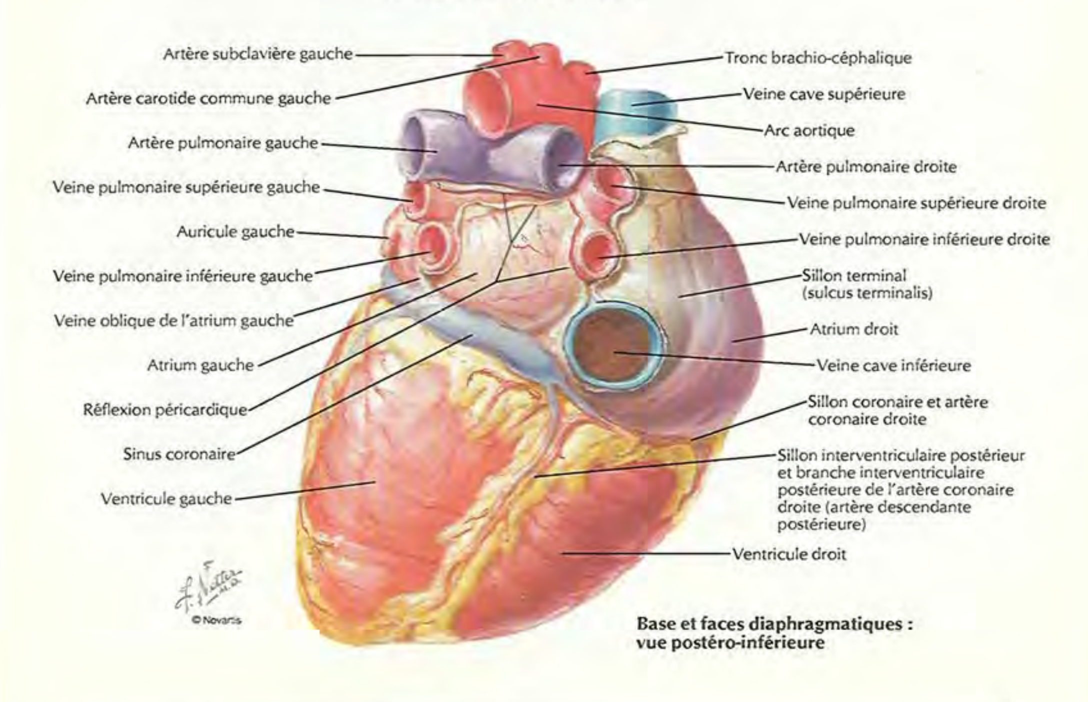
Cœur : vue antérieure

Péricarde (coupé) au niveau de sa réflexion sur les gros vaisseaux
Tronc brachio-céphalique
Veine brachio-céphalique gauche
Veine jugulaire interne droite
Veine brachio-céphalique droite
Arc aortique
Nerf phrénique
Artère carotide commune gauche
Artère et veine subclavières
Veine jugulaire interne gauche
Artère et veine thoraciques internes
Nerf vague gauche (X)
Ligament artériel
Nerf phrénique, artère et veine péricardiaco-phréniques
Nerf laryngé récurrent
Tronc pulmonaire
Veine cave supérieure
Artère pulmonaire gauche
Artère pulmonaire droite
Sinus transverse du péricarde
Sinus transverse du péricarde
Veine pulmonaire supérieure droite
Veine pulmonaire supérieure gauche
Hile du poumon droit
Hile du poumon gauche
Plèvre médiastinale (coupée)
Péricarde (coupé)
Partie médiastinale de la plèvre pariétale (coupée)
Péricarde (coupé)
Ventricule droit
Auricule de l'atrium gauche
Cône artériel
Apex du cœur
Auricule droit
Sillon interventriculaire antérieur et branche interventriculaire de l'artère coronaire gauche
Bord inférieur du cœur (bord aigu)
Ventricule gauche
Bord gauche du cœur (bord émoussé)
Sillon coronaire et artère coronaire droite
Atrium droit

Cœur : base et faces diaphragmatiques

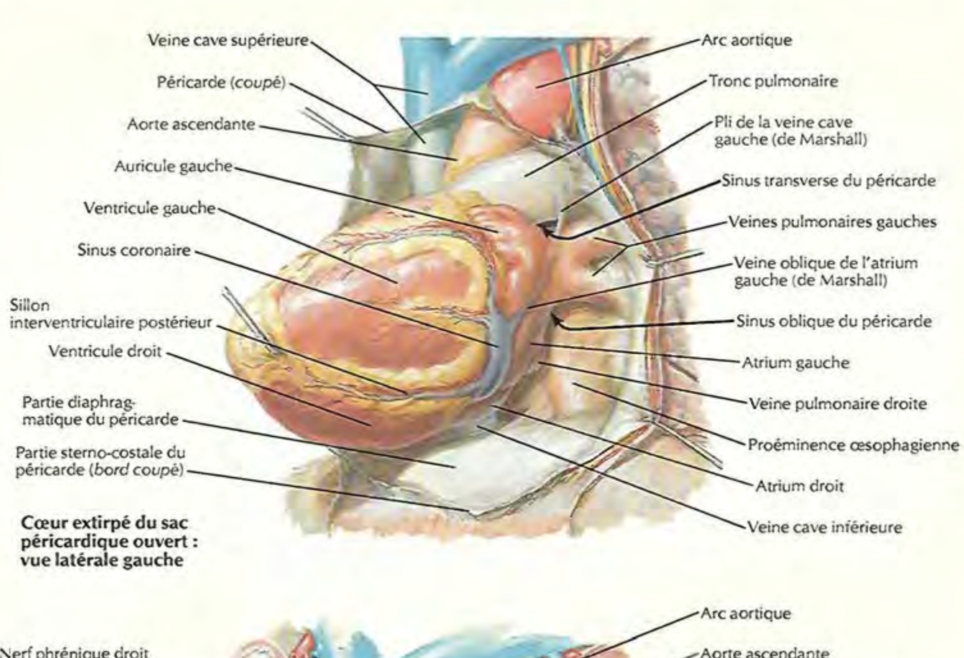


Base du cœur : vue postérieure

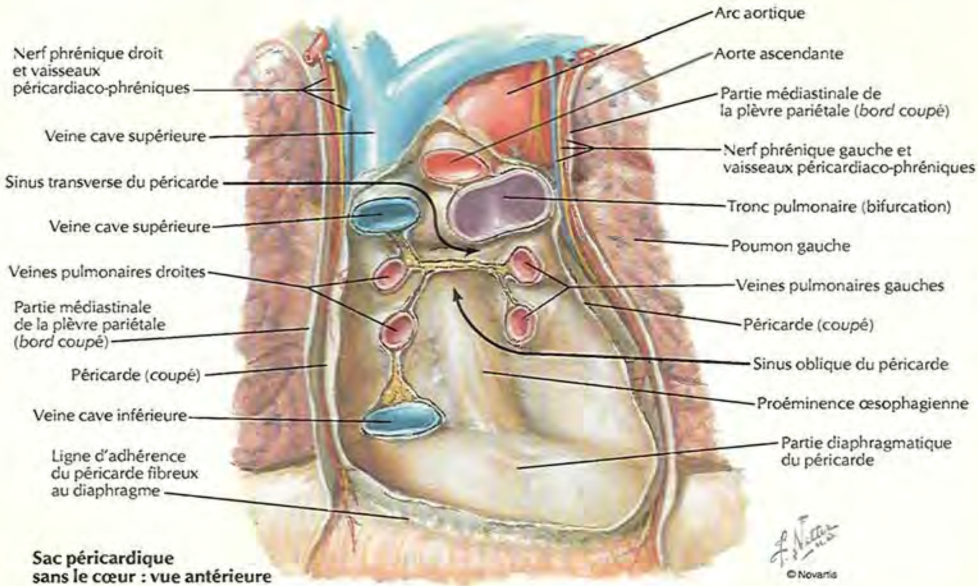


Base et faces diaphragmatiques : vue postéro-inférieure

Sac péricardique

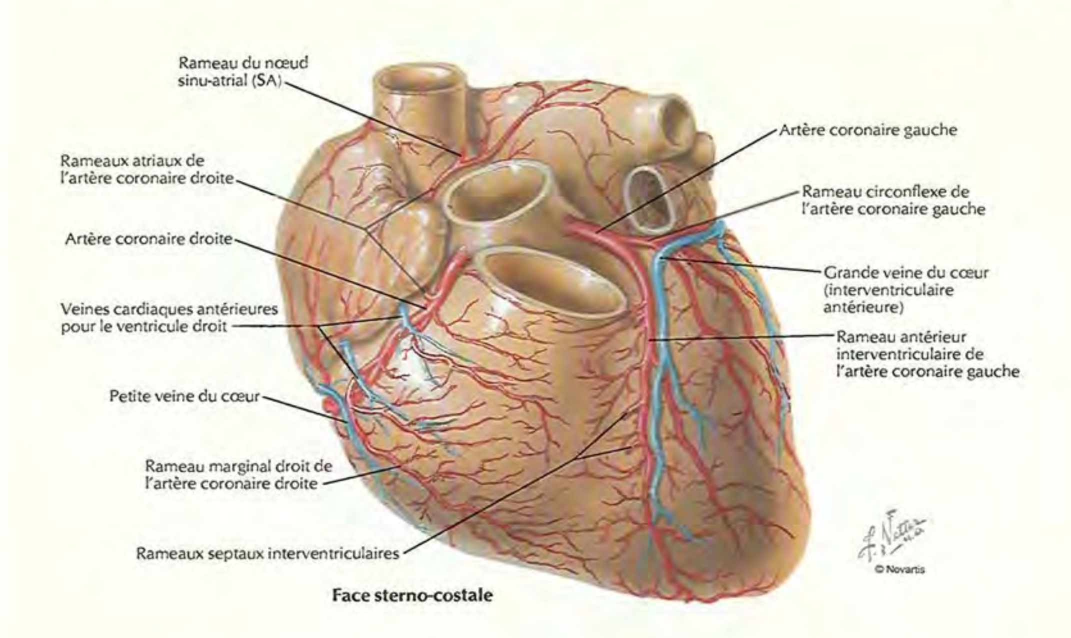


Cœur extirpé du sac péricardique ouvert : vue latérale gauche

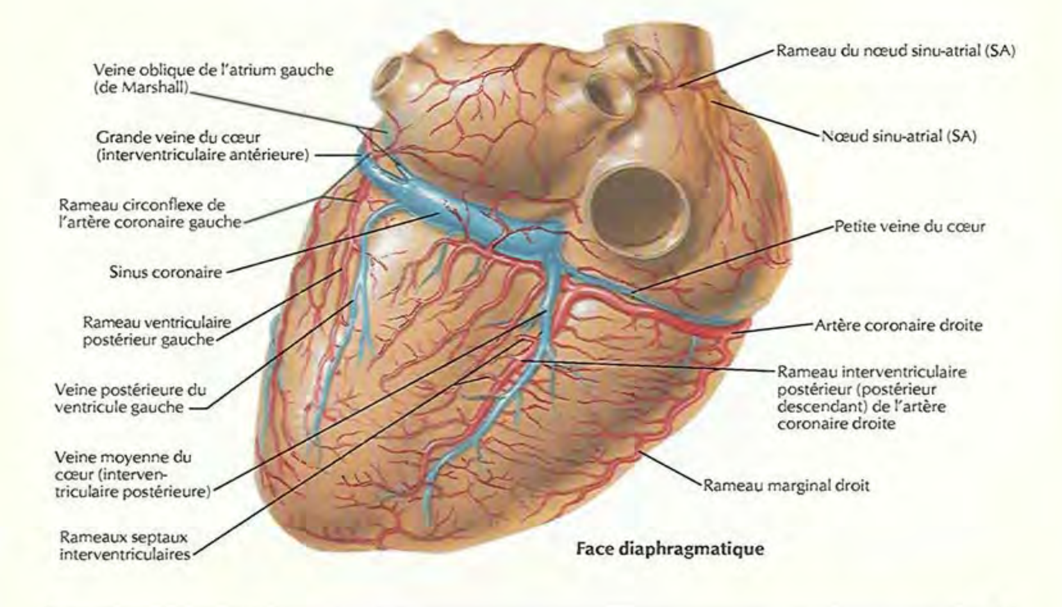


Sac péricardique sans le cœur : vue antérieure

Artères coronaires et veines cardiaques



Face sterno-costale



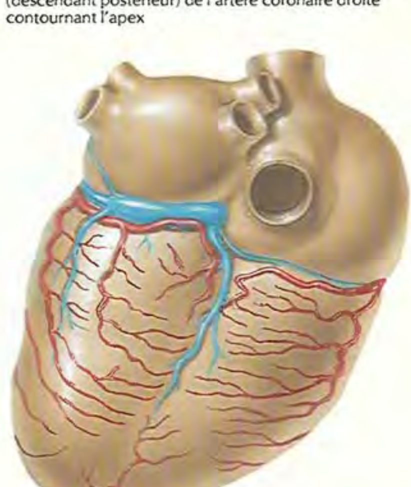
Face diaphragmatique

Artères coronaires et veines cardiaques : variations

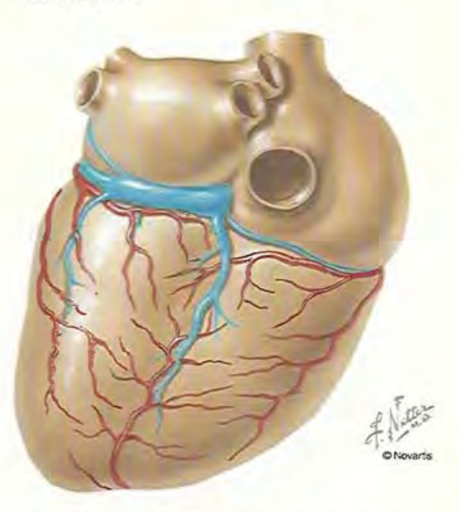
Très court rameau interventriculaire antérieur (antérieur descendant gauche) de l'artère coronaire gauche. La partie apicale de la face antérieure (sterno-costale) est vascularisée par des branches du rameau interventriculaire postérieur (descendant postérieur) de l'artère coronaire droite contournant l'apex



Rameau interventriculaire postérieur (postérieur descendant) dérivant du rameau circonflexe de l'artère coronaire gauche au lieu de l'artère coronaire droite

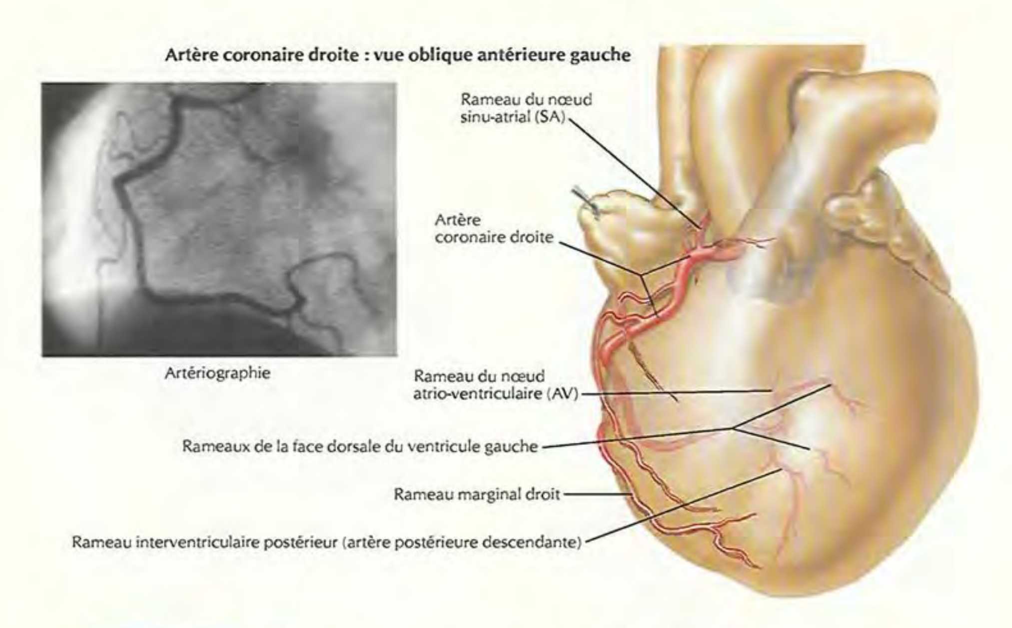


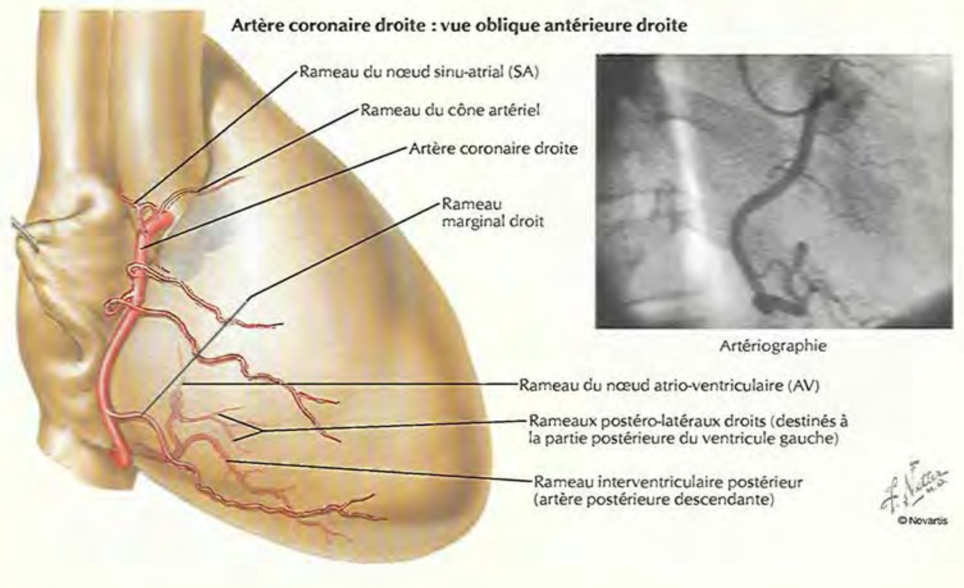
Absence du rameau interventriculaire postérieur (postérieur descendant). Territoire vascularisé principalement par de petites branches du rameau circonflexe de l'artère coronaire gauche et de l'artère coronaire droite



Absence d'un rameau interventriculaire postérieur (postérieur descendant). Territoire vascularisé principalement par un prolongement du rameau interventriculaire antérieur (antérieur descendant gauche) contournant l'apex

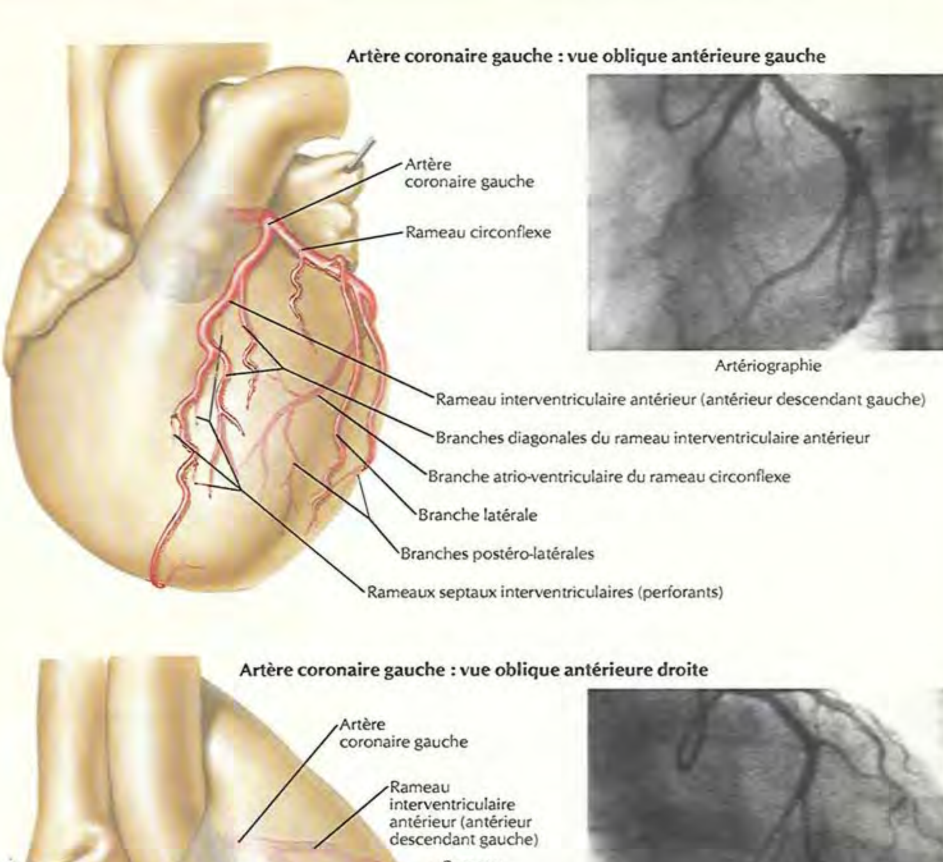
Artères coronaires : vues artériographiques





Artères coronaires : vues artériographiques (suite)

Artère coronaire gauche : vue oblique antérieure gauche



Artériographie

Artère coronaire gauche : vue oblique antérieure droite

Artère coronaire gauche
Rameau interventriculaire antérieur (antérieur descendant gauche)
Rameau circonflexe
Rameaux septaux interventriculaires (perforants)
Branche latérale
Branches postéro-latérales
Branche diagonale du Rameau interventriculaire antérieur
Branche atrio-ventriculaire du rameau circonflexe

Artériographie

Atrium et ventricule droits

Aorte ascendante
Veine cave supérieure
Artère pulmonaire droite
Ligne de réflexion péricardique
Veine pulmonaire supérieure droite
Atrium gauche
Veine pulmonaire inférieure droite
Septum interatrial
Limbe de la fosse ovale
Fosse ovale
Valvule (d'Eustache) de la veine cave inférieure
Veine cave inférieure
Tronc pulmonaire
Auricule droit
Cône artériel
Crête terminale
Partie atrio-ventriculaire du septum membraneux
Cuspide septale de la valve atrio-ventriculaire droite (tricuspide)
Muscles pectinés
Ostium du sinus coronaire
Valvule du sinus coronaire (de Thébésius)

Atrium droit ouvert : vue latérale droite

Ligne de réflexion péricardique
Aorte
Sinus transverse du péricarde
Veine cave supérieure
Auricule droit
Atrium droit
Partie pariétale
Partie membraneuse du septum interventriculaire
Valve atrio-ventriculaire droite (tricuspide): Cuspide antérieure, Cuspide septale, Cuspide postérieure
Cordages tendineux
Muscle papillaire postérieur
Muscle papillaire antérieur
Trabécules charnues
Tronc pulmonaire
Sinus transverse du péricarde
Valve du tronc pulmonaire: Cuspide semi-lunaire antérieure, Cuspide semi-lunaire droite, Cuspide semi-lunaire gauche
Cône artériel
Crête supra-ventriculaire
Muscle papillaire septal
Septum interventriculaire (partie musculaire)
Trabécule septo-marginale: Partie septale, Bandelette modératrice

Ventricule droit ouvert : vue antérieure

Sinus transverse du péricarde
Ligne de réflexion péricardique
Arc aortique
Pli de la veine cave gauche (de Marshall)
Ligament artériel
Auricule gauche
Artère pulmonaire gauche
Veine oblique de l'atrium gauche (de Marshall)
Artère pulmonaire droite
Valve atrio-ventriculaire gauche (mitrale)
Cuspide postérieure
Cuspide antérieure
Veines pulmonaires gauches
Atrium gauche
Muscle papillaire antérieur
Veines pulmonaires droites
Cordages tendineux
Muscle papillaire postérieur
Sinus coronaire
Veine cave inférieure

© Novartis

Volet ouvert dans la paroi postéro-latérale du ventricule gauche

Auricule gauche
Arc aortique
Cône artériel
Artère pulmonaire gauche
Valve aortique
Cuspide semi-lunaire gauche
Cuspide semi-lunaire droite
Cuspide semi-lunaire postérieure
Artère pulmonaire droite
Veine pulmonaire supérieure gauche
Septum membraneux
Partie interventriculaire
Partie atrio-ventriculaire
Valvule du foramen ovale
Veines pulmonaires droites
Partie musculaire du septum interventriculaire
Atrium gauche
Valve atrio-ventriculaire gauche (mitrale) (*réséquée*)
Sinus coronaire
Veine cave inférieure

Note : le pointillé indique le niveau d'origine de la valve atrio-ventriculaire droite (tricuspide)

Coupe à travers l'atrium et le ventricule gauches avec la valve atrio-ventriculaire gauche (mitrale) réséquée

Valve pulmonaire
Cuspide semi-lunaire antérieure
Cuspide semi-lunaire droite
Cuspide semi-lunaire gauche
Cône artériel
Trigone fibreux gauche
Artère coronaire droite
Valve aortique
Cuspide semi-lunaire droite (coronaire)
Cuspide semi-lunaire gauche (coronaire)
Cuspide semi-lunaire postérieure (non coronaire)
Septum membraneux
Partie interventriculaire (*en pointillé*)
Partie atrio-ventriculaire
Rameau circonflexe*
Valve atrio-ventriculaire droite (tricuspide)
Cuspide antérieure
Cuspide septale
Cuspide postérieure
Valve atrio-ventriculaire gauche (mitrale)
Cuspide antérieure (aortique)
Cuspides commissurales
Cuspide postérieure
Anneau fibreux droit (de la valve atrio-ventriculaire droite [tricuspide])
Trigone fibreux droit
Anneau fibreux gauche (de la valve atrio-ventriculaire gauche [mitrale])
Rameau du nœud atrio-ventriculaire (AV)†
Rameau interventriculaire postérieur†

Cœur en diastole : vue de la base avec ablation des atriums

© Novartis

Valve pulmonaire
Cuspide semi-lunaire antérieure
Cuspide semi-lunaire droite
Cuspide semi-lunaire gauche
Cône artériel
Trigone fibreux gauche
Artère coronaire droite
Valve aortique
Cuspide semi-lunaire droite (coronaire)
Cuspide semi-lunaire gauche (coronaire)
Cuspide semi-lunaire postérieure (non coronaire)
Septum membraneux
Partie interventriculaire (*en pointillé*)
Partie atrio-ventriculaire
Rameau circonflexe*
Valve atrio-ventriculaire droite (tricuspide)
Cuspide antérieure
Cuspide septale
Cuspide postérieure
Valve atrio-ventriculaire gauche (mitrale)
Cuspide antérieure
Cuspide postérieure
Anneau fibreux droit (de la valve atrio-ventriculaire droite [tricuspide])
Anneau fibreux gauche (de la valve atrio-ventriculaire gauche [mitrale])
Trigone fibreux droit
Rameau interventriculaire postérieur†
Rameau du nœud atrio-ventriculaire (AV)†

Cœur en systole : vue de la base avec ablation des atriums

* De l'artère coronaire gauche
† De l'artère coronaire droite

Valves et squelette fibreux du cœur (suite)

Aorte ascendante
Sinus de l'aorte (de Valsalva)
Ostium de l'artère coronaire droite
Septum membraneux { Partie interventriculaire; Partie atrio-ventriculaire }
Ligne en pointillé indiquant le niveau d'origine de la valve atrio-ventriculaire droite de l'autre côté du septum
Partie musculaire du septum interventriculaire
Ostium de l'artère coronaire gauche
Nodule de la valve semi-lunaire (corps d'Arantius)
Lunule
Valve aortique { Cuspide semi-lunaire gauche; Cuspide semi-lunaire postérieure; Cuspide semi-lunaire droite }
Muscle papillaire antérieur
Cuspide antérieure de la valve atrio-ventriculaire gauche (mitrale)

Valve de l'aorte

Ostium de la veine cave inférieure
Atrium droit
Ostium du sinus coronaire
Cordages tendineux
Muscle papillaire septal
Muscle papillaire postérieur (*sectionné*)
Bandelette septale de la trabécule septo-marginale
Septum membraneux { Partie atrio-ventriculaire; Partie interventriculaire (*derrière la valve*) }
Valve atrio-ventriculaire droite (tricuspide) { Cuspide postérieure; Cuspide antérieure; Cuspide septale }
Muscle papillaire postérieur (*sectionné*)
Muscle papillaire antérieur

Valve atrio-ventriculaire droite (tricuspide)

Atrium gauche
Cordages tendineux
Muscle papillaire antérieur (*sectionné*)
Muscle papillaire postérieur
Valve atrio-ventriculaire gauche (mitrale) { Cuspide antérieure; Cuspide postérieure; Cuspides commissurales }
Muscle papillaire antérieur (*sectionné*)
Nodules fibreux (d'Albini)

Valve atrio-ventriculaire gauche (mitrale)

F. Netter

Atriums, ventricules et septum interventriculaire

Valve atrio-ventriculaire gauche (mitrale) { Cuspide postérieure; Cuspide antérieure }
Veine pulmonaire supérieure droite
Sinus aortique (de Valsalva)
Aorte ascendante
Valve aortique { Cuspide semi-lunaire gauche; Cuspide semi-lunaire postérieure (non coronaire) }
Veine cave supérieure
Septum membraneux { Partie atrio-ventriculaire; Partie interventriculaire }
Note : la ligne pointillée indique la ligne d'insertion septale de la valve atrio-ventriculaire droite (tricuspide)
Atrium droit
Valve atrio-ventriculaire droite (tricuspide) { Cuspide antérieure (*réclinée*); Cuspide septale; Cuspide postérieure }
Ventricule droit
Muscle papillaire antérieur droit (*coupé*)
Muscle papillaire postérieur droit
Partie musculaire du septum interventriculaire
Tronc pulmonaire
Cuspide antérieure de la valve atrio-ventriculaire gauche (mitrale)
Atrium gauche
Auricule gauche
Veines pulmonaires gauches
Ventricule gauche
Muscle papillaire postérieur gauche
Muscle papillaire antérieur gauche
Ventricule gauche
Ostiums des artères coronaires
Aorte ascendante
Auricule droit
Valve aortique { Cuspide semi-lunaire gauche; Cuspide semi-lunaire droite }
Crête supraventriculaire
Flux vers le tronc pulmonaire
Cône artériel
Muscle papillaire antérieur droit (*coupé*)
Ventricule droit
Trabécule septo-marginale { Bandelette modératrice; Bandelette septale }
Muscle papillaire médial
Plan de la coupe

F. Netter

Système de conduction du cœur

Aorte ascendante
Veine cave supérieure
Artère du nœud sinu-atrial (SA)
Nœud sinu-atrial (SA)
Crête terminale
Partie atrio-ventriculaire
Partie interventriculaire
Septum membraneux
Valve pulmonaire
Nœud atrio-ventriculaire
Tronc atrio-ventriculaire (AV) (faisceau de His)
Faisceau droit
Fibres de conduction de Purkinje
Trabécule septo-marginale (bandelette modératrice)
Muscle papillaire antérieur
Anneau fibreux droit (de la valve atrio-ventriculaire droite [tricuspide])
Veine cave inférieure
Branches sous-endocardiques (fibres de Purkinje)

Côté droit

Valve aortique: Cuspide semi-lunaire postérieure, Cuspide semi-lunaire gauche, Cuspide semi-lunaire droite
Septum membraneux: Partie interventriculaire, Partie atrio-ventriculaire
Arc aortique
Tronc pulmonaire
Veine cave supérieure
Auricule gauche
Faisceau gauche
Muscle papillaire antérieur
Veines pulmonaires droites
Valve atrio-ventriculaire gauche (mitrale) (ôtée)
Branches sous-endocardiques (fibres de Purkinje)
Partie musculaire du septum interventriculaire
Muscle papillaire postérieur

Côté gauche

Nerfs du cœur

VOIR AUSSI LES PLANCHES 124, 152, 198

Ganglion cervical supérieur sympathique
Nerf vague (X)
Nerfs cardiaques cervicaux supérieurs (sympathiques et vagaux fusionnés)
Ganglion sympathique cervical moyen
Nerf cardiaque cervical moyen (sympathique)
Nerf phrénique
Nerf cardiaque cervical inférieur (vagal)
Ganglion vertébral
Artère thyroïdienne inférieure
Artère vertébrale
Ganglion cervico-thoracique (stellaire)
Anse subclavière
Nerf laryngé récurrent
Nerfs cardiaques cervicaux inférieurs (sympathiques)
Branche cardiaque thoracique du nerf vague
4e ganglion sympathique thoracique
Branches cardiaques thoraciques (sympathiques)
Plexus cardiaque
Nerf phrénique (coupé)
Ganglion cervical supérieur sympathique
Nerf vague (X)
Nerf cardiaque cervical supérieur (sympathique)
Nerf cardiaque cervical supérieur (vagal)
Ganglion cervical moyen sympathique
Nerf phrénique
Nerf cardiaque cervical moyen (sympathique)
Nerf cardiaque cervical inférieur (vagal)
Ganglion vertébral
Ganglion cervico-thoracique (stellaire)
Nerfs cardiaques cervicaux inférieurs (sympathiques)
3e ganglion thoracique sympathique
Branches cardiaques thoraciques (sympathiques)
Branche cardiaque thoracique du nerf vague
Nerf laryngé récurrent

Innervation du cœur : schéma

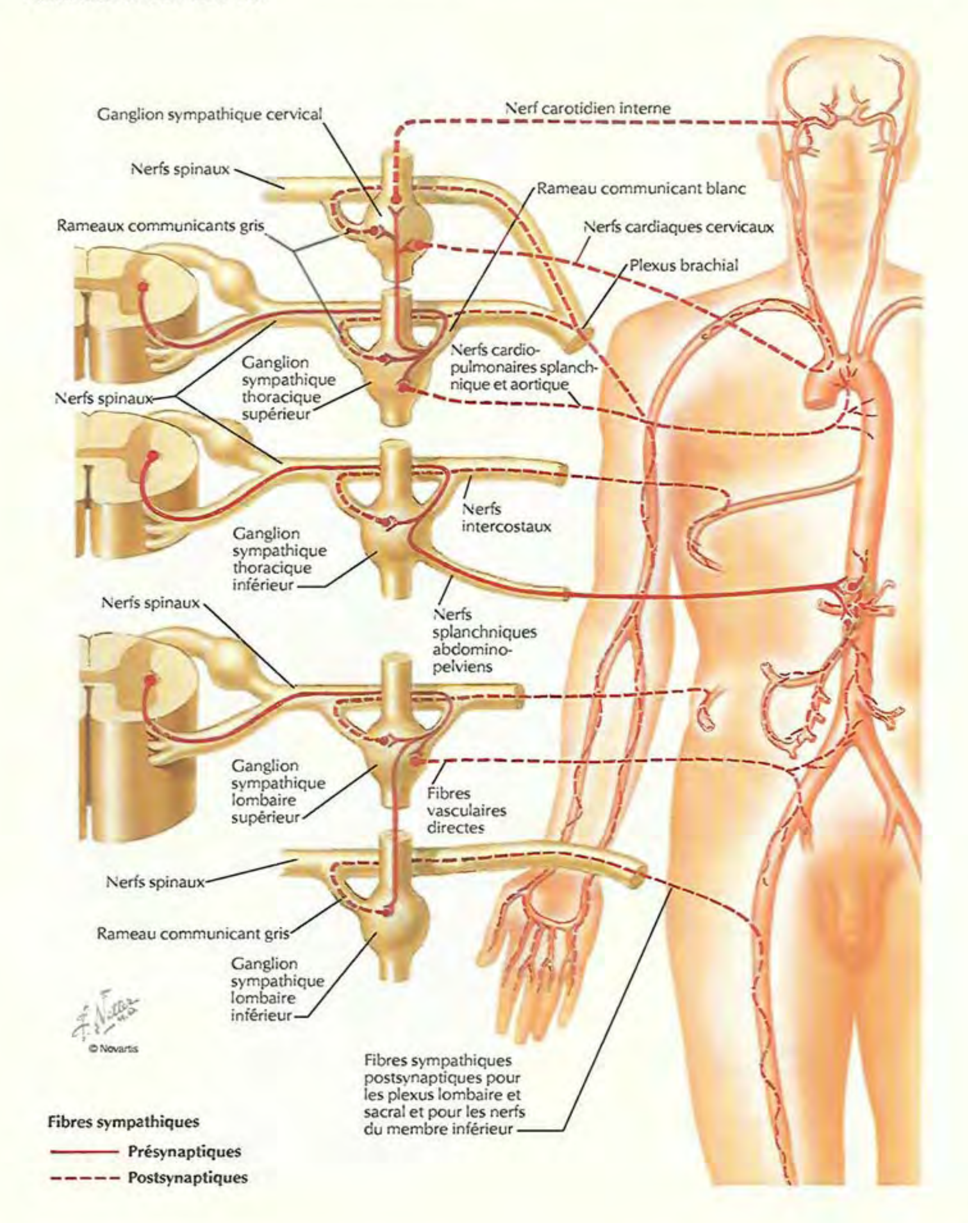
VOIR AUSSI LES PLANCHES 120, 153

Noyau dorsal du nerf vague
Noyau du tractus solitaire
Moelle allongée
Ganglion cervical supérieur sympathique
Nerf cardiaque cervical supérieur (sympathique)
Ganglion cervical moyen sympathique
Nerf cardiaque cervical moyen (sympathique)
Ganglion vertébral (variation)
Anse subclavière
Ganglion cervico-thoracique (stellaire)
1er nerf intercostal
Nerf cardiaque cervical inférieur (sympathique)
Branche cardiaque thoracique du nerf vague
2e ganglion thoracique sympathique
Rameau communicant blanc
Rameau communicant gris
Branches cardiaques thoraciques (sympathiques)
4e ganglion sympathique thoracique
Nerfs vagues
Nerfs cardiaques cervicaux supérieurs (vagaux)
Nerfs cardiaques cervicaux inférieurs (vagaux)
Connexions ascendantes
T1
T2
T3
T4
Plexus cardiaque

Sympathique présynaptique
Sympathique postsynaptique
Vagal présynaptique
Vagal postsynaptique
Afférent viscéral accompagnant les fibres sympathiques
Vagal afférent

Innervation des vaisseaux sanguins : schéma

VOIR AUSSI LA PLANCHE 153



Circulation sanguine pré- et post-natale

POUR LA PARTIE OBLITÉRÉE DES VAISSEAUX OMBILICAUX, VOIR LA PLANCHE 236

Circulation pré-natale

Tronc pulmonaire
Veine cave supérieure
Artère pulmonaire droite
Veine pulmonaire droite
Foramen ovale
Veine hépatique
Conduit veineux
Foie
Veine porte hépatique
Veine ombilicale
Artères ombilicales
Aorte
Conduit artériel
Artère pulmonaire gauche
Veine pulmonaire gauche
Veine cave inférieure
Aorte
Tronc cœliaque
Artère mésentérique supérieure
Rein
Intestin

Ligament artériel (conduit artériel oblitéré)
Fosse ovale (foramen ovale oblitéré)
Ligament veineux (conduit veineux oblitéré)
Ligament rond du foie (veine ombilicale oblitérée)
Ligaments ombilicaux médiaux (partie oblitérée des artères ombilicales)

Circulation post-natale

Médiastin : vue latérale droite

Plèvre pariétale cervicale (coupole ou dôme de la) et membrane supra-pleurale (de Sibson)
1re côte
Trachée
Nerf vague droit (X)
Œsophage
Tronc sympathique
Veine intercostale droite supérieure
Corps de la 4e vertèbre thoracique
Bronche principale droite et artère bronchique
Veine azygos
Artère et veine intercostales postérieures et nerf intercostal
Muscle intercostal interne
Membrane intercostale interne sous-jacente au muscle intercostal externe
Rameaux communicants gris et blanc
Partie costale de la plèvre pariétale (*bord coupé*)
Nerf grand splanchnique
Œsophage et plexus œsophagien
Nœuds lymphatiques broncho-pulmonaires (hilaires)
Ligament pulmonaire (*coupé*)
Muscle scalène antérieur et nerf phrénique
Plexus brachial
Artère et veine subclavières droites
Clavicule
Muscle subclavier
1re côte
Veines brachio-céphaliques droite et gauche
Artère thoracique interne droite
Thymus (vu à travers la plèvre médiastinale)
Veine cave supérieure
Nerf phrénique, artère et veine péricardiaco-phréniques*
Artère pulmonaire droite
Partie médiastinale de la plèvre pariétale (*bord coupé*)
Péricarde fibreux recouvrant l'atrium droit
Veines pulmonaires droites
Veine cave inférieure (recouverte par la partie médiastinale de la plèvre pariétale)
Diaphragme (recouvert par la partie diaphragmatique de la plèvre pariétale)
Partie costale de la plèvre pariétale (*bord coupé*)
Récessus costo-diaphragmatique de la cavité pleurale

* Les vaisseaux et les nerfs cheminent habituellement séparément

Médiastin : vue latérale gauche

Muscle scalène antérieur et nerf phrénique
Plexus brachial
Artère et veine subclavières gauches
Muscle subclavier
Clavicule
Veine brachio-céphalique gauche
Artère thoracique interne gauche
Thymus (vu à travers la plèvre médiastinale)
Ligament artériel
Artère pulmonaire gauche
Nerf phrénique gauche, artère et veine péricardiaco-phréniques*
Partie médiastinale de la plèvre pariétale (*bord coupé*)
Péricarde fibreux
Veines pulmonaires gauches
Ligament pulmonaire (*coupé*)
Formation graisseuse
Œsophage et plexus œsophagien (recouverts par la partie médiastinale de la plèvre pariétale)
Diaphragme (recouvert par la partie diaphragmatique de la plèvre pariétale)
Récessus costo-diaphragmatique de la cavité pleurale
Partie costale de la plèvre pariétale (*bord coupé*)
Plèvre pariétale cervicale (coupole ou dôme de la) et membrane supra-pleurale (de Sibson)
1re côte
Œsophage
Conduit thoracique
Nerf vague gauche (X)
Veine intercostale supérieure gauche
Arc aortique
Nerf laryngé récurrent
Veine hémi-azygos accessoire
Nœuds lymphatiques broncho-pulmonaires (hilaires)
Artère et veine intercostales postérieures et nerf intercostal
Muscle intercostal interne
Membrane intercostale sous-jacente au muscle intercostal externe
Rameaux communicants gris et blanc
Plèvre costale (*coupée*)
Tronc sympathique
Nerf grand splanchnique
Aorte thoracique (descendante)
Bronche principale gauche et artère bronchique

* Les vaisseaux et les nerfs cheminent habituellement séparément

Œsophage in situ

Artère carotide commune
Muscle scalène antérieur
Nerf phrénique
Muscle scalène postérieur
Plexus brachial
Artère subclavière
Tronc thyro-cervical
Nerf vague (X)
1re côte (*coupée*)
Tronc brachio-céphalique
Trachée
Arc aortique
Veine azygos
Bronche principale droite
Bronche lobaire supérieure (épartérielle)
Partie thoracique de l'œsophage
Plexus œsophagien
Partie médiastinale de la plèvre pariétale (*bord coupé*)
Tronc vagal antérieur
Veine cave inférieure (*coupée*)
Veines hépatiques (*coupées*)
Veine cave inférieure
Piliers droit et gauche du diaphragme
Artères phréniques inférieures
Tronc cœliaque
Aorte abdominale
Muscle long du cou
Partie cervicale de l'œsophage
Nerfs laryngés récurrents
Conduit thoracique
Veine jugulaire interne (*coupée*)
Veine subclavière (*coupée*)
Veine brachio-céphalique gauche (*coupée*)
Veine thoracique interne (*coupée*)
Nerf phrénique (*coupé*)
Artère carotide commune
Artère subclavière
Nerf vague (X)
Nerf laryngé récurrent gauche
Bifurcation trachéale
Plèvre costale (*coupée*)
Bronche principale gauche
Aorte thoracique (descendante)
Partie médiastinale de la plèvre pariétale (*bord coupé*)
Péricarde (*coupé*)
Diaphragme
Partie diaphragmatique de la plèvre pariétale
Estomac
Partie abdominale de l'œsophage

Topographie et rétrécissements de l'œsophage

Longueur moyenne en centimètres

0
16
23
38
40

Incisives
Oropharynx
Épiglotte
Récessus piriforme
Rétrécissement pharyngo-œsophagien
Cartilage thyroïde
Cartilage cricoïde
Partie crico-pharyngienne (muscle) du muscle constricteur inférieur du pharynx
Rétrécissement thoracique (aorto-bronchique)
Trachée
Arc aortique
Bronche principale gauche
Rétrécissement diaphragmatique (sphincter inférieur de l'œsophage)
Diaphragme
Partie abdominale de l'œsophage
Partie cardiale de l'estomac
Fundus de l'estomac

Muscle constricteur inférieur du pharynx
Cartilage thyroïde
Cartilage cricoïde
Partie crico-pharyngienne (muscle) du muscle constricteur inférieur du pharynx
Trachée
Œsophage
Arc aortique
Sternum
Cœur dans le péricarde
Diaphragme
C4
C6
T1
T3
T5
T7
T9
T11
L1
L3
2
3
4
5
6
7

Vue latérale

© Novartis

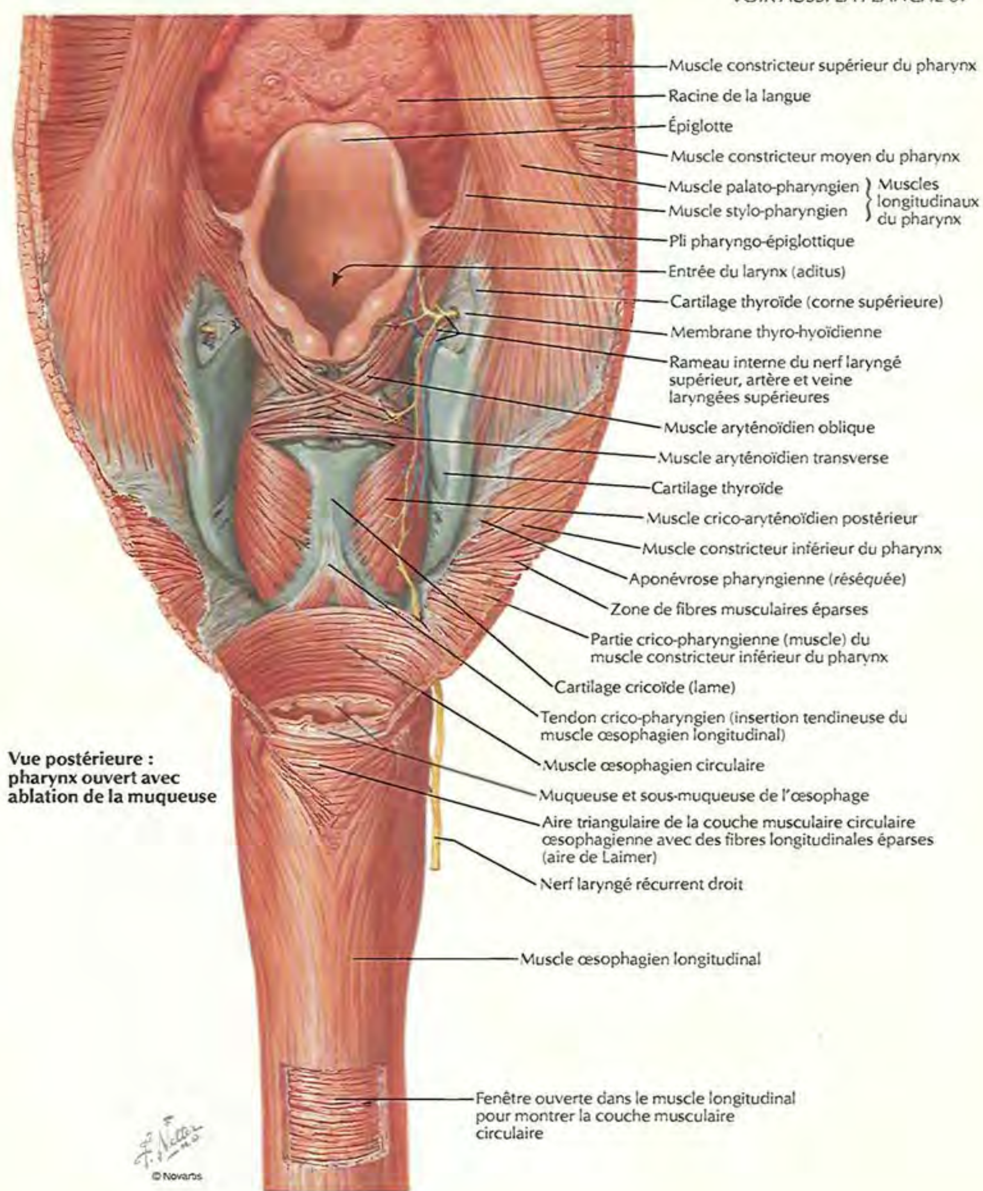
Muscles de l'œsophage

Muscle constricteur inférieur du pharynx
Raphé pharyngien
Cartilage thyroïde
Zone de fibres musculaires éparses
TRIANGLE DE KILLIAN
Partie crico-pharyngienne (muscle) du muscle constricteur inférieur du pharynx
Cartilage cricoïde
Faisceau principal du muscle longitudinal se dirigeant en haut et en avant pour s'insérer sur le milieu de la face postérieure du cartilage cricoïde
Faisceau musculaire accessoire venant de la face postéro-latérale du cartilage cricoïde
Expansion du côté controlatéral de la partie crico-pharyngienne (muscle) du muscle constricteur inférieur du pharynx
Trachée
Aire triangulaire de la couche musculaire circulaire œsophagienne avec des fibres longitudinales éparses (aire de Laimer)
Érigne
Aire lisse sur la face ventrale de l'œsophage
Masse latérale du muscle longitudinal
Membranes fibro-élastiques avec des fibres musculaires éparses
Fenêtre ouverte dans la couche musculaire longitudinale
Couche de muscles circulaires
Bronche principale gauche

© Novartis

Jonction pharyngo-œsophagienne

VOIR AUSSI LA PLANCHE 61



Vue postérieure : pharynx ouvert avec ablation de la muqueuse

Jonction gastro-œsophagienne

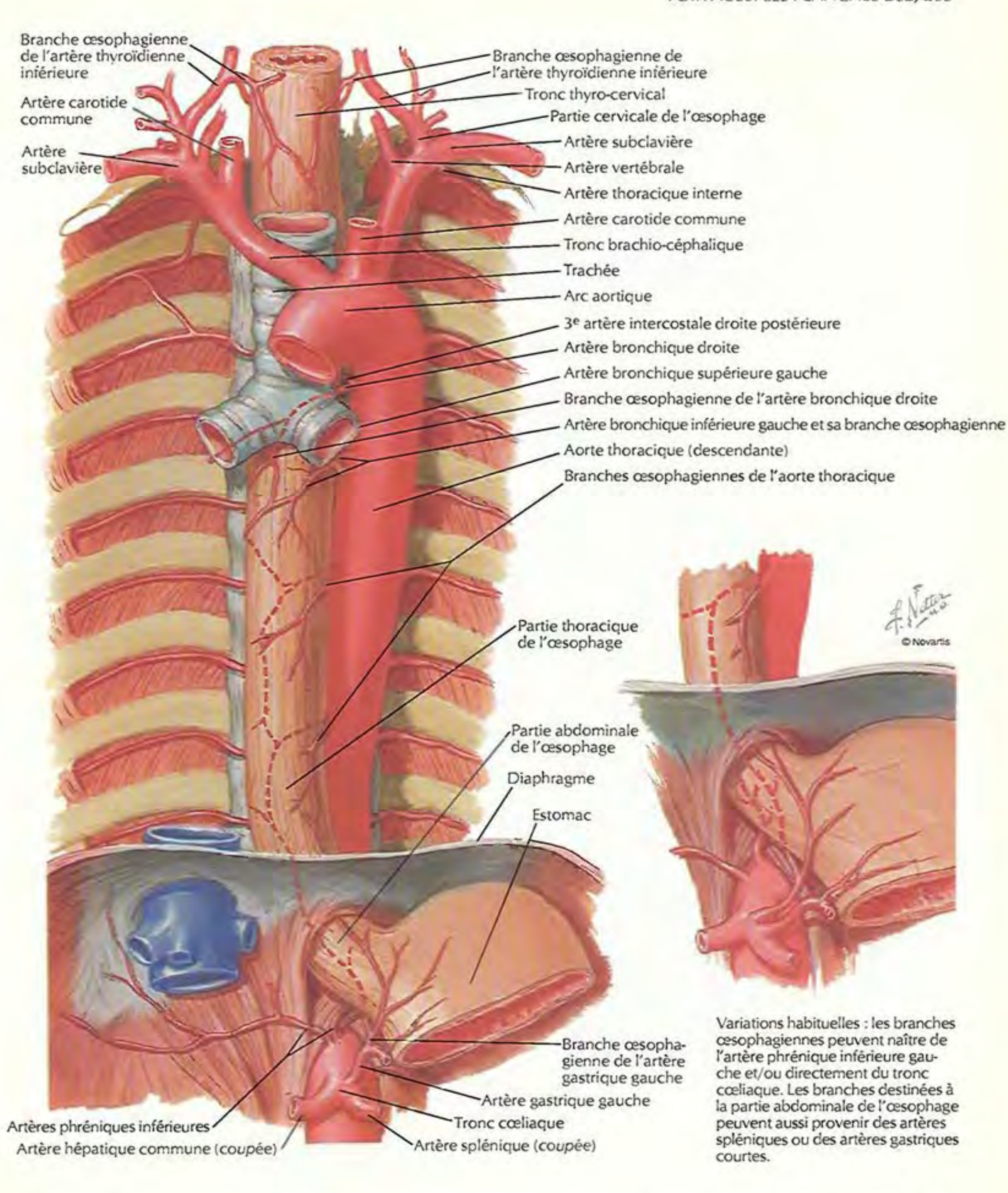
Muqueuse œsophagienne
Sous-muqueuse
Muscle œsophagien longitudinal
Muscle œsophagien circulaire
Léger épaississement musculaire graduel
Gaine fasciale œsophagienne (lame ascendante)
Fascia phrénico-pleural
Diaphragme
Diaphragme
Fascia diaphragmatique (transversalis)
Gaine fasciale œsophagienne (lame descendante)
Anneau graisseux sous-diaphragmatique (espace celluleux hiatal)
Péritoine
Incisure cardiale
Ligne sinueuse : jonction des muqueuses gastrique et œsophagienne
Partie cardiale de l'estomac
Plis gastriques (rides)

Muscle œsophagien longitudinal (*coupé*)
Muscle œsophagien circulaire (montré ici en spirale)
Incisure cardiale
Fundus de l'estomac
Collier d'Helvétius
Fenêtre découpée au milieu de la couche musculaire circulaire de l'estomac
Couche musculaire oblique profonde de l'estomac (en cravate)
Couche musculaire longitudinale externe de l'estomac (*coupée*)

F. Netter M.D.

Artères de l'œsophage

VOIR AUSSI LES PLANCHES 282, 283



Variations habituelles : les branches œsophagiennes peuvent naître de l'artère phrénique inférieure gauche et/ou directement du tronc cœliaque. Les branches destinées à la partie abdominale de l'œsophage peuvent aussi provenir des artères spléniques ou des artères gastriques courtes.

Veines de l'œsophage

VOIR AUSSI LA PLANCHE 297

Veine thyroïdienne inférieure
Veine jugulaire interne
Veine jugulaire externe
Veine subclavière
Veine vertébrale
Veine brachio-céphalique droite
Veine cave supérieure
Veine intercostale supérieure droite
Œsophage
6e veine intercostale postérieure droite
Veine azygos
Jonction entre les veines azygos et hémi-azygos
Veine cave inférieure (coupée)
Diaphragme
Foie
Veines hépatiques
Veine cave inférieure
Veine porte hépatique
Veine rénale droite
Veine gastrique gauche
Veine gastrique droite
Branches œsophagiennes de la veine gastrique gauche
Veine thyroïdienne inférieure
Veine jugulaire interne
Veine subclavière
Conduit thoracique
Veine brachio-céphalique gauche
Veine intercostale supérieure gauche
Plexus œsophagien
Veine hémi-azygos accessoire
Veines satellites du nerf vague
Veine hémi-azygos
Plexus veineux sous-muqueux
Veine phrénique inférieure gauche
Veines gastriques courtes
© Novartis
Veine splénique
Veine surrénale gauche
Veine rénale gauche
Veines omentales (épiploïques)
Veine gastro-omentale gauche (gastro-épiploïque gauche)
Veine mésentérique inférieure
Veine mésentérique supérieure
Veine gastro-omentale droite (gastro-épiploïque droite)

Vaisseaux et nœuds lymphatiques de l'œsophage

VOIR AUSSI LES PLANCHES 197, 249

Nœuds cervicaux inférieurs profonds (jugulaires internes)

Conduit thoracique

Nœuds paratrachéaux

Nœuds trachéo-bronchiques supérieur et inférieur

Nœuds médiastinaux postérieurs

Nœuds intercostaux

Nœuds pariétaux postérieurs

Nœuds phréniques supérieurs

Nœuds gastriques gauches (nœuds cardiaux)

Nœuds juxta-œsophagien et phrénique supérieur

Nœuds cœliaques

Nerfs de l'œsophage

VOIR AUSSI LES PLANCHES 152, 198

Vue antérieure

Ganglion supérieur du nerf vague

Ganglion cervical supérieur sympathique

Ganglion inférieur du nerf vague

Rameau pharyngien du nerf vague

Nerf vague (X)

Nerf laryngé supérieur

Tronc sympathique cervical

Ganglion cervical moyen sympathique

Nerfs cardiaques cervicaux (sympathiques et vagaux)

Ganglion vertébral sympathique

Anse subclavière

Branche œsophagienne et du nerf récurrent issu du ganglion cervico-thoracique

Ganglion cervico-thoracique (stellaire)

Nerf laryngé récurrent gauche

Branches cardiaques thoraciques sympathiques et vagales

Plexus cardiaque

Plexus pulmonaires

Plexus œsophagien (partie antérieure)

Branches du plexus œsophagien issues du tronc sympathique, du nerf grand splanchnique et du plexus aortique

Nerf grand splanchnique gauche

Tronc vagal antérieur

Rameau vagal du plexus hépatique via le petit omentum

Rameau vagal antérieur principal pour la petite courbure de l'estomac

Branche vagale pour le fundus et le corps de l'estomac

Branche vagale pour le fundus et la partie cardiale de l'estomac

Œsophage

Nerfs laryngés récurrents

Nerf laryngé récurrent droit

Anse subclavière

3e nerf intercostal

Rameaux communicants gris et blanc

3e ganglion thoracique sympathique

Tronc sympathique thoracique

Nerf grand splanchnique droit

Fibres sympathiques longeant l'artère phrénique inférieure gauche

Branche du tronc vagal postérieur pour le plexus cœliaque

Nerfs grands splanchniques

Fibres sympathiques le long de la branche œsophagienne de l'artère gastrique gauche

Plexus et ganglions cœliaques

Vue postérieure

Plexus œsophagien (partie postérieure)

Tronc vagal postérieur

Branche vagale pour le plexus cœliaque

Branche vagale postérieure pour la petite courbure

Nerfs intrinsèques et variations des nerfs de l'œsophage

Variations

Troncs vagaux antérieurs multiples

Un tronc vagal antérieur unique se divise juste au-dessus du diaphragme

Troncs vagaux postérieurs multiples

Naissance haute d'un tronc unique

Naissance basse d'un tronc unique

Couche longitudinale
Conjonctive intermusculaire et tissu élastique
Couche circulaire
Plexus myentérique (d'Auerbach)
Plexus sous-muqueux (de Meissner)
Sous-muqueuse

Innervation intrinsèque : schéma

Médiastin : coupe transversale (vue supérieure)

VOIR AUSSI LA PLANCHE 516

Vertèbre T8
Nerf grand splanchnique gauche
Conduit thoracique
Tronc sympathique gauche
Veine azygos
Veine hémi-azygos
Œsophage et plexus œsophagien
8e côte
Aorte thoracique (descendante)
Sinus oblique du péricarde
Veine pulmonaire inférieure gauche
Veine pulmonaire inférieure droite
Branches de la bronche principale gauche
Branches de la bronche principale droite
Poumon gauche (lobe supérieur)
Nerf phrénique, artère et veine péricardiacophréniques
Sinus coronaire
Atrium gauche
Poumon droit (lobe moyen)
Cuspide postérieure
Cuspide antérieure
Valve atrio-ventriculaire gauche (mitrale)
Partie médiastinale de la plèvre pariétale
Cavité péricardique
Nerf phrénique, artère et veine péricardiacophréniques
Atrium droit
Muscle papillaire antérieur
Veine cave inférieure
Ventricule gauche
Partie atrio-ventriculaire et partie interventriculaire du septum membraneux
Partie musculaire du septum interventriculaire
Cavité pleurale
Valve atrio-ventriculaire droite (tricuspide)
Cuspide antérieure
Cuspide postérieure
Cuspide septale
Muscle grand pectoral
Muscle transverse du thorax
Ventricule droit
Artère et veine thoraciques internes
Muscles papillaires postérieurs
Sternum
5e cartilage costal gauche

Section IV
ABDOMEN

PAROI DU CORPS
Planches 231 – 250

CAVITÉ PÉRITONÉALE
Planches 251 – 257

VISCÈRES (INTESTIN)
Planches 258 – 268

VISCÈRES (ORGANES ACCESSOIRES)
Planches 269 – 281

VASCULARISATION VISCÉRALE
Planches 282 – 299

INNERVATION
Planches 300 – 310

REINS ET GLANDES SURRÉNALES
Planches 311 – 329

Squelette de l'abdomen

4
5
6
7
8
9
10
Cartilages costaux
Corps du sternum
Processus xiphoïde
T11
T12
12e côte
L1
L2
L3
L4
L5
Processus transverses des vertèbres lombaires
Crête iliaque:
Lèvre interne
Zone intermédiaire
Lèvre externe
Tubercule
Promontoire sacral
Tubérosité iliaque
Crête iliaque
Aile de l'ilium
Grande incisure ischiatique
Ligne arquée
Épine ischiatique
Épine iliaque antéro-supérieure
Épine iliaque antéro-inférieure
Sacrum
Petite incisure ischiatique
Éminence ilio-pubienne
Coccyx
Grand trochanter
Branche pubienne supérieure
Pecten du pubis (ligne pectinéale)
Foramen obturé
Symphyse pubienne
Tubercule du pubis
Tubérosité ischiatique
Branche pubienne inférieure
Petit trochanter
Ligament arqué du pubis
Arcade pubienne

Paroi abdominale antérieure : dissection superficielle

Muscle grand pectoral
Processus xiphoïde
Gaine du muscle droit
Ligne blanche
Muscle dentelé antérieur
Tissu sous-cutané (fascia superficiel de l'abdomen)
Muscle grand dorsal
Veine thoraco-épigastrique
Muscle oblique externe:
Partie musculaire
Partie aponévrotique
Lame superficielle graisseuse (de Camper) et Lame profonde membraneuse (de Scarpa) du fascia superficiel de l'abdomen (*réclinées*)
Épine iliaque antéro-supérieure
Insertion de la lame de Scarpa sur le fascia lata
Ligament inguinal (de Poupart)
Fibres intercrurales
Vaisseaux circonflexes iliaques superficiels
Anneau inguinal superficiel
Vaisseaux épigastriques superficiels
Fascia spermatique externe sur le cordon spermatique
Vaisseaux honteux externes superficiels
Fascia criblé dans le hiatus saphène
Ligament fundiforme
Fascia lata
Fascia superficiel du pénis (dartos) et du scrotum (*coupé*)
Grande veine saphène
Fascia profond du pénis (de Buck) avec les veines dorsales profondes du pénis visibles
Veine dorsale superficielle du pénis

Paroi abdominale antérieure : dissection intermédiaire

© Novartis

Muscle grand dorsal
Muscle dentelé antérieur
Muscle oblique externe (*réséqué*)
Muscles intercostaux externes
Aponévrose de l'oblique externe (*coupé*)
Gaine du muscle droit
Muscle oblique interne
Épine iliaque antéro-supérieure
Ligament inguinal (de Poupart)
Muscle crémaster (origine latérale)
Faux inguinale (tendon conjoint)
Ligament inguinal réfléchi
Veine fémorale (dans la gaine fémorale)
Hiatus saphène
Muscle crémaster (origine médiale)
Fascia lata
Grande veine saphène

Muscles grands pectoraux
Lame antérieure de la gaine du muscle droit (*coupée*)
Ligne blanche
Muscle droit de l'abdomen
Muscle oblique externe (*coupé*)
Intersection tendineuse
Muscle oblique interne
Muscle pyramidal
Faux inguinale (tendon conjoint)
Ligament inguinal (de Poupart)
Épine iliaque antéro-supérieure
Fascia oblique externe (*coupé et rabattu*)
Ligament pectiné (de Cooper)
Ligament lacunaire (de Gimbernat)
Ligament inguinal réfléchi
Tubercule pubien
Ligament suspenseur du pénis
Muscles crémasters et fascia crémastérique
Fascia profond du pénis (de Buck)
Fascia spermatique externe (*coupé*)
Fascia superficiel du pénis (dartos) et du scrotum (*coupé*)

6
7
8
9
10

Paroi abdominale antérieure : dissection profonde

© Novartis

Vaisseaux épigastriques supérieurs
Muscle dentelé antérieur
Muscle oblique externe (*réséqué*)
Muscle droit de l'abdomen
Aponévrose de l'oblique externe (*coupée*)
Aponévrose de l'oblique interne (*coupée*)
Muscle transverse de l'abdomen
Muscle oblique interne (*coupé*)
Couche postérieure de la gaine du muscle droit
Ligne arquée
Vaisseaux épigastriques inférieurs
Épine iliaque antéro-supérieure
Ligament inguinal (de Poupart)
Artères circonflexe iliaque superficielle, épigastrique superficielle, honteuse externe superficielle (*coupées*)
Faux inguinale (tendon conjoint)
Ligament pectiné (de Cooper)
Ligament lacunaire (de Gimbernat)
Ligament inguinal réfléchi
Fascia lata
Tubercule du pubis
Muscle crémaster et son fascia
Fascia spermatique externe (*coupé*)
Fascia profond du pénis (de Buck)
Dartos et scrotum (*coupés*)

Couche profonde de la gaine du muscle droit (*coupé*)
Ligne blanche
Couche antérieure de la gaine du muscle droit
Muscle transverse de l'abdomen (*coupé*)
Fascia transversalis (ouvert sur la gauche)
Péritoine et fascia (tissu aréolaire) extra-péritonéal (sous-séreux)
Ligament ombilical médial (partie oblitérée de l'artère ombilicale)
Fascia ombilical pré-vésical
Ligne arquée
Artère et veine épigastriques inférieures (*coupées*)
Emplacement de l'anneau inguinal profond (origine du fascia spermatique interne)
Branches crémastérique et pubienne de l'artère épigastrique inférieure
Gaine fémorale (contient l'artère et la veine fémorales)
Ligament inguinal (de Poupart)
Ligament lacunaire (de Gimbernat)
Ligament pectiné (de Cooper)
Tissu graisseux dans l'espace rétro-pubien (de Retzius)
Fascia pectinéal
Muscle sartorius
Fascia spermatique interne
Muscle crémaster et son fascia (*coupé*)
Fascia spermatique externe (*coupé*)

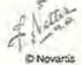
4
5
6
7
8
9
10

Gaine du muscle droit : coupes transversales

Coupe au-dessus de la ligne arquée

Aponévrose du muscle oblique externe
Aponévrose du muscle oblique interne
Aponévrose du muscle transverse de l'abdomen
Lame antérieure de la gaine du muscle droit
Muscle droit de l'abdomen
Ligne blanche
Peau
Muscle oblique externe
Muscle oblique interne
Muscle transverse de l'abdomen
Lame postérieure de la gaine du muscle droit
Ligament falciforme
Tissu sous-cutané (couche graisseuse)
Péritoine
Fascia extra-péritonéal (sous-séreux)
Fascia transversalis

L'aponévrose du muscle oblique interne se dédouble pour former les lames antérieure et postérieure de la gaine du droit. L'aponévrose du muscle oblique externe adhère à la lame antérieure de la gaine ; l'aponévrose du muscle transverse de l'abdomen adhère à la lame postérieure des lames antérieure et postérieure de la gaine du droit qui s'unissent médialement pour former la ligne blanche.



Coupe sous la ligne arquée

Aponévrose du muscle oblique externe
Aponévrose du muscle oblique interne
Aponévrose du muscle transverse de l'abdomen
Couche antérieure de la gaine du droit
Muscle droit de l'abdomen
Peau
Muscle oblique externe
Muscle oblique interne
Muscle transverse de l'abdomen
Fascia transversalis
Ligament et pli ombilicaux médiaux
Ligament et pli ombilicaux médians (ouraque chez le fœtus)
Fascia ombilico-vésical
Tissu sous-cutané (couches graisseuse et membraneuse)
Péritoine
Fascia extra-péritonéal (sous-séreux)

L'aponévrose du muscle oblique interne ne se dédouble pas à ce niveau, mais passe complètement en avant du muscle droit de l'abdomen et s'accole ici aux aponévroses des muscles oblique externe et transverse de l'abdomen ; ainsi, la lame postérieure de la gaine du droit est absente sous la ligne arquée et le muscle droit de l'abdomen est recouvert du fascia transversalis.

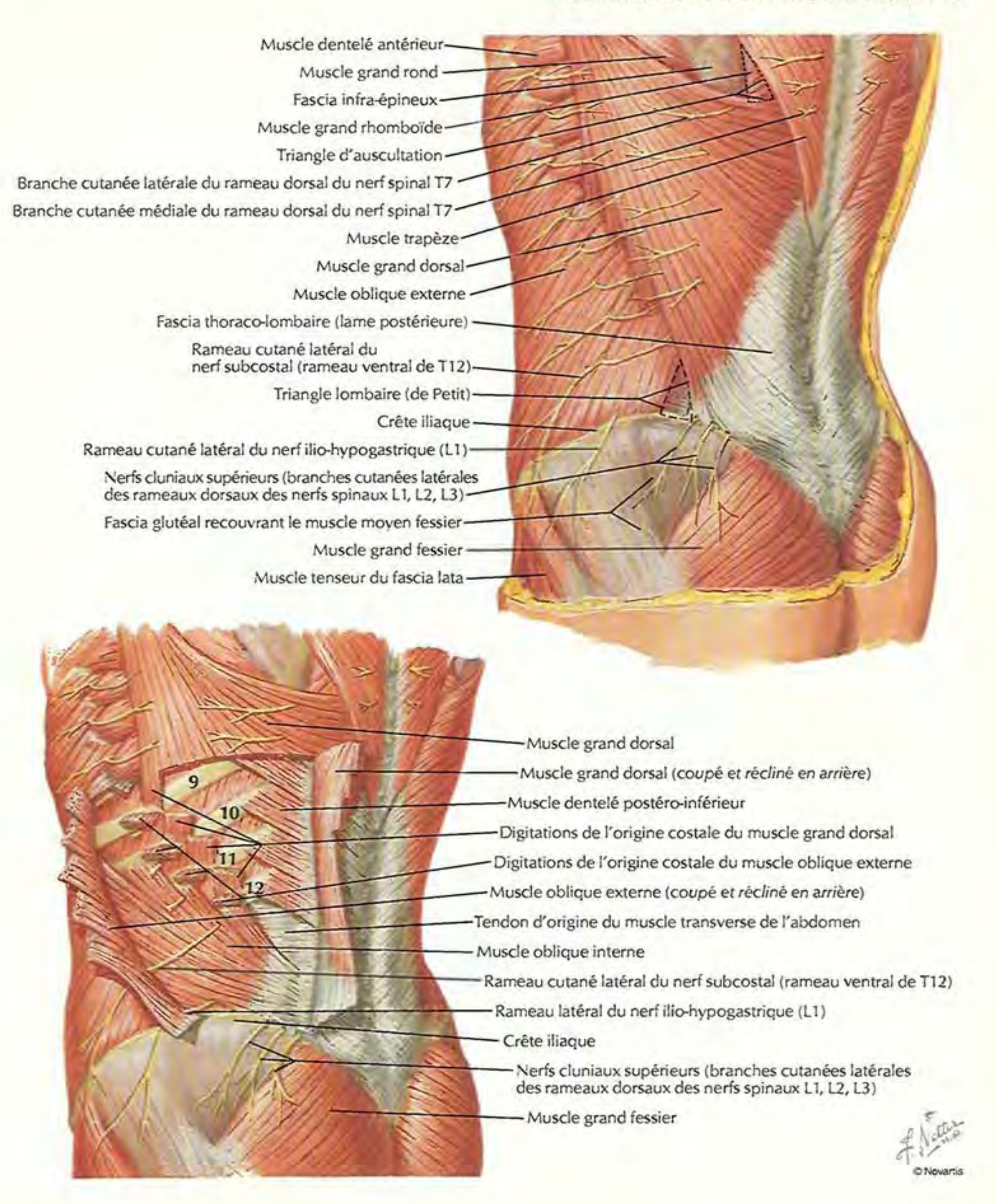
Paroi abdominale antérieure : vue interne

POUR LES VAISSEAUX OMBILICAUX, VOIR LA PLANCHE 217

Diaphragme
Fascia diaphragmatique
Ligament falciforme
Péritoine (*coupé*)
Fascia transversalis (*bord de section*)
Ligne arquée
Muscle droit de l'abdomen
Vaisseaux épigastriques inférieurs
Trigone inguinal (d'Hesselbach)
Fascia transversalis (*coupé*)
Ligament interfovéolaire
Vaisseaux circonflexes iliaques profonds
Anneau inguinal profond
Branches crémastérique et pubienne de l'artère épigastrique inférieure
Vaisseaux iliaques externes
Cordon spermatique
Anneau fémoral
Gaine fémorale
Ligament lacunaire (de Gimbernat)
Ligament pectiné (de Cooper)
Faux inguinale (tendon conjoint)
Artère ombilicale (partie distale oblitérée au-delà de ce point)
Nerf et vaisseaux obturateurs
Canal obturateur
Uretère (coupé)
Récessus antérieur de la fosse ischio-rectale
Artère vésicale supérieure
Conduit déférent
Membrane périnéale
Vessie
Vésicule séminale
Prostate et muscle sphincter de l'urètre
Plèvre pariétale
Ligament rond du foie et veines para-ombilicales
Ombilic
Péritoine
Fascia transversalis
Muscles obliques externe et interne
Muscle transverse de l'abdomen
Ligament ombilical médial gauche (artère ombilicale gauche oblitérée)
Pli ombilical médial droit
Ligament ombilical médian (ouraque oblitéré) et veines para-ombilicales dans le pli ombilical médian
Fascia ombilico-pré-vésical
Pli ombilical latéral (contient les vaisseaux épigastriques inférieurs)
Nerf fémoral
Fascia iliaque
Muscle ilio-psoas
Vaisseaux iliaques externes
Fosse supra-vésicale
Pli vésical transverse
Muscle obturateur interne
Arcade tendineuse du muscle élévateur de l'anus
Glande bulbo-urétrale (de Cowper) incluse dans le muscle transverse profond du périnée

Paroi abdominale postéro-latérale

VOIR AUSSI LES PLANCHES 160, 163, 165, 166, 241



Artères de la paroi abdominale antérieure

Artère axillaire
Artère subclavière
Artères thoraciques internes
Artère thoracique latérale
Artère subscapulaire
Artère péricardiaco-phrénique avec le nerf phrénique
Muscle dentelé antérieur
© Novartis
Muscle transverse du thorax
Artère thoraco-dorsale
Branche pour le ligament falciforme du foie
Muscle grand dorsal
Artères inter-costales antérieures
Artères musculo-phréniques
Muscles intercostaux { Externe, Interne, Intime
Artères épigastriques supérieures
Diaphragme
Diaphragme
Muscle et fascia transverses de l'abdomen
Anastomoses unissant les artères intercostale inférieure, subcostale et lombaire
Muscles droits de l'abdomen
Muscles obliques { Interne, Externe
Muscle oblique interne
Muscle oblique externe
Muscle transverse de l'abdomen
Lame postérieure de la gaine du droit
Branche ascendante de l'artère circonflexe iliaque profonde
Ligne arquée
Artère épigastrique inférieure
Artère circonflexe iliaque superficielle
Artère épigastrique superficielle
Artère épigastrique superficielle (coupée)
Artère circonflexe iliaque superficielle
Artère honteuse externe superficielle
Artère fémorale
Artère fémorale
Artère honteuse externe superficielle
Artère honteuse externe profonde
Artère honteuse externe profonde
Artères crémastérique, testiculaire et du conduit déférent dans le cordon spermatique
Artères dorsales du pénis (recouvertes par le fascia profond du pénis [de Buck])

Veines de la paroi abdominale antérieure

Veine subclavière
Veine axillaire
Veine céphalique
Anastomoses de la veine axillaire avec les veines intercostales
Veine thoracique latérale
Veines intercostales antérieures
Veine thoracique interne
Veine musculo-phrénique
Veines épigastriques supérieures
Veine thoraco-épigastrique
Veines para-ombilicales dans le ligament rond du foie
Veines épigastriques inférieures
Anastomoses issues des veines circonflexes profondes
Veine thoraco-épigastrique (coupée)
Veine circonflexe iliaque superficielle
Veine épigastrique superficielle
Veine honteuse externe
Hiatus saphène
Veine fémorale
Grande veine saphène
Plexus (veineux) pampiniforme
Veine dorsale profonde du pénis (sous le fascia profond du pénis [de Buck])
Veine dorsale superficielle du pénis
Externe, Interne, Antérieure } Veines jugulaires
Veine céphalique
Veine axillaire
Veine thoracique latérale
Plexus veineux aréolaire
Rameaux perforants de la veine thoracique interne
Veine thoraco-épigastrique
Affluents des veines para-ombilicales
Veine thoraco-épigastrique
Veine épigastrique superficielle
Veine circonflexe iliaque superficielle
Veine honteuse externe
Fascia criblé recouvrant le hiatus saphène
Grande veine saphène
Veines scrotales antérieures

F. Netter M.D.
© Novartis

Nerfs de la paroi abdominale antérieure

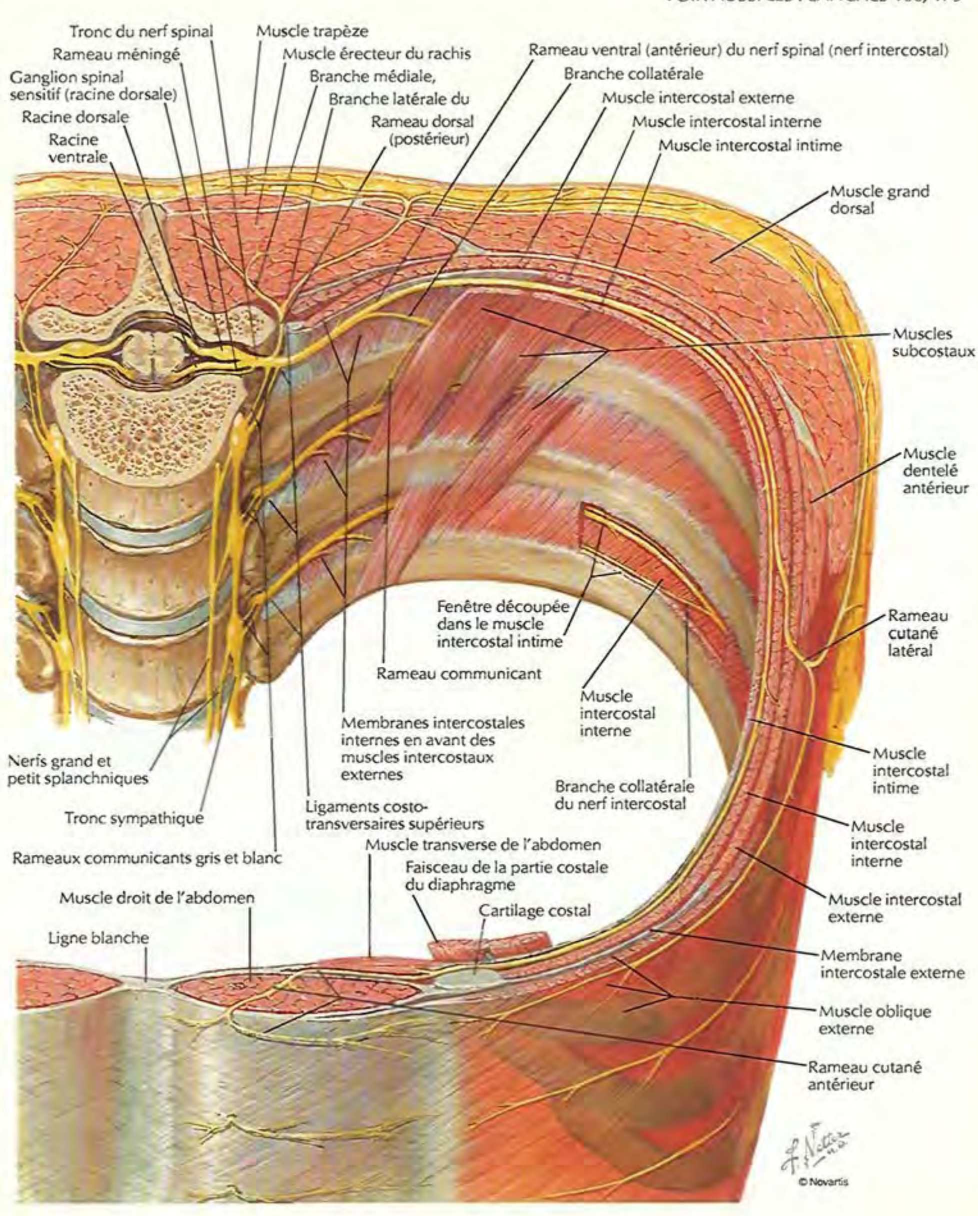
VOIR AUSSI LES PLANCHES 163, 237, 250, 464

Nerf cutané médial du bras
Nerf intercosto-brachial (T1, T2)
Nerf thoracique long
Muscle long dorsal
Muscle dentelé antérieur
Rameaux cutanés latéraux du nerf intercostal (T2 à T11)
Rameaux cutanés antérieurs du nerf intercostal (T1 à T11)
Rameau cutané latéral du nerf subcostal (T12)
Rameau cutané latéral du nerf ilio-hypogastrique (L1)
Rameau cutané antérieur du nerf subcostal (T12)
Nerf cutané latéral de la cuisse
Rameau cutané antérieur du nerf ilio-hypogastrique (L1)
Rameaux fémoraux du nerf génito-fémoral (L1, L2)
Rameau scrotal antérieur du nerf ilio-inguinal (L1)
Rameau génital du nerf génito-fémoral (L1, L2)
1 2 3 4 5 6 7 8 9 10 11
Nerfs supra-claviculaires (médial, intermédiaire et latéral)
Muscle grand pectoral
Muscle dentelé antérieur
Muscle oblique externe (coupé)
Lame postérieure de la gaine du muscle droit
Lame antérieure de la gaine du muscle droit (coupée)
Muscle droit de l'abdomen
Muscle transverse de l'abdomen
Muscle oblique interne et son aponévrose (coupé)
Branches cutanées antérieure et latérale du nerf subcostal (T12)
Branche antérieure du nerf ilio-hypogastrique (L1)
Nerf ilio-inguinal (L1)
Aponévrose de l'oblique externe (coupé)
Rameau cutané antérieur du nerf ilio-hypogastrique (L1)
Nerf ilio-inguinal (L1)
Muscle crémaster du cordon spermatique
Fascia spermatique externe du cordon spermatique

F. Netter M.D.
© Novartis

Nerfs thoraco-abdominaux

VOIR AUSSI LES PLANCHES 166, 179



Régions inguinale et fémorale

Muscle oblique externe
Aponévrose de l'oblique externe
Gaine du muscle droit (lame antérieure)
Ligne blanche
Épine iliaque antéro-supérieure
Ligament inguinal (de Poupart)
Vaisseaux épigastriques superficiels
Fibres intercrurales
Anneau inguinal superficiel
Cordon spermatique (*coupé*)
Fascia criblé recouvrant le hiatus saphène
Tubercule pubien
Ligament suspenseur du pénis
Grande veine saphène
Vaisseaux circonflexes iliaques superficiels
Fascia lata

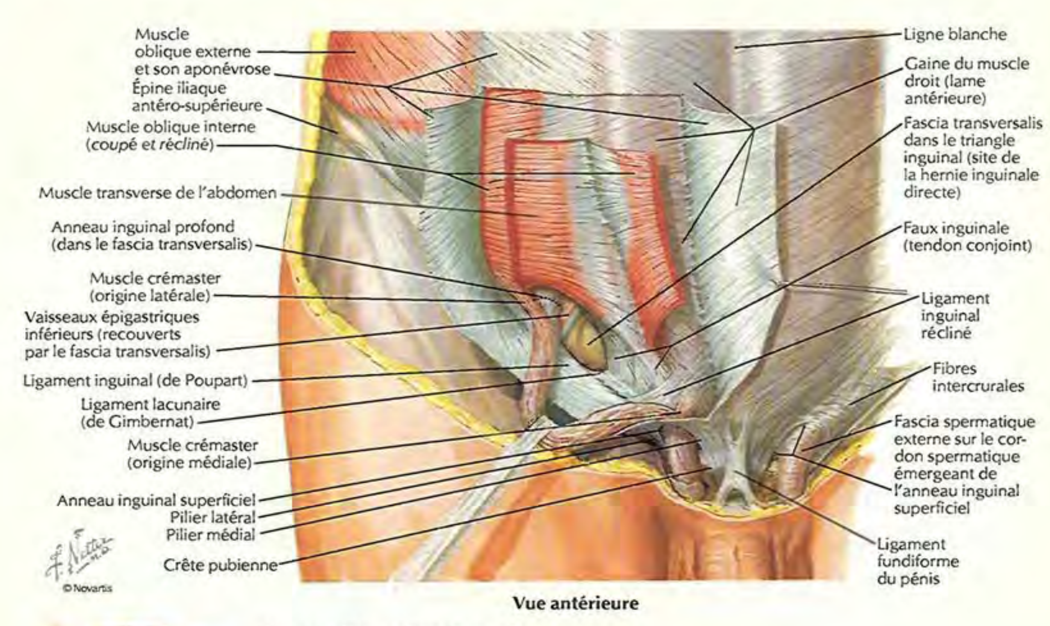
Peau et tissu sous-cutané supprimés

Muscle oblique externe
Muscle oblique interne
Gaine du muscle droit (lame antérieure)
Aponévrose du muscle oblique externe (*coupé et récliné*)
Ligament inguinal (de Poupart)
Anneau inguinal profond
Muscle crémaster (origine latérale)
Faux inguinale (tendon conjoint)
Muscle crémaster (origine médiale)
Veine fémorale
Grande veine saphène
Hiatus saphène

© Novartis

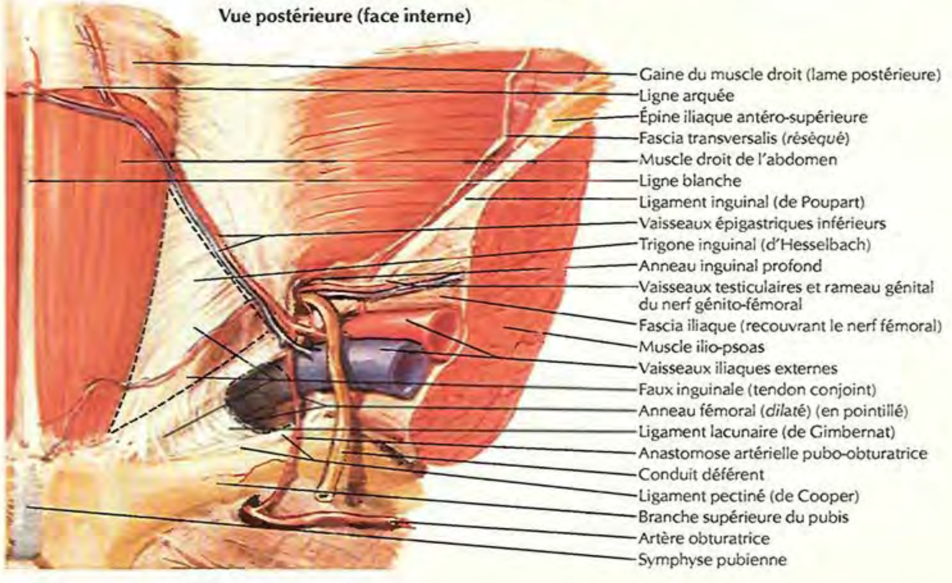
Aponévrose du muscle oblique externe réclinée et fascia cribriforme ôté

Région inguinale : dissections



Vue antérieure

Vue postérieure (face interne)



Gaine fémorale et canal inguinal

Fascia transversalis (*bord coupé*)
Fascia ombilico-pré-vésical (*bord coupé*)
Tissu aréolaire extra-péritonéal
Péritoine pariétal
Ligament ombilical médian (ouraque)
Ligament ombilical médial (artère ombilicale oblitérée)
Vaisseaux épigastriques inférieurs
Fascia iliaque
Vaisseaux circonflexes iliaques profonds
Vaisseaux testiculaires
Artère crémastérique
Conduit déférent
Vaisseaux iliaques externes
Vaisseaux pubiens (anastomose avec l'artère obturatrice)
Aponévrose de l'oblique externe (coupé)
Fascia spermatique interne sur le cordon spermatique
Nerf fémoral (sous le fascia iliaque [iliaca])
Vaisseaux fémoraux dans la gaine fémorale
Fascia pectinéal
Bord falciforme de la fosse ovale (*coupé et récliné*)
Vessie
Ligament pectiné (de Cooper)
Ligament lacunaire (de Gimbernat)
Ligament inguinal (de Poupart)
Fascia transversalis se prolongeant avec la paroi antérieure de la gaine fémorale (la paroi postérieure étant formée par le fascia iliaque)

Uretère
Nerf génito-fémoral
Nerf cutané latéral de la cuisse
Fascia iliaque
Rameau génital du nerf génito-fémoral
Rameau fémoral du nerf génito-fémoral
Vaisseaux testiculaires
Vaisseaux iliaques externes
Vaisseaux épigastriques inférieurs
Conduit déférent et artère crémastérique
Ligament pectiné (de Cooper)
Anneau fémoral
Fascia transversalis formant la paroi antérieure de la gaine fémorale
Ligament lacunaire (de Gimbernat)
Ligament inguinal (de Poupart)
Nœud lymphatique du canal fémoral (de Cloquet)
Gaine fémorale (*ouverte*)
Fascia pectinéal
©Novartis

Canal inguinal et cordon spermatique

Vaisseaux testiculaires recouverts du péritoine
Vaisseaux testiculaires et rameau génital du nerf génito-fémoral
Conduit déférent
Vaisseaux crémastériques
Vaisseaux iliaques externes recouverts du péritoine
Conduit déférent recouvert du péritoine
Vaisseaux épigastriques inférieurs
Ligament ombilical médial (partie oblitérée de l'artère ombilicale)
Fascia ombilico-pré-vésical
Vessie
Muscle droit de l'abdomen
Muscle pyramidal
Ligament ombilical médian (ouraque)
Anneaux inguinaux superficiels
Symphyse pubienne (recouverte par des fibres croisées de l'aponévrose du muscle oblique externe)
Tubercule pubien
Fascia spermatique externe recouvrant le cordon spermatique
Faux inguinale (tendon conjoint)
Fibres intercrurales
Ligament inguinal (de Poupart)
Muscle crémaster et fascia crémastérique sur le cordon spermatique
Vaisseaux fémoraux
Cordon spermatique
Nerf ilio-inguinal
Origine du fascia spermatique interne issu du fascia transversalis au niveau de l'anneau inguinal profond
Épine iliaque antéro-supérieure
Péritoine
Fascia extra-péritonéal (tissu conjonctif lâche)
Fascia transversalis
Muscle transverse de l'abdomen
Muscle oblique interne
Muscle oblique externe

Paroi abdominale postérieure : vue interne

POUR LE DIAPHRAGME, VOIR AUSSI LA PLANCHE 181

Hiatus de la veine cave inférieure
Diaphragme
Centre tendineux du diaphragme
Œsophage et nerfs vagues
Pilier droit du diaphragme
Pilier gauche du diaphragme
Ligament arqué médian
Aorte et conduit thoracique
Nerfs splanchniques grand, petit et imus, et veine lombaire ascendante
Ligament arqué médial
Ligament arqué latéral
Tronc sympathique
Ligament longitudinal antérieur
Muscle carré des lombes
Muscle petit psoas
Muscle grand psoas
Muscle transverse de l'abdomen
Muscle oblique interne
Muscle oblique externe
Muscle iliaque
Ligament sacro-coccygien antérieur
Épine iliaque antéro-supérieure
Muscle piriforme
Muscle coccygien
Épine ischiatique
Ligament inguinal (de Poupart)
Muscle obturateur interne
Muscle recto-coccygien
Arcade tendineuse du muscle élévateur de l'anus
Lacune vasculaire (pour les vaisseaux fémoraux)
Ligament pectiné (de Cooper)
Ligament lacunaire (de Gimbernat)
Muscle élévateur de l'anus
Petit trochanter
L1
L2
L3
L4
L5
Épine iliaque antéro-inférieure
Membrane obturatrice
Pecten du pubis (ligne pectinéale)
Tubercule pubien
Rectum
Urètre et muscle recto-urétral
Fascia supérieur du diaphragme uro-génital
Symphyse pubienne

Artères de la paroi abdominale postérieure

Tronc cœliaque avec les artères hépatique commune, gastrique gauche et splénique
Artères phréniques inférieures
Rameau récurrent de l'œsophage
Artères surrénales supérieures
Artère surrénale moyenne
Artère mésentérique supérieure
Artère surrénale inférieure
Artère rénale gauche
Artères testiculaires (ovariques)
Aorte abdominale
Artère mésentérique inférieure
Artère colique gauche
Artères sigmoïdiennes
Artère rectale supérieure
5e artère lombaire
Artère sacrale médiane
Artère iliaque interne
Artère glutéale supérieure
Artère iliaque externe
Artère ombilicale (partie perméable) donnant les artères vésicales supérieures
Artère obturatrice
Artère vésicale inférieure et du conduit déférent
Artère rectale moyenne
Artère honteuse interne (pudendale)
Artère glutéale inférieure
Branches crémastérique et pubienne de l'artère épigastrique inférieure (anastomotiques avec l'artère obturatrice)
Conduit déférent
Ligament ombilical médial (partie oblitérée de l'artère ombilicale)
Paroi abdominale antérieure (*réclinée en bas*)
Fascia transversalis (*coupé*)
Artère honteuse externe profonde
Artère honteuse externe superficielle
Conduit déférent et artère testiculaire (*coupés*)
Artère fémorale
Artère épigastrique superficielle (*coupée*)
Branches pubienne et crémastérique de l'artère épigastrique inférieure
Artère épigastrique inférieure
Artère circonflexe iliaque superficielle
Branche ascendante de l'artère circonflexe iliaque profonde
Artère testiculaire (ovarique)
Artère iliaque externe
Artères sacrales latérales
Artère iliaque interne
Artère ilio-lombaire
Artères iliaques communes
Artères de L1 à L4
Artère subcostale
Muscle carré des lombes
Muscle grand psoas (*coupé*)
Artère rénale droite
Artère surrénale inférieure
Artère surrénale moyenne
Artères surrénales supérieures

Veines de la paroi abdominale postérieure

Veines phréniques inférieures
Diaphragme
Veines hépatiques
Veine cave inférieure
Œsophage
Veine surrénale inférieure droite
Veines surrénales gauches et anastomose avec la veine phrénique inférieure
Veine rénale droite
Veine rénale gauche
Muscle grand psoas (*coupé*)
Veines ovariennes (testiculaires)
Muscle carré des lombes
Veines lombaires ascendantes
Veine subcostale
Veine iliaque commune
1re à 4e veines lombaires droites
Veine iliaque interne
Veine ilio-lombaire
Veine glutéale supérieure
Veine iliaque commune
Veine glutéale inférieure
Veines ovariques (testiculaires) et uretère (*coupés*)
Veine honteuse interne
Veine iliaque interne
Veine iliaque externe
Veine sacrale médiane
Veine rectale moyenne
Veines sacrales latérales
Veine utérine
Veine vésicale supérieure
Veine circonflexe iliaque profonde
Veine circonflexe iliaque profonde
Veine circonflexe iliaque superficielle
Veine obturatrice
Ligament rond de l'utérus
Veine épigastrique inférieure (*coupée*)
Veine pubienne
Ligament rond de l'utérus
Veine épigastrique inférieure
Veine épigastrique superficielle (*coupée*)
Plexus veineux rectal
Veine pubienne
Plexus veineux utéro-vaginal
Veine fémorale
Veine dorsale profonde du clitoris (du pénis)
Grande veine saphène
Plexus veineux vésical
Veine honteuse externe
Paroi abdominale antérieure (*réclinée en bas*)
Plexus honteux (pudendal)

Vaisseaux et nœuds lymphatiques de la paroi abdominale postérieure

VOIR AUSSI LA PLANCHE 378

Tronc jugulaire droit
Tronc jugulaire gauche
Conduit thoracique
Tronc subclavier droit
Tronc subclavier gauche
Tronc broncho-médiastinal droit
Tronc broncho-médiastinal gauche
Nœuds trachéo-bronchiques
Nœuds intercostaux
Nœuds médiastinaux postérieurs
Nœuds phréniques inférieurs
Conduit thoracique
Nœuds cœliaques
Citerne du chyle
Nœuds mésentériques supérieurs
Nœuds lymphatiques viscéraux (pré-aortiques)
Tronc intestinal
Nœuds mésentériques inférieurs
Tronc lombaire droit
Tronc lombaire gauche
Nœuds lombaires
Nœuds iliaques communs
Nœuds iliaques communs
Nœuds sacraux moyens
Nœuds iliaques internes
Nœuds iliaques externes
Nœuds sacraux latéraux
Nœuds inguinaux superficiels (groupes supérieur, horizontal et inférieur [vertical])
Nœud épigastrique inférieur
Nœud inguinal profond suprême (de Cloquet ou de Rosenmüller)
Nœuds inguinaux profonds

Nerfs de la paroi abdominale postérieure

Nerfs grand et petit splanchniques et splanchnique imus
Ganglions cœliaques, mésentérique et aortico-rénal
Nerfs grand et petit splanchniques et splanchnique imus
Hiatus de la veine cave inférieure
Troncs sympathiques
Nerf ilio-hypogastrique (L1)
Nerf subcostal (T12)
Nerf ilio-inguinal (L1)
Nerf ilio-hypogastrique (L1)
Rameaux musculaires du plexus lombaire
Nerf subcostal (T12)
Nerf ilio-inguinal (L1)
Muscle grand psoas (*coupé*)
Nerf génito-fémoral
Muscle carré des lombes
Muscle transverse de l'abdomen (*coupé*)
Nerf ilio-hypogastrique (L1)
Nerf ilio-inguinal (L1)
Nerf subcostal (T12) et son rameau cutané latéral
Nerf génito-fémoral (L1, L2)
Nerf cutané latéral de la cuisse (L2, L3)
Plexus intermésentérique (para-aortique)
Rameaux fémoral et génital du nerf génito-fémoral (L1, L2)
Rameaux communicants gris et blanc (uniquement)
Troncs lombo-sacraux (L4, L5)
Rameaux communicants gris (uniquement)
Nerfs obturateurs
Nerf obturateur accessoire (L3, L4)
Nerf cutané latéral de la cuisse (L2, L3)
Nerf fémoral (L2, L3, L4)
Plexus sacral (L4 - S4)
Nerfs splanchniques pelviens
Nerf fémoral (L2, L3, L4)
Nerf honteux (S2, S3, S4) (pudendal)
Nerfs des muscles coccygien et élévateur de l'anus (S3, S4)
Rameaux cutanés antérieurs du nerf fémoral (L2, L3)
Nerf obturateur (L2, L3, L4)
Nerf dorsal du pénis (clitoris)
Rameau cutané antérieur du nerf ilio-hypogastrique (L1)
Rameaux scrotaux (labiaux) antérieurs du nerf ilio-inguinal (L1)
Rameau génital } du nerf génito-fémoral (L1, L2)
Rameaux fémoraux } du nerf génito-fémoral (L1, L2)

Régions et plans de l'abdomen

Quadrant supérieur droit (QSD)
Quadrant supérieur gauche (QSG)
Quadrant inférieur droit (QID)
Quadrant inférieur gauche (QIG)

Plan de la ligne semi-lunaire droite (bord latéral du muscle droit)
Plan de la ligne semi-lunaire gauche (bord latéral du muscle droit)
Ligne médio-claviculaire droite
Ligne médio-claviculaire gauche
1
2
3
4
5
6
7
8
9
10
T12
L1
L2
L3
L5
Région épigastrique
Hypochondre droit (région hypochondriaque)
Hypochondre gauche (région hypochondriaque)
Plan transpylorique
Plan subcostal
Région ombilicale
Région latérale droite (flanc)
Région latérale gauche (flanc)
Plan intertuberculaire
Plan interépineux
Région inguinale droite (aine)
Région inguinale gauche (aine)
Région pubienne (hypogastrique)

F. Netter M.D.

Grand omentum et viscères abdominaux

VOIR AUSSI LES PLANCHES 258, 328, 329

Ligament falciforme
Lobe gauche du foie
Lobe droit du foie
Estomac
Vésicule biliaire
Grand omentum recouvrant le côlon transverse et l'intestin grêle (jéjunum et iléum)

Grand omentum (*relevé*)
Côlon transverse (*récliné en haut*)
Mésocôlon transverse
Angle colique gauche (splénique)
Angle colique droit (hépatique)
Intestin grêle (jéjunum et iléum)
Côlon ascendant
Caecum
Côlon descendant recouvert par l'intestin grêle
Côlon sigmoïde
Vessie

F. Netter M.D.

Côlon transverse (*relevé*)
Mésocôlon transverse
Pli duodénal supérieur
Fosse duodénale supérieure
Angle colique gauche (splénique)
Fosse paraduodénale
Fosse duodénale inférieure
Pli duodénal inférieur
Récessus pariéto-mésentérique (fosse)
Artère mésentérique supérieure dans la racine du mésentère
Artère et veine mésentériques inférieures
Aorte abdominale

Muscle suspenseur du duodénum (ligament de Treitz)

Œsophage
Pilier droit du diaphragme (partie passant à droite du hiatus œsophagien)
Pilier droit du diaphragme (partie passant à gauche du hiatus œsophagien)
Pilier gauche du diaphragme
Tronc cœliaque
Muscle suspenseur du duodénum (ligament de Treitz)
Artère mésentérique supérieure
Angle duodéno-jéjunal
Partie horizontale (4e) du duodénum
Jéjunum
Partie horizontale (inférieure) (3e) du duodénum
Partie descendante (2e) du duodénum

Grand omentum (*relevé*)
Ténia libre (du bord libre)
Appendices omentaux (épiploïques)
Angle colique droit (hépatique)
Sillon para-colique droit (gouttière)
Côlon ascendant
Partie terminale de l'iléum (iléon) (*coupée*)
Caecum
Récessus rétro-caecal
Appendice vermiforme

Côlon transverse (*relevé*)
Mésocôlon transverse (*relevé sur le pancréas*)
Jéjunum (*coupé*)
Mésentère (*coupé et intestin grêle réséqué*)
Angle colique gauche (splénique)
Côlon descendant
Sillon para-colique gauche (gouttière)
Mésocôlon sigmoïde
Côlon sigmoïde
Rectum

Côlon sigmoïde (*récliné*)
Mésocôlon sigmoïde
Récessus intersigmoïdien (fosse)
Uretère
Vaisseaux iliaques commun et externe
Péritoine pariétal

Bourse omentale : estomac récliné

Veine cave inférieure (rétro-péritonéale)
Artère hépatique commune (dans le pli péritonéal)
Ligament hépato-duodénal (bord droit du petit omentum)
Sonde dans le foramen omental (épiploïque)
Vésicule biliaire
Diaphragme
Foie
Arcade artérielle gastro-omentale (gastro-épiploïque) (située dans le grand omentum)
Estomac (face postérieure)
Lobe caudé du foie
Sonde dans le récessus supérieur de la bourse omentale
Artère gastrique gauche (dans le pli gastro-pancréatique)
Artère phrénique inférieure gauche (rétro-péritonéale)
Ligament gastro-phrénique
Glande surrénale gauche et extrémité supérieure du rein (rétro-péritonéales)
Ligament gastro-splénique (gastro-liénal)
Rate
Angle colique droit (hépatique)
Rein (rétro-péritonéal)
Partie descendante (2e) du duodénum
Artère gastro-omentale (gastro-épiploïque) droite (recouverte du péritoine)
Artère pancréatico-duodénale antéro-supérieure (rétro-péritonéale)
Tête du pancréas (rétro-péritonéale)
Corps du pancréas
Mésocôlon transverse
Lames postérieures } du grand omentum
Lames antérieures (*coupées*) } du grand omentum
Queue du pancréas (rétro-péritonéale)
Ligament spléno-rénal (liéno-rénal)
Ligament phrénico-colique
Angle colique gauche (splénique)

Bourse omentale : coupe transversale

VOIR AUSSI LA PLANCHE 327

Corps vertébral de L1
Veine cave inférieure
Aorte abdominale
Diaphragme
Veine splénique (liénale)
Rein droit
Rein gauche
Rate
Péritoine pariétal
Côlon transverse
Mésocôlon transverse
Duodénum
Foramen omental (épiploïque) (de Winslow)
Triade porte hépatique { Conduit biliaire commun
Veine porte hépatique
Artère hépatique propre
Petit omentum (ligaments hépato-duodénal et hépato-gastrique)
Bourse omentale (petit sac péritonéal)
Pancréas
Estomac
Péritoine viscéral (*bords coupés*)
Grand omentum
Ligament gastro-splénique (gastro-liénal)

Péritoine de la paroi abdominale postérieure

Veine cave inférieure
Conduit biliaire commun et artère hépatique propre
Ligament coronaire du foie
Glande surrénale droite
Foramen omental (épiploïque) derrière le bord libre droit du petit omentum
Ligament triangulaire droit
Insertion du grand omentum et vaisseaux gastro-omentaux (gastro-épiploïques)
Duodénum
Rein droit
Péritoine pariétal
Fascia transversalis
Racine du mésentère
Site du côlon ascendant
Artère iliaque commune (rétro-péritonéale)
Artère iliaque externe (rétro-péritonéale)
Vaisseaux testiculaires (rétro-péritonéaux)
Uretères (rétro-péritonéaux)
Site de l'anneau inguinal profond
Pli ombilical médian (contient le ligament ombilical médian)
Veines hépatiques
Aorte abdominale et tronc cœliaque
Ligament falciforme
Récessus supérieur de la bourse omentale (petit sac)
Insertion du petit omentum et artère gastrique gauche
Œsophage
Ligament triangulaire gauche du foie
Ligament gastro-phrénique et artère phrénique inférieure gauche
Vaisseaux gastriques courts
Ligament spléno-rénal (liéno-rénal) et vaisseaux spléniques
Ligament phrénico-colique
Pancréas et artère splénique (rétro-péritonéale)
Insertion du mésocôlon transverse
Vaisseaux mésentériques supérieurs
Site du côlon descendant
Insertion du mésocôlon sigmoïde et vaisseaux sigmoïdiens
Vaisseaux rectaux supérieurs
Pli sacro-génital (ligament)
Pli ombilical latéral (contient les vaisseaux épigastriques inférieurs)
Pli ombilical médial (contient la partie oblitérée de l'artère ombilicale)
Rectum
Vessie
F. Netter M.D.

Estomac in situ

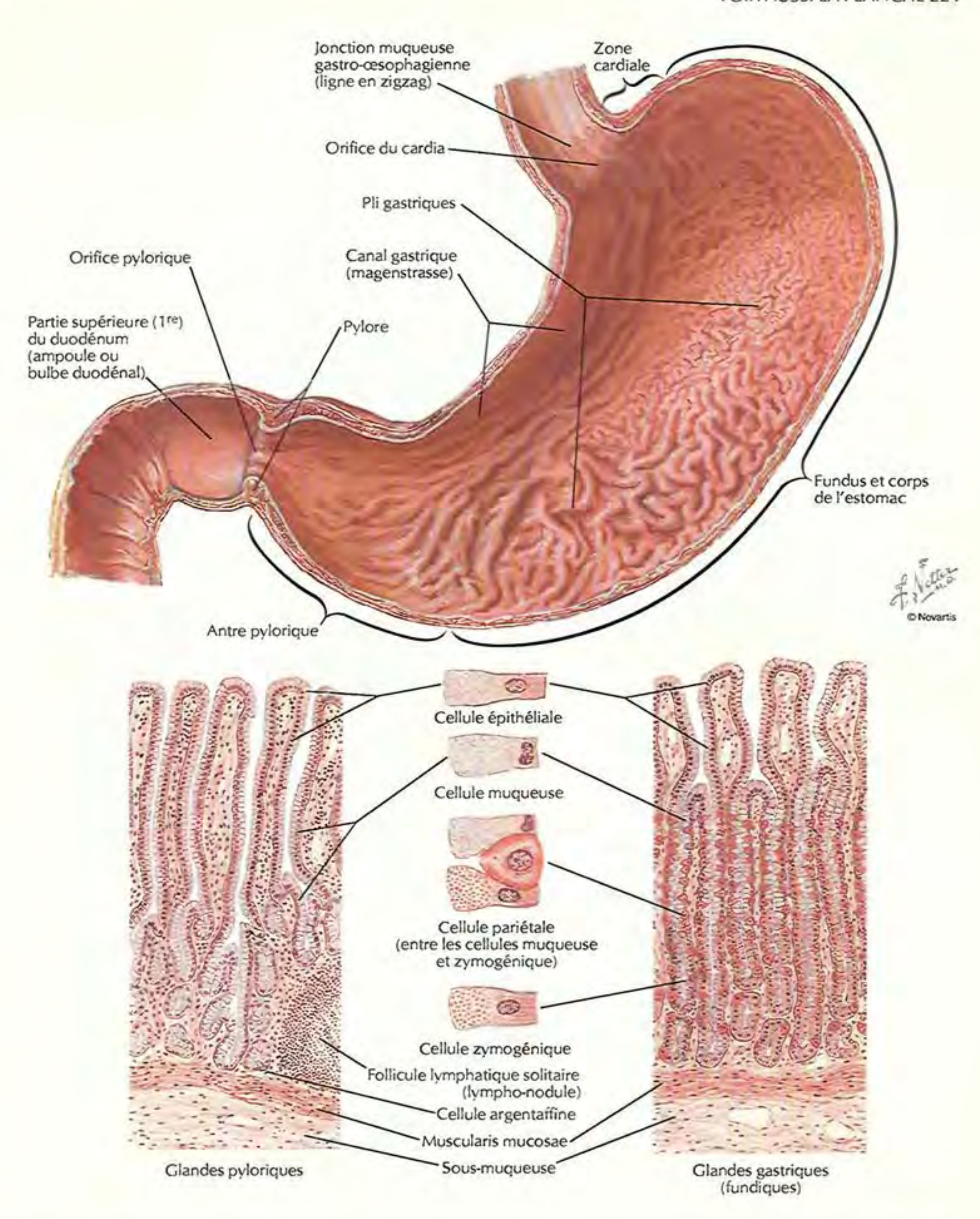
Lobe gauche du foie
Ligament hépato-duodénal
Ligament hépato-gastrique
Petit omentum
Ligament falciforme
Ligament rond du foie (veine ombilicale oblitérée)
Bord inférieur du foie
Lobe carré du foie
Lobe droit du foie
Vésicule biliaire
Foramen omental (épiploïque) (de Winslow)
Pylore
Duodénum
Rein droit (rétro-péritonéal)
Angle colique droit (hépatique)
Partie abdominale de l'œsophage
Incisure cardiale
Fundus de l'estomac
Diaphragme
Rate
Partie cardiale de l'estomac
Corps de l'estomac
Petite courbure
Incisure angulaire
Canal pylorique
Partie pylorique de l'estomac
Antre pylorique (sinus)
Grande courbure
Grand omentum
Angle colique gauche (splénique)
F. Netter M.D.

Variations de position et de configuration de l'estomac en rapport avec le type fonctionnel

Estomac hyper-tonique
Estomac ortho-tonique
Estomac hypo-tonique
Estomac atone

Muqueuse de l'estomac

VOIR AUSSI LA PLANCHE 224



Structure musculaire de l'estomac

Muscle longitudinal de l'œsophage

Couche musculaire longitudinale externe de l'estomac (concentrée principalement au niveau de la petite et la grande courbures, et à la partie pylorique)

Couche musculaire circulaire de l'estomac

© Novartis

Fibres arciformes cardiales (collier d'Helvétius – réflexion des fibres circulaires et obliques les plus profondes)

Muscle longitudinal du duodénum

Couche de muscles longitudinaux externes (*réséquée*)

Coupe à travers le pylore (composé essentiellement de l'épaississement de la couche circulaire)

Couche musculaire circulaire moyenne

Couche musculaire oblique la plus profonde

Muscle circulaire du duodénum

Muscle longitudinal du duodénum (coupé)

Fenêtres découpées dans la couche circulaire moyenne

Duodénum in situ

Triade porte hépatique: Veine porte hépatique; Artère hépatique propre; Conduit biliaire commun
Tête du pancréas
Vaisseaux mésentériques supérieurs
Tronc cœliaque
Artère splénique
Glande surrénale
Rein
Mésocôlon transverse et ses bords coupés
Côlon transverse (*coupé*)
Angle colique gauche (splénique)
Bord libre droit du petit omentum (ligament hépato-duodénal)
Foie (*coupé*)
Glande surrénale
Pylore
Rein
Mésocôlon transverse et ses bords coupés
Angle colique droit (hépatique)
Côlon transverse (*coupé*)
Côlon ascendant
Muscle grand psoas
Duodénum: Partie supérieure (1[re]); Partie descendante (2[e]); Partie horizontale (inférieure) (3[e]); Partie ascendante (4[e])
Racine du mésentère (*bords coupés*)
Veine cave inférieure
Aorte abdominale
Artère mésentérique inférieure
Angle duodéno-jéjunal et jéjunum (*coupé*)
Pli duodénal inférieur et son récessus
Côlon descendant

Muqueuse et musculeuse du duodénum

Veine porte hépatique
Conduit biliaire commun
Bord libre droit du petit omentum (ligament hépato-duodénal)
Angle duodénal supérieur
Partie supérieure (1[re]) (ampoule, cap ou bulbe duodénal) (sans plis circulaires)
Partie descendante (2[e])
Papille duodénale mineure (inconstante)
Plis circulaires (valves de Kerckring)
Papille duodénale majeure (de Vater)
Pli longitudinal
Tête du pancréas
Angle duodénal inférieur
Partie horizontale (inférieure) (3[e])
Artère hépatique propre
Artère gastro-duodénale
Artère gastrique droite
Artère hépatique commune
Orifice pylorique
Conduit biliaire commun
Conduit pancréatique accessoire (de Santorini)
Conduit pancréatique (principal) (de Wirsung)
Angle duodéno-jéjunal
Jéjunum
Partie ascendante (4[e])
Artère et veine mésentériques supérieures

Couche musculaire longitudinale externe (avec *fenêtre découpée*)
Couche musculaire circulaire interne (avec *fenêtre découpée*)
Couche sous-muqueuse avec les glandes duodénales (de Brunner)
Couches de la paroi duodénale

Muqueuse et musculeuse de l'intestin grêle

Jéjunum

Mésentère
Anse anastomotique (arcade) des artères jéjunales
Artères droites
Séreuse (péritoine viscéral)
Musculeuse longitudinale
Musculeuse circulaire
Sous-muqueuse
Muqueuse
Plis circulaires (valves de Kerckring)
Nodule lymphatique solitaire

Radiographie barytée du jéjunum

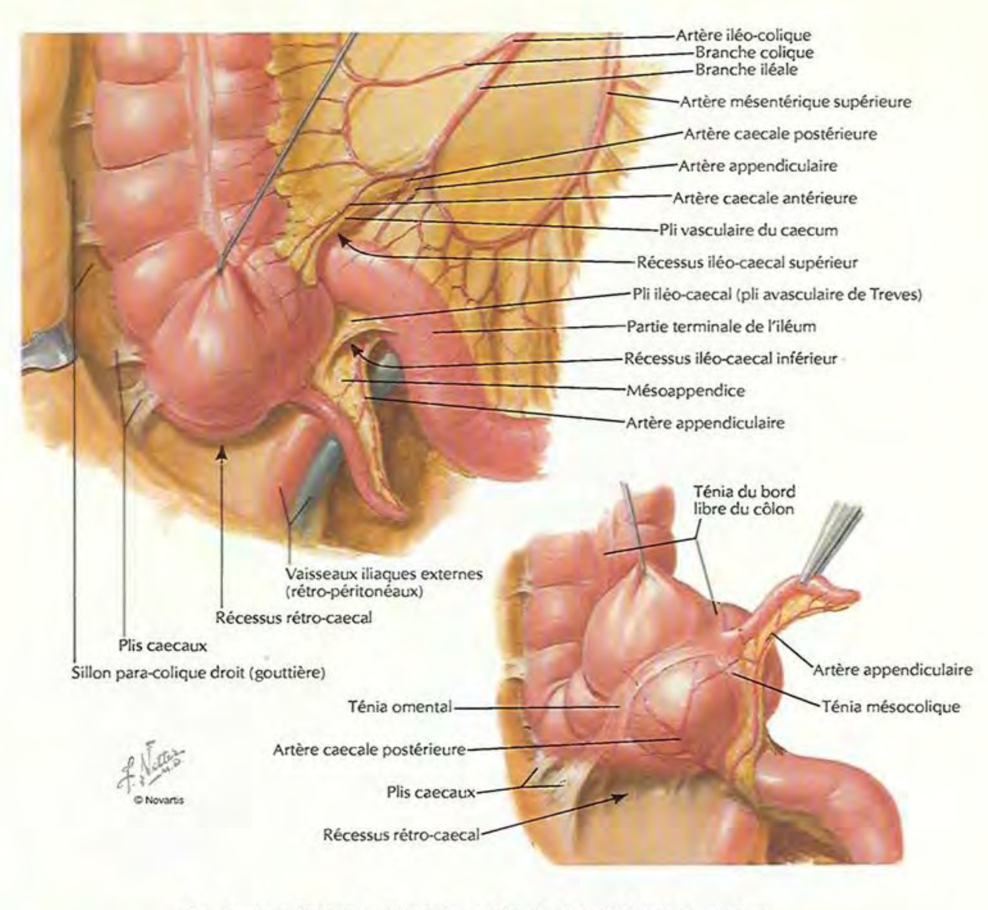
Iléum

Mésentère
Anses anastomotiques (arcades) des artères iléales
Artères droites
Séreuse (péritoine viscéral)
Musculeuse longitudinale
Musculeuse circulaire
Sous-muqueuse
Muqueuse
Plis circulaires
Nodules lymphatiques solitaires
Nodules lymphatiques agrégés (plaques de Peyer)

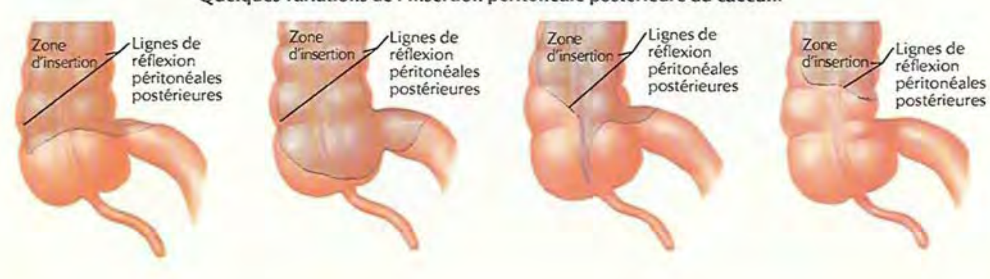
Radiographie barytée de l'iléum (iléon)

F. Netter M.D.

Région iléo-caecale



Quelques variations de l'insertion péritonéale postérieure du caecum



Ténia du bord libre du côlon

Valves iléo-caecales : forme labiée de l'orifice iléal (observée fréquemment en post-mortem et parfois chez le vivant)

Partie terminale de l'iléum (iléon)

Ouverture de l'appendice vermiforme

Frein de la valve iléo-caecale

Ténia du bord libre du côlon

Appendice vermiforme

© Novartis

Muscle circulaire du côlon

Ténia mésocolique

Fibres vers la papille

Fibres vers l'iléum

Fibres autour de la jonction iléo-caecale

Fibres vers le ténia
Fibres vers la papille
} Muscle longitudinal de l'iléum (iléon)

Muscle circulaire de l'iléum

Schéma des fibres musculaires au niveau de l'orifice iléal

Papille iléale : forme papillaire de l'orifice iléal (forme la plus commune chez le vivant)

Appendice vermiforme

Point de McBurney (sur la ligne spino-ombilicale)

Variations de position de l'appendice

Appendice inhabituellement long s'étendant dans le pelvis (radiographie barytée)

Appendice rétro-caecal fixé

Mésoappendice

Séreuse (péritoine viscéral)

Muscle longitudinal

Muscle circulaire

Sous-muqueuse

Nodules lymphatiques agrégés

Glandes intestinales de l'intestin grêle (cryptes de Lieberkühn)

© Novartis

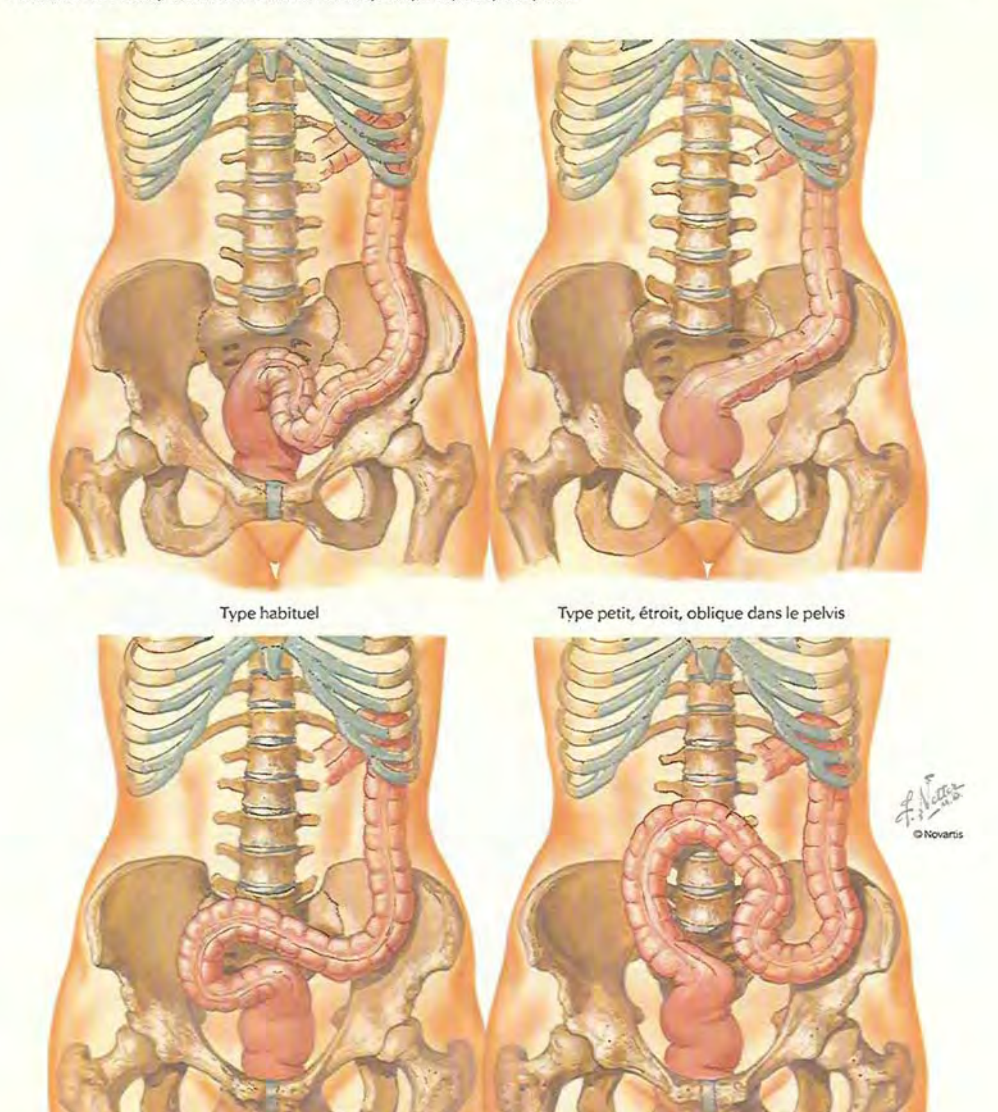
Muqueuse et musculeuse du gros intestin

POUR LE RECTUM ET LE CANAL ANAL, VOIR LES PLANCHES 363 À 368

Grand omentum (*réséqué*)
Angle colique droit (hépatique)
Mésocôlon transverse
Côlon transverse
Ténia omental
Angle colique gauche (splénique)
Appendices omentaux (épiploïques)
Haustration colique
Péritoine (*réséqué*)
Ténia omental (*exposé par l'érigne*)
Côlon ascendant
Ténia du bord libre du côlon
Plis semi-lunaires
Haustration colique
Péritoine (*réséqué*)
Côlon descendant
Ténia mésocolique (*exposé par l'érigne*)
Ténia du bord libre du côlon
Jonction recto-sigmoïdienne (les ténias s'étalent et s'unissent pour former la couche musculaire longitudinale)
Iléum (iléon)
Orifice iléal
Caecum
Appendice vermiforme
Rectum
Côlon sigmoïde
Mésocôlon sigmoïde
Muscle élévateur de l'anus
Muscle sphincter externe de l'anus

Côlon sigmoïde : variations de situation

POUR LE RECTUM, VOIR LES PLANCHES 337, 338, 363, 364, 365, 366



Type habituel

Type petit, étroit, oblique dans le pelvis

Type formant une boucle sur la droite

Type haut ascendant dans l'abdomen

Topographie du foie

Plan du bord latéral du muscle droit de l'abdomen (semi-lunaire)
Plan transpylorique
Diaphragme
Foie recouvert par le diaphragme, la plèvre et le poumon (matité à la percussion)
Foie recouvert par le diaphragme et la plèvre (tympanisme à la percussion)
Foie recouvert par le diaphragme (à la percussion, matité ou résonance intestinale)
Vésicule biliaire
Foie
Diaphragme
Foie recouvert par le diaphragme, la plèvre et le poumon (matité à la percussion)
Foie recouvert par le diaphragme et la plèvre (tympanisme à la percussion)
© Novartis
Diaphragme
Foie recouvert par le diaphragme, la plèvre et le poumon (matité à la percussion)
Foie recouvert par le diaphragme et la plèvre (tympanisme à la percussion)
Vésicule biliaire
Bord inférieur du foie

Faces et loge du foie

Diaphragme (*relevé*)
Ligament coronaire
Ligament triangulaire gauche
Ligament triangulaire droit
Appendice fibreux du foie
Lobe gauche du foie
Lobe droit du foie
Ligament falciforme
Bord inférieur du foie
Bord inférieur du foie
Ligament rond du foie (veine ombilicale oblitérée) formant le bord libre du ligament falciforme
Empreintes costales
Vue antérieure
Fundus de la vésicule biliaire
© Novartis

Ligament coronaire
Veines hépatiques
Veine cave inférieure
Aréa nuda (partie attachée)
Empreinte surrénale
Portion hépato-rénale du ligament coronaire
Appendice fibreux du foie
Ligament triangulaire droit
Ligament triangulaire gauche
Conduit biliaire commun
Empreinte gastrique
Conduit hépatique commun
Empreinte œsophagienne
Conduit cystique
Empreinte rénale
Fissure du ligament veineux
Empreinte duodénale
Lobe caudé
Lobe carré
Processus papillaire
Vésicule biliaire
Processus caudé
Ligament falciforme
Artère hépatique propre
Ligament rond du foie
Veine porte hépatique
Empreinte colique
Fissure du ligament rond
Porte du foie
Face viscérale

Ligament falciforme
Ligament coronaire
Ligament triangulaire gauche
Aréa nuda
Veine cave inférieure
Glande surrénale
Ligament triangulaire gauche
Rein droit
Ligament triangulaire droit
Fissure du ligament veineux
Récessus supérieur de la bourse omentale
Duodénum
Estomac
Sillon de la veine cave inférieure
Côlon transverse
Vue postérieure
Loge hépatique

Foie in situ et variations de forme

Ligament rond du foie (veine ombilicale oblitérée)
Lobe gauche du foie
Lobe carré
Vésicule biliaire
Lobe caudé vu à travers le petit omentum (ligament hépato-gastrique)
Lobe droit du foie
Fenêtre découpée dans le petit omentum (ligament hépato-duodénal)
Artère hépatique propre
Foramen omental (épiploïque) (de Winslow)
Conduit biliaire commun
Veine porte hépatique
Rein (rétro-péritonéal)
Petit omentum (ligament hépato-gastrique)
Rate
Duodénum
Estomac
Grand omentum
Courbure colique gauche (splénique)
Angle colique droit (hépatique)
Grand omentum

© Novartis

Variations morphologiques du foie

Très petit lobe gauche, empreintes costales profondes

Agénésie du lobe gauche (atrésie de la veine porte gauche)

Forme transversale, foie « en selle », lobe gauche relativement développé

Processus du lobe droit en forme de langue

Empreinte rénale très profonde et « rétrécissement en corset »

Sillons diaphragmatiques

Lobes et segments hépatiques : distribution des vaisseaux et des conduits

Lobes anatomiques: Lobe droit, Lobe gauche
Segments chirurgicaux fonctionnels: Foie droit (Segments postérieurs, Segments antérieurs), Foie gauche (Segments médiaux, Segments latéraux)

La division en segments est basée sur les ramifications des conduits biliaires et des vaisseaux hépatiques. Elle ne correspond pas exactement à la division en lobes anatomiques.

Face pariétale

Segment postéro-supérieur (VII)
Segment antéro-supérieur (VIII)
Segment médial-supérieur (IX)
Segment latéro-supérieur (II)
Segment latéro-inférieur (III)
Segment antéro-inférieur (V)
Segment médial-inférieur (IV)
Segment postéro-inférieur (VI)

Face viscérale

Lobe droit
Lobe gauche
Segment antéro-inférieur (V)
Segments médiaux (IV)
Segment postéro-inférieur (VI)
Segment médial-inférieur (IV)
Segment latéro-inférieur (III)
Segment caudé (I)
Segment postéro-supérieur (VII)
Segment latéro-supérieur (II)
Segment médial-supérieur (IX)
Processus caudé
Droit
Gauche
Lobe caudé

© Novartis

Distribution des vaisseaux et des conduits

1 Branche droite
2 Branche gauche
3 Branche segmentaire antérieure
4 Branche segmentaire médiale
5 Branche segmentaire postérieure
6 Branche segmentaire latérale
7 Segment antéro-inférieur
8 Segment médial-inférieur
9 Segment antéro-supérieur
10 Segment médial-supérieur
11 Segment postéro-inférieur
12 Segment latéro-inférieur
13 Segment postéro-supérieur
14 Segment latéro-supérieur
15 Lobe caudé (droit et gauche)
16 Processus caudé

Repère imaginaire de la division entre les segments antéro-supérieur et postéro-supérieur

Veine cave inférieure

Conduit hépatique commun, veine porte hépatique et artère hépatique propre

Systèmes des vaisseaux et des conduits intra-hépatiques

Veine hépatique
Veine sublobulaire
Veines sublobulaires
Veine centrale
Sinusoïdes
Triade porte
Sinusoïdes
Veine centrale
Triade porte
Triades portes
Artère hépatique propre
Veine porte hépatique
Conduit hépatique commun
Capsule fibreuse périvasculaire (de Glisson) s'étendant dans la porte du foie le long des vaisseaux et des conduits biliaires

© Novartis

Branche de l'artère hépatique
Branche de la veine porte
Ductules biliaires
Triade porte
Sinusoïdes
Lames de cellules hépatiques
Veines centrales (destinées à la veine hépatique via les veines sublobulaires)

Structure lobulaire normale du foie

Structure du foie : schéma

Tissu conjonctif
Vaisseau lymphatique
Lame limitante de l'espace-porte
Veine centrale
Veine sublobulaire (affluent de la veine hépatique)
Espace péri-portal (de Mall)
Espaces péri-sinusoïdaux (de Disse)
Veine centrale
Sinusoïdes
Veine centrale
Ductule biliaire péri-portal (canal de Hering)
Branche de la veine porte
Conduit biliaire
Branche de l'artère hépatique
Artériole portale
Artériole péri-portale
Artériole intralobulaire
Ductule biliaire intralobulaire (cholangiole)
Veine centrale
Ductule biliaire péri-portal (canal de Hering)
Veinule d'entrée
Veine de distribution

© Novartis

Système biliaire intra-hépatique : schéma

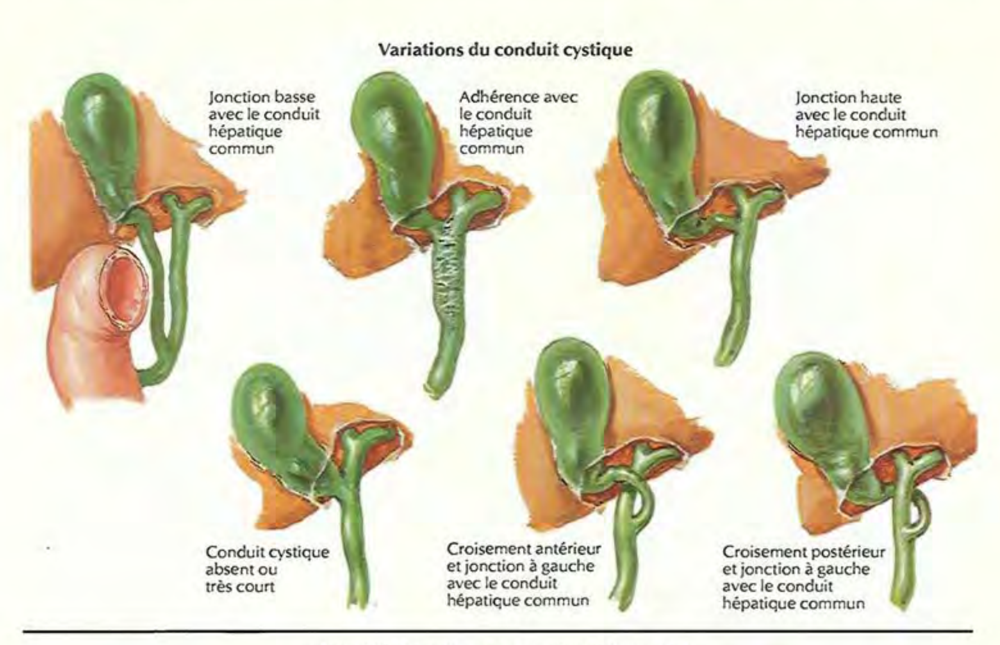
Note : dans le dessin ci-dessus, les canalicules biliaires apparaissent comme des structures avec des parois propres. Cependant, comme le montre la coupe histologique de droite, les limites des canalicules sont, en fait, une membrane dérivée des cellules du parenchyme hépatique environnant.

Coupe du foie à faible grossissement

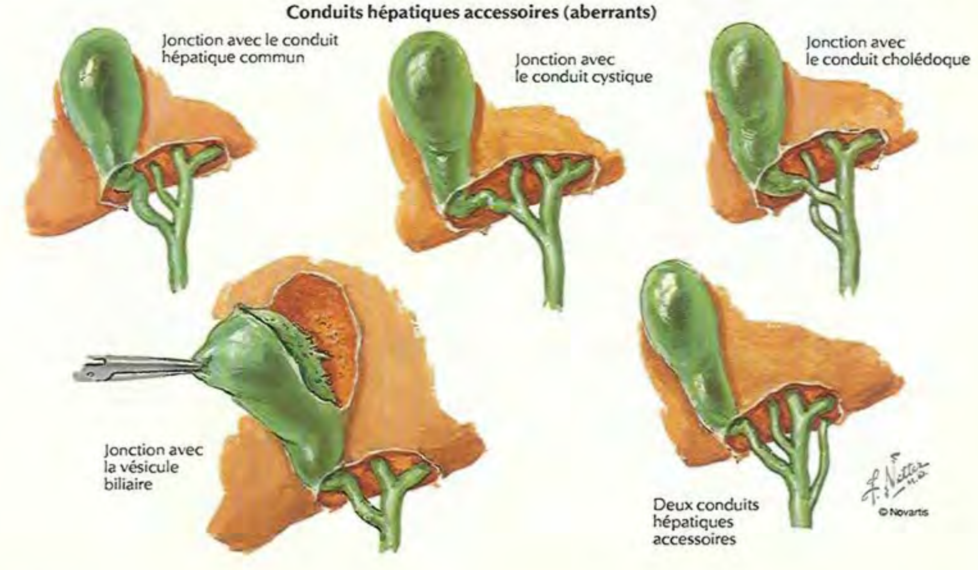
Vésicule biliaire et conduits biliaires extra-hépatiques

Variations des conduits cystique et hépatiques

Variations du conduit cystique



Conduits hépatiques accessoires (aberrants)



Jonction cholédoco-duodénale

Partie interne de la partie descendante (2e) du duodénum

Papille duodénale mineure
Plis circulaires
Papille duodénale majeure
Pli longitudinal

Dissection

Muscle longitudinal du duodénum vu à travers une ouverture du muscle circulaire
Fibres de soutien
Faisceau de fibres longitudinales
Conduit cholédoque
Couche longitudinale du duodénum
Couche circulaire du duodénum
Conduit pancréatique
Sphincter du conduit cholédoque
Faisceau longitudinal
Sphincter du conduit pancréatique (inconstant)
Fibres de soutien
Myofibres duodénales destinées au faisceau longitudinal
Sphincter de l'ampoule hépato-pancréatique

Reconstruction

Conduit cholédoque
Pancréas
Longitudinal } Muscle
Circulaire } duodénal
Conduit cholédoque
Faisceau longitudinal
Sphincter du conduit cholédoque
Conduit pancréatique
Fibres vers la couche longitudinale
A
Sphincter du conduit pancréatique (inconstant)
B
Sphincter de l'ampoule hépato-pancréatique
C
Papille duodénale majeure

Muqueuse duodénale
Conduit cholédoque
Sphincter du conduit cholédoque
Faisceau longitudinal
Conduit pancréatique
Muscle duodénal
Pancréas
Coupe au niveau A

Conduit cholédoque
Sphincter de l'ampoule hépato-pancréatique
Faisceau longitudinal
Conduit pancréatique
Coupe au niveau B

Sphincter de l'ampoule hépato-pancréatique
Ampoule hépato-pancréatique (de Vater)
Coupe au niveau C

Variations de la jonction des conduits biliaire et pancréatique

Conduit cholédoque
Conduit pancréatique
Sphincter de l'ampoule
Conduit commun court

Conduit cholédoque
Conduit pancréatique
Paroi duodénale
Absence de conduit commun

Sphincter de l'ampoule
Conduit commun long

Pancréas in situ

Veine cave inférieure
Aorte abdominale
Tronc cœliaque
Artère splénique (liénale)
Estomac (coupé)
Rate
Triade porte
Veine porte hépatique
Artère hépatique propre
Conduit cholédoque
Bord libre droit du petit omentum
Glande surrénale
Duodénum
Rein droit (rétro-péritonéal)
Insertion du mésocôlon transverse
Courbure colique droite (hépatique)
Côlon transverse (coupé)
Queue
Pancréas
Corps
Col
Tête
Angle colique gauche (splénique)
Côlon transverse (coupé)
Rein gauche (rétro-péritonéal)
Insertion du mésocôlon transverse
Veine mésentérique inférieure
Jéjunum (coupé)
Courbure duodéno-jéjunale
Racine du mésentère (coupée)
Artère et veine coliques moyennes
Artère et veine mésentériques supérieures
Processus unciné du pancréas

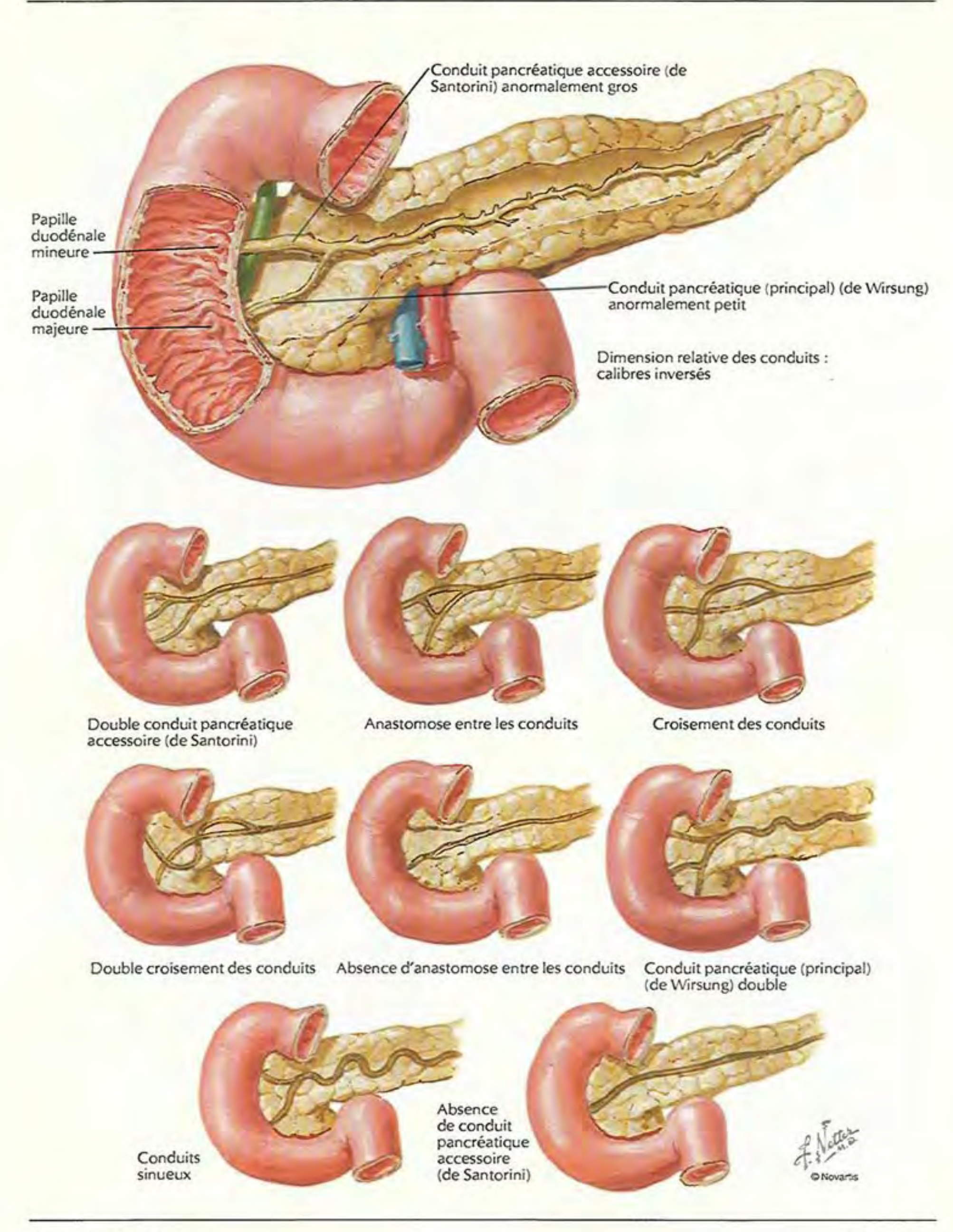
F. Netter M.D.
© Novartis

Coupe du pancréas (faible grossissement)

Acini
Ilots pancréatiques (de Langerhans)
Conduit interlobulaire
Septum interlobulaire

Conduit cholédoque
Incisure pancréatique
Conduit pancréatique (principal) (de Wirsung)
Conduit pancréatique accessoire (de Santorini)

Variations des conduits pancréatiques



Face viscérale

Face diaphragmatique

Coupe transversale

Rate in situ

Artères de l'estomac, du foie et de la rate

Artères de l'estomac, du duodénum, du pancréas et de la rate

Artères phréniques inférieures droite et gauche (montrées ici depuis le tronc commun)
Artère gastrique gauche
Branche œsophagienne de l'artère gastrique gauche
Tronc cœliaque
Artère splénique (liénale)
Artère hépatique commune
Branche récurrente de l'artère phrénique inférieure gauche destinée à l'œsophage
Artère gastrique droite
Artère hépatique propre
Artère gastro-omentale gauche (gastro-épiploïque)
Artère supra-duodénale
Artères gastriques courtes
Artère gastro-omentale droite (gastro-épiploïque)
Artère gastro-duodénale
Artère pancréatico-duodénale supéro-antérieure
Artère pancréatico-duodénale supéro-postérieure
Artère gastro-omentale gauche (gastro-épiploïque)
Artère de la queue du pancréas (*partiellement en transparence*)
Artère grande pancréatique
Artère pancréatique inférieure (*en transparence*)
Artère pancréatique dorsale
Artère colique moyenne (coupée)
Artère mésentérique supérieure
Artère pancréatico-duodénale supéro-antérieure
Artère pancréatico-duodénale inféro-postérieure (*en transparence*)
Artère pancréatico-duodénale inféro-antérieure
Artère pancréatico-duodénale inférieure

Vue avec l'estomac récliné crânialement

© Novartis

Artères du foie, du pancréas, du duodénum et de la rate

Artère hépatique intermédiaire
Artère hépatique gauche
Artères phréniques inférieures droite et gauche (montrées ici depuis le tronc commun)
Artère hépatique propre
Veine porte hépatique
Artère hépatique droite
Artère hépatique commune
Tronc cœliaque
Artère cystique
Aorte abdominale
Vésicule biliaire
Artère gastrique gauche
Artères gastriques courtes
Triangle hépato-cystique (de Calot)
Conduit cystique
Conduit cholédoque
Conduit biliaire commun
Artère gastrique droite
Artère supra-duodénale
Artère gastro-duodénale
Artère gastro-omentale gauche (gastro-épiploïque)
Artère de la queue du pancréas
Artère grande pancréatique
Artère splénique (liénale)
Artère pancréatique dorsale
Artère pancréatique inférieure
Branche anastomotique
Artère colique moyenne (*coupée*)
Artère mésentérique supérieure
Artère pancréatico-duodénale supéro-postérieure (*en transparence*)
Artère pancréatico-duodénale inférieure (commune)
Artère pancréatico-duodénale supéro-antérieure
Artère pancréatico-duodénale inféro-postérieure
Artère gastro-omentale droite (gastro-épiploïque)
Artère pancréatico-duodénale inféro-antérieure

© Novartis

Artères du duodénum et de la tête du pancréas

Duodénum et tête du pancréas réclinés sur la gauche

Conduit cholédoque
Artère gastro-duodénale
Artère pancréatico-duodénale postéro-supérieure
Artère pancréatico-duodénale supéro-antérieure (*en transparence*)
Artère mésentérique supérieure
Artère pancréatico-duodénale inférieure
Artère pancréatico-duodénale inféro-postérieure
Artère pancréatico-duodénale inféro-antérieure (*partiellement en transparence*)

Tronc cœliaque
Artère splénique (liénale)
Artère hépatique propre
Artère hépatique commune
Artère supra-duodénale
Artère gastro-duodénale (*partiellement en transparence*)
Artère pancréatico-duodénale supéro-postérieure
Conduit cholédoque
Artère gastro-omentale droite (gastro-épiploïque) (*en transparence, coupée*)
Artère pancréatico-duodénale supéro-antérieure (*en transparence*)
Branche anastomotique
Artère pancréatico-duodénale inféro-postérieure
Artère pancréatico-duodénale inféro-antérieure (*en transparence*)
Artère grande pancréatique
Artère pancréatique inférieure
Artère pancréatique dorsale
Artère mésentérique supérieure
Artère pancréatico-duodénale inférieure

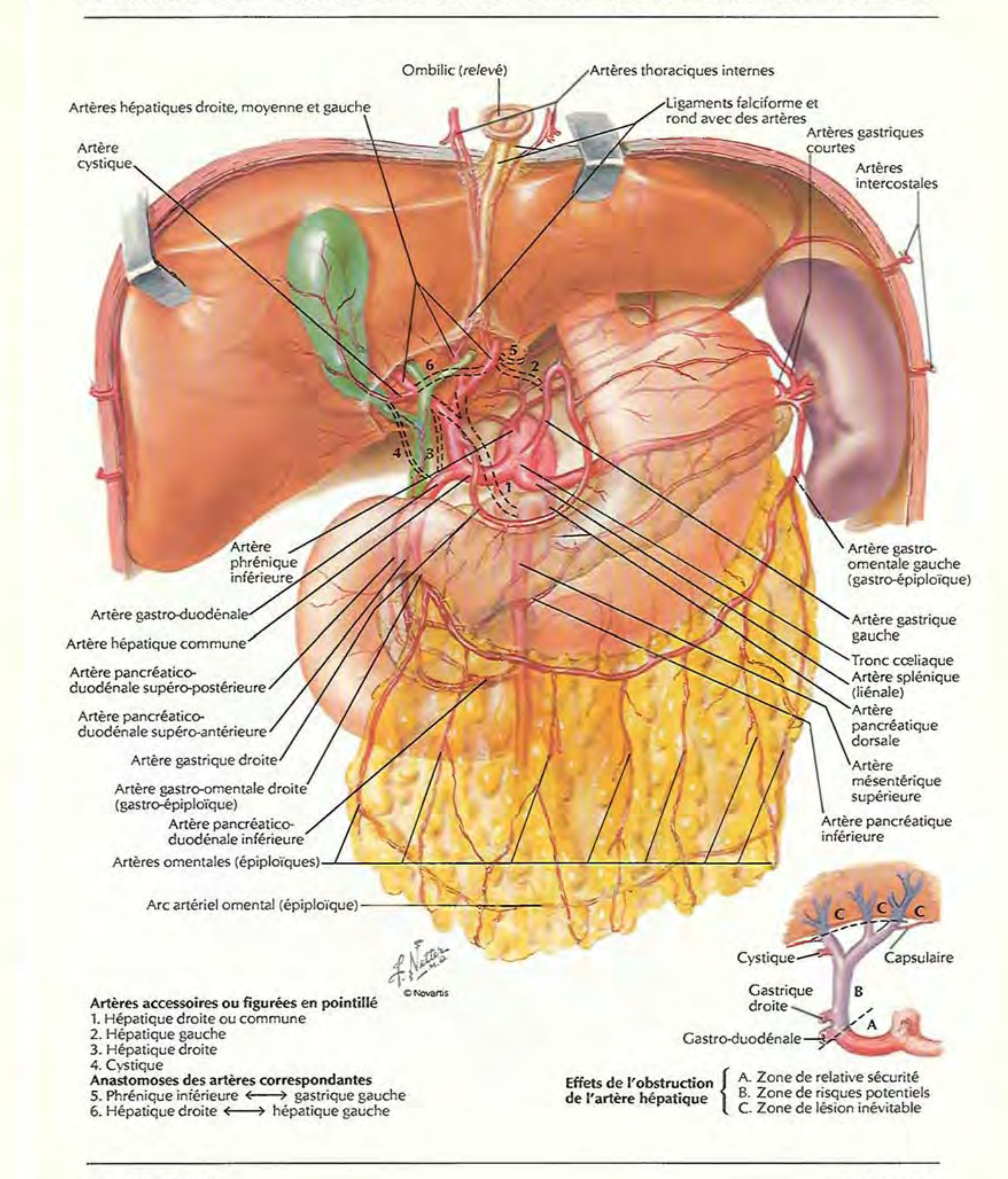
Vue postérieure

Artères de l'intestin grêle

Artère hépatique commune
Artère gastrique droite
Artère supra-duodénale
Artère gastro-duodénale
Artère pancréatico-duodénale supéro-postérieure
Artère gastro-omentale droite (gastro-épiploïque)
Artère pancréatico-duodénale supéro-antérieure
Artères pancréatico-duodénales inférieures: (Portion commune), Postérieure, Antérieure
Anastomose entre l'artère pancréatico-duodénale inférieure et la 1re artère jéjunale
Artère colique droite
Artère iléo-colique
Branche colique
Branche iléale
Artère mésentérique supérieure
Artère caecale antérieure
Artère caecale postérieure
Artère appendiculaire
Artères phréniques inférieures droite et gauche
Artère gastrique gauche
Tronc cœliaque
Artère et veine spléniques (liénales)
Artères gastriques courtes
Artère pancréatique dorsale
Artère pancréatique inférieure
Artère et veine mésentériques supérieures
Artère gastro-omentale gauche (gastro-épiploïque)
Artère colique moyenne (*coupée*)
Artères jéjunale et iléale (intestinales)
Anses anastomotiques (arcades)
Artères droites

POUR LES ARTÈRES DU RECTUM, VOIR AUSSI LA PLANCHE 369

Artère colique moyenne
Mésocôlon transverse
Artère marginale
Artère mésentérique supérieure
1re artère jéjunale
Artères jéjunale et iléale (intestinales)
Artère marginale
Artère mésentérique inférieure
Artère colique gauche
Branche ascendante
Branche descendante
Artère marginale
Artères sigmoïdiennes
Mésocôlon sigmoïde
Artères droites
Artères pancréatico-duodénales inférieures (Portion commune) / Postérieure / Antérieure
Artère marginale
Artère colique droite
Artère iléo-colique
Branche colique
Branche iléale
Artère marginale
Artère caecale antérieure
Artère caecale postérieure
Artère appendiculaire
Artère iliaque interne
Artère obturatrice
Artère sacrale médiane (branche de l'aorte abdominale)
Artère vésicale supérieure (branche de la partie perméable de l'artère ombilicale)
Artère vésicale inférieure
Artère rectale moyenne
Branche de l'artère rectale supérieure
Artères droites
Artère rectale supérieure
Artères recto-sigmoïdiennes
Bifurcation de l'artère rectale supérieure
Artère honteuse interne dans le canal honteux (d'Alcock)
Artère rectale inférieure



Variations des artères coliques

Artère colique moyenne
Artère colique droite
Artère iléo-colique
Artère mésentérique supérieure

Tronc commun pour les artères coliques droite et moyenne

Artère colique moyenne
Artère colique droite
Artère iléo-colique

Tronc commun pour les artères colique droite et iléo-colique

Absence d'artère colique moyenne
Artère colique droite
Artère iléo-colique
Longue branche de l'angle colique gauche

Absence de l'artère colique moyenne remplacée par une longue branche de l'artère colique gauche

Artère colique droite absente
Artère iléo-colique
Artère colique moyenne

Absence d'artère colique droite

Artère colique moyenne
Artère colique droite
Artère iléo-colique
Arcade de Riolan
Artère mésentérique supérieure
Artère mésentérique inférieure
Artère colique gauche

Arcade de Riolan entre les artères colique moyenne et colique gauche

F. Netter M.D.

Veines de l'estomac, du duodénum, du pancréas et de la rate

Veines hépatiques
Veine cave inférieure
Veines gastriques gauche et œsophagienne
Veines gastriques courtes
Veine porte hépatique
Veine pancréatico-duodénale supéro-postérieure
Veine gastrique droite
Veine pré-pylorique
Veine pancréatico-duodénale supéro-antérieure
Veine gastro-omentale droite (gastro-épiploïque)
Veine pancréatico-duodénale inféro-postérieure
Veine pancréatico-duodénale inféro-antérieure
Veine colique moyenne (coupée)
Veine mésentérique supérieure
Veine gastro-omentale gauche (gastro-épiploïque)

F. Netter M.D.

Veine gastrique gauche
Veine splénique (liénale)
Veines gastriques courtes
Veine porte hépatique
Veine gastrique droite
Veine pancréatico-duodénale supéro-postérieure
Veine mésentérique supérieure
Veine gastro-omentale droite (gastro-épiploïque)
Veine pancréatico-duodénale supéro-antérieure
Veine du côlon transverse
Veine pancréatico-duodénale inféro-antérieure
Veine pancréatico-duodénale inféro-postérieure
Veine de la queue du pancréas
Veine gastro-omentale gauche (gastro-épiploïque)
Grande veine pancréatique
Veine mésentérique inférieure
Veine colique moyenne (coupée)

Veines de l'intestin grêle

Veine porte hépatique
Veine gastrique gauche
Veine splénique (liénale)
Veine mésentérique supérieure
Veines jéjunale et iléale (intestinales)
Anses anastomotiques
Veines droites
Veine gastrique droite
Veine colique moyenne
Veine colique droite
Veine iléo-colique

Côlon transverse (*relevé*)
Mésocôlon transverse
Artère et veine mésentériques supérieures
Vaisseaux jéjunaux et iléaux (intestinaux)

Rapports de la veine et de l'artère mésentériques supérieures dans la racine du mésentère

Veines du gros intestin

POUR LES VEINES DU RECTUM, VOIR AUSSI LA PLANCHE 370

Veine porte hépatique
Veine gastrique droite (coupée)
Veine pancréatico-duodénale supéro-postérieure
Veine pré-pylorique
Veine mésentérique supérieure
Veine gastro-omentale droite (gastro-épiploïque)
Veine pancréatico-duodénale supéro-antérieure
Veine du côlon (coupée)
Veine pancréatico-duodénale inféro-postérieure
Veine pancréatico-duodénale inféro-antérieure
Veine colique moyenne (coupée)
Veine colique droite
Veine iléo-colique
Veine caecale antérieure
Veine caecale postérieure
Veine appendiculaire
Vaisseaux testiculaires (ovariques) droits
Vaisseaux iliaques externes
Veine iliaque interne
Veine glutéale supérieure
Veine obturatrice
Veine glutéale inférieure droite
Veine honteuse interne droite
Veines vésicale droite, prostatique et déférente (vésicale, utérine et vaginale)
Veine rectale moyenne droite
Veine rectale inférieure droite (vers la veine honteuse interne)

Veine gastrique gauche
Veines gastriques courtes
Veine splénique (liénale)
Grande veine pancréatique
Veine gastro-omentale gauche (gastro-épiploïque)
Veine pancréatique dorsale
Veine mésentérique inférieure
Veines jéjunale et iléale (intestinales)
Veine colique gauche
Vaisseaux testiculaires (ovariques) gauches
Veine mésentérique inférieure
Veines sigmoïdiennes
Veine sacrale médiane
Veine rectale supérieure
Veine recto-sigmoïdienne
Veines affluentes des veines rectales supérieures droite et gauche
Plexus veineux rectal péri-musculaire
Veine rectale moyenne gauche
Veine honteuse interne gauche dans le canal honteux (d'Alcock)
Plexus veineux rectal externe

Affluents de la veine porte hépatique : anastomoses porto-caves

Ligaments falciforme et rond du foie
Ombilic
Veines œsophagiennes
Veines para-ombilicales

Sang issu de la veine mésentérique supérieure
Sang issu des veines splénique (liénale), gastrique et mésentérique inférieure
Mélange des deux sangs ci-dessus
Affluents de la veine cave

Veine gastrique droite
Veine gastrique gauche
Veine porte hépatique
Veines gastriques courtes
Veines pancréatico-duodénales postérieure et supéro-antérieure
Veine gastro-omentale gauche (gastro-épiploïque)
Veine mésentérique supérieure
Veine splénique (liénale)
Veine gastro-omentale droite (gastro-épiploïque)
Veines pancréatico-duodénales postérieure et inféro-antérieure
Veine mésentérique inférieure
Veine colique moyenne
Veine colique gauche
Veine colique droite
Veines recto-sigmoïde et sigmoïde
Veine iléo-colique
Veines caecales antérieure et postérieure
Veines rectales supérieures droite et gauche
Veine appendiculaire
Veines rectales moyennes
Muscle élévateur de l'anus
Veines rectales inférieures

© Novartis

Anastomoses porto-caves

1 Œsophagiennes
2 Para-ombilicales
3 Rectales
4 Rétro-péritonéales

Variations et anomalies de la veine porte hépatique

Veine cystique
Veine porte hépatique
Veine gastrique droite
Veine œsophagienne
Veine gastrique gauche
Veines gastriques courtes
Veine splénique (liénale)
0,45 cm
1,09 cm
Veine pancréatico-duodénale supéro-postérieure
Veines pancréatiques
Veine gastro-omentale gauche (gastro-épiploïque)
Veine mésentérique supérieure
Veine gastro-omentale droite (gastro-épiploïque)
Veine mésentérique inférieure
Veines pancréatico-duodénales inférieures
Veine colique gauche
Veine colique moyenne
Veine colique droite
Veines jéjunales et iléales (intestinales)
Veine iléo-colique

Distribution type

Veine porte hépatique
Veine mésentérique supérieure
Veine gastrique gauche rejoignant souvent l'anastomose des veines splénique (liénale) et mésentérique supérieure
Veine gastrique gauche
Veine splénique (liénale)

Veine gastrique gauche se terminant dans la veine splénique (liénale) (24 % des cas)
Veine gastrique droite
Veine splénique (liénale)
Veine gastrique gauche
Veine porte hépatique

Veine mésentérique inférieure fusionnant avec les veines splénique (liénale) et mésentérique supérieure
Veine porte hépatique
Veine splénique (liénale)
Veine mésentérique supérieure
Veine mésentérique inférieure

Veine mésentérique inférieure se terminant dans la veine mésentérique supérieure
Veine porte hépatique
Veines intestinales
Veine splénique (liénale)
Veine mésentérique supérieure
Veine mésentérique inférieure

© Novartis

Anomalies

Veine porte hépatique située en avant de la tête du pancréas et de la 1[re] partie du duodénum

Veine porte hépatique se terminant dans la veine cave inférieure (artères hépatiques volumineuses)

Veine pulmonaire se drainant dans la veine porte hépatique

Atrésie congénitale de la veine porte hépatique

Vaisseaux et nœuds lymphatiques de l'estomac

Nœuds cœliaques
Nœuds autour du cardia
Nœuds gastriques gauches
Nœuds hépatiques
Nœud pancréatique supérieur droit
Nœuds supra-pyloriques
Nœuds spléniques (liénaux)
Nœud gastro-omental gauche (gastro-épiploïque)
Nœuds infra-pyloriques
© Novartis
Nœuds gastro-omentaux droits (gastro-épiploïques)

Nœuds gastriques gauches
Nœuds autour du cardia
Vers la citerne du chyle
Nœud gastro-omental gauche (gastro-épiploïque)
Territoires lymphatiques de l'estomac et leurs nœuds collecteurs (limites approximatives)
Nœuds spléniques (liénaux)
Nœuds gastro-omentaux droits (gastro-épiploïques)
Nœuds supra-pylorique, rétro-pylorique et infra-pylorique
Nœuds pancréatiques supérieurs gauches
Nœuds cœliaques
Nœud pancréatique supérieur droit
Nœuds mésentériques supérieurs

Vaisseaux et nœuds lymphatiques de l'intestin grêle

Tronc lymphatique droit
Conduit thoracique
Nœuds cœliaques
Nœuds mésentériques supérieurs (groupe central supérieur)
Conduit thoracique
Citerne du chyle
Tronc lymphatique intestinal
Nœuds mésentériques supérieurs (groupe juxta-intestinal)
Troncs lymphatiques lombaires droit et gauche
© Novartis

Vaisseaux et nœuds lymphatiques du gros intestin

Nœuds épi-coliques
Nœuds para-coliques
Nœuds coliques moyens
Nœuds para-coliques
Nœuds mésentériques supérieurs
Nœuds mésentériques inférieurs
Nœuds coliques gauches
Nœuds coliques droits
Nœuds pré-aortiques
Nœuds iléo-coliques
Nœuds sigmoïdes
Nœuds para-coliques
Nœuds pré-caecaux
Nœuds rectaux supérieurs
Nœuds appendiculaires

F. Netter M.D.
© Novartis

Nœuds mésentériques inférieurs
Nœuds coliques gauches
Nœuds pré-aortiques
Nœuds iliaques communs
Nœuds rectaux supérieurs
Nœuds iliaques internes
Nœuds rectaux moyens
Nœuds iliaques externes
Nœuds rectaux moyens
Nœuds inguinaux superficiels
Vaisseaux lymphatiques périnéaux (se drainant essentiellement dans les nœuds inguinaux)

Vaisseaux et nœuds lymphatiques du foie

Coupes du foie (faible grossissement)

Espaces sinusoïdaux (de Disse) très étroits ou oblitérés
Espaces sinusoïdaux (de Disse) (élargis de façon marquée)

Tissu conjonctif de la triade porte
Espace sinusoïdal (de Disse)
Sinusoïde
Espace péri-portal (de Mall)
Vaisseau lymphatique terminal

Nœuds phréniques supérieurs (à la terminaison de la veine cave inférieure)
Hiatus de la veine cave inférieure
Nœuds autour du cardia
Nœud cystique (de Calot)
Nœuds hépatiques
Nœuds cœliaques
Nœuds pyloriques

F. Netter M.D.
© Novartis

Vaisseaux et nœuds lymphatiques du pancréas

Vue antérieure

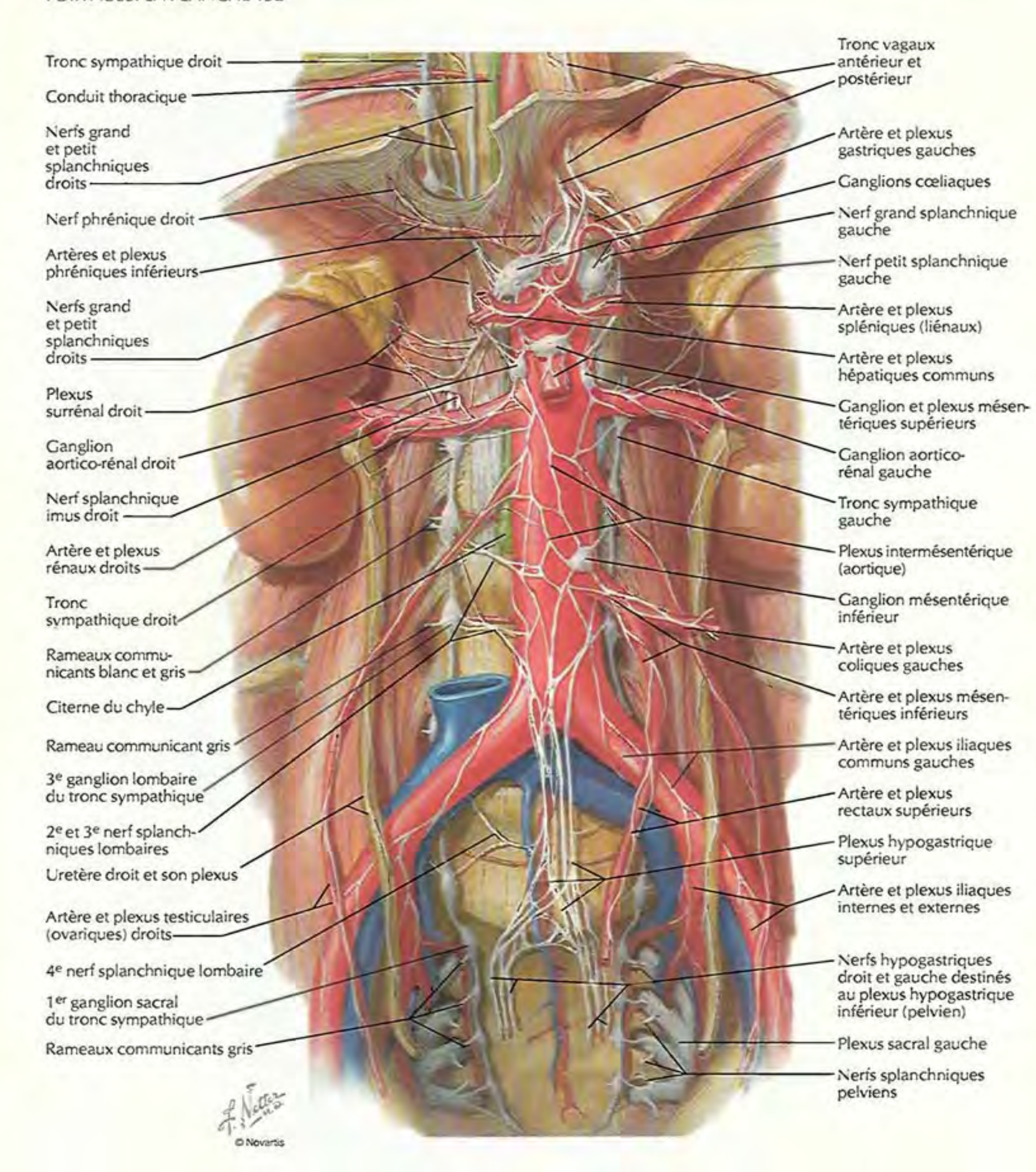
Nœuds gastriques gauches
Nœuds hépatiques
Nœuds pyloriques
Nœuds spléniques (liénaux)
Nœuds pancréatiques supérieurs
Nœuds cœliaques
Nœuds mésentériques supérieurs
Nœuds pancréatico-duodénaux

Vue postérieure

Nœud cystique (de Calot)
Veine porte hépatique
Nœuds cœliaques
Nœuds pancréatiques supérieurs
Nœuds hépatiques le long des conduits biliaires et de l'artère hépatique propre
Veine splénique (liénale)
Veine mésentérique inférieure
Artère et veine mésentériques supérieures
Nœuds pancréatico-duodénaux
Nœuds mésentériques supérieurs

Nerfs et ganglions autonomes de l'abdomen

VOIR AUSSI LA PLANCHE 152



Nerfs de l'estomac et du duodénum

VOIR AUSSI LA PLANCHE 152

Artères et plexus phréniques inférieurs droits et gauches
Lames antérieure et postérieure du petit omentum
Branche du plexus hépatique destinée au cardia via le petit omentum
Nerf grand splanchnique droit
Branche hépatique du tronc vagal antérieur
Tronc vagal antérieur
Branche cœliaque du tronc vagal postérieur
Branche cœliaque du tronc vagal antérieur
Artère et plexus gastriques gauches
Branche vagale du plexus hépatique destinée à la partie pylorique de l'estomac
Plexus hépatique
Artère et plexus gastriques droits
Branche gastrique antérieure du tronc vagal antérieur
Nerf grand splanchnique gauche
Nerf petit splanchnique gauche
Artère et plexus spléniques (liénaux)
Ganglions et plexus cœliaques
Plexus et artères gastro-omentaux (gastro-épiploïques)
Artère et plexus mésentériques supérieurs
Plexus de l'artère pancréatico-duodénale inférieure
Plexus de la 1re artère jéjunale
Plexus des artères pancréatico-duodénales supéro-antérieure et inféro-antérieure (les artères et plexus pancréatico-duodénaux postérieurs ne sont pas visibles sur ce dessin)

F. Netter M.D.

Nerfs de l'estomac et du duodénum (suite)

VOIR AUSSI LA PLANCHE 152

Plexus et artères gastro-omentaux (gastro-épiploïques)
Plexus hépatique
Artère et plexus gastriques droits
Branche gastrique postérieure du tronc vagal postérieur
Branche hépatique du tronc vagal antérieur via le petit omentum
Branche du plexus hépatique destinée au cardia via le petit omentum
Artère et plexus phréniques inférieurs droits
Tronc vagal postérieur
Branche cœliaque du tronc vagal postérieur
Branche cœliaque du tronc vagal antérieur
Artère et plexus gastriques gauches
Artère et plexus phréniques inférieurs gauches
Ganglions et plexus cœliaques
Nerfs grand et petit splanchniques gauches et splanchnique imus gauche
Ganglions aortico-rénaux
Artère et plexus spléniques (liénaux)
Nerfs grand et petit splanchniques droits et splanchnique imus droit

Vue avec l'estomac récliné en haut

Plexus des artères pancréatico-duodénales supéro-antérieure et inféro-antérieure
Plexus de l'artère gastro-duodénale
Plexus des artères pancréatico-duodénales supéro-postérieure et inféro-postérieure
Ganglion et plexus mésentériques supérieurs

F. Netter M.D.

Nerf phrénique droit
Ganglion phrénique
Branche du plexus phrénique inférieur droit destinée au cardia de l'estomac
Artères et plexus phréniques inférieurs droit et gauche
Tronc vagal antérieur
Tronc vagal postérieur
Branches cœliaques des troncs vagaux antérieur et postérieur
Artère et plexus gastriques gauches
Nerfs grand et petit splanchniques droits et splanchnique imus droit
Ganglions cœliaques
Nerfs grand et petit splanchniques gauches et splanchnique imus gauche
Ganglion aortico-rénal droit
Ganglion aortico-rénal gauche
Ganglion et plexus mésentériques supérieurs

Innervation de l'estomac et du duodénum : schéma

VOIR AUSSI LA PLANCHE 153

6e ganglion thoracique droit du tronc sympathique
7e nerf intercostal droit
Rameaux communicants gris et blanc
Ganglion spinal sensitif (racine dorsale)
Racine antérieure (ventrale) du nerf spinal
Nerf grand splanchnique droit
Nerf petit splanchnique droit
Ganglions cœliaques
Nerf splanchnique imus (inconstant)
Artère hépatique commune
Artère hépatique propre
Ganglion mésentérique supérieur
Ganglions aortico-rénaux
Artère gastrique droite
Artère rénale droite
Artère gastro-duodénale
Artères pancréatico-duodénales supéro-antérieure et supéro-postérieure
Artère mésentérique supérieure
Artères pancréatico-duodénales inféro-antérieure et inféro-postérieure

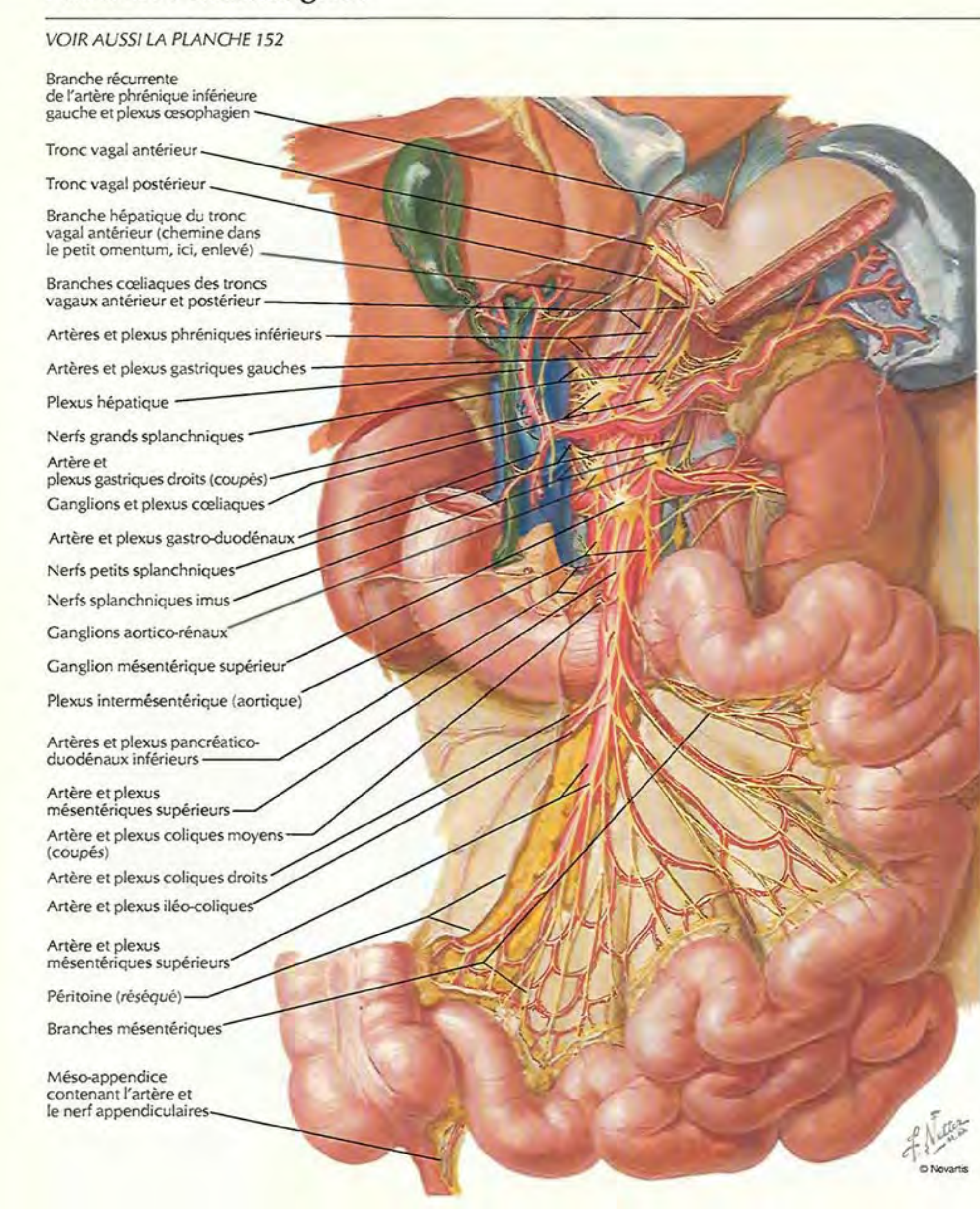
6e ganglion thoracique gauche du tronc sympathique
Plexus œsophagien
Nerf grand splanchnique gauche
Plexus aortique
9e ganglion thoracique gauche du tronc sympathique
Tronc vagal postérieur et branche cœliaque
Tronc vagal antérieur et branche cœliaque du nerf vague (X)
Artère gastrique gauche
Tronc cœliaque
Artère splénique (liénale)
Artères gastriques courtes
Artères gastro-omentales gauche et droite (gastro-épiploïques)

Fibres sympathiques
Présynaptiques
Postsynaptiques
Fibres parasympathiques
Présynaptiques
Postsynaptiques
Fibres afférentes

F. Netter M.D.

Nerfs de l'intestin grêle

VOIR AUSSI LA PLANCHE 152



Nerfs du gros intestin

POUR LES NERFS DU RECTUM, VOIR LES PLANCHES 152, 381, 382, 383, 384

Tronc vagal antérieur et branche hépatique
Tronc vagal postérieur
Branches cœliaques des troncs vagaux antérieur et postérieur
Artère et plexus phréniques inférieurs droits
Nerf grand splanchnique droit
Ganglions et plexus cœliaques
Nerfs petit splanchnique et splanchnique imus
Ganglion aortico-rénal droit
Ganglion mésentérique supérieur
Artère et plexus coliques moyens
Artères et plexus pancréatico-duodénaux inférieurs
Artère et plexus coliques droits
Artère et plexus iléo-coliques
Artères et plexus caecaux et appendiculaires
Artère et plexus iliaques internes droits (*coupés*)
Tronc sympathique sacral
Plexus sacral droit
Nerfs splanchniques pelviens
Artère et plexus rectaux moyens
Plexus hypogastrique (pelvien) inférieur droit
Plexus vésical
Plexus rectal
Vessie

Artère et plexus marginaux
Œsophage
Artère et plexus phréniques inférieurs gauches
Artère et plexus gastriques gauches
Nerf grand splanchnique gauche
Plexus surrénal gauche
Nerfs petit splanchnique et splanchnique imus
Ganglion aortico-rénal gauche
Artère et plexus rénaux gauches
1er nerf splanchnique lombaire gauche
Tronc sympathique lombaire gauche
Plexus intermésentérique (aortique)
Artère et plexus coliques gauches
Ganglion, artère et plexus mésentériques inférieurs
Artère et plexus sigmoïdiens
Plexus hypogastrique supérieur
Artère et plexus rectaux supérieurs
Nerfs hypogastriques droit et gauche
Artère et plexus recto-sigmoïdiens
Nerfs des plexus hypogastriques inférieurs (pelviens) destinés au côlon sigmoïde, au côlon descendant et à l'angle colique gauche (splénique)

F. Netter M.D.

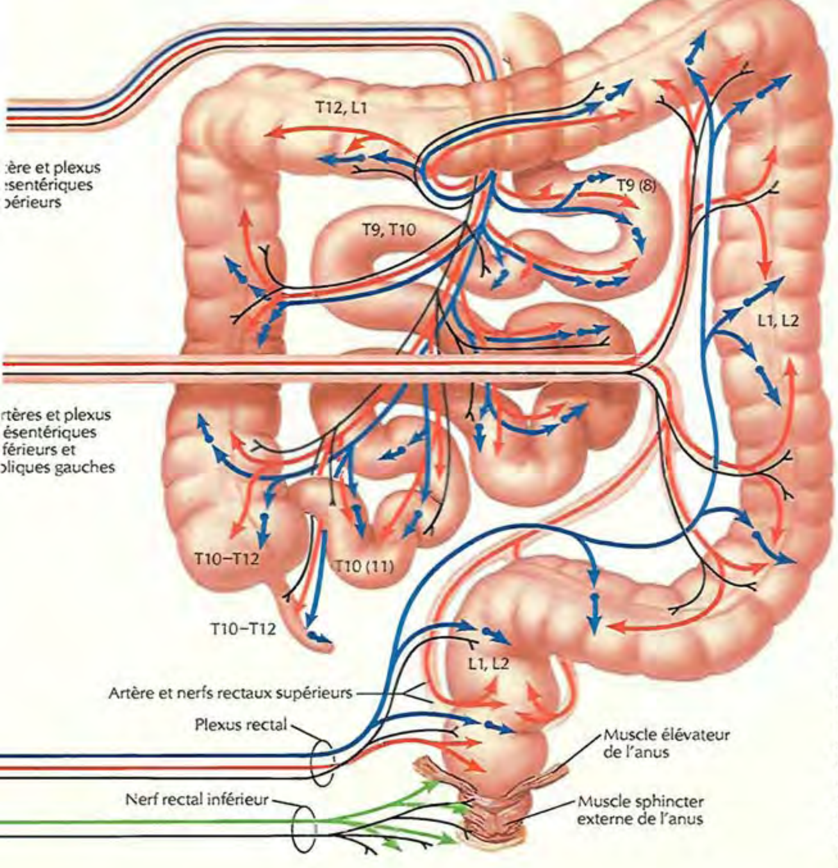
Noyau dorsal (postérieur) du nerf vague
Moelle allongée (bulbe myélencéphale)
Ganglion spinal sensitif (racine dorsale)
Moelle spinale thoraco-lombaire
Moelle spinale sacrale
T9
T10
T11
T12
L1
L2
L3
L4
L5
S1
S2
S3
S4
Hypothalamus (en rouge, partie sympathique, en bleu, partie parasympathique)
Nerf vague (X)
Tronc sympathique
Rameaux communicants { Blanc Gris
Nerfs splanchniques* { Grand Petit Imus
Nerfs splanchniques lombaires*
Nerfs splanchniques sacraux*
Nerfs splanchniques pelviens
Nerf honteux
Aorte abdominale
Ganglion cœli
Tronc cœlia
Ganglion mésenté supérieu
Ganglion aortico-ré
Plexus intermése (aortique)
Ganglion mésentéri inférieur
Plexus hypoga supérie
Nerfs hypogastr
Plexus hypogastr inférieur (

*Nerfs splanchniques abdomino-pelviens

Innervation de l'intestin grêle et du gros intestin : schéma

VOIR AUSSI LA PLANCHE 153

Efférents sympathiques
Efférents parasympathiques
Efférents somatiques
Afférents et connexions du SNC
Voies indéfinies





Principales origines segmentaires des fibres sympathiques innervant les différentes régions du tractus intestinal.
De nombreuses fibres afférentes sont véhiculées de façon centripète, approximativement, par les mêmes nerfs splanchniques sympathiques qui transmettent les fibres présynaptiques.

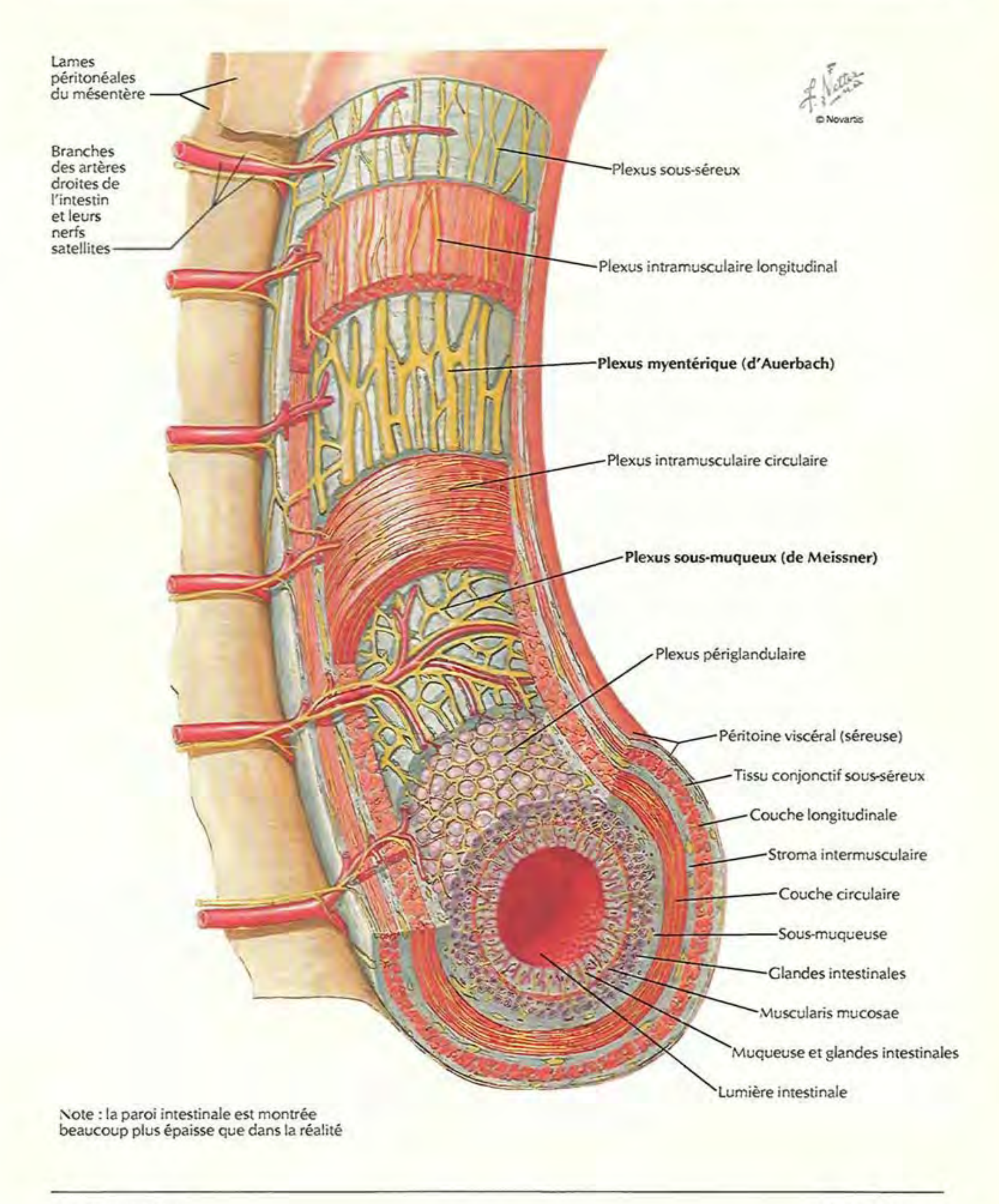
Voies réflexes autonomes : schéma

Tronc sympathique
Ganglion spinal sensitif (racine dorsale)
Racine dorsale (postérieure)
Partie thoracique de la moelle spinale
Corne latérale de la substance grise
Ganglion du tronc sympathique
Nerf spinal destiné aux vaisseaux et aux glandes de la peau
Racine ventrale (antérieure)
Branche méningée récurrente destinée aux méninges spinales et aux plexus péri-vasculaires spinaux (naît habituellement du nerf spinal)
Rameau communicant blanc
Rameau communicant gris
Ganglion du tronc sympathique
Nerfs splanchniques abdominaux (grand, petit et imus)
Distension
Douleur
Nerf vague (X)
Ganglion cœliaque
Ganglion du tronc sympathique
Plexus entériques
Ganglion mésentérique supérieur

© Novartis

Fibres sympathiques { Présynaptiques / Postsynaptiques
Fibres parasympathiques { Présynaptiques / Postsynaptiques
Fibres afférentes
Conduction antidromique

Plexus autonomes intrinsèques de l'intestin : schéma



Note : la paroi intestinale est montrée beaucoup plus épaisse que dans la réalité

Innervation du foie et des voies biliaires : schéma

VOIR AUSSI LA PLANCHE 153

Aires habituelles des douleurs rapportées dans la maladie biliaire

Tronc sympathique
Ganglion spinal sensitif (racine dorsale)
Partie thoracique de la moelle spinale
Nerf grand splanchnique gauche
Tronc vagal antérieur
Nerf grand splanchnique droit
Tronc vagal postérieur
Nerf phrénique droit destiné au péritoine diaphragmatique (et viscéral ?)
T7 T8 T9 T10

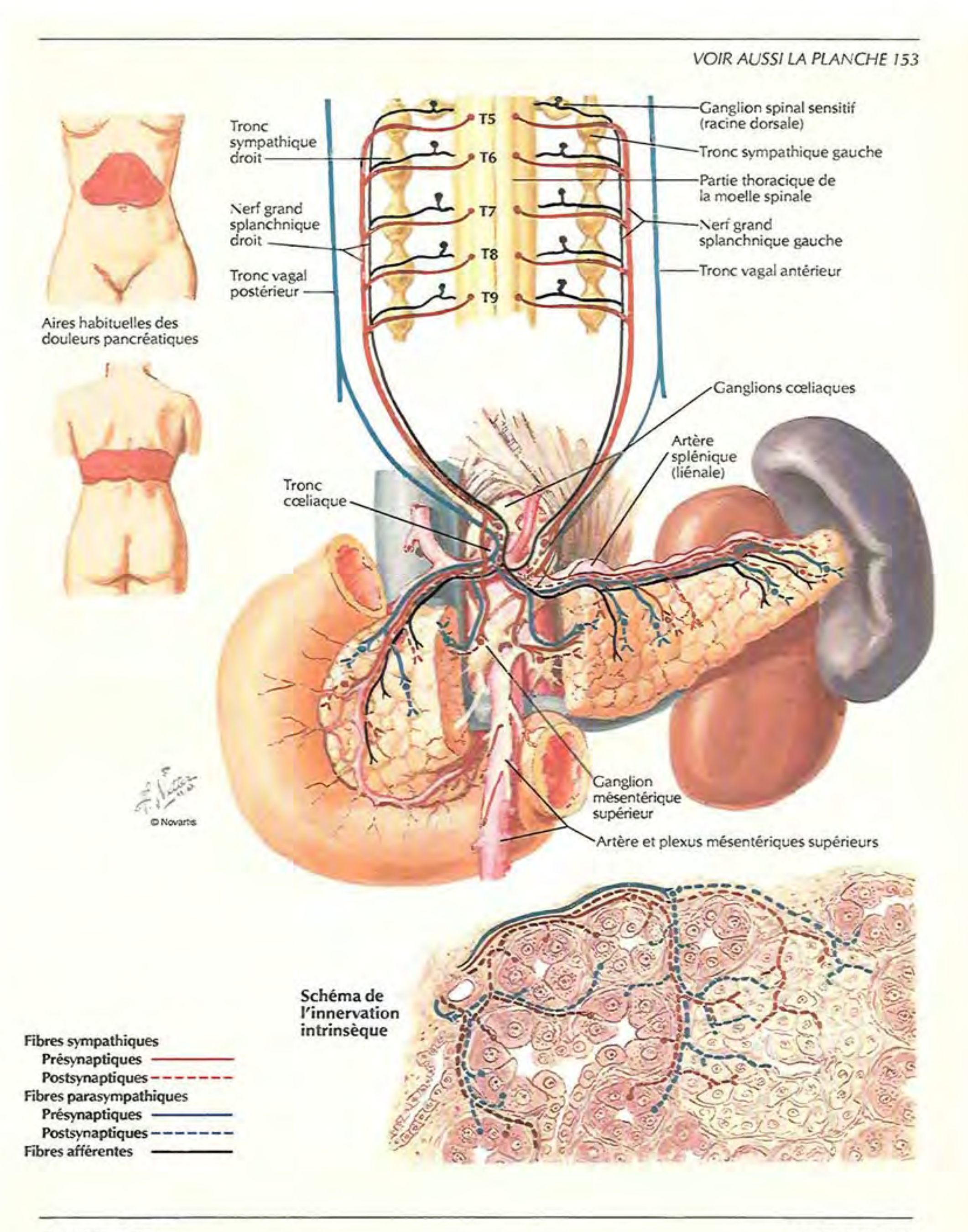
© Novartis

Branche hépatique du tronc vagal antérieur
Diaphragme
Ganglion phrénique
Ganglions cœliaques
Artère hépatique commune
Artère splénique (liénale)
Plexus hépatique antérieur
Plexus hépatique postérieur
Aorte
Artère et plexus gastro-duodénaux
Sphincter de l'ampoule hépato-pancréatique

Fibres sympathiques
Présynaptiques
Postsynaptiques
Fibres parasympathiques
Présynaptiques
Postsynaptiques
Fibres afférentes

Ramification de fibres nerveuses autour d'une artériole de l'artère hépatique

VOIR AUSSI LA PLANCHE 153



Diaphragme
Glande surrénale droite
Rein droit
Artère et veine rénales droites
Nerf subcostal droit
Muscle transverse de l'abdomen
Muscle carré des lombes
Crête iliaque
Muscle grand psoas
Muscle iliaque
Uretère droit
Artère iliaque commune droite
Artère iliaque externe droite
Artère iliaque interne droite
Vessie

Œsophage
Glande surrénale gauche
Tronc cœliaque
Rein gauche
Artère et veine rénales gauches
Artère mésentérique supérieure (*coupée*)
Nerf subcostal
Aorte abdominale
Nerf ilio-hypogastrique
Nerf ilio-inguinal
Nerf cutané latéral de la cuisse
Nerf génito-fémoral
Artère et veine testiculaires (ovariques) gauches
Artère mésentérique inférieure (*coupée*)
Péritoine (*coupé*)
Mésocôlon sigmoïde (*coupé*)
Rectum

© Novartis

Œsophage
Veine cave inférieure
Emplacement de l'aéra nuda du foie
Glande surrénale droite
Péritoine (*coupé*)
Aire du foie
Duodénum
Péritoine (*coupé*)
Aire du côlon
Aire de l'intestin grêle

Ligament gastro-phrénique
Glande surrénale gauche
Ligament spléno-rénal
Aire de l'estomac
Aire de la rate
Queue du pancréas
Mésocôlon transverse
Aire de l'intestin grêle
Aire du côlon descendant

Rapports antérieurs des reins

Rapports postérieurs des reins

Structure macroscopique du rein

Face antérieure du rein droit

Glande surrénale et rein lobulé de l'enfant

Rein droit coupé sur plusieurs plans, montrant le parenchyme et le pelvis rénal

Artère et veine rénales in situ

Veine cave inférieure
Œsophage
Artères phréniques inférieures droite et gauche
Veine phrénique inférieure droite
Tronc cœliaque
Artères surrénales supérieures gauches
Artères surrénales supérieures droites
Artère surrénale moyenne gauche
Artère surrénale moyenne droite
Veine surrénale gauche
Artère surrénale inférieure gauche
Veine surrénale droite
Artère surrénale inférieure droite
Branche urétérique de l'artère rénale gauche
Artère et veine rénales gauches
Branche urétérique de l'artère rénale droite
Artère et veine testiculaires (ovariques) gauches
Artère et veine rénales droites
2e veine lombaire gauche et anastomose avec la veine lombaire ascendante
Artère et veine testiculaires (ovariques) droites
Artère mésentérique inférieure
Veine cave inférieure
Aorte abdominale
Artère mésentérique supérieure (coupée)

Artères intra-rénales et segments rénaux

Coupe frontale du rein gauche : vue antérieure

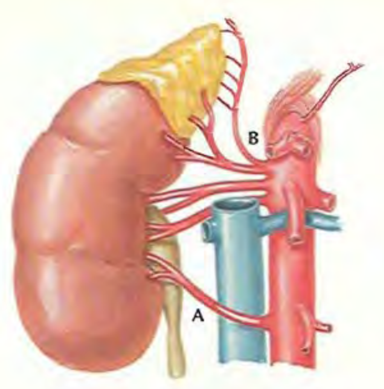
Artère segmentaire supérieure (apicale)
Artère segmentaire supéro-antérieure
Branches capsulaires et péri-rénales
Artère surrénale inférieure
Branche antérieure de l'artère rénale
Artère rénale
Branche postérieure de l'artère rénale (artère segmentaire postérieure)
Branches urétérique et pelvienne
Artère segmentaire inféro-antérieure
Artères segmentaires postérieures
Artère segmentaire inférieure
Artères interlobaires
Artères arquées
Artérioles interlobulaires (partie radiée du cortex rénal)
Branche capsulaire perforante

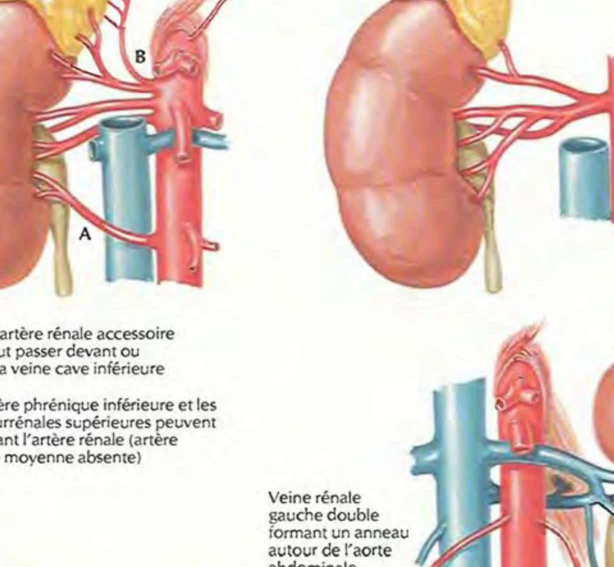
Segments rénaux

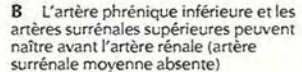
Segment supérieur
Segment antéro-supérieur
Segment antéro-inférieur
Segment postérieur
Segment inférieur

Face ventrale du rein gauche
Face dorsale du rein gauche

Variations de l'artère et de la veine rénales







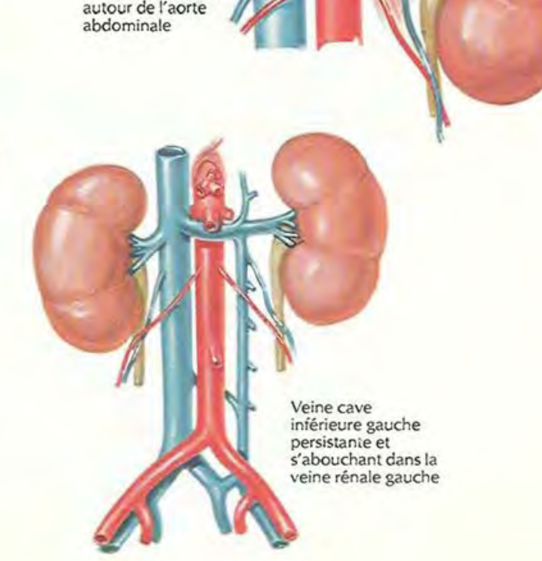
A Une artère rénale accessoire basse peut passer devant ou derrière la veine cave inférieure

B L'artère phrénique inférieure et les artères surrénales supérieures peuvent naître avant l'artère rénale (artère surrénale moyenne absente)

Veine rénale gauche double formant un anneau autour de l'aorte abdominale



Veines rénales surnuméraires



Veine cave inférieure gauche persistante et s'abouchant dans la veine rénale gauche



Néphron et tubule rénal collecteur : schéma

Capsule fibreuse
Zone subcapsulaire
Cortex rénal
Corpuscule rénal juxta-médullaire
Tubule rénal contourné proximal
Tubule rénal contourné distal
Col
Tubule rénal contourné proximal
Corpuscule rénal superficiel
Col
Tubule rénal contourné distal
Anse du néphron (de Henlé)
Tubule rénal droit descendant
Tubule rénal droit ascendant
Tubule collecteur
Zone externe
Bande externe
Bande interne
Anse du néphron (de Henlé)
Médullaire rénale (pyramide rénale)
Zone interne
Tubule rénal droit descendant
Tubule rénal droit ascendant
Ostium des tubules collecteurs
Aire criblée de la papille rénale

Corpuscule rénal (de Malpighi) ; capsule glomérulaire (de Bowman) avec le glomérule
Artérioles glomérulaires afférentes et efférentes
Segment proximal: Col; Tubule rénal contourné proximal; Segment dilaté du tubule rénal droit descendant
Segment étroit
Segment distal: Segment dilaté du tubule rénal droit ascendant; Tubule rénal contourné distal
Anse du néphron (de Henlé)
Macula densa
Tubules collecteurs

Vaisseaux sanguins du parenchyme rénal : schéma

Artériole glomérulaire afférente
Artériole glomérulaire efférente
Glomérule juxta-médullaire (l'artériole glomérulaire efférente descend dans la pyramide rénale)
Capsule fibreuse
Glomérule superficiel
Artériole glomérulaire efférente (rejoint le plexus capillaire cortical)
Artériole glomérulaire afférente
Plexus capillaire cortical
Veinules étoilées
Glomérule intermédiaire
Artériole glomérulaire efférente (rejoint le plexus capillaire cortical et descend aussi dans la pyramide rénale)
Artériole glomérulaire afférente
Artériole aglomérulaire vers le plexus capillaire
Veinules capsulaires et perforantes
Artères et veines interlobulaires (partie radiée du cortex rénal)
Zone subscapulaire
Artériole glomérulaire afférente de l'artère arquée
Artère et veine arquées
Faux vaisseaux droits (branches des artérioles efférentes glomérulaires juxta-médullaires)
Vrais vaisseaux droits (branches des artères arquées et corticales radiées)
Veinules droites
Plexus capillaire médullaire
Artère et veine interlobaires
Colonne rénale (de Bertin)
Anse du néphron (de Henlé)
Tubule collecteur
Artère et veine interlobaires dans la graisse péri-rénale du sinus rénal
Cortex rénal
Médullaire rénale (pyramide rénale)
F. Netter M.D.
© Novartis

Uretères

VOIR AUSSI LES PLANCHES 339, 340, 344

Uretère masculin : vue antérieure

Rein droit
Duodénum
Artère mésentérique supérieure
Artère colique droite
Uretère droit
Artère iléo-colique
Vaisseaux testiculaires
Artère iliaque commune
Artère iliaque interne
Artère iliaque externe
Artère rectale moyenne
Rein gauche
Uretère gauche
Artère mésentérique inférieure
Artère colique gauche
Artères sigmoïdiennes
Artère rectale supérieure (coupée)
Nerf génito-fémoral
Artère et nerf obturateurs
Artère vésicale supérieure
Artère vésicale inférieure et artère du conduit déférent
Partie oblitérée de l'artère ombilicale
Conduit déférent
Vessie
Trajet oblique de l'uretère à travers la paroi de la vessie
F. Netter M.D.
© Novartis

Uretère féminin : vue supérieure

Vessie
Ligament ombilical médial (partie oblitérée de l'artère ombilicale)
Ligament rond de l'utérus
Artère vésicale supérieure
Artère utérine
Artère et nerf obturateurs
Artères vésicale inférieure et vaginale
Artère iliaque externe
Vaisseaux ovariques
Artère iliaque interne
Artère iliaque commune
Racine du mésentère
Ligament large
Pli utéro-sacral (ligament)
Uretère (rétro-péritonéal)
Récessus inter-sigmoïdien
Mésocôlon sigmoïde

Artères des uretères et de la vessie

Aorte abdominale
Artère mésentérique supérieure
Artère surrénale inférieure
Artère et veine rénales
Branche urétérique de l'artère rénale
Artère testiculaire (ovarique)
Uretère
Muscle grand psoas
Artère mésentérique inférieure (coupée)
Branche urétérique de l'aorte
Branches urétériques des artères ovariques et iliaque commune
Artère iliaque commune
Artère sacrale médiane
Artère iliaque interne
Artère ilio-lombaire
Artère glutéale supérieure
Artère sacrale latérale
Artères glutéale inférieure et honteuse interne
Artère ombilicale (partie perméable)
Artère rectale moyenne
Artère utérine
Artère obturatrice
Artère vaginale
Artère vésicale inférieure et branche urétérique
Artères vésicales supérieures
Artère épigastrique inférieure
Branche urétérique de l'artère vésicale supérieure
Partie oblitérée de l'artère ombilicale

F. Netter M.D.

Vaisseaux et nœuds lymphatiques des reins et de la vessie

VOIR AUSSI LES PLANCHES 377, 379

Plexus subcapsulaire
Vaisseaux lymphatiques longeant les artères radiées (interlobulaires) du cortex rénal
Vaisseaux lymphatiques longeant les artères arquées
Vaisseaux lymphatiques longeant les artères interlobaires
Vaisseaux lymphatiques médullaires
Note : les flèches indiquent la direction du flux
Troncs lymphatiques lombaires vers la citerne du chyle et le conduit thoracique
Nœuds latéraux aortiques (lombaires) pré-cave, post-cave et latéro-aortique
Nœuds iliaques communs
Nœuds du promontoire (sacraux moyens)
Nœuds illiaques internes
Nœuds iliaques externes
Vaisseaux lymphatiques provenant de la partie dorsale et du trigone de la vessie
Vaisseaux lymphatiques des parties supérieure et antérieure de la vessie
Nœuds vésical latéral et prévésical

F. Netter M.D.

Nerfs des reins, des uretères et de la vessie

VOIR AUSSI LA PLANCHE 152

Tronc vagal antérieur
Tronc vagal postérieur
Nerf grand splanchnique
Ganglions et plexus cœliaques
Nerf petit splanchnique
Ganglion mésentérique supérieur
Nerf splanchnique imus
Ganglion aortico-rénal
Plexus et ganglion rénaux
2e nerf splanchnique lombaire
Branches rénale et urétérique supérieure du plexus intermésentérique
Plexus intermésentérique (aortique)
Artère et plexus testiculaires (ovariques)
Ganglion mésentérique inférieur
Tronc et ganglion sympathiques
Branche urétérique moyenne
Plexus hypogastrique supérieur
Nerfs splanchniques sacraux (branches issues des ganglions sympathiques sacraux supérieurs destinées au plexus hypogastrique inférieur)
Rameau communicant gris
Nerfs hypogastriques
Plexus sacral
Nerf honteux
Nerfs splanchniques pelviens
Plexus hypogastrique inférieur (pelvien) avec des boucles péri-urétériques et des branches pour l'uretère inférieur
Plexus rectal
Plexus vésical
Plexus prostatique

F. Netter

Innervation des reins et de la partie supérieure des uretères : schéma

VOIR AUSSI LES PLANCHES 153, 388

Noyau du tractus solitaire
Ganglion spinal sensitif (racine dorsale)
Noyau dorsal (postérieur) du nerf vague
Moelle allongée
Rameaux communicants gris
Nerf vague (X)
Fibres descendantes
Rameau ventral de T10 (nerf intercostal)
Fibres ascendantes
T10
T11
T12
L1
Rameau communicant blanc
Segments de la moelle spinale (T10-L1)
Ganglions du tronc sympathique
Nerf petit splanchnique
1er nerf splanchnique lombaire
Nerf splanchnique imus
Ganglions et plexus cœliaques
Ganglion mésentérique supérieur
Ganglion aortico-rénal
Artère, plexus et ganglion rénaux
Plexus intermésentérique
Plexus hypogastrique supérieur
Nerf hypogastrique
S2
S3
S4
Plexus sacral
Nerfs splanchniques pelviens
Plexus hypogastrique (pelvien) inférieur

Fibres sympathiques
Présynaptiques
Postsynaptiques
Fibres parasympathiques
Présynaptiques
Postsynaptiques
Fibres afférentes

F. Netter

Artère et veine rénales gauches
Rein gauche
Péritoine
Côlon descendant
Angle duodéno-jéjunal
Aorte abdominale
Artère et veine mésentériques supérieures
Veine cave inférieure
Duodénum
Rein droit
Angle colique droit (hépatique)
Foie
Muscles obliques interne et externe
Tendon d'origine du muscle transverse de l'abdomen
Fascia transversalis
Graisse para-rénale (rétro-péritonéale)
Graisse péri-rénale
Capsule fibreuse du rein
Lames antérieure et postérieure du fascia rénal
Muscle grand dorsal
Muscle carré des lombes
Piliers du diaphragme
Muscle grand psoas et son fascia
Muscle érecteur du rachis

Coupe transversale à travers la 2e vertèbre lombaire montrant la structure horizontale du fascia rénal

Diaphragme
Fascia diaphragmatique (prolongement du fascia transversalis)
Récessus costo-diaphragmatique
Glande surrénale
Graisse péri-rénale
12e côte
Graisse para-rénale (rétro-péritonéale)
Fascia transversalis
Muscle carré des lombes
Crête iliaque
Poumon
Foie
Aire nue du foie (area nuda)
Capsule fibreuse du rein
Péritoine
Lames antérieure et postérieure du fascia rénal
Rein droit
Angle colique droit (hépatique)

Coupe sagittale à travers le rein droit et la région lombaire montrant la structure verticale du fascia rénal

Foie (*relevé*)
Artères surrénales supérieures (branches de l'artère phrénique inférieure)
Veine cave inférieure (*réclinée médialement*)
Veine surrénale
Branches des artères surrénales moyennes (issues de l'aorte abdominale)
Péritoine (coupé)
Fascia rénal
Rein droit (*abaissé*)
Glande surrénale
Artère surrénale inférieure (branche de l'artère rénale)
Duodénum (*abaissé*)

Vue abdominale de la glande surrénale droite

Pancréas et rate (*relevés*)
Artère phrénique inférieure gauche
Artères surrénales supérieures
Glande surrénale
Fascia rénal
Rein gauche
Veine splénique (liénale)
Aorte
Angle duodéno-jéjunal
Angle colique gauche (splénique) (*écarté médialement*)
Artère surrénale moyenne
Veine surrénale
Artère surrénale inférieure
Artère et veine rénales gauches
Péritoine (coupé)

Coupe transversale à travers la glande surrénale

Capsule
Cortex
Médulla

Vue abdominale de la glande surrénale gauche

Nerfs des glandes surrénales : dissection et schéma

VOIR AUSSI LES PLANCHES 152, 153

Nerf phrénique droit
Tronc vagal antérieur
Artère et plexus phréniques inférieurs droits
Glande surrénale droite
Nerf grand splanchnique droit
Nerf petit splanchnique droit
Nerf splanchnique imus droit
Ganglion et plexus rénaux droits
Tronc sympathique droit
1[er] nerf splanchnique lombaire droit
Nerf phrénique gauche
Tronc vagal postérieur
Artère et plexus phréniques inférieurs gauches
Glande surrénale gauche
Nerf grand splanchnique gauche
Plexus et ganglions cœliaques
Nerf petit splanchnique gauche
Ganglions aortico-rénaux
Nerf splanchnique imus gauche
Ganglion et plexus rénaux gauches
Tronc sympathique gauche
1[er] nerf splanchnique lombaire gauche
Ganglion mésentérique supérieur

Colonne cellulaire intermédio-latérale (corne latérale de la substance grise)
T10
T11
T12
L1
Moelle spinale
Tronc sympathique
Nerfs splanchniques abdomino-pelviens (fibres présynaptiques)
Ganglions cœliaque, aortico-rénal et rénal
Fibres postsynaptiques innervant les vaisseaux sanguins
Glande surrénale
Médulla
Cortex
Fibres présynaptiques se ramifiant autour des cellules de la médulla

Coupe transversale schématique de l'abdomen au niveau de T12 (vue supérieure)

Ligne blanche
Foie
Gaine du muscle droit
Ligament falciforme
Muscle droit de l'abdomen
Vaisseaux épigastriques supérieurs
Petit omentum
Plexus nerveux hépatique
Artère et veine gastriques gauches
Fascia transversalis
Aponévrose du muscle oblique externe
Péritoine pariétal
Muscle transverse de l'abdomen
Péritoine viscéral du foie
8[e] cartilage costal
Diaphragme
Faisceau d'origine du diaphragme
Fascia diaphragmatique inférieur
7[e] cartilage costal
Artère hépatique propre (bifurcation)
Muscle oblique externe
Conduit hépatique commun
Diaphragme
Vésicule biliaire
Estomac
Conduit cystique
Ligament gastro-splénique et vaisseaux gastriques courts
Veine porte hépatique
8[e] côte
Récessus costo-diaphragmatique de la cavité pleurale
Rate
Plèvre
Vaisseaux et nerf intercostaux
Foramen omental (épiploïque) (de Winslow)
Muscle dentelé antérieur
Artère hépatique commune (rétro-péritonéale)
Muscles intercostaux
Veine cave inférieure
Ligament spléno-rénal et vaisseaux spléniques
Bourse omentale (petit sac péritonéal)
Péritoine pariétal de la paroi postérieure de la bourse omentale
Nerfs petit splanchnique et splanchnique imus droits
Tronc sympathique droit
Artère gastrique gauche
Pilier droit du diaphragme
Rein gauche
Veine azygos
Glande surrénale gauche
Conduit thoracique
12[e] côte
Ligament longitudinal antérieur
Muscle grand dorsal
Ganglions cœliaques
Muscle érecteur du rachis { Ilio-costal, Longissimus, Épineux
Aorte abdominale
Corps de la vertèbre T12

Coupe transversale schématique de l'abdomen au niveau de L2, L3 (vue supérieure)

Ligne blanche
Ligament rond du foie
Muscle droit de l'abdomen
Côlon transverse
Branches des vaisseaux épigastriques inférieurs
Appendices omentaux (épiploïques)
Gaine du muscle droit de l'abdomen
Grand omentum
Aponévrose du muscle transverse de l'abdomen
Péritoine pariétal
Aponévrose du muscle oblique externe
Fascia transversalis
Aponévrose du muscle oblique interne
Muscle transverse de l'abdomen
Mésentère de l'intestin grêle
Muscle oblique interne
Vaisseaux mésentériques supérieurs
Intestin grêle (iléum)
Muscle oblique externe
Nœud lymphatique
Intestin grêle (jéjunum)
Côlon ascendant
Côlon descendant
Sillon para-colique droit (gouttière)
Sillon para-colique gauche (gouttière)
Uretère gauche
Tendon d'origine du muscle transverse de l'abdomen
Muscle carré des lombes
Nerf ilio-inguinal
Muscle grand dorsal
Nerf ilio-hypogastrique
Vaisseaux testiculaires (ovariques)
Fusionnée / Antérieure / Postérieure } Lames du fascia thoraco-lombaire
Muscle petit psoas
Péritoine pariétal
Vaisseaux et branches coliques droites
Muscle grand psoas
Nerf génito-fémoral droit
Vaisseau mésentérique inférieur et 1er vaisseau sigmoïdien
Processus transverse de la vertèbre L4
Tronc sympathique gauche
Veine cave inférieure
Plexus lombaire gauche (rameaux ventraux des nerfs spinaux L2, L3)
Ligament longitudinal antérieur
Ligament jaune
Muscle érecteur du rachis
Aorte abdominale
Processus articulaire supérieur de la vertèbre L4
Processus épineux de la vertèbre L3
Disque intervertébral entre les vertèbres L3 et L4
Plexus intermésentérique (aortique)
Ligament supra-épineux

F. Netter M.D.

Paroi et viscères de l'abdomen : coupe sagittale médiane

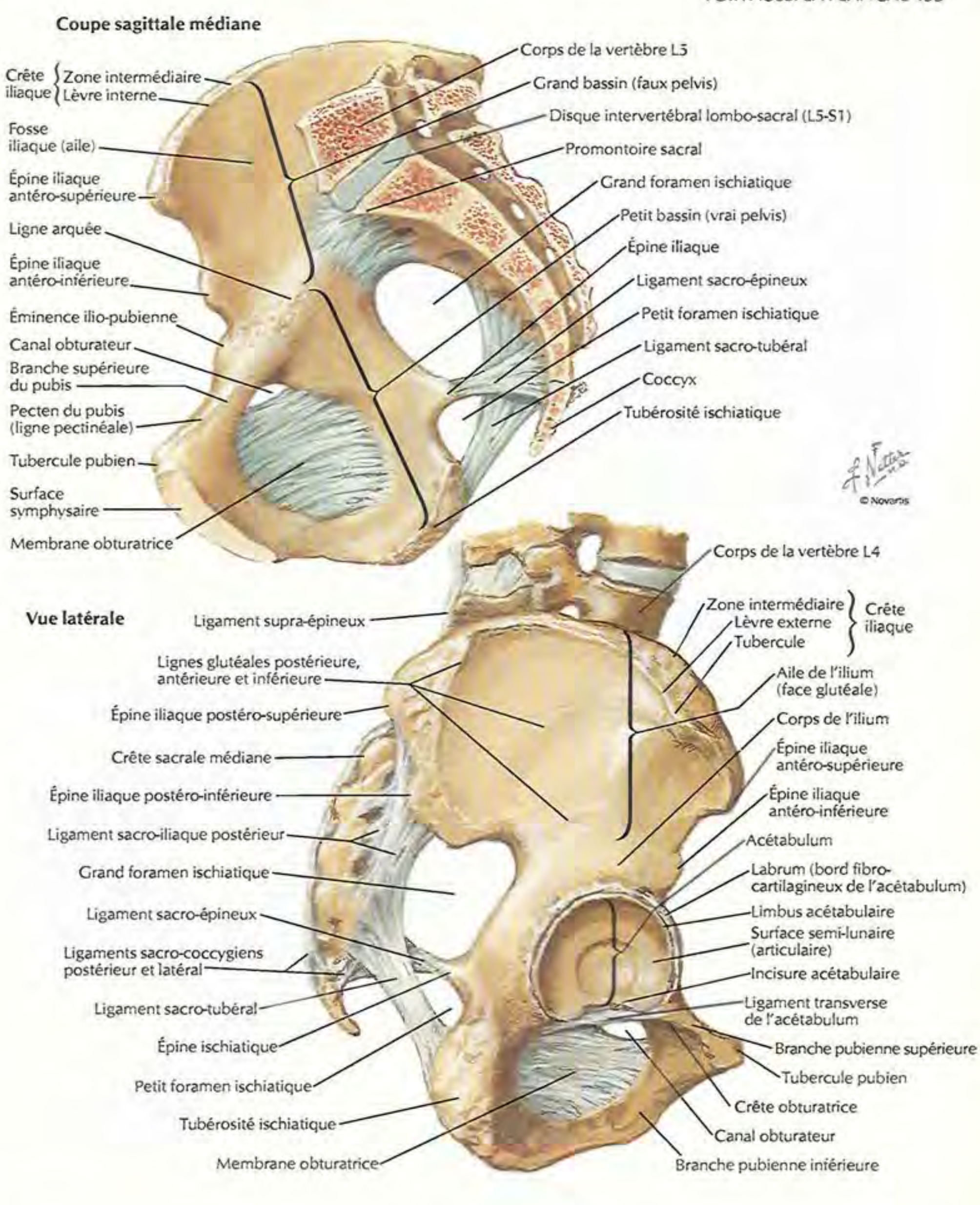
Sternum
Diaphragme (centre tendineux)
Fascia diaphragmatique inférieur et Péritoine pariétal
Foie
Petit omentum
Veine porte hépatique et artère hépatique propre dans le bord droit du petit omentum
Bourse omentale (petit sac péritonéal)
Estomac
Artère colique moyenne
Mésocôlon transverse
Péritoine pariétal (de la paroi abdominale antérieure)
Côlon transverse
Grand omentum
Intestin grêle
Muscle droit de l'abdomen
Gaine du muscle droit
Ligne arquée
Fascia transversalis
Fascia ombilical pré-vésical
Ligament ombilical médian (ouraque)
Couche graisseuse du tissu sous-cutané (fascia de Camper)
Couche membraneuse du tissu sous-cutané (fascia de Scarpa)
Vessie
Ligament fundiforme du pénis
Os pubien
Ligament suspenseur du pénis
Espace rétro-pubien (de Retzius)
Fascia profond du pénis (de Buck)
Fascia superficiel du pénis (dartos) et du scrotum
Tunique vaginale du testicule
Testicule
Membrane périnéale et glande bulbo-urétrale (de Cowper)
Muscle pubo-rectal (bord médial épaissi du muscle élévateur de l'anus gauche)
T10
T11
T12
L1
L2
L3
L4
L5
S1
S2
Ligament coronaire entourant l'aire nue du foie (area nuda)
Œsophage
Récessus supérieur de la bourse omentale (petit sac péritonéal)
Diaphragme (pilier droit)
Artère gastrique gauche
Foramen omental (épiploïque) (de Winslow)
Tronc cœliaque
Vaisseaux spléniques (liénaux)
Vaisseaux rénaux
Pancréas
Artère mésentérique supérieure
Partie horizontale (3e) du duodénum
Artère mésentérique inférieure
Aorte abdominale
Péritoine pariétal (de la paroi abdominale postérieure)
Mésentère de l'intestin grêle
Ligament longitudinal antérieur
Fascia vésical
Fascia rectal
Fascia pré-sacral
Cul-de-sac recto-vésical
Rectum
Fascia recto-prostatique (de Denonvilliers)
Muscle élévateur de l'anus
Prostate
Profond / Superficiel / Sous-cutané } Muscle sphincter externe de l'anus
Muscles transverses profond et superficiel du périnée
Muscle bulbo-spongieux
Fascia périnéal superficiel (de Colles)

F. Netter M.D.
C. Machado

Section V

PELVIS ET PÉRINÉE

VOIR AUSSI LA PLANCHE 453



VOIR AUSSI LA PLANCHE 145

Ligament ilio-lombaire
Crête iliaque
Ligament supra-épineux
Épine iliaque postéro-supérieure
Ligaments sacro-iliaques postérieurs
Tubercule de la crête iliaque
Foramens sacraux dorsaux (postérieurs)
Grand foramen ischiatique
Épine iliaque antéro-supérieure
Ligament sacro-épineux
Ligament sacro-tubéral
Petit foramen ischiatique
Bord acétabulaire
Tubérosité ischiatique
Tendon du long chef du muscle biceps fémoral
Profond
Superficiel
Ligaments sacro-coccygiens postérieurs
Ligament sacro-coccygien latéral
Crête iliaque

Vue postérieure

Ligament longitudinal antérieur
Ligament ilio-lombaire
Fosse iliaque
Crête iliaque
Lèvre externe
Zone intermédiaire
Tubercule
Lèvre interne
Ligament sacro-iliaque antérieur
Promontoire sacral
Grand foramen ischiatique
Épine iliaque antéro-supérieure
Ligament sacro-tubéral
Ligament sacro-épineux
Épine iliaque antéro-inférieure
Épine ischiatique
Ligne terminale
Ligne arquée
Petit foramen ischiatique
Ligne ilio-pectinée
Éminence ilio-pubienne
Branche supérieure du pubis
Pecten du pubis (ligne pectinéale)
Foramen obturé
Branche inférieure du pubis
Tubercule du pubis
Foramens sacraux pelviens (antérieurs)
Coccyx
Ligaments sacro-coccygiens antérieurs
Symphyse pubienne
© Novartis

Vue antérieure

Différences sexuelles du pelvis : mesures

VOIR AUSSI LA PLANCHE 231

Ouverture supérieure du pelvis féminin (détroit supérieur)

Articulation sacro-iliaque
Promontoire sacral
Conjugué (~ 11 cm)
Transverse (~ 13 cm)
Oblique (~ 12,5 cm)
Diamètres de l'ouverture supérieure du pelvis (détroit supérieur)
Épine ischiatique
Éminence ilio-pectinée
Symphyse pubienne
Tubérosité ischiatique

Ouverture supérieure du pelvis masculin (détroit supérieur)

Proportionnellement à la taille, toutes les dimensions masculines sont légèrement inférieures à celles de la femme.
L'ouverture supérieure est d'orientation antéro-postérieure plus marquée que chez la femme, où elle tend à être ovalaire transversalement.
La symphyse pubienne est plus haute.
L'arcade pubienne (angle sub-pubien) est plus étroite.
Les tubérosités ischiatiques sont moins écartées.
Les ailes iliaques sont moins évasées.

Diamètre transverse de l'ouverture inférieure du pelvis (~ 11 cm)
Symphyse pubienne
Tubérosité ischiatique
Épine ischiatique
Diamètre antéro-postérieur de l'ouverture inférieure du pelvis (varie de 9,5 à 11,5 cm à cause de la mobilité du coccyx)
Apex du coccyx

Ouverture inférieure du pelvis féminin (détroit inférieur)

Promontoire sacral
Plan de l'ouverture supérieure du pelvis
Diamètre conjugué de l'ouverture supérieure du pelvis (~ 11 cm)
Plan de l'ouverture inférieure du pelvis
Symphyse pubienne
Diamètre antéro-postérieur de l'ouverture inférieure du pelvis (9,5 cm à 11,5 cm)

Coupe sagittale chez la femme

Diaphragme pelvien féminin

VOIR AUSSI LES PLANCHES 246, 343, 345, 364

Vue postérieure

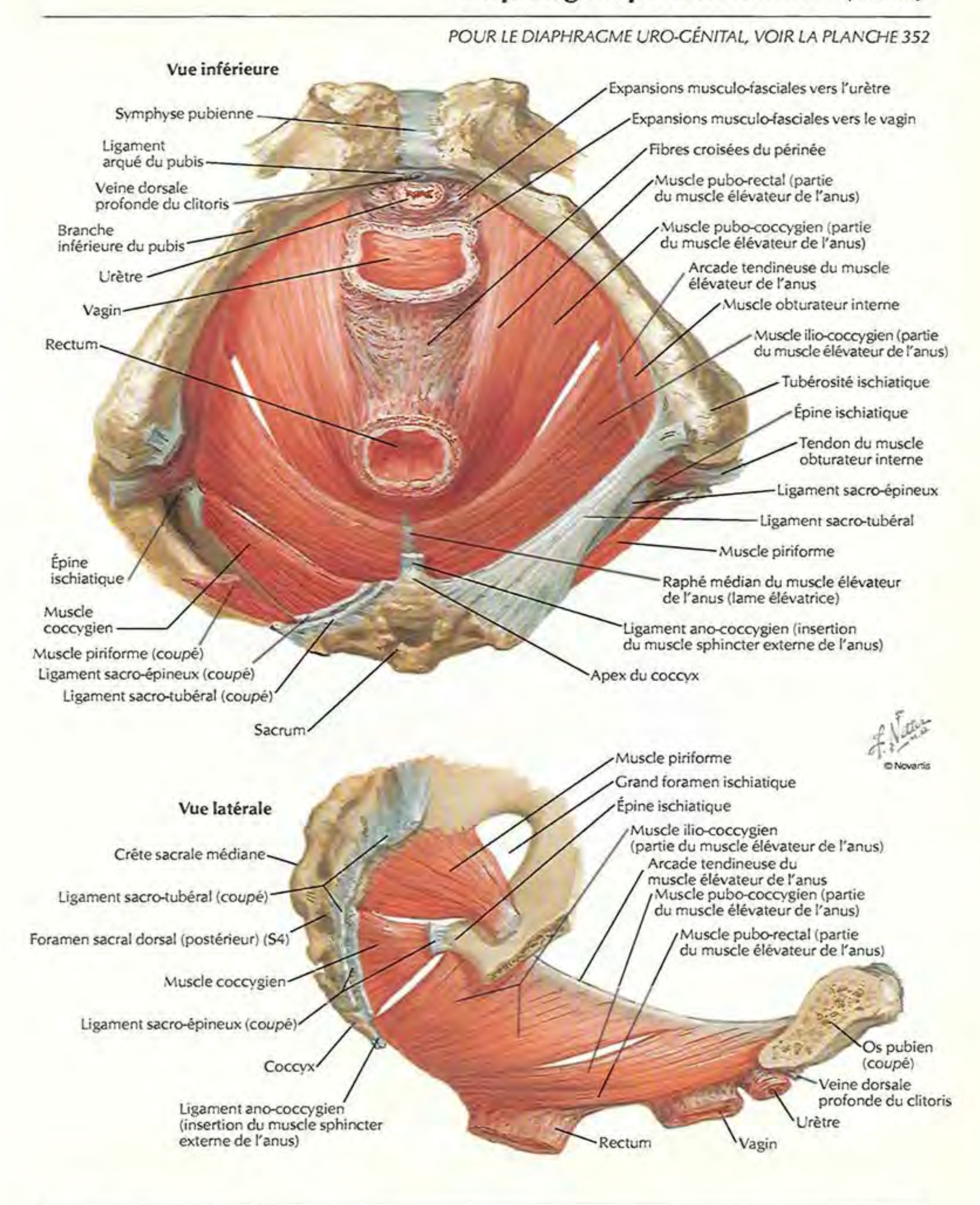
Symphyse pubienne
Ligament inguinal (de Poupart)
Ligament arqué du pubis
Veine dorsale profonde du clitoris
Ligament transverse du périnée
Fascia supérieur du diaphragme uro-génital
Urètre
Vagin
Canal obturateur
Fascia obturateur (recouvrant le muscle obturateur interne)
Muscles pubo-coccygien et pubo-rectal (parties du muscle élévateur de l'anus)
Arcade tendineuse du muscle élévateur de l'anus
Rectum
Muscle ilio-coccygien (partie du muscle élévateur de l'anus)
Épine ischiatique
Raphé médian (faisceau élévateur) du muscle élévateur de l'anus
Muscle coccygien
Muscle piriforme
Coccyx
Ligament sacro-coccygien antérieur
Promontoire sacral

Vue médiale

Ligne arquée de l'ilium
Fascia obturateur (coupé) et muscle obturateur interne
Arcade tendineuse du muscle élévateur de l'anus
Canal obturateur
Muscle ilio-coccygien (partie du muscle élévateur de l'anus)
Rectum
Urètre
Muscle pubo-coccygien (partie du muscle élévateur de l'anus)
Vagin
Muscle sphincter de l'urètre
Muscle pubo-rectal gauche et membrane périnéale
Muscle compresseur de l'urètre et sphincter urétro-vaginal (parties du muscle sphincter de l'urètre)
Muscle piriforme
Épine ischiatique
Muscle coccygien
Muscle élévateur gauche de l'anus (coupé)
Muscle sphincter externe de l'anus
Muscles transverses superficiel et profond du périnée

Diaphragme pelvien féminin (suite)

POUR LE DIAPHRAGME URO-GÉNITAL, VOIR LA PLANCHE 352



Diaphragme pelvien masculin

VOIR AUSSI LES PLANCHES 246, 343, 364

Vue supérieure (éviscéré)

Symphyse pubienne
Crête pubienne
Tubercule pubien
Pecten du pubis (partie pubienne de la ligne ilio-pectinéale)
Branche supérieure du pubis
Canal obturateur
Fascia obturateur
Éminence ilio-pubienne
Limbus de l'acétabulum
Épine iliaque antérieure et inférieure
Aile de l'ilium
Ligne arquée (partie iliaque de la ligne ilio-pectinéale)
Épine ischiatique
Articulation sacro-iliaque
Sacrum
Canal sacral
Hiatus ano-rectal
Ligament arqué du pubis
Hiatus de la veine dorsale profonde du pénis
Ligament transverse du périnée (épaississement antérieur du
Fascia inférieur du diaphragme uro-génital (membrane périnéale)
Hiatus de l'urètre
Fibres musculaires de l'élévateur de l'anus rejoignant le muscle longitudinal du canal anal
Recto-pubien, Pubo-coccygien, Ilio-coccygien } Muscle élévateur de l'anus
Arcade tendineuse du muscle élévateur de l'anus
Muscle obturateur interne
Épine ischiatique
Muscle coccygien
Muscle piriforme
Foramens sacraux pelviens (antérieurs)
Ligament sacro-coccygien antérieur

© Novartis

Diaphragme pelvien masculin (suite)

POUR LE DIAPHRAGME URO-GÉNITAL, VOIR LA PLANCHE 357

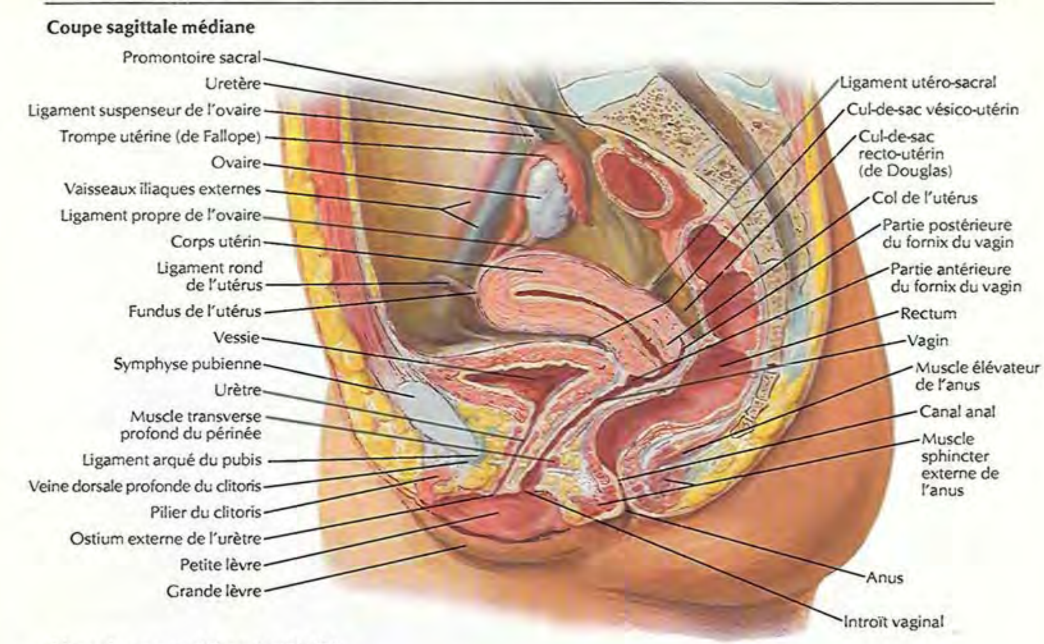
Vue inférieure

Veines dorsales profondes du pénis
Graisse de l'espace rétropubien (prévésical)
Muscle sphincter de l'urètre remontant sur la face antérieure de la prostate
Urètre
Fascia recto-prostatique (de Denonvilliers)
Bord médial du muscle élévateur de l'anus
Fascia inférieur du diaphragme uro-génital (membrane périnéale) (*réséqué*)
Branche ischio-pubienne
Symphyse pubienne
Ligament arqué du pubis
Expansions fibro-musculaires du muscle élévateur de l'anus vers la prostate
Tubercule pubien
Muscle recto-urétral supérieur
Fibres prérectales (de Luschka) du muscle élévateur de l'anus
Fibres musculaires de l'élévateur de l'anus rejoignant le muscle longitudinal du canal anal
Tendon du muscle obturateur interne
Tubérosité ischiatique
Ligament sacro-tubéral (*coupé*)
Ligament sacro-épineux (*coupé*)
Muscle obturateur interne
Muscle coccygien
Ligament sacro-épineux (*coupé*)
Ligament sacro-tubéral (*coupé*)
Apex du coccyx
Muscle grand fessier
Muscle obturateur interne
Arcade tendineuse du muscle élévateur de l'anus
Ilio-coccygien, Pubo-coccygien, Pubo-rectal } Muscle élévateur de l'anus
Couche musculaire circulaire, Muscle longitudinal conjoint } de la jonction ano-rectale

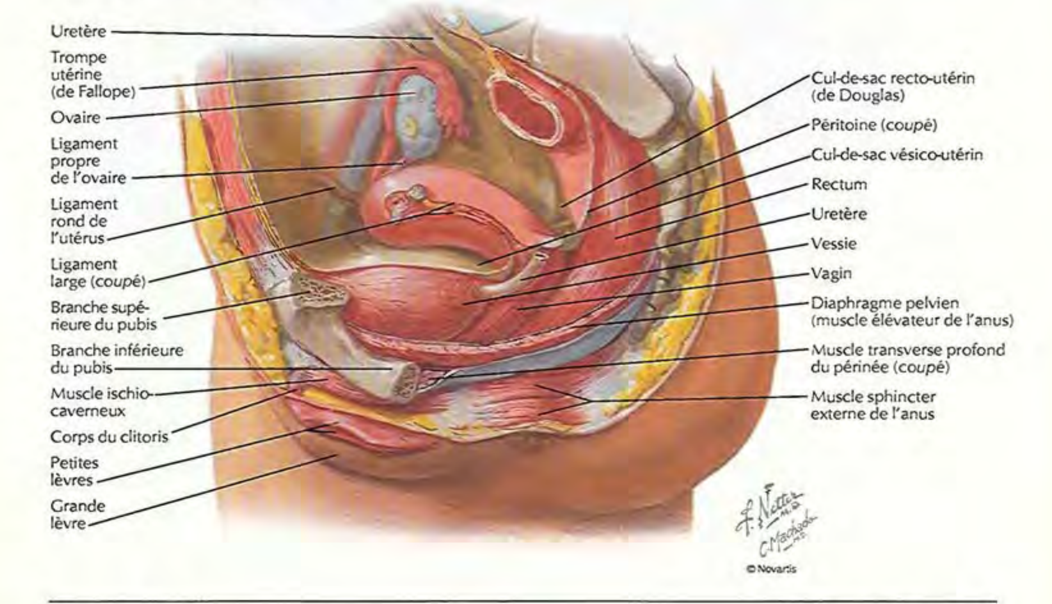
F. Netter M.D.
C. Machado M.D.
© Novartis

Viscères pelviens et périnée féminins

Coupe sagittale médiane



Dissection paramédiane (sagittale)



Dissection paramédiane (sagittale)

Coupe sagittale médiane

Vue supérieure

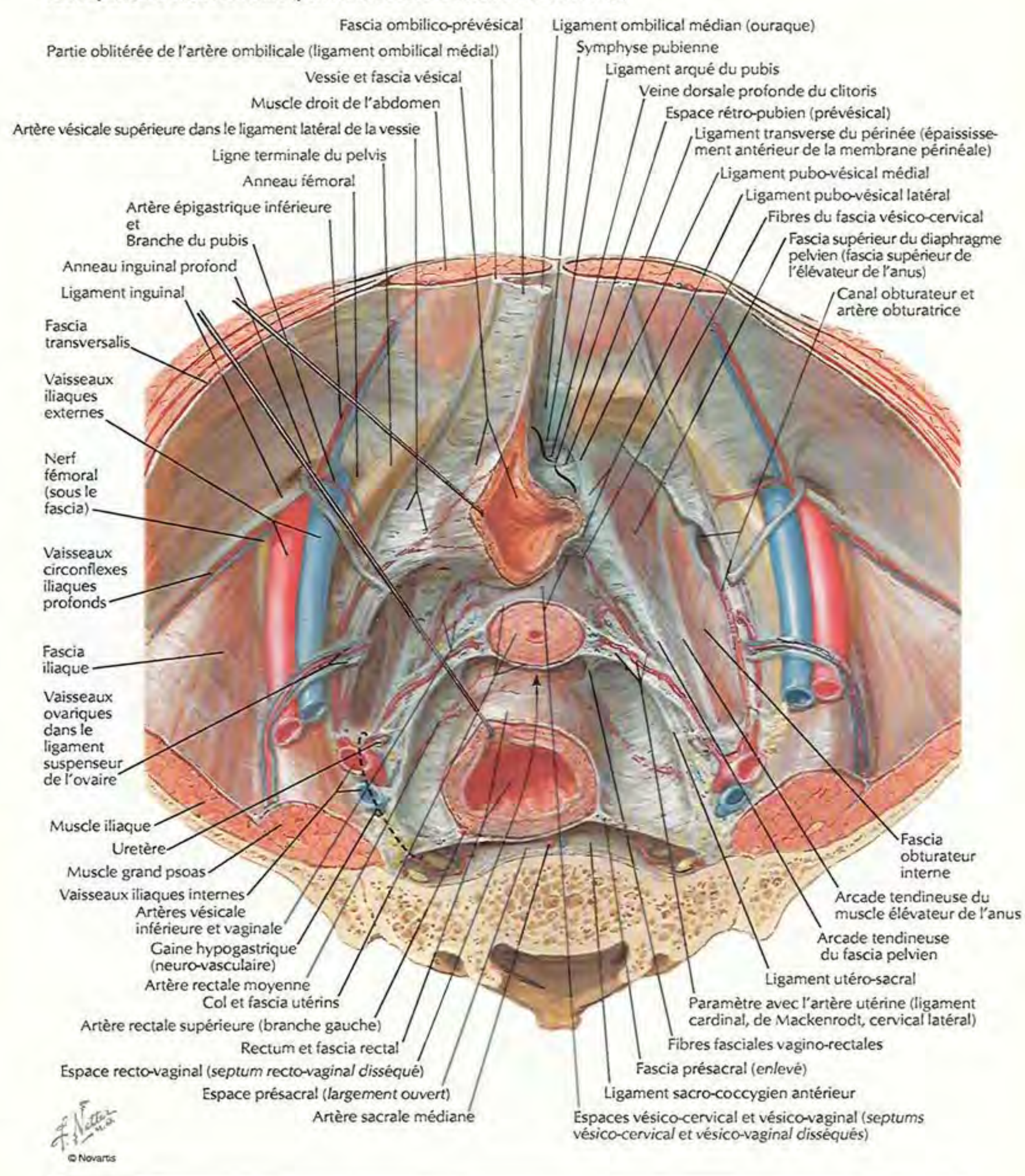
Contenu du pelvis masculin

Vue supérieure

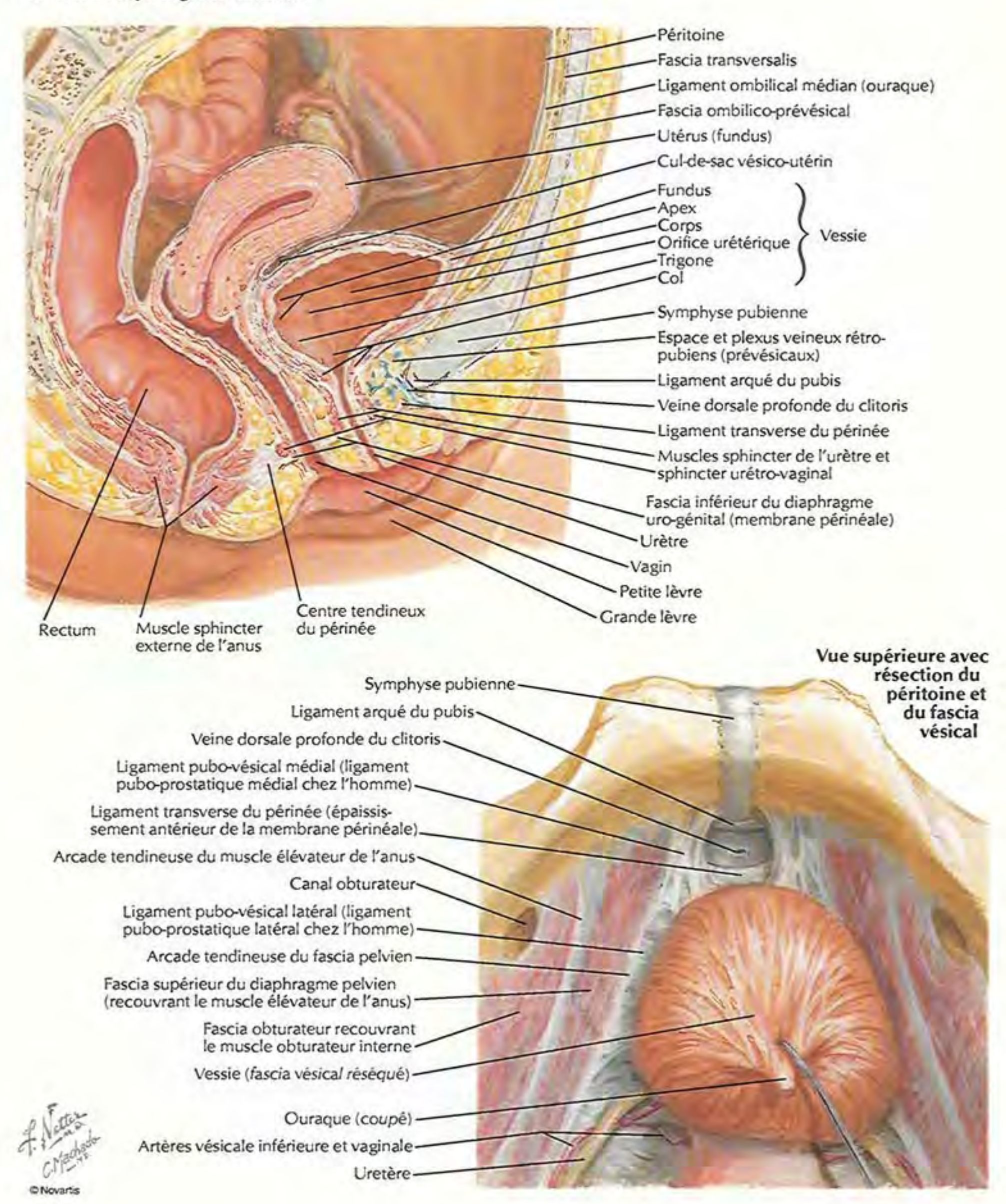
Rectum
Ligne blanche
Vessie et pli vésical transverse
Vésicule séminale (rétro-péritonéale)
Ligament (ouraque) et pli ombilicaux médians
Pli et ligament ombilicaux médiaux (artère ombilicale oblitérée)
Conduit déférent (dans son pli péritonéal)
Muscle droit de l'abdomen
Ligne terminale du pelvis
Cul-de-sac recto-vésical
Anneau fémoral
Vaisseaux épigastriques inférieurs et pli ombilical latéral
Branche pubienne de l'artère épigastrique inférieure (anastomotique avec l'obturatrice)
Pli sacro-génital (vésico-sacral)
Anneau inguinal profond
Fosse para-rectale
Vaisseaux iliaques externes
Pli urétérique
Vaisseaux testiculaires (dans le pli péritonéal)
Appendice vermiforme
Ligament inguinal (pré-péritonéal)
Fosse iliaque (faux pelvis)
Caecum
Fascia transversalis
Péritoine pariétal
Plis caecaux
Sillon para-colique gauche (gouttière)
Côlon sigmoïde
Muscle carré des lombes
Muscles petit et grand psoas
Vaisseaux testiculaires
Veine cave inférieure
Sillon para-colique droit (gouttière)
Côlon ascendant
Côlon descendant
Transverse de l'abdomen
Oblique interne
Oblique externe
Muscles de l'abdomen
Tronc sympathique
Ligament longitudinal antérieur
Corps de la vertèbre L3
Promontoire sacral
Aorte abdominale
Plexus hypogastrique supérieur
Iléon terminal
Uretère
Racine du mésentère

Fascia endopelvien et espaces potentiels

Vue supérieure chez la femme (péritoine et tissu aréolaire lâche enlevés)



Femme : coupe sagittale médiane



VOIR AUSSI LES PLANCHES 321, 337, 338, 342, 371, 373, 374, 388

Coupe frontale chez la femme

Péritoine
Corps de la vessie
Fundus vésical
Pli interurétérique
Ostium de l'uretère gauche
Trigone vésical
Col de la vessie
Espace paravésical (fascia endopelvien paravésical) et plexus veineux vésical
Fascia vésical
Arcade tendineuse du muscle élévateur de l'anus
Muscle obturateur interne
Muscle élévateur de l'anus
Uvule vésicale
Arcade tendineuse du fascia pelvien
Ligament pubo-vésical latéral
Urètre
Muscle sphincter de l'urètre
Fascia inférieur du diaphragme uro-génital (membrane périnéale)
Branche inférieure du pubis
Pilier du clitoris et muscle ischio-caverneux
Bulbe du vestibule et muscle bulbo-spongieux
Lame profonde du fascia superficiel du périnée (fascia de recouvrement de Gallaudet)
Lame superficielle du fascia superficiel du périnée (fascia de Colles)
Terminaison du ligament rond de l'utérus
Vagin

Coupe frontale chez l'homme

Péritoine
Corps de la vessie
Fundus vésical
Conduit déférent
Pli interurétérique
Ostium de l'uretère droit
Trigone vésical
Col vésical
Espace paravésical (fascia endopelvien paravésical) et plexus veineux vésical
Arcade tendineuse du muscle élévateur de l'anus
Uvule vésicale
Muscle obturateur interne
Muscle élévateur de l'anus
Capsule prostatique
Ligament pubo-prostatique latéral
Prostate et urètre prostatique
Colliculus séminal
Arcade tendineuse du fascia pelvien
Glandes bulbo-urétrales (de Cowper)
Membrane périnéale et muscle sphincter de l'urètre
Partie bulbaire de l'urètre spongieux
Corps spongieux et muscle bulbo-spongieux
Lame profonde du fascia superficiel du périnée (fascia de recouvrement de Gallaudet)
Récessus antérieur de la fosse ischio-rectale
Branche inférieure du pubis
Pilier du pénis et muscle ischio-caverneux
Lame superficielle du fascia superficiel du périnée (fascia de Colles)

F. Netter
C. Machado
© Novartis

Vue supérieure avec le péritoine intact

Pli ombilical médian (ouraque)
Cul-de-sac vésico-utérin
Vessie
Fundus utérin
Fosse para-vésicale
Anneau inguinal profond
Ligament rond de l'utérus
Corps utérin
Ligament large
Ligament propre de l'ovaire
Mésosalpinx (du ligament large)
Col de l'utérus
Ovaire
Cul-de-sac recto-utérin (de Douglas)
Pli recto-utérin
Trompe utérine (de Fallope)
Vaisseaux iliaques externes
Fosse para-rectale
Ligament suspenseur de l'ovaire (contient les vaisseaux ovariques)
Pli urétérique
Côlon sigmoïde
Promontoire sacral
Vaisseaux sacraux moyens
Aorte abdominale

Vessie
Fascia vésical (*bord coupé*)
Fascia obturateur
Canal obturateur
Artère obturatrice
Fascia supérieur du diaphragme pelvien
Col de l'utérus et fascia utéro-vaginal
Vaisseaux utérins
Paracervix (ligament cervical transverse ou de Mackenrodt)
Espaces recto-cervical et recto-vaginal (*septum recto-vaginal disséqué*)
Fascia rectal (*bord coupé*)
Ligament utéro-sacral
Vaisseaux iliaques externes
Uretère
Promontoire sacral

F. Netter M.D.
© Novartis

Vue supérieure avec résection du péritoine et de l'utérus

VOIR AUSSI LES PLANCHES 371, 373, 375, 377, 383, 385, 386

Plan de la coupe
Angle de vue
Mésovarium
Ovaire
Ligament large
Trompe utérine (de Fallope)
Bord coupé du péritoine (formant le plancher de la fosse paravésicale)
Ligament rond de l'utérus
Ligament suspenseur de l'ovaire
Ligament propre de l'ovaire
Utérus (*relevé*)
Artère et veine iliaques internes
Ligne terminale (bord du détroit supérieur)
Col de l'utérus
Vaisseaux utérins
Membrane obturatrice
Paramètre (ligament cervical transverse ou de Mackenrodt)
Fascia obturateur
Arcade tendineuse du muscle élévateur de l'anus
Muscle obturateur interne
Artère vaginale (dans le paracervix)
Muscle élévateur de l'anus (muscles pubo-coccygien et ilio-coccygien)
Uretère
Fascia utéro-vaginal
Branche inférieure du pubis
Récessus antérieur de la fosse ischio-rectale
Muscle compresseur de l'urètre
Pilier du clitoris
Muscle ischio-caverneux
Fascia inférieur du diaphragme uro-génital (membrane périnéale)
Fascia lata de la cuisse
Artère du bulbe vestibulaire
Espace superficiel du périnée
Muscle sphincter urétro-vaginal
Artère périnéale
Terminaison du ligament rond de l'utérus
Lame superficielle du fascia superficiel du périnée (fascia de Colles)
Grande lèvre
Lame profonde du fascia superficiel du périnée (fascia de recouvrement de Gallaudet)
Petite lèvre
Bulbe vestibulaire
Vestibule
Paroi du vagin
Vagin
Caroncule hyménéale

F. Netter M.D.
C. Machado
© Novartis

Vue postérieure

Ligament suspenseur de l'ovaire (contient les vaisseaux ovariques)
Mésosalpinx (du ligament large)
Époophoron
Ligament propre de l'ovaire
Fundus utérin
Appendice vésiculaire (hydatide de Morgagni)
Trompe utérine (de Fallope)
Isthme
Ampoule
Infundibulum
Franges
Ostium abdominal de la trompe
Corps jaune
Ovaire
Corps de l'utérus
Mésomètre (du ligament large)
Uretère
Ligament utéro-sacral
Cul-de-sac recto-utérin (de Douglas)
Ligament suspenseur de l'ovaire
Ovaire
Mésovarium (du ligament large)
Ligament propre de l'ovaire

Coupe frontale

Trompe utérine (de Fallope)
Ampoule
Fundus utérin
Ostium utérin de la trompe
Corps de l'utérus
Partie utérine
Isthme
Infundibulum
Plis de la trompe utérine
Franges
Ligament propre de l'ovaire
Ligament suspenseur de l'ovaire (contient les vaisseaux ovariques)
Appendice vésiculaire (hydatide de Morgagni)
Époophoron
Isthme utérin
Orifice interne du col de l'utérus
Endomètre
Myomètre
Mésomètre (du ligament large)
Vaisseaux utérins
Col de l'utérus
Paramètre (ligament cervical transverse ou de Mackenrodt)
Follicule (de Graaf)
Corps blanc
Corps jaune
de l'ovaire
Canal cervical avec les plis palmés
Fornix du vagin
Orifice externe du col de l'utérus
Vagin

F. Netter M.D.
© Novartis

Nouveau-né
4 ans
Puberté
Adulte (nullipare)
Adulte (primi- ou multipare)
Adulte (post-ménopausée)

F. Netter M.D.
© Novartis

Musculeuse de l'utérus : schéma

Ligament propre de l'ovaire
Trompe utérine (de Fallope)
Ligament rond de l'utérus
Ligament utéro-sacral
Paramètre et paracervix (ligament cardinal, ligament cervical transverse ou de Mackenrodt)
Paroi du vagin
Fibres spiralées passant profondément dans la paroi et s'entrecroisant (schéma)

Utérus : variations de position

Degrés de rétroversion

Contour rectal altéré dans le 3e degré

3e degré

2e degré

1er degré

Normal

Normal

Normal

Rétroflexion

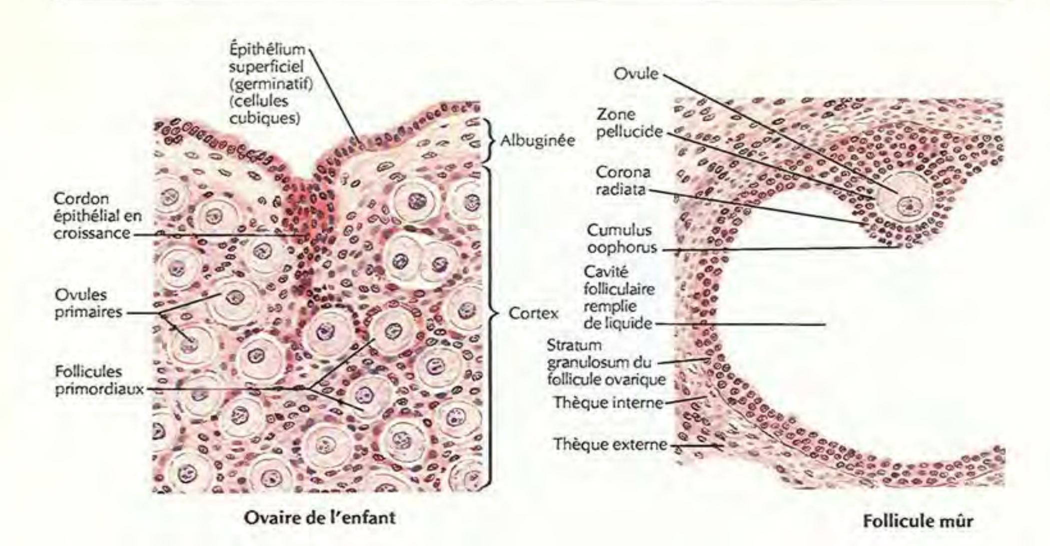
Rétroposition

Normal

Antéflexion (normale et accusée)

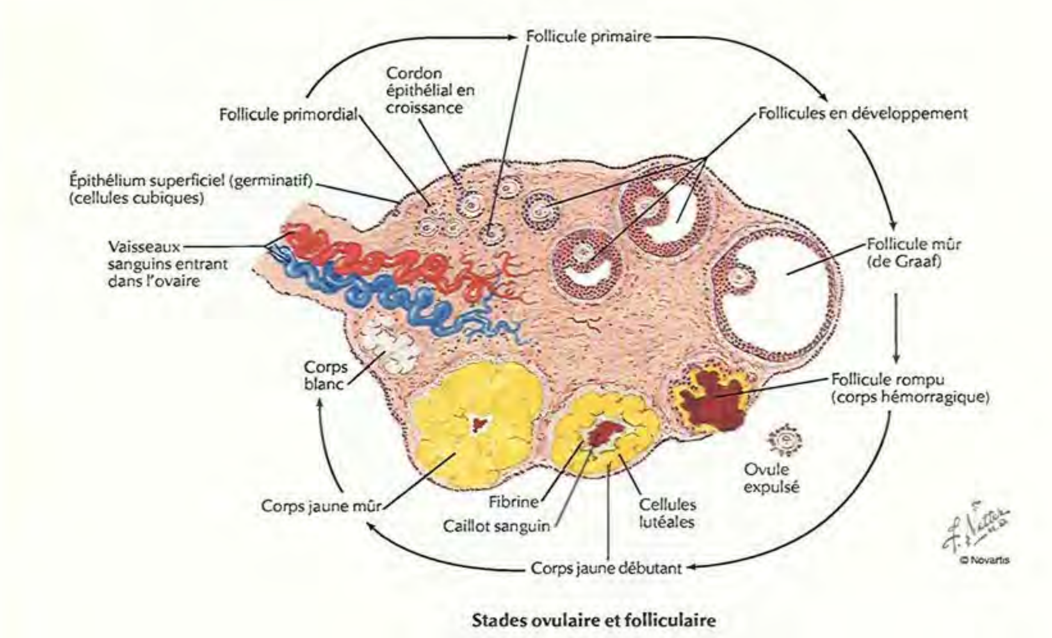
© Novartis

Ovaire, ovules et follicules



Ovaire de l'enfant

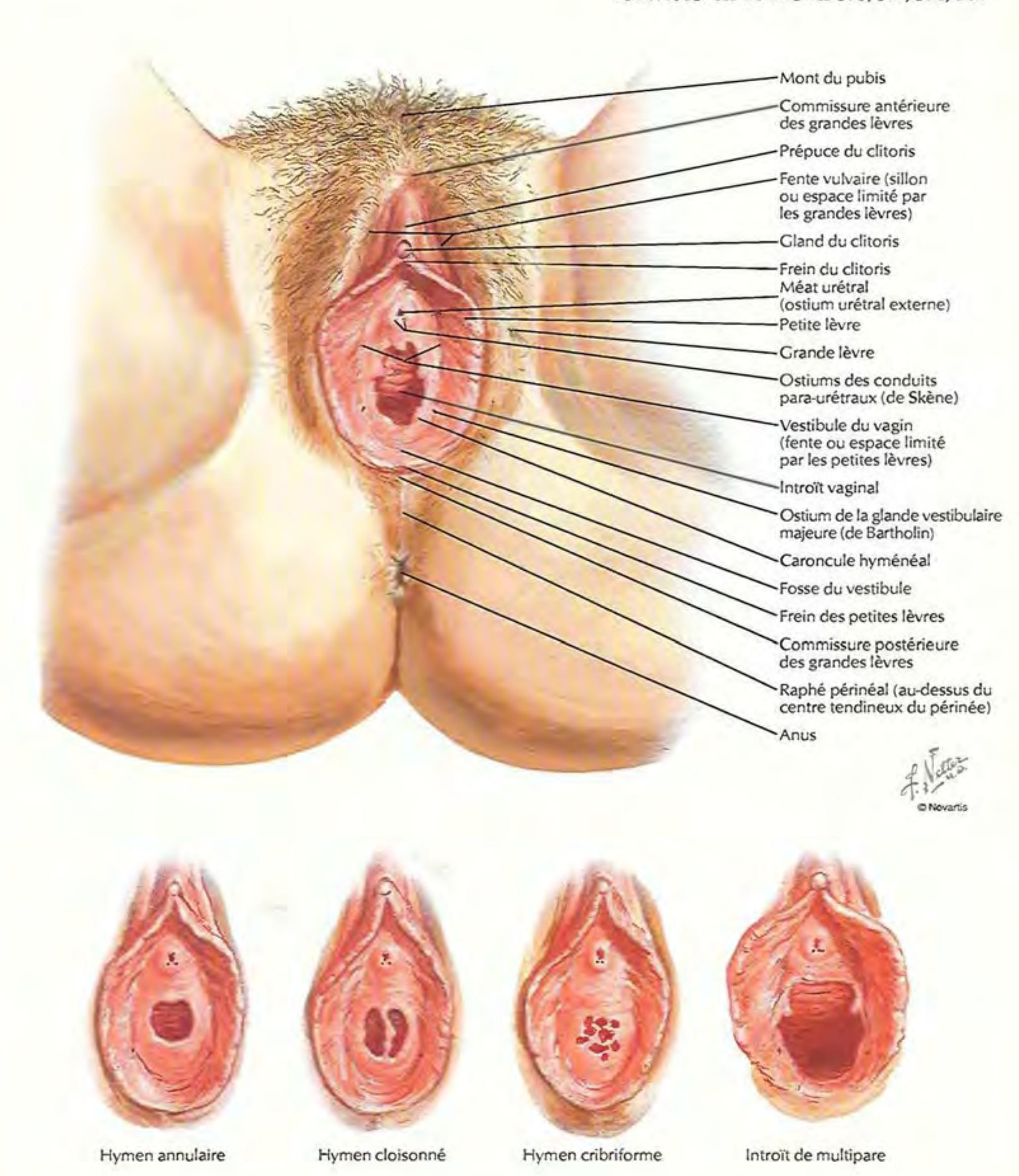
Follicule mûr



Stades ovulaire et folliculaire

Périnée et organes génitaux externes féminins (vulve ou pudendum)

VOIR AUSSI LES PLANCHES 375, 377, 378, 384



Périnée (dissection superficielle)

Toile sous-cutanée abdominale (fascia de Camper)
Lame membraneuse profonde (de Scarpa)
Tissu sous-cutané
Gaine du muscle droit (lame antérieure)
Aponévrose du muscle oblique externe
Anneau inguinal superficiel
Épine iliaque antéro-supérieure
Ligament rond de l'utérus et ses enveloppes (*coupés*)
Ligament inguinal (de Poupart)
Tubercule pubien
Symphyse pubienne
Hiatus saphène
Ligament suspenseur du clitoris
Fascia lata
Branche ischio-pubienne
Fascia superficiel du périnée (de Colles) réséqué pour ouvrir l'espace superficiel du périnée
Muscle ischio-caverneux
Muscle bulbo-spongieux (recouvre le bulbe du vestibule)
Fascia inférieur du diaphragme uro-génital (membrane périnéale)
Lame profonde du fascia superficiel du périnée (fascia de recouvrement de Gallaudet) (*partiellement réséqué*)
Muscle transverse superficiel du périnée
Tubérosité ischiatique
Lame superficielle du fascia superficiel du périnée (fascia de Colles) (*bord coupé et récliné*)
Corps adipeux de la fosse ischio-rectale
Fascia superficiel du périnée (de Colles)
Ligament rond de l'utérus et ses couches fasciales

Péritoine
Ouraque
Fascia transversalis
Muscle droit de l'abdomen
Fascia vésical
Fascia utéro-vaginal
Fascia rectal
Utérus
Vessie
Urètre
Vagin
Rectum
Tissu sous-cutané { Adipeux
Membraneux
Gaine du muscle droit (lame antérieure)
Symphyse pubienne
Ligament arqué du pubis
Ligament transverse du périnée
Ligament suspenseur du clitoris
Muscles sphincter de l'urètre et sphincter urétro-vaginal
Fascia inférieur du diaphragme uro-génital (membrane périnéale)
Espace superficiel du périnée
Fascia superficiel du périnée (de Colles)
Centre tendineux du périnée
Fascia supérieur du diaphragme pelvien
Fascia inférieur du diaphragme pelvien
Muscle élévateur de l'anus
Ligament ano-coccygien
Muscle sphincter externe de l'anus

© Novartis

Périnée et diaphragme uro-génital

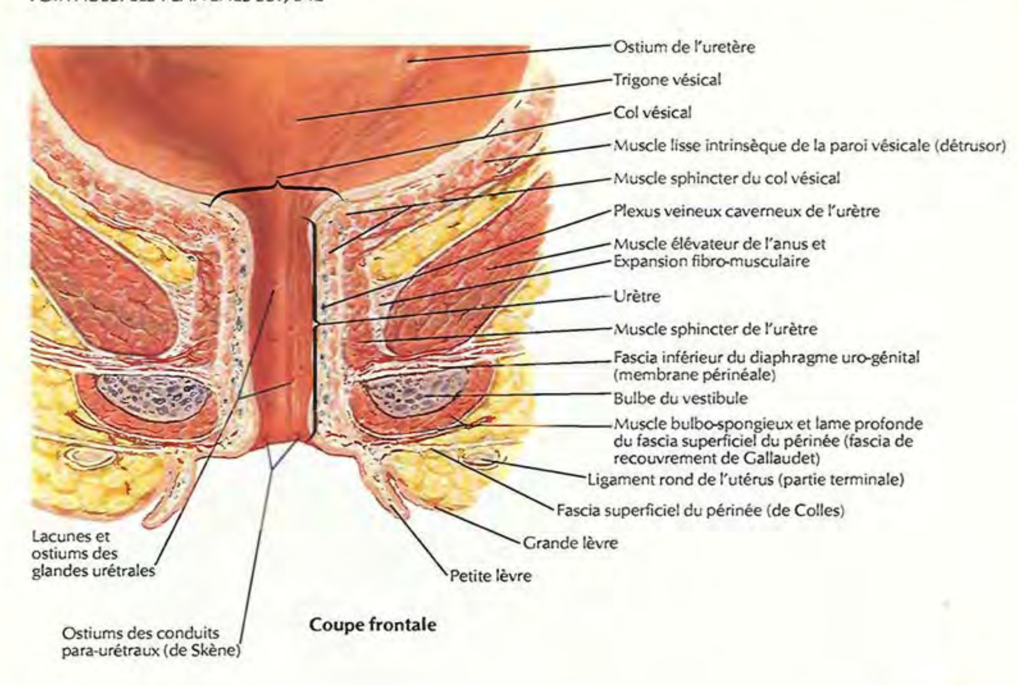
Muscle bulbo-spongieux avec la lame profonde du fascia superficiel du périnée (fascia de recouvrement de Gallaudet) ôtée partiellement
Espace superficiel du périnée
Branche ischio-pubienne avec le bord de section du fascia superficiel du périnée (de Colles)
Fascia inférieur du diaphragme uro-génital (membrane périnéale)
Tubérosité ischiatique
Ligament sacro-tubéral
Muscle grand fessier
Fosse ischio-rectale
Clitoris
Ligament suspenseur du clitoris
Muscle ischio-caverneux
Bulbe du vestibule
Fascia inférieur du diaphragme uro-génital (membrane périnéale)
Glande vestibulaire majeure (de Bartholin)
Muscle bulbo-spongieux (*réséqué*)
Muscle transverse superficiel du périnée
Centre tendineux du périnée
Coccyx
Fascia obturateur interne
Arcade tendineuse du muscle élévateur de l'anus
Fascia inférieur du diaphragme pelvien (*coupé*)
Muscle élévateur de l'anus
Muscle sphincter externe de l'anus
Ligament ano-coccygien

Pilier du clitoris
Rameau ischio-pubien
Bulbe du vestibule
Urètre
Muscle sphincter de l'urètre
Fascia inférieur du diaphragme uro-génital (membrane périnéale) (*coupé et récliné*)
Muscle compresseur de l'urètre
Muscle urétro-vaginal
Vagin
Muscle transverse profond du périnée
Glande vestibulaire majeure (de Bartholin)
Fascia inférieur du diaphragme uro-génital (membrane périnéale)

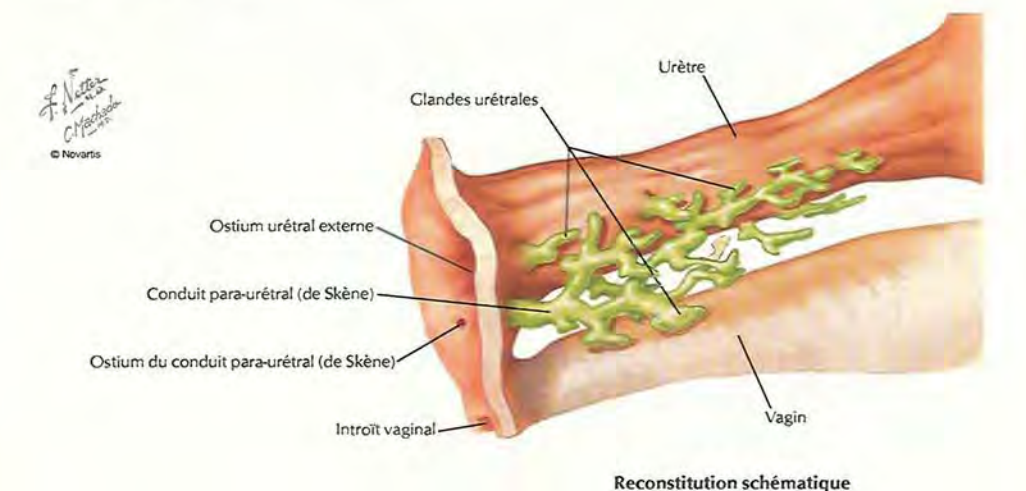
F. Netter M.D.
C. Machado

Urètre

VOIR AUSSI LES PLANCHES 337, 342



Coupe frontale



Reconstitution schématique

Périnée et organes génitaux externes (dissection superficielle)

Régions (triangles) du périnée : topographie de surface

Périnée et organes génitaux externes (dissection profonde)

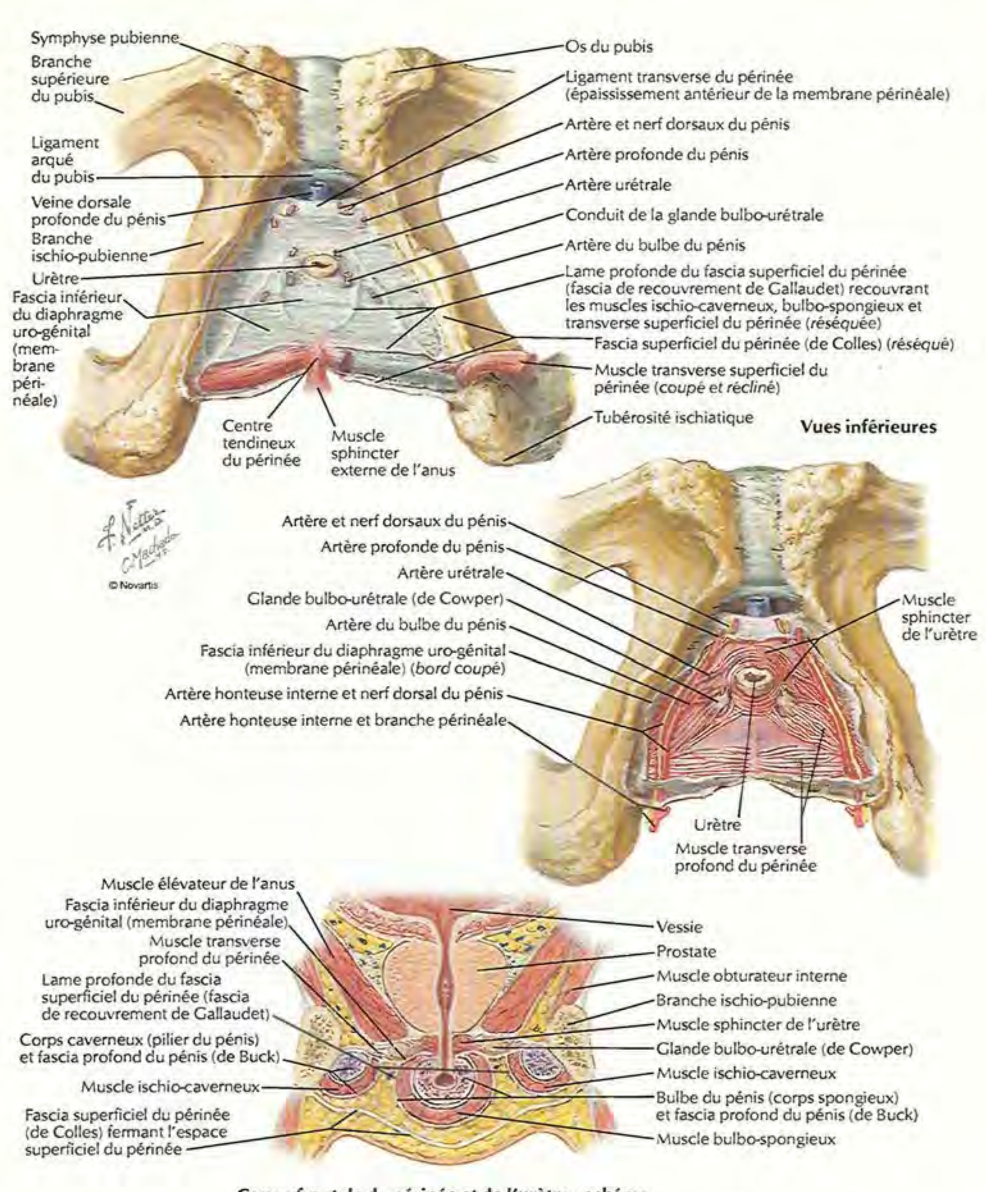
VOIR AUSSI LES PLANCHES 374, 376, 379, 380, 381, 382, 387

Coupe transversale du corps du pénis

Ostium externe de l'urètre (méat urétral)
Gland du pénis
Couronne du gland
Col du gland
Frein
Ostium d'une glande préputiale (de Tyson)
Peau
Fascia superficiel du pénis (dartos)
Fascia profond du pénis (de Buck)
Fascia spermatique externe recouvrant le cordon spermatique (*coupé*)
Fascia superficiel du périnée (de Colles) (*réséqué pour montrer l'espace superficiel du périnée*)
Branche ischio-pubienne
Lame profonde du fascia superficiel du périnée (fascia de recouvrement de Gallaudet) (*réséqué*) recouvrant les muscles de l'espace superficiel du périnée
Muscle ischio-caverneux (*réséqué*)
Muscle transverse superficiel du périnée
Anus
Tubérosité ischiatique
Muscle grand fessier
Muscle élévateur de l'anus et son fascia inférieur recouvrant la fosse ischio-rectale
Muscle sphincter externe de l'anus
Apex du coccyx
Centre tendineux du périnée
Fascia inférieur du diaphragme uro-génital (membrane périnéale)

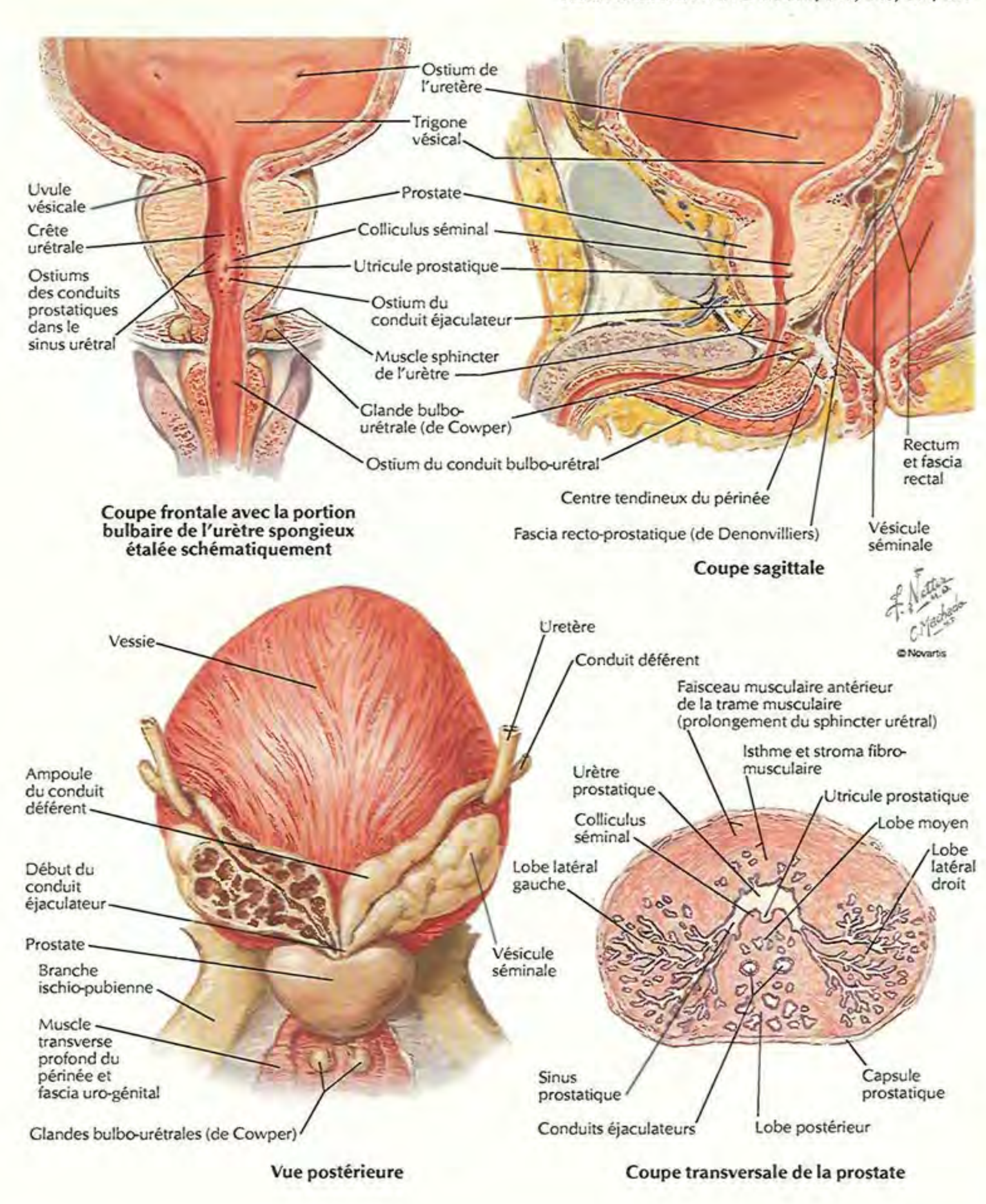
Gland du pénis
Corps caverneux du pénis
Septum intercaverneux du fascia profond (de Buck)
Corps spongieux
Tubercule du pubis
Branche supérieure du pubis
Branche ischio-pubienne
Bulbe du pénis
Pilier du pénis
Fascia inférieur du diaphragme uro-génital (membrane périnéale)
Tubérosité ischiatique
Centre tendineux du périnée
Muscle sphincter externe de l'urètre

© Novartis



Coupe frontale du périnée et de l'urètre : schéma

VOIR AUSSI LES PLANCHES 338, 340, 343, 374, 381



Coupe frontale avec la portion bulbaire de l'urètre spongieux étalée schématiquement

Coupe sagittale

Vue postérieure

Coupe transversale de la prostate

Trigone vésical
Uvule vésicale
Prostate
Sinus prostatiques
Crête urétrale
Utricule prostatique
Ostiums des conduits prostatiques
Urètre prostatique
Partie membranacée de l'urètre
Muscle sphincter de l'urètre
Ostiums des conduits éjaculateurs
Bulbe du pénis
Pilier du pénis
Glande bulbo-urétrale (de Cowper)
Partie bulbaire
Ostiums des conduits bulbo-urétraux
Corps caverneux
Albuginée
Corps spongieux
Albuginée
Urètre spongieux
Artère profonde du pénis
Septum intercaverneux du fascia profond (de Buck)
Partie libre (pé-nienne)
Lacunes urétrales (de Morgagni) et glandes urétrales (de Littré)
Grande lacune (inconstante)
Fosse naviculaire
Gland du pénis
Ostium externe de l'urètre (méat urétral)
© Novartis

Plafond de l'urètre

Plancher de l'urètre

Glande surrénale
Ligament diaphragmatique (suspenseur)
Gonades
Conduit mésonéphrique (canal de Wolff)
Gubernaculum
Vessie

8 semaines
(22,5 mm crânio-caudal)

Glande surrénale
Rein
Ligament diaphragmatique (suspenseur) (atrophié)
Testicules
Épididyme
Gubernaculum
Anneau inguinal profond
Vessie

11 semaines
(43 mm crânio-caudal)

Testicule
Épididyme
Gubernaculum
Anneau inguinal profond

4 mois lunaires
(107 mm crânio-caudal)

Anneau inguinal superficiel
Conduit déférent
Scrotum (*ouvert et coupé*)
Épididyme
Testicule
Gubernaculum
Cavité de la tunique vaginale du testicule (*ouverte*)

8 mois lunaires
(26 cm crânio-caudal)

Anneau inguinal superficiel
Fascia spermatique externe
Muscle crémaster et fascia crémastérique
Septum scrotal (formé par le fascia superficiel du scrotum)
Fascia superficiel du scrotum (dartos)
Peau du scrotum
Peau du pénis
Fascia superficiel du pénis (dartos)
Fascia profond du pénis (de Buck)
Artère testiculaire
Conduit déférent
Artère du conduit déférent
Rameau génital du nerf génito-fémoral
Plexus veineux pampiniforme
Épididyme
Appendice épididymaire
Appendice du testicule
Testicule (recouvert de la lame viscérale de la vaginale)
Lame pariétale de la vaginale du testicule

Fascia superficiel du scrotum (dartos)
Fascia spermatique externe
Muscle crémaster et fascia crémastérique
Fascia spermatique interne
Lame pariétale de la vaginale
Épididyme
Testicule (recouvert de la lame viscérale de la vaginale)
Peau du scrotum

Testicule, épididyme et conduit déférent

Ductules efférents
Ductule aberrant (vestige d'un tubule mésonéphrique)
Rété testis (dans le médiastinum testis)
Septums
Albuginée
Lobules
Conduit déférent
Épididyme
Tête
Corps
Queue

Coupe frontale

Conduit épididymaire
Ductule aberrant
Conduit déférent
Ductules efférents
Conduit épididymaire
Rété testis (dans le médiastinum testis)
Tubule aberrant
Tubules séminifères

Schéma

© Novartis

Peau du scrotum
Fascia superficiel (dartos)
Fascia spermatique externe
Muscle crémaster et fascia crémastérique
Fascia spermatique interne
Lame pariétale de la vaginale du testicule
Lame viscérale de la vaginale du testicule
Albuginée du testicule
Sinus épididymaire
Épididyme
Lobules du testicule
Septum scrotal (dartos)
Septums
Rété testis (dans le médiastinum testis)
Conduit déférent

Coupe transversale du scrotum et du testicule

Rectum in situ : homme et femme

Homme

Côlon sigmoïde
Mésocôlon sigmoïde
Articulation recto-sigmoïdienne
Réflexion péritonéale
Cul-de-sac recto-vésical
Rectum et fascia rectal
Muscle élévateur de l'anus (diaphragme pelvien)
Coccyx
Partie pubo-rectale du muscle élévateur de l'anus
Muscle sphincter externe de l'anus*
Profond
Superficiel
Sous-cutané
Ténia libre (bandelette libre)
Conduit déférent (*coupé*)
Uretère (*coupé*)
Vessie
Vésicule séminale
Fascia recto-vésical (de Denonvilliers)
Prostate
Muscle ischio-caverneux et lame profonde du fascia superficiel du périnée (fascia de recouvrement de Gallaudet) (*partiellement réséqué*)
Muscle transverse profond du périnée et membrane périnéale
Muscle transverse superficiel du périnée et lame profonde du fascia superficiel du périnée
Centre tendineux du périnée
Fascia superficiel du périnée (de Colles)

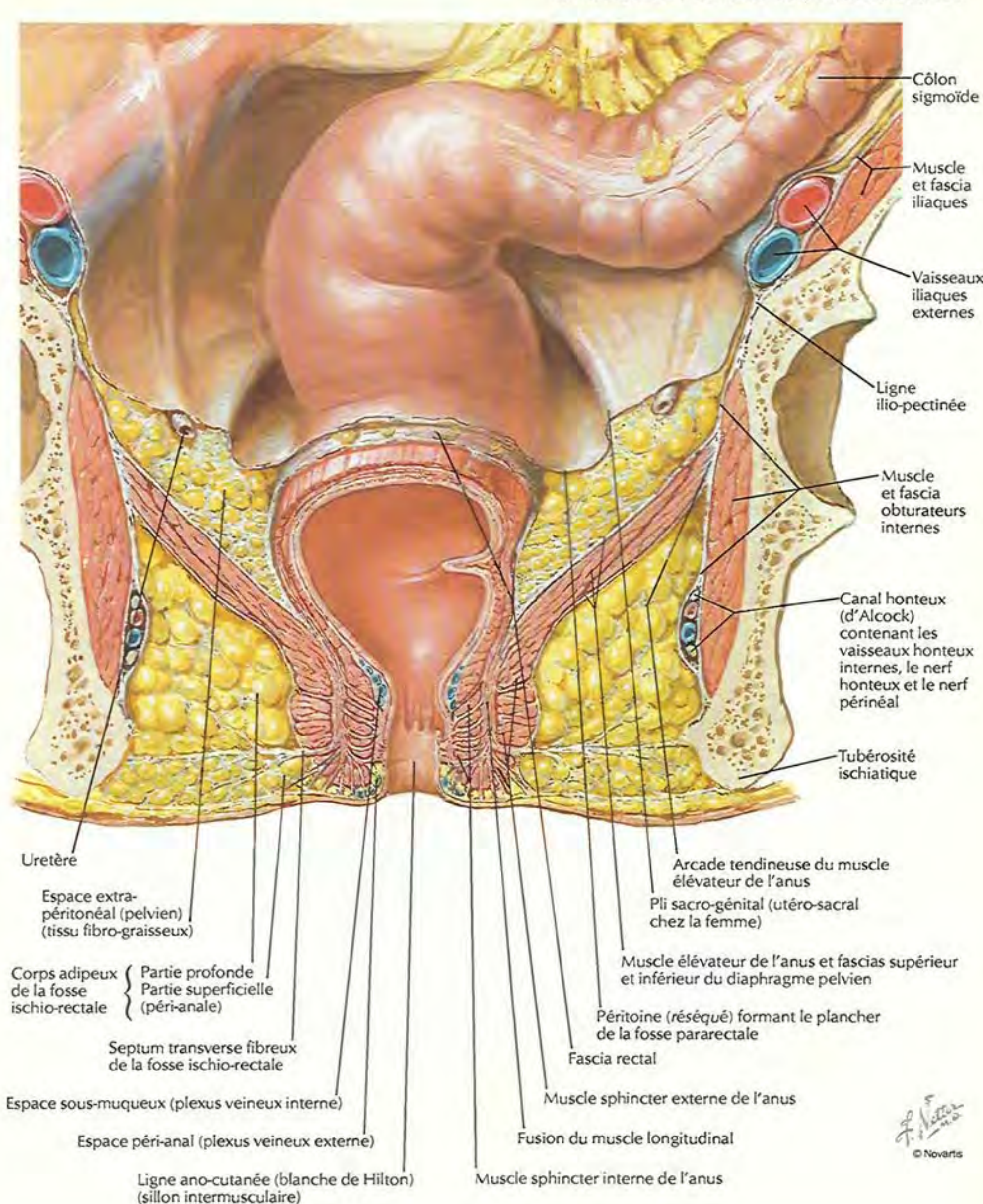
Femme

Mésocôlon sigmoïde
Articulation recto-sigmoïdienne
Réflexion péritonéale
Fascia rectal et rectum
Cul-de-sac recto-utérin (de Douglas)
Coccyx
Muscle élévateur de l'anus (diaphragme pelvien)
Partie pubo-rectale du muscle élévateur de l'anus
Muscle sphincter externe de l'anus*
Profond
Superficiel
Sous-cutané
Côlon sigmoïde
Ténia libre (bandelette libre)
Utérus
Cul-de-sac vésico-utérin
Uretère (*coupé*)
Vagin et fascia vaginal
Vessie et fascia vésical
Muscle ischio-caverneux et lame profonde du fascia superficiel du périnée (fascia de recouvrement de Gallaudet)
Muscle transverse profond du périnée et membrane périnéale
Fascia superficiel du périnée (de Colles)
Muscle transverse superficiel du périnée et lame profonde du fascia superficiel du périnée (fascia de recouvrement de Gallaudet)
Centre tendineux du périnée

© Novartis

* Parties variables et souvent indistinctes

VOIR AUSSI LES PLANCHES 297, 381, 382, 383, 384



Rectum et canal anal

© Novartis

15–17 cm
11–13 cm
8–9 cm
5–6 cm
4–5 cm
2,5–3 cm
0,5–1 cm

Canal anal chirurgical
Canal anal anatomique

Côlon sigmoïde
Jonction recto-sigmoïdienne
Plis transverses du rectum (valves de Houston): Supérieur, Moyen, Inférieur
Réflexion péritonéale
Fascia rectal
Couche musculaire longitudinale
Couche musculaire circulaire
Muscularis mucosae
Muscle élévateur de l'anus
Ligne ano-rectale
Colonnes anales (de Morgagni)
Sinus anal
Ligne pectinée (dentelée)
Plexus veineux interne du rectum dans l'espace sous-muqueux
Partie profonde* du muscle sphincter externe
Fusion du muscle longitudinal
Muscle sphincter interne
Valvule anale
Crypte anale
Partie superficielle* du muscle sphincter superficiel
Glandes anales
Septum transverse fibreux
Muscularis mucosae du canal anal
Espace péri-anal
Partie sous-cutanée* du muscle sphincter externe
Muscle corrugateur de la marge de l'anus
Plexus veineux externe du rectum dans l'espace péri-anal
Ligne ano-cutanée (ligne blanche de Hilton) (sillon intermusculaire)
Glandes sudoripares et poils de la peau péri-anale
Marge de l'anus
Pecten anal
Zone ano-dermique

* Parties variables et souvent indistinctes

Musculeuse ano-rectale

Vue antérieure

Jonction recto-sigmoïdienne
Côlon sigmoïde
Ténia libre (bandelette libre)
Fibres étalées du ténia formant la couche musculaire longitudinale du rectum
Fibres du muscle longitudinal rejoignant la couche musculaire circulaire
Fenêtre ouverte dans la couche musculaire longitudinale montrant la
Couche musculaire circulaire sous-jacente
Muscle élévateur de l'anus
Profond
Superficiel
Sous-cutané
Parties* du muscle sphincter externe de l'anus
Septum fibreux
Muscle corrugateur de la marge de l'anus
Peau péri-anale

© Novartis

Coupe frontale

Fascia supérieur du diaphragme pelvien
Fascia inférieur du diaphragme pelvien
Muscle élévateur de l'anus
Fascia rectal
Muscle longitudinal du rectum
Muscle circulaire du rectum
Muscularis mucosae du rectum
Partie profonde* du muscle sphincter externe de l'anus
Plexus veineux rectal interne
Fusion du muscle longitudinal
Partie superficielle* du muscle sphincter externe de l'anus
Muscle sphincter interne de l'anus
Muscularis mucosae du canal anal
Septum transverse fibreux de la fosse ischio-rectale
Partie sous-cutanée* du muscle sphincter externe de l'anus
Muscle corrugateur de la marge de l'anus
Plexus veineux rectal externe
Ligne ano-cutanée (blanche de Hilton) (sillon intermusculaire)

* Parties variables et souvent indistinctes

Muscle sphincter externe de l'anus : vues périnéales

Homme

Fascia superficiel du scrotum (dartos)
Septum scrotal
Fascia profond du pénis (de Buck)
Muscle bulbo-spongieux avec la lame profonde du fascia superficiel du périnée (fascia de recouvrement de Gallaudet) (*réséqué*)
Muscle ischio-caverneux avec la lame profonde du fascia superficiel du périnée (fascia de recouvrement de Gallaudet) (*réséqué*)
Membrane périnéale
Branche ischio-pubienne
Centre tendineux du périnée
Muscle transverse superficiel du périnée avec la lame profonde du fascia superficiel du périnée (fascia de recouvrement de Gallaudet) (*réséqué*)
Sous-cutané
Superficiel
Profond
Parties* du muscle sphincter externe de l'anus
Fascia superficiel du périnée (de Colles) (*coupé*)
Septum fibreux transverse de la fosse ischio-rectale (*coupé*)
Tubérosité ischiatique
Ligament sacro-tubéral
Pubo-coccygien
Pubo-rectal
Ilio-coccygien
Muscle élévateur de l'anus
Ligament ano-coccygien (extensions postérieures du muscle sphincter externe superficiel de l'anus)
Muscle grand fessier
Apex coccygien

© Novartis

Femme

Clitoris
Ostium urétral externe
Vagin
Branche ischio-pubienne
Anus
Fascia superficiel du périnée (de Colles) (*coupé*)
Muscle ischio-caverneux avec la lame profonde du fascia superficiel du périnée (fascia de recouvrement de Gallaudet) (*réséqué*)
Muscle bulbo-spongieux avec la lame profonde du fascia superficiel du périnée (fascia de recouvrement de Gallaudet) (*réséqué*)
Fibres issues du muscle sphincter externe superficiel de l'anus vers la branche ischio-pubienne
Membrane périnéale
Muscle transverse superficiel du périnée avec la lame profonde du fascia superficiel du périnée (fascia de recouvrement de Gallaudet) (*réséqué*)
Fascia superficiel du périnée (de Colles) (*coupé*)
Centre tendineux du périnée
Fibres croisées des sphincters superficiel et profond avec le muscle transverse superficiel du périnée
Parties* du muscle sphincter externe de l'anus
Profond
Superficiel
Sous-cutané
Muscle élévateur de l'anus
Pubo-coccygien
Pubo-rectal
Ilio-coccygien
Muscle grand fessier
Ligament ano-coccygien (extensions postérieures du muscle sphincter externe superficiel de l'anus)

* Parties variables et souvent indistinctes

Espaces périnéo-pelviens réels et potentiels

Coupe sagittale

Péritoine
Fascia vésical
Fascia rectal
Fascia rectal
Fascia pré-sacral
Espace pré-sacral
Espace rétro-pubien (pré-vésical de Retzius)
Espace recto-vésical { Rétro-vésical / Pré-rectal / Rétro-prostatique
Fascia recto-vésical ou recto-prostatique (de Denonvilliers) (septum)
Muscles sphincter de l'urètre et transverse profond du périnée
Muscle élévateur de l'anus et fascia du diaphragme pelvien
Muscle sphincter externe de l'anus* { Profond / Superficiel / Sous-cutané
Espace rétro-anal profond
Ligament ano-coccygien
Fascia profond du pénis (de Buck)
Espace rétro-anal superficiel (partie de l'espace péri-anal)
Fascia superficiel du périnée (de Colles)
Espace sous-muqueux
* Parties variables et souvent indistinctes
Espace péri-anal
Muscle bulbo-spongieux et lame profonde du fascia superficiel du périnée (fascia de recouvrement de Gallaudet)
Espace superficiel du périnée

Membrane périnéale
Muscle transverse profond du périnée et
Muscle transverse superficiel du périnée réséqué pour montrer l'ostium urétral externe
Communication pré-anale (inconstante) entre les fosses ischio-rectales droite et gauche
Pus dans la fosse ischio-rectale
Communication postérieure entre les fosses ischio-rectales droite et gauche via l'espace post-anal profond, sous le ligament ano-coccygien
Muscle grand fessier et
Ligament sacro-tubéral réséqué pour montrer l'extension postérieure de la fosse ischio-rectale

Vue périnéale

Diffusion de l'abcès périnéal dans les espaces périnéaux

Artères du rectum et du canal anal

Vue postérieure

Artère colique gauche
Branche ascendante
Branche descendante
Artères sigmoïdiennes
Artère marginale
Artères recto-sigmoïdiennes
Artère rectale supérieure (bifurcation)
Artère mésentérique inférieure
Aorte abdominale
Veine cave inférieure
Artère sacrale médiane
Artère iliaque commune
Artère iliaque externe
Artère iliaque interne
Artère sacrale latérale
Artère glutéale supérieure
Artère épigastrique inférieure
Artère glutéale inférieure
Artère rectale moyenne
Épine ischiatique
Muscle obturateur interne
Artère honteuse interne
Canal honteux (d'Alcock)
Tubérosité ischiatique
Muscle coccygien
Artère rectale inférieure
Muscle élévateur de l'anus
Anus
Muscle sphincter externe de l'anus
Muscle pubo-rectal (sectionné)
Artère obturatrice
Artère honteuse interne
Artère ombilicale
Artère vésicale inférieure
Artère du conduit déférent
Artère vésicale supérieure
Artère rectale moyenne
Artère rectale inférieure

Veines du rectum et du canal anal

Vue antérieure

Veine cave inférieure
Veines iliaques communes
Artère sacrale médiane
Veine mésentérique inférieure (vers la veine porte via la veine splénique)
Veines sigmoïdiennes
Veine recto-sigmoïdienne
Veine rectale supérieure (bifurcation)
Veine iliaque externe
Veine iliaque interne
Veine obturatrice
Veines vésicale supérieure et utérine (issues des plexus veineux utérin et vésical)
Veine rectale moyenne
Veine honteuse interne
Anastomose entre les plexus rectaux interne et périmusculaire
Veine vaginale (issue du plexus veineux vaginal)
Veine vésicale inférieure
Veine honteuse interne dans le canal honteux (d'Alcock)
Veine rectale inférieure
Anastomose entre les plexus veineux interne et externe
Plexus rectal interne
Plexus rectal périmusculaire
Plexus rectal externe

Artères et veines des organes pelviens : femme

Vue antérieure

Artère et veine rénales
Rein
Artère et veine ovariques
Uretère
Veine cave inférieure
Muscle grand psoas
Péritoine (*bord coupé*)
Ligament suspenseur de l'ovaire contenant les vaisseaux ovariques
Rectum
Ovaire
Trompe utérine (de Fallope)
Utérus
Ligament rond de l'utérus
Vagin
Vessie
Pli ombilical médial
Artère et veine rénales
Artère et veine ovariques
Aorte abdominale
Uretère
Artère mésentérique inférieure
Muscle grand psoas
Artère iliaque commune
Vaisseaux sacraux moyens
Artère rectale supérieure (*coupée*)
Ligament rond de l'utérus (*coupé*)
Artère ovarique
Artère iliaque interne
Division antérieure
Artère iliaque externe
Artère obturatrice et nerf obturateur
Artère ombilicale (partie perméable)
Artère rectale moyenne
Artère utérine
Artère vaginale
Artère vésicale inférieure
Ligament rond de l'utérus (*coupé*)
Artères vésicales supérieures
Artère et veine épigastriques inférieures
Artère ombilicale (partie oblitérée)
Artères vésicales supérieures
Ligament ombilical médial
Ligament ombilical médian (ouraque)

Artères et veines des testicules

Vue antérieure

Vaisseaux rénaux
Veine cave inférieure
Aorte abdominale
Vaisseaux testiculaires
Uretère
Artère mésentérique inférieure
Vaisseaux iliaques communs
Vaisseaux iliaques internes
Vaisseaux iliaques externes
Artère vésicale inférieure
Vaisseaux épigastriques inférieurs
Artère du conduit déférent
Vaisseaux crémastériques
Vaisseaux testiculaires dans le cordon spermatique
Vaisseaux fémoraux
Vaisseaux honteux externes superficiels (*sectionnés*) (normalement superficiels au cordon spermatique)
Vaisseaux honteux externes profonds
Plexus veineux pampiniforme
Veine dorsale profonde et artères dorsales du pénis sous le fascia profond du pénis (de Buck)

Artères et veines pelviennes : femme

Artère sacrale moyenne
Artère ilio-lombaire
Artères sacrales latérales
Artère glutéale supérieure
Muscle piriforme
Artère glutéale inférieure
Artère honteuse interne
Muscle coccygien
Ligament sacro-tubéral
Fascia obturateur interne
Artère honteuse interne dans le canal honteux (d'Alcock)
Muscle élévateur de l'anus (*coupé*)
Aorte abdominale
Droite, Gauche } Artères iliaques communes
Artère iliaque interne
Division postérieure
Division antérieure
Artère iliaque externe
Artère obturatrice
Artère ombilicale (partie perméable)
Artère rectale moyenne
Artère utérine
Artère vaginale
Artère vésicale inférieure
Artères vésicales supérieures
Ligament ombilical médial (partie oblitérée de l'artère ombilicale)
Symphyse pubienne

Coupe sagittale

Coupe paramédiane droite : vue latérale

Aorte abdominale
Veine cave inférieure
Artère iliaque commune droite
Artère iliaque commune gauche
Uretères
Artères iliaques externes (*coupées*)
Artère iliaque interne
Division postérieure
Division antérieure
Artère glutéale supérieure
Artère obturatrice
Artère ombilicale (partie perméable)
Muscle piriforme
Artère honteuse interne
Artère glutéale inférieure
Muscle coccygien
Artère rectale moyenne
Artère utérine
Artère vaginale
Artère vésicale inférieure
Artère honteuse interne
Artère rectale inférieure
Artères vésicales supérieures
Artère ombilicale (partie oblitérée)
Canal obturateur
Muscle obturateur interne
Muscle élévateur de l'anus

Coupe sagittale paramédiane gauche : vue latérale

Veine cave inférieure
Aorte abdominale
Vaisseaux obturateurs droits
Vaisseaux iliaques communs
Artère ombilicale droite (partie perméable)
Vaisseaux sacraux médians
Artère vésicale supérieure
Vaisseaux iliaques externes (*coupés*)
Artère ombilicale (partie oblitérée)
Vaisseaux iliaques internes
Artère ilio-lombaire
Vaisseaux iliaques circonflexes profonds
Artère sacrale latérale
Artère glutéale supérieure
Vaisseaux épigastriques inférieurs
Artère obturatrice
Artère ombilicale
Uretère (*coupé*)
Conduit déférent et son artère
Artère glutéale inférieure
Ligament ombilical médial
Artère vésicale inférieure
Artère rectale moyenne
Ligament ombilical médian (ouraque)
Artère honteuse interne
Artère ombilicale (partie oblitérée)
Conduit déférent et son artère
Artère vésicale supérieure
Branches prostatiques de l'artère vésicale inférieure
Veine dorsale superficielle du pénis
Artère rectale inférieure
Plexus veineux prostatique
Veine dorsale profonde et artère dorsale du pénis
Muscle sphincter de l'urètre
Artère périnéale
Fascia profond du pénis (de Buck)
Artère honteuse interne (artère dorsale du pénis) sur la face supérieure de la membrane périnéale
Artères scrotales postérieures
Artère testiculaire
Plexus veineux pampiniforme
Artère du conduit déférent
Plexus veineux rétro-pubien (pré-vésical)

Artère vésicale inférieure
Branche prostatique
Branches urétrales
Branches capsulaires
Lobe moyen hyperplasié
Lobe latéral hyperplasié

Vascularisation artérielle de la prostate
(hyperplasie bénigne du spécimen)

F. Netter M.D.
C. Machado M.D.

Artère labiale postérieure
Artère dorsale du clitoris
Muscle ischio-caverneux
Artère profonde du clitoris
Bulbe du vestibule
Muscle bulbo-spongieux
Muscle compresseur de l'urètre
Espace superficiel du périnée
Artère du bulbe du vestibule
Glande vestibulaire majeure (de Bartholin)
Fascia inférieur du diaphragme uro-génital (membrane périnéale)
Muscle transverse profond du périnée
Artère honteuse interne (clitoridienne)
Fascia inférieur du diaphragme uro-génital (membrane périnéale) (*coupé*)
Artère périnéale
Artère périnéale (*coupée*)
Muscle transverse superficiel du périnée
Fascia superficiel du périnée (de Colles) (*coupé et récliné*) ouvrant l'espace superficiel du périnée
Artère périnéale
Artère honteuse interne dans le canal honteux (d'Alcock)
Artère rectale inférieure
Artère honteuse interne dans le canal honteux (d'Alcock)
Artère rectale inférieure
Muscle sphincter externe de l'anus

Note : lame profonde du fascia superficiel du périnée (fascia de recouvrement de Gallaudet) recouvrant les muscles de l'espace superficiel du périnée réséquée

Ligament rond
Tubaire
Ovarique
Branches de l'artère utérine
Vaisseaux ovariques
Branches tubaires des vaisseaux ovariques
Vaisseaux utérins
Uretère
Branches vaginales de l'artère utérine
Artère vaginale
Muscle élévateur de l'anus
Fascia inférieur du diaphragme uro-génital (membrane périnéale)
Artère honteuse interne
Artère périnéale
Espace superficiel du périnée
Fascia superficiel du périnée (de Colles)

F. Netter M.D.
C. Machado M.D.

Fascia spermatique externe sur le testicule et le cordon spermatique

Muscle bulbo-spongieux

Muscle ischio-caverneux

Fascia inférieur du diaphragme uro-génital (membrane périnéale)

Centre tendineux du périnée

Muscle transverse superficiel du périnée

Artère transverse du périnée

Fascia superficiel du périnée (de Colles) (*coupé*)

Canal honteux (d'Alcock)

Fascia superficiel du scrotum (dartos)

Septum scrotal

Artères scrotales postérieures

Fascia profond du pénis (de Buck)

Fascia superficiel du périnée (de Colles) (*coupé*)

Espace superficiel du périnée (*ouvert*)

Artère et veine périnéales

Artère honteuse interne passant au-dessus de la membrane périnéale

Muscle transverse superficiel du périnée et artère transverse du périnée (*coupés et réclinés*)

Vaisseaux honteux internes et nerf honteux (*coupé*) dans le canal honteux (d'Alcock) (*ouvert*)

Artère rectale inférieure

Fascia inférieur du diaphragme pelvien (toit de la fosse ischio-rectale)

Note : lame profonde du fascia superficiel du périnée (fascia de recouvrement de Gallaudet) recouvrant les muscles de l'espace superficiel du périnée réséquée

Artère profonde du pénis

Veine dorsale profonde du pénis

Artère et nerf dorsaux du pénis

Ligament transverse du périnée (épaississement antérieur de la membrane périnéale)

Artère profonde du pénis

Artère dorsale du pénis

Artère urétrale

Fascia inférieur du diaphragme uro-génital (membrane périnéale) (*coupé*)

Artère du bulbe du pénis

Artère honteuse interne

Artère périnéale (*coupée*)

Vaisseaux honteux internes dans le canal honteux (d'Alcock)

Fascia superficiel du périnée (de Colles) (*coupé*)

F. Netter M.D.

Nœuds latéraux aortiques (lombaires)

Nœuds lymphatiques pré-aortiques

Nœuds du promontoire (sacraux moyens)

Nœuds iliaques communs

Nœud sacral (latéral)

Nœud iliaque interne

Nœud iliaque externe latéral (supérieur)

Nœuds iliaques externes médiaux (inférieurs)

Nœud obturateur

Nœuds inguinaux superficiels

Nœud inguinal profond suprême (de Cloquet)

Nœuds inguinaux profonds

F. Netter M.D.

Ligament inguinal (de Poupart)

Nœud inguinal profond suprême (de Cloquet)

Nœuds inférieurs (groupe vertical)

Nœuds supéro-latéraux (groupe horizontal)

Nœuds supéro-médiaux (groupe horizontal)

Nœuds inguinaux superficiels

Fascia lata (*réséqué*)

Vaisseaux et nerfs fémoraux

Nœuds inguinaux profonds

Nœuds pré-aortiques

Trajets depuis les testicules, le long des vaisseaux testiculaires

Nœuds iliaques communs

Nœuds du promontoire (sacraux moyens)

Nœud sacral (latéral)

Nœuds iliaques internes

Nœuds iliaques externes

Nœud inguinal profond suprême (de Cloquet)

Nœuds inguinaux profonds

Nœuds inguinaux superficiels

Nœud présymphysaire

Nœud pré-aortique

Nœud du promontoire

Nœud iliaque commun

Nœuds iliaques internes

Nœuds iliaques externes

Nœuds sacraux (moyen et latéral)

Trajet le long des vaisseaux vésicaux inférieurs vers les nœuds iliaques internes (voie principale)

Trajet le long du rectum vers les nœuds sacraux (moyen et latéral)

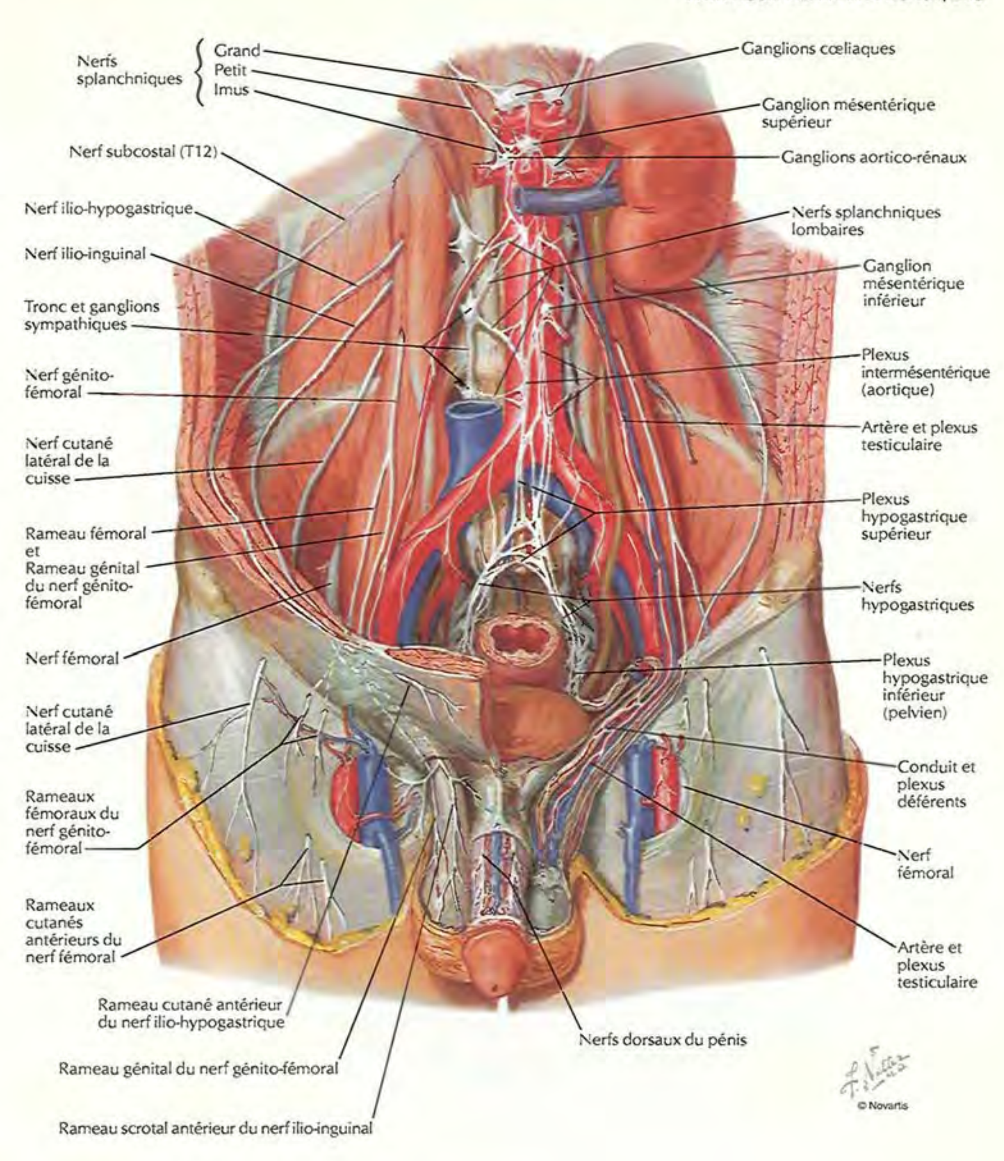
Trajet sur la vessie vers les nœuds iliaques externes

Plexus prévésical et trajet (en *pointillé*) vers les nœuds iliaques externes

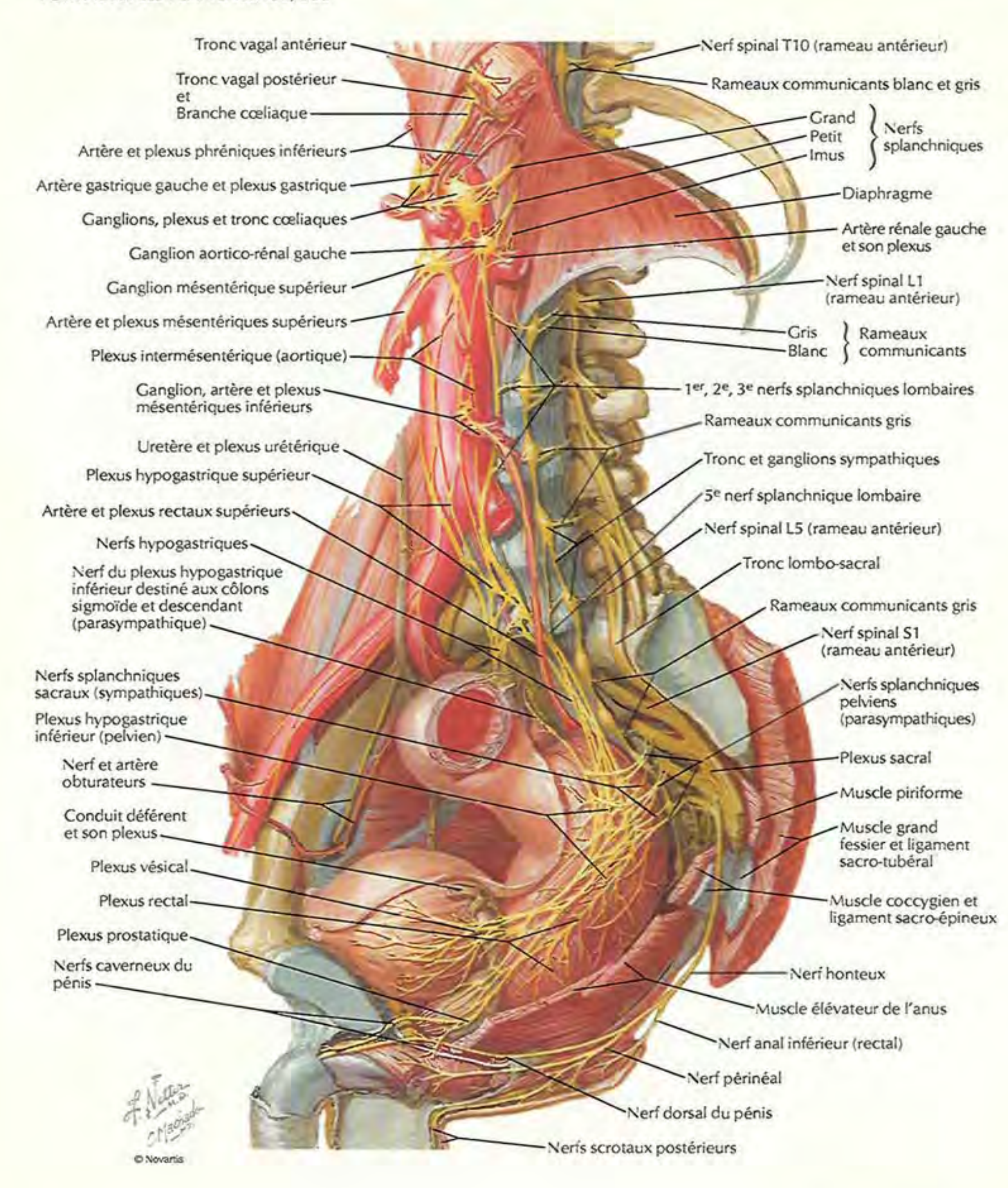
Drainage lymphatique depuis la prostate

Trajet (en *pointillé*) de la partie inférieure de la prostate et de l'urètre membraneux le long des vaisseaux honteux internes (en dessous du diaphragme pelvien) vers les nœuds iliaques internes

VOIR AUSSI LES PLANCHES 152, 300



VOIR AUSSI LES PLANCHES 152, 300



Nerfs du périnée : homme

VOIR AUSSI LA PLANCHE 387

Nerfs scrotaux postérieurs

Nerfs périnéaux { Superficiel / Profond

Nerf dorsal du pénis

Membrane périnéale (*réséquée pour montrer les structures neuro-vasculaires situées sur la face supérieure de la membrane périnéale*)

Nerf dorsal du pénis (prolongement du nerf honteux innervant les muscles situés au-dessus de la membrane périnéale)

Fascia superficiel du périnée (de Colles) (*coupé pour ouvrir l'espace superficiel du périnée*)

Rameaux superficiel et profond du nerf périnéal

Nerf dorsal du pénis (passant au-dessus de la membrane périnéale)

Nerf périnéal

Fascia obturateur interne

Canal honteux (d'Alcock) (*ouvert*)

Nerf honteux

Nerfs cluniaux inférieurs

Nerfs anaux inférieurs (rectaux)

Nerf perforant cutané

Nerf ano-coccygien

Ligament sacro-tubéral (coupé)

Muscle grand fessier (*coupé*)

Muscle piriforme

Muscle coccygien

Épine ischiatique

Nerf honteux

Muscle élévateur de l'anus

Muscle obturateur interne

Nerf anal inférieur (rectal)

Nerf périnéal

F. Netter M.D.

Nerfs des viscères pelviens : femme

VOIR AUSSI LES PLANCHES 152, 300

Tronc sympathique et ganglion L2

Rameaux communicants gris et blanc

Nerfs splanchniques lombaires

Rameaux communicants gris

Nerf spinal L5

Nerf hypogastrique droit (coupé)

Ganglions et troncs sympathiques sacraux droits et gauches

Muscle piriforme

Nerfs splanchniques sacraux (sympathiques)

Nerf honteux

Nerfs splanchniques pelviens (parasympathiques)

Muscle coccygien

Plexus rectal

Rectum (*récliné*)

S1

S2

S3

S4

S5

Aorte abdominale

Veine cave inférieure

Fascia extra-péritonéal (sous-séreux)

Vaisseaux et plexus iliaques communs

Uretère

Nerf intermésentérique (aortique)

Artère et plexus ovariques

Plexus hypogastrique supérieur

Promontoire sacral

Plexus hypogastrique supérieur

Artère et plexus iliaques communs

Uretère

Artère iliaque interne et son plexus

Artère iliaque externe et son plexus

Péritoine

Côlon sigmoïde

Nerfs hypogastriques droit et gauche

Utérus

Tronc sympathique droit

Nerf hypogastrique gauche

Plexus hypogastrique inférieur (pelvien)

Trompe utérine (de Fallope)

Ovaire

Surface symphysaire du pubis

Vessie

Plexus vésical

Plexus utéro-vaginal

Utérus (*récliné*)

F. Netter M.D.

Nerfs du périnée et des organes génitaux externes : femme

VOIR AUSSI LA PLANCHE 386

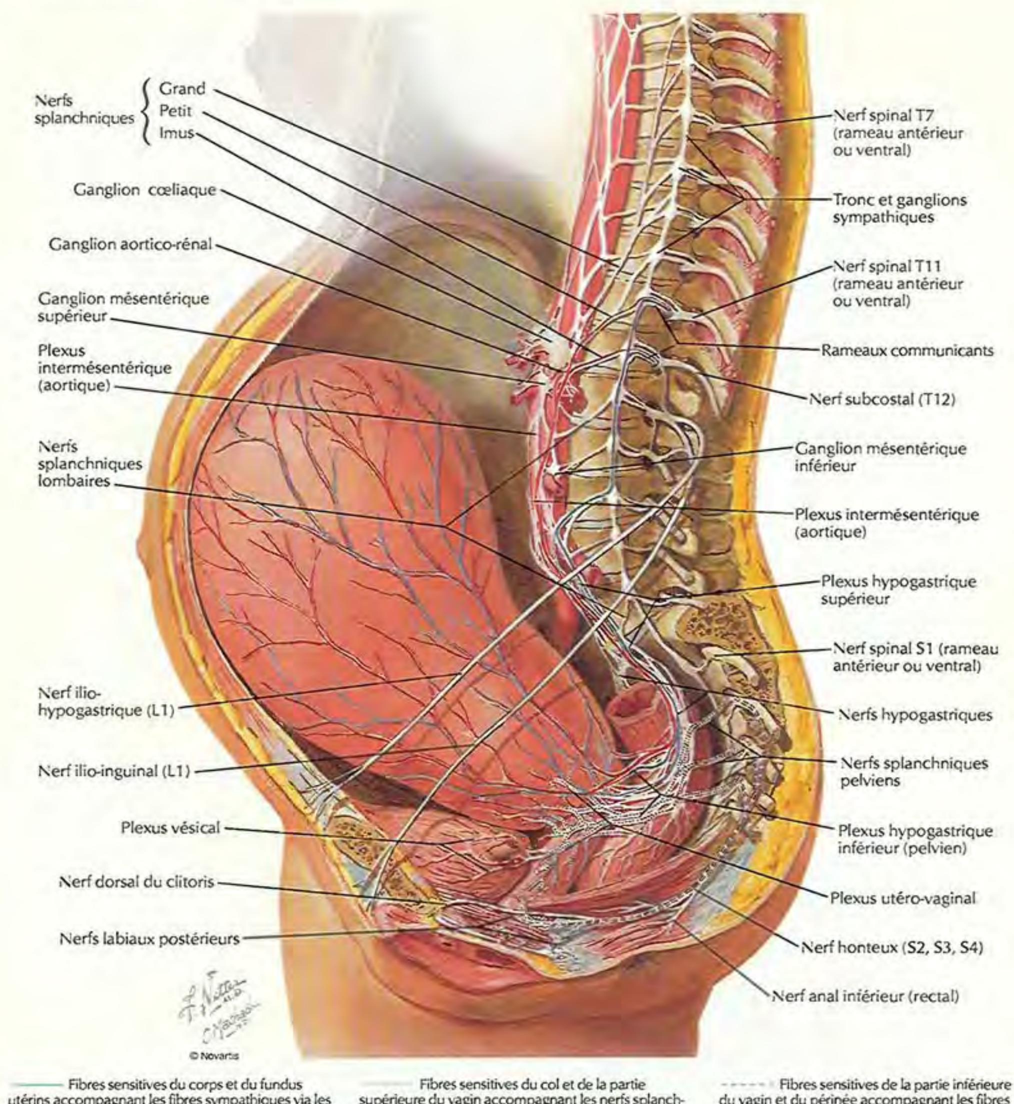
Rameau labial antérieur du nerf ilio-inguinal
Nerf dorsal du clitoris
Nerfs labiaux postérieurs
Superficiel / Profond — Rameaux du nerf périnéal
Rameau périnéal du nerf cutané postérieur de la cuisse
Nerf dorsal du clitoris passant au-dessus de la membrane périnéale
Nerf périnéal
Nerf honteux dans le canal honteux (d'Alcock) (*disséqué*)
Nerfs cluniaux inférieurs
Muscle grand fessier (*réséqué*)
Ligament sacro-tubéral
Nerf perforant cutané
Nerfs anaux inférieurs (rectaux)
Nerfs ano-coccygiens

Tubérosité ischiatique
Épine ischiatique

Bloc du nerf honteux et des autres nerfs du périnée (infiltration anesthésique)

Voies nerveuses durant l'accouchement

VOIR AUSSI LA PLANCHE 152



Fibres sensitives du corps et du fundus utérins accompagnant les fibres sympathiques via les plexus hypogastriques vers T11, T12 (L1 ?)

Fibres motrices vers le corps et le fundus utérins (sympathiques)

Fibres sensitives du col et de la partie supérieure du vagin accompagnant les nerfs splanchniques pelviens (parasympathiques) vers S2, S3, S4

Fibres motrices vers la partie inférieure du corps utérin, le col et la partie supérieure du vagin (parasympathiques)

Fibres sensitives de la partie inférieure du vagin et du périnée accompagnant les fibres somatiques via le nerf honteux vers S2, S3, S4

Fibres motrices vers la partie inférieure du vagin et le périnée via le nerf honteux (somatiques)

Innervation des organes de la reproduction chez la femme : schéma

VOIR AUSSI LA PLANCHE 153

Tronc et ganglions sympathiques
T5
T6
Rameau communicant gris
Rameau communicant blanc
Ganglions et plexus cœliaques
Nerf grand splanchnique
Ganglions aortico-rénaux
Nerf petit splanchnique
Ganglion mésentérique supérieur
Nerf splanchnique imus
T11
T12
Tronc sympathique
Plexus intermésentérique (aortique)
L1
Nerfs splanchniques lombaires
Ganglion mésentérique inférieur
Nerf spinal L3
L4
Artère et plexus ovariques
Plexus hypogastrique supérieur
Trompe utérine (de Fallope)
Utérus
Nerfs hypogastriques
Limite inférieure du péritoine
Ovaire
Col
Plexus utéro-vaginal et hypogastrique inférieur (pelvien)
Nerfs splanchniques pelviens
S1
S2
S3
S4
S5
Plexus sacral
Vagin
Nerf honteux

Note : la douleur provenant des viscères pelviens intra-péritonéaux (ex : contractions utérines) chemine via les plexus utéro-vaginal et pelvien, les nerfs hypogastriques, le plexus hypogastrique supérieur, le plexus aortique inférieur, les nerfs splanchniques lombaires inférieurs, le tronc sympathique de L4 à L5 vers les nerfs spinaux T11, T12. La douleur provenant des viscères pelviens sous-péritonéaux (ex : dilatation du col et de la partie supérieure du vagin) chemine via les nerfs splanchniques vers S2, S3, S4. Les influx afférents de la partie inférieure du vagin et du périnée cheminent via les nerfs honteux vers S2, S3, S4.

Fibres sympathiques { **Présynaptiques** —— **Postsynaptiques** - - - -
Fibres parasympathiques { **Présynaptiques** —— **Postsynaptiques** - - - -
Fibres afférentes ——

Innervation des organes de la reproduction chez l'homme : schéma

VOIR AUSSI LA PLANCHE 153

Tronc et ganglions sympathiques
Nerf grand splanchnique (T5 à T9)
T10
Ganglions cœliaques
Ganglion mésentérique supérieur
Rameau communicant gris
T11
Rameau communicant blanc
T12
Ganglion aortico-rénal gauche
Nerf petit splanchnique
Nerf splanchnique imus
Ganglion rénal
L1
Nerfs splanchniques lombaires supérieurs
Plexus intermésentérique (aortique)
L2
L3
Ganglion mésentérique inférieur
Rameau communicant gris
L4
Artère et plexus testiculaires
Artère et plexus testiculaires
Plexus hypogastrique supérieur
Nerfs hypogastriques
Conduit et plexus déférents
Limite inférieure du péritoine
S1
Conduit et plexus déférents
Nerfs splanchniques pelviens
S2
Nerfs splanchniques pelviens
Plexus sacral
S3
S4
Plexus sacral
S5
Nerf honteux
Nerf honteux
Nerfs dorsaux du pénis
Plexus hypogastrique inférieur (pelvien)
Plexus vésical
Épididyme
Plexus prostatique
Testicule
Nerfs caverneux du pénis (petit et grand)

Fibres sympathiques { **Présynaptiques** —— **Postsynaptiques** - - - -
Fibres parasympathiques { **Présynaptiques** —— **Postsynaptiques** - - - -
Fibres afférentes ——

Innervation de la vessie et de l'uretère inférieur : schéma

VOIR AUSSI LA PLANCHE 153

Ganglions spinaux sensitifs
Racine postérieure (dorsale)
Racine antérieure (ventrale)
Blanc
Gris
Rameaux communicants
Ganglion rénal
Ganglions cœliaques
Ganglion mésentérique supérieur
Ganglion aortico-rénal
Artère et plexus rénaux
L1
L2
Plexus intermésentérique (aortique)
Ganglion mésentérique inférieur
Partie lombaire de la moelle spinale
Nerf spinal L2 (racine antérieure)
1er et 2e nerfs splanchniques lombaires
Plexus hypogastrique supérieur
Nerfs hypogastriques
Partie sacrale de la moelle spinale
Tronc sympathique
Uretère
Fibres ascendantes
Fibres descendantes
Nerfs splanchniques sacraux issus du tronc sympathique sacral, destinés au plexus hypogastrique inférieur (pelvien)
Plexus hypogastrique inférieur (pelvien)
Rameaux communicants gris
Vessie
S2
S3
S4
Nerf honteux
Plexus sacral
Plexus vésical
Nerfs splanchniques pelviens
Plexus prostatique
Muscle sphincter de l'urètre au-dessus de la membrane périnéale
Muscle bulbo-spongieux

Fibres sympathiques { Présynaptiques / Postsynaptiques
Fibres parasympathiques { Présynaptiques / Postsynaptiques
Fibres efférentes somatiques
Fibres afférentes

Homologie des organes génitaux externes

Stade indifférencié

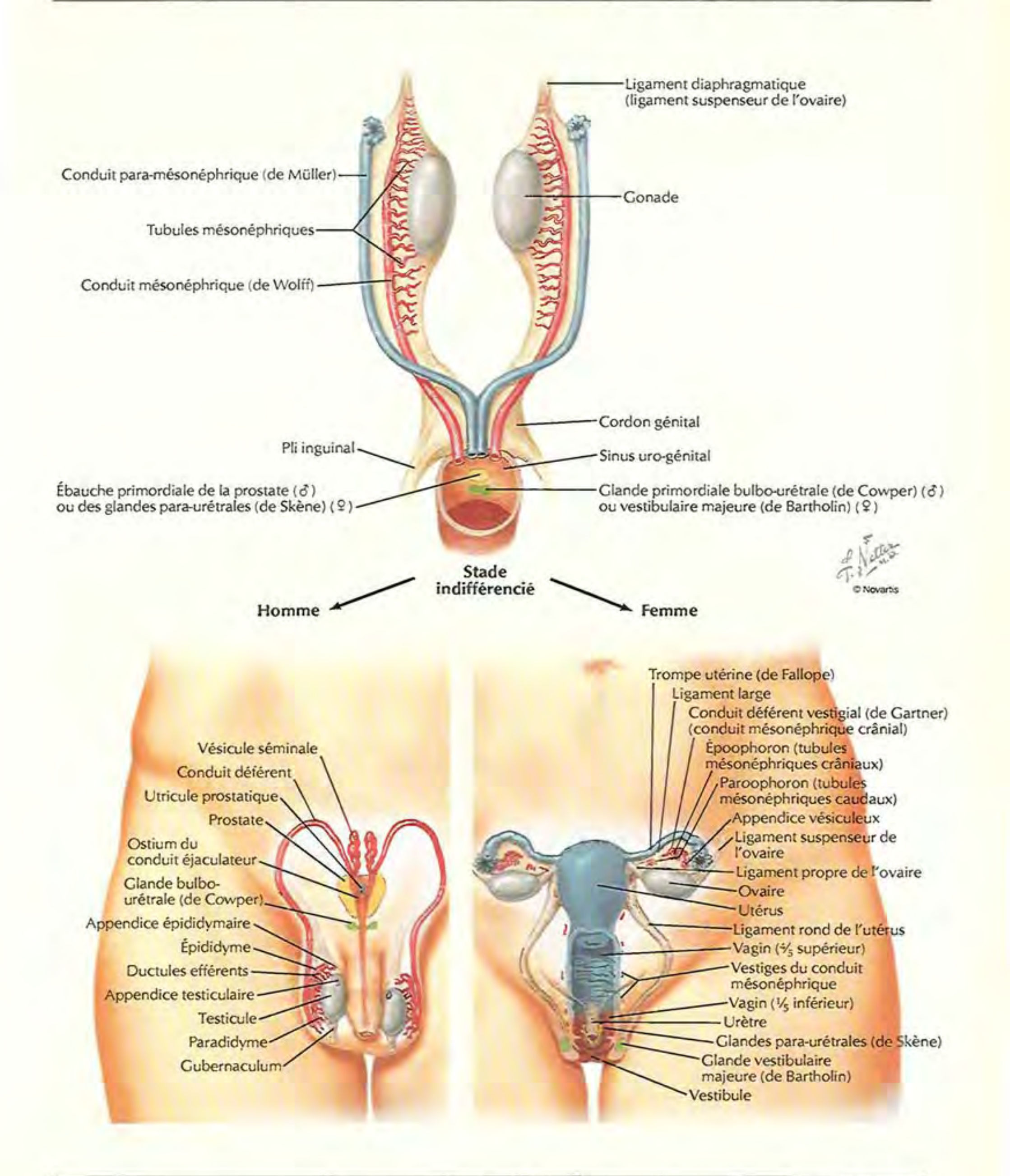
Aire du gland
Bourgeon épithélial
Pli uro-génital
Sillon uro-génital
Bourrelet latéral
Tubercule anal
Trou anal
Tubercule génital

Homme
Femme

45–50 mm (~ 10 semaines)
Gland
Bourgeon épithélial
Sillon coronaire
Site de l'origine du futur prépuce
Pli uro-génital
Sillon uro-génital
Bourrelet latéral (corps ou hampe)
Tubercule labio-scrotal
Plis uro-génitaux partiellement soudés (raphé uro-génital)
Tubercule anal
Anus
45–50 mm (~ 10 semaines)

Ostium urétral externe
Gland du pénis
Prépuce
Taille définitive
Corps du pénis (hampe)
Raphé du pénis
Scrotum

Taille définitive
Corps du clitoris
Prépuce
Gland du clitoris
Ostium urétral externe
Petite lèvre
Grande lèvre
Introït vaginal
Commissure postérieure
Raphé périnéal
Tissus péri-anaux (incluant le muscle sphincter externe de l'anus)

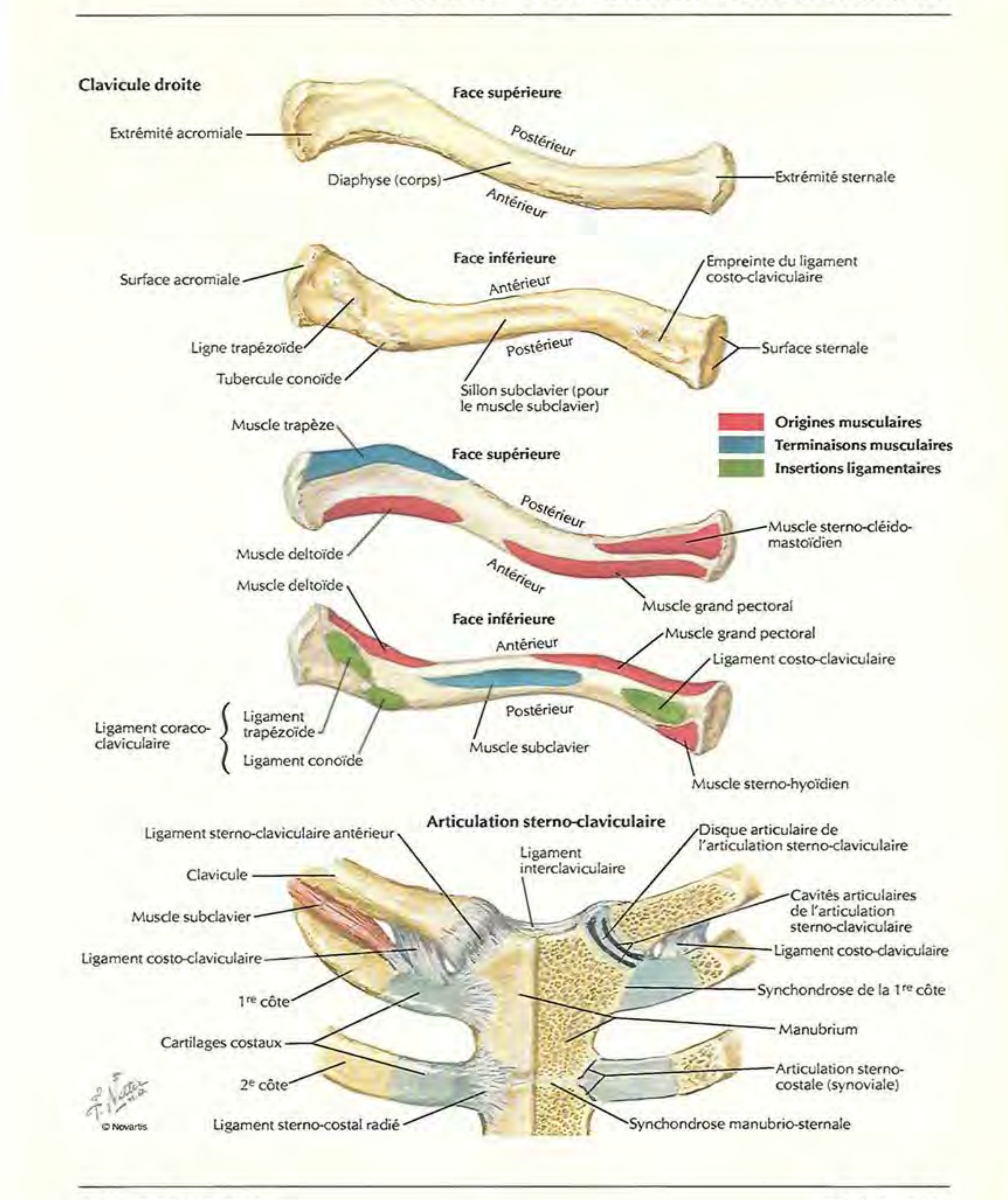


Section VI

MEMBRE SUPÉRIEUR

POIGNET ET MAIN
Planches 422 – 440

INNERVATION ET VASCULARISATION
Planches 441 – 452



Humerus et scapula : vues antérieures

VOIR AUSSI LA PLANCHE 170

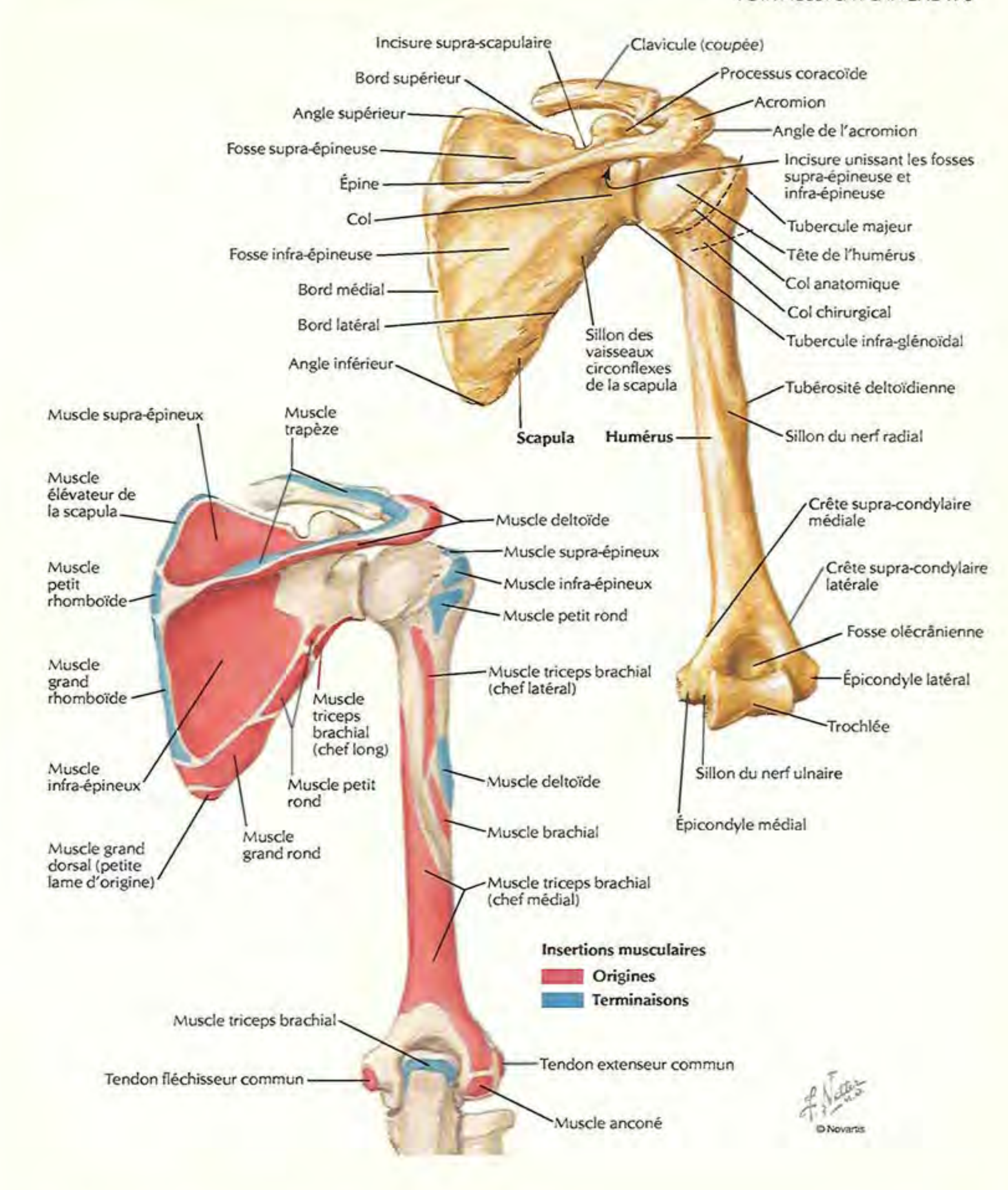
Angle de l'acromion
Acromion
Processus coracoïde
Clavicule (*coupée*)
Tubercule supra-glénoïdal
Angle supérieur
Bord supérieur
Col anatomique
Incisure supra-scapulaire
Tubercule majeur
Col
Tubercule mineur
Bord médial
Col chirurgical
Fosse subscapulaire
Sillon intertuberculaire
Tubercule infra-glénoïdal
Cavité glénoïdale de la scapula
Bord latéral
Crête du tubercule majeur
Tête de l'humérus
Angle inférieur
Crête du tubercule mineur
Scapula
Tubérosité deltoïdienne
Humérus
Crête supra-condylaire médiale
Crête supra-condylaire latérale
Condyles { Médial, Latéral
Fosse radiale
Épicondyle latéral
Capitulum
Fosse coronoïdienne
Trochlée
Épicondyle médial

Muscle trapèze
Muscle petit pectoral
Muscle omo-hyoïdien
Muscle deltoïde
Muscle biceps brachial (chef long)
Muscle supra-épineux
Muscle subscapulaire
Muscle coraco-brachial et Muscle biceps brachial (chef court)
Muscle triceps brachial (chef long)
Muscle grand pectoral
Muscle grand dorsal
Muscle grand rond
Muscle dentelé antérieur
Muscle subscapulaire
Muscle deltoïde
Muscle coraco-brachial
Muscle brachial
Muscle brachio-radial
Muscle long extenseur radial du carpe
Muscle rond pronateur (chef huméral)
Tendon commun extenseur (muscles court extenseur radial du carpe, extenseur des doigts et extenseur du petit doigt, et extenseur ulnaire du carpe)
Tendon fléchisseur commun (muscles fléchisseur radial du carpe, long palmaire, fléchisseur ulnaire du carpe et fléchisseur superficiel des doigts [chef huméro-ulnaire])
Muscle brachial
Muscle fléchisseur superficiel des doigts (chef huméro-ulnaire)
Muscle supinateur
Muscle rond pronateur (chef ulnaire)
Muscle biceps brachial
Muscle long fléchisseur du pouce (chef ulnaire)

Insertions musculaires
Origines
Terminaisons

Humérus et scapula : vues postérieures

VOIR AUSSI LA PLANCHE 170



Articulation de l'épaule (gléno-humérale)

Vue antérieure

Capsule de l'articulation acromio-claviculaire (incorporant le ligament acromio-claviculaire)
Acromion
Ligament coraco-acromial
Tendon supra-épineux (*coupé*)
Ligament coraco-huméral
Tubercules majeur et mineur de l'humérus
Ligament transverse de l'humérus
Gaine synoviale intertuberculaire (communicant avec la cavité synoviale)
Tendon subscapulaire (*coupé*)
Tendon biceps brachial (chef long)
Ligaments capsulaires
Clavicule
Ligament trapézoïde
Ligament conoïde
Ligament coraco-claviculaire
Ligament transverse supérieur de la scapula et incisure supra-scapulaire
Processus coracoïde
Communications de la bourse subtendineuse du muscle subscapulaire
Le pointillé indique la position de la bourse subtendineuse du muscle subscapulaire

Vue antérieure

Muscle deltoïde (*récliné*)
Ligament capsulaire
Muscle supra-épineux
Bourse subdeltoïdienne fusionnée avec la bourse subacromiale
Muscle subscapulaire

© Novartis

Acromion
Ligament coraco-acromial
Processus coracoïde
Tendon supra-épineux (adhérent à la capsule)
Ligament coraco-huméral
Bourse subdeltoïdienne
Tendon du biceps brachial (chef long)
Tendon infra-épineux (adhérent à la capsule)
Ligament gléno-huméral supérieur
Cavité glénoïdale (cartilage)
Tendon subscapulaire (adhérent à la capsule)
Tendon petit rond (adhérent à la capsule)
Ligament gléno-huméral moyen
Membrane synoviale (*coupée*)
Ouvertures de la bourse subtendineuse du muscle subscapulaire
Ligament gléno-huméral inférieur

Articulation ouverte : vue latérale

Bourse subdeltoïdienne
Tendon supra-épineux
Ligament capsulaire
Membrane synoviale
Acromion
Articulation acromio-claviculaire
Muscle deltoïde
Bourrelet glénoïdal (labrum)
Cavité glénoïdale de la scapula
Récessus axillaire

Coupe coronale à travers l'articulation

Muscles de l'épaule

VOIR AUSSI LES PLANCHES 22, 160, 174, 175, 177, 178

Vue postérieure

Muscle semi-épineux de la tête
Muscle splénius de la tête
Sans rapport avec le membre supérieur
Processus épineux de la vertèbre C7
Muscle élévateur de la scapula
Muscle petit rhomboïde
Muscle grand rhomboïde
Acromion
Muscle supra-épineux
Épine de la scapula
Muscle infra-épineux
Muscle petit rond
Muscle grand rond
Muscle grand dorsal
Chef long
Chef latéral
Muscle triceps brachial
Processus épineux de la vertèbre T12
Muscle trapèze
Muscle deltoïde
Fascia infra-épineux
Triangle d'auscultation

© Novartis

Vue antérieure

Muscle trapèze
Muscle omo-hyoïdien et lame profonde de recouvrement du fascia cervical
Muscle sterno-cléido-mastoïdien
Clavicule
Chef claviculaire
Chef sterno-costal
Chef abdominal
Muscle grand pectoral
Sternum
6e cartilage costal
Lame antérieure de la gaine rectusienne (du muscle droit de l'abdomen)
Acromion
Sillon delto-pectoral (triangle)
Muscle deltoïde
Branche deltoïdienne de l'artère thoraco-acromiale
Veine céphalique
Chef long
Chef court
Muscle biceps brachial
Muscle triceps brachial (chef latéral)
Muscle grand dorsal
Muscle dentelé antérieur
Muscle oblique externe

Muscles de la coiffe des rotateurs

Vue supérieure

Ligament coraco-claviculaire { Ligament trapézoïde / Ligament conoïde
Processus coracoïde
Tendon subscapulaire
Ligament coraco-acromial
Articulation acromio-claviculaire
Tendon supra-épineux
Tendon infra-épineux
Tendon petit rond
Acromion
Muscle infra-épineux
Épine de la scapula
Muscle supra-épineux
Muscle subscapulaire
Bord supérieur de la scapula
Clavicule

F. Netter M.D.
© Novartis

Ligament coraco-acromial
Processus coracoïde
Ligament transverse supérieur de la scapula et incisure supra-scapulaire
Acromion
Tendon supra-épineux
Tendon du muscle biceps brachial (chef long)
Muscle subscapulaire

C. Machado M.D.
© Novartis

Vue antérieure

Muscle supra-épineux
Épine de la scapula
Acromion
Tendon supra-épineux
Muscle infra-épineux
Muscle petit rond
Nerf axillaire

Vue postérieure

Dissection scapulo-humérale

VOIR AUSSI LA PLANCHE 446

Vue antérieure

Ligament coraco-acromial
Processus coracoïde
Acromion
Artère et nerf supra-scapulaires
Tendon supra-épineux
Tubercule majeur de l'humérus
Ligament transverse supérieur de la scapula et incisure supra-scapulaire
Tendon subscapulaire
Tendon petit pectoral (*coupé*)
Gaine synoviale intertuberculaire
Artère circonflexe antérieure de l'humérus
Tendon du biceps brachial (chef court) (*coupé*) et tendon coraco-brachial (*coupé*)
Tendon du biceps brachial (chef long) (*coupé*)
Muscle subscapulaire
Nerf axillaire et artère circonflexe postérieure de l'humérus
Artère subscapulaire
Espace axillaire latéral (quadrangulaire)
Nerf subscapulaire inférieur (pour le muscle grand rond)
Nerf radial
Artère circonflexe de la scapula
Muscle du biceps brachial { Chef long / Chef court
Artère et nerf thoraco-dorsaux (pour le muscle grand dorsal)
Muscle coraco-brachial
Muscle subscapulaire
Espace axillaire médial (triangulaire)
Muscle grand rond
Muscle grand dorsal

Vue postérieure

Artère et nerf supra-scapulaires
Acromion
Tendon du muscle infra-épineux (*récliné*)
Ligament transverse supérieur de la scapula et incisure supra-scapulaire
Capsule de l'articulation de l'épaule
Muscle deltoïde (*récliné*)
Muscle supra-épineux (*coupé*)
Muscle petit rond
Épine de la scapula
Espace axillaire latéral traversé par le nerf axillaire et l'artère circonflexe postérieure de l'humérus
Muscle infra-épineux (*coupé*)
Nerf cutané latéral supérieur du bras
Espace axillaire médial avec l'artère circonflexe profonde de la scapula
Muscle grand rond
Artère brachiale profonde et Nerf radial vus entre le Chef latéral et le Chef long du muscle triceps brachial (espace axillaire inférieur)

F. Netter M.D.
© Novartis

Artère axillaire et anastomoses péri-scapulaires

VOIR AUSSI LES PLANCHES 28, 405

Vue antérieure

Artère cervicale ascendante
Artère cervicale transverse
Artère thyroïdienne inférieure
Artère supra-scapulaire
Tronc thyro-cervical
Artère subclavière
Acromion et anastomose acromiale
Muscle scalène antérieur
Clavicule (*coupée*)
Artère dorsale de la scapula
Artère thoracique supérieure
Processus coracoïde
Artère thoraco-acromiale
Branche claviculaire
Artère circonflexe antérieure de l'humérus
Branche acromiale
Artère circonflexe postérieure de l'humérus
Branche deltoïdienne
Artère subscapulaire
Branche pectorale
Artère circonflexe de la scapula
Artère brachiale
Artère thoraco-dorsale
Artère thoracique latérale

1, 2, 3 pour 1re, 2e et 3e parties de l'artère axillaire

F. Netter M.D.
© Novartis

Muscle omo-hyoïdien (ventre inférieur)
Artère supra-scapulaire
Branche acromiale de l'artère thoraco-acromiale
Muscle élévateur de la scapula
Acromion et plexus acromial
Artère dorsale de la scapula
Branche infra-épineuse de l'artère supra-scapulaire
Muscle supra-épineux (*coupé*)
Artère circonflexe postérieure de l'humérus (dans l'espace axillaire latéral) et branches ascendante et descendante
Ligament transverse supérieur de la scapula et incisure supra-scapulaire
Épine de la scapula
Muscle infra-épineux (*coupé*)
Artère circonflexe de la scapula
Muscle petit rond (*coupé*)
Muscle grand rond
Chef latéral
Chef long
Muscle triceps brachial

C. Machado M.D.
© Novartis

Vue postérieure

Fascias pectoral, clavi-pectoral et axillaire

VOIR AUSSI LA PLANCHE 174

Artère thoraco-acromiale
Muscle trapèze
Muscle omo-hyoïdien recouvert par le fascia des muscles infra-hyoïdiens
Processus coracoïde
Clavicule
Veine céphalique
Fascia recouvrant le muscle subclavier*
Ligament costo-coracoïdien*
Muscle deltoïde
Ligament costo-claviculaire
Membrane costo-coracoïdienne*
Muscle grand pectoral (*coupé*)
Fascia recouvrant le muscle petit pectoral*
Ligament suspenseur de l'aisselle*
Muscle biceps brachial
Chef court
Chef long
Muscle grand pectoral et fascia pectoral (lames superficielle et profonde)
Fascia du grand dorsal
Fascia du dentelé antérieur
Fascia axillaire (partie antérieure)
Fascia brachial (*bord coupé*) sur les muscles coraco-brachial et biceps brachial

Vue antérieure

F. Netter M.D.
© Novartis

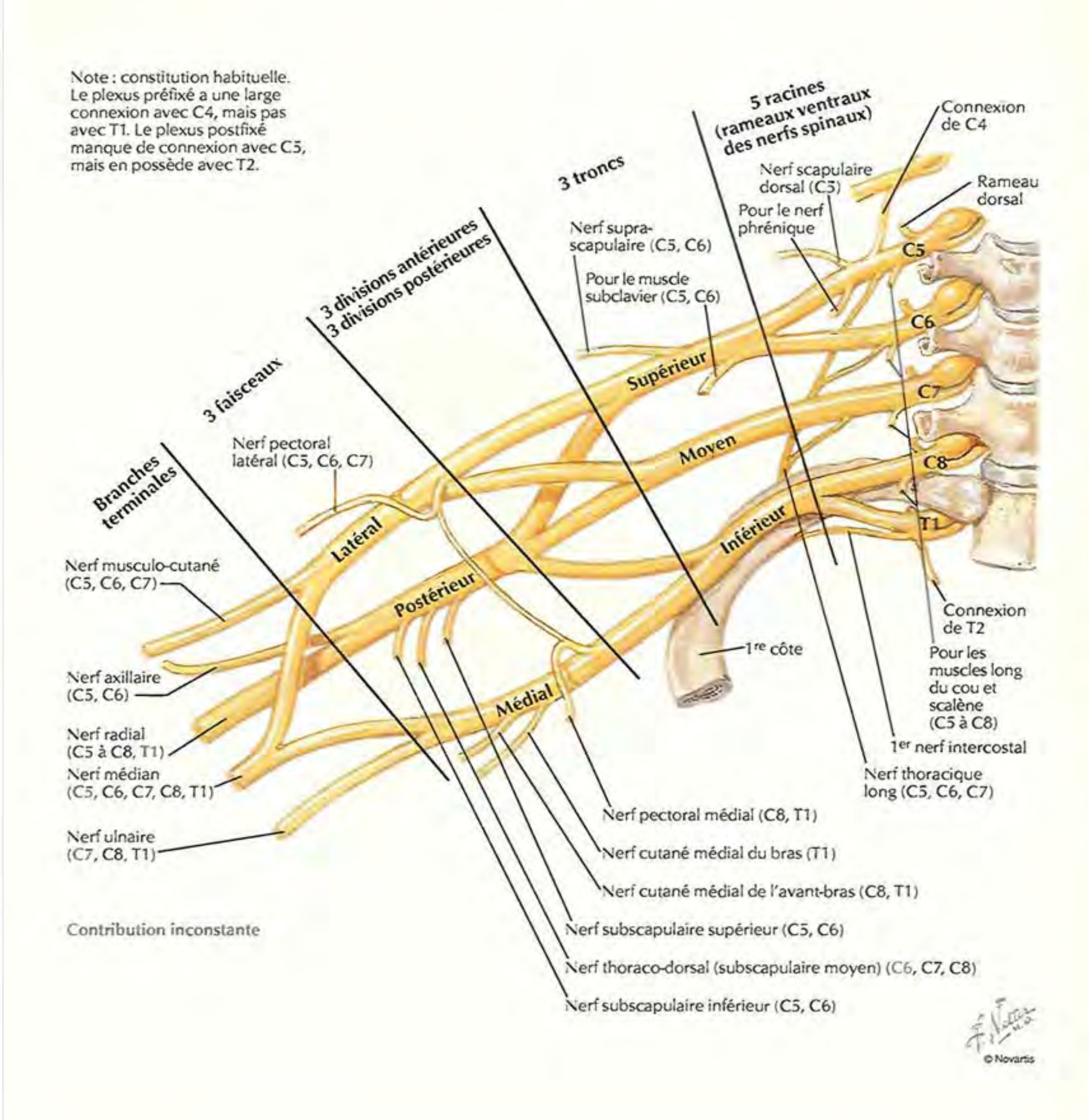
Coupe parasagittale oblique de l'aisselle

Muscle omo-hyoïdien
Clavicule
Muscle trapèze
Muscle subclavier et son fascia*
Plexus brachial: Faisceau latéral, Faisceau postérieur, Faisceau médial
Ligament costo-coracoïde*
Artère thoraco-acromiale et veine céphalique
Muscle supra-épineux
Membrane costo-coracoïdienne*
Scapula: Épine, Corps
Nerf pectoral latéral
Artère et veine axillaires
Muscle infra-épineux
Muscle grand pectoral et son fascia
Muscle subscapulaire
Muscle petit pectoral et son fascia*
Muscle petit rond
Nerf pectoral médial
Muscle grand rond
Ligament suspenseur de l'aisselle
Muscle grand dorsal
Fascia axillaire (*fenêtré*)
Nœuds lymphatiques axillaires: Central, Pectoral (antérieur)

* Parties du fascia clavi-pectoral

Tendon du petit pectoral (coupé)
Processus coracoïde
Acromion
Veine céphalique
Nerf musculo-cutané
Artère circonflexe antérieure de l'humérus
Nerf axillaire et artère circonflexe postérieure de l'humérus
Muscle grand pectoral (coupé)
Muscle coraco-brachial
Muscle deltoïde
Muscle biceps brachial
Nerf musculo-cutané
Muscle brachial
Artère brachiale profonde
Nerf radial
Muscle triceps brachial
Veines brachiales
Nerf ulnaire
Nerf médian
Artère brachiale
Nerf cutané médial de l'avant-bras
Veine basilique
Artère thoraco-acromiale
Branche acromiale
Branche deltoïdienne
Branche claviculaire
Branche pectorale
Artère axillaire
Clavicule et muscle subclavier (coupés)
Muscle trapèze
Artère et nerf supra-scapulaires
Artère et nerf scapulaires dorsaux
Artère transverse du cou
Muscle scalène antérieur
Muscle sterno-cléido-mastoïdien
Nerf phrénique
Muscle omo-hyoïdien
Nerf ulnaire
Nerf cutané médial du bras
Nerf intercosto-brachial
Artère circonflexe de la scapula
Nerf subscapulaire inférieur
Muscle grand rond
Artère subscapulaire
Muscle grand dorsal
Artère et nerf thoraco-dorsaux
Nerf subscapulaire supérieur
Muscle dentelé antérieur
Artère thoracique latérale et nerf thoracique long
Muscle petit pectoral (coupé)
Nerf pectoral médial
Nerf pectoral latéral
Artère thoracique supérieure
Plexus brachial
1re côte
Artère et veine subclavières

F. Netter M.D.



VOIR AUSSI LA PLANCHE 443

Ligament coraco-acromial
Bourse subdeltoïdienne
Tubercule majeur et
Tubercule mineur
de l'humérus
Gaine synoviale intertuberculaire
Muscle deltoïde (*récliné*)
Muscle grand pectoral (*récliné*)
Artère circonflexe antérieure de l'humérus
Muscle biceps brachial { Chef long / Chef court
Artère brachiale (*coupée*)
Nerf médian (*coupé*)
Muscle brachial
Nerf cutané latéral de l'avant-bras
Aponévrose bicipitale
Tendon du biceps brachial
Muscle brachio-radial
Muscle rond pronateur
Muscle fléchisseur radial du carpe
Acromion
Processus coracoïde
Tendon du petit pectoral (*coupé*)
Muscle subscapulaire
Nerf musculo-cutané (*coupé*)
Muscle coraco-brachial
Artère circonflexe de la scapula (*coupée*)
Muscle grand rond
Muscle grand dorsal

Couche superficielle

Tendons du biceps brachial (*coupés*)
Chef court
Chef long
Muscle coraco-brachial
Nerf musculo-cutané
Muscle deltoïde (*coupé*)
Muscle brachial
Septum intermusculaire médial
Septum intermusculaire latéral
Épicondyle latéral de l'humérus
Nerf cutané latéral de l'avant-bras
Tête du radius
Tendon du biceps brachial
Tubérosité radiale
Épicondyle médial de l'humérus
Tubérosité ulnaire

Couche profonde

VOIR AUSSI LA PLANCHE 446

Couche superficielle

Acromion
Muscle supra-épineux
Tubercule majeur de l'humérus
Muscle infra-épineux
Muscle petit rond
Nerf axillaire et artère circonflexe postérieure de l'humérus
Muscle deltoïde (*coupé et récliné*)
Nerf cutané latéral supérieur du bras
Chef long / Chef latéral / Tendon } Muscle triceps brachial
Muscle brachio-radial
Muscle grand rond
Nerf cutané postérieur du bras (issu du nerf radial)
Septum intermusculaire médial
Nerf ulnaire
Épicondyle médial de l'humérus
Olécrâne
Muscle fléchisseur ulnaire du carpe
Muscle anconé
Muscle long extenseur radial du carpe
Muscle extenseur ulnaire du carpe
Nerf cutané postérieur de l'avant-bras (issu du nerf radial)
Muscle extenseur des doigts
Muscle court extenseur radial du carpe

Capsule de l'articulation de l'épaule
Tendon du supra-épineux
Tendons de l'infra-épineux et du grand rond (*coupés*)
Nerf axillaire
Artère circonflexe postérieure de l'humérus
Nerf cutané latéral supérieur du bras
Artère brachiale profonde
Nerf radial
Artère collatérale moyenne
Artère collatérale radiale
Nerf cutané latéral inférieur du bras
Septum intermusculaire latéral
Nerf du muscle anconé et du chef latéral du muscle triceps brachial
Nerf cutané postérieur de l'avant-bras
Épicondyle latéral de l'humérus
Muscle grand rond
Chef long du muscle triceps brachial
Chef latéral du muscle triceps brachial (*coupé*)
Chef médial du muscle triceps brachial
Épicondyle médial de l'humérus
Nerf ulnaire
Olécrâne
Muscle anconé

Couche profonde

Artère brachiale in situ

Processus coracoïde
Muscle deltoïde
Artère circonflexe antérieure de l'humérus
Humérus
Muscle grand pectoral et son tendon (*coupé*)
Muscle biceps brachial { Chef long / Chef court
Muscle coraco-brachial
Artère brachiale
Branche musculaire
Nerf médian
Branche musculaire
Muscle biceps brachial
Muscle brachial
Artère récurrente radiale
Tendon du biceps brachial
Artère radiale

Artère axillaire
Muscle petit pectoral (*coupé*)
Faisceau latéral et Faisceau médial du plexus brachial
Nerf musculo-cutané
Muscle subscapulaire
Artères circonflexes antérieure et postérieure de l'humérus
Muscle grand rond
Muscle grand dorsal
Artère brachiale profonde
Nerf cutané médial du bras
Nerf ulnaire
Nerf cutané médial de l'avant-bras
Chef long / Chef médial } Muscle triceps brachial
Artère collatérale ulnaire supérieure
Septum intermusculaire médial
Artère collatérale ulnaire inférieure
Épicondyle médial de l'humérus
Aponévrose bicipitale
Muscle rond pronateur
Artère ulnaire
Muscle fléchisseur radial du carpe
Muscle brachio-radial

F. Netter M.D.

Artère brachiale et anastomoses péri-cubitales

VOIR AUSSI LA PLANCHE 398

Branche claviculaire
Branche pectorale
Branche acromiale
Branche deltoïdienne
Artère thoraco-acromiale
Artère axillaire
Artère circonflexe antérieure de l'humérus
Artère circonflexe postérieure de l'humérus
Artère brachiale
Artère brachiale profonde
Artère collatérale radiale
Artère collatérale moyenne
Artère récurrente radiale
Artère interosseuse récurrente
Artère interosseuse postérieure
Artère radiale

Artère thoracique supérieure
Artère thoracique latérale
Artère subscapulaire
Artère circonflexe de la scapula
Artère thoraco-dorsale
Le niveau du bord inférieur du muscle grand rond est la limite où l'artère axillaire prend le nom d'artère brachiale
Artère collatérale ulnaire supérieure
Artère collatérale ulnaire inférieure
Artère récurrente ulnaire antérieure
Artère récurrente ulnaire postérieure
Artère interosseuse commune
Artère interosseuse antérieure
Artère ulnaire

F. Netter M.D.

Muscle grand pectoral et son tendon
Veine céphalique
Muscle biceps brachial { Chef court / Chef long
Muscle coraco-brachial
Humérus
Muscle deltoïde
Muscle triceps brachial { Chef latéral / Chef long
Muscle biceps brachial
Nerf musculo-cutané
Muscle brachial
Veine céphalique
Nerf radial
Nerf cutané postérieur de l'avant-bras (issu du nerf radial)
Artère collatérale radiale
Artère collatérale moyenne
Septum intermusculaire latéral
Muscle triceps brachial { Chef médial / Chef latéral / Chef long
Muscle biceps brachial
Veine céphalique
Muscle brachial
Muscle brachio-radial
Nerf radial
Muscle long extenseur radial du carpe
Nerf cutané postérieur de l'avant-bras (issu du nerf radial)

Nerf musculo-cutané
Nerf médian
Nerf cutané médial de l'avant-bras
Artère et veines brachiales
Veine basilique
Artère brachiale profonde
Nerf ulnaire
Nerf radial
Nerf cutané médial du bras
Tendon du long dorsal
Muscle grand rond
Fascia brachial
Nerf médian
Artère et veines brachiales
Nerf cutané médial de l'avant-bras
Veine basilique
Nerf cutané médial du bras
Loge neuro-vasculaire
Nerf ulnaire
Artère collatérale ulnaire supérieure
Septum intermusculaire médial
Fascia brachial
Nerf cutané latéral de l'avant-bras (issu du nerf musculo-cutané)
Nerf cutané médial de l'avant-bras
Veine basilique
Nerf médian
Nerf ulnaire
Artère et veines brachiales
Septum intermusculaire médial
Humérus
Muscle triceps brachial et son tendon
Septum intermusculaire latéral

Coude droit
Condyle { Médial / Latéral
Crête supra-condylaire latérale
Fosse radiale
Épicondyle latéral
Capitulum
Tête
Col
Tubérosité
Radius
Humérus
Crête supracondylaire médiale
Fosse coronoïde
Épicondyle médial
Trochlée
Processus coronoïde
Incisure radiale de l'ulna
Tubérosité
Ulna

En extension : vue antérieure

Humérus
Fosse olécrânienne
Sillon du nerf ulnaire
Ulna
Épicondyle latéral
Olécrâne
Tête
Col
Tubérosité
Radius

En extension : vue postérieure

Humérus
Radius
Ulna
Humérus

En extension : vue latérale

En extension : vue médiale

Humérus
Épicondyle latéral
Capitulum
Tête
Col
Tubérosité
Radius
Ulna
Incisure radiale
Processus coronoïde
Incisure trochléaire
} de l'ulna
Olécrâne

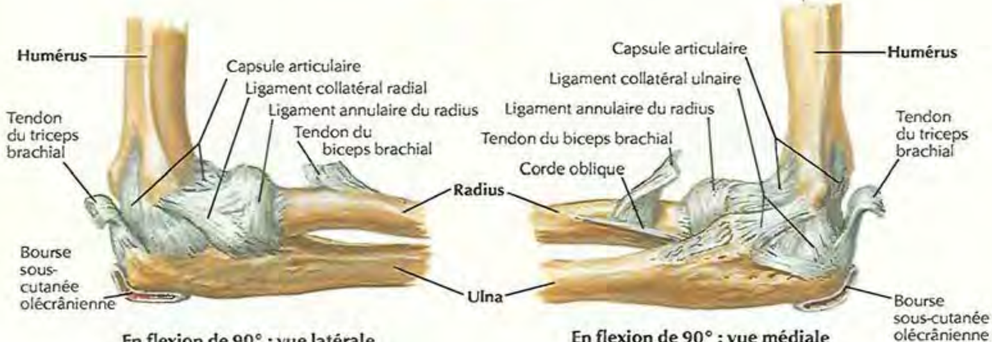
En flexion de 90° : vue latérale

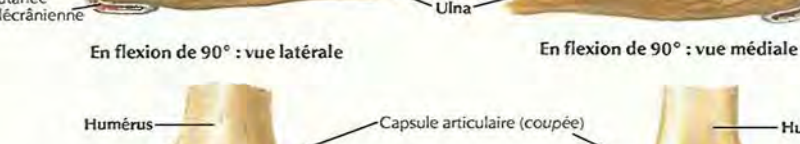
Humérus
Épicondyle médial
Capitulum
Trochlée
Tête
Col
Tubérosité
Tubérosité
Processus coronoïde
Incisure trochléaire
Olécrâne

En flexion de 90° : vue médiale

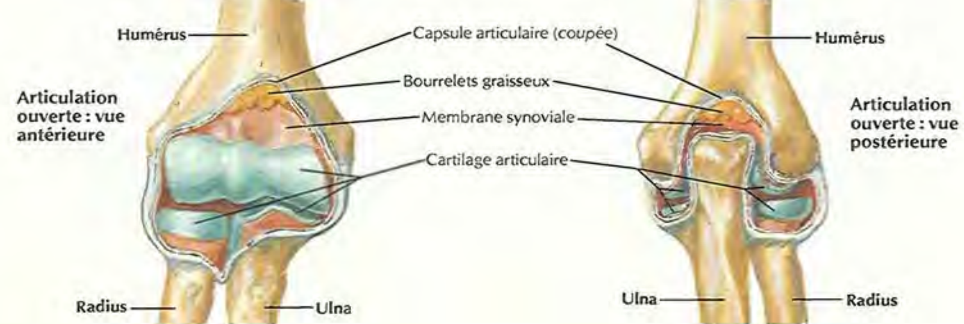
Coude droit







En flexion de 90° : vue latérale **En flexion de 90° : vue médiale**



Articulation ouverte : vue antérieure

Articulation ouverte : vue postérieure

Radius et ulna droits en supination : vue antérieure

Radius et ulna droits en pronation : vue antérieure

Olécrâne
Incisure trochléaire
Processus coronoïde
Tête
Incisure radiale de l'ulna
Col
Tubérosité ulnaire
Corde oblique
Tubérosité radiale
Corde oblique
Tubérosité ulnaire
Radius
Ulna
Radius
Ulna
Face antérieure
Face antérieure
Face latérale
Bord antérieur
Bord postérieur
Bord antérieur
Face postérieure
Membrane interosseuse
Bord interosseux
Bord interosseux
Membrane interosseuse
Tubercule dorsal
Sillon du muscle long extenseur du pouce
Sillon des muscles long et court extenseurs radiaux du carpe
Sillon des muscles extenseur des doigts et extenseur de l'index
Surface pour les muscles court extenseur du pouce et long abducteur du pouce
Processus styloïde de l'ulna
Processus styloïde
Processus styloïde
© Novartis

Radius
Ulna
Incisure ulnaire du radius
Processus styloïde
Processus styloïde
Surface articulaire scaphoïdienne
Surface articulaire lunaire

Surface articulaire carpienne

Coupe frontale du radius montrant comment l'épaisseur du cortex osseux du corps diminue jusqu'à une mince couche recouvrant l'os spongieux de l'extrémité distale

Muscles propres de l'avant-bras : rotateurs du radius

Avant-bras droit : vue antérieure

Supination

Épicondyle latéral
Épicondyle médial
Supinateur
Rond pronateur
Ulna
Radius
Carré pronateur

Pronation

Épicondyle médial
Épicondyle latéral
Radius
Ulna

© Novartis

Muscles propres de l'avant-bras : extenseurs du poignet et des doigts

Note : le muscle anconé n'est pas représenté car il est extenseur du coude

Épicondyle médial
Olécrâne
Épicondyle latéral
Tendon de l'extenseur commun
Ulna

Extenseurs du poignet

Long extenseur radial du carpe
Court extenseur radial du carpe
Extenseur ulnaire du carpe

Extenseurs des doigts (sauf le pouce)

Extenseur des doigts
Extenseur du petit doigt
Extenseur de l'index

Extenseur du pouce

Long abducteur du pouce
Court extenseur du pouce
Long extenseur du pouce

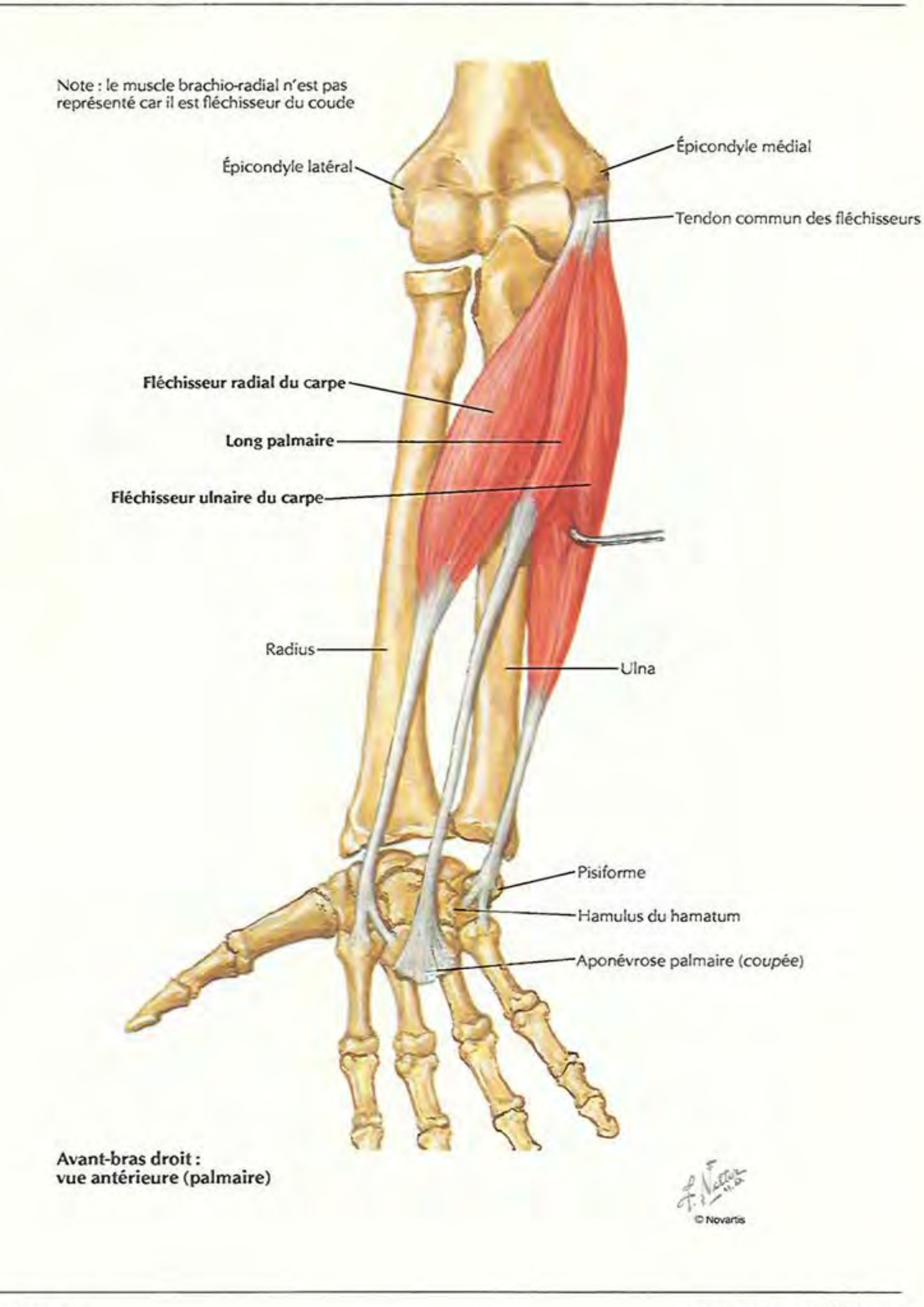
Tendon de l'extenseur de l'index

Épicondyle médial
Olécrâne
Épicondyle latéral
Tendon commun des extenseurs
Extenseur des doigts et extenseur du petit doigt (*réséqués*)
Membrane interosseuse
Radius
Ulna
Tendons de l'extenseur des doigts et de l'extenseur du petit doigt (*coupés*)

Avant-bras droit : vues postérieures

© Novartis

Muscles propres de l'avant-bras : fléchisseurs du poignet



Avant-bras droit :
vue antérieure (palmaire)

Muscles propres de l'avant-bras : fléchisseurs des doigts

Épicondyle médial
Épicondyle latéral
Tendon du fléchisseur commun
Processus coronoïde
Membrane interosseuse
Radius
Fléchisseur superficiel des doigts
Fléchisseur profond des doigts
Long fléchisseur du pouce
Ulna
Tendons du fléchisseur superficiel des doigts (*réséqués*)
© Novartis

Avant-bras droit : vues antérieures (palmaires)

Muscles de l'avant-bras (couche superficielle) : vue postérieure

VOIR AUSSI LES PLANCHES 439, 447

Artère collatérale ulnaire supérieure (anastomosée distalement avec l'artère récurrente ulnaire postérieure)
Muscle triceps brachial
Muscle brachio-radial
Nerf ulnaire
Muscle long extenseur radial du carpe
Épicondyle médial de l'humérus
Tendon de l'extenseur commun
Olécrâne
Muscle court extenseur radial du carpe
Muscle anconé
Muscle fléchisseur ulnaire du carpe
Muscle extenseur des doigts
Muscle extenseur ulnaire du carpe
Muscle extenseur du petit doigt
Muscle long abducteur du pouce
Muscle court extenseur du pouce
Tendon du long extenseur du pouce
Tendon du court extenseur radial du carpe
Tendon du long extenseur radial du carpe
Rétinaculum des extenseurs (loges numérotées)
Branche superficielle du nerf radial
Branche dorsale du nerf ulnaire
6 5 4 3 2 1
Tendon du long abducteur du pouce
Tendon du court extenseur du pouce
Tendon du long extenseur du pouce
Tendon de l'extenseur ulnaire du carpe
Tendon de l'extenseur du petit doigt
Tendons de l'extenseur des doigts
Tendon de l'extenseur de l'index
Tabatière anatomique
5e métacarpien

F. Netter M.D.

Muscles de l'avant-bras (couche profonde) : vue postérieure

VOIR AUSSI LES PLANCHES 439, 447

Branches de l'artère brachiale { Collatérale ulnaire supérieure
Collatérale ulnaire inférieure (branche postérieure)
Branche collatérale moyenne de l'artère profonde du bras
Septum intermusculaire médial
Septum intermusculaire latéral
Nerf ulnaire
Muscle brachio-radial
Artère récurrente ulnaire postérieure
Muscle long extenseur radial du carpe
Épicondyle médial de l'humérus
Épicondyle latéral de l'humérus
Tendon du triceps brachial (*coupé*)
Tendon de l'extenseur commun (*partiellement coupé*)
Olécrâne
Muscle court extenseur radial du carpe
Muscle anconé
Muscle supinateur
Muscle fléchisseur ulnaire du carpe
Branche profonde du nerf radial
Artère interosseuse récurrente
Muscle rond pronateur (lame d'insertion)
Artère interosseuse postérieure
Radius
Ulna
Nerf interosseux postérieur
Muscle long extenseur du pouce
Muscle long abducteur du pouce
Muscle extenseur de l'index
Muscle court extenseur du pouce
Artère interosseuse antérieure (terminaison)
Tendon du court extenseur radial du carpe
Tendon du long extenseur radial du carpe
Tendon de l'extenseur ulnaire du carpe (*coupé*)
Tendon de l'extenseur du petit doigt (*coupé*)
Tendons de l'extenseur des doigts (*coupés*)
Artère radiale
6 5 4 3 2 1
1er métacarpien
Rétinaculum des extenseurs (loges numérotées)
2e métacarpien
5e métacarpien
1er muscle interosseux dorsal

F. Netter M.D.

Muscles de l'avant-bras (couche superficielle) : vue antérieure

VOIR AUSSI LES PLANCHES 444, 445

Muscle biceps brachial
Artère brachiale et nerf médian
Nerf cutané latéral de l'avant-bras (terminaison du nerf musculo-cutané)
Muscle brachial
Tendon du biceps brachial
Artère radiale
Aponévrose bicipitale
Muscle brachio-radial
Muscle long extenseur radial du carpe
Muscle court extenseur radial du carpe
Muscle long fléchisseur du pouce et son tendon
Artère radiale
Nerf médian
Fibres transversales de l'aponévrose palmaire (ligament palmaire du carpe) (se continue avec le rétinaculum des extenseurs)
Muscles thénariens
Aponévrose palmaire

Nerf cutané médial de l'avant-bras
Nerf ulnaire
Muscle triceps brachial
Septum intermusculaire médial
Artère ulnaire
Épicondyle médial de l'humérus
Tendon du fléchisseur commun
Muscle rond pronateur
Muscle fléchisseur radial du carpe
Muscle long palmaire
Muscle fléchisseur ulnaire du carpe
Muscle fléchisseur superficiel des doigts
Muscles fléchisseurs superficiels
Tendon du long palmaire
Branche dorsale du nerf ulnaire
Artère et nerf ulnaires
Tendons du fléchisseur superficiel des doigts
Pisiforme
Branche palmaire du nerf médian
Muscles hypothénariens

Muscles de l'avant-bras (couche intermédiaire) : vue antérieure

VOIR AUSSI LES PLANCHES 444, 445

Muscle biceps brachial
Muscle brachial
Nerf cutané latéral de l'avant-bras (*coupé*) (issu du nerf musculo-cutané)
Nerf radial
Branche profonde
Branche superficielle
Tendon du biceps brachial
Artère récurrente radiale
Artère radiale
Muscle supinateur
Muscle brachio-radial
Muscle rond pronateur (coupé)
Muscle fléchisseur superficiel des doigts (chef radial)
Muscle long fléchisseur du pouce
Fibres transversales de l'aponévrose palmaire (ligament palmaire du carpe) (se continue avec le rétinaculum des extenseurs) avec le tendon du long palmaire (*coupé et récliné*)
Tendon du fléchisseur radial du carpe (coupé)
Branche palmaire superficielle de l'artère radiale

Nerf ulnaire
Nerf médian
Artère brachiale
Septum intermusculaire médial
Muscle rond pronateur (chef huméral) (*coupé et récliné*)
Épicondyle médial
Tendons du fléchisseur radial du carpe et du long palmaire (*coupés*)
Artère récurrente ulnaire antérieure
Muscle fléchisseur superficiel des doigts (chef huméro-ulnaire)
Artère ulnaire
Artère interosseuse commune
Muscle rond pronateur (chef ulnaire) (*coupé*)
Artère interosseuse antérieure
Muscle fléchisseur ulnaire du carpe
Muscle fléchisseur superficiel des doigts
Artère ulnaire
Nerf ulnaire et branche dorsale
Nerf médian
Branches palmaires des nerfs médian et ulnaire (*coupées*)
Pisiforme
Branche palmaire profonde de l'artère ulnaire et branche profonde du nerf ulnaire
Branche superficielle du nerf ulnaire
Rétinaculum des fléchisseurs (ligament transverse du carpe)

Muscles de l'avant-bras (couche profonde) : vue antérieure

VOIR AUSSI LES PLANCHES 444, 445

Muscle brachial
Nerf musculo-cutané (devient)
Nerf cutané latéral de l'avant-bras
Septum intermusculaire latéral
Nerf radial
Épicondyle latéral
Tendon du biceps brachial (*coupé*)
Artère récurrente radiale
Artère radiale
Muscle supinateur
Artères interosseuses postérieure et antérieure
Muscle fléchisseur superficiel des doigts (chef radial) (*coupé*)
Muscle rond pronateur (*coupé et récliné*)
Artère radiale
Muscle long fléchisseur du pouce et son tendon (*coupé*)
Radius
Muscle carré pronateur
Tendon du brachio-radial (*coupé*)
Artère radiale et rameau palmaire superficiel
Tendon du long fléchisseur du pouce (*coupé*)
Tendon du fléchisseur radial du carpe (*coupé*)
Tendon du long abducteur du pouce
Tendon du court extenseur du pouce
1[er] métacarpien

Nerf ulnaire
Nerf médian
Artère brachiale
Septum intermusculaire médial
Muscle rond pronateur (*coupé et récliné*)
Artère récurrente ulnaire antérieure
Épicondyle médial de l'humérus
Muscles fléchisseur radial du carpe, long palmaire, fléchisseur superficiel des doigts (chef huméro-ulnaire) et fléchisseur ulnaire du carpe (*coupés*)
Artère récurrente ulnaire postérieure
Artère ulnaire
Artère interosseuse commune
Muscle rond pronateur (chef ulnaire) (*coupé*)
Nerf médian (*coupé*)
Muscle fléchisseur profond des doigts
Artère et nerf interosseux antérieurs
Nerf ulnaire et branche dorsale
Branches carpiennes palmaires des artères radiale et ulnaire
Tendon du fléchisseur ulnaire du carpe
Pisiforme
Branche palmaire profonde de l'artère ulnaire et branche profonde du nerf ulnaire
Hamulus du hamatum
5[e] métacarpien

Avant-bras : coupes transversales sériées

Veine intermédiaire de l'avant-bras
Muscle rond pronateur
Artère radiale et branche superficielle du nerf radial
Radius
Muscle brachio-radial
Veine céphalique et nerf cutané latéral de l'avant-bras (issu du nerf musculo-cutané)
Muscle supinateur
Branche profonde du nerf radial
Muscle long extenseur radial du carpe
Muscle court extenseur radial du carpe
Muscle extenseur des doigts
Muscle extenseur du petit doigt
Muscle extenseur ulnaire du carpe
Muscle fléchisseur radial du carpe
Muscle brachio-radial
Artère radiale et branche superficielle du nerf radial
Muscle long fléchisseur du pouce
Muscle long extenseur radial du carpe et son tendon
Radius
Muscle court extenseur radial du carpe et son tendon
Muscle long abducteur du pouce
Muscle extenseur des doigts
Muscle extenseur du petit doigt
Muscle extenseur ulnaire du carpe
Tendon du fléchisseur radial du carpe
Artère radiale
Tendon du brachio-radial
Tendon du long abducteur du pouce
Branche superficielle du nerf radial
Tendon du court extenseur du pouce
Tendon du long extenseur radial du carpe
Tendon du court extenseur radial du carpe
Muscle long fléchisseur du pouce
Tendon du long extenseur du pouce
Radius

Muscle fléchisseur superficiel des doigts (chef radial)
Branche antérieure du nerf cutané médial de l'avant-bras
Muscle long fléchisseur du pouce
Membrane interosseuse
Muscle fléchisseur radial du carpe
Artère ulnaire et nerf médian
Muscle long palmaire
Muscle fléchisseur superficiel des doigts (chef huméro-ulnaire)
Artère interosseuse commune
Nerf ulnaire
Muscle fléchisseur ulnaire du carpe
Veine basilique
Muscle fléchisseur profond des doigts
Ulna et fascia antébrachial
Muscle anconé
Nerf cutané postérieur de l'avant-bras (issu du nerf radial)
Muscle long palmaire
Muscle fléchisseur superficiel des doigts
Nerf médian
Artère et nerf ulnaires
Muscle fléchisseur ulnaire du carpe
Artère et nerf interosseux antérieurs (issu du nerf médian)
Muscle fléchisseur profond des doigts
Ulna et fascia antébrachial
Membrane interosseuse et muscle long extenseur du pouce
Artère et nerf interosseux postérieurs (prolongement de la branche profonde du nerf radial)
Tendon du long palmaire
Nerf médian
Muscle fléchisseur superficiel des doigts et ses tendons
Muscle fléchisseur ulnaire du carpe et son tendon
Artère et nerf ulnaires
Rameau dorsal du nerf ulnaire
Muscle fléchisseur profond des doigts et ses tendons
Fascia antébrachial
Ulna
Tendon de l'extenseur ulnaire du carpe
Muscle carré pronateur et membrane interosseuse
Muscle extenseur de l'index et son tendon
Tendon du muscle extenseur du petit doigt
Tendons de l'extenseur des doigts (tendon commun aux doigts 4 et 5 à ce niveau)

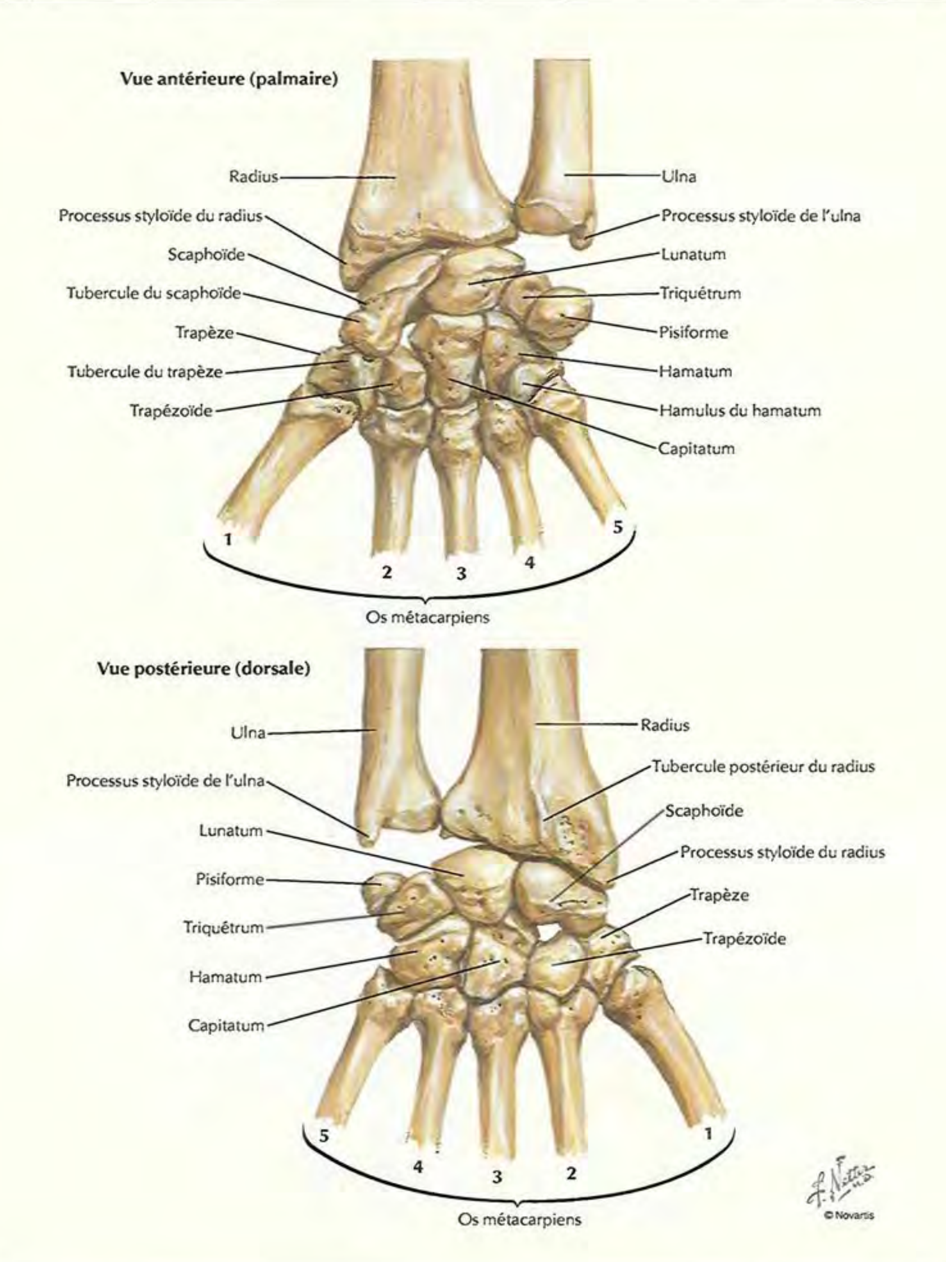
Insertions des muscles de l'avant-bras : vue antérieure

Muscle brachio-radial
Muscle brachial
Muscle long extenseur radial du carpe
Muscle rond pronateur (chef huméral)
Muscles court extenseur radial du carpe, extenseur des doigts, extenseur du petit doigt, extenseur ulnaire du carpe } Tendon commun des extenseurs
Tendon commun des fléchisseurs { Muscles rond pronateur, fléchisseur radial du carpe, long palmaire, fléchisseur ulnaire du carpe, fléchisseur superficiel des doigts (chef huméro-ulnaire)
Muscle brachial
Muscle fléchisseur superficiel des doigts (chef huméro-ulnaire)
Muscle biceps brachial
Muscle rond pronateur (chef ulnaire)
Muscle supinateur
Muscle fléchisseur superficiel des doigts (chef radial)
Muscle fléchisseur profond des doigts
Muscle rond pronateur
Muscle long fléchisseur du pouce
Ulna
Radius
Muscle carré pronateur
Muscle carré pronateur
Note : les insertions des muscles intrinsèques de la main ne sont pas représentées ici
Muscle brachio-radial
Muscle long abducteur du pouce
Muscle fléchisseur ulnaire du carpe
Muscle fléchisseur radial du carpe
Muscle extenseur ulnaire du carpe
Muscle long fléchisseur du pouce
Muscle fléchisseur superficiel des doigts
Muscle fléchisseur profond des doigts
F. Netter M.D.
© Novartis
Origines
Terminaisons

Insertions des muscles de l'avant-bras : vue postérieure

Note : les insertions des muscles intrinsèques de la main ne sont pas représentées ici
Muscle triceps brachial (chef médial)
Tendon du triceps brachial
Muscle fléchisseur ulnaire du carpe (origine humérale via le tendon commun des fléchisseurs)
Muscle anconé
Muscle fléchisseur ulnaire du carpe (origine ulnaire)
Muscle biceps brachial
Muscle fléchisseur profond des doigts
Muscle supinateur
Muscle long abducteur du pouce
Muscle extenseur ulnaire du carpe (origine ulnaire)
Muscle rond pronateur
Muscle long extenseur du pouce
Muscle court extenseur du pouce
Muscle extenseur de l'index
F. Netter M.D.
© Novartis
Ulna
Radius
Muscle long extenseur radial du carpe
Muscle brachio-radial
Muscle court extenseur radial du carpe
Muscle long abducteur du pouce
Muscle extenseur ulnaire du carpe
Muscle court extenseur du pouce
Muscle extenseur des doigts (languettes centrales)
Muscle extenseur du petit doigt
Muscle long extenseur du pouce
Muscle extenseur de l'index
Muscle extenseur commun des doigts (languettes latérales)
Origines
Terminaisons

Os du carpe



Mouvements du poignet

Radius
Ulna
Scaphoïde
Capitatum
Trapézoïde
Lunatum
Trapèze
Triquétrum
Os sésamoïdes
Pisiforme
Hamatum
1
2
3
4
5
Os métacarpiens

Position des os carpiens avec la main en abduction : vue antérieure (palmaire)

Radius
Ulna
Lunatum
Triquétrum
Scaphoïde
Pisiforme
Capitatum
Hamatum
Trapézoïde
Trapèze
5
4
3
2
1
Os métacarpiens
Os sésamoïdes

Position des os du carpe avec la main en adduction : vue antérieure (palmaire)

Radius
Articulation radio-carpienne (du poignet)
Disque articulaire de l'articulation radio-carpienne
Lunatum
Articulation intercarpienne (médio-carpienne)
Capitatum
Articulation carpo-métacarpienne
3e métacarpien
Dos
Paume
Main en position anatomique

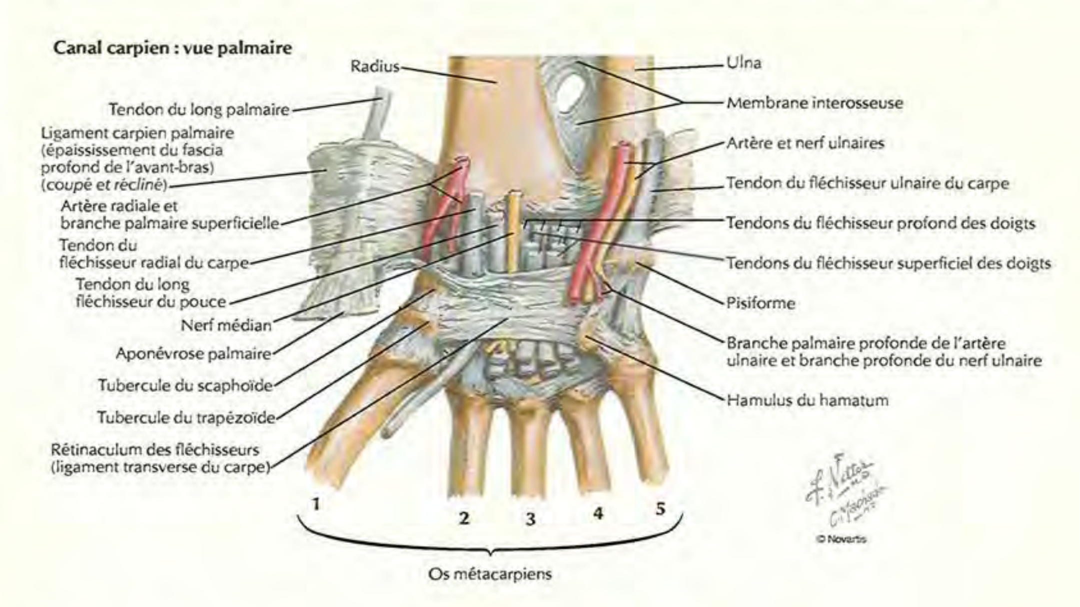
Radius
Articulation radio-carpienne (du poignet)
Articulation intercarpienne (médio-carpienne)
Articulation carpo-métacarpienne
Paume
Main en flexion

Articulation radio-carpienne (du poignet)
Articulation intercarpienne (médio-carpienne)
Articulation carpo-métacarpienne
Main en extension
Paume

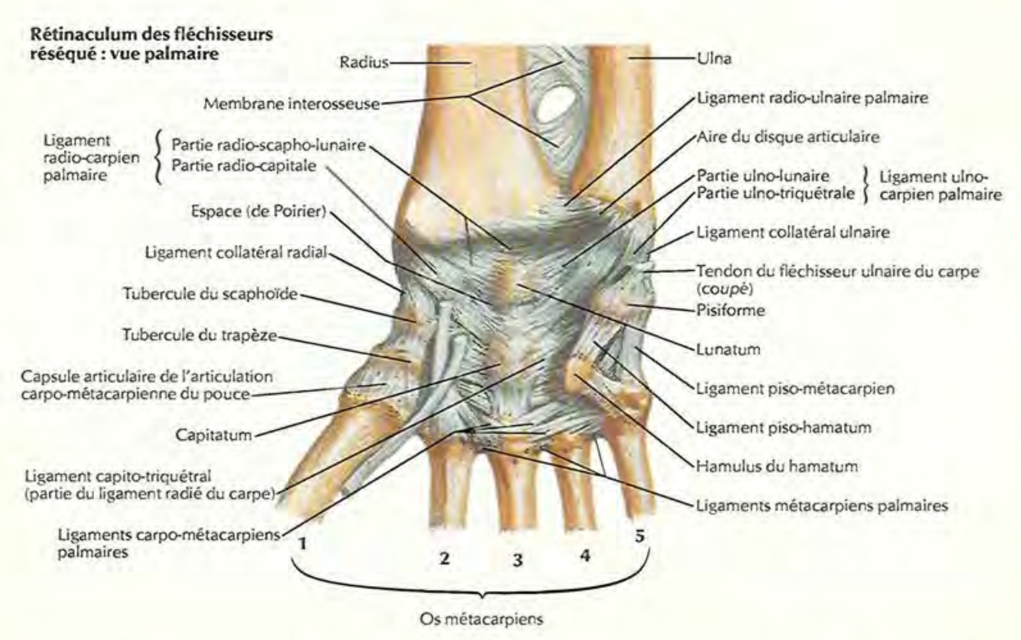
Coupes sagittales à travers le poignet et le milieu du doigt

© Novartis

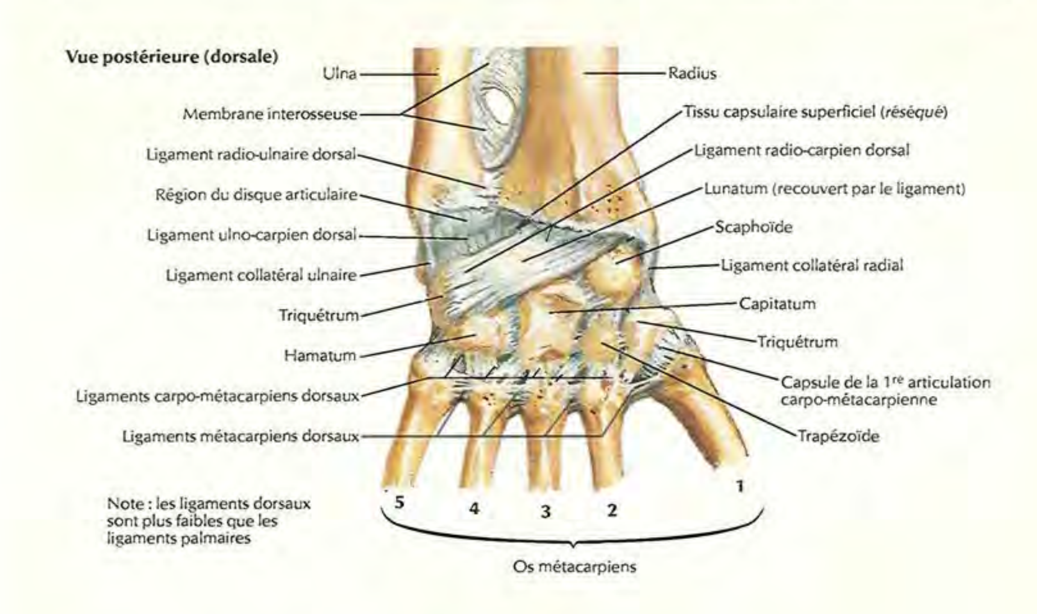
Canal carpien : vue palmaire



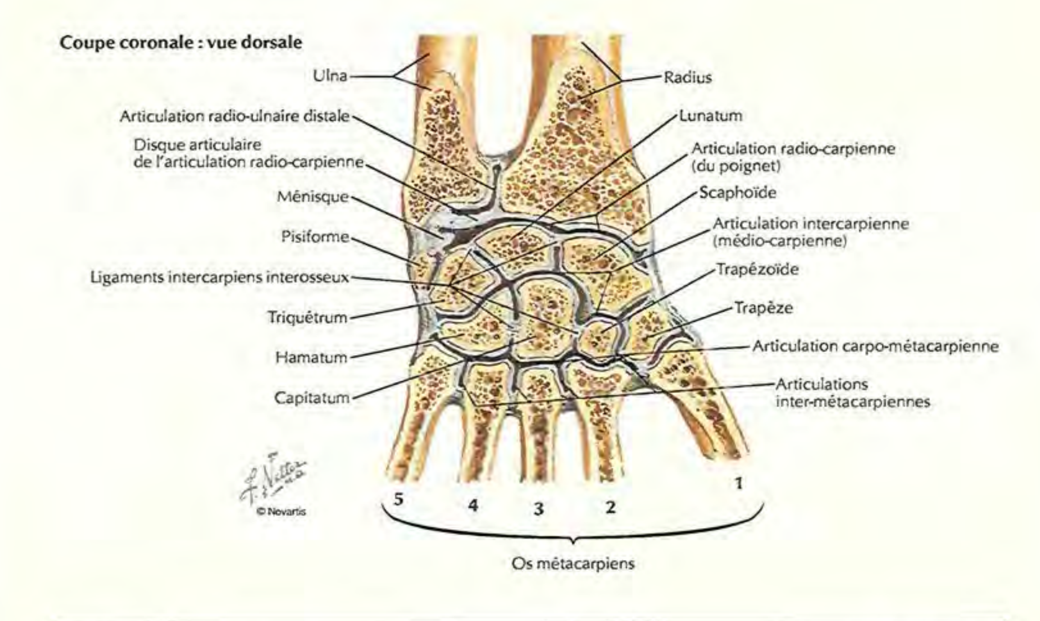
Rétinaculum des fléchisseurs réséqué : vue palmaire



Vue postérieure (dorsale)



Coupe coronale : vue dorsale



Os du poignet et de la main

Main droite : vue antérieure (palmaire)

Os carpiens
Scaphoïde et Tubercule
Trapèze et Tubercule
Trapézoïde
Lunatum
Triquétrum
Pisiforme
Capitatum
Hamatum et Hamulus

Os métacarpiens
Base
Corps
Tête
1
2
3
4
5

Os sésamoïdes

Phalanges proximales
Base
Corps
Tête

Phalanges moyennes
Base
Corps
Tête

Phalanges distales
Base
Corps
Tubérosité
Tête

Main droite : vue postérieure (dorsale)

Os carpiens
Lunatum
Scaphoïde
Capitatum
Trapézoïde
Trapèze
Pisiforme
Triquétrum
Hamatum

Os métacarpiens
Base
Corps
Tête
5
4
3
2
1

Phalanges proximales
Base
Corps
Tête

Phalanges moyennes
Base
Corps
Tête

Phalanges distales
Base
Corps
Tubérosité
Tête

F. Netter M.D.

Ligaments métacarpo- et inter-phalangiens

Vue antérieure (palmaire)

Pisiforme
Hamulus du hamatum
Ligaments carpo-métacarpiens palmaires
Ligaments métacarpiens palmaires
Trapèze
Capsule articulaire
Ligaments collatéraux
Ligaments métacarpiens transverses profonds
Ligaments palmaires (plaques)
Bords coupés des gaines fibreuses des doigts
Tendons du fléchisseur superficiel des doigts (*coupés*)
Tendons du fléchisseur profond des doigts

En extension : vue médiale

Articulation métacarpo-phalangienne (MP)
Capsule articulaire
Articulation interphalangienne proximale (IPP)
Os métacarpien
Face dorsale
Ligament collatéral
Articulation interphalangienne distale (IPD)
Face palmaire
Proximale
Moyenne
Distale
Phalanges
Ligament palmaire (plaque)

En flexion : vue médiale

Capsule articulaire
Ligament collatéral
Ligament palmaire (plaque)

F. Netter M.D.

Note : les ligaments des articulations métacarpo-phalangiennes et interphalangiennes sont similaires

Poignet et main : dissections palmaires superficielles

Tendon du long palmaire
Branche du nerf radial superficiel pour la peau de la région thénarienne latérale
Ligament palmaire du carpe (épaississement du fascia profond de l'avant-bras, se continue avec le rétinaculum des extenseurs)
Rameau palmaire du nerf médian
Muscles thénariens
Rameau récurrent (moteur) du nerf médian pour les muscles thénariens
Minuscules faisceaux d'insertion de l'aponévrose palmaire dans le derme
Rameau palmaire du nerf ulnaire
Pisiforme
Branche palmaire profonde de l'artère ulnaire et branche profonde du nerf ulnaire
Rameaux superficiels du nerf ulnaire
Artère ulnaire
Muscle court palmaire
Muscles hypothénariens
Aponévrose palmaire
Muscle court palmaire (*récliné*)
Nerfs digitaux palmaires issus du rameau superficiel du nerf ulnaire pour le 5e doigt et la moitié médiale du 4e doigt

Vues antérieures (palmaires)

Aponévrose palmaire
Faisceaux transverses
Artères et nerfs digitaux palmaires
Ligaments métacarpiens superficiels

Poignet et main : dissections palmaires profondes

Artère radiale et veines satellites
Tendon du fléchisseur radial du carpe
Gaine synoviale du tendon du long fléchisseur du pouce (bourse radiale)
Nerf médian
Tendon du long palmaire et ligament palmaire du carpe
Rétinaculum des fléchisseurs (ligament transverse du carpe)
Muscles thénariens
Nerfs digitaux propres palmaires du pouce
Gaine synoviale du tendon du long fléchisseur du pouce (bourse radiale)
Sonde dans la gaine du 1er muscle lombrical
Artère digitale commune palmaire
Artères digitales propres palmaires
Septums des aponévroses palmaires formant des canaux
Aponévrose palmaire (*réclinée*)
Artère ulnaire avec les veines satellites et le nerf ulnaire
Tendon du fléchisseur ulnaire du carpe
Gaine synoviale commune contenant les tendons superficiel et profond des fléchisseurs (bourse ulnaire)
Pisiforme
Branche palmaire profonde de l'artère ulnaire et branche profonde du nerf ulnaire
Rameau superficiel du nerf ulnaire
Nerfs digitaux palmaires pour le 5e doigt et la moitié médiale du 4e doigt
Nerf médian
Gaine synoviale commune des tendons fléchisseurs (bourse ulnaire)
Arcades artérielle et veineuse palmaires superficielles
2e, 3e et 4e muscles lombricaux (dans les gaines fasciales)
Gaines synoviales du tendon du fléchisseur des doigts

Vues antérieures (palmaires)

Nerfs digitaux propres palmaires du pouce
Fascia recouvrant le muscle adducteur du pouce
1er muscle interosseux dorsal
Sonde dans l'extension dorsale de l'espace thénarien profond sous le muscle adducteur du pouce
Espace thénarien (sous les tendons fléchisseurs et le 1er muscle lombrical)
Septum séparant l'espace thénarien de l'espace palmaire moyen
Artère digitale commune palmaire
Artères et nerfs digitaux propres palmaires
Parties annulaire et cruciforme de la gaine fibreuse recouvrant les gaines synoviales du tendon du fléchisseur
Rameau palmaire superficiel de l'artère radiale et rameau récurrent du nerf médian pour les muscles thénariens
Artère et nerf ulnaires
Rameaux digitaux palmaires communs du nerf médian
Muscles hypothénariens
Gaine commune des fléchisseurs (bourse ulnaire)
Gaine synoviale du tendon du 5e doigt
Sonde dans l'espace palmaire moyen
Espace palmaire moyen (en profondeur, tendons du fléchisseur et muscles lombricaux)
Insertion du tendon du muscle fléchisseur superficiel des doigts
Insertion du tendon du muscle fléchisseur profond des doigts

Tendons fléchisseurs, artères et nerf au poignet

Vue palmaire

Duo médian { Tendon du long palmaire / Nerf médian

Trio radial { Artère radiale / Tendon du fléchisseur radial du carpe / Tendon du long fléchisseur du pouce dans sa gaine synoviale (bourse radiale)

Ligament carpien palmaire (*récliné*)

Gaine synoviale du tendon

Rétinaculum des fléchisseurs (ligament transverse du carpe)

Trapèze

1[er] os métacarpien

Muscle opposant du pouce

Muscle court abducteur du pouce (*récliné*)

Muscle court fléchisseur du pouce (*récliné*)

Muscle adducteur du pouce

Deux quatuors de tendons { Tendons fléchisseurs superficiels des doigts et Tendons fléchisseurs profonds des doigts / Gaine synoviale commune des fléchisseurs (bourse ulnaire)

Trio ulnaire { Artère ulnaire / Nerf ulnaire / Tendon du fléchisseur ulnaire du carpe

Pisiforme

Muscle abducteur du petit doigt

Muscle court fléchisseur du petit doigt

Muscle opposant du petit doigt

Arcade (artérielle) palmaire superficielle

Muscles lombricaux

© Novartis

Coupe transversale du poignet montrant le canal carpien

Rétinaculum des fléchisseurs (ligament transverse du carpe)

Trio ulnaire { Artère et nerf ulnaire / Tendon du fléchisseur ulnaire du carpe

Deux quatuors de tendons dans la gaine synoviale commune des fléchisseurs { Tendons fléchisseurs superficiels des doigts* / Tendons fléchisseurs profonds des doigts*

Duo médian { Tendon du long palmaire / Nerf médian*

Trio radial dans sa gaine synoviale { Tendon du fléchisseur radial du carpe / Tendon du long fléchisseur du pouce dans sa gaine synoviale / Artère radiale

Hamatum

Capitatum

Trapézoïde

Trapèze

3 4 2 5

Méthode simple pour montrer la disposition des quatre tendons du fléchisseur superficiel des doigts dans le canal carpien

* Contenu du canal carpien

Bourses, espaces et gaines des tendons de la main

Muscle carré pronateur

Tendon du fléchisseur radial du carpe

Gaine synoviale du tendon du long fléchisseur du pouce (bourse radiale)

Rétinaculum des fléchisseurs (ligament transverse du carpe) (*récliné*)

Tendons du fléchisseur profond des doigts

Gaine synoviale du tendon du long fléchisseur du pouce (bourse radiale)

Fascia du muscle adducteur du pouce

Espace thénarien (sous les tendons fléchisseurs et le 1[er] muscle lombrical)

Gaine synoviale du tendon du doigt

Muscles lombricaux dans leur gaine fasciale (*coupés et réclinés*)

Parties annulaire et cruciforme (poulies) de la gaine fibreuse des doigts (recouvrant la gaine synoviale)

Gaine synoviale commune des fléchisseurs (bourse ulnaire)

Tendons du fléchisseur superficiel des doigts

Gaine synoviale commune des fléchisseurs (bourse ulnaire) (*ouverte*)

Muscles lombricaux dans leur gaine fasciale

Espace palmaire moyen (sous les tendons fléchisseurs et les muscles lombricaux)

Gaines fibreuse et synoviale du tendon du doigt (*ouvertes*)

Tendon du fléchisseur superficiel des doigts

Tendon du fléchisseur profond des doigts

© Novartis

Espace palmaire moyen

Septums formant des canaux

Tendons des fléchisseurs profond et superficiel du 3[e] doigt

Septum entre les espaces palmaire moyen et thénarien

Espace thénarien

Aponévrose palmaire

Artère et nerf digitaux palmaires communs

Muscle lombrical dans sa gaine fasciale

Tendons fléchisseurs du 5[e] doigt dans la gaine synoviale commune des fléchisseurs (bourse ulnaire)

Muscles hypothénariens

Fascia interosseux dorsal

Espace sub-aponévrotique dorsal

Fascia dorsal de la main

Espace sous-cutané dorsal

Tendon du long fléchisseur du pouce dans sa gaine synoviale (bourse radiale)

Tendon du long extenseur du pouce

Muscle adducteur du pouce

Fascia interosseux palmaire

Muscles interosseux palmaires

Muscles interosseux dorsaux de la main

Tendons de l'extenseur

Muscles lombricaux, bourses, gaines et espaces : schéma

Disposition habituelle

Gaine synoviale du tendon du fléchisseur du pouce (bourse radiale)
Gaine synoviale commune des fléchisseurs (bourse ulnaire)
Espace thénarien
Espace moyen palmaire
Muscles lombricaux (dans leur gaine fasciale)
Gaines synoviales des tendons des doigts

Variation fréquente

Gaine intermédiaire (communication entre la gaine synoviale commune des fléchisseurs [bourse ulnaire] et la gaine synoviale du tendon du long fléchisseur du pouce [bourse radiale])

Muscles lombricaux : schéma

Tendons du fléchisseur profond des doigts
1er et 2e muscles lombricaux (unipennés)
3e et 4e muscles lombricaux (bipennés)
Chiasma de Camper
Tendons du fléchisseur superficiel des doigts (*coupés*)

Note : les tendons fléchisseurs superficiel et profond des doigts enveloppés de leur gaine synoviale sont liés à la phalange par les gaines fibreuses des doigts qui alternent les parties (poulies) annulaires solides (A) et cruciformes plus faibles (C)

A1 C1 A2 C2 A3 C3 A4 C4 A5
Tendons des muscles fléchisseurs superficiel et profond des doigts
Gaine synoviale d'un tendon
Ligaments palmaires (lames)

Tendons fléchisseurs et extenseurs des doigts

Vue postérieure (dorsale)

Insertion de la languette centrale du tendon extenseur sur la base de la phalange moyenne
Aponévrose triangulaire
Divisions du tendon du long extenseur formant les languettes latérales
Expansion de l'extenseur (cape)
Tendon du long extenseur
Muscles interosseux
Os métacarpien
Insertion du tendon extenseur sur la base de la phalange distale
Languettes latérales
Expansion du tendon interosseux vers la languette latérale
Muscle lombrical
Partie du tendon de l'interosseux longeant la base de la phalange proximale et la capsule articulaire

Doigt en extension : vue latérale

Insertion du tendon extenseur sur la base de la phalange moyenne
Languette latérale
Languette centrale
Expansion de l'extenseur (cape)
Tendon du long extenseur
Insertion du tendon extenseur sur la base de la phalange distale
Os métacarpien
Ligaments collatéraux
Vinculum court
Vinculums longs
Tendon du fléchisseur profond des doigts
Tendon du fléchisseur superficiel des doigts
Muscles interosseux
Muscle lombrical

Doigt en flexion : vue latérale

Insertion d'une petite languette du tendon extenseur sur la phalange proximale et la capsule articulaire
Ligament collatéral
Tendon de l'extenseur
Insertion du muscle interosseux sur la base de la phalange proximale et la capsule articulaire
Insertion du muscle lombrical sur le tendon extenseur
Ligament palmaire (plaque)
Tendon du fléchisseur superficiel des doigts (coupé)
Muscles interosseux
Muscle lombrical
Ligaments collatéraux
Tendon du fléchisseur profond des doigts (coupé)
Ligament palmaire (plaque)

Note : les flèches noires indiquent la traction du tendon du long extenseur ; les flèches rouges indiquent la traction des muscles interosseux et lombricaux ; les points indiquent le centre de rotation des articulations.

Muscles intrinsèques de la main

Artère radiale et branche carpienne palmaire
Radius
Branche palmaire superficielle de l'artère radiale
Rétinaculum des fléchisseurs (ligament transverse du carpe) (*récliné*)
Muscle opposant du pouce
Rameaux du nerf médian pour les muscles thénariens et les 1er et 2e muscles lombricaux
Muscle court abducteur du pouce (*coupé*)
Muscle court fléchisseur du pouce
Muscle adducteur du pouce
1er muscle interosseux dorsal
Rameaux de la branche profonde du nerf ulnaire pour les 3e et 4e muscles lombricaux et tous les muscles interosseux
Muscles lombricaux (*réclinés*)
Muscle carré pronateur
Nerf ulnaire
Artère ulnaire et branche carpienne palmaire
Tendon du fléchisseur ulnaire du carpe
Arcade (artérielle) carpienne palmaire
Pisiforme
Nerf médian
Muscle abducteur du petit doigt (*coupé*)
Branche palmaire profonde de l'artère ulnaire et branche profonde du nerf ulnaire
Muscle court fléchisseur du petit doigt (*coupé*)
Muscle opposant du petit doigt
Arcade (artérielle) palmaire profonde
Artères métacarpiennes palmaires
Artères digitales communes palmaires
Ligaments métacarpiens transverses profonds

Vue antérieure (palmaire)

Ulna
Radius
Muscles interosseux palmaires (unipennés)
Ligaments métacarpiens transverses profonds
1
2
3
Languettes tendineuses vers l'aponévrose dorsale des doigts (expansions des extenseurs)

Vue antérieure (palmaire)

Ulna
Radius
Artère radiale
Muscle abducteur du petit doigt
Muscle court abducteur du pouce
Muscles interosseux dorsaux (bipennés)
4
3
2
1

Vue postérieure (dorsale)

C. Machado M.D.
© Novartis

Note : les flèches indiquent l'action des muscles

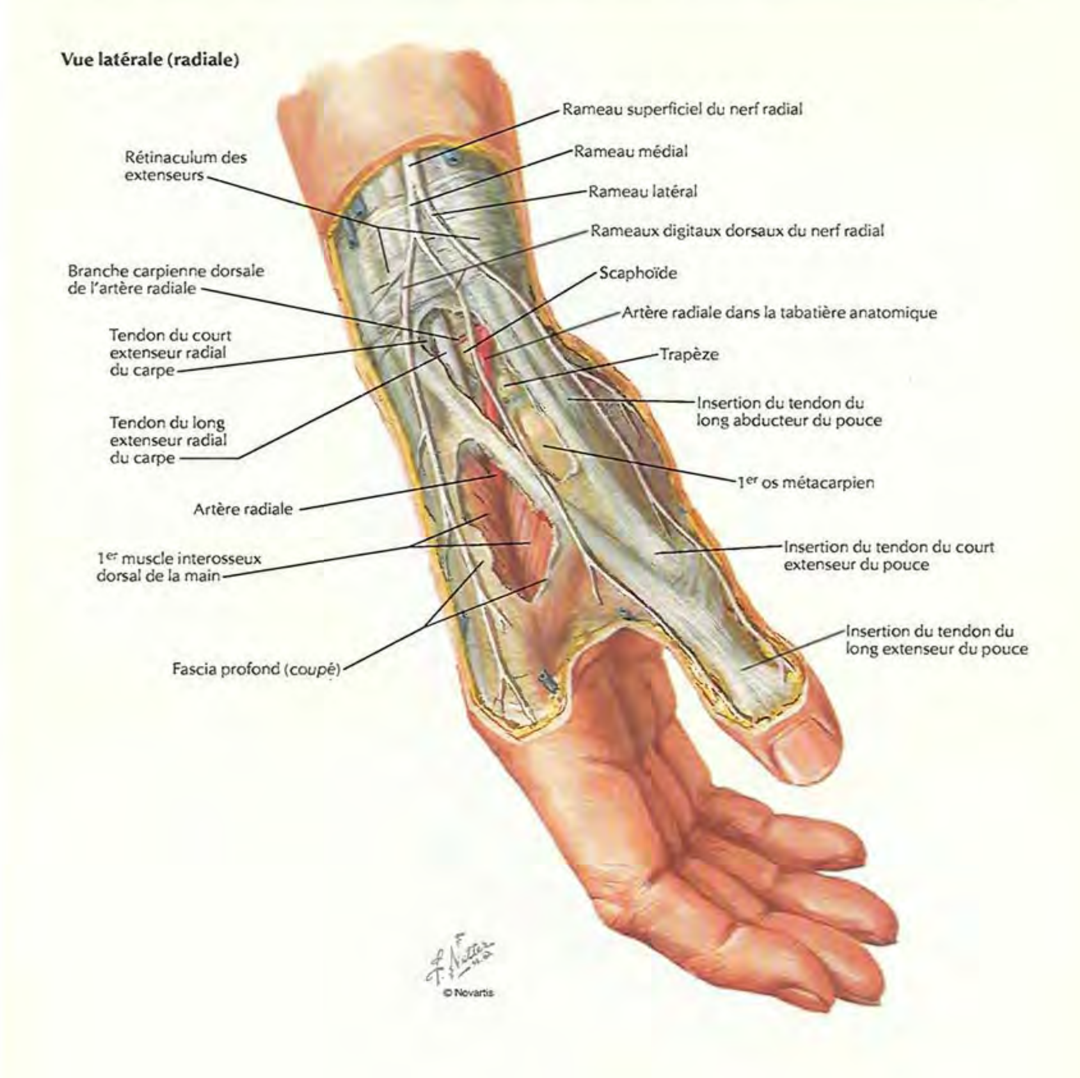
Artères et nerfs de la main : vues palmaires

Artère radiale
Nerf médian et rameau palmaire
Branche palmaire superficielle de l'artère radiale
Muscle court abducteur du pouce (coupé)
Muscle opposant du pouce
Muscle court fléchisseur du pouce
Rameau récurrent (moteur) du nerf médian pour les muscles thénariens
Nerfs et artères digitaux propres du pouce
Muscle adducteur du pouce
Rameaux du nerf médian pour les 1er et 2e muscles lombricaux
Tendons fléchisseurs, gaines synoviales et fibreuses
Artère et nerf ulnaires
Fibres transversales de l'aponévrose palmaire (ligament palmaire du carpe) (se continue avec le rétinaculum des extenseurs)
Rétinaculum des fléchisseurs (ligament transverse du carpe)
Branches palmaires profondes de l'artère et du nerf ulnaires
Rameau superficiel du nerf ulnaire
Gaine synoviale commune des fléchisseurs (bourse ulnaire)
Arcade (artérielle) palmaire superficielle
Nerfs et artères digitaux communs palmaires
Anastomoses unissant les rameaux des nerfs médian et ulnaire
Nerfs et artères digitaux propres palmaires
Rameaux des nerfs et artères digitaux propres palmaires pour le dos des phalanges moyenne et distale

F. Netter M.D.
© Novartis

Artère radiale
Nerf médian
Branche palmaire superficielle de l'artère radiale
Arcade (artérielle) palmaire profonde
Artère principale du pouce
Artères et nerfs digitaux propres du pouce
Limite distale de l'arcade palmaire superficielle
Artère radiale de l'index
Artères métacarpiennes palmaires
Artères digitales communes palmaires
Artères digitales propres palmaires
Nerfs digitaux propres palmaires issus du nerf médian
Artère et nerf ulnaires
Branches carpiennes palmaires des artères radiale et ulnaire
Pisiforme
Branche palmaire profonde de l'artère ulnaire et branche profonde du nerf ulnaire
Rameaux des muscles hypothénariens
Rameau superficiel du nerf ulnaire
Hamulus du hamatum
Rameau palmaire profond du nerf ulnaire pour les 3e et 4e lombricaux, tous les interosseux, l'adducteur du pouce et le chef profond des muscles courts fléchisseurs du pouce
Anastomose unissant une branche du nerf médian et le nerf ulnaire
Nerfs digitaux propres palmaires issus du nerf ulnaire

Poignet et main : dissection radiale superficielle



Poignet et main : dissection dorsale superficielle

Vue postérieure (dorsale)

Nerf cutané postérieur de l'avant-bras (issu du nerf radial)

Veine céphalique

Rameau superficiel du nerf radial

Rétinaculum des extenseurs (épaississement du fascia postérieur de l'avant-bras)

Rameaux communicants des nerfs radial et ulnaire

Veine basilique

Rameau dorsal du nerf ulnaire

Réseau veineux dorsal de la main

Veines métacarpiennes dorsales

Sonde dans l'espace sous-aponévrotique dorsal (entre le fascia dorsal de la main ouvert et le fascia interosseux dorsal)

Veines intercapitales

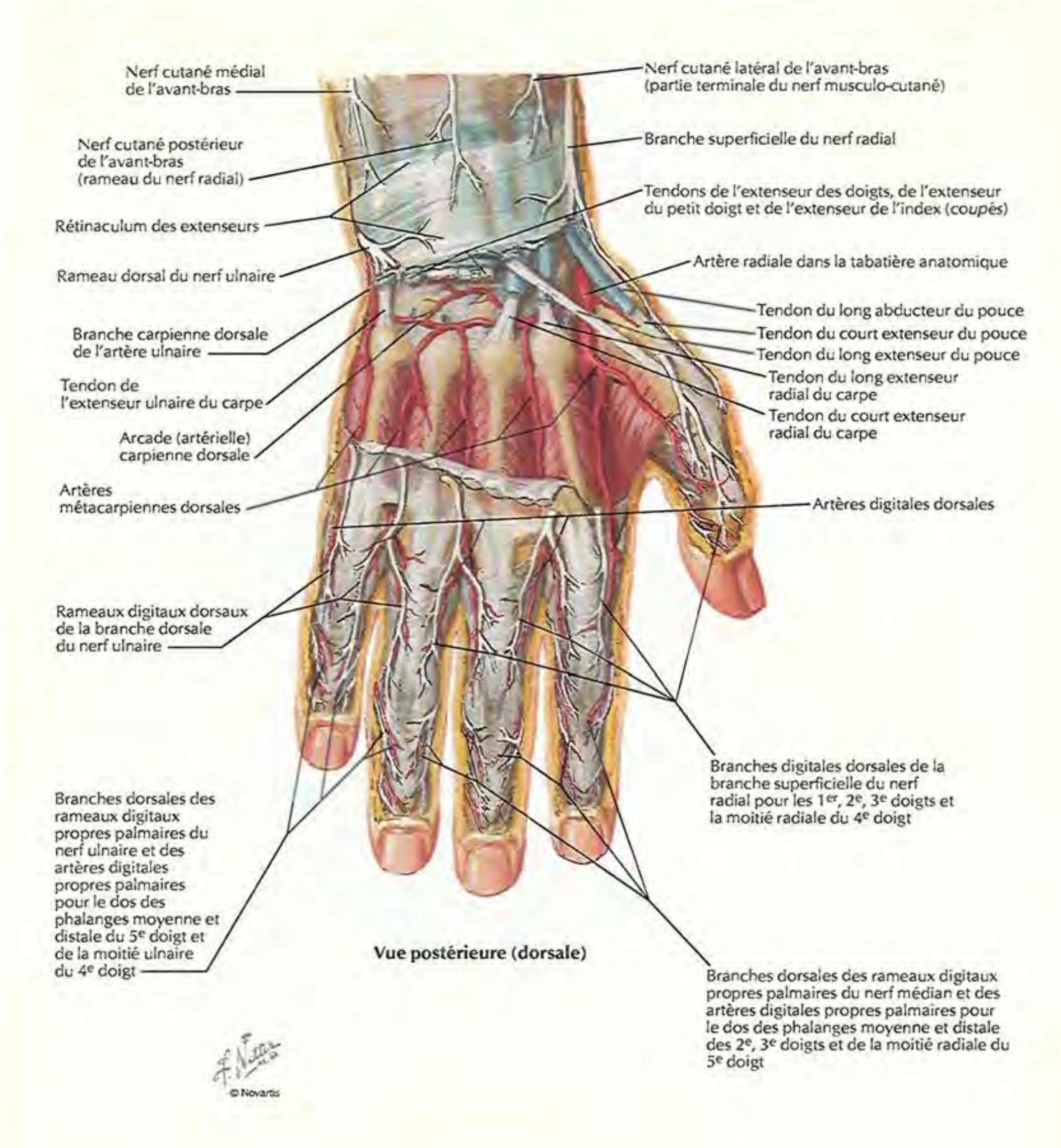
Nerfs et veines digitaux dorsaux

Rameaux dorsaux des nerfs digitaux propres palmaires

© Novartis

Note : les voies lymphatiques sont en noir ; les flèches indiquent la direction du drainage.

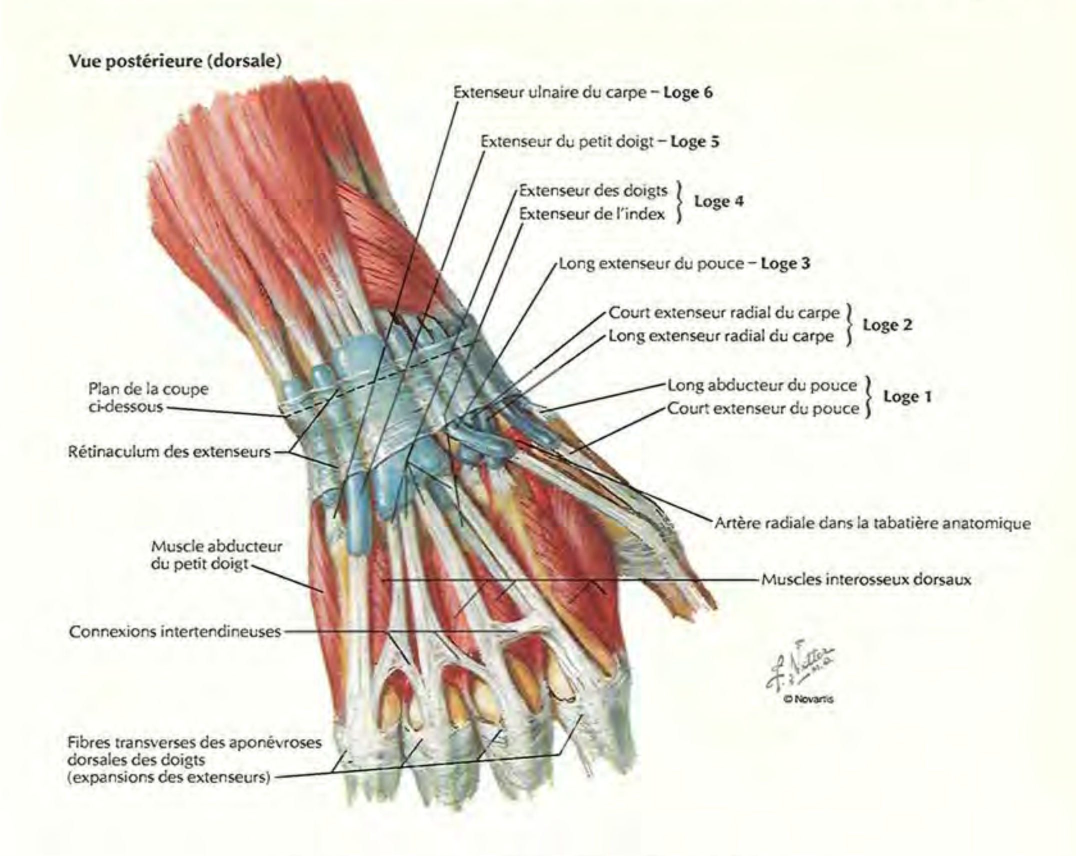
Poignet et main : dissection dorsale profonde



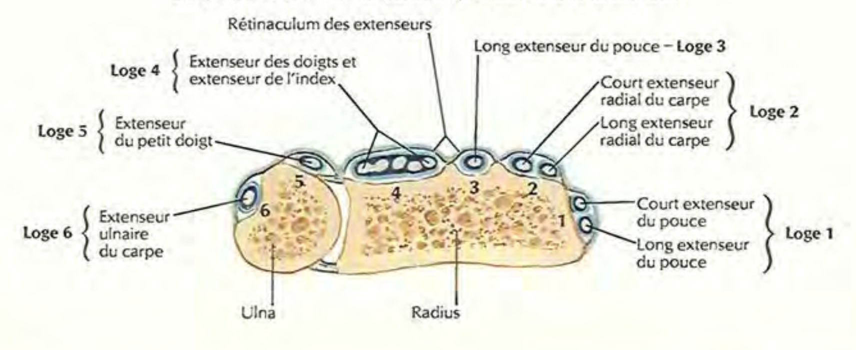
Vue postérieure (dorsale)

Tendons extenseurs au poignet

Vue postérieure (dorsale)



Coupe transversale de la partie la plus distale de l'avant-bras



Doigts

Coupe sagittale

Épiphyse
Membrane synoviale
Tendon de l'extenseur des doigts
Matrice de l'ongle
Cartilage articulaire
Racine de l'ongle
Phalange moyenne
Éponychium (cuticule)
Lunule
Lit de l'ongle
Tendon du fléchisseur superficiel des doigts
Corps de l'ongle
Phalange distale
Gaine fibreuse du tendon du doigt
Gaine synoviale du doigt (tendon fléchisseur)
Nerfs
Artères
Septums
Tendon du fléchisseur profond des doigts
Ligament palmaire (plaque)
Cavité articulaire
Espace antérieur distal clos (pulpe)

Coupe transversale à travers la phalange distale

Corps de l'ongle
Espace sous-unguéal
Lit de l'ongle
Artérioles
Phalange distale
Nerfs fins
Septums fibreux et tissu aréolaire dans l'espace clos antérieur (pulpe)

Artères et nerfs

Rameaux dorsaux des artères et des nerfs digitaux propres palmaires pour le dos des phalanges moyenne et terminale
Artère et nerf digitaux dorsaux
Rameau nourricier de l'épiphyse
Artère digitale propre palmaire pour le doigt adjacent
Rameaux nourriciers pour le corps de la phalange distale
Artère et nerf digitaux propres palmaires

F. Netter M.D.

Innervation cutanée du poignet et de la main

Vue antérieure (palmaire)

Nerf musculo-cutané: Nerf cutané latéral de l'avant-bras
Nerf cutané médial de l'avant-bras
Nerf radial: Branche superficielle
Nerf ulnaire: Rameau palmaire; Rameaux digitaux palmaires
Nerf médian: Rameau palmaire; Rameaux digitaux palmaires

Vue postérieure (dorsale)

Nerf musculo-cutané: Nerf cutané latéral de l'avant-bras
Nerf cutané médial de l'avant-bras
Nerf radial: Nerf cutané postérieur de l'avant-bras; Rameau superficiel et rameaux digitaux dorsaux

La division entre l'innervation ulnaire et radiale du dos de la main est variable ; elle s'aligne souvent sur le médium ou le 3e doigt au lieu du 4e doigt comme ici

Nerf ulnaire: Rameau dorsal et rameaux digitaux dorsaux; Rameaux digitaux propres palmaires
Nerf médian: Rameaux digitaux propres palmaires

F. Netter M.D.

Artères et nerfs du membre supérieur

Vue antérieure

Muscle deltoïde
Muscle coraco-brachial
Muscle biceps brachial { Chef court (*coupé*) / Chef long (*coupé*)
Nerf musculo-cutané
Muscle brachial
Muscle biceps brachial (*coupé*) et son tendon
Nerf cutané latéral de l'avant-bras (issu du nerf musculo-cutané)
Nerf radial { Branche profonde / Branche superficielle
Muscle supinateur
Muscle brachio-radial
Artère radiale
Muscle rond pronateur (*en partie coupé*)
Nerf médian
Muscle long fléchisseur du pouce
Tendon du fléchisseur radial du carpe (*coupé*)
Rétinaculum des fléchisseurs (ligament transverse du carpe)
Rameau superficiel du nerf radial
Rameau récurrent (moteur) du nerf médian pour les muscles thénariens
Rameaux digitaux palmaires communs du nerf médian
Rameaux digitaux palmaires propres du nerf médian
Nerf intercosto-brachial
Nerf cutané médial du bras
Nerf radial
Nerf ulnaire
Nerf cutané médial de l'avant-bras
Nerf médian
Artère brachiale
Aponévrose bicipitale
Muscle rond pronateur { Chef huméral (*coupé*) / Chef ulnaire
Muscle fléchisseur radial du carpe (*coupé*)
Muscle fléchisseur superficiel des doigts (*coupé*) { Chef huméro-ulnaire / Chef radial
Muscle fléchisseur profond des doigts
Muscle fléchisseur ulnaire du carpe
Artère et nerf ulnaires
Rameau dorsal du nerf ulnaire
Tendons du fléchisseur superficiel des doigts (*coupé*)
Branche palmaire profonde de l'artère ulnaire et branche profonde du nerf ulnaire
Rameau superficiel du nerf ulnaire
Arcade palmaire superficielle (*coupée*)
Rameau digital commun palmaire du nerf ulnaire
Anastomose unissant une branche du nerf médian et le nerf ulnaire
Rameaux digitaux palmaires propres du nerf ulnaire

F. Netter M.D.

Nerf musculo-cutané

Vue antérieure

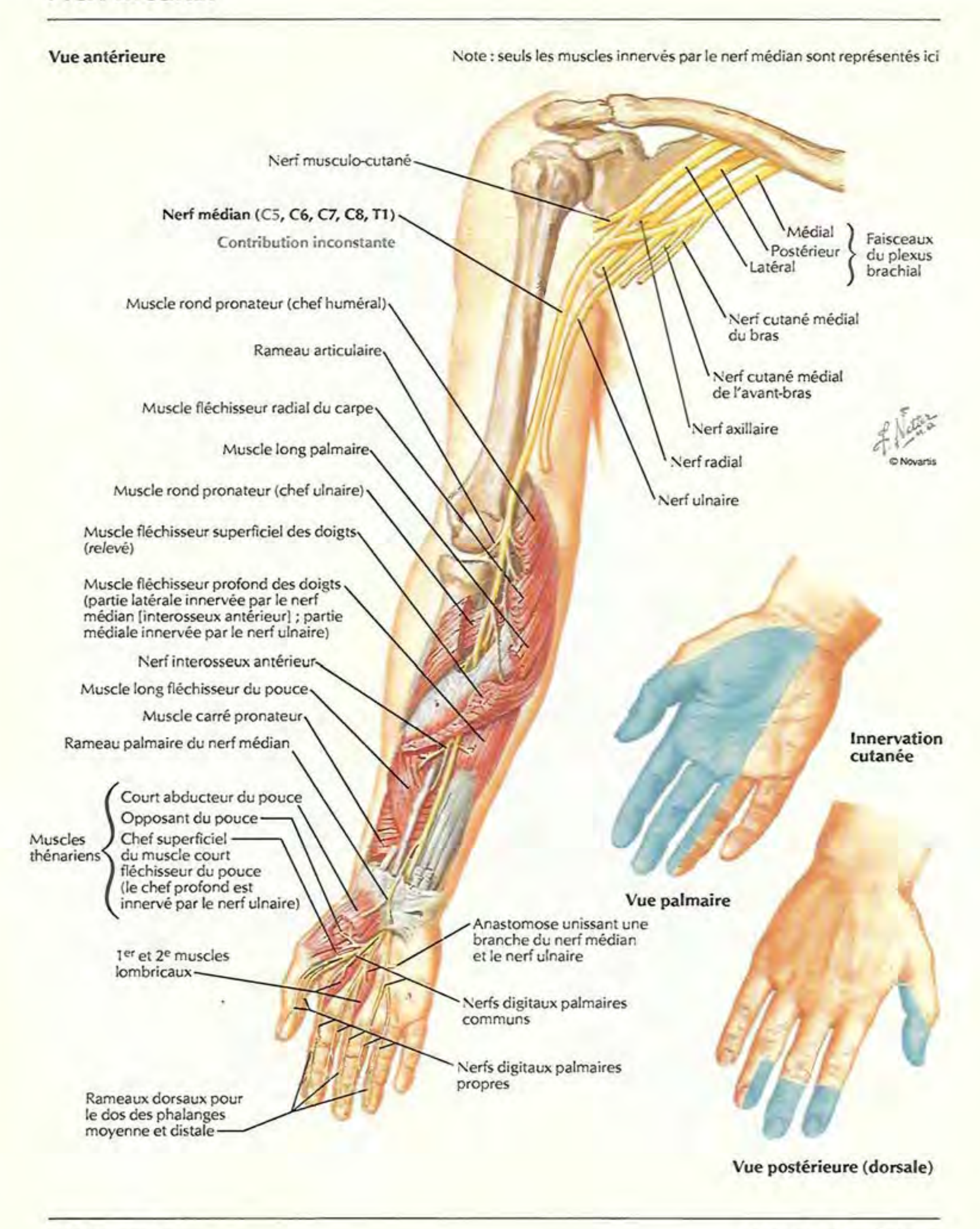
Note : seuls les muscles innervés par le nerf musculo-cutané sont représentés ici

Nerf musculo-cutané (C5, C6, C7)
Muscle coraco-brachial
Muscle biceps brachial (*récliné*)
Muscle brachial
Rameau articulaire
Nerf cutané latéral de l'avant-bras
Branche antérieure
Branche postérieure
Faisceaux du plexus brachial { Médial / Postérieur / Latéral
Nerf cutané médial du bras
Nerf cutané médial de l'avant-bras
Nerf ulnaire
Nerf médian
Nerf radial
Nerf axillaire

F. Netter M.D.

Innervation cutanée (par le nerf cutané latéral de l'avant-bras)

Vue antérieure (palmaire)
Vue postérieure (dorsale)



Vue antérieure

Note : seuls les muscles innervés par le nerf ulnaire sont représentés ici

Nerf ulnaire (C7, C8, T1) (pas de rameau au-dessus du coude)

Contribution inconstante

Épicondyle médial

Rameau articulaire (derrière le condyle)

Muscle fléchisseur profond des doigts (seulement la partie médiale ; la partie latérale est innervée par le rameau interosseux antérieur du nerf médian)

Muscle fléchisseur ulnaire du carpe (écarté)

Rameau dorsal du nerf ulnaire

Rameau palmaire

Innervation cutanée

Vue palmaire

Vue postérieure (dorsale)

Muscle court fléchisseur du pouce (chef profond seulement ; le chef superficiel et les autres muscles thénariens sont vascularisés par le nerf médian)

Muscle adducteur du pouce

Branche superficielle

Branche profonde

Muscles hypothénariens:
- Court palmaire
- Abducteur du petit doigt
- Court fléchisseur du petit doigt
- Opposant du petit doigt

Nerf digital palmaire commun

Anastomose unissant une branche du nerf médian et le nerf ulnaire

Muscles interosseux palmaires et dorsaux

3e et 4e muscles lombricaux (*réclinés en bas*)

Nerfs digitaux palmaires propres (les nerfs digitaux dorsaux proviennent de la branche dorsale)

Rameaux dorsaux pour le dos des phalanges moyenne et distale

© Novartis

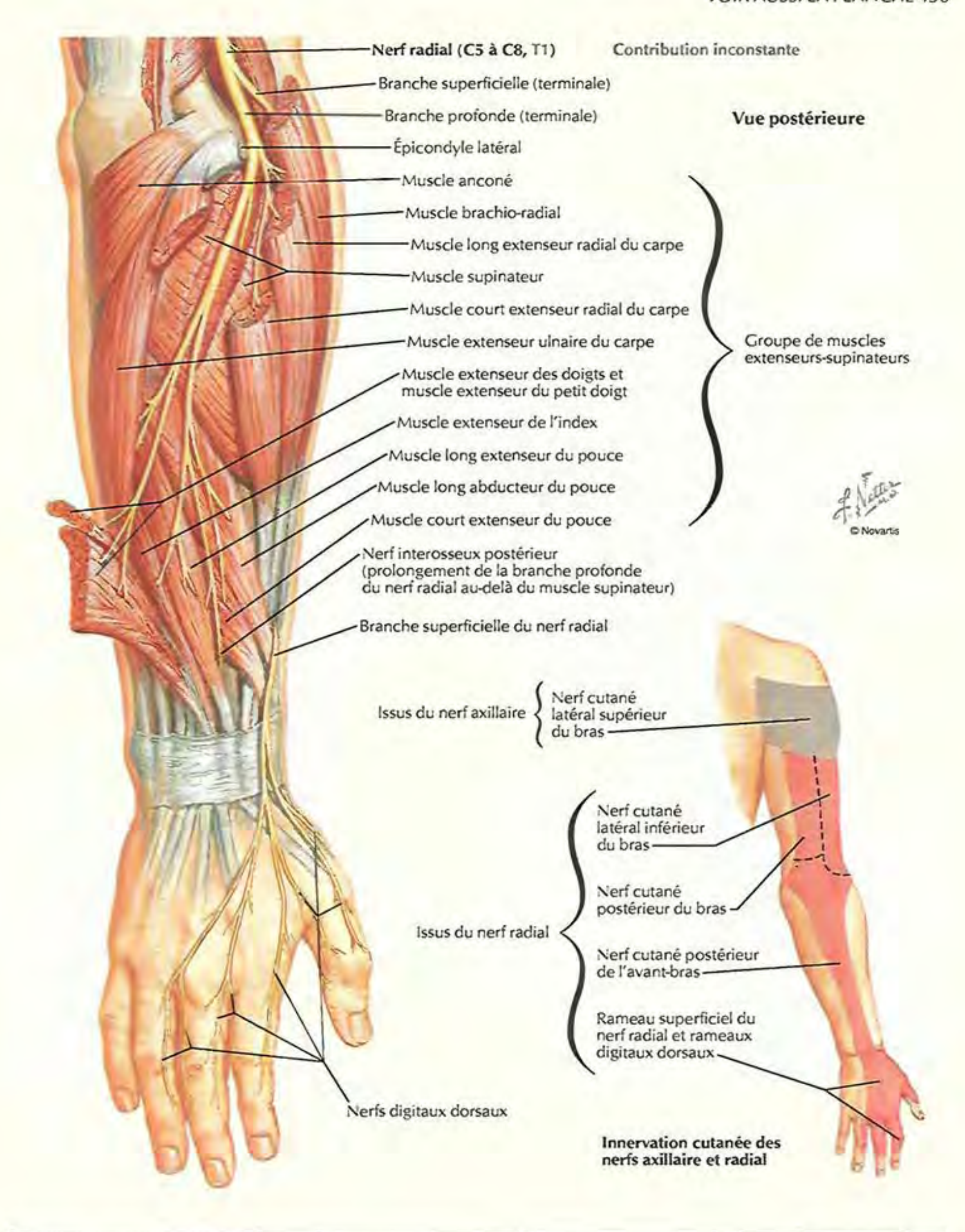
Nerf radial au bras et nerfs de la région postérieure de l'épaule

Vue postérieure

Nerf dorsal de la scapula (C5)
Muscle supra-épineux
Nerf supra-scapulaire (C5, C6)
Muscle élévateur de la scapula (innervé également par des rameaux de C3 et C4)
Muscle deltoïde
Muscle petit rond
Nerf axillaire (C5, C6)
Nerf cutané latéral supérieur du bras
Muscle petit rhomboïde
Nerf radial (C5 à C8, T1)
Contribution inconstante
Muscle grand rhomboïde
Nerf cutané latéral inférieur du bras
Nerf cutané postérieur de l'avant-bras
Muscle infra-épineux
Muscle grand rond
Septum intermusculaire latéral
Nerf subscapulaire inférieur (C5, C6)
Nerf cutané postérieur du bras (branche du nerf radial dans la fosse axillaire)
Muscle brachial (partie latérale ; le reste du muscle est innervé par le nerf musculo-cutané)
Muscle triceps brachial: Chef long, Chef latéral, Chef médial
Muscle brachio-radial
Tendon du triceps brachial
Épicondyle médial
Muscle long extenseur radial du carpe
Olécrâne
Muscle anconé
Muscle court extenseur radial du carpe
Muscle extenseur des doigts
Muscle extenseur ulnaire du carpe
© Novartis

Nerf radial à l'avant-bras

VOIR AUSSI LA PLANCHE 436



Nerfs cutanés et veines superficielles de l'épaule et du bras

Vue antérieure

Nerfs supra-claviculaires (issus du plexus cervical) { Médial, Intermédiaire, Latéral

Branches acromiales de la veine thoraco-acromiale

Nerf cutané médial du bras

Nerf intercosto-brachial

Nerf cutané latéral supérieur du bras (issu du nerf axillaire)

Veine céphalique

Nerf cutané latéral inférieur du bras (issu du nerf radial)

Nerf cutané postérieur de l'avant-bras (issu du nerf radial)

Veine céphalique accessoire

Rameaux du nerf cutané médial de l'avant-bras

Veine basilique

Nerf cutané latéral de l'avant-bras (partie terminale du nerf musculo-cutané)

Veine médiane du coude

Veine médiane (intermédiaire) de l'avant-bras

Veine basilique

Veines perforantes

Veine céphalique

Vue postérieure

Nerf supra-claviculaire latéral

Branche acromiale de la veine thoraco-acromiale

Branches superficielles de la veine circonflexe humérale postérieure

Nerf intercosto-brachial

Nerf cutané médial du bras

Nerf cutané latéral supérieur du bras (issu du nerf axillaire)

Nerf cutané postérieur du bras (issu du nerf radial)

Nerf cutané latéral inférieur du bras (issu du nerf radial)

Nerf cutané postérieur de l'avant-bras (issu du nerf radial)

Rameaux du nerf cutané médial de l'avant-bras

Rameaux du nerf cutané latéral de l'avant-bras (partie terminale du nerf musculo-cutané)

F. Netter M.D.

Nerfs cutanés et veines superficielles de l'avant-bras

Vue antérieure (palmaire)

Veine céphalique

Nerf cutané postérieur de l'avant-bras (issu du nerf radial)

Nerf cutané latéral de l'avant-bras (issu du nerf musculo-cutané)

Veine céphalique accessoire

Veine médiane céphalique (intermédiaire)

Veine céphalique

Veine médiane (intermédiaire) de l'avant-bras

Note : dans 70 % des cas, une veine médiane du coude (affluente de la veine basilique) remplace les veines médiane céphalique et médiane basilique (voir la planche 448)

Branche superficielle du nerf radial

Rameau palmaire du nerf médian

Veines intercapitales

Veine basilique

Rameau antérieur et Rameau postérieur du nerf cutané médial de l'avant-bras

Veine médiane basilique (intermédiaire)

Aponévrose bicipitale

Veine basilique

Veines perforantes

Rameau palmaire du nerf ulnaire

Rameau dorsal du nerf ulnaire

Ligament palmaire du carpe (se continue avec le rétinaculum des extenseurs)

Aponévrose palmaire

Ligament métacarpien transverse superficiel

Nerfs digitaux palmaires propres et veines digitales palmaires

Vue postérieure (dorsale)

Rameau postérieur du nerf cutané médial de l'avant-bras

Veine basilique

Rameau dorsal du nerf ulnaire

Veines métacarpiennes dorsales

Veines intercapitales

Nerf cutané postérieur de l'avant-bras (issu du nerf radial)

Veine céphalique accessoire

Rameau postérieur du nerf cutané latéral de l'avant-bras (issu du nerf musculo-cutané)

Veine céphalique

Rétinaculum des extenseurs

Branche superficielle du nerf radial

Réseau veineux dorsal

Nerfs et veines digitaux dorsaux

F. Netter M.D.

Innervation cutanée du membre supérieur

Vue antérieure (palmaire)

Vue postérieure (dorsale)

Nerfs supra-claviculaires (issus du plexus cervical – C3, C4)

Nerf axillaire
Nerf cutané latéral supérieur du bras (C5, C6)

Nerf radial
Nerf cutané latéral inférieur du bras (C5, C6)

Nerfs cutanés intercosto-brachial (T2) et médial du bras (C8, T1, T2)

Nerf cutané latéral de l'avant-bras (C5, C6, C[7]) (partie terminale du nerf musculo-cutané)

Nerf cutané médial de l'avant-bras (C8, T1)

Nerf radial
Branche superficielle (C6, C7, C8)

Nerf ulnaire (C8, T1)

Rameau palmaire

Rameaux digitaux palmaires

Rameau dorsal et rameaux digitaux dorsaux

Rameaux digitaux palmaires propres

Nerf médian
Rameau palmaire et Rameaux digitaux palmaires (C6, C7, C8)

Nerfs supra-claviculaires (issus du plexus cervical – C3, C4)

Nerf axillaire
Nerf cutané latéral supérieur du bras (C5, C6)

Nerf radial
Nerf cutané postérieur du bras (C5 à C8)
Nerf cutané latéral inférieur du bras
Nerf cutané postérieur de l'avant-bras (C[5], C6, C7, C8)

Nerf cutané latéral de l'avant-bras (C5, C6, C[7]) (partie terminale du nerf musculo-cutané)

Nerf radial
Rameau superficiel et rameaux digitaux dorsaux (C6, C7, C8)

Nerf médian
Rameaux digitaux palmaires propres

Note : le partage entre l'innervation ulnaire et radiale sur le dos de la main est variable ; la limite fréquente passe par le milieu du 3e doigt au lieu du 4e doigt comme ici.

Dermatomes du membre supérieur

Note : démarcation schématique des dermatomes en segments distincts. Il y a en fait un chevauchement considérable entre les dermatomes adjacents.

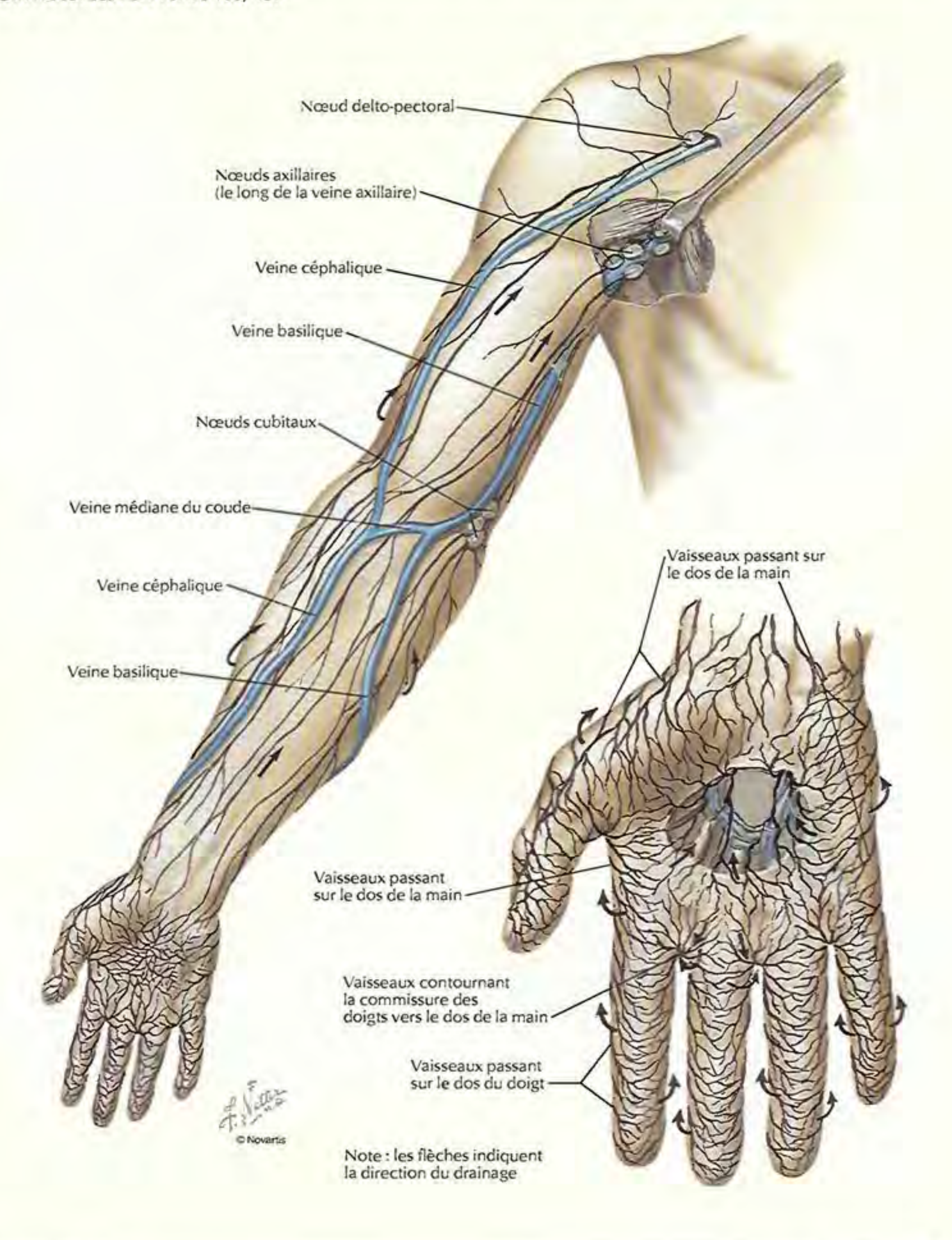
Vue antérieure

C2
C3
C4
C5
C6
T1
C5
T1
C6
C7
C8
C8

Vue postérieure

C2
C3
C4
C5
C6
C7
C8
T1
C6
C7
C8

VOIR AUSSI LES PLANCHES 169, 437



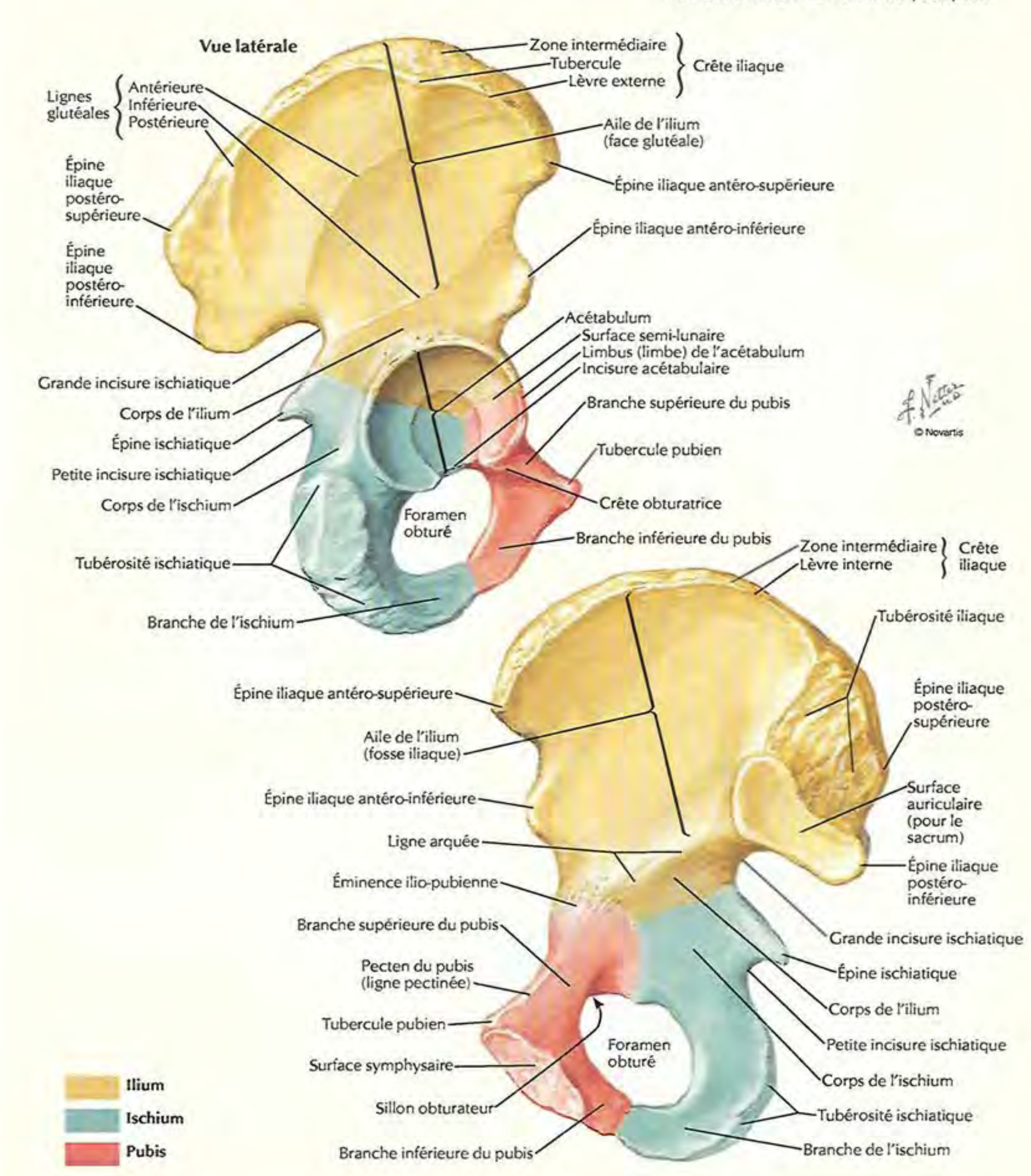
Section VII
MEMBRE INFÉRIEUR

HANCHE ET CUISSE
Planches 453 – 471

GENOU
Planches 472 – 477

Os coxal (os de la hanche)

VOIR AUSSI LES PLANCHES 231, 330, 331



Vue antérieure

Ligament ilio-fémoral (ligament en Y de Bigelow)
Bourse ilio-pectinée (sur la lacune des ligaments)
Ligament pubo-fémoral
Crête obturatrice
Branche supérieure du pubis
Épine iliaque antéro-supérieure
Épine iliaque antéro-inférieure
Grand trochanter
Petit trochanter
Ligne intertrochantérique

Vue postérieure

Ligament ilio-fémoral
Ligament ischio-fémoral
Zone orbiculaire
Grand trochanter
Épine ischiatique
Tubérosité ischiatique
Protusion de la membrane synoviale
Crête intertrochantérique
Petit trochanter

Articulation ouverte : vue latérale

Surface semi-lunaire de l'acétabulum
Cartilage articulaire
Grand trochanter
Tête du fémur
Col du fémur
Ligne intertrochantérique
Ligament de la tête du fémur (coupé)
Épine iliaque antéro-supérieure
Épine iliaque antéro-inférieure
Éminence ilio-pubienne
Labrum acétabulaire (fibro-cartilagineux)
Tissu graisseux dans la fosse acétabulaire (recouvert de la membrane synoviale)
Artère obturatrice
Branche antérieure
Branche postérieure
Branche acétabulaire
Membrane obturatrice
Ligament transverse de l'acétabulum
Tubérosité ischiatique
Petit trochanter

Vue antérieure

Grand trochanter
Tête
Fovéa pour le ligament de la tête du fémur
Col
Petit trochanter
Ligne intertrochantérique
Diaphyse (corps)
Tubercule de l'adducteur
Épicondyle latéral
Épicondyle médial
Condyle latéral
Surface patellaire
Condyle médial

Vue postérieure

Fosse trochantérique
Grand trochanter
Tête
Fovéa pour le ligament de la tête du fémur
Col
Crête intertrochantérique
Calcar
Petit trochanter
Ligne pectinée
Tubérosité glutéale
Ligne âpre { Lèvre médiale / Lèvre latérale }
Trou nourricier
Diaphyse (corps)
Surface poplitée
Épicondyle latéral
Condyle latéral
Fosse intercondylaire

Ligne d'insertion du bord de la membrane synoviale
Ligne de réflexion de la membrane synoviale
Ligne d'insertion de la capsule fibreuse
Ligne de réflexion de la capsule fibreuse (non insérée)

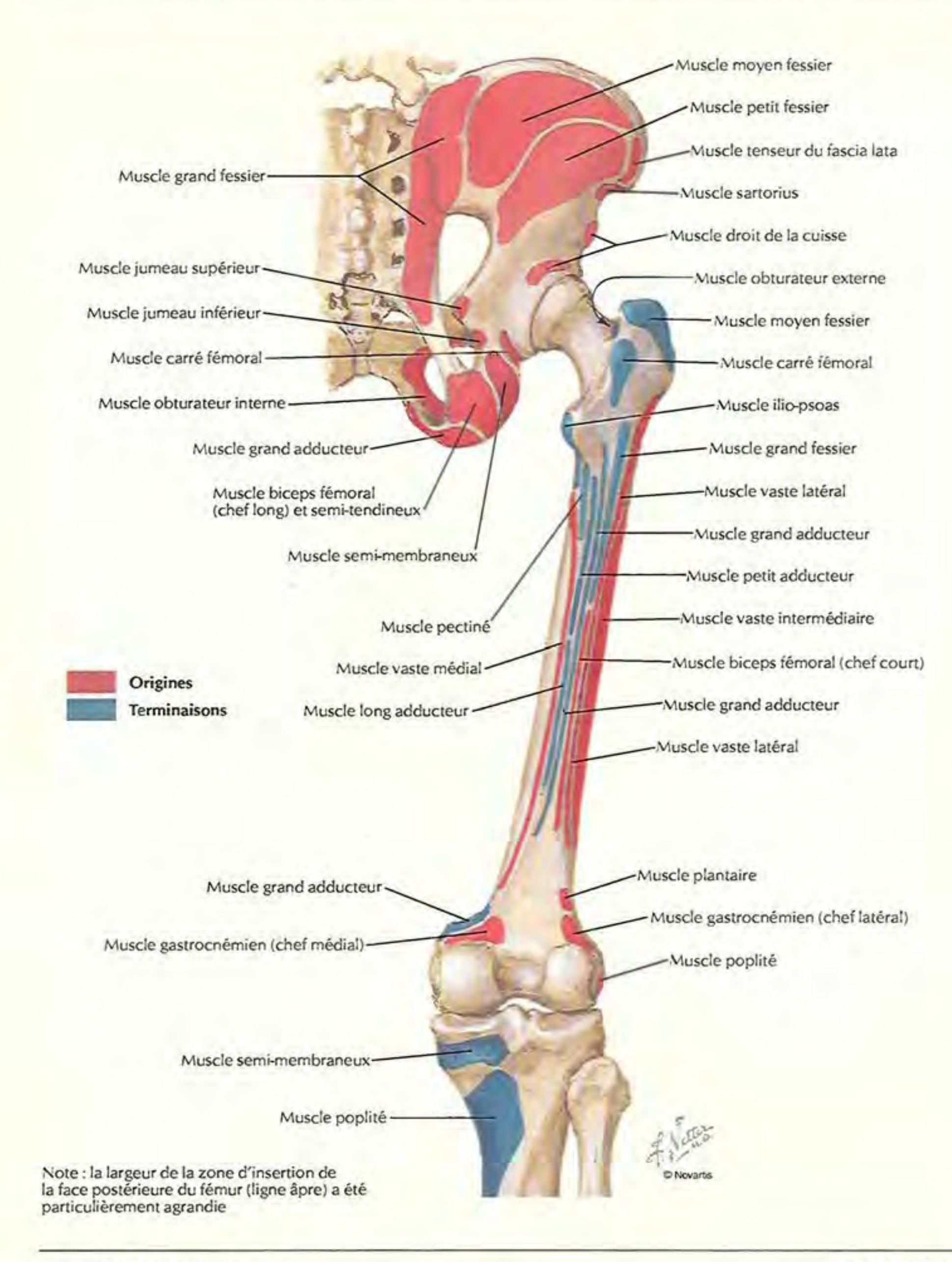
Insertions osseuses des muscles de la hanche et de la cuisse : vue antérieure

Muscle iliaque
Muscle sartorius
Muscle droit de la cuisse
Muscles obturateur interne et jumeaux supérieur et inférieur
Muscle piriforme
Muscle petit fessier
Muscle vaste latéral
Muscle ilio-psoas
Muscle vaste médial
Muscle vaste intermédiaire
Origine du muscle grand psoas issue des côtés des corps vertébraux, des disques intervertébraux et des processus transverses (T12 à L4)
Muscle piriforme
Muscle pectiné
Muscle long adducteur
Muscle court adducteur
Muscle gracile
Muscle obturateur externe
Muscle grand adducteur
Muscle carré fémoral

Origines
Terminaisons

Muscle articulaire du genou
Muscle grand adducteur
Tractus ilio-tibial
Muscle biceps fémoral
Muscle quadriceps fémoral (droit de la cuisse, vaste latéral, vaste intermédiaire et vaste médial via le ligament patellaire)
Muscle sartorius
Muscle gracile
Muscle semi-tendineux
Patte d'oie

Insertions osseuses des muscles de la hanche et de la cuisse : vue postérieure



Note : la largeur de la zone d'insertion de la face postérieure du fémur (ligne âpre) a été particulièrement agrandie

Muscles de la cuisse : vues antérieures

Épine iliaque antéro-supérieure
Muscle iliaque
Muscle grand psoas
Muscle moyen fessier
Ligament inguinal
Tubercule pubien
Muscle ilio-psoas
Muscle tenseur du fascia lata
Muscle pectiné
Muscle long adducteur
Muscle gracile
Muscle sartorius
Muscle droit de la cuisse*
Muscle vaste latéral*
Muscle vaste intermédiaire*
Muscle vaste médial*
Tractus ilio-tibial
Tendon du droit de la cuisse (devenant une partie du tendon du quadriceps fémoral)
Rétinaculum patellaire latéral
Patella
Rétinaculum patellaire médial
Ligament patellaire
Tendon du sartorius
Tendon du gracile
Tendon du semi-tendineux
Patte d'oie
Tubérosité tibiale

Épine iliaque antéro-supérieure
Muscle sartorius (origine)
Épine iliaque antéro-inférieure
Ligaments de l'articulation de la hanche
Muscle pectiné
Muscle tenseur du fascia lata (origine)
Muscle droit de la cuisse (origine)
Grand trochanter
Muscle ilio-psoas (*coupé*)
Septum subsartorial (septum intermusculaire antéro-médial)
Tractus ilio-tibial (*coupé*)
Tendon du droit de la cuisse (*coupé*)
Tendon du quadriceps fémoral
Patella
Rétinaculum patellaire latéral
Rétinaculum patellaire médial
Tête de la fibula
Ligament patellaire
Tubérosité tibiale
Tendon du sartorius

* Muscles du quadriceps fémoral

Muscles de la cuisse : vues antérieures (suite)

Dissection profonde

Épine iliaque antéro-supérieure
Épine iliaque antéro-inférieure
Ligaments de l'articulation de la hanche
Grand trochanter du fémur
Muscle ilio-psoas (*coupé*)
Muscle pectiné (*coupé et récliné*)
Muscle court adducteur (*coupé et récliné*)
Muscle vaste intermédiaire
Muscle long adducteur (*coupé et récliné*)
L'artère et la veine fémorales passent à travers le hiatus du muscle grand adducteur
Muscle vaste médial (*coupé*)
Tendon du droit de la cuisse (*sectionné au niveau où il participe au tendon du quadriceps*)
Muscle vaste latéral (*coupé*)
Épicondyle latéral du fémur
Patella
Rétinaculum patellaire latéral
Ligament collatéral fibulaire
Tête de la fibula
Ligament patellaire
Tubérosité tibiale

Muscle pectiné (*coupé et récliné*)
Branche supérieure du pubis
Muscle long adducteur (*coupé et récliné*)
Muscle court adducteur (*coupé*)
Tubercule pubien
Muscle gracile (*coupé*)
Muscle obturateur externe
Muscle carré fémoral
Adducteur minime, partie du Muscle grand adducteur
Orifices des rameaux perforants de l'artère fémorale profonde
Tendon du muscle grand adducteur s'insérant sur le tubercule de l'adducteur de l'épicondyle médial du fémur
Muscle gracile (*coupé*)
Ligament collatéral tibial
Rétinaculum patellaire médial
Tendon du sartorius (*coupé*)
Tendon du muscle gracile
Tendon du semi-tendineux
Patte d'oie

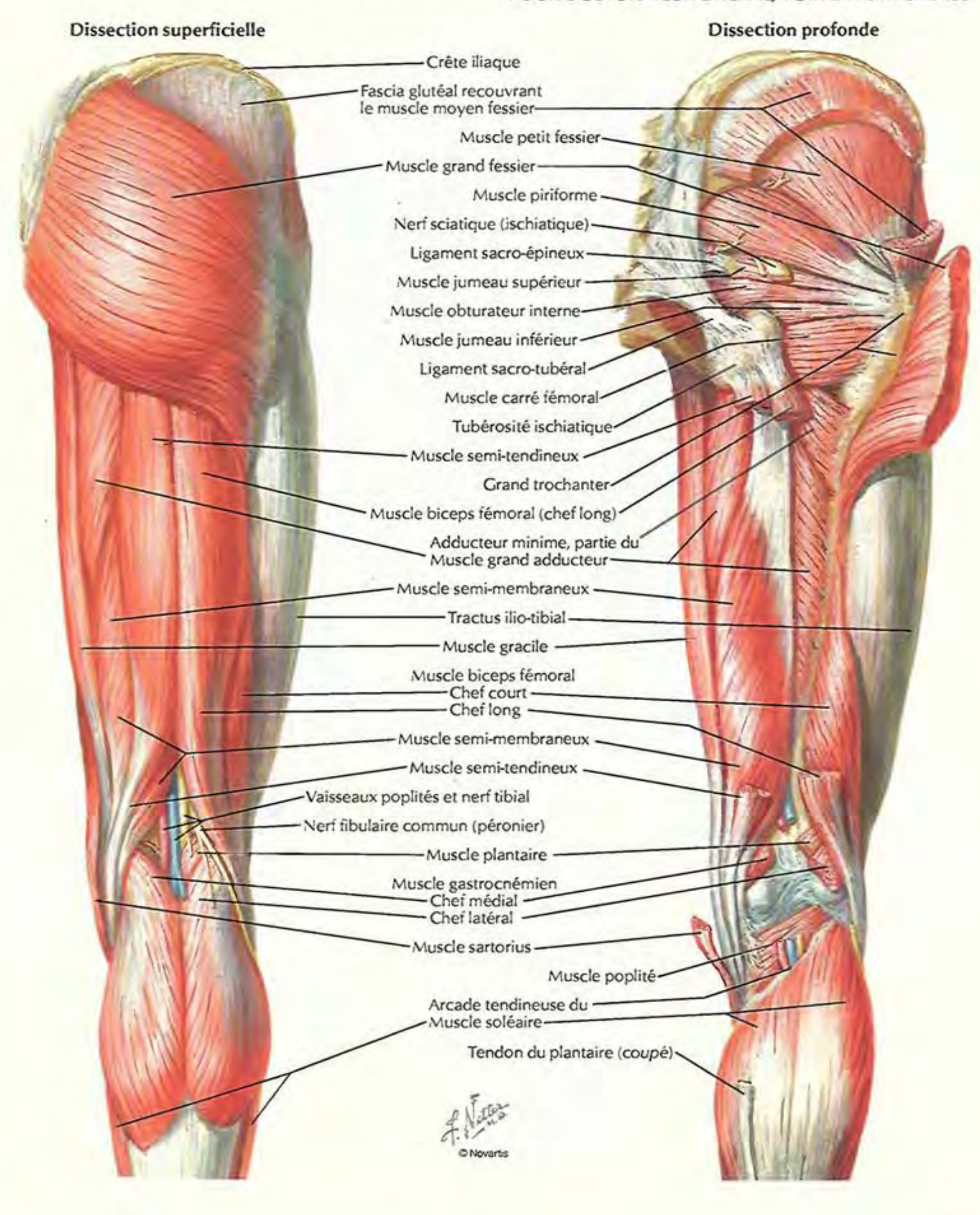
Muscles de la hanche et de la cuisse : vue latérale

Crête iliaque
Muscle oblique externe
Fascia glutéal recouvrant le muscle moyen fessier
Épine iliaque antéro-supérieure
Muscle sartorius
Muscle grand fessier
Muscle tenseur du fascia lata
Muscle droit de la cuisse
Muscle vaste latéral
Tractus ilio-tibial
Muscle biceps fémoral { Chef long, Chef court }
Condyle latéral du tibia et tubercule infra-condylaire (de Gerdy)
Muscle semi-membraneux
Rétinaculum patellaire latéral
Ligament collatéral fibulaire
Patella
Muscle plantaire
Muscle long extenseur des orteils
Muscle gastrocnémien (chef latéral)
Ligament patellaire
Tête de la fibula
Muscle long fibulaire (péronier)
Muscle tibial antérieur

F. Netter M.D.
© Novartis

Muscles de la hanche et de la cuisse : vues postérieures

POUR LE PIRIFORME ET L'OBTURATEUR INTERNE, VOIR AUSSI LES PLANCHES 333, 334 ; POUR L'OBTURATEUR EXTERNE, VOIR LA PLANCHE 459



Muscles psoas et iliaque

VOIR AUSSI LA PLANCHE 246

Muscle carré des lombes
12e côte
Muscle transverse de l'abdomen (coupé)
Nerf ilio-hypogastrique
Nerf ilio-inguinal
Muscle petit psoas
Muscle grand psoas
Nerf génito-fémoral
Nerf cutané latéral de la cuisse
Muscle iliaque
Nerf fémoral
Branche supérieure du pubis
Grand trochanter du fémur
Muscle ilio-psoas passant en arrière pour s'insérer sur le petit trochanter
Diaphyse (corps) du fémur
T12
L1
L2
L3
L4
L5
Origine du muscle grand psoas naissant sur les corps vertébraux, les processus transverses et les disques intervertébraux (T12 à L4) et origine du muscle petit psoas naissant des corps vertébraux (T12, L1)
Plexus lombaire
Tronc lombo-sacral
Crête iliaque
Épine iliaque antéro-supérieure
Bourse ilio-pectinée
Ligament ilio-fémoral de l'articulation de la hanche (ligament en Y de Bigelow)
F. Netter M.D.
© Novartis

Abducteurs (muscles moyen et petit fessiers)
Adducteurs

Note : les flèches indiquent la direction de l'action du muscle ilio-psoas

Plexus lombo-sacral et coccygien

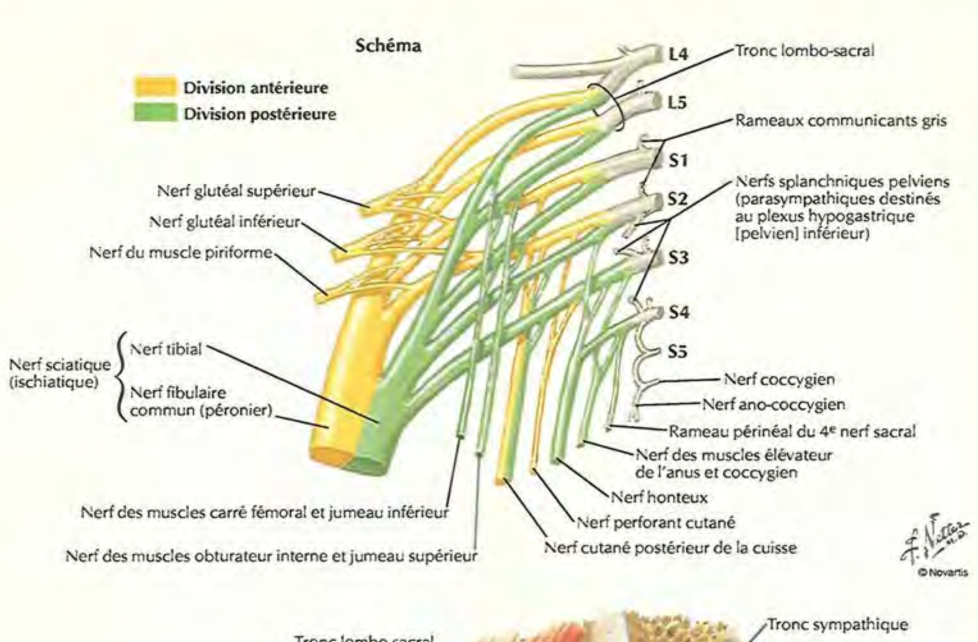
Division antérieure
Division postérieure

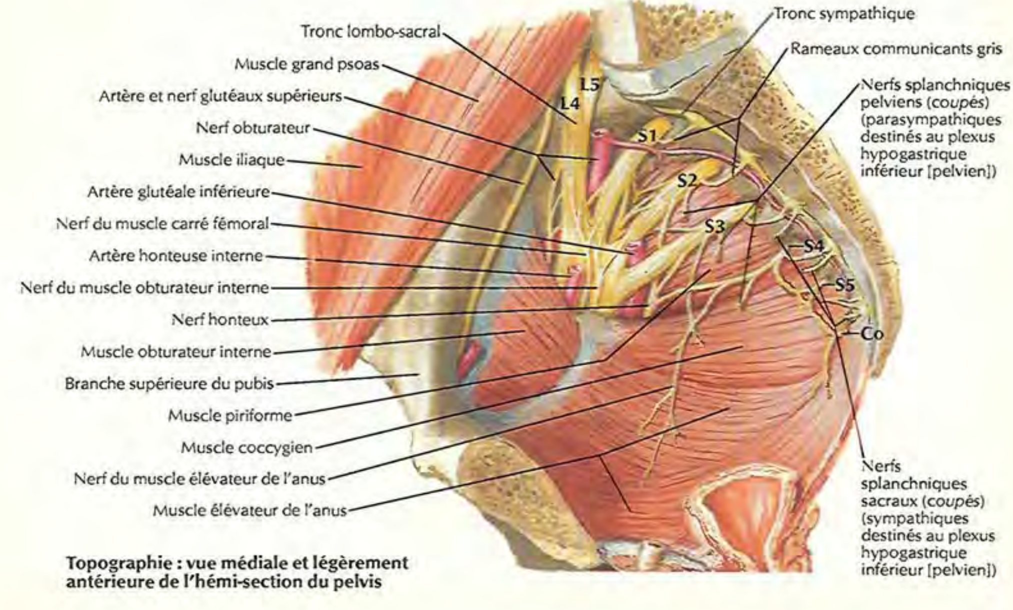
Nerf intercostal (T11)
Nerf subcostal (T12)
Nerf ilio-hypogastrique (T12, L1)
Nerf ilio-inguinal (L1)
Vers les muscles grand et petit psoas
Nerf génito-fémoral (L1, L2)
Nerf cutané latéral de la cuisse (L2, L3)
Rameau génital et Rameau fémoral du nerf génito-fémoral
Vers les muscles grand psoas et iliaque
Branches antérieures et Branches latérales des nerfs subcostal et ilio-hypogastrique
Tronc lombo-sacral
Nerf du carré fémoral (et du jumeau inférieur) (L4, L5, S1)
Vers les muscles obturateur interne et jumeau supérieur (L5, S1, S2)
Nerf glutéal supérieur (L4, L5, S1)
Nerf du muscle piriforme (S1, S2)
Nerf obturateur (L2, L3, L4)
Nerf obturateur accessoire (L3, L4) (inconstant)
Nerf glutéal inférieur (L5, S1, S2)
Nerf fémoral (L2, L3, L4)
Nerf sciatique (ischiatique)
Nerf cutané postérieur de la cuisse (S1, S2, S3)
Nerf honteux (S2, S3, S4)
Nerf sciatique (ischiatique): Nerf fibulaire commun (péronier) (L4, L5, S1, S2); Nerf tibial (L4, L5, S1, S2, S3)
Nerf cutané postérieur de la cuisse
Nerf périnéal et Rameaux postérieurs scrotaux/labiaux
Nerf dorsal du pénis/clitoris
Nerf anal inférieur (rectal)
Nerf obturateur
Nerfs ano-coccygiens
Rameau périnéal du 4e nerf sacral
Nerf des muscles élévateur de l'anus et coccygien (S3, S4)
Nerf perforant cutané (S2, S3)
Nerfs splanchniques pelviens
Rameaux communicants
Tronc sympathique
T12
L1
L2
L3
L4
L5
S1
S2
S3
S4
S5
Co
Plexus lombaire
Plexus sacral
Plexus coccygien
F. Netter M.D.
© Novartis

Schéma

Nerf subcostal (T12)
T12
Rameaux communicants blanc et gris
L1
Nerf ilio-hypogastrique
Nerf ilio-inguinal
L2
Nerf génito-fémoral
Rameaux ventraux des nerfs spinaux
L3
Nerf cutané latéral de la cuisse
Rameaux communicants gris
L4
Rameaux musculaires pour le psoas et l'iliaque
Nerf fémoral
L5
Nerf obturateur accessoire (souvent absent)
Nerf obturateur
Tronc lombo-sacral
Division antérieure
Division postérieure
© Novartis

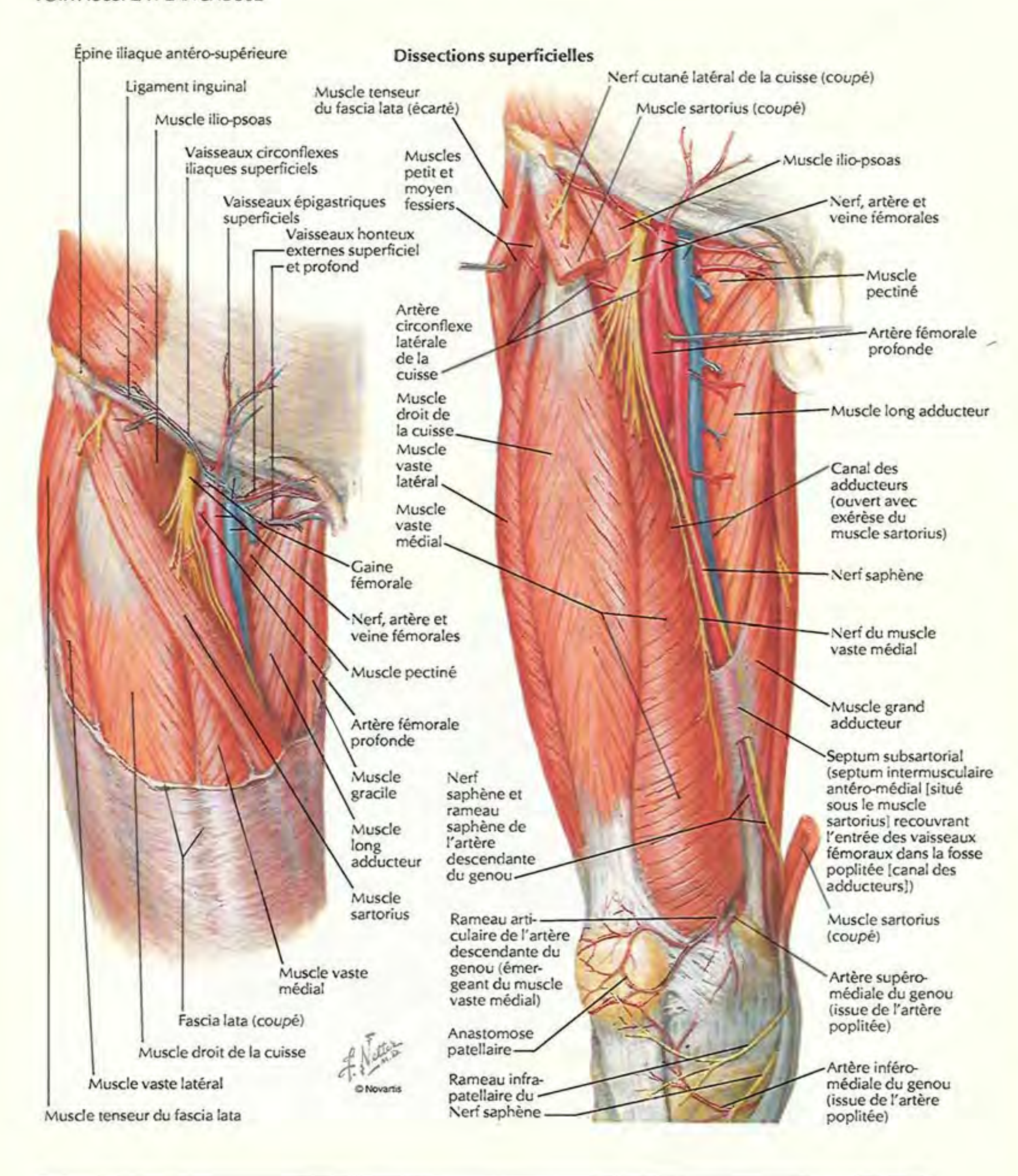
Diaphragme (*coupé*)
Nerf subcostal (T12)
Tronc sympathique
Nerf ilio-hypogastrique
Nerf ilio-inguinal
Nerf génito-fémoral (*coupé*)
Nerf cutané latéral de la cuisse
Nerf fémoral
Nerf obturateur
Muscle grand psoas (*coupé*)
Troncs lombo-sacraux
Ligament inguinal (de Poupart)
L1
L2
L3
L4
Rameaux communicants blancs et gris
Nerf subcostal (T12)
Nerf ilio-hypogastrique
Nerf ilio-inguinal
Muscle transverse de l'abdomen
Muscle carré des lombes
Muscle grand psoas
Rameaux communicants gris
Nerf génito-fémoral
Muscle iliaque
Nerf cutané latéral de la cuisse
Nerf fémoral
Rameau génital et Rameau fémoral du nerf génito-fémoral
Nerf obturateur





Topographie : vue médiale et légèrement antérieure de l'hémi-section du pelvis

VOIR AUSSI LA PLANCHE 502



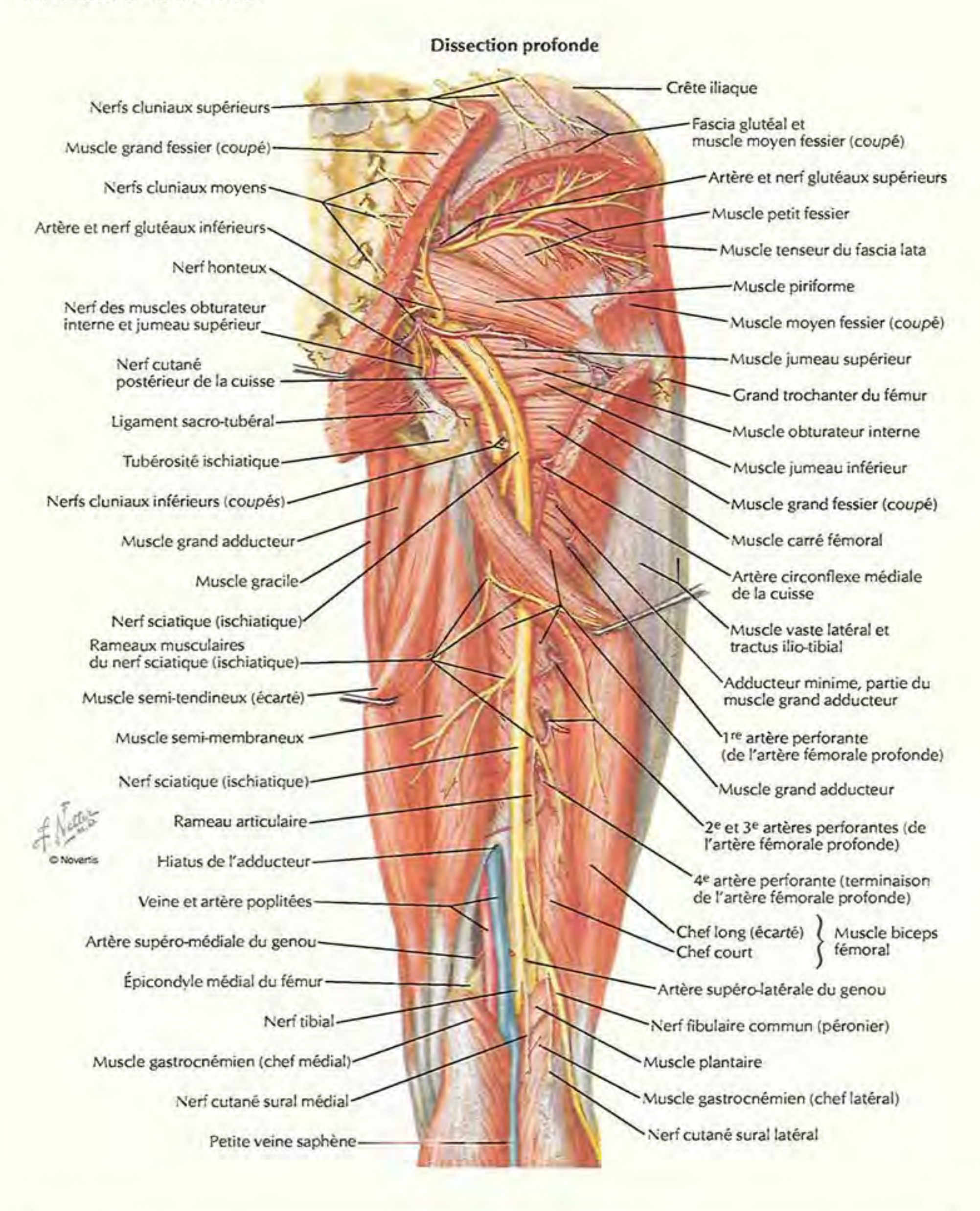
VOIR AUSSI LES PLANCHES 502, 503

Dissection profonde

Artère circonflexe iliaque profonde
Nerf cutané latéral de la cuisse
Muscle sartorius (coupé)
Muscle ilio-psoas
Muscle tenseur du fascia lata (écarté)
Muscles moyen et petit fessiers
Nerf fémoral
Muscle droit de la cuisse (coupé)
Branches ascendante, transverse et descendante de l'artère circonflexe latérale de la cuisse
Artère circonflexe médiale de la cuisse
Muscle pectiné (coupé)
Artère fémorale profonde
Rameaux perforants
Muscle long adducteur (coupé)
Muscle vaste latéral
Muscle vaste intermédiaire
Muscle droit de la cuisse (coupé)
Nerf saphène
Septum subsartorial (septum intermusculaire antéro-médial) (ouvert)
Muscle vaste médial
Tendon du quadriceps fémoral
Patella et anastomose patellaire
Rétinaculum patellaire médial
Ligament patellaire
Artère et veine iliaques externes
Ligament inguinal (de Poupart)
Artère et veine fémorales (coupées)
Muscle pectiné (coupé)
Canal obturateur
Muscle obturateur externe
Muscle long adducteur (coupé)
Branche antérieure et Branche postérieure du nerf obturateur
Muscle carré fémoral
Muscle court adducteur
Rameau de la branche postérieure du nerf obturateur
Muscle grand adducteur
Muscle gracile
Rameau cutané du nerf obturateur
Artère et veine fémorales (coupées)
Artère descendante du genou
Rameau articulaire
Rameau saphène
Hiatus tendineux de l'adducteur
Muscle sartorius (coupé)
Tendon du grand adducteur
Tubercule de l'adducteur sur l'épicondyle médial du fémur
Artère supéro-médiale du genou (issue de l'artère poplitée)
Rameau infra-patellaire du Nerf saphène
Artère inféro-médiale du genou (issue de l'artère poplitée)

Artères et nerfs de la cuisse : vue postérieure

VOIR AUSSI LA PLANCHE 504

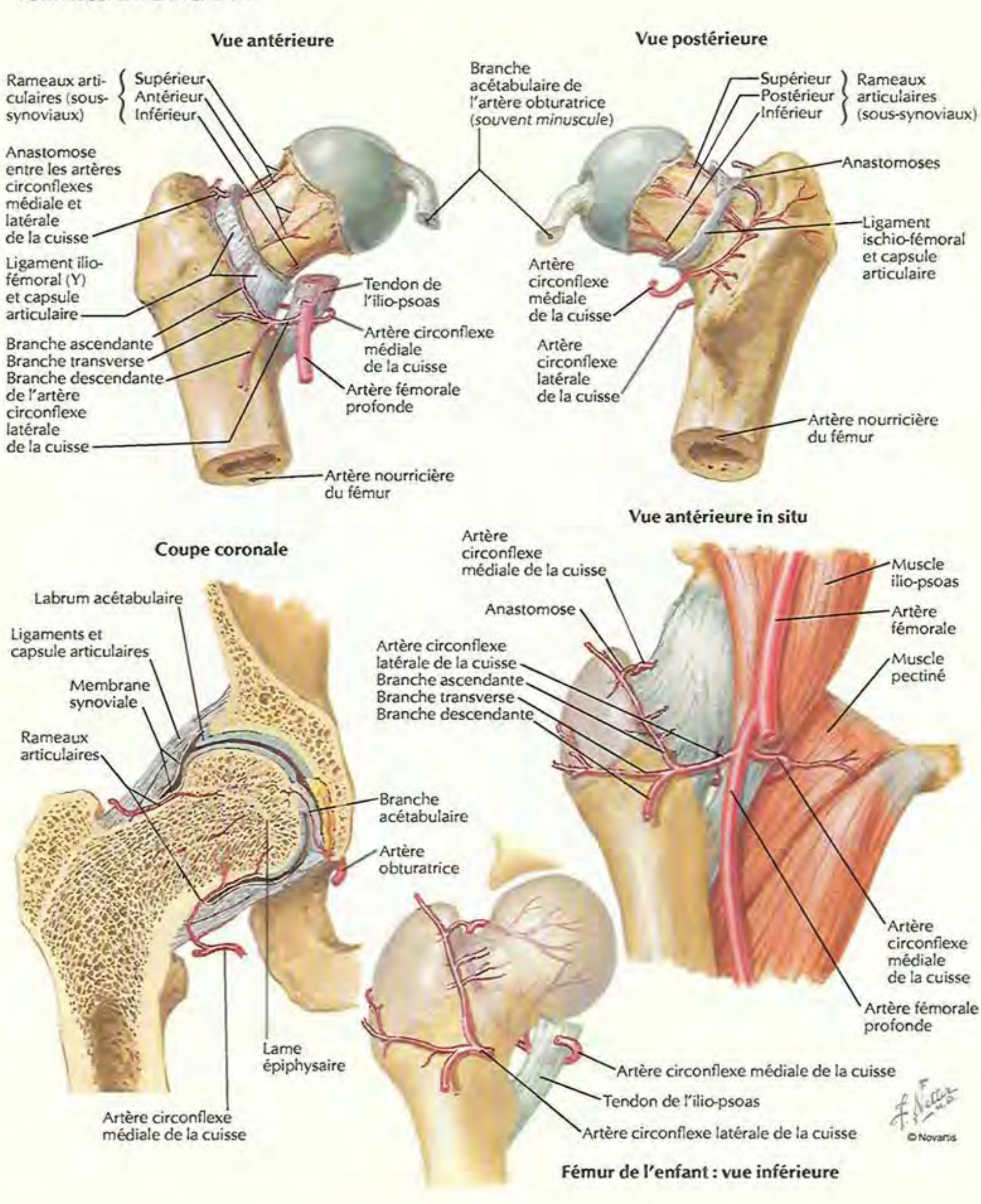


Nerfs de la hanche et de la fesse

Muscle grand fessier (coupé)
Crête iliaque
Muscle moyen fessier (coupé)
Nerf glutéal supérieur
Muscle petit fessier
Nerf sciatique (ischiatique)
Muscle piriforme
Nerf glutéal inférieur
Muscle jumeau supérieur
Nerf cutané postérieur de la cuisse
Muscle tenseur du fascia lata
Nerf des muscles obturateur interne et jumeau supérieur
Muscle moyen fessier (coupé)
Nerf honteux
Muscle obturateur interne
Épine ischiatique
Ligament sacro-épineux
Nerf du muscle carré fémoral (et du jumeau inférieur) donnant un rameau articulaire pour l'articulation de la hanche
Nerf perforant cutané
Ligament sacro-tubéral
Grand trochanter du fémur
Nerf anal inférieur (rectal)
Crête intertrochantérique
Nerf dorsal du pénis/clitoris
Muscle jumeau inférieur
Nerf périnéal
Muscle carré fémoral
Nerfs scrotaux/labiaux postérieurs
Muscle grand fessier (coupé)
Rameaux périnéaux du nerf cutané postérieur de la cuisse
Nerf sciatique (ischiatique)
Tubérosité ischiatique
Nerf cutané postérieur de la cuisse
Muscle semi-tendineux
Nerfs cluniaux inférieurs
Muscle biceps fémoral (chef long) (recouvrant le muscle semi-membraneux)
F. Netter
© Novartis

Artères de la tête et du col du fémur

VOIR AUSSI LA PLANCHE 477



Cuisse : coupes transversales sériées

Muscle sartorius
Fascia lata
Artère et veine fémorales profondes
Rameaux du nerf fémoral
Muscle pectiné
Artère et veine fémorales
Muscle ilio-psoas
Muscle long adducteur
Muscle droit de la cuisse
Grande veine saphène
Muscle vaste médial
Nerf obturateur (branche antérieure)
Nerf cutané latéral de la cuisse
Muscle court adducteur
Muscle vaste intermédiaire
Nerf obturateur (branche postérieure)
Fémur
Muscle gracile
Muscle vaste latéral
Muscle grand adducteur
Muscle tenseur du fascia lata
Nerf sciatique (ischiatique)
Tractus ilio-tibial
Nerf cutané postérieur de la cuisse
Muscle grand fessier
Muscle semi-membraneux
Muscle semi-tendineux
Muscle biceps fémoral (chef long)

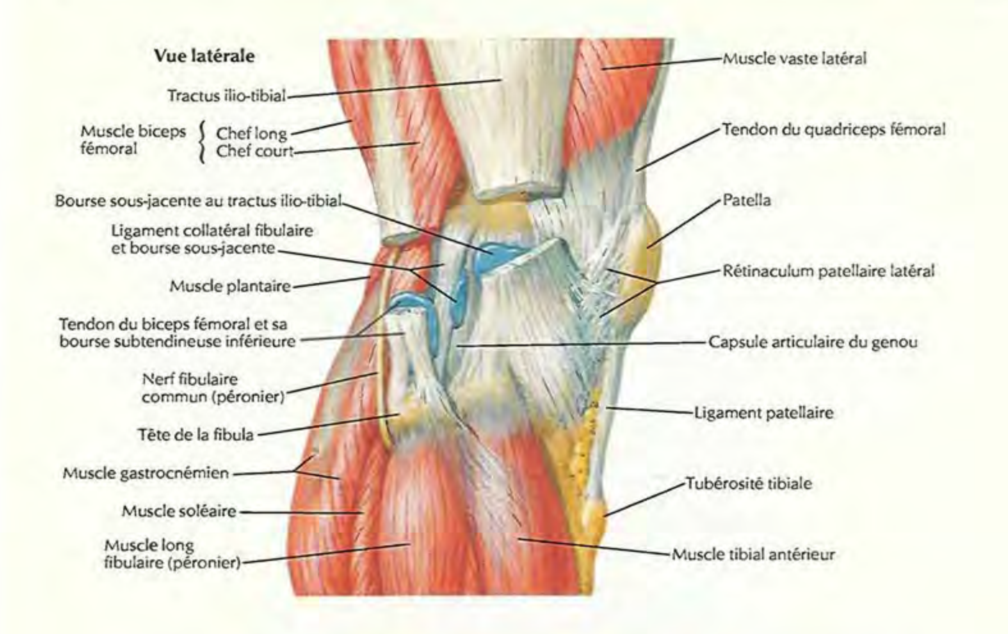
Muscle vaste médial
Septum intermusculaire médial de la cuisse
Muscle droit de la cuisse
Muscle sartorius
Muscle vaste intermédiaire
Nerf du muscle vaste médial
Muscle vaste latéral
Nerf saphène
Tractus ilio-tibial
Artère et veine fémorales
(dans le canal des adducteurs)
Septum intermusculaire latéral de la cuisse
Grande veine saphène
Muscle biceps fémoral: Chef court, Chef long
Muscle long adducteur
Muscle gracile
Muscle semi-tendineux
Muscle court adducteur
Muscle semi-membraneux
Artère et veine fémorales profondes
Muscle grand adducteur
Septum intermusculaire postérieur de la cuisse
Nerf sciatique (ischiatique)

Tendon du muscle droit fémoral
Muscle vaste intermédiaire
Tractus ilio-tibial
Muscle vaste médial
Muscle vaste latéral
Muscle sartorius
Muscle articulaire du genou
Nerf saphène et artère descendante du genou
Septum intermusculaire latéral de la cuisse
Grande veine saphène
Fémur
Muscle gracile
Muscle biceps fémoral
Tendon du grand adducteur
Nerf fibulaire commun (péronier)
Veine et artère poplitées
Nerf tibial
Muscle semi-membraneux
Muscle semi-tendineux

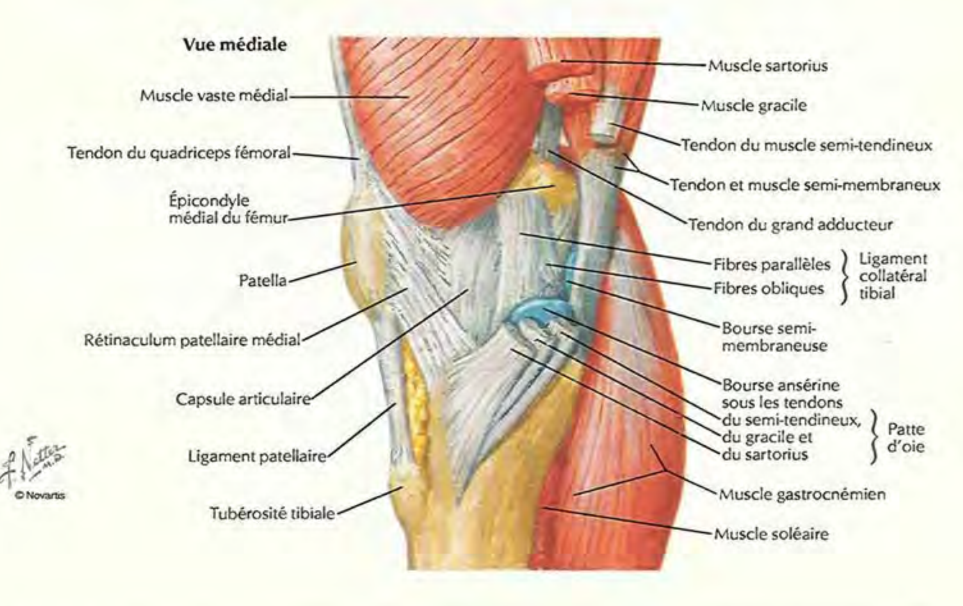
F. Netter
© Novartis

Genou : vues latérale et médiale

Vue latérale



Vue médiale



Genou : vues antérieures

Genou droit en extension

Muscle vaste intermédiaire
Muscle vaste latéral
Tractus ilio-tibial
Rétinaculum patellaire latéral
Épicondyle latéral du fémur
Ligament collatéral fibulaire et sa bourse
Tendon du biceps fémoral et sa bourse subtendineuse inférieure
Ligne en pointillé indiquant la bourse sous le tractus ilio-tibial
Insertion du tractus ilio-tibial sur le tubercule infra-condylaire (de Gerdy) et la ligne oblique du tibia
Nerf fibulaire commun (péronier)
Tête de la fibula
Muscle long fibulaire (péronier)
Muscle long extenseur des orteils
Muscle tibial antérieur
Fémur
Muscle articulaire du genou
Muscle vaste médial
Tendon du muscle droit fémoral (devenant tendon du quadriceps fémoral)
Patella
Épicondyle médial du fémur
Rétinaculum patellaire médial
Ligament collatéral tibial
Tendons du semi-tendineux, du gracile et du sartorius } Patte d'oie
Bourse ansérine
Condyle médial du tibia
Ligament patellaire
Tubérosité tibiale
Muscle gastrocnémien

© Novartis

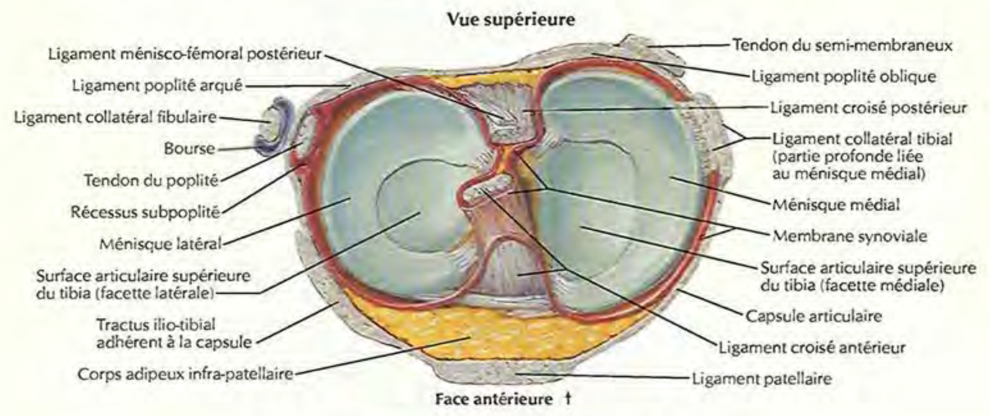
Articulation ouverte, genou légèrement fléchi

Fémur
Muscle articulaire du genou
Membrane synoviale (*coupée*)
Condyle latéral du fémur
Origine du tendon poplité (recouvert par la membrane synoviale)
Récessus subpoplité
Ménisque latéral
Ligament collatéral fibulaire
Tête de la fibula
Patella (surface articulaire de la face postérieure)
Muscle vaste latéral (*récliné en bas*)
Bourse synoviale supra-patellaire
Ligaments croisés (recouverts par la membrane synoviale)
Condyle médial du fémur
Pli synovial infra-patellaire
Ménisque médial
Plis alaires (*coupés*)
Bourrelets graisseux infra-patellaires (recouverts par la membrane synoviale)
Bourse synoviale supra-patellaire (*sommet récliné*)
Muscle vaste médial (*récliné en bas*)

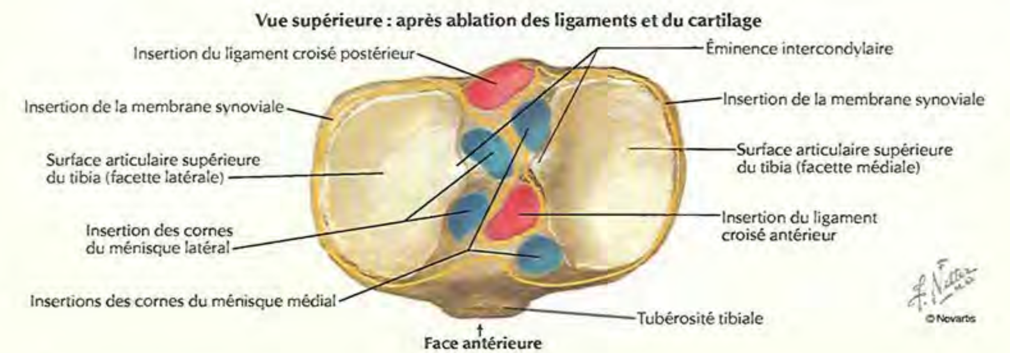
Vue inférieure

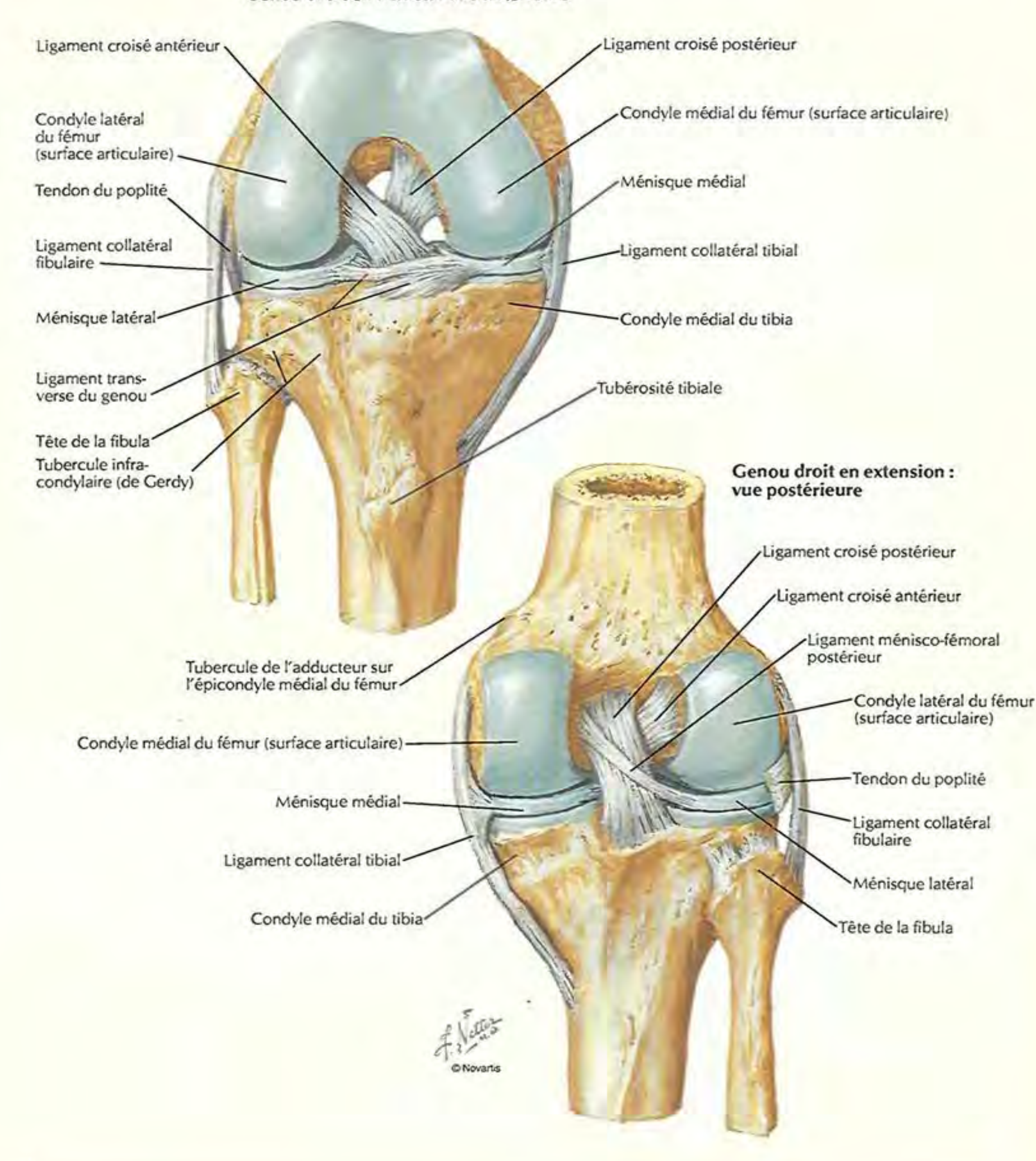
Tractus ilio-tibial adhérent au rétinaculum patellaire latéral et à la capsule
Bourse
Récessus subpoplité
Tendon poplité
Ligament collatéral fibulaire
Bourse
Condyle latéral du fémur
Ligament croisé antérieur
Ligament poplité arqué
Ligament patellaire
Rétinaculum patellaire médial adhérent à la capsule articulaire
Bourse synoviale supra-patellaire
Membrane synoviale (*bord coupé*)
Pli synovial infra-patellaire
Ligament croisé postérieur
Ligament collatéral tibial (parties superficielle et profonde)
Condyle médial du fémur
Ligament poplité oblique
Tendon du semi-membraneux
Face postérieure

Vue supérieure



Vue supérieure : après ablation des ligaments et du cartilage





Genou : vues postérieure et sagittale

Genou droit : vue postérieure

Fémur (face poplitée)
Tendon du grand adducteur
Insertion de la capsule articulaire
Chef médial du muscle gastrocnémien et bourse subtendineuse
Muscle plantaire
Ligament collatéral tibial
Chef latéral du muscle gastrocnémien et bourse sous-jacente
Tendon du semi-membraneux
Ligament collatéral fibulaire et Bourse sous-jacente
Ligament poplité oblique (expansion tendineuse du muscle semi-membraneux)
Tendon du biceps fémoral et Bourse sous-jacente
Bourse semi-membraneuse sous-jacente au tendon (*ligne en pointillé*)
Ligament poplité arqué (bord arciforme de la capsule recouvrant le muscle poplité)
Muscle poplité
Tête de la fibula
Ligament postérieur de la tête fibulaire
Insertion de la capsule articulaire
Membrane interosseuse
Tibia

Coupe sagittale (latérale à la ligne médiane du genou)

Fémur
Muscle articulaire du genou
Tendon du quadriceps fémoral
Corps graisseux supra-patellaire
Bourse synoviale supra-patellaire
Bourse subtendineuse du muscle gastrocnémien
Patella
Bourse sous-cutanée pré-patellaire
Cavité articulaire
Membrane synoviale
Ligament patellaire
Membrane synoviale
Corps adipeux infra-patellaire
Bourse sous-cutanée infra-patellaire
Bourse infra-patellaire profonde (subtendineuse)
Ménisque latéral
Cartilages articulaires
Tubérosité tibiale
Tibia

F. Netter M.D.

Artères de la cuisse et du genou : schéma

Artère iliaque externe
Artère circonflexe iliaque profonde
Artère épigastrique inférieure
Artère épigastrique superficielle
Artère circonflexe iliaque superficielle
Artère honteuse externe superficielle
Artère fémorale
Artère obturatrice
Artère honteuse externe profonde
Artère circonflexe fémorale médiale
Branche ascendante
Branche transverse
Branche descendante
de l'artère circonflexe latérale de la cuisse
Artère fémorale
Rameaux musculaires
Artère fémorale profonde
Rameaux perforants
Artère fémorale passant à travers le hiatus des adducteurs
Artère descendante du genou
Rameau articulaire
Rameau saphène
Artère supéro-médiale du genou
Artère supéro-latérale du genou
Artère poplitée (*en transparence*)
Anastomose patellaire
Artère moyenne du genou (*en transparence*)
Artère inféro-latérale du genou (*partiellement en transparence*)
Artère inféro-médiale du genou (*partiellement en transparence*)
Artère récurrente tibiale postérieure (*en transparence*)
Artère récurrente tibiale antérieure
Rameau circonflexe de la fibula
Artère tibiale antérieure
Artère tibiale postérieure (*en transparence*)
Membrane interosseuse
Artère fibulaire (péronière) (*en transparence*)

F. Netter M.D.

Tibia et fibula

Os de la jambe droite

Vue antérieure

Éminence intercondylaire
Tubercule intercondylaire latéral
Tubercule intercondylaire médial
Aire intercondylaire antérieure
Condyle latéral
Condyle médial
Apex
Tête
Col
de la fibula
Tubercule infra-condylaire (de Gerdy) (insertion du tractus ilio-tibial)
Ligne oblique
Tubérosité tibiale
Face latérale
Face latérale
Bord antérieur
Bord antérieur
Bord interosseux
Bord interosseux
Face médiale
Face médiale
Bord médial
Fibula
Tibia
Malléole latérale
Malléole médiale
Surface articulaire de la malléole latérale
Surface articulaire inférieure
Surface articulaire de la malléole médiale

Vue postérieure

Éminence intercondylaire
Tubercule intercondylaire médial
Tubercule intercondylaire latéral
Aire intercondylaire postérieure
Surfaces articulaires supérieures (facettes latérale et médiale)
Condyle latéral
Apex
Tête
Col
de la fibula
Sillon d'insertion du tendon du semi-membraneux
Ligne soléaire
Trou nourricier
Bord interosseux
Face postérieure
Face postérieure
Crête médiale
Bord médial
Face latérale
Tibia
Fibula
Bord postérieur
Sillon des tendons du tibial postérieur et du long fléchisseur des orteils
Incisure fibulaire
Malléole médiale
Malléole latérale
Fosse malléolaire de la malléole latérale
Surface articulaire de la malléole médiale
Surface articulaire inférieure

© Novartis

Tibia et fibula (suite)

Vue antérieure avec les insertions ligamentaires

Tractus ilio-tibial
Postérieur
Antérieur
Ligaments croisés
Ligament collatéral fibulaire
Ligament collatéral tibial
Tendon du biceps fémoral
Tête de la fibula
Ligament patellaire
Ligament antérieur de la tête fibulaire
Tubérosité tibiale
Tubercule de Gerdy
Bord antérieur
Bord antérieur
Bord interosseux
Bord interosseux
Membrane interosseuse
Face latérale
Face latérale
Fibula
Tibia
Ligament tibio-fibulaire antérieur
Malléole latérale
Malléole médiale
Ligament talo-fibulaire antérieur
Ligament médial de la cheville (deltoïdien)
Ligament calcanéo-fibulaire

© Novartis

Vue supérieure

Ligament postérieur de la tête fibulaire
Apex
Tête
Fibula
Postérieur
Aire intercondylaire postérieure (origine du ligament croisé postérieur)
Éminence intercondylaire
Tibia
Ligament antérieur de la tête fibulaire
Condyle médial
Condyle latéral
Surface articulaire supérieure (facette médiale)
Surface articulaire supérieure (facette latérale)
Aire intercondylaire antérieure (origine du ligament croisé antérieur)
Antérieur
Médial
Latéral
Tubercules intercondylaires
Tubérosité tibiale

Coupe transversale

Bord interosseux
Face latérale
Membrane interosseuse
Bord antérieur
Face médiale
Bord interosseux
Tibia
Bord antérieur
Bord médial
Face latérale
Face postérieure
Fibula
Face médiale
Crête médiale
Bord postérieur
Face postérieure

Vue inférieure

Ligament tibio-fibulaire antérieur
Antérieur
Surface articulaire de la malléole médiale
Surface articulaire de la malléole latérale
Fibula
Malléole médiale
Fosse malléolaire de la malléole latérale
Tibia
Postérieur
Ligament tibio-fibulaire postérieur
Surface articulaire inférieure du tibia

Insertions des muscles de la jambe

Vue antérieure

Tractus ilio-tibial
Muscle biceps fémoral
Muscle long fibulaire (péronier)
Muscle long extenseur des orteils
Muscle long extenseur de l'hallux
Muscle court fibulaire (péronier)
Muscle troisième fibulaire (péronier)
Muscle court fibulaire (péronier)
Muscle troisième fibulaire (péronier)
Muscle sartorius
Muscle gracile
Muscle semi-tendineux
Patte d'oie
Muscle quadriceps fémoral via le ligament patellaire
Muscle tibial antérieur
Muscle long extenseur des orteils
Muscle long extenseur de l'hallux

Vue postérieure

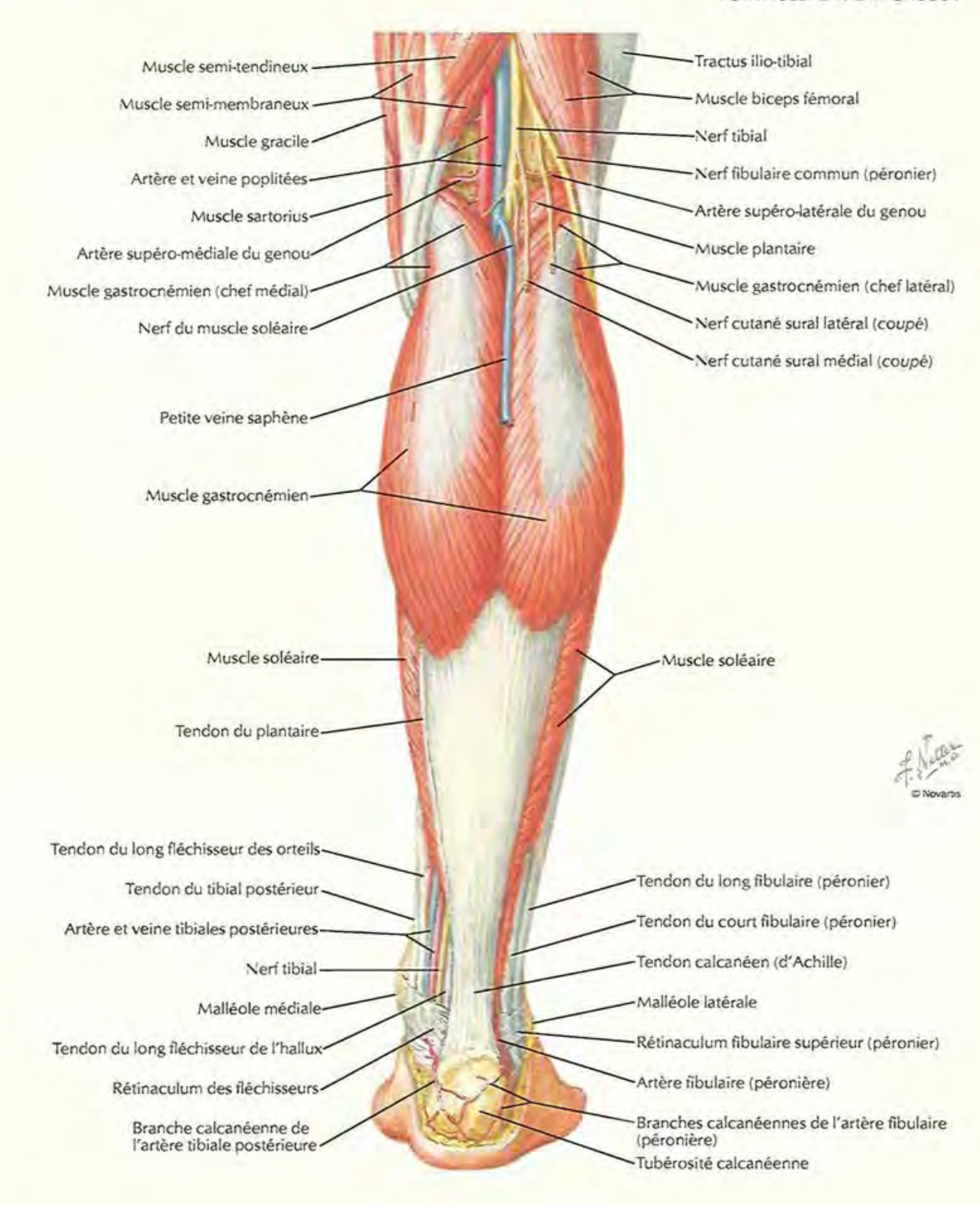
Muscle gastrocnémien (chef médial)
Muscle semi-membraneux
Muscle poplité
Muscle soléaire
Muscle long fléchisseur des orteils
Muscle tibial postérieur
Muscle tibial antérieur
Muscle long fléchisseur de l'hallux
Muscle plantaire
Muscle gastrocnémien (chef latéral)
Muscle poplité
Muscle tibial postérieur
Muscle long fléchisseur de l'hallux
Muscle court fibulaire (péronier)
Muscle plantaire
Muscles soléaire et gastrocnémien via le tendon calcanéen (d'Achille)
Muscle long fibulaire (péronier)
Muscle long fléchisseur des orteils

Origines
Terminaisons

Note : les insertions des muscles intrinsèques du pied ne sont pas représentées ici

Muscles de la jambe (dissection superficielle) : vue postérieure

VOIR AUSSI LA PLANCHE 504



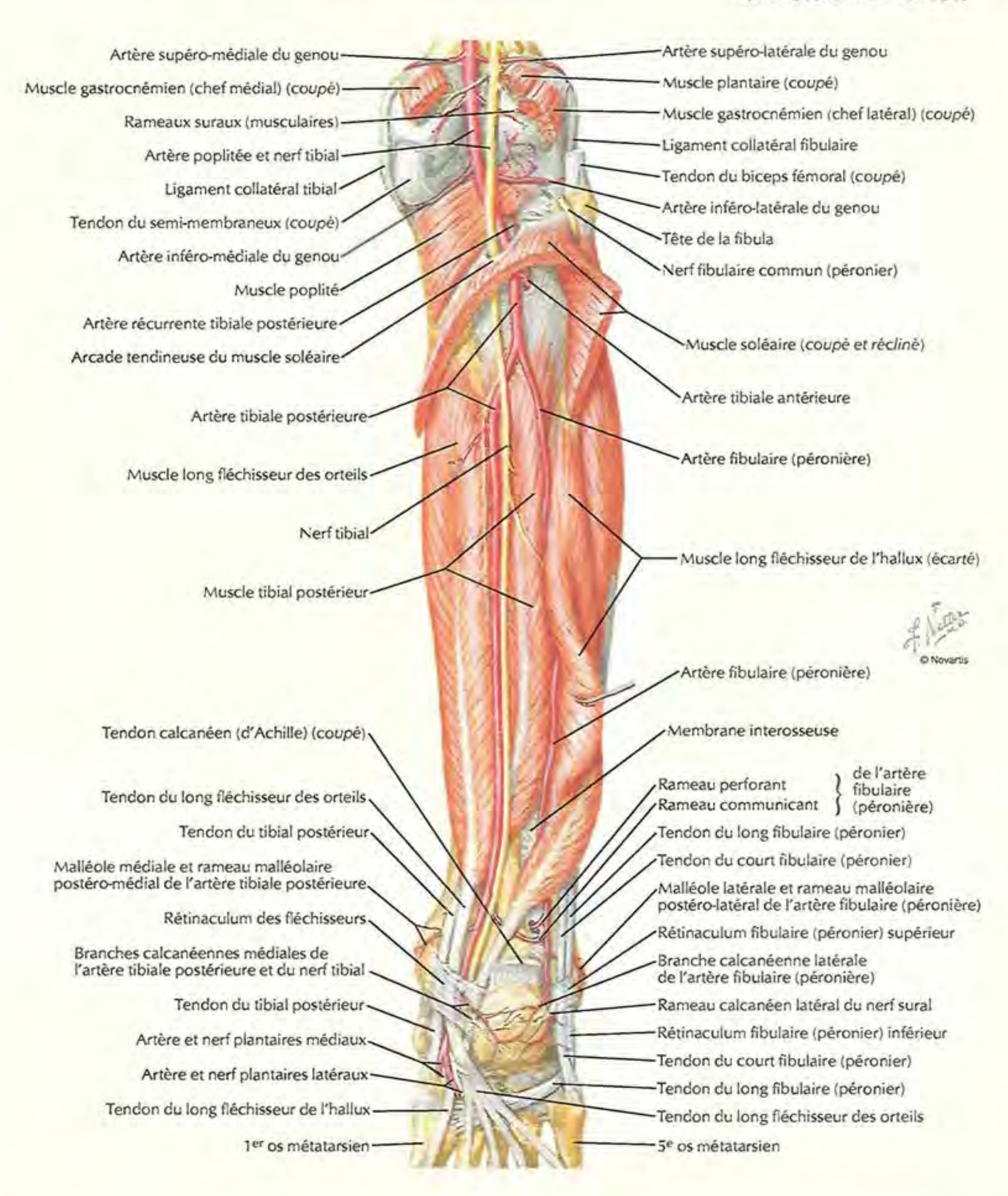
Muscles de la jambe (dissection intermédiaire) : vue postérieure

VOIR AUSSI LA PLANCHE 505

Tendon du grand adducteur
Artère et veine poplitées
Artère supéro-médiale du genou
Muscle gastrocnémien (chef médial) (coupé)
Ligament collatéral tibial
Tendon du semi-membraneux (coupé)
Artère inféro-médiale du genou
Muscle poplité
Arcade tendineuse du Muscle soléaire
Tendon du plantaire
Muscle gastrocnémien (coupé)
Nerf tibial
Nerf fibulaire commun (péronier) (coupé)
Artère supéro-latérale du genou
Nerfs cutanés suraux latéral et médial (coupés)
Muscle gastrocnémien (chef latéral) (coupé)
Ligament fibulaire collatéral
Tendon du biceps fémoral (coupé)
Muscle plantaire
Artère inféro-latérale du genou
Tête de la fibula
Nerf fibulaire commun (péronier) (coupé)
Nerf du muscle soléaire
Muscle long fibulaire (péronier)
Muscle soléaire
Muscle soléaire s'insérant dans le tendon calcanéen (d'Achille)
Muscle long fléchisseur des orteils
Tendon du tibial postérieur
Artère et veine tibiales postérieures
Nerf tibial
Malléole médiale
Tendon du long fléchisseur de l'hallux
Rétinaculum des fléchisseurs
Tendon calcanéen (d'Achille)
Branche calcanéenne de l'artère tibiale postérieure
Tendon du long fibulaire (péronier)
Tendon du court fibulaire (péronier)
Malléole latérale
Rétinaculum fibulaire (péronier) supérieur
Artère fibulaire (péronière)
Branches calcanéennes de l'artère fibulaire (péronière)
Tubérosité calcanéenne
F. Netter M.D.
© Novartis

Muscles de la jambe (dissection profonde) : vue postérieure

VOIR AUSSI LA PLANCHE 505



Muscles de la jambe (dissection superficielle) : vue antérieure

VOIR AUSSI LA PLANCHE 506

Muscle vaste latéral
Tendon du muscle droit fémoral (devenant tendon du quadriceps fémoral)
Tractus ilio-tibial
Artère supéro-latérale du genou
Rétinaculum patellaire latéral
Tendon du biceps fémoral
Artère inféro-latérale du genou
Nerf fibulaire commun (péronier)
Tête de la fibula
Muscle long fibulaire (péronier)
Muscle tibial antérieur
Nerf fibulaire superficiel (péronier)(*coupé*)
Muscle court fibulaire (péronier)
Muscle long extenseur des orteils
Fibula
Rétinaculum supérieur des extenseurs
Malléole latérale
Rétinaculum inférieur des extenseurs
Tendons du long extenseur des orteils
Tendon du troisième fibulaire (péronier)
Tendons du court extenseur des orteils
Nerfs digitaux dorsaux

Muscle vaste médial
Patella
Artère supéro-médiale du genou
Ligament collatéral tibial
Rétinaculum patellaire médial
Artère inféro-médiale du genou
Rameau infra-patellaire (*coupé*) du Nerf saphène (*coupé*)
Capsule articulaire
Ligament patellaire
Insertion du muscle sartorius
Tubérosité tibiale
Tibia
Muscle gastrocnémien
Muscle soléaire
Muscle long extenseur de l'hallux
Malléole médiale
Tendon du tibial antérieur
Rameau médial du nerf fibulaire profond (péronier)
Tendon du long extenseur de l'hallux
Tendon du court extenseur de l'hallux
Rameaux digitaux dorsaux du nerf fibulaire profond (péronier)

F. Netter M.D.

Muscles de la jambe (dissection profonde) : vue antérieure

VOIR AUSSI LA PLANCHE 506

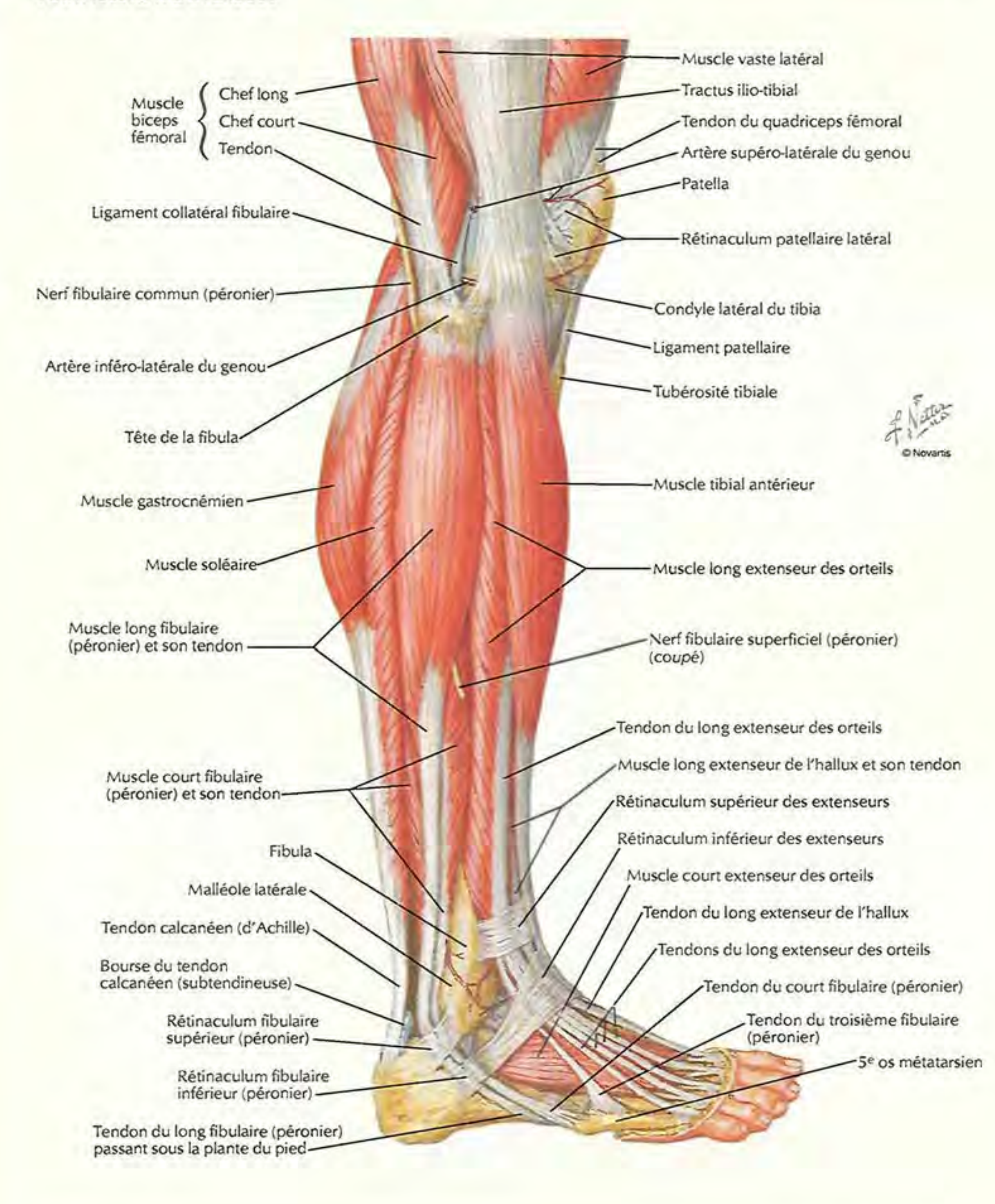
Artère supéro-latérale du genou
Ligament collatéral fibulaire
Rétinaculum patellaire latéral
Tractus ilio-tibial (*coupé*)
Tendon du biceps fémoral (*coupé*)
Artère inféro-latérale du genou
Nerf fibulaire commun (péronier)
Tête de la fibula
Muscle long fibulaire (péronier) (*coupé*)
Artère tibiale antérieure
Muscle long extenseur des orteils (*coupé*)
Nerf fibulaire superficiel (péronier)
Nerf fibulaire profond (péronier)
Muscle long fibulaire (péronier)
Muscle long extenseur des orteils
Muscle court fibulaire (péronier) et son tendon
Tendon du long fibulaire (péronier)
Branche perforante de l'artère fibulaire (péronière)
Artère malléolaire antéro-latérale
Malléole latérale et plexus artériel
Artère tarsale latérale et rameau latéral du nerf fibulaire profond (péronier)
Muscles court extenseur des orteils et court extenseur de l'hallux (*coupés*)
Tendon du court fibulaire (péronier)
Rameaux perforants postérieurs de l'arcade plantaire profonde
Tendons du long extenseur des orteils (*coupés*)
Tendon du court extenseur des orteils (*coupé*)
Artères digitales dorsales
Rameaux des artères et des nerfs digitaux propres plantaires

Artère supéro-médiale du genou
Tendon du quadriceps fémoral
Ligament collatéral tibial
Rétinaculum patellaire médial
Rameau infra-patellaire du nerf saphène (*coupé*)
Artère inféro-médiale du genou
Nerf saphène (*coupé*)
Ligament patellaire
Insertion du tendon du sartorius
Artère récurrente tibiale antérieure et rameau récurrent du nerf fibulaire profond (péronier)
Membrane interosseuse
Muscle tibial antérieur (*coupé*)
Muscle gastrocnémien
Muscle soléaire
Tibia
Nerf fibulaire superficiel (péronier) (*coupé*)
Muscle long extenseur de l'hallux et son tendon (*coupé*)
Membrane interosseuse
Artère malléolaire antéro-médiale
Malléole médiale et plexus artériel
Artère dorsale du pied
Tendon du tibial antérieur
Artère tarsienne médiale
Rameau médial du nerf fibulaire profond (péronier)
Artère arquée
Artère plantaire profonde
Artères métatarsiennes dorsales
Tendon du long extenseur de l'hallux (*coupé*)
Tendon du court extenseur de l'hallux (*coupé*)
Rameaux digitaux dorsaux du nerf fibulaire profond (péronier)

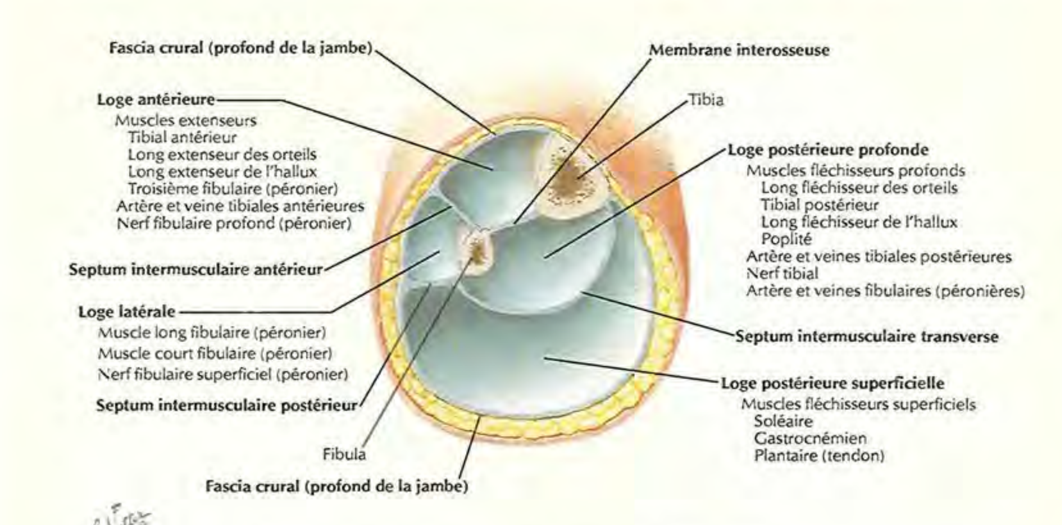
F. Netter M.D.

Muscles de la jambe : vue latérale

VOIR AUSSI LA PLANCHE 506



Jambe : coupes transversales et loges fasciales



Coupe transversale juste au-dessus du milieu de la jambe gauche

Muscle tibial antérieur
Artère et veines tibiales antérieures et nerf fibulaire profond (péronier)
Tibia
Muscle long extenseur de l'hallux
Muscle long extenseur des orteils
Membrane interosseuse
Nerf fibulaire superficiel (péronier)
Grande veine saphène et nerf saphène
Septum intermusculaire antérieur
Muscle tibial postérieur
Fascia crural (profond de la jambe)
Muscle long flèchisseur des orteils
Muscle long fibulaire (péronier)
Artère et veines fibulaires (péronières)
Muscle court fibulaire (péronier)
Artère et veines tibiales postérieures et nerf tibial
Septum intermusculaire postérieur
Fibula
Muscle long fléchisseur de l'hallux
Nerf cutané sural latéral
Fascia crural (profond de la jambe)
Septum intermusculaire transverse
Tendon plantaire
Muscle soléaire
Muscle gastrocnémien (chef médial)
Muscle gastrocnémien (chef latéral)
Nerf cutané sural médial
Rameau communicant sural du nerf cutané sural latéral
Petite veine saphène

Os du pied

Vue dorsale

Calcanéus
Corps
Trochlée fibulaire (péronière)
Sinus du tarse
Articulation transverse du tarse
Cuboïde
Tubérosité du 5e os métatarsien
Tubercule latéral
Tubercule médial
Sillon du tendon du long fléchisseur de l'hallux
Processus postérieur
Talus
Trochlée
Col
Tête
Naviculaire
Tubérosité
Latéral
Intermédiaire
Médial
Os cunéiformes
Articulation tarso-métatarsienne
Os métatarsiens
5 4 3 2 1
Base
Corps
Tête
Phalanges
Proximale
Moyenne
Distale
Tête
Base
Corps
Tête
Base
Tubérosité

© Novartis

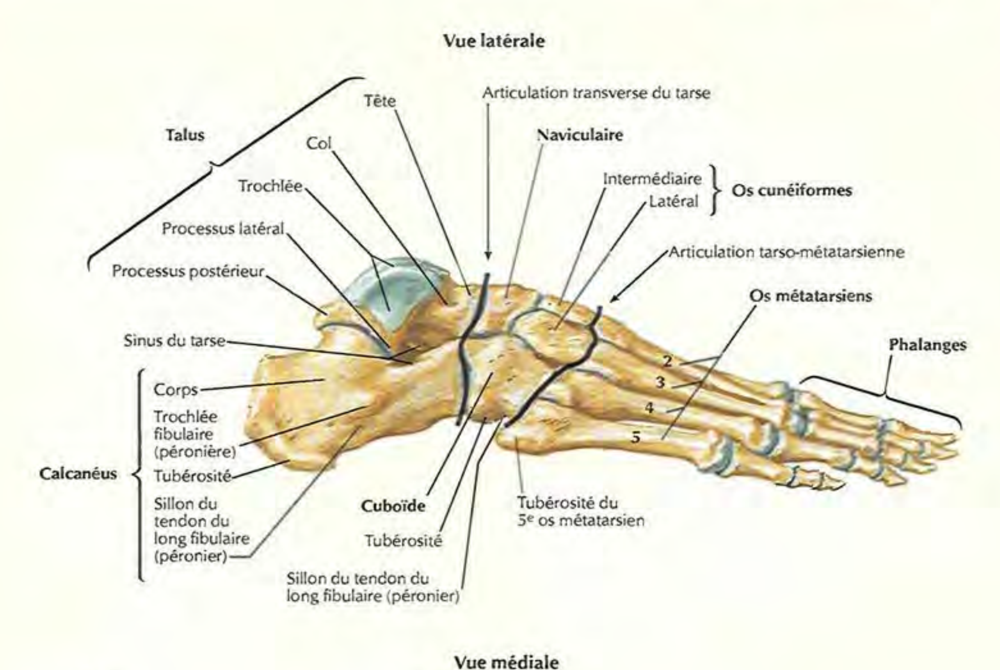
Vue plantaire

Calcanéus
Tubérosité
Processus médial
Processus latéral
Sustentaculum tali
Sillon du tendon du long fléchisseur de l'hallux
Trochlée fibulaire (péronière)
Talus
Tubercule latéral
Tubercule médial
Processus postérieur
Tête
Articulation transverse du tarse
Naviculaire
Tubérosité
Cuboïde
Tubérosité
Sillon du tendon du long fibulaire (péronier)
Os cunéiformes
Latéral
Intermédiaire
Médial
Tubérosité du 5e os métatarsien
Articulation tarso-métatarsienne
Base
Os métatarsiens
1 2 3 4 5
Corps
Tête
Os sésamoïdes
Médial
Latéral
Base
Corps
Tête
Base
Tête
Base
Tubérosité
Phalanges
Proximale
Moyenne
Distale

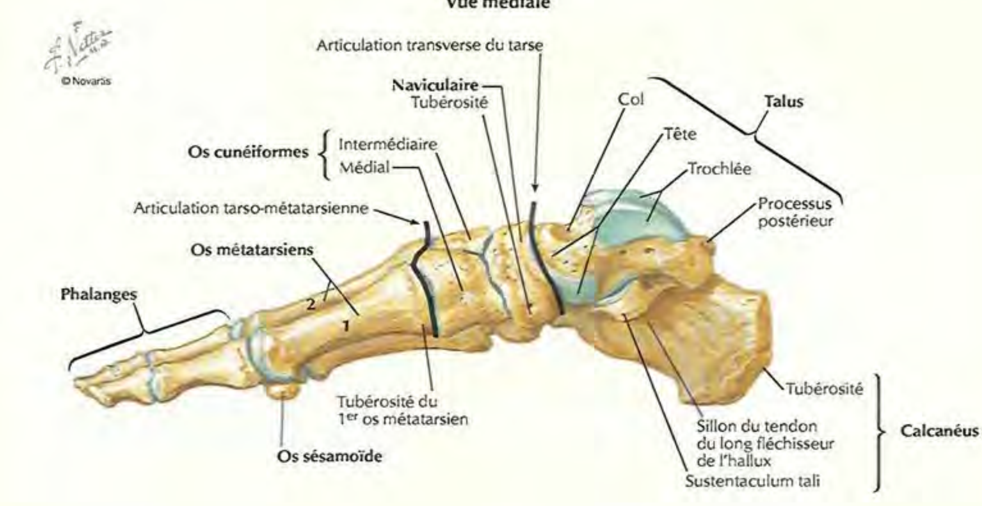
© Novartis

Os du pied (suite)

Vue latérale



Vue médiale



Pied droit

Surface articulaire talaire postérieure
Surface articulaire talaire moyenne
Surface articulaire talaire antérieure
Corps
Surface articulaire pour l'os cuboïde
Trochlée fibulaire (péronière)
Tubérosité
Processus latéral de la tubérosité
Sillon du tendon du long fibulaire (péronier)

Vue latérale

Surface articulaire talaire antérieure
Surface articulaire pour l'os cuboïde
Surface articulaire talaire moyenne
Surface articulaire talaire postérieure
Sustentaculum tali
Trochlée fibulaire (péronière)
Sillon calcanéen
Corps
Tubérosité

Vue supérieure

Surface articulaire talaire antérieure
Surface articulaire talaire moyenne
Surface articulaire talaire postérieure
Surface articulaire pour l'os cuboïde
Tubérosité
Sustentaculum tali
Sillon du tendon du long fléchisseur de l'hallux
Processus médial de la tubérosité

Vue médiale

Surface articulaire talaire moyenne
Surface articulaire talaire postérieure
Sustentaculum tali
Sillon du tendon du long fléchisseur de l'hallux
Trochlée fibulaire (péronière)
Processus médial de la tubérosité
Processus latéral de la tubérosité
Tubérosité

Vue postérieure

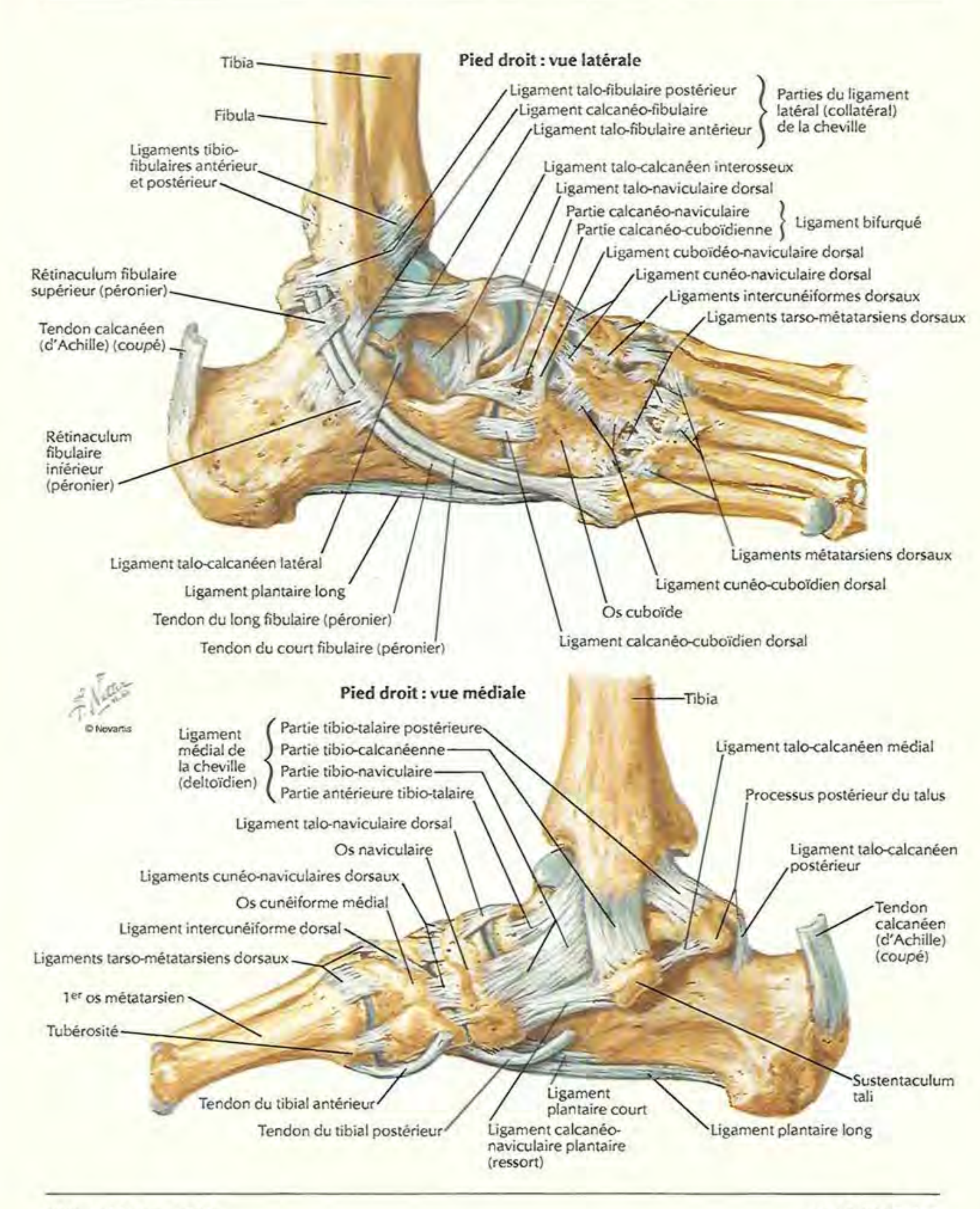
Tibia
Fibula
Membrane interosseuse
Ligament tibio-fibulaire postérieur
Talus
Ligament talo-fibulaire postérieur
Ligament médial de la cheville (deltoïdien)
Ligament calcanéo-fibulaire
Ligament talo-calcanéen postérieur
Tendons fibulaires (péroniers) dans le rétinaculum fibulaire inférieur (péronier)

Vue postérieure avec les ligaments

33 °–40 °
Angle tubéral
Angle critique

Rapports fonctionnels du calcanéus

© Novartis



Ligaments et tendons du pied : vue plantaire

Tendon du long fléchisseur des orteils pour le 2e orteil (coupé)
Tendon du court fléchisseur des orteils pour le 2e orteil (coupé)
4e phalange distale
4e phalange moyenne
Ligaments métatarsiens transverses profonds
5e phalange proximale
4e tendon lombrical (coupé)
Tendons de l'abducteur du petit orteil et du court fléchisseur du petit orteil (coupé)
Ligaments plantaires (plaques)
Muscles interosseux (coupés)
5e os métatarsien
Ligaments métatarsiens plantaires
Tubérosité du 5e os métatarsien
Tendon du court fibulaire (péronier)
Os cuboïde
Tendon du long fibulaire (péronier)
Tubérosité de l'os cuboïde
Ligament plantaire long
Ligament calcanéo-cuboïdien plantaire (plantaire court)
Calcanéus
Processus médial et Processus latéral de la Tubérosité du calcanéus
Phalange distale du gros orteil
Articulation interphalangienne (IP)
Tendon du long fléchisseur de l'hallux (coupé)
Phalange proximale du gros orteil
Articulation métatarso-phalangienne (MP)
Os sésamoïdes
Tendons de l'abducteur de l'hallux et du chef médial du court fléchisseur de l'hallux (coupé)
Tendons de l'adducteur de l'hallux et du chef latéral du court fléchisseur de l'hallux (coupé)
1er os métatarsien
Ligaments tarso-métatarsiens plantaires
Os cunéiforme médial
Tendon du tibial antérieur (coupé)
Ligament cunéo-naviculaire plantaire
Ligament cuboïdo-naviculaire plantaire
Tubérosité de l'os naviculaire
Ligament calcanéo-naviculaire plantaire (ressort)
Tendon du tibial postérieur
Tendon du long fléchisseur des doigts
Sustentaculum tali
Tendon du long fléchisseur de l'hallux (coupé)
Processus postérieur du talus (tubercules médial et latéral)

F. Netter
© Novartis

Phalanges
Distale
Moyenne
Proximale
Capsule articulaire
Os métatarsien
Ligaments collatéraux
Ligament plantaire (plaque)

Capsules et ligaments des articulations métatarso-phalangienne et interphalangienne : vue latérale

Gaines tendineuses de la cheville

Vue latérale

Muscle soléaire
Muscle long fibulaire (péronier)
Muscle court fibulaire (péronier)
Tendon calcanéen (d'Achille)
Gaine synoviale commune des tendons du long et du court fibulaires (péroniers)
Bourse sous-cutanée calcanéenne
Bourse du tendon calcanéen (subtendineuse)
Rétinaculums fibulaires (péroniers) supérieur et inférieur
Calcanéus
Muscle court extenseur des orteils
Muscle abducteur du petit orteil
Muscle long extenseur des orteils
Rétinaculum supérieur des extenseurs
Gaine synoviale du tendon du tibial antérieur
Malléole latérale et bourse sous-cutanée
Rétinaculum inférieur des extenseurs
Gaine synoviale des tendons du long extenseur des orteils et du troisième fibulaire (péronier)
Gaine synoviale du tendon du long extenseur de l'hallux
Tendon du long fibulaire (péronier)
Tendon du court fibulaire (péronier)
Tendon du troisième fibulaire (péronier)
Tubérosité du 5e os métatarsien

Vue médiale

Tendon du tibial antérieur et sa gaine
Tibia
Gaine du tendon du tibial postérieur
Rétinaculum supérieur des extenseurs
Malléole médiale et bourse sous-cutanée
Rétinaculum inférieur des extenseurs
Tendon du tibial postérieur et sa gaine
Tendon du tibial antérieur et sa gaine
Gaine synoviale du tendon du long extenseur de l'hallux
1er os métatarsien
Gaine synoviale du tendon du long fléchisseur de l'hallux
Nerf plantaire médial
Gaine synoviale du tendon du long fléchisseur des orteils
Tendon calcanéen (d'Achille)
Gaine synoviale du tendon du long fléchisseur des orteils
Artère tibiale postérieure et nerf tibial
Gaine synoviale du tendon du long fléchisseur de l'hallux
Bourse calcanéenne sous-cutanée
Bourse du tendon calcanéen (subtendineuse)
Rétinaculum des fléchisseurs
Calcanéus
Muscle abducteur de l'hallux (coupé)
Aponévrose plantaire (coupée)
Muscle court fléchisseur des orteils (coupé)

F. Netter
© Novartis

Muscles du dos du pied : dissection superficielle

Nerf fibulaire superficiel (péronier) (coupé)
Muscle court fibulaire (péronier)
Tendon du long fibulaire (péronier)
Muscle long extenseur des orteils et son tendon
Rétinaculum supérieur des extenseurs
Fibula
Rameau perforant de l'artère fibulaire (péronière)
Malléole latérale et artère malléolaire antéro-latérale
Rétinaculum inférieur des extenseurs
Artère tarsienne latérale et rameau latéral du nerf fibulaire profond (péronier) (vers les muscles du dos du pied)
Tendon du court fibulaire (péronier)
Tubérosité du 5e os métatarsien
Tendon du troisième fibulaire (péronier)
Muscles court extenseur des orteils et court extenseur de l'hallux
Tendons du long extenseur des orteils
Nerf cutané dorsal latéral (prolongement du nerf sural) (coupé)
Artères métatarsiennes dorsales
Artères digitales dorsales
Rameaux dorsaux des artères et des nerfs digitaux propres plantaires

Tendon du tibial antérieur
Artère tibiale antérieure et nerf fibulaire profond (péronier)
Tibia
Tendon du long extenseur de l'hallux
Gaine synoviale des tendons du long extenseur des orteils
Malléole médiale
Gaine synoviale du tendon du tibial antérieur
Gaine synoviale du tendon du long extenseur de l'hallux
Artère malléolaire antéro-médiale
Artère dorsale du pied et rameau médial du nerf fibulaire profond (péronier)
Artère tarsienne médiale
Artère arquée
Artère plantaire profonde passant entre les chefs du 1er muscle interosseux dorsal pour rejoindre l'arcade plantaire
Tendon du long extenseur de l'hallux
Expansions des extenseurs
Rameaux digitaux dorsaux du nerf fibulaire profond (péronier)
Rameaux digitaux dorsaux du nerf fibulaire superficiel (péronier)

F. Netter M.D.

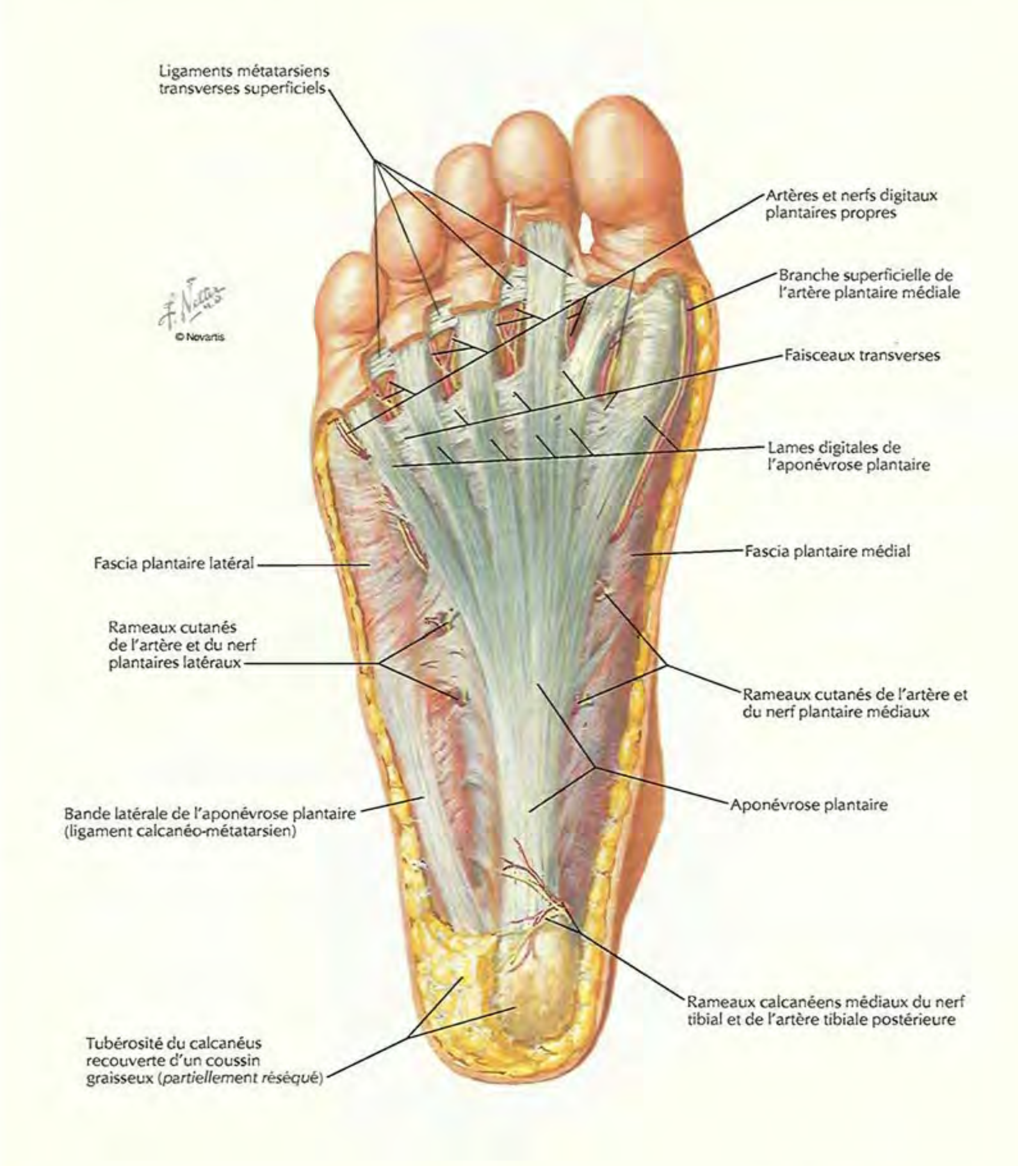
Dos du pied : dissection profonde

Nerf fibulaire superficiel (péronier) (coupé)
Tendon du long fibulaire (péronier)
Muscle court fibulaire (péronier) et son tendon
Muscle long extenseur des orteils et son tendon
Fibula
Rameau perforant de l'artère fibulaire (péronière)
Artère malléolaire antéro-latérale
Malléole latérale
Rameau latéral du nerf fibulaire profond (péronier) (vers les muscles du dos du pied) et artère tarsienne latérale
Tendon du long fibulaire (péronier) (coupé)
Muscles court extenseur des orteils et court extenseur de l'hallux (coupé)
Tendon du court fibulaire (péronier) (coupé)
Tendon du troisième fibulaire (péronier) (coupé)
Muscle abducteur du petit orteil
Artères métatarsiennes dorsales
Os métatarsiens
Muscles interosseux dorsaux
Nerf cutané dorsal latéral (prolongement du nerf sural) (coupé)
Rameaux perforants antérieurs des artères métatarsiennes plantaires
Artères digitales dorsales
Rameaux dorsaux des artères et des nerfs digitaux propres plantaires

Muscle soléaire
Muscle tibial antérieur et son tendon
Tibia
Artère tibiale antérieure et nerf fibulaire profond (péronier)
Muscle long extenseur de l'hallux et son tendon
Artère malléolaire antéro-médiale
Malléole médiale
Artère dorsale du pied
Rameau médial du nerf fibulaire profond (péronier)
Artères tarsiennes médiales
Tubérosité de l'os naviculaire
Artère arquée
Rameaux perforants postérieurs de l'arcade plantaire profonde
Artère plantaire profonde rejoignant l'arcade plantaire profonde
Muscle abducteur de l'hallux
Tendon du long extenseur de l'hallux
Tendon du court extenseur de l'hallux (coupé)
Tendons du court extenseur des orteils (coupés)
Tendons du long extenseur des orteils (coupés)
Expansions des extenseurs
Rameaux digitaux dorsaux du nerf fibulaire profond (péronier)
Rameaux digitaux dorsaux du nerf fibulaire superficiel (péronier)

F. Netter M.D.

Plante du pied : dissection superficielle



Muscles de la plante du pied : première couche

Rameaux digitaux plantaires propres du nerf plantaire médial

Rameaux digitaux plantaires propres du nerf plantaire latéral

Artères digitales plantaires propres

Artères digitales plantaires communes issues des artères métatarsiennes plantaires

Muscles lombricaux

Gaine fibreuse des tendons du fléchisseur

Branche superficielle de l'artère plantaire médiale

Chef latéral et Chef médial du muscle court fléchisseur de l'hallux

Tendons du court fléchisseur des orteils sous les Tendons du long fléchisseur des orteils

Tendon du long fléchisseur de l'hallux

Rameau métatarsien plantaire de l'artère plantaire latérale

Muscle abducteur de l'hallux et son tendon

Muscle court fléchisseur du petit orteil

Muscle court fléchisseur des orteils

Muscle abducteur du petit orteil (recouvert du fascia plantaire latéral)

Aponévrose plantaire (*coupée*)

Processus médial et Processus latéral de la Tubérosité du calcanéus

Rameaux calcanéens médiaux du nerf tibial et de l'artère tibiale postérieure

F. Netter M.D.
© Novartis

Muscles de la plante du pied : deuxième couche

Rameaux digitaux plantaires propres du nerf plantaire médial

Rameaux digitaux plantaires propres du nerf plantaire latéral

© Novartis

Muscle court fléchisseur du petit orteil

Branche superficielle et Branche profonde du nerf plantaire latéral

Nerf et artère plantaires latéraux

Muscle carré plantaire

Muscle abducteur du petit orteil (*coupé*)

Nerf du muscle abducteur du petit orteil (issu du nerf plantaire latéral)

Muscle court fléchisseur des orteils et aponévrose plantaire (*coupés*)

Nerf et artère calcanéens latéraux (issus du nerf sural et de l'artère fibulaire [péronière])

Tendons du long fléchisseur des orteils

Tendons du court fléchisseur des orteils

Gaines fibreuses (*ouvertes*)

Os sésamoïdes

Nerfs et artères digitaux plantaires communs

Muscles lombricaux

Chef latéral et Chef médial du muscle court fléchisseur de l'hallux

Tendon du long fléchisseur de l'hallux

Muscle abducteur de l'hallux (*coupé*) et son tendon

Tendon du long fléchisseur des orteils

Branches superficielle et profonde de l'artère plantaire médiale

Artère et nerf plantaires médiaux

Tendon du tibial postérieur

Tendon du long fléchisseur de l'hallux

Artère tibiale postérieure et nerf tibial (en division)

Rétinaculum des fléchisseurs

Muscle abducteur de l'hallux (*coupé*)

Artère et nerf calcanéens médiaux

Tubérosité du calcanéus

Muscles de la plante du pied : troisième couche

Rameaux digitaux plantaires propres du nerf plantaire médial

Rameaux digitaux plantaires propres du nerf plantaire latéral

© Novartis

Tendons du long fléchisseur des orteils

Tendons du court fléchisseur des doigts (*coupés*)

Muscle court fléchisseur du petit orteil

Artères métatarsiennes plantaires

Muscles interosseux plantaires

Rameau superficiel du nerf plantaire latéral

Arcade artérielle plantaire profonde et rameaux profonds du nerf plantaire latéral

Tubérosité du 5e os métatarsien

Tendon du court fibulaire (péronier)

Tendon du long fibulaire (péronier) et gaine fibreuse

Muscle carré plantaire (*coupé et légèrement écarté*)

Artère et nerf plantaires latéraux

Muscle abducteur du petit orteil (*coupé*)

Artère et nerf calcanéens latéraux

Tubérosité du calcanéus

Rameau digital plantaire propre de la branche superficielle de l'artère plantaire médiale

Artères perforantes antérieures vers les artères métatarsiennes dorsales

Tendons des muscles lombricaux (*coupés*)

Os sésamoïdes

Chef transverse et **Chef oblique du muscle adducteur de l'hallux**

Chef médial et **Chef latéral du muscle court fléchisseur de l'hallux**

Branches superficielles de l'artère et du nerf plantaires médiaux

Tendon du long fléchisseur de l'hallux

Muscle abducteur de l'hallux (*coupé*)

Branches profondes de l'artère et du nerf plantaires médiaux

Tendon du long fléchisseur des orteils (*coupé*)

Tendon du tibial postérieur

Artère et nerf plantaires médiaux

Tendon du long fléchisseur de l'hallux

Rétinaculum des fléchisseurs

Muscle abducteur de l'hallux (*coupé*)

Muscle court fléchisseur des orteils et aponévrose plantaire (*coupés*)

Artère et nerf calcanéens médiaux

Muscles interosseux et artères profondes du pied

Vue dorsale

Tendon du long fibulaire (péronier) (*coupé*)
Tendon du court fibulaire (péronier) (*coupé*)
Os cuboïde
Artère tarsienne latérale
Tubérosité du 5e os métatarsien
Tendon du troisième fibulaire (péronier) (*coupé*)
Rameaux perforants postérieurs (de l'arcade artérielle plantaire profonde)
Artères métatarsiennes dorsales
Tendon du long extenseur des orteils
Expansions des extenseurs
Rameaux perforants antérieurs (des artères métatarsiennes plantaires)
Artères digitales dorsales
Os naviculaire
Artère tarsienne médiale
Os cunéiformes: Latéral, Intermédiaire, Médial
Ligaments tarso-métatarsiens dorsaux
Ligaments métatarsiens dorsaux
Artère arquée
Artère plantaire profonde se dirigeant pour contribuer à l'arcade plantaire profonde
Muscles interosseux dorsaux
Os métatarsiens
Tendon du long extenseur de l'hallux (*coupé*)
Tendons du court extenseur des orteils et du court extenseur de l'hallux (*coupés*)

Vue plantaire

Artères digitales plantaires propres
Artères digitales plantaires communes
Muscles lombricaux (*coupés*)
Ligament métatarsien transverse profond et ligaments plantaires (lames)
Muscles interosseux: **Plantaires**, **Dorsaux**
Muscles abducteurs du petit orteil (*coupés*)
Artères métatarsiennes plantaires
Muscle court fléchisseur du petit orteil
Arcade plantaire profonde
Artère plantaire latérale (*coupée*)
Tubérosité du 5e os métatarsien
Tendon du long fibulaire (péronier)
Tendon du court fibulaire (péronier) (*coupé*)
Tubérosité de l'os cuboïde
Ligament plantaire long
Ligament calcanéo-cuboïdien (plantaire court)
Tendon du long fléchisseur de l'hallux (*coupé*)
Rameaux perforants antérieurs (des artères métatarsiennes dorsales)
Os sésamoïdes
Insertion du muscle adducteur de l'hallux et du chef latéral du court fléchisseur de l'hallux (*coupés*)
Insertion du muscle abducteur de l'hallux et du chef médial du court fléchisseur de l'hallux (*coupés*)
Origine médiale du muscle court fléchisseur de l'hallux (*coupé*)
Artère plantaire profonde (de l'artère dorsale du pied)
Rameaux perforants postérieurs (des artères métatarsiennes dorsales)
Ligaments métatarsiens plantaires (entre les bases des os métatarsiens)
Os cunéiforme médial
Tendon du tibial antérieur (*coupé*)
Origine latérale du tendon du court fléchisseur de l'hallux (*coupé*)
Tubérosité de l'os naviculaire
Tendon du tibial postérieur (*coupé*)
Ligament calcanéo-naviculaire plantaire

Muscles interosseux du pied

Vue dorsale

Cuboïde
Tubérosité du 5e os métatarsien
Muscles interosseux dorsaux (bipennés)
5e os métatarsien
Petit orteil (5e): Phalange proximale, Phalange moyenne, Phalange distale
Naviculaire
Os cunéiformes: Latéral, Intermédiaire, Médial
1er os métatarsien
Phalange proximale du gros orteil
Phalange distale du gros orteil

Vue plantaire

Petit orteil (5e): Phalange distale, Phalange moyenne, Phalange proximale
Muscles interosseux plantaires (unipennés)
5e os métatarsien
Tubérosité du 5e os métatarsien
Cuboïde
Phalange distale du gros orteil
Phalange proximale du gros orteil
Os sésamoïdes
1er os métatarsien
Os cunéiformes: Latéral, Intermédiaire, Médial
Naviculaire

Nerfs fémoral et cutané latéral de la cuisse

Note : seuls les muscles innervés par le nerf fémoral sont représentés ici

Nerf obturateur

Note : seuls les muscles innervés par le nerf obturateur sont représentés ici

Nerfs sciatique (ischiatique) et cutané postérieur de la cuisse

Nerf cutané postérieur de la cuisse (S1, S2, S3)
Nerfs cluniaux inférieurs
Rameaux périnéaux
Division tibiale du nerf sciatique (ischiatique)
Chef long (coupé) du muscle biceps fémoral
Muscle grand adducteur (partiellement innervé par le nerf obturateur)
Muscle semi-tendineux
Muscle semi-membraneux
Nerf tibial
Rameau articulaire
Muscle plantaire
Nerf cutané sural médial
Muscle gastrocnémien
Nerf sural
Muscle soléaire
Nerf tibial
Rameaux calcanéens médiaux
Nerfs plantaires médial et latéral
Grande ouverture ischiatique
Nerf sciatique (L4, L5, S1, S2, S3) (ischiatique)
Division fibulaire commune (péronière) du nerf sciatique (ischiatique)
Chef court du muscle biceps fémoral
Chef long (coupé) du muscle biceps fémoral
Nerf fibulaire commun (péronier)
Rameau articulaire
Nerf cutané sural latéral
Branche anastomotique surale
Rameaux calcanéens latéraux
Nerf cutané dorsal latéral

Innervation cutanée

Nerf cutané postérieur de la cuisse
Du nerf sciatique (ischiatique)
Nerf fibulaire commun (péronier) via le nerf cutané sural latéral
Nerf cutané sural médial
Nerf fibulaire superficiel (péronier)
Nerf sural
Nerf tibial via les rameaux calcanéens médiaux

© Novartis

Nerf tibial

Nerf tibial (L4, L5, S1, S2, S3)
Nerf cutané sural médial (*coupé*)
Rameaux articulaires
Muscle plantaire
Muscle gastrocnémien (*coupé*)
Nerf du muscle poplité
Muscle poplité
Nerf interosseux de la jambe
Muscle soléaire (*coupé et partiellement récliné en haut*)
Muscle long fléchisseur des orteils
Muscle tibial postérieur
Muscle long fléchisseur de l'hallux
Nerf sural (*coupé*)
Rameau calcanéen latéral
Rameau calcanéen médial
Rétinaculum des fléchisseurs (*coupé*)
Nerf cutané dorsal latéral
Nerf fibulaire commun (péronier)
Rameau articulaire
Nerf cutané sural latéral (*coupé*)

© Novartis

Du nerf tibial
Rameaux calcanéens médiaux (S1, S2)
Nerf plantaire médial (L4, L5)
Nerf plantaire latéral (S1, S2)
Nerf saphène (L3, L4)
Nerf sural (S1, S2) via les rameaux calcanéen latéral et cutané dorsal latéral

Innervation cutanée de la plante du pied

Rétinaculum des fléchisseurs (*coupé*)
Nerf tibial
Rameau calcanéen médial
Nerf plantaire médial
Muscle et nerf courts fléchisseurs des orteils
Muscle et nerf abducteurs de l'hallux
Muscle et nerf courts fléchisseurs de l'hallux
1er muscle et nerf lombricaux
Nerfs digitaux plantaires communs
Nerfs digitaux plantaires propres
Rameau calcanéen latéral du nerf sural
Nerf plantaire latéral
Nerf du muscle abducteur du petit orteil
Muscle et nerf carrés plantaires
Muscle abducteur du petit orteil
Rameau profond des muscles interosseux, 2e, 3e et 4e muscles lombricaux et Muscle adducteur de l'hallux
Rameau superficiel du 4e muscle interosseux et Muscle court fléchisseur du petit orteil
Nerfs digitaux plantaires communs et propres

Note : les rameaux articulaires ne sont pas représentés ici

Nerf fibulaire commun (péronier)

Dermatomes du membre inférieur

Nerfs et veines superficiels du membre inférieur : vue antérieure

Rameau cutané latéral du nerf subcostal

Ligament inguinal (de Poupart)

Veine circonflexe iliaque superficielle

Rameaux fémoraux du nerf génito-fémoral

Nerf cutané latéral de la cuisse

Ouverture saphène (fosse ovale)

Fascia lata

Nerfs cutanés antérieurs de la cuisse (issus du nerf fémoral)

Plexus nerveux patellaire

Rameaux du nerf cutané sural latéral (issus du nerf fibulaire commun [péronier])

Fascia crural (profond de la jambe)

Nerf fibulaire superficiel (péronier)

Rameau cutané dorsal médial

Rameau cutané dorsal intermédiaire

Petite veine saphène et nerf cutané dorsal latéral (du nerf sural)

Nerf et veine digitaux dorsaux latéraux du 5e orteil

Veines métatarsiennes dorsales

Nerfs et veines digitaux dorsaux

Veine épigastrique superficielle

Nerf ilio-inguinal (rameau scrotal) (passe habituellement à travers l'anneau inguinal superficiel)

Rameau génital du nerf génito-fémoral

Veine fémorale

Veine honteuse externe superficielle

Veine saphène accessoire

Grande veine saphène

Rameaux cutanés du nerf obturateur

Rameau infra-patellaire du nerf saphène

Nerf saphène (branche terminale du nerf fémoral)

Grande veine saphène

Nerfs digitaux dorsaux

Arcade veineuse dorsale

Nerf digital dorsal et veine du gros orteil

Rameau digital dorsal du nerf fibulaire profond (péronier)

F. Netter M.D.

Nerfs et veines superficiels du membre inférieur : vue postérieure

Nerfs cluniaux moyens (issus des rameaux dorsaux de S1, S2, S3)

Nerf perforant cutané (issus des rameaux dorsaux de S1, S2, S3)

Rameaux du nerf cutané postérieur de la cuisse

Veine saphène accessoire

Rameau du nerf cutané antérieur de la cuisse

Rameau cutané du nerf obturateur

Grande veine saphène

Petite veine saphène

Rameaux du nerf saphène

Rameaux calcanéens médiaux du nerf tibial

Rameaux cutanés plantaires du nerf plantaire médial

Rameau cutané latéral du nerf ilio-hypogastrique

Crête iliaque

Nerfs cluniaux supérieurs (issus des rameaux dorsaux de L1, L2, L3)

Nerfs cluniaux inférieurs (issus du nerf cutané postérieur de la cuisse)

Rameaux du nerf cutané latéral de la cuisse

Rameaux terminaux du nerf cutané postérieur de la cuisse

Nerf cutané sural latéral (issu du nerf fibulaire commun [péronier])

Nerf communicant sural

Nerf cutané médial sural (issu du nerf tibial)

Nerf sural

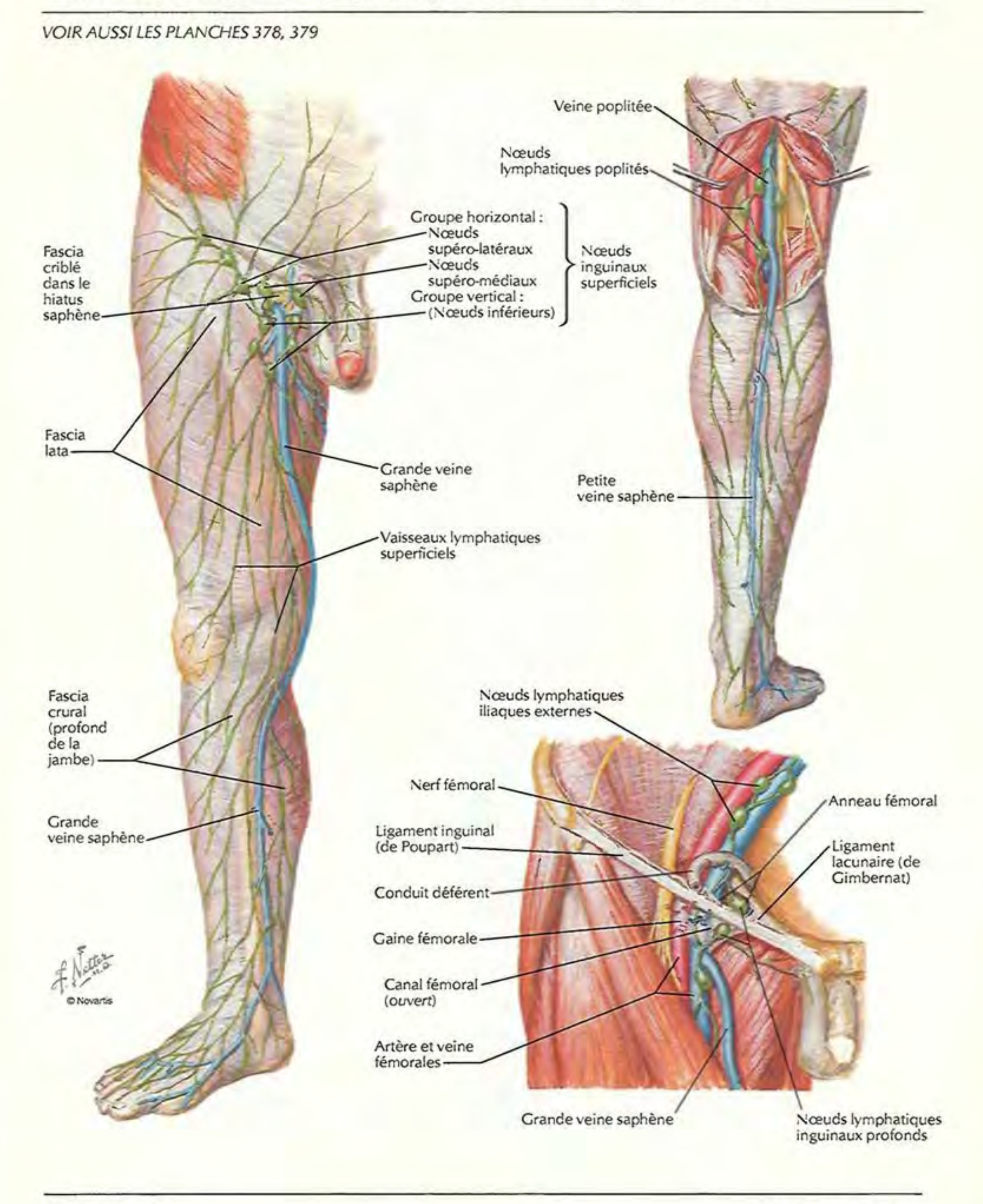
Rameaux calcanéens latéraux du nerf sural

Nerf cutané dorsal latéral (prolongement du nerf sural)

Rameaux cutanés plantaires du nerf plantaire latéral

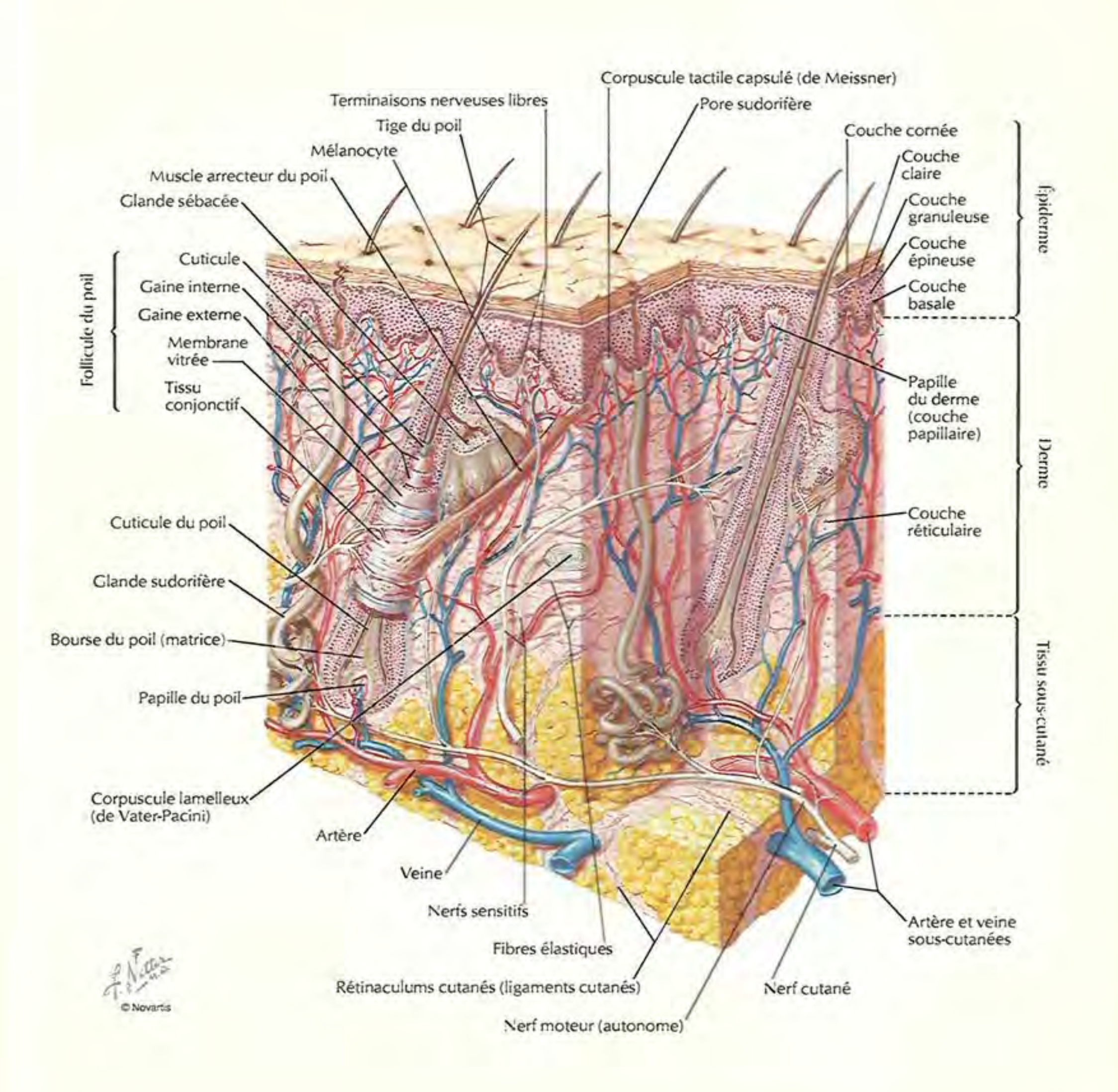
F. Netter M.D.

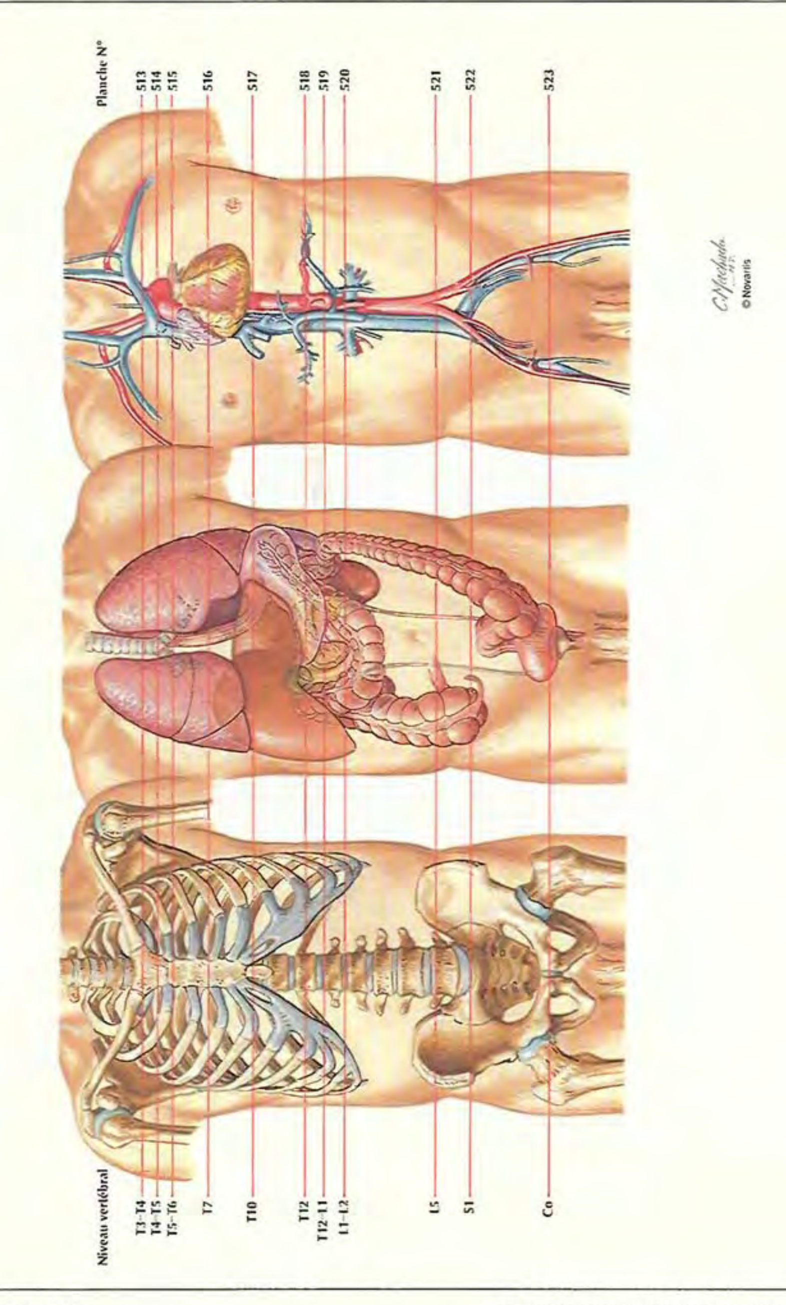
VOIR AUSSI LES PLANCHES 378, 379



Section VIII

COUPE TRANSVERSALE ANATOMIQUE


Corpuscule tactile capsulé (de Meissner)
Pore sudorifère
Terminaisons nerveuses libres
Tige du poil
Mélanocyte
Muscle arrecteur du poil
Glande sébacée
Couche cornée
Couche claire
Couche granuleuse
Couche épineuse
Couche basale
Épiderme
Follicule du poil
Cuticule
Gaine interne
Gaine externe
Membrane vitrée
Tissu conjonctif
Papille du derme (couche papillaire)
Derme
Couche réticulaire
Cuticule du poil
Glande sudorifère
Bourse du poil (matrice)
Papille du poil
Tissu sous-cutané
Corpuscule lamelleux (de Vater-Pacini)
Artère
Veine
Nerfs sensitifs
Fibres élastiques
Rétinaculums cutanés (ligaments cutanés)
Nerf moteur (autonome)
Nerf cutané
Artère et veine sous-cutanées
© Novartis



Coupe transversale : niveau supérieur de T4, articulation sterno-claviculaire

Coupe transversale : disque intervertébral T4-T5, manubrium

Trachée
Thymus
Manubrium
Arc aortique
Artère et veine thoraciques internes
Poumon gauche
Côtes
Muscle grand pectoral
Muscle petit pectoral
Fosse axillaire
Fusion du chef court du biceps brachial et du muscle coraco-brachial
Tendon du chef long du muscle biceps brachial
Corps de l'humérus
Chef latéral du muscle biceps brachial
Chef long du muscle triceps brachial
Tendon du muscle grand dorsal gauche s'insérant sur l'humérus
Muscle grand rond
Muscle subscapulaire
Muscle petit rond
Scapula
Muscle infra-épineux
Fissure oblique (du poumon gauche)
Nerf vague gauche (X)
Nerf laryngé récurrent gauche
Moelle spinale
Muscle trapèze
Muscle rhomboïde
Disque intervertébral T4-T5
Conduit thoracique
Œsophage
Scapula
Muscle petit rond
Muscle grand rond
Chef long du muscle triceps brachial
Muscle deltoïde
Corps de l'humérus
Muscle grand dorsal
Tendon du chef long du muscle biceps brachial
Muscle dentelé antérieur
Muscles intercostaux
Poumon droit
Arc de la veine azygos
Nerf phrénique droit
Veine cave supérieure
Nœud lymphatique trachéo-bronchique supérieur

Planche 514
T4-T5

Coupe transversale : disque intervertébral T5-T6, angle sternal

Nœuds lymphatiques trachéo-bronchiques inférieurs
Articulation manubrio-sternale
Artère et veine thoraciques internes
2e cartilage costal
Tronc pulmonaire
Artère pulmonaire gauche
Poumon gauche (au niveau du hile)
Muscle petit pectoral
Côtes
Chef long du muscle biceps brachial
Corps de l'humérus
Tendon du muscle grand dorsal
Muscle grand rond
Muscle dentelé antérieur
Muscle subscapulaire
Bronche principale gauche
Aorte descendante
Veine hémi-azygos
Muscle trapèze
Conduit thoracique
Disque intervertébral T5-T6
Œsophage
Veine azygos
Bronche principale droite
Muscle grand rhomboïde
Muscle infra-épineux
Scapula
Muscle grand rond
Chef long du muscle triceps brachial
Tendon du grand dorsal
Chef latéral du muscle triceps brachial
Muscle deltoïde
Muscle coraco-brachial
Tendon du chef long du muscle biceps brachial
Fosse axillaire
Muscles intercostaux
Poumon droit (au niveau du hile)
Muscle grand pectoral
Veine cave supérieure
Artère pulmonaire droite
Aorte ascendante

Planche 515
T5-T6

Thorax : quatre cavités du cœur

Coupe transversale : niveau de T7, 3e espace interchondral

Ventricule droit
Sillon interventriculaire antérieur
Muscle grand pectoral
Apex du cœur
Septum interventriculaire
Muscle papillaire
Ventricule gauche
Cuspide de la valve atrio-ventriculaire gauche (mitrale)
Sillon coronaire
Sinus coronaire
Sinus oblique du péricarde
Aorte descendante
Conduit thoracique
Muscle grand dorsal
Triangle d'auscultation
Tête de la 7e côte
Corps de la vertèbre T7
Muscle trapèze
Sternum (corps)
Orifice de la valve atrio-ventriculaire droite (tricuspide)
Sillon de l'artère coronaire
Artère et veine thoraciques internes
Atrium gauche
Atrium droit
Septum interatrial
Veine cave supérieure
Veine pulmonaire inférieure droite
Œsophage
Veine azygos
Muscle dentelé antérieur
Muscle grand dorsal
Angle inférieur de la scapula
Triangle d'auscultation
Col de la 7e côte
Articulation zygapophysaire (surface)

C.Machado
© Novartis

Planche 516
T7

Abdomen : jonction gastro-œsophagienne

Coupe transversale : niveau de T10, synchondrose xipho-sternale

Cartilages costaux
Jonction gastro-œsophagienne
Plis gastriques (rides)
Fundus de l'estomac
Pilier droit du diaphragme (formant le bord gauche du hiatus œsophagien)
Aorte thoracique
Pilier gauche du diaphragme
Rate
Lobe inférieur du poumon gauche dans le récessus costo-diaphragmatique
Muscle érecteur du rachis
Conduit thoracique
Processus xiphoïde
Diaphragme
Muscle droit de l'abdomen
Foie
Pilier droit du diaphragme (formant le bord droit du hiatus œsophagien)
Veine cave inférieure
Muscle dentelé antérieur
Veine azygos
Diaphragme
Muscle grand dorsal
Lobe inférieur du poumon droit dans le récessus costo-diaphragmatique
Corps de la vertèbre T10
Muscle trapèze

C.Machado
© Novartis

Planche 517
T10

Abdomen : pylore et corps du pancréas

Coupe transversale : niveau de T12, inférieur au processus xiphoïde

Estomac
Jéjunum
Côlon transverse (montant vers l'angle colique gauche)
Bifurcation du tronc cœliaque
Côlon descendant (descendant de l'angle colique gauche)
Rate
Artère et veine spléniques (liénales)
Glande surrénale gauche
Extrémité supérieure du rein gauche
Pilier gauche du diaphragme
Aorte thoracique
Pancréas
Pilier droit du diaphragme
Glande surrénale droite
Veine cave inférieure
Veine porte
Artère hépatique
Conduit biliaire commun
Triade porte hépatique
Foie
Ligament hépato-duodénal
Partie supérieure (1re) du duodénum
Vésicule biliaire
Angle colique droit (hépatique)
Pylore
Canal pylorique

T12
Planche 518

Abdomen : origines de l'artère cœliaque et de la veine porte

Coupe transversale : niveau du disque intervertébral T12-L1

Tronc cœliaque
Veine splénique (liénale)
Côlon transverse
Jéjunum
Muscle oblique externe
Côlon descendant
Glande surrénale gauche
Rate
Cortex rénal
Médullaire rénale
Rein gauche
Pilier gauche du diaphragme
Aorte abdominale
Disque intervertébral T12-L1
Pilier droit du diaphragme
Extrémité supérieure du rein droit
Glande surrénale droite
Veine cave inférieure
Partie descendante (2e) du duodénum
Conduit biliaire commun
Côlon ascendant (angle colique droit)
Côlon transverse
Pancréas (tête)
Veine mésentérique supérieure (devenant veine porte)

T12–L1
Planche 519

Abdomen : hile et vaisseaux du rein

Coupe transversale : niveau du disque intervertébral L1-L2

Veine mésentérique supérieure
Artère mésentérique supérieure
Côlon transverse
Iléum (iléon)
Jéjunum
Capsule adipeuse du rein (graisse péri-rénale)
Jonction urétéro-pelvienne
Côlon descendant
Fascia rénal
Rein gauche
Petit calice et pelvis rénal
Graisse para-rénale
Artère rénale gauche
Veine rénale gauche (s'ouvrant dans la veine cave inférieure)
Pilier gauche du diaphragme
Aorte abdominale
Grand omentum
Pancréas et son processus unciné
Côlon transverse
Jonction des 2e et 3e parties du duodénum
Côlon ascendant
Foie
Veine rénale droite (s'ouvrant dans la veine cave inférieure)
Rein droit
Veine cave inférieure
Pilier droit du diaphragme
Muscle grand psoas
Disque intervertébral L1-L2
Cône médullaire et queue de cheval

L1-L2
Planche 520

C.Machado

Abdomen : jonction iléo-caecale

Coupe transversale : niveau de L5, près du plan inter-tuberculaire

Artères iliaques communes
Uretère
Iléum (iléon)
Côlon descendant
Muscle transverse de l'abdomen
Plexus lombaire (rameaux ventraux de L2-L4 donnant les nerfs fémoral et obturateur, et la partie L4 du tronc lombo-sacral)
Crête iliaque
Muscle érecteur du rachis
Dépression ombilicale
Iléum (iléon)
Muscle droit de l'abdomen
Jonction iléo-caecale
Caecum
Muscle oblique interne
Muscle oblique externe
Muscle grand psoas
Muscle iliaque
Corps de la vertèbre L5
Citerne lombaire de l'espace subarachnoïdien

L5
Planche 521

C.Machado

Abdomen : promontoire du sacrum

Coupe transversale : niveau de S1, épines iliaques antéro-supérieures

Planche 522
S1

Promontoire du sacrum
Ligne blanche
Iléum (iléon)
Ligament ombilical médial
Appendice vermiforme
Artère et veine épigastriques inférieures gauches (ligament ombilical latéral)
Caecum
Muscle droit de l'abdomen
Muscle oblique interne
Côlon descendant (devenant côlon sigmoïde)
Muscle oblique externe
Muscle transverse de l'abdomen
Artère iliaque externe
Uretère droit
Uretère gauche
Muscle petit fessier
Nerf obturateur
Nerf fémoral
Muscle iliaque
Muscle grand psoas
Artère iliaque interne
Veine iliaque commune
Muscle moyen fessier
Tronc lombo-sacral
Partie synoviale de l'articulation sacro-iliaque
Aile du sacrum
Muscle grand fessier
Foramen sacral antérieur avec le rameau ventral de S1
Syndesmose de l'articulation sacro-iliaque avec ses ligaments interosseux
Foramen intervertébral et ganglion spinal sensitif (racine dorsale)
Foramen sacral postérieur

Pelvis masculin : jonction vésico-prostatique

Coupe transversale : crête pubienne, têtes fémorales, coccyx

Planche 523
Co

Partie supérieure de la symphyse pubienne
Intérieur de la vessie
Cordon spermatique
Muscle long adducteur
Début de l'uretère
Corps du pubis
Prostate et urètre prostatique
Muscle pectiné
Veine fémorale
Muscle psoas et son tendon
Artère fémorale
Muscle iliaque
Nerf fémoral
Tête du fémur
Muscle sartorius
Col du fémur
Muscle ilio-psoas
Muscle moyen fessier
Muscle droit fémoral
Muscle tenseur du fascia lata
Muscle petit fessier
Muscle moyen fessier
Grand trochanter
Muscle jumeau inférieur
Artère, veine et nerf obturateurs
Nerf sciatique droit (ischiatique)
Fosse acétabulaire
Muscle grand fessier
Surface semi-lunaire (articulaire de l'acétabulum)
Muscle obturateur interne
Ligament sacro-tubéral
Nerf sciatique gauche (ischiatique)
Conduits éjaculateurs
Artère et veine honteuses internes (pudendales)
Angle périnéal (terminaison du rectum, début du canal anal)
Nerf honteux (pudendal)
Corps adipeux de la fosse ischio-rectale
Apex du coccyx
Muscle élévateur de l'anus (pubo-rectal)

Thorax : cœur, aorte ascendante

Coupe coronale : ligne axillaire antérieure

Glande thyroïde
Artère carotide commune gauche
Veine jugulaire interne gauche
Veine brachio-céphalique gauche
Veine jugulaire externe gauche
Muscle deltoïde
Muscle subclavier
Veine céphalique
Muscle grand pectoral (chef claviculaire)
Muscle grand pectoral (chef sterno-costal)
Aorte ascendante
Tronc pulmonaire (bifurcation)
Poumon gauche
Valve aortique
Valve atrio-ventriculaire gauche (mitrale)
Ventricule gauche
Ostium du sinus coronaire
Valve atrio-ventriculaire droite (tricuspide)
Jonction gastro-œsophagienne
Estomac
Ventricule droit
Fosse ovale
Veine porte
Œsophage
Trachée
Muscle scalène antérieur
Tronc brachio-céphalique
Clavicule
Muscle subclavier
Faisceau latéral du plexus brachial
Muscle deltoïde
Artère et veine axillaires
Muscle petit pectoral
Muscle grand pectoral
Muscle dentelé antérieur
Veine cave supérieure
Poumon droit
Muscles intercostaux
Atrium droit
Diaphragme
Récessus costo-diaphragmatique
Veine cave inférieure
Foie

Thorax : bifurcation trachéale, atrium gauche

Coupe coronale : ligne axillaire moyenne

Œsophage
Artère vertébrale gauche
Muscle scalène moyen
Muscle scalène antérieur
Muscle scalène postérieur
Trachée
Muscle subscapulaire
Artère axillaire
Veine axillaire
Arc aortique
Nœuds lymphatiques axillaires
Artère pulmonaire gauche
Lobe supérieur du poumon gauche
Scissure oblique du poumon gauche
Bronche principale gauche
Muscles intercostaux
Lobe inférieur du poumon gauche
Auricule gauche
Ostium de la veine pulmonaire inférieure gauche
Estomac
Rate
Pancréas
Aorte abdominale
Conduit thoracique
Carina de la trachée
Arc de la veine azygos
Muscle trapèze
Muscle supra-épineux
Muscle subscapulaire
Scissure oblique du poumon droit
Lobe moyen du poumon droit
Artère pulmonaire droite
Bronche intermédiaire droite
Scissure horizontale du poumon droit
Atrium gauche
Sinus coronaire
Diaphragme
Œsophage
Récessus costo-diaphragmatique
Foie
Pilier droit du diaphragme
Glande surrénale droite